

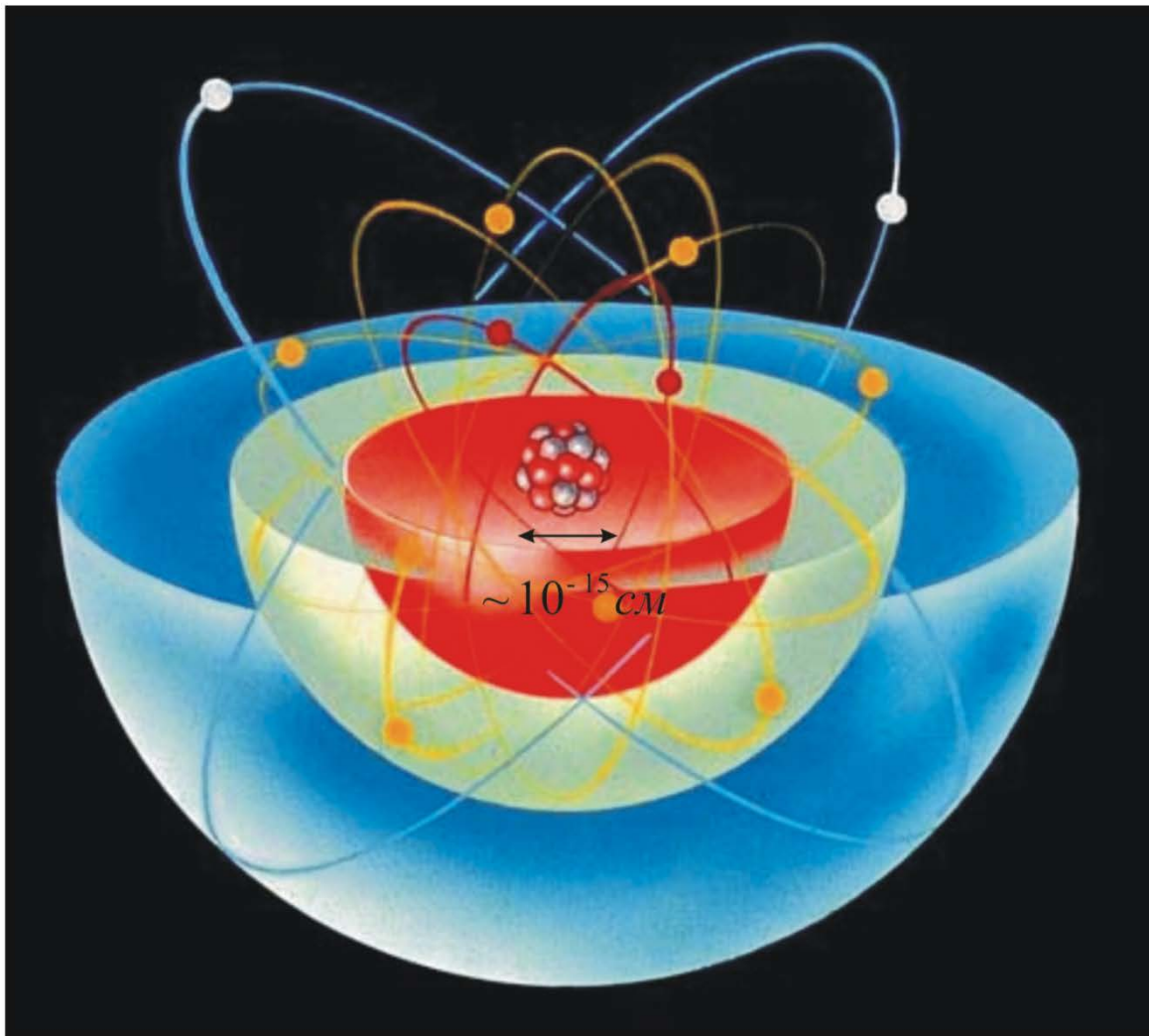
# Лекция 1.

- Электромагнитное взаимодействие и его место среди других взаимодействий в природе. Электрический заряд. Микроскопические носители заряда. Опыт Милликена. Закон сохранения электрического заряда. Развитие физики электричества в работах М.В.Ломоносова.
- Электростатика. Закон Кулона и его полевая трактовка. Вектор напряженности электрического поля. Принцип суперпозиции электрических полей.

# **Электромагнитное взаимодействие и его место среди других взаимодействий в природе.**

**Фундаментальные взаимодействия (силы) в природе**

Вид взаимодействия (силы)	Скорость процесса $t$ при энергии $W=1$ Гэв, с	$F=W/\tau$ , Н	Радиус действия, см
Сильные	$10^{-24}$	$10^{14}$	$10^{-13}$
Электромагнит- ные	$10^{-21}$	$10^{11}$	$\infty$
Слабые	$10^{-10}$	1	$10^{-16}$
Гравитационные	$10^{+23}$	$10^{-33}$	$\infty$



↔ →

$$\sim 10^{-8} \text{ cm}$$

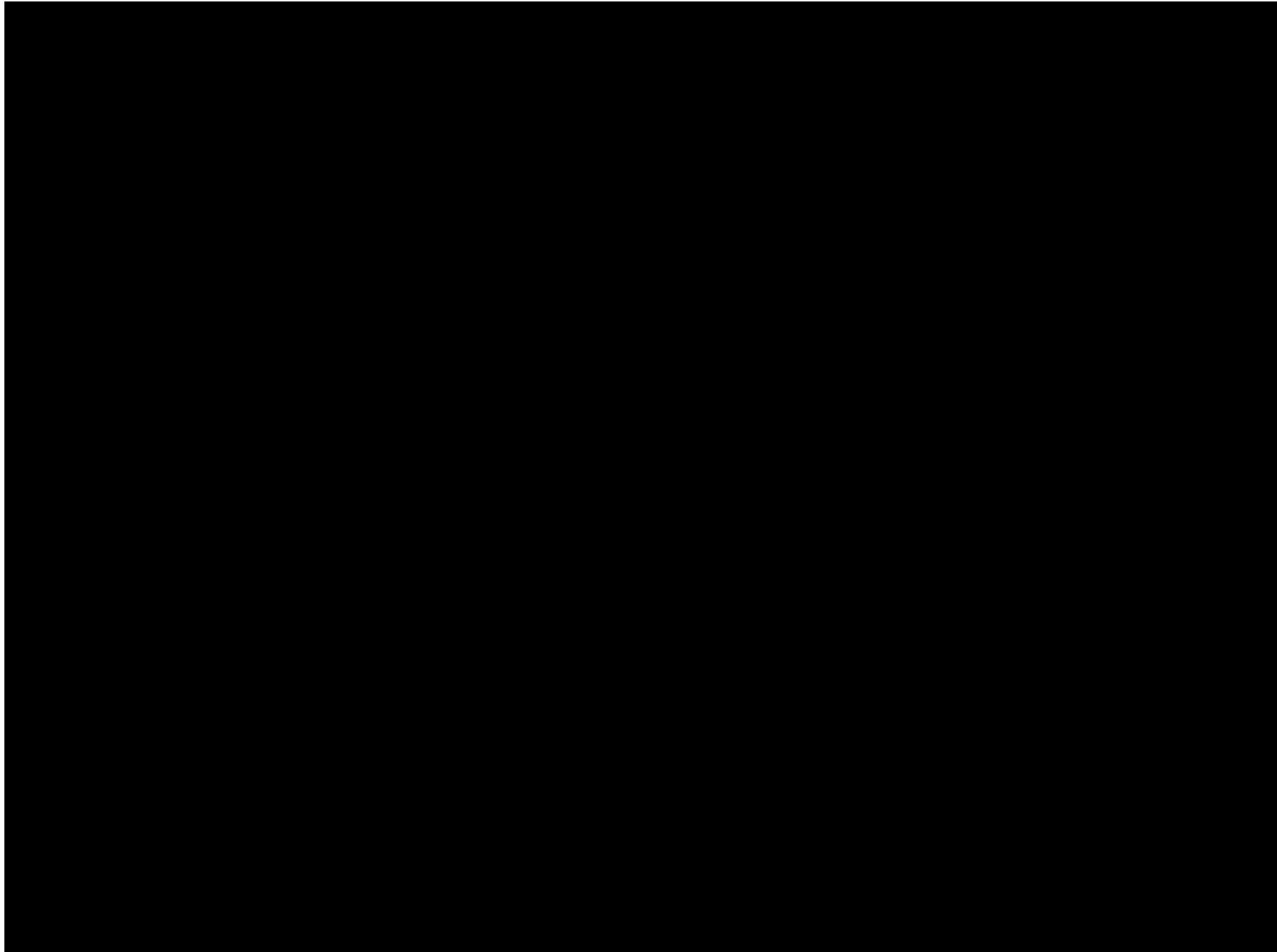
1.1.2

# **Электромагнитное взаимодействие.**

## **Электрический заряд.**

- Электромагнитным взаимодействием называется взаимодействие между электрически заряженными телами или электрически заряженными телами и электромагнитным полем.
- Если тело электрически заряжено, то говорят, что оно имеет электрический заряд. То есть, электрический заряд - это физическая величина, являющаяся источником электромагнитных взаимодействий.
- Взаимодействие между покоящимися заряженными телами (или кратко зарядами) называют электрическими или, точнее, электростатическими взаимодействиями.

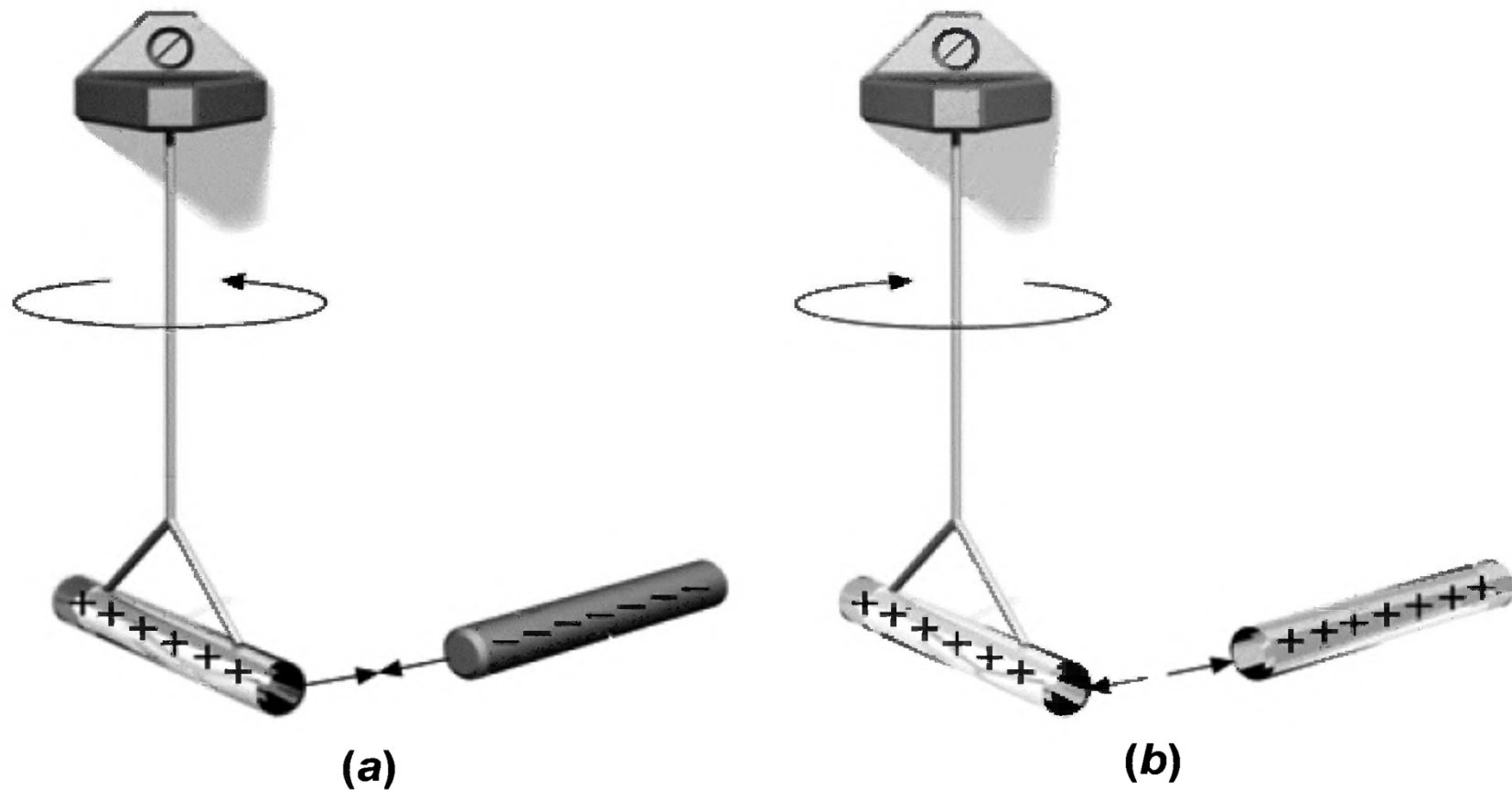




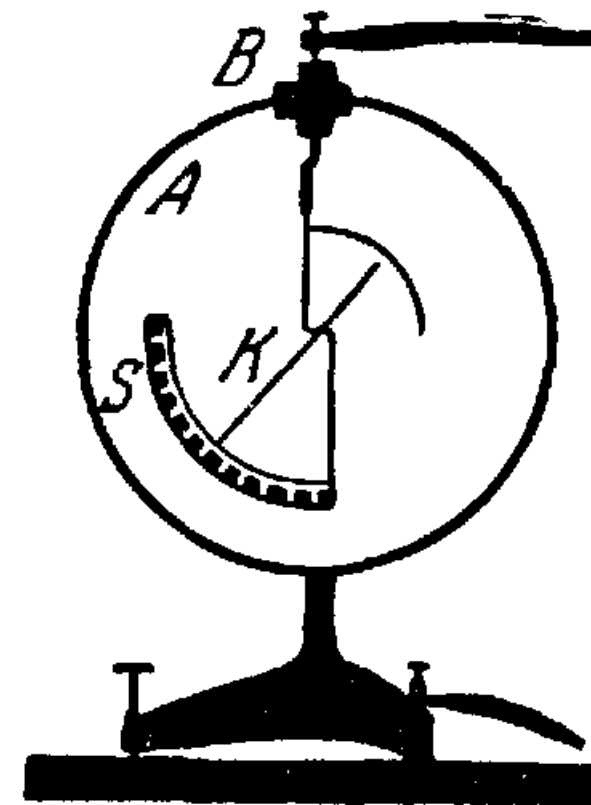
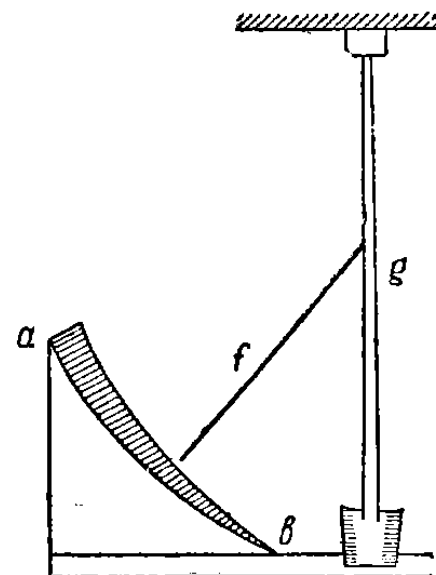
Электризация трением. Притяжение мелких предметов наэлектризованными телами.



# Два вида электрических зарядов (положительные и отрицательные).

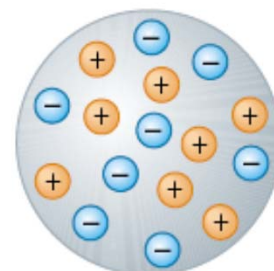


# Электроскопы и электрометры.

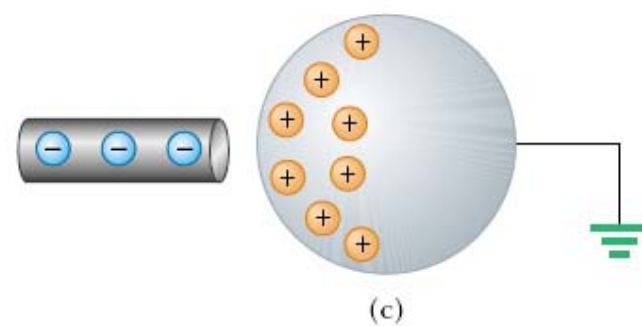


Электрометр  
Г.В.Рихмана (1745)

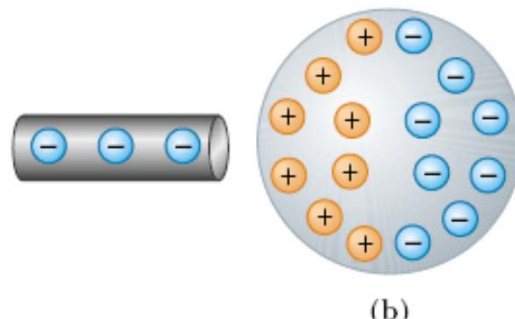
# Электростатическая индукция. Электризация проводника через влияние.



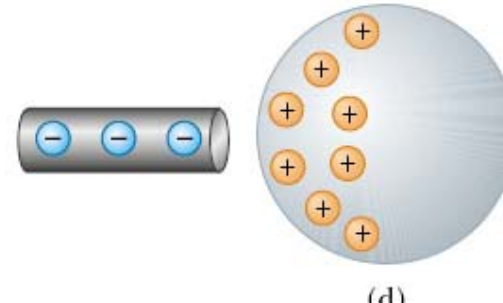
(a)



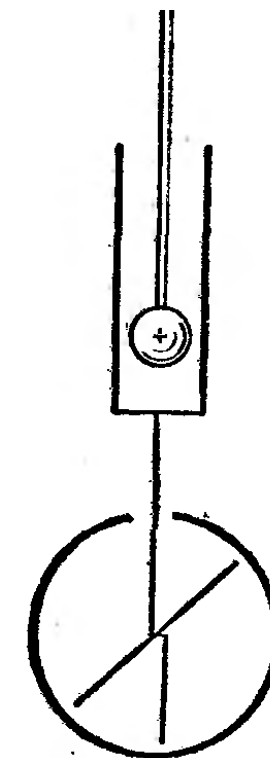
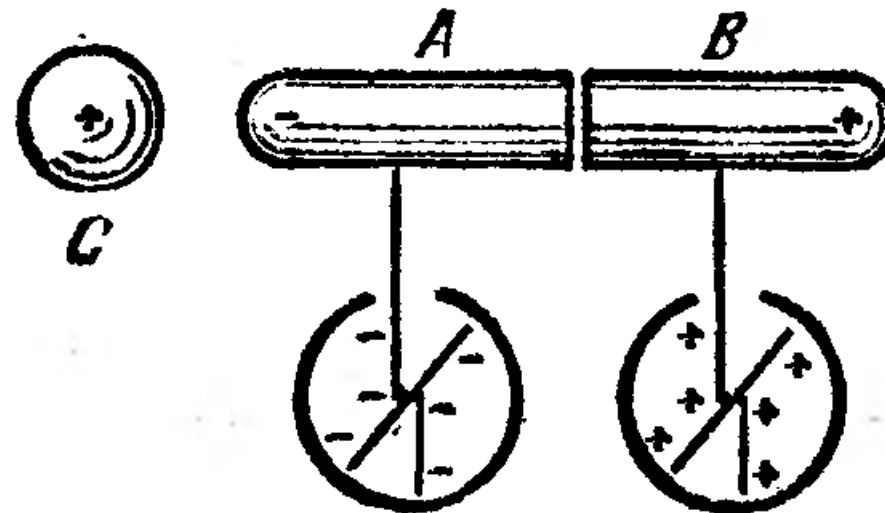
(c)



(b)



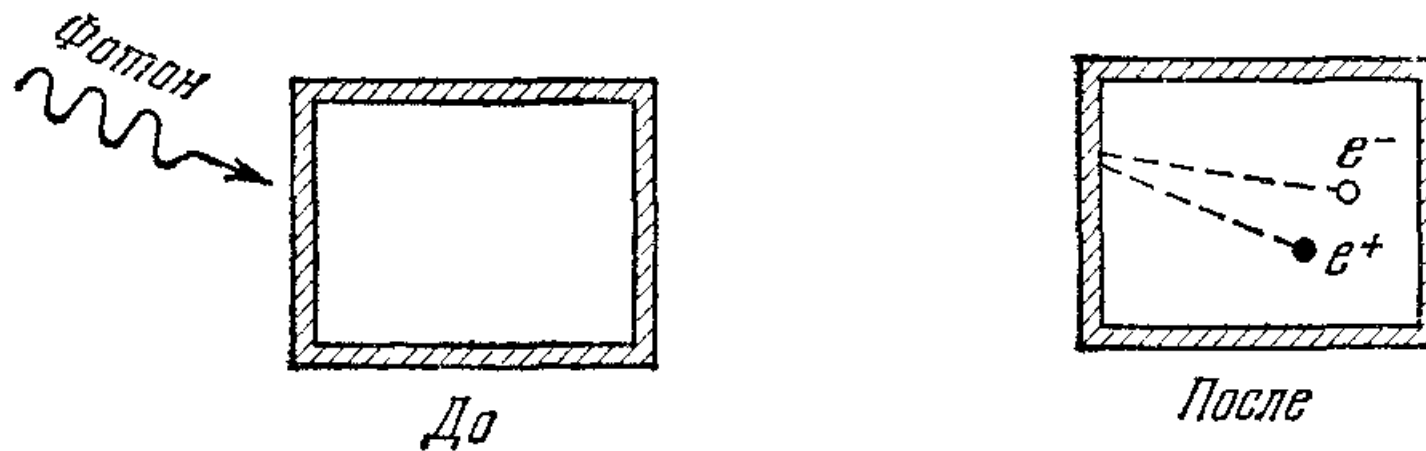
(d)



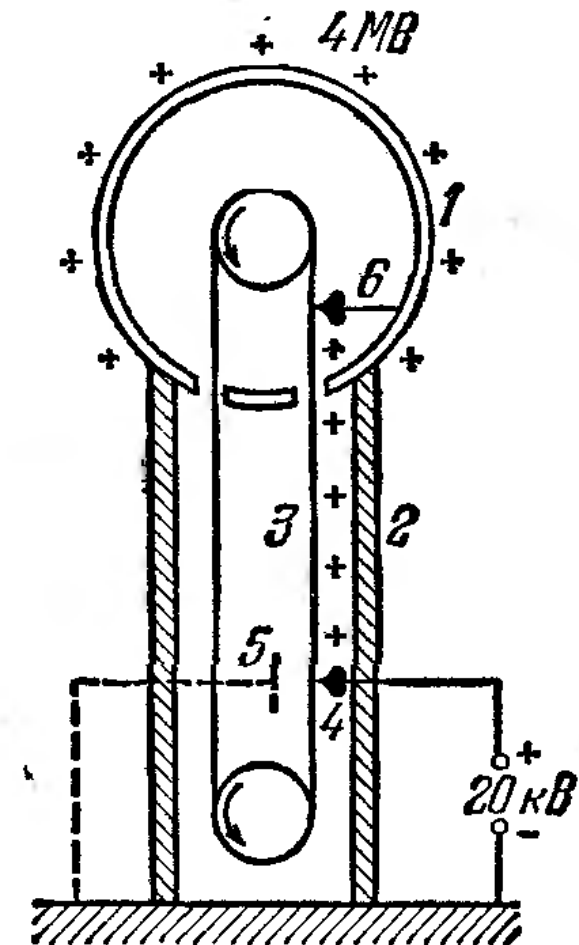
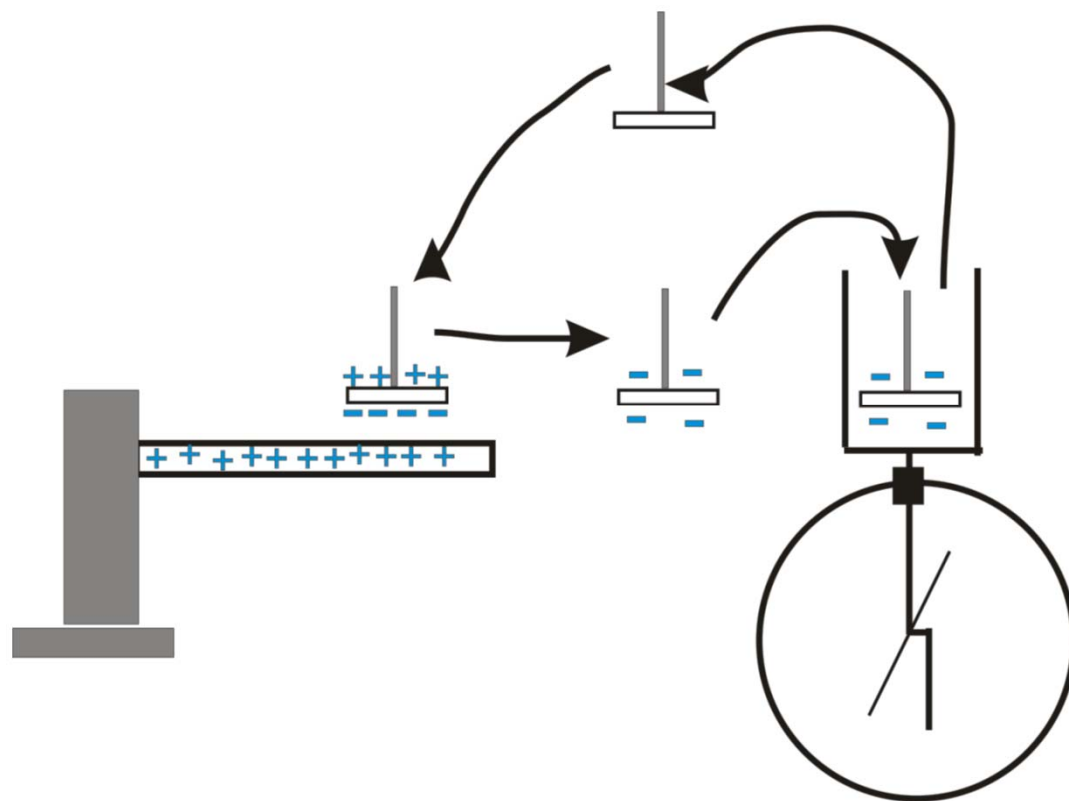
1.7

# Закон сохранения электрического заряда.

- Алгебраическая сумма зарядов в любой замкнутой системе сохраняется неизменной при любых электрических взаимодействиях и превращениях веществ внутри этой системы.



# Принцип работы электрофорной машины. Генератор Ван-де-Граафа.



# Принцип работы электростатической машины.

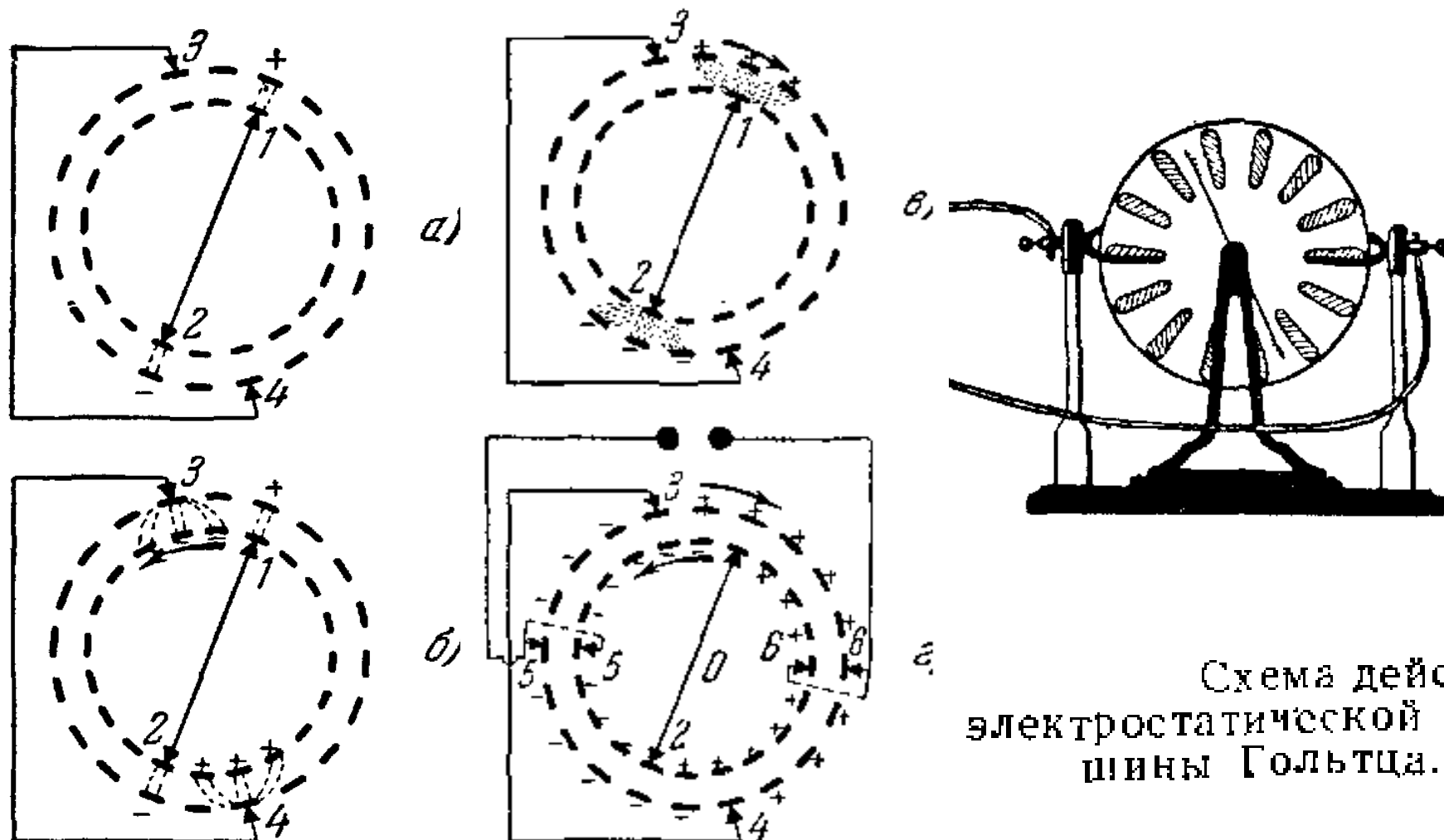


Схема действия  
электростатической машины Гольца.

# Микроскопические носители заряда. Опыт Милликена.

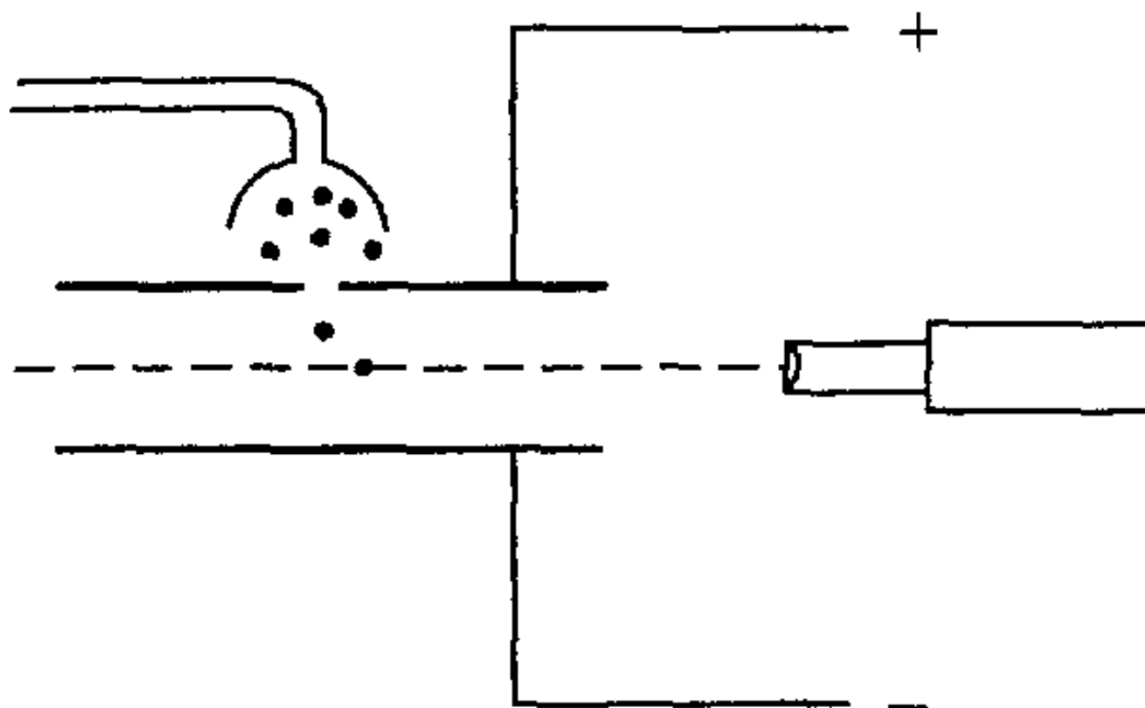
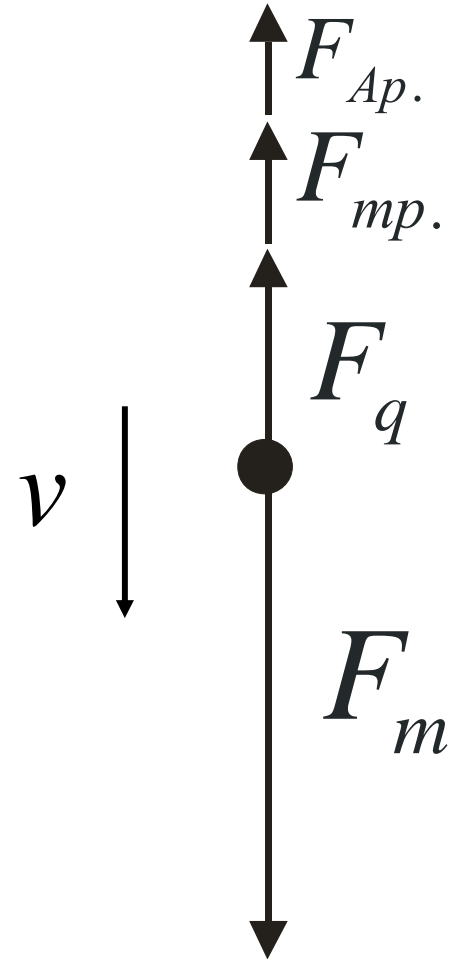


Схема опыта Милликена



$$F_m = F_q + F_{mp.} + F_{Ap.}$$

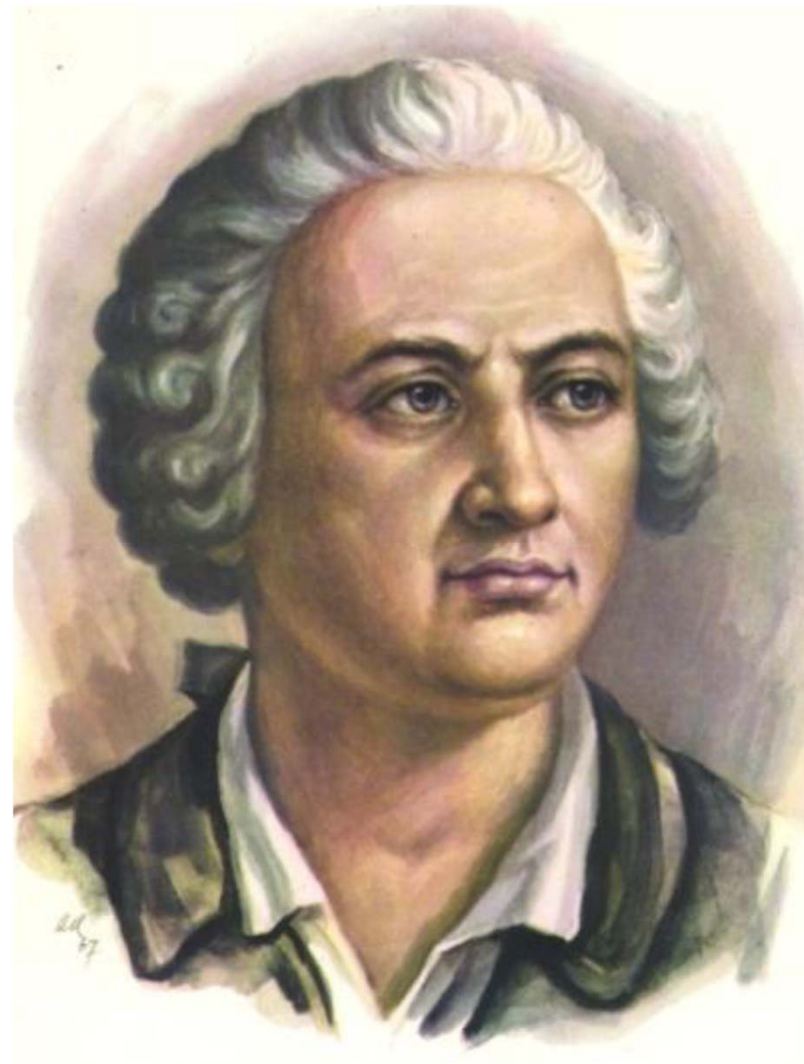
$$mg = qE + 6\pi\eta av + m_{воздуха}g$$

$$(q_1 - q_0), (q_2 - q_0), (q_3 - q_0), \dots$$

$$e = 1,602189 \cdot 10^{-19} \text{ Кл}$$

# Михаил Васильевич Ломоносов (1711-1765)

1711г., 8(19) ноября в деревне Мишанинской Куростровской волости Архангельской губернии в семье помора родился М. В. Ломоносов.



1.13.1

# Молекулярно-кинетическое учение М.В.Ломоносова

- В работе «О причине теплоты и стужи. Рассуждения Михаила Ломоносова» написано «...теплота состоит в движении материи, .... Сие движение есть внутреннее, то есть в теплых и горячих телах движутся нечувствительные частицы, из которых состоят самые тела;». М.В.Ломоносов в этой же работе указал на возможность существования абсолютного нуля температуры «... должна существовать наибольшая и последняя степень холода, которая должна существовать в полном прекращении вращательного движения частиц».

# Молекулярно-кинетическое учение М.В.Ломоносова

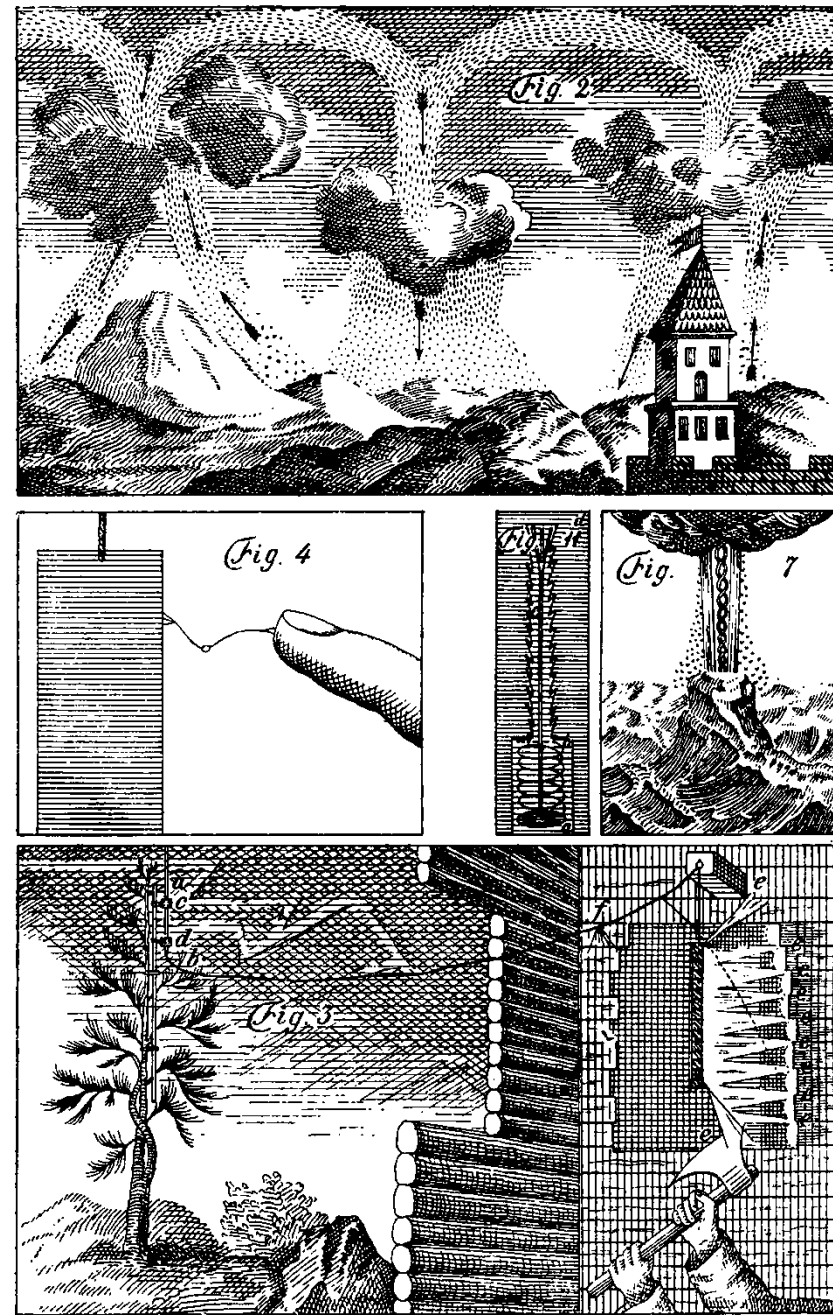
- М.В.Ломоносов в работе «Опыт теории упругости воздуха Михаила Ломоносова» объяснил упругие свойства атмосферного воздуха механизмом отталкивания атомов воздуха друг от друга. Он пишет: « ... отдельные атомы воздуха, в беспорядочном чередовании, сталкиваются с ближайшими через нечувствительные промежутки времени, ... таким образом, непрерывно отталкиваемые друг от друга частыми взаимными толчками, они стремятся рассеяться во все стороны. ».

# Закон сохранения материи

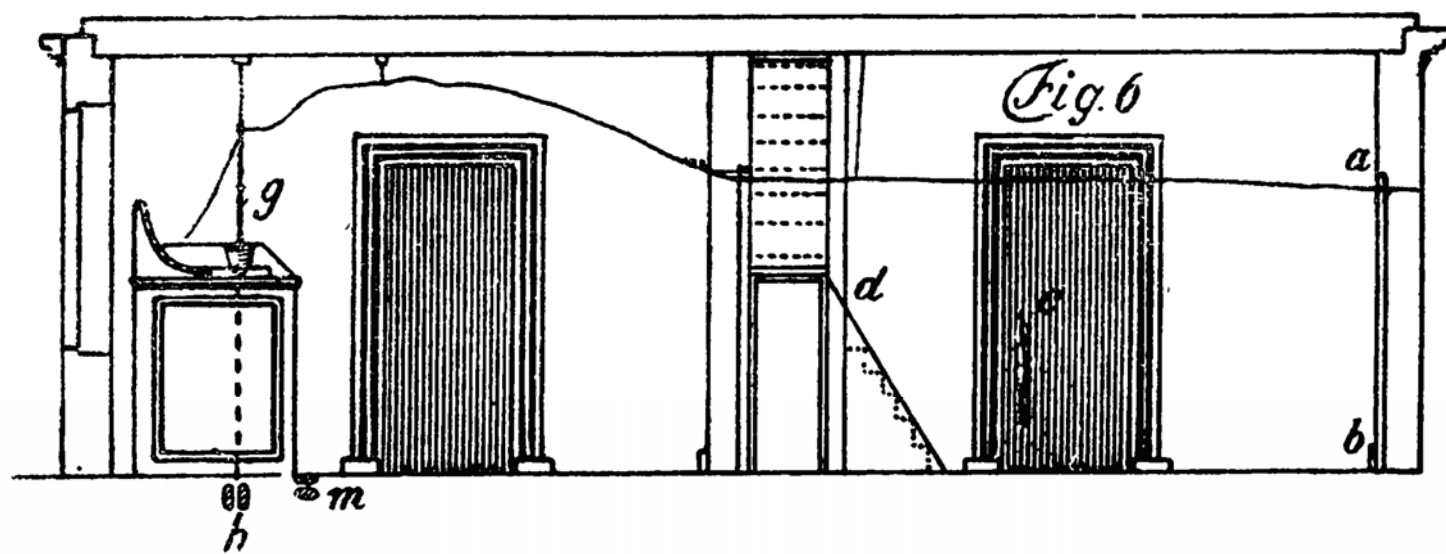
- В письме к Леонарду Эйлеру от 5 июля 1748 года в следующей формулировке: «Но все встречающиеся в природе изменения происходят так, что если к чему-либо нечто прибавилось, то это отнимается у чего-то другого. Так, сколько материи прибавляется какому-либо телу, столько же теряется у другого, сколько часов я затрачиваю на сон, столько же отнимаю от бодрствования, и т. д. Так как это всеобщий закон природы, то он распространяется и на правила движения: тело, которое своим толчком возбуждает другое к движению, столько же теряет от своего движения, сколько сообщает другому, им движенному.»

# Природа атмосферного электричества

- В работе « Слово о явлениях воздушных, от электрической силы происходящих, предложенное от Михаила Ломоносова » (1753 год) написано: « В сём состоянии, по незыблемым естества законам, верхней части атмосферы должно опуститься в нижнюю и столь глубоко погрузиться, поколе, перемешавшись с теплым воздухом, в равновесии остановится. ... Уже довольно явствует, какие движения воздуха, кроме дыхания ветров, электрическое трение произвести могут; »



1.13.6



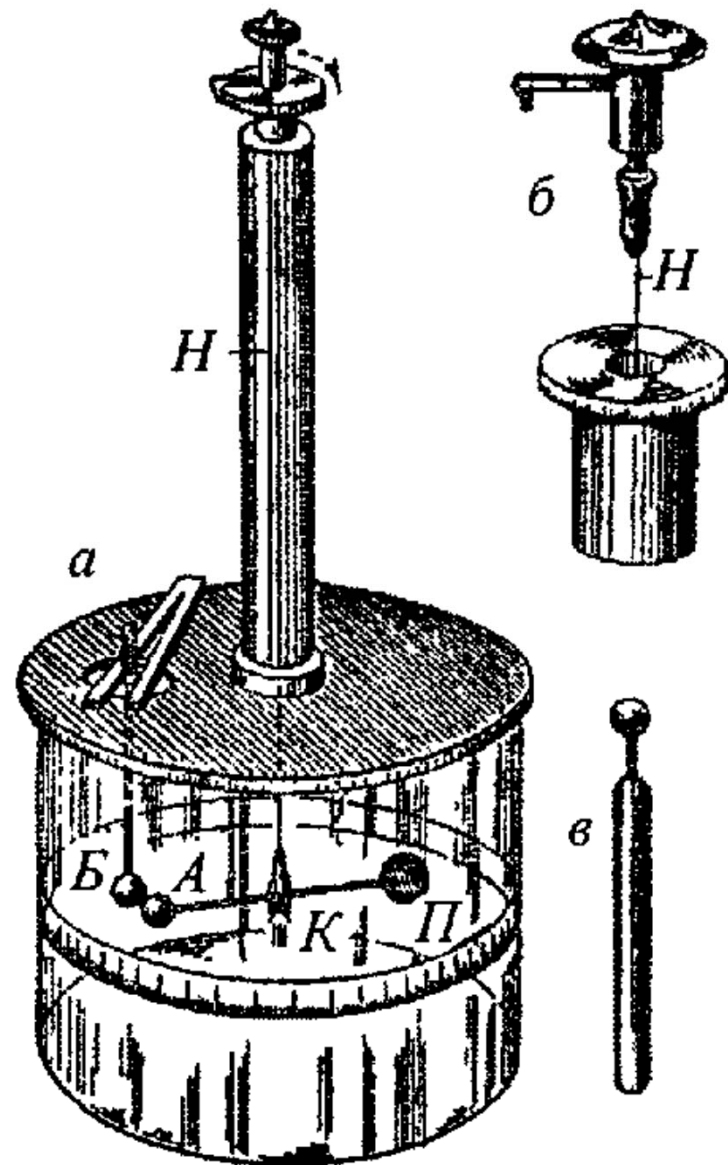
1.13.7

# **Электростатика. Закон Кулона.**

- Электростатика – раздел электромагнетизма, в котором изучается взаимодействие неподвижных зарядов.
- Закон взаимодействия неподвижных заряженных тел был открыт в 1785 году Кулоном с помощью изобретенных им крутильных весов



**Шарль Огюстéн де Кулóн** ([фр.](#) *Charles-Augustin de Coulomb*, [14 июня 1736](#)—[23 августа 1806](#)) — французский военный [инженер](#) и учёный-[физик](#), исследователь электромагнитных и механических явлений; член Парижской Академии наук. Его именем названы [единица электрического заряда](#) и закон [взаимодействия электрических зарядов](#).



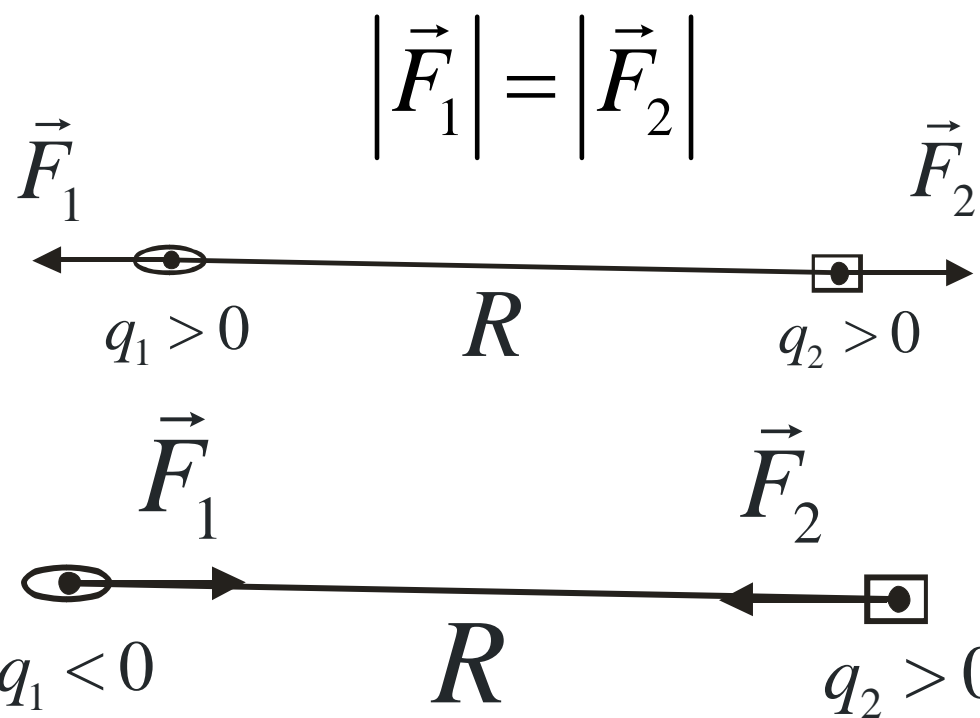
Крутильные весы Кулона

# Закон Кулона.

- Величина силы взаимодействия между двумя неподвижными точечными зарядами, находящимися в вакууме, пропорциональна зарядам и обратно пропорциональна квадрату расстояния между ними

$$|\vec{F}| \sim \frac{|q_1||q_2|}{R^2} \quad |\vec{F}| = k \frac{|q_1||q_2|}{R^2}$$

- Силы взаимодействия между точечными зарядами направлены вдоль линии, соединяющей эти заряды, и по модулю равны. Одного знака заряды отталкиваются, разного знака – притягиваются.



# Единица заряда

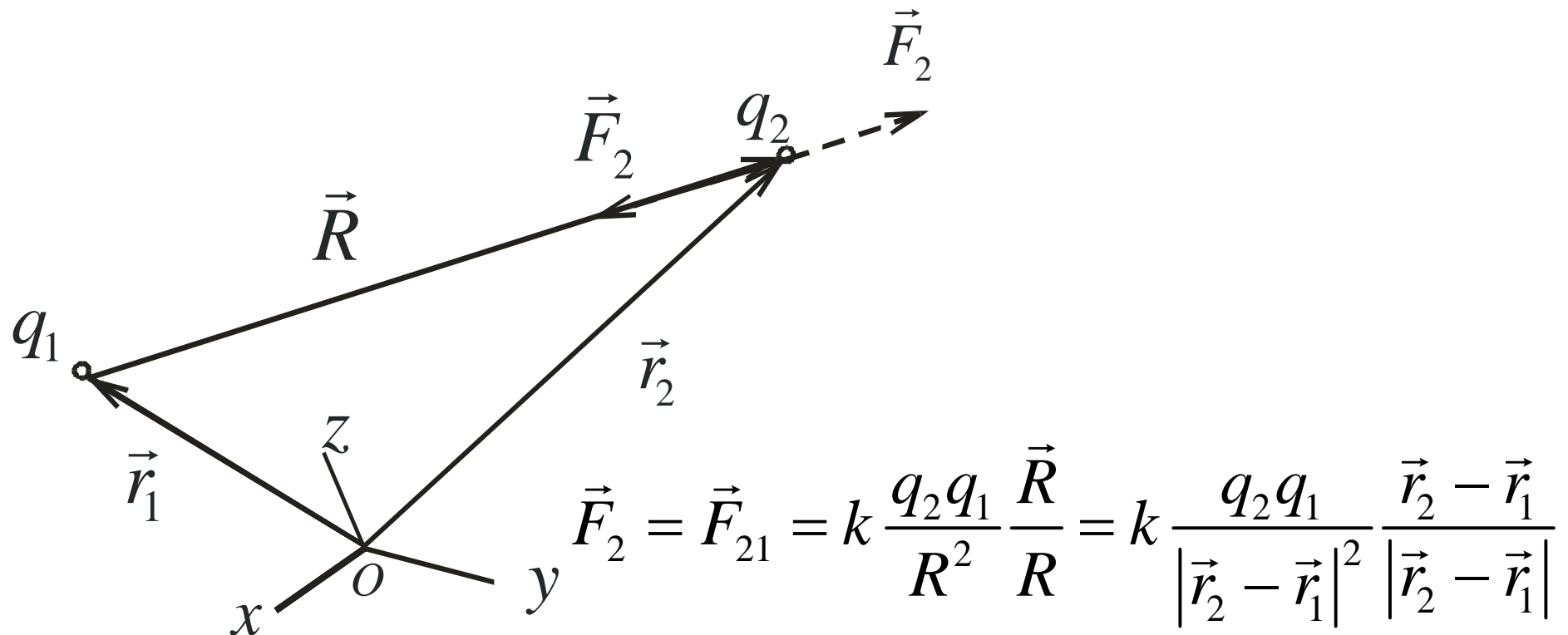
$$1\text{Кл} = 1\text{А} \cdot 1\text{с} = 1\text{А} \cdot \text{с} \quad 1\text{Кл} = 0,1\text{С} \cdot 1\text{СГСЭ}_q$$

$$k = C^2 \cdot 10^{-11} \frac{\text{Н} \cdot \text{м}^2}{\text{Кл}^2} \approx 9 \cdot 10^9 \frac{\text{Н} \cdot \text{м}^2}{\text{Кл}^2}$$

$$\epsilon_0 = \frac{1}{4\pi k} = 8,85 \cdot 10^{-12} \frac{\Phi}{\text{м}}$$

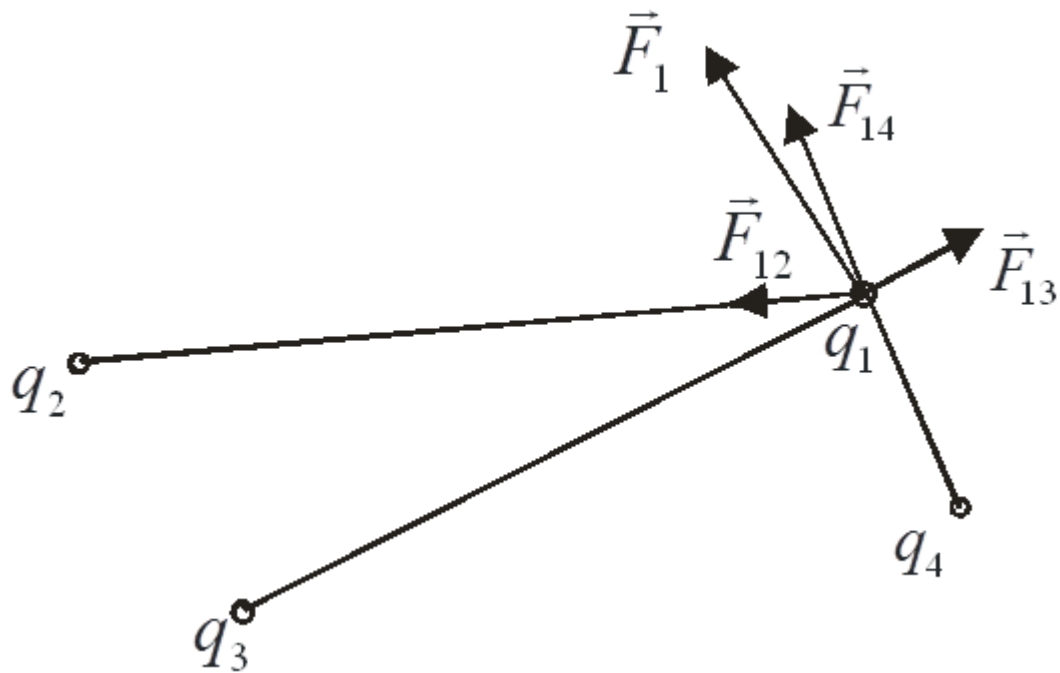
$$|\vec{F}| = \frac{1}{4\pi\epsilon_0} \frac{|q_1||q_2|}{R^2}$$

# Векторная форма записи закона Кулона



$$\vec{F}_1 = \vec{F}_{12} = k \frac{q_1 q_2}{|\vec{r}_1 - \vec{r}_2|^2} \frac{\vec{r}_1 - \vec{r}_2}{|\vec{r}_1 - \vec{r}_2|} = -k \frac{q_1 q_2}{R^2} \frac{\vec{R}}{R}$$

# Принцип суперпозиции для сил взаимодействия точечных зарядов.

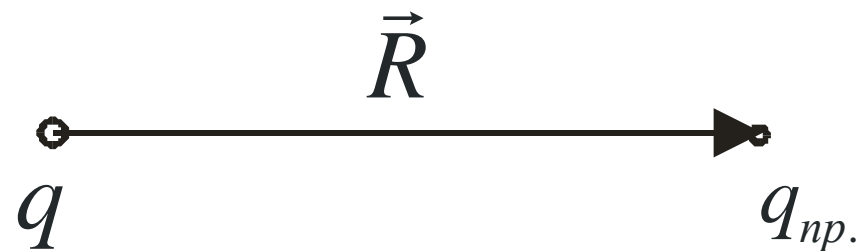


Из опыта следует

$$\vec{F}_1 = \vec{F}_{12} + \vec{F}_{13} + \vec{F}_{14} = \sum_i \vec{F}_{1i}$$

# Полевая трактовка закона Кулона. Электрическое поле.

- Введем величину вектора напряженности электрического поля в точке нахождения пробного заряда по формуле



$$\vec{E} = \frac{\vec{F}_{q_{np.}}}{q_{np.}}$$

$$\vec{F} = q\vec{E}$$

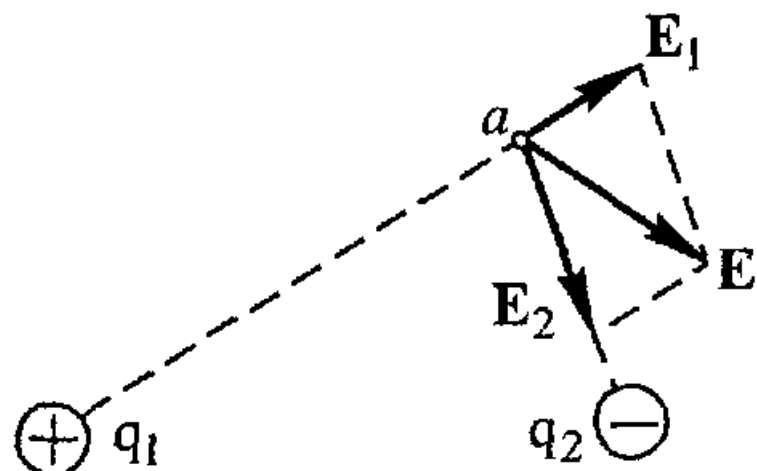
# Напряженность электрического поля точечного заряда.

$$\vec{E}_q = \frac{\vec{F}_{qq_{np}}}{q_{np}} = \frac{1}{q_{np}} \frac{qq_{np}}{4\pi\epsilon_0} \frac{\vec{R}}{R^3} = \frac{q}{4\pi\epsilon_0} \frac{\vec{R}}{R^3}$$

Модуль вектора напряженности равен

$$|\vec{E}_q| = \frac{1}{4\pi\epsilon_0} \frac{|q|}{R^2}$$

# Полевая трактовка принципа суперпозиции. Принцип суперпозиции электрических полей.

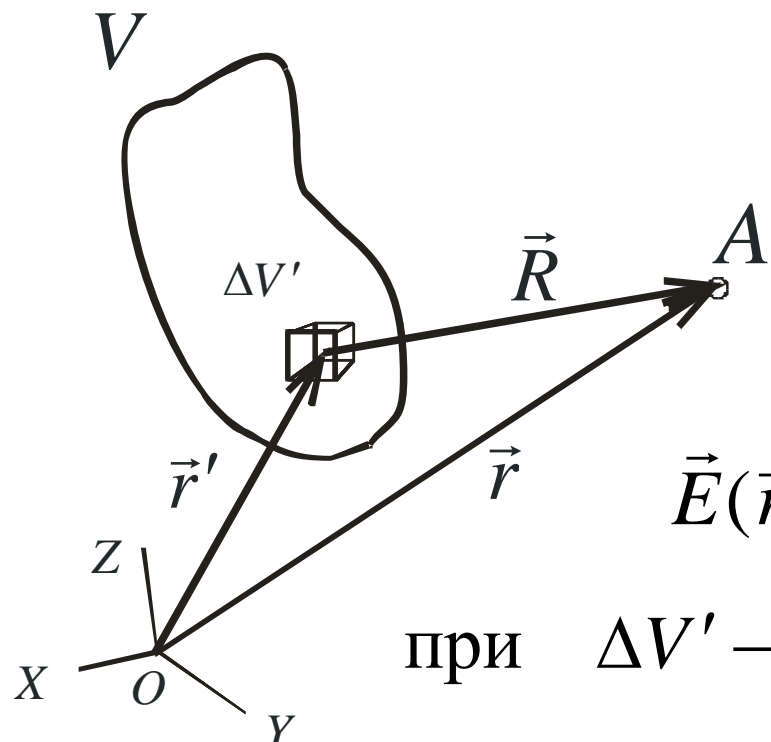


$$\vec{E}(\vec{r}) = \sum_i \vec{E}_i(\vec{r})$$

# Объемная, поверхностная и линейная плотности электрического заряда

$$\rho = \lim_{\Delta V \rightarrow 0} \frac{\Delta q}{\Delta V}, \quad \sigma = \lim_{\Delta S \rightarrow 0} \frac{\Delta q}{\Delta S}, \quad \gamma = \lim_{\Delta l \rightarrow 0} \frac{\Delta q}{\Delta l}$$

# Напряженность электрического поля, создаваемая непрерывным распределением зарядов



где  $\vec{R} = \vec{r} - \vec{r}'$ ,  $\Delta q = \rho(\vec{r}')\Delta V'$ .

$$\Delta \vec{E}_{\Delta q} = \frac{1}{4\pi\epsilon_0} \frac{\Delta q \cdot \vec{R}}{R^3} = \frac{\rho(\vec{r}')\Delta V'}{4\pi\epsilon_0} \frac{(\vec{r} - \vec{r}')}{{|\vec{r} - \vec{r}'|}^3}$$

$$\vec{E}(\vec{r}) = \sum_{\Delta q} \Delta \vec{E}_{\Delta q} = \sum_{\Delta V'} \frac{\rho(\vec{r}')}{4\pi\epsilon_0} \frac{(\vec{r} - \vec{r}')}{| \vec{r} - \vec{r}' |^3} \Delta V'$$

при  $\Delta V' \rightarrow 0$

$$\vec{E}(\vec{r}) = \frac{1}{4\pi\epsilon_0} \int_V \frac{(\vec{r} - \vec{r}')}{{|\vec{r} - \vec{r}'|}^3} \rho(\vec{r}') dV'$$

В случае распределения зарядов на поверхности  $S$  и на участке линии  $L$  для напряженности электрического поля имеем

$$\vec{E}(\vec{r}) = \frac{1}{4\pi\epsilon_0} \int_S \frac{(\vec{r} - \vec{r}')}{|\vec{r} - \vec{r}'|^3} \sigma(\vec{r}') dS'$$

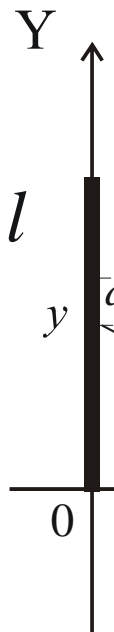
$$\vec{E}(\vec{r}) = \frac{1}{4\pi\epsilon_0} \int_L \frac{(\vec{r} - \vec{r}')}{|\vec{r} - \vec{r}'|^3} \gamma(\vec{r}') dl'$$

# Лекция 2.

- Поток вектора напряженности электрического поля. Электростатическая теорема Остроградского–Гaussa, её представление в дифференциальной форме.
- Потенциальность электростатического поля и её представление в дифференциальной форме. Потенциал. Нормировка потенциала. Работа сил электростатического поля. Циркуляция вектора напряженности электростатического поля.

# Пример решения задач электростатики

- Тонкая палочка длины  $l$  равномерно заряжена с линейной зарядовой плотностью  $\gamma$ . Палочка ориентирована вдоль оси  $Y$ , как показано на рисунке. Найти напряженность электрического поля на оси абсцисс в произвольной точке  $x$ .



Решение

$$dE_x = \frac{1}{4\pi\epsilon_0} \frac{\gamma dy}{x^2 + y^2} \cos\alpha$$

, учитывая, что

$$\gamma = \frac{q}{l}, \quad \cos\alpha = \frac{x}{(x^2 + y^2)^{1/2}}$$

имеем

$$E_x = \int dE_x = \frac{\gamma}{4\pi\epsilon_0} x \int_0^l \frac{dy}{(x^2 + y^2)^{3/2}} =$$

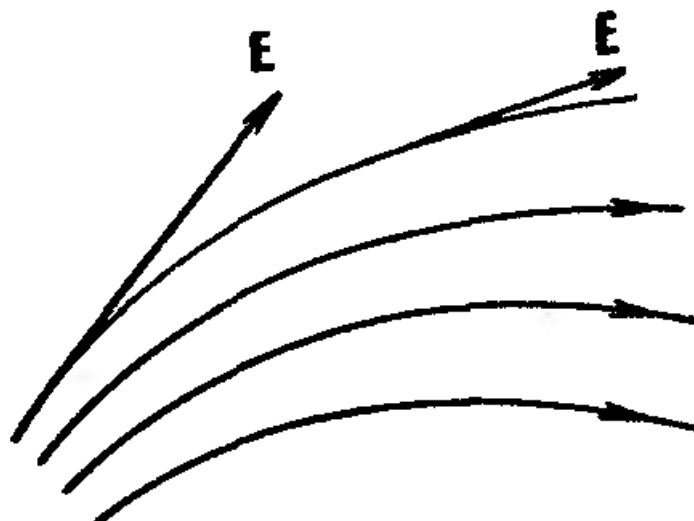
$$\left. \frac{\gamma}{4\pi\epsilon_0} x \frac{1}{x^2} \frac{y}{(x^2 + y^2)^{1/2}} \right|_{y=0}^{y=l} = \frac{\gamma}{4\pi\epsilon_0} \frac{1}{x} \frac{l}{(x^2 + l^2)^{1/2}}$$

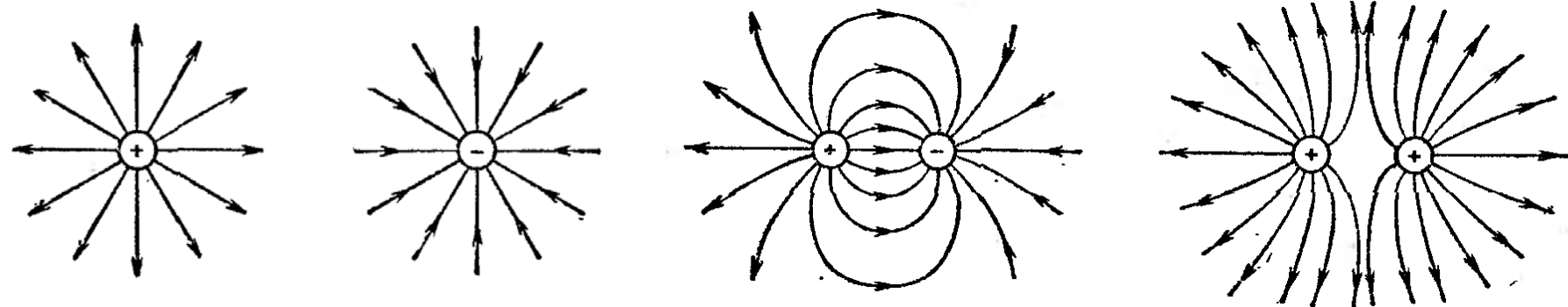
Аналогично для y компоненты получим

$$E_y = \int dE_y = \frac{\gamma}{4\pi\epsilon_0} \int_0^l \frac{y}{(x^2 + y^2)^{1/2}} \frac{dy}{x^2 + y^2} = \frac{\gamma}{4\pi\epsilon_0} \left( \frac{1}{(l^2 + x^2)^{1/2}} - \frac{1}{x} \right)$$

# Линии напряженности электрического поля.

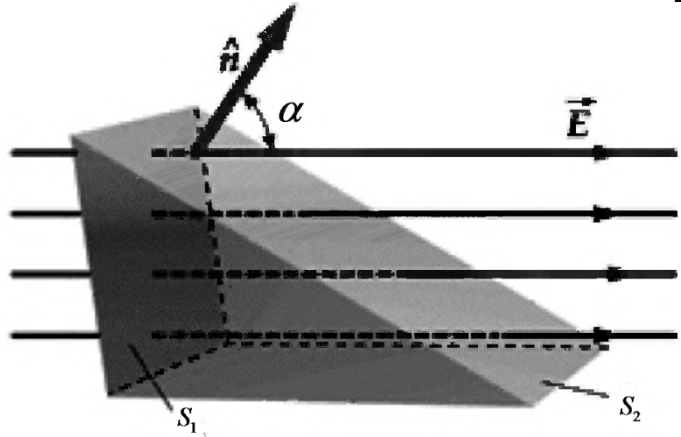
- Это линии, касательные к которым в каждой точке совпадают с направлением вектора напряженности в этой же точке.





2.5

# Поток вектора напряженности электрического поля.



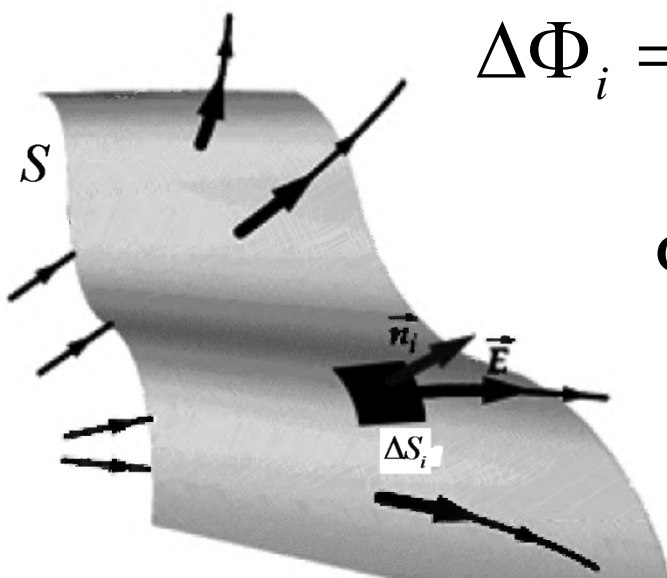
$$\Phi = \vec{E} \cdot \vec{n} S = E \cdot S \cdot \cos \alpha = E_n S,$$

$$\Phi_1 = \Phi_2,$$

$\Phi \sim N$  - количество линий  $\vec{E}$ ,

$$N_1 = N_2.$$

$$S_2 = S_1 \cos \alpha;$$

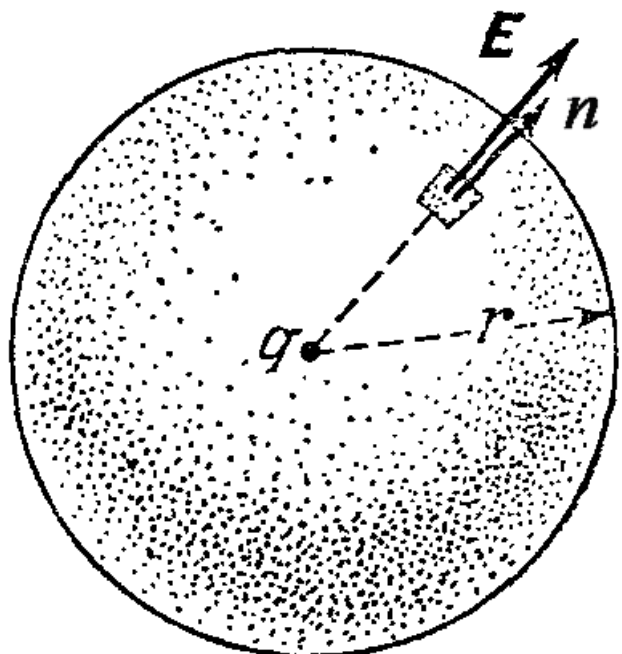


$$\Delta \Phi_i = |\vec{E}_i| \Delta S_i \cos \alpha_i = \vec{E}_i \cdot \underbrace{\Delta S_i \vec{n}_i}_{\Delta \vec{S}_i} = \vec{E}_i \Delta \vec{S}_i$$

$$\Phi_S = \sum_i \Delta \Phi_i = \sum_i \vec{E}_i \Delta \vec{S}_i;$$

$$\text{При } i \rightarrow \infty \quad \Phi_S = \int_S \vec{E} d\vec{S}.$$

**Поток вектора напряженности электрического поля  
через сферическую поверхность, в центре которой  
расположен точечный заряд  $q$ .**



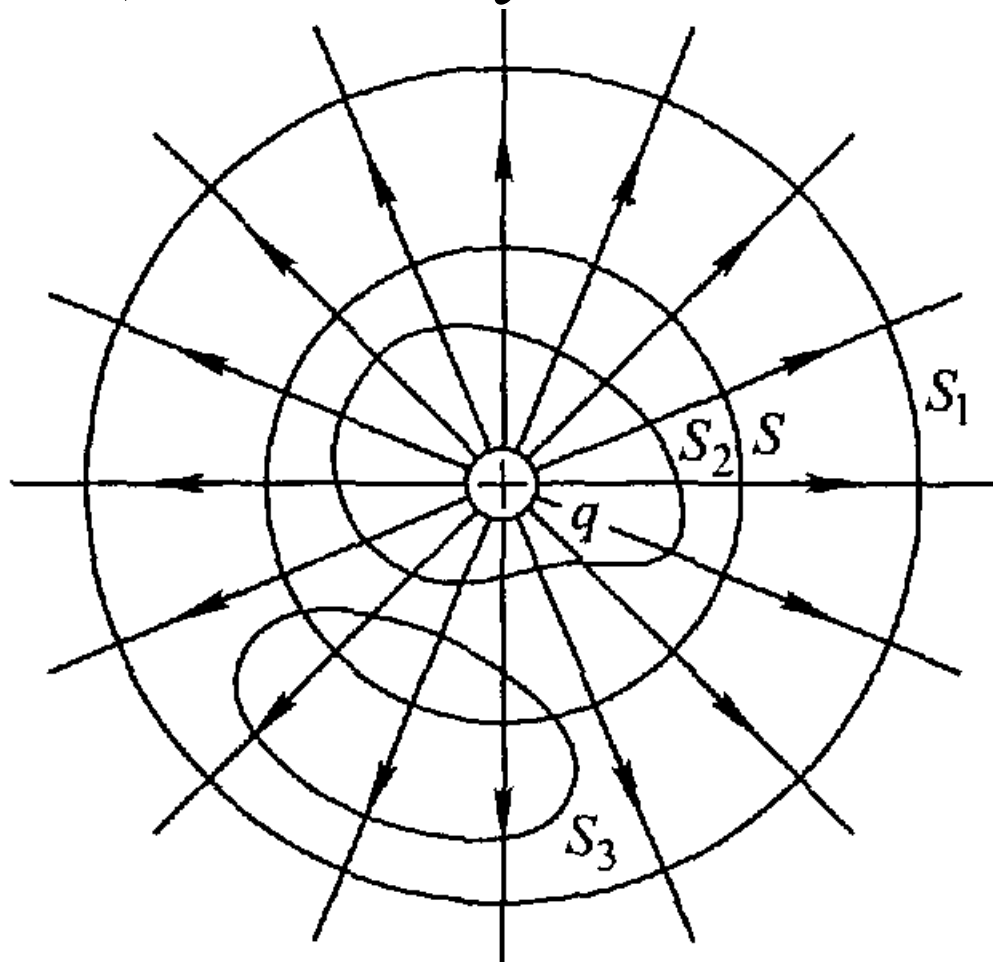
$$\begin{aligned}\Phi &= \oint_{S=4\pi r^2} \vec{E} d\vec{S} = \sum_i E \cdot \Delta S_i \cdot 1 = \\ &= \frac{1}{4\pi\epsilon_0} \frac{q}{r^2} \cdot 4\pi r^2 = \frac{q}{\epsilon_0}.\end{aligned}$$

# Электростатическая теорема Остроградского–Гаусса

$$\int_{S_V} \vec{E} d\vec{S} = \frac{Q_V}{\epsilon_0}$$

# Доказательство теоремы Остроградского–Гаусса в общем случае.

а) используя свойства силовых линий

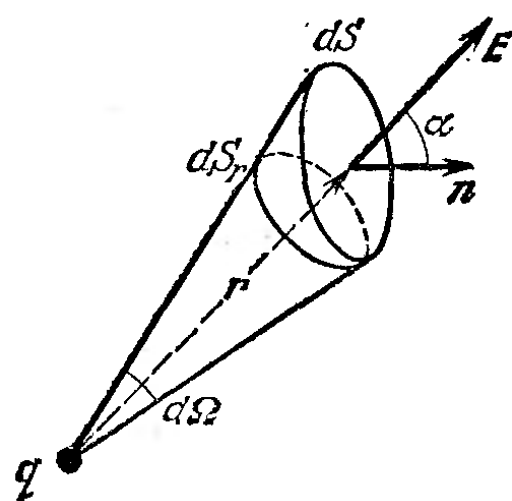
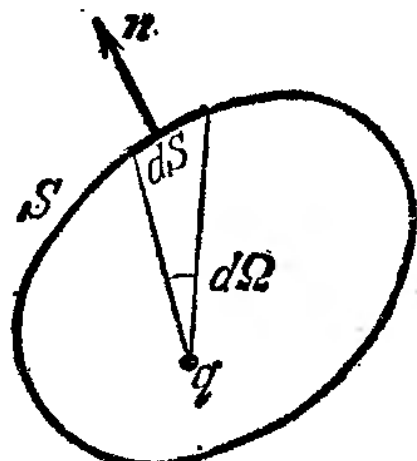


$$\Phi \sim N_S$$

$$N_S = N_{S_1} = N_{S_2},$$

$$N_{S_3} = 0.$$

б) непосредственное вычисление потока  $\vec{E}$ .

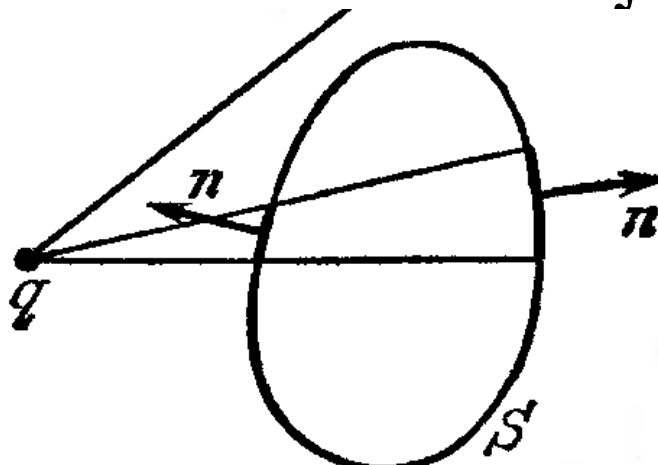
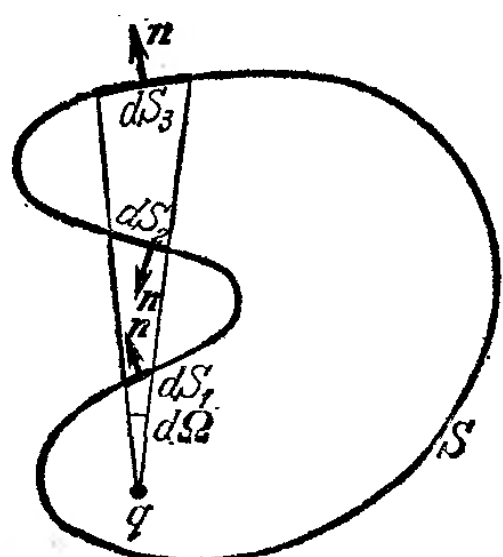


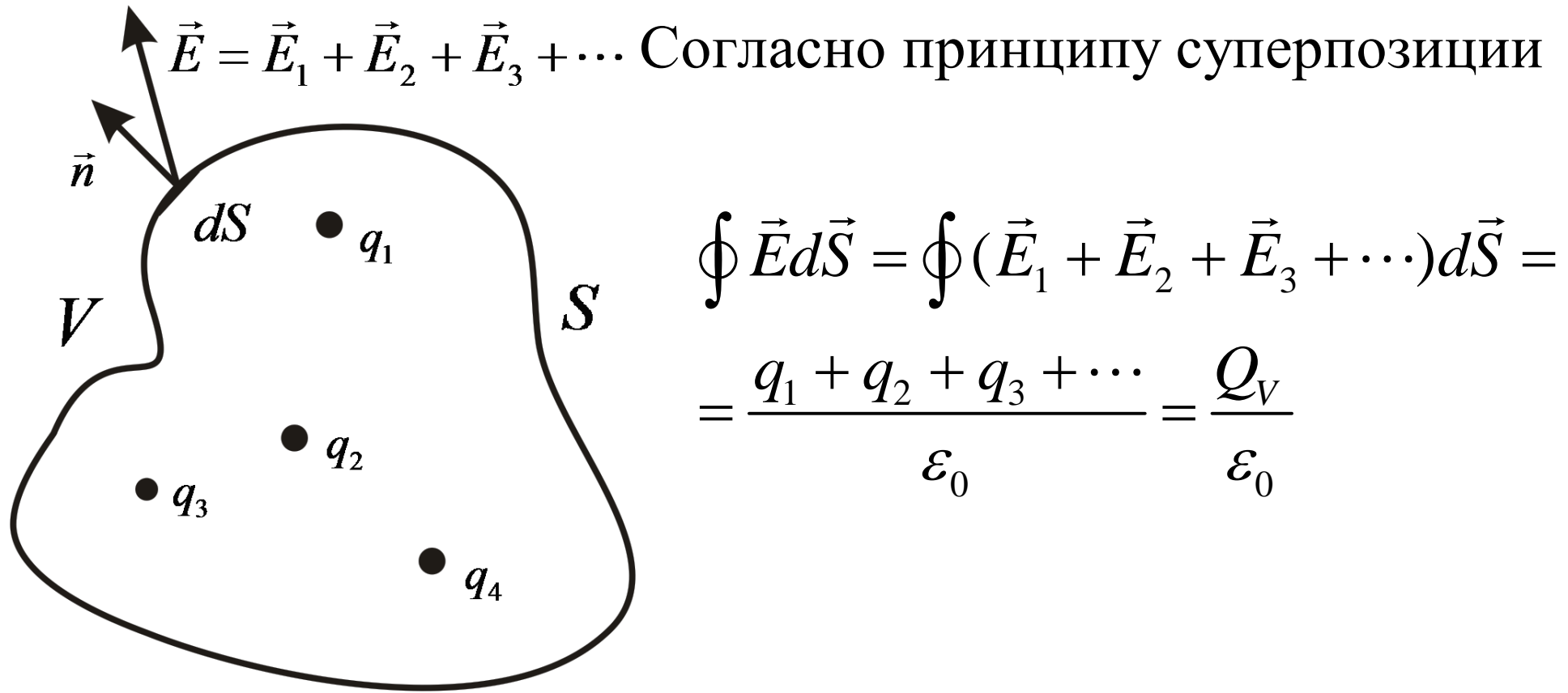
$$d\Phi = EdS \cos \alpha =$$

$$EdS_r = \frac{q}{4\pi\epsilon_0} \frac{dS_r}{r^2} =$$

$$= \frac{q}{4\pi\epsilon_0} d\Omega.$$

$$\oint d\Phi = \frac{q}{4\pi\epsilon_0} 4\pi = \frac{q}{\epsilon_0}.$$





$$\oint \vec{E} d\vec{S} = \oint (\vec{E}_1 + \vec{E}_2 + \vec{E}_3 + \dots) d\vec{S} =$$

$$= \frac{q_1 + q_2 + q_3 + \dots}{\epsilon_0} = \frac{Q_V}{\epsilon_0}$$

Для непрерывного распределения зарядов имеем

$$\oint_{S_V} \vec{E} d\vec{S} = \frac{Q_V}{\epsilon_0} = \frac{\int_V \rho dV}{\epsilon_0}.$$

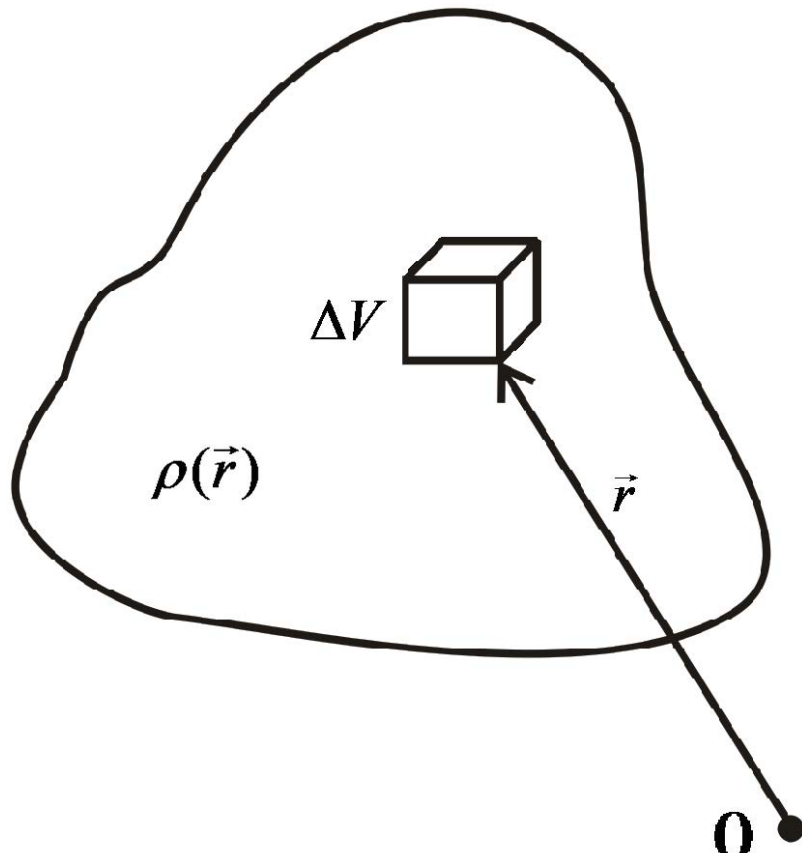
# Примеры использования теоремы Остроградского–Гаусса.

- Теорема Ирншоу.

Всякая равновесная конфигурация покоящихся точечных зарядов неустойчива, если на них действуют только электрические силы.

- Поле однородно заряженной сферы.
- Поле однородно заряженной бесконечной плоскости.
- Поле однородно заряженного бесконечного цилиндра.

## Дифференциальная форма электростатической теоремы Остроградского–Гаусса



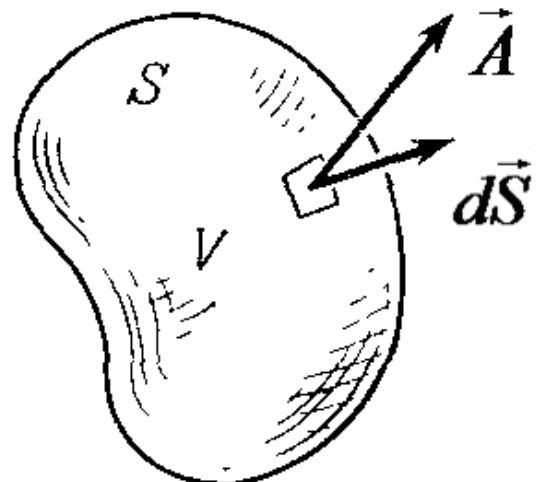
$$\oint_{S_{\Delta V}} \vec{E} d\vec{S} = \frac{\rho \Delta V}{\epsilon_0};$$

$$\lim_{\substack{\Delta V \rightarrow 0 \\ \text{div } \vec{E}}} \underbrace{\frac{S_{\Delta V}}{\Delta V}}_{\text{div } \vec{E}} = \frac{\rho}{\epsilon_0}; \quad \text{div } \vec{E} = \frac{\rho}{\epsilon_0}.$$

В декартовой системе координат

$$\text{div } \vec{E} = \frac{\partial E_x}{\partial x} + \frac{\partial E_y}{\partial y} + \frac{\partial E_z}{\partial z}$$

# Формула Гаусса-Остроградского.



$$\oint_{S_V} \vec{A} d\vec{S} = \int_V \operatorname{div} \vec{A} dV$$

С помощью этой формулы несложно из интегральной электростатической теоремы Остр.-Гаусса получить ее дифференциальную формулу и наоборот.

$$\oint_{S_V} \vec{E} d\vec{S} = \int_V \operatorname{div} \vec{E} dV = \frac{\int_V \rho dV}{\epsilon_0}; \Rightarrow \operatorname{div} \vec{E} = \frac{\rho}{\epsilon_0}.$$

## Потенциальность электростатического поля. Потенциал.

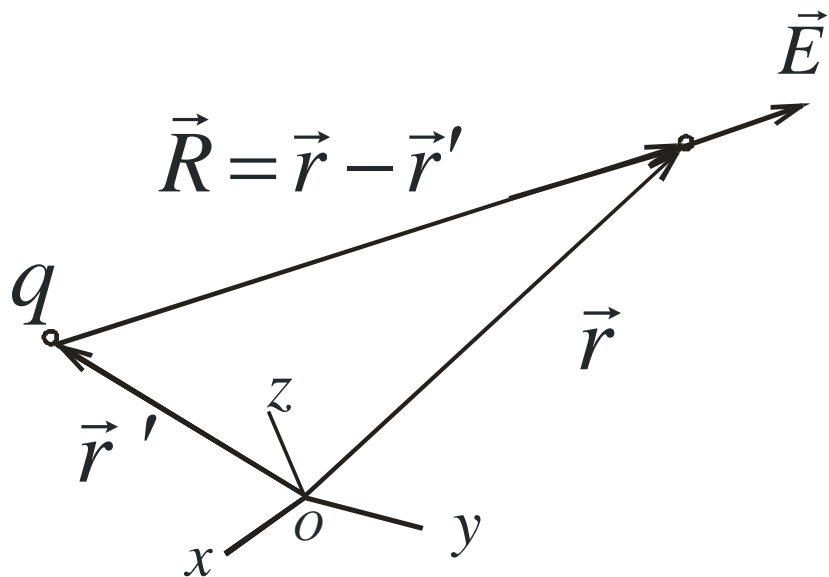
$$\vec{E} = -\nabla \varphi,$$

где  $\varphi = \varphi(x, y, z)$  – потенциал

**Замечание.** Потенциал определен с точностью до константы, то есть  $\varphi' = \varphi + C$  тоже потенциал. Для однозначности потенциал нормируют, задавая ему определенное значение в некоторой точке пространства. Обычно выбирают нулевое значение потенциала на бесконечности или поверхности Земли.

# Потенциал электрического поля точечного заряда.

$$\vec{E} = k \frac{q}{R^2} \frac{\vec{R}}{R} = k \frac{q}{|\vec{r} - \vec{r}'|^2} \frac{\vec{r} - \vec{r}'}{|\vec{r} - \vec{r}'|} = -\nabla_{\vec{r}} \left( k \frac{q}{|\vec{r} - \vec{r}'|} + C \right),$$



$$\varphi = k \underbrace{\frac{q}{|\vec{r} - \vec{r}'|}}_R + C, \text{ где } k = \frac{1}{4\pi\epsilon_0}.$$

Если  $\varphi(\infty) = 0$ , то  $C = 0$ ,

$$\varphi = k \frac{q}{R}.$$

2.16

## Потенциал поля системы зарядов.

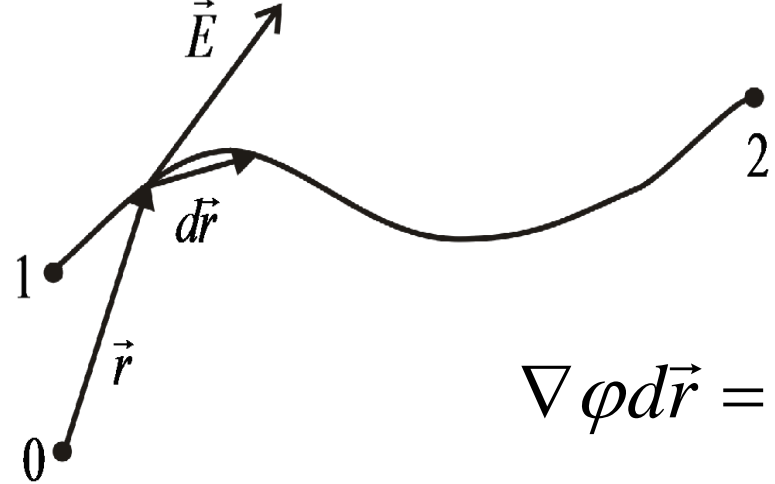
$$\vec{E}(\vec{r}) = \sum_i \vec{E}_i(\vec{r}) = -\sum_i \nabla \varphi_i(\vec{r}) = -\nabla \left( \sum_i \varphi_i(\vec{r}) \right),$$

$$\varphi(\vec{r}) = \sum_i \varphi_i(\vec{r}) = \sum_i \frac{1}{4\pi\epsilon_0} \frac{q_i}{|\vec{r} - \vec{r}_i|}.$$

В случае непрерывного распределения зарядов  $q_i = \rho(\vec{r}_i)\Delta V_i$

$$\varphi(\vec{r}) = \sum_i \frac{1}{4\pi\epsilon_0} \frac{\rho(\vec{r}_i)\Delta V_i}{|\vec{r} - \vec{r}_i|} = \int_V \frac{1}{4\pi\epsilon_0} \frac{\rho(\vec{r}')_i}{|\vec{r} - \vec{r}'|} \underbrace{dV'}_{dx'dy'dz'}.$$

# Работа сил электростатического поля.



$$A_{12} = \int_1^2 q \vec{E} d\vec{r} = -q \int_1^2 \nabla \varphi d\vec{r},$$

$$\nabla \varphi d\vec{r} = \frac{\partial \varphi}{\partial x} dx + \frac{\partial \varphi}{\partial y} dy + \frac{\partial \varphi}{\partial z} dz = d\varphi(x, y, z),$$

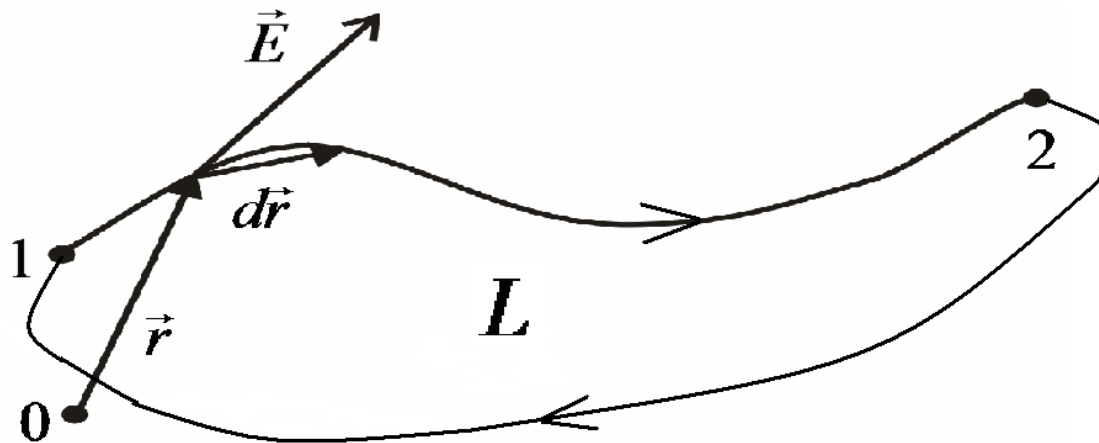
$$A_{12} = -q \int_1^2 \nabla \varphi d\vec{r} = -q \int_1^2 d\varphi = \underbrace{q\varphi_1}_{\Pi_1} - \underbrace{q\varphi_2}_{\Pi_2}.$$

$\Pi = q\varphi$  – потенциальная энергия заряда в поле  $\vec{E}$ .

Единицы измерения  $\varphi$  и  $E$ .

$$\varphi = \frac{\Pi}{q} = \frac{\text{Дж}}{\text{Кл}} = B; \quad \vec{E} = -\nabla \varphi; \Rightarrow [E] = \frac{[\varphi]}{[l]} = \frac{B}{m}.$$

## Циркуляция вектора напряженности электростатического поля.



$$\oint_L \vec{E} d\vec{l} = \oint_L \vec{E} d\vec{r} = \int_1^2 \vec{E} d\vec{r} + \int_2^1 \vec{E} d\vec{r} = \\ = \varphi_1 - \varphi_2 + \varphi_2 - \varphi_1 = 0, \text{ то есть } \oint_L \vec{E} d\vec{l} = 0$$

Формула Стокса. Теорема о циркуляции,  
её представление в  
дифференциальной форме.

$$\oint_L \vec{E} d\vec{l} = \int_{S_L} \text{rot} \vec{E} \cdot d\vec{S}$$

$$\oint_L \vec{E} d\vec{l} = 0. \Rightarrow \text{rot} \vec{E} = 0.$$

# Лекция 3.

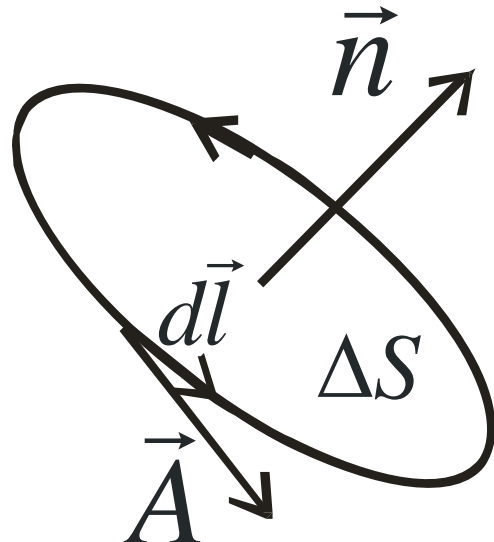
- Потенциал системы точечных зарядов и непрерывного распределения зарядов. Уравнения Лапласа и Пуассона.
- Электрический диполь. Потенциал и поле диполя.

Потенциал системы точечных зарядов и непрерывного распределения зарядов.

$$\varphi(r) = \sum_i \frac{1}{4\pi\epsilon_0} \frac{q_i}{|\vec{r} - \vec{r}_i|},$$

$$\varphi(r) = \int_V \frac{1}{4\pi\epsilon_0} \frac{\rho(r')}{|\vec{r} - \vec{r}'|} dV'.$$

# Ротор векторной функции



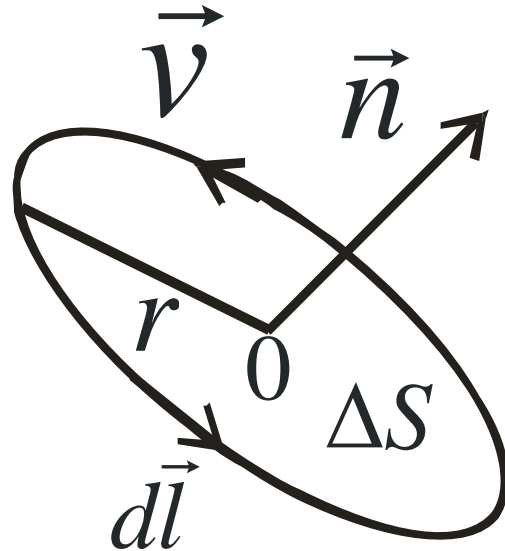
$$\oint \vec{A} d\vec{l}$$
$$\lim_{\Delta S \rightarrow 0} \frac{\frac{L}{\Delta S}}{\Delta S} = (\operatorname{rot} \vec{A} \cdot \vec{n})$$

$$\operatorname{rot} \vec{A} = \nabla \times \vec{A} = \begin{vmatrix} \vec{i} & \vec{j} & \vec{k} \\ \frac{\partial}{\partial x} & \frac{\partial}{\partial y} & \frac{\partial}{\partial z} \\ A_x & A_y & A_z \end{vmatrix} =$$

$$\left( \frac{\partial A_z}{\partial y} - \frac{\partial A_y}{\partial z} \right) \vec{i} + \left( \frac{\partial A_x}{\partial z} - \frac{\partial A_z}{\partial x} \right) \vec{j} + \left( \frac{\partial A_y}{\partial x} - \frac{\partial A_x}{\partial y} \right) \vec{k}$$

3.3

# Физический смысл ротора в рамках гидродинамической аналогии



$$\lim_{\Delta S \rightarrow 0} \frac{\oint \vec{v} d\vec{l}}{\Delta S} = \frac{v 2\pi r}{\pi r^2} = \frac{\omega r 2\pi r}{\pi r^2} = 2\omega$$

# Физический смысл ротора в электростатике

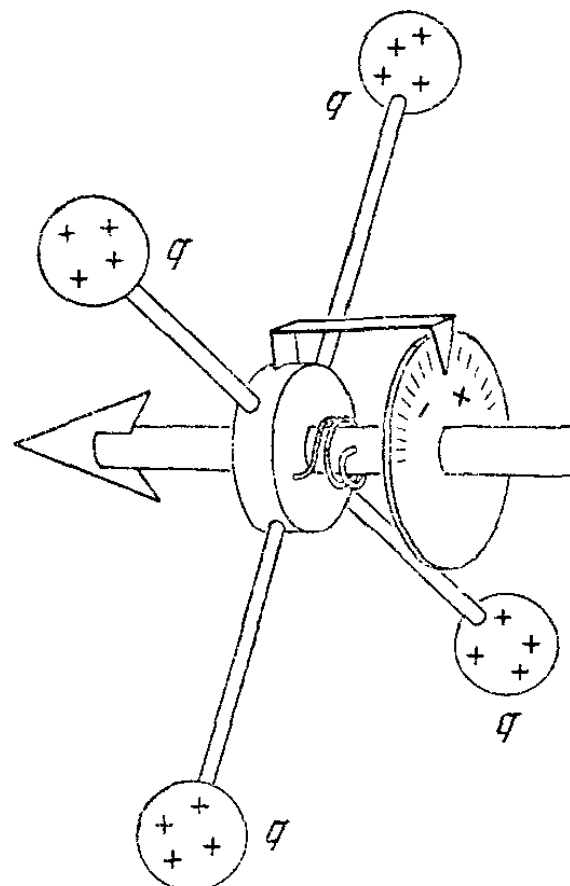


Рис. 2.30. «Ротор-метр».

3.5

Система полевых уравнений  
электростатики в вакууме в интегральной  
и дифференциальной форме.

$$\int_{S_V} \vec{E} d\vec{S} = \frac{\int_V \rho dV}{\epsilon_0}, \quad \text{div } \vec{E} = \frac{\rho}{\epsilon_0},$$
$$\oint_L \vec{E} d\vec{l} = 0. \quad \text{rot } \vec{E} = 0.$$

# Уравнения Лапласа и Пуассона.

Если  $\vec{E} = -\nabla \varphi$ , то тождественно  $\text{rot} \vec{E} = 0$ . Тогда

$$\frac{\rho}{\epsilon_0} = \text{div} \vec{E} = -\text{div} \nabla \varphi = -\Delta \varphi, \text{ где } \Delta \varphi = \frac{\partial^2 \varphi}{\partial x^2} + \frac{\partial^2 \varphi}{\partial y^2} + \frac{\partial^2 \varphi}{\partial z^2}.$$

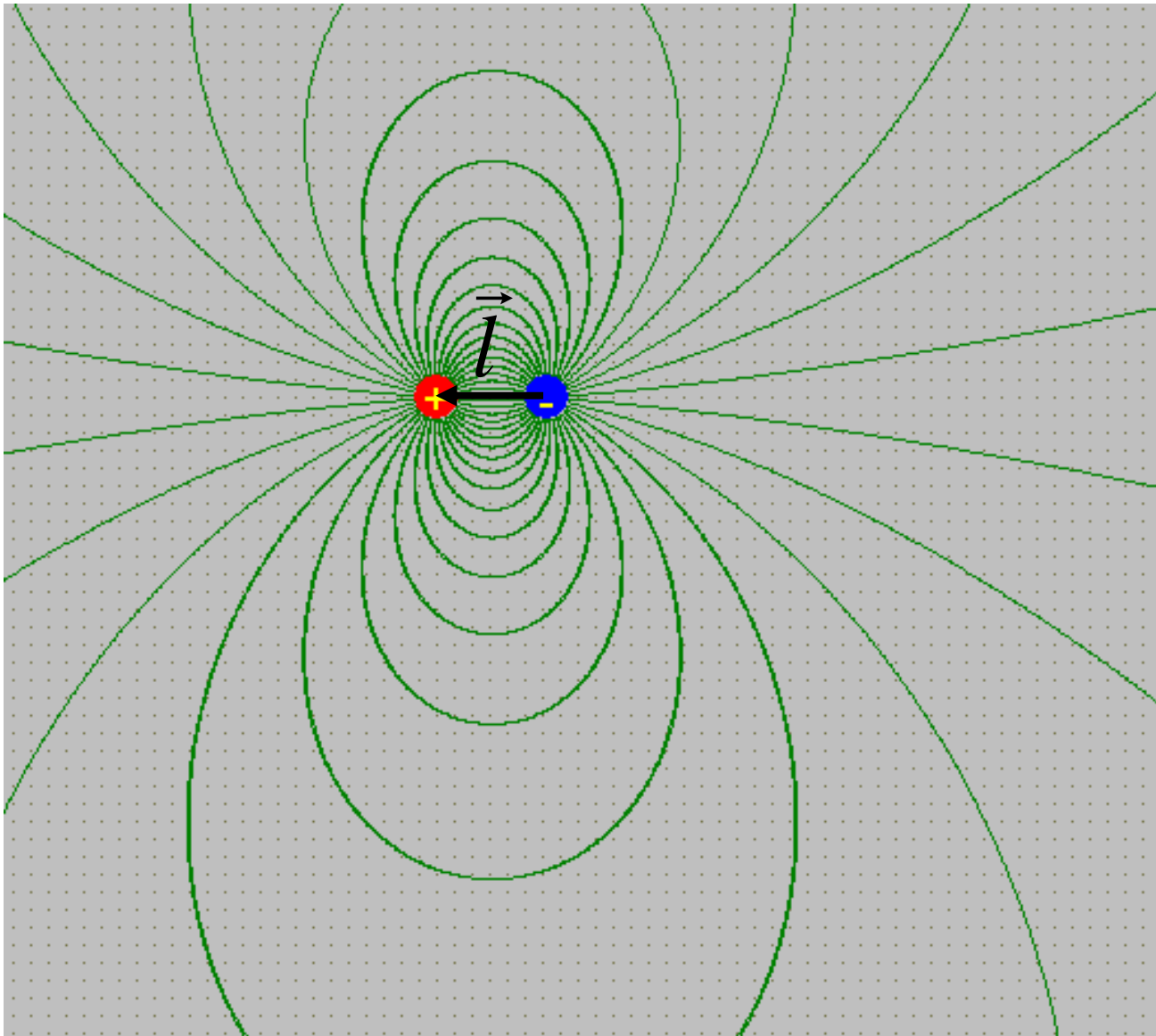
Уравнение Пуассона

$$\Delta \varphi = -\frac{\rho}{\epsilon_0},$$

Уравнение Лапласа

$$\Delta \varphi = 0.$$

# Электрический диполь.



# Потенциал диполя.

The diagram shows a horizontal line segment with two points. The left point is labeled  $+q$  and has a small circle with a cross. The right point is labeled  $-q$  and has a small open circle. A vector  $\vec{l}$  points from  $+q$  to  $-q$ . From the point  $-q$ , a vector  $\vec{R}$  extends upwards and to the right. This vector  $\vec{R}$  is the sum of  $\vec{l}$  and another vector  $\vec{r}$  from  $-q$  to the tip of  $\vec{R}$ , labeled  $\vec{l} + \vec{R}$ .

$$\varphi(\vec{R}) = \frac{1}{4\pi\epsilon_0} \left( \frac{q}{R} - \frac{q}{|\vec{R} + \vec{l}|} \right), \quad \text{где } q > 0.$$

$$\frac{1}{|\vec{R} + \vec{l}|} = \frac{1}{[(\vec{R} + \vec{l})^2]^{1/2}} = \frac{1}{(R^2 + 2\vec{R}\vec{l} + l^2)^{1/2}} =$$

$$= \frac{1}{R \left( 1 + 2\frac{\vec{R}\vec{l}}{R^2} + \frac{l^2}{R^2} \right)^{1/2}} \approx \frac{1}{R} - \frac{\vec{l}\vec{R}}{R^3}; \quad \varphi(\vec{R}) = \frac{1}{4\pi\epsilon_0} \frac{\vec{p}\vec{R}}{R^3}, \quad \text{где } \vec{p} = q\vec{l}.$$

# Поле диполя

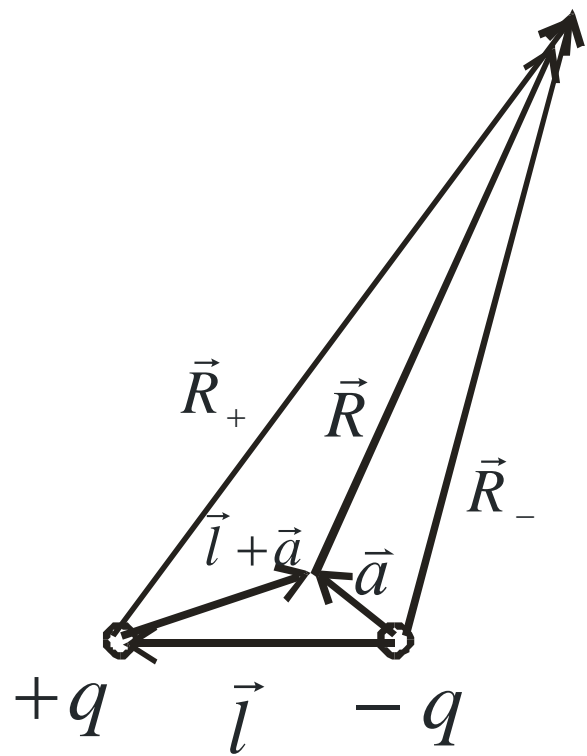
$$\vec{E} = -\nabla \varphi, \quad E_x = -\frac{\partial}{\partial x} \varphi = -\frac{\partial}{\partial x} k \frac{\vec{p} \vec{R}}{R^3} =$$

$$= -\frac{\partial}{\partial x} k \frac{p_x x + p_y y + p_z z}{(x^2 + y^2 + z^2)^{3/2}} = -k(\vec{p} \vec{R}) \left( -\frac{3}{2} \right) \frac{2x}{R^5} - k \frac{p_x}{R^3} =$$

$$= k \left( \frac{3(\vec{p} \vec{R})x}{R^5} - \frac{p_x}{R^3} \right),$$

$$\vec{E} = \frac{1}{4\pi\epsilon_0} \left( \frac{3(\vec{p} \vec{R})\vec{R}}{R^5} - \frac{\vec{p}}{R^3} \right).$$

# Потенциал и поле диполя(общий случай).



$$\vec{R}_+ = \vec{l} + \vec{a} + \vec{R}$$

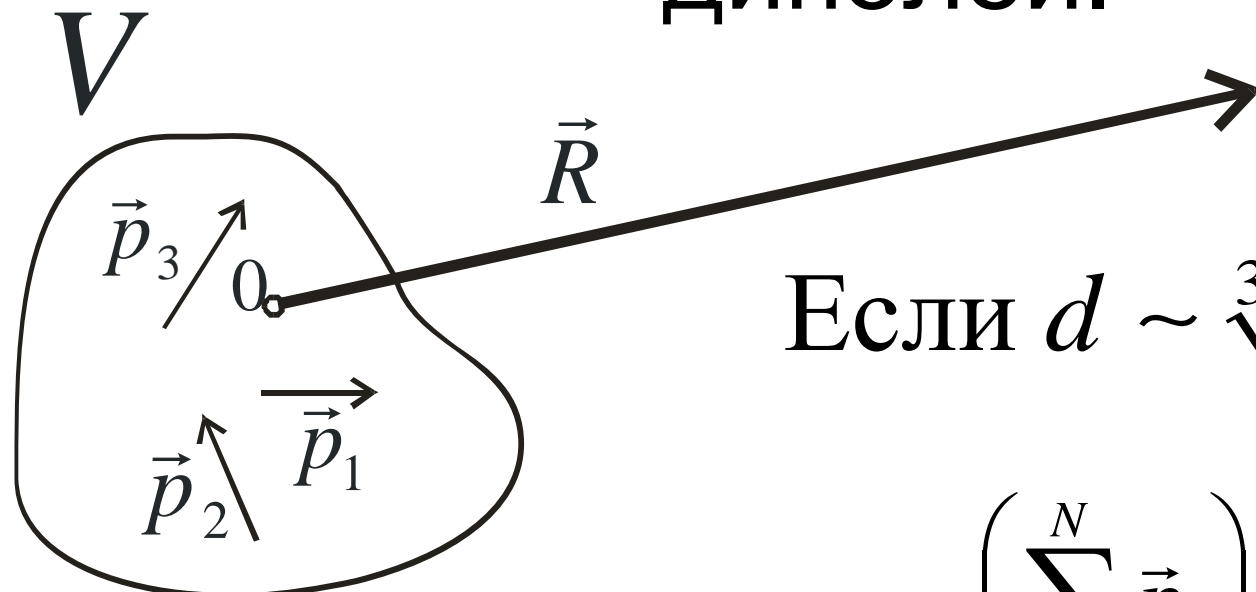
$$\vec{R}_- = \vec{a} + \vec{R}$$

Если  $\vec{l}$  и  $\vec{a} \ll \vec{R}$ ,  
то потенциал и поле будут равны

$$\varphi(\vec{R}) = \frac{1}{4\pi\epsilon_0} \frac{\vec{p}\vec{R}}{R^3}, \text{ где } \vec{p} = q\vec{l}.$$

$$\vec{E} = \frac{1}{4\pi\epsilon_0} \left( \frac{3(\vec{p}\vec{R})\vec{R}}{R^5} - \frac{\vec{p}}{R^3} \right).$$

# Потенциал и поле системы диполей.



Если  $d \sim \sqrt[3]{V} \ll R$ , то

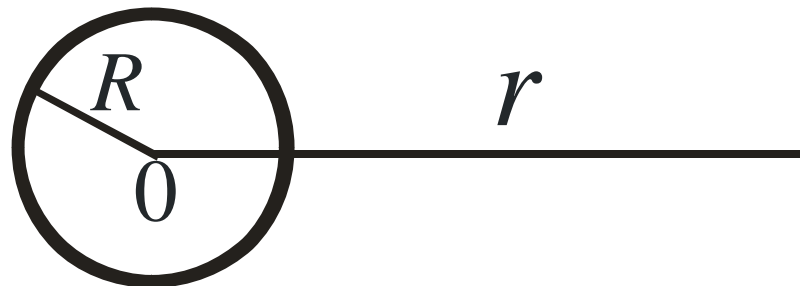
$$\varphi_d = \sum_{i=1}^N \varphi_d^i = \sum_{i=1}^N k \frac{\vec{p}_i \vec{R}}{R^3} = k \frac{\left( \sum_i^N \vec{p}_i \right) \vec{R}}{R^3} = k \frac{\vec{P} \vec{R}}{R^3},$$

$$\text{где } \vec{P} = \sum_i^N \vec{p}_i.$$

$$\vec{E} = \frac{1}{4\pi\epsilon_0} \left( \frac{3(\vec{P}\vec{R})\vec{R}}{R^5} - \frac{\vec{P}}{R^3} \right). \quad 3.12$$

# Пример решения задач электростатики с помощью уравнений Пуассона и Лапласа.

- Определить потенциал однородно заряженного шара, если радиус шара  $R$ , а его плотность заряда  $\rho$ .



$$\Delta\varphi = \frac{1}{r^2} \frac{\partial}{\partial r} \left( r^2 \frac{\partial\varphi}{\partial r} \right)$$

$$\text{При } r > R, \quad \Delta\varphi = \frac{1}{r^2} \frac{\partial}{\partial r} \left( r^2 \frac{\partial\varphi}{\partial r} \right) = 0.$$

Общее решение этого уравнения равно

$$\varphi = -\frac{C_1}{r} + C_2.$$

## Границные условия

1) Нормировка потенциала. Если  $r \rightarrow \infty$ , то  $\varphi \rightarrow 0$ .

Отсюда  $C_2 = 0$ .

2) Условие точечности заряда. Если  $r \gg R$ , то

$$\varphi = \frac{1}{4\pi\epsilon_0} \frac{q}{r}. \text{ Отсюда } C_1 = -\frac{q}{4\pi\epsilon_0}.$$

$$\text{При } r \leq R, \quad \Delta\varphi = \frac{1}{r^2} \frac{\partial}{\partial r} \left( r^2 \frac{\partial\varphi}{\partial r} \right) = -\frac{\rho}{\epsilon_0}.$$

Общее решение этого уравнения равно<sub>3.14</sub>

$$\varphi = -\frac{\rho r^2}{6\epsilon_0} - \frac{C_3}{r} + C_4$$

## Границные условия

- 1) Если  $r \rightarrow 0$ , то  $\varphi$  - ограничено. Отсюда  $C_3 = 0$ .
- 2) Условие непрерывности потенциала

$$\varphi(R - 0) = \varphi(R + 0).$$

$$-\frac{\rho R^2}{6\epsilon_0} + C_4 = \frac{1}{4\pi\epsilon_0} \frac{q}{R} = \frac{1}{4\pi\epsilon_0} \frac{\frac{4}{3}\pi R^3 \rho}{R} = \frac{R^2 \rho}{3\epsilon_0}.$$

$$\text{Найдем } C_4 = \frac{\rho R^2}{2\epsilon_0} \text{ и } \varphi = -\frac{\rho R^2}{6\epsilon_0} + \frac{\rho R^2}{2\epsilon_0}.$$

В частности, для вектора напряженности

$$\vec{E} = -\frac{\vec{r}}{r} \frac{\partial \phi}{\partial r} \quad \text{имеем:}$$

$$\vec{E} = \frac{\rho \vec{r}}{3\epsilon_0}, \quad \text{при } r \leq R;$$

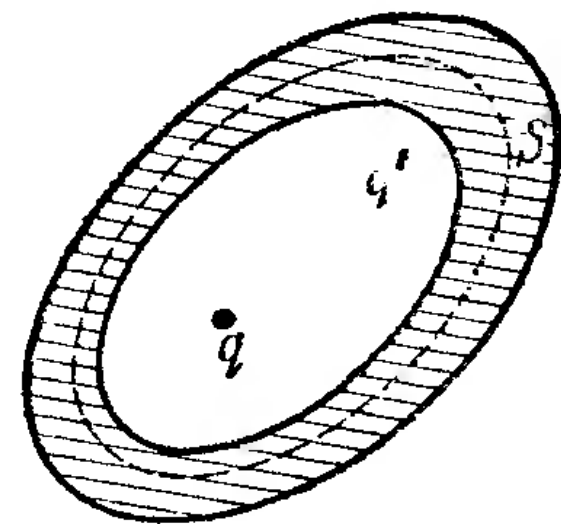
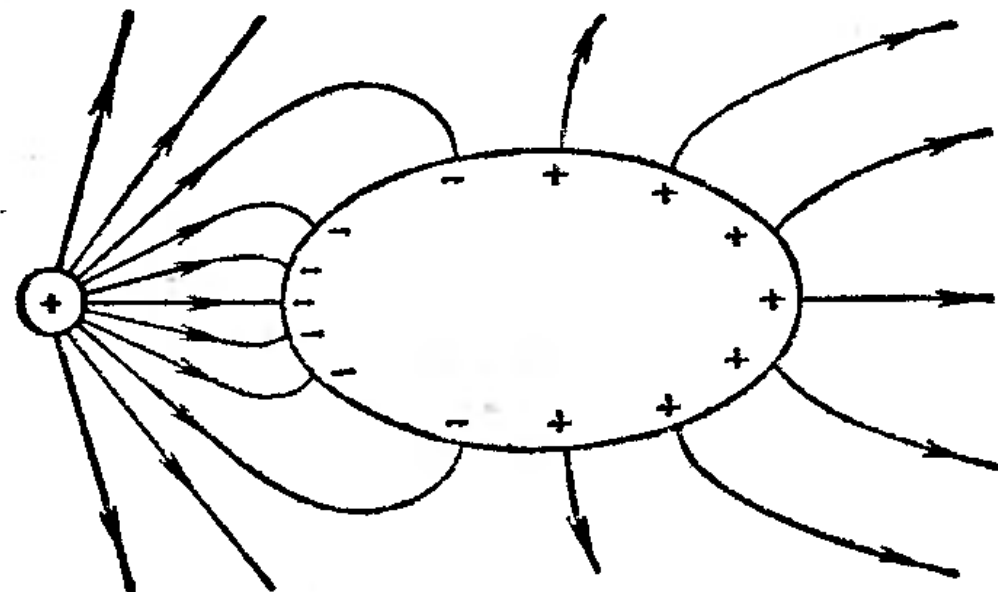
$$\vec{E} = \frac{q}{4\pi\epsilon_0} \frac{\vec{r}}{r^3}, \quad \text{при } r > R.$$

# Лекция 4.

- Проводники в электростатическом поле.  
Электростатическая индукция.  
Напряженность поля у поверхности и внутри проводника. Распределение заряда по поверхности проводника.  
Электростатическая защита. Проводящий шар в однородном электростатическом поле.  
Связь между зарядом и потенциалом проводника. Электроёмкость. Конденсаторы.  
Ёмкость плоского, сферического и цилиндрического конденсаторов.

# Проводники в электростатическом поле. Электростатическая индукция.

- Явление перераспределения зарядов на проводнике при электрическом воздействии называется электрической (электростатической) индукцией.
- Явление перераспределения зарядов на проводнике при наличии внешнего стационарного электрического поля называется электростатической индукцией



4.3

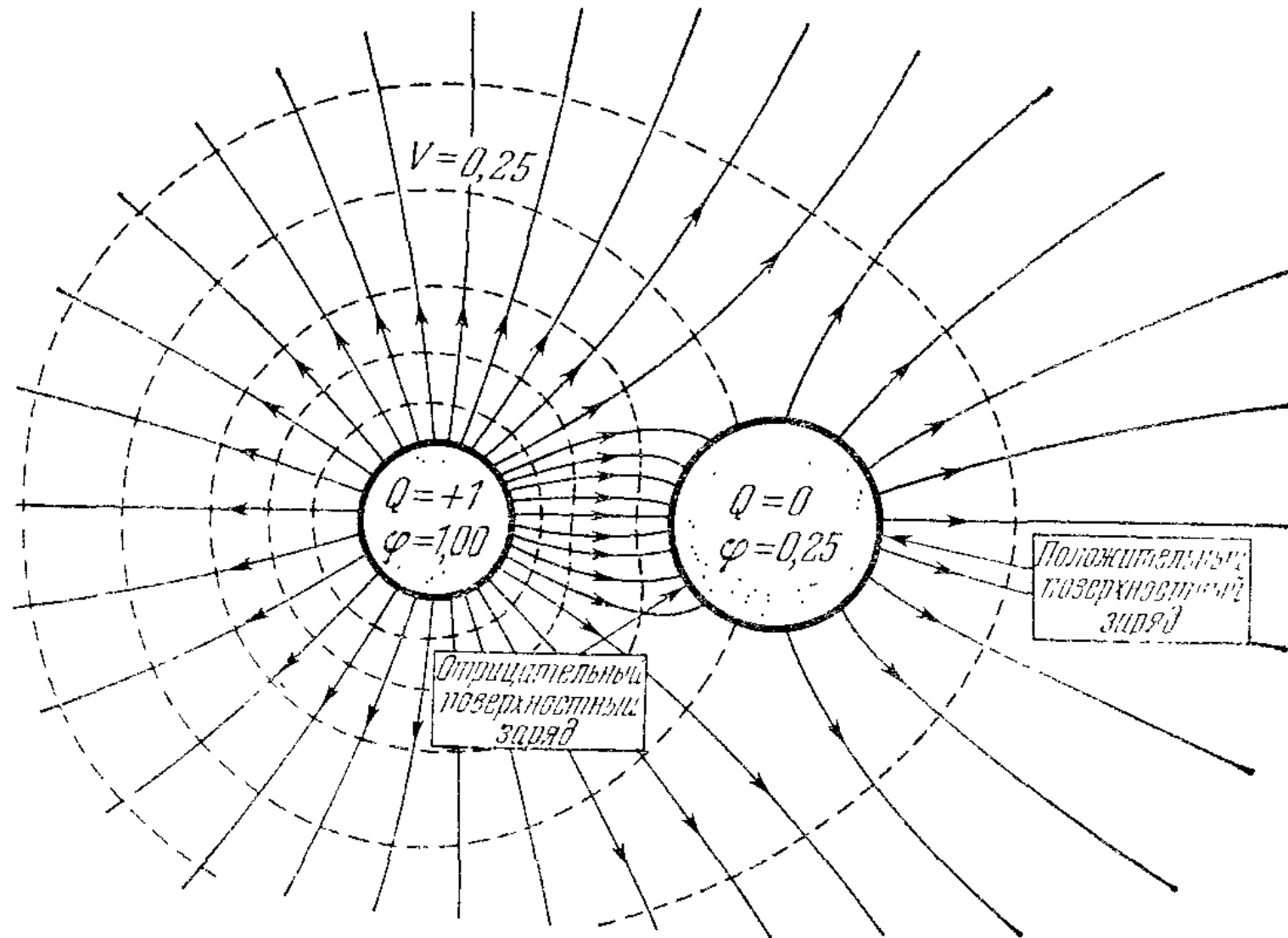
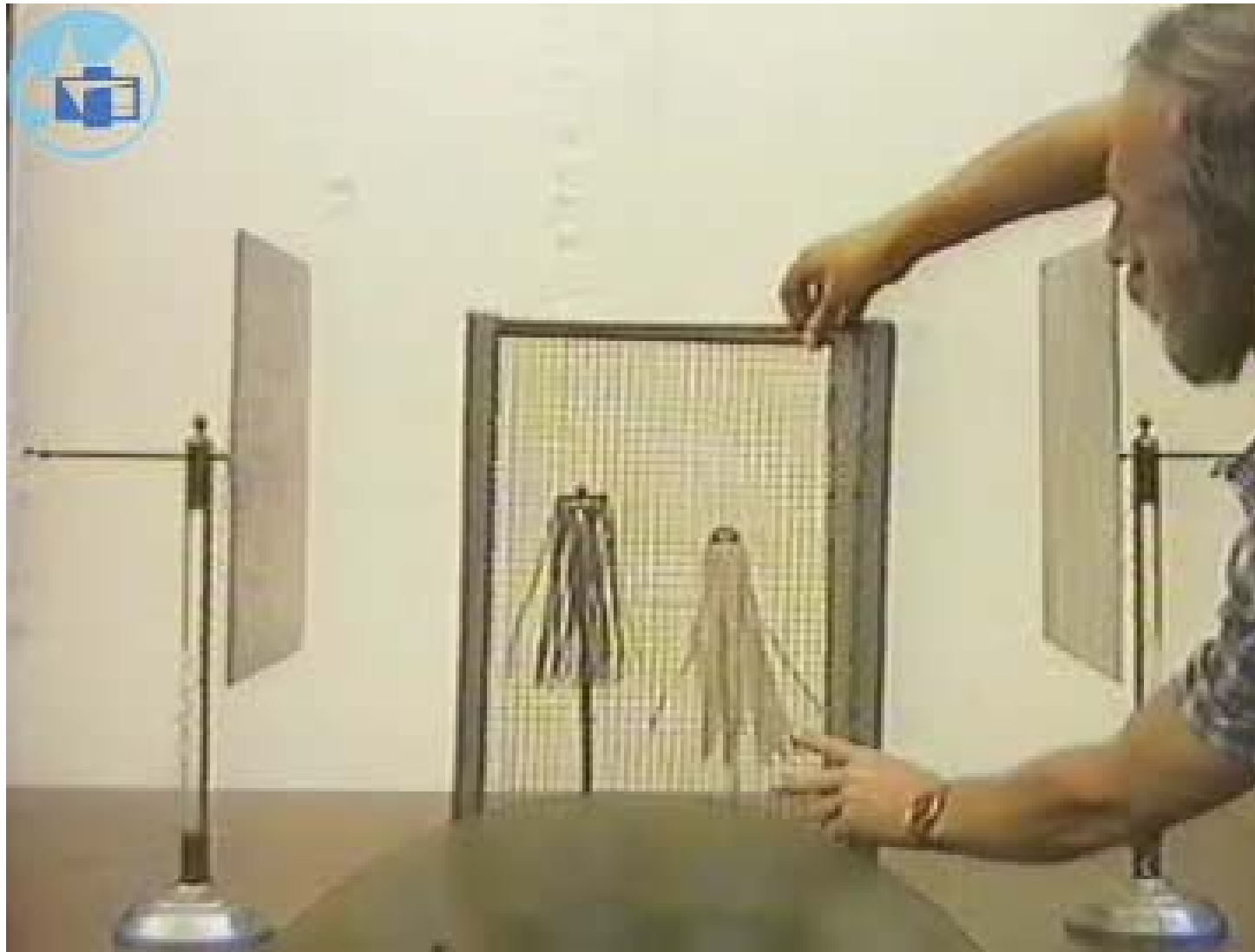


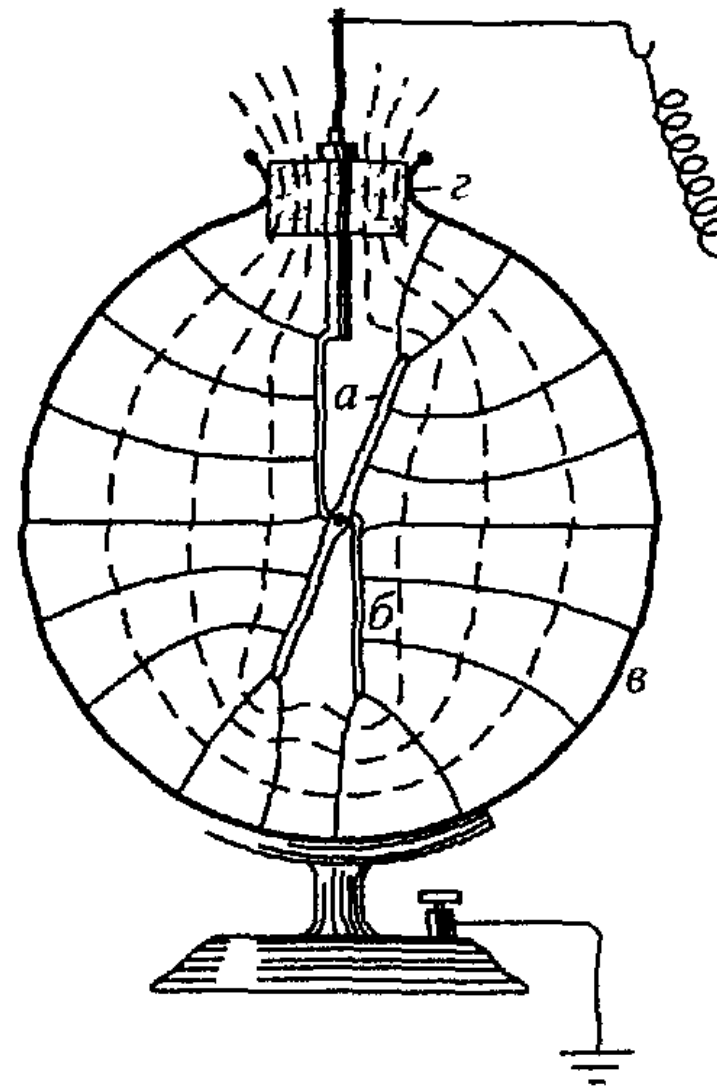
Рис. 3.5. Электрическое поле около двух сферических проводников, из которых один имеет заряд, равный  $+1$ , а другой — равный нулю. Штриховые кривые являются пересечениями эквипотенциальных поверхностей с плоскостью рисунка. Нулевой потенциал находится в бесконечности.

# Электростатическая защита.

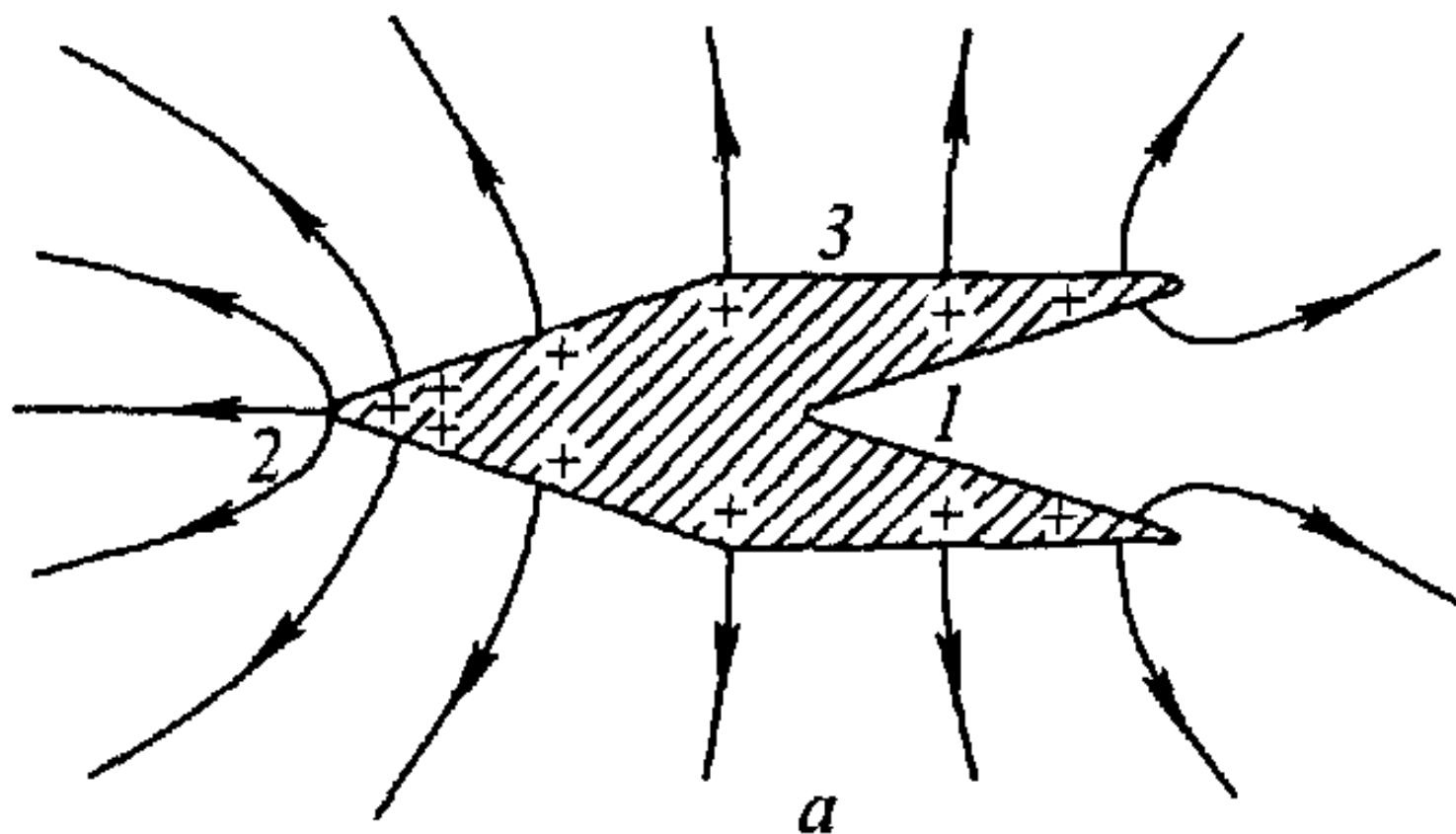


4.5

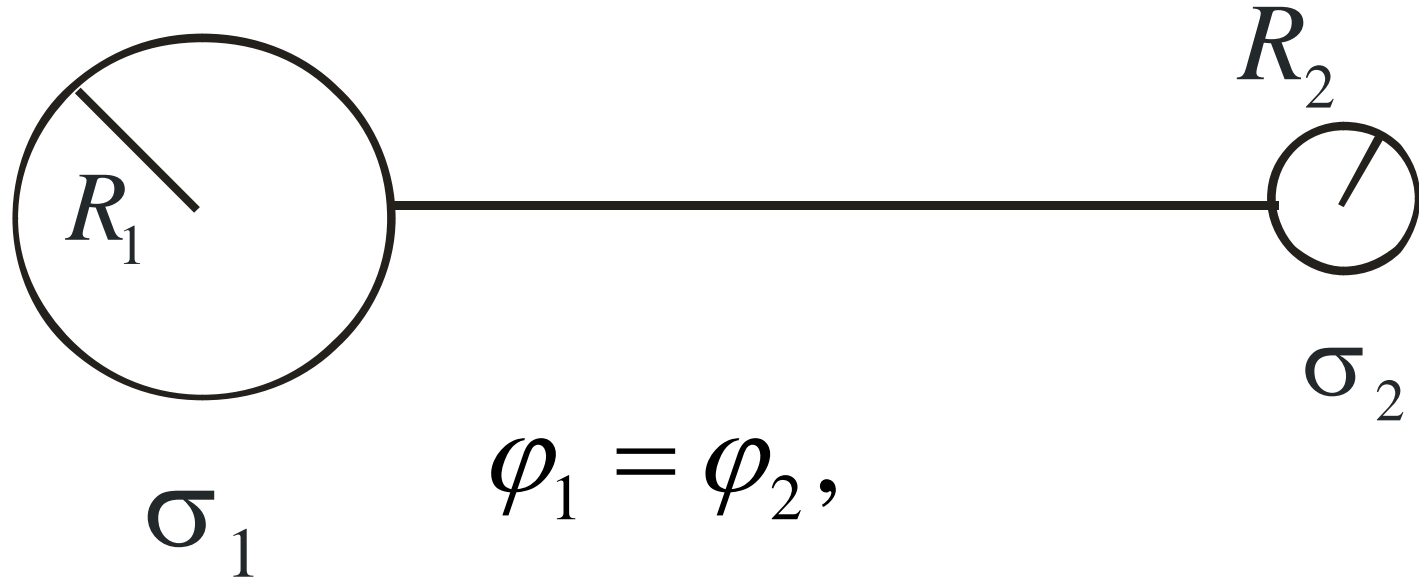
# Электрометр или электростатический вольтметр.



# Распределение заряда по поверхности проводника.



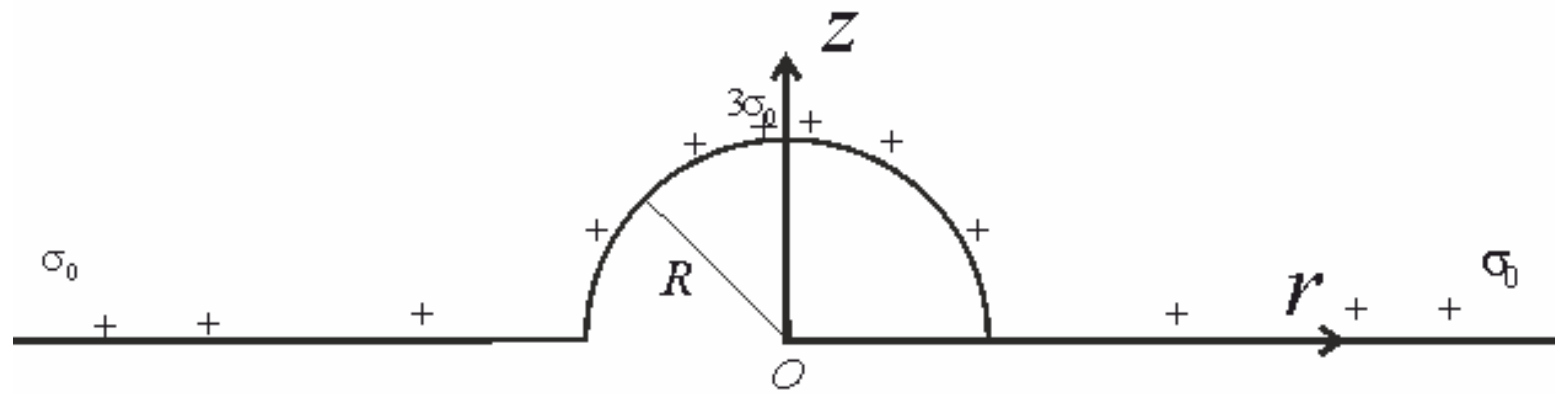
Поверхностная плотность заряда  
пропорциональна кривизне поверхности



$$\varphi_1 = \varphi_2,$$

$$\frac{q_1}{R_1} = \frac{q_2}{R_2},$$

$$\sigma_1 \cdot R_1 = \sigma_2 \cdot R_2.$$



$$\sigma = 3\sigma_0 \frac{z}{R},$$

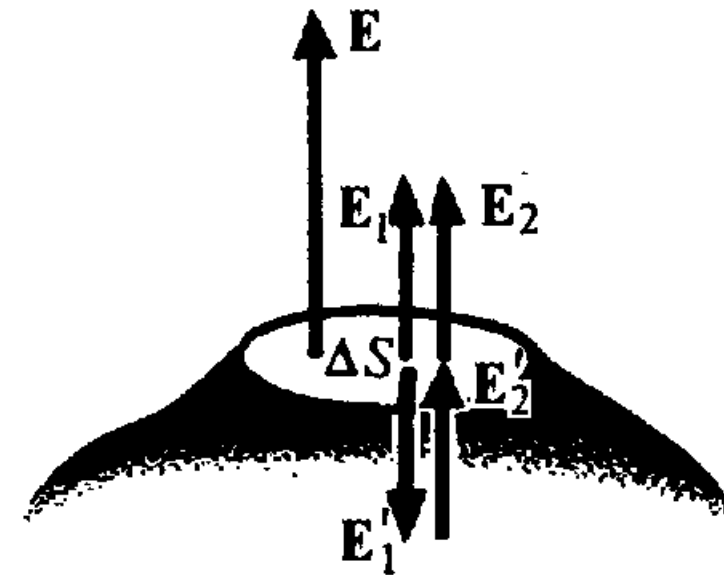
$$\sigma = \sigma_0 \left(1 - \frac{R^3}{r^3}\right)$$

4.8.1

# Напряженность поля у поверхности проводника.

$$E_n = \frac{\sigma}{\epsilon_0}, \quad E_\tau = 0.$$

$$E_1 = E_2 = \frac{1}{2} E$$

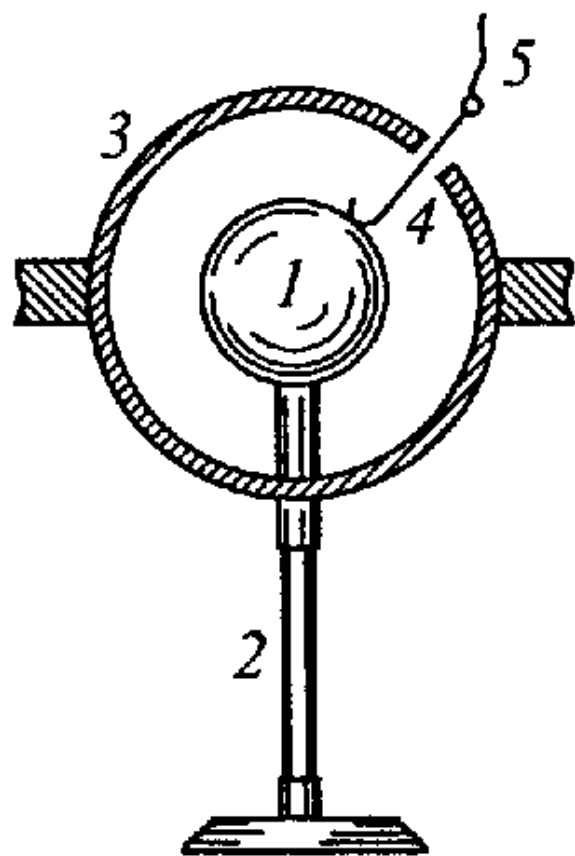


**50**

---

Механизм образования поля  
вблизи поверхности проводника

# Метод Кавендиша проверки закона Кулона



$$F \sim \frac{q_1 q_2}{R^{2 \pm \delta}}$$

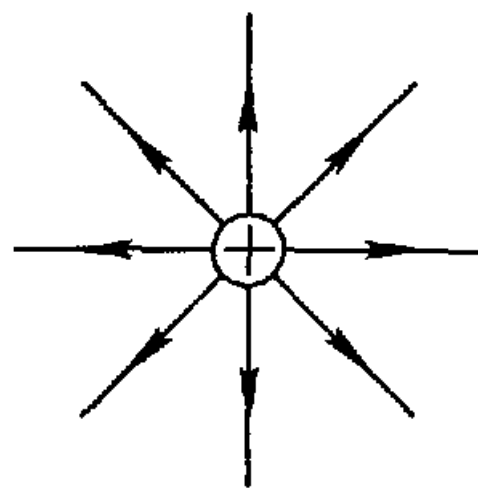
$$\delta < 1 / 21600$$

Связь между зарядом и потенциалом  
проводника. Электроёмкость.

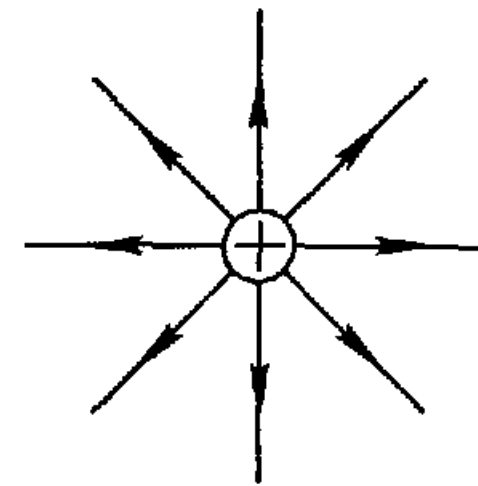
$$\varphi(\vec{r}) = \int_S k \frac{\sigma(r')}{|\vec{r} - \vec{r}'|} dS', \quad q = \int_S \sigma(r') dS'$$
$$\varphi = -\frac{q}{C}$$

Электроемкость шара

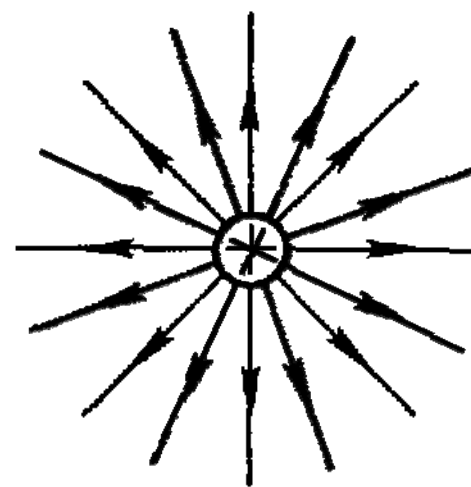
$$C = \frac{q}{\varphi} = \frac{q}{k \frac{q}{R}} = \frac{R}{k}, \quad C_{Земли} = \frac{6,4 \cdot 10^6}{9 \cdot 10^9} \approx 0,7 \cdot 10^{-3} \Phi$$



$q$

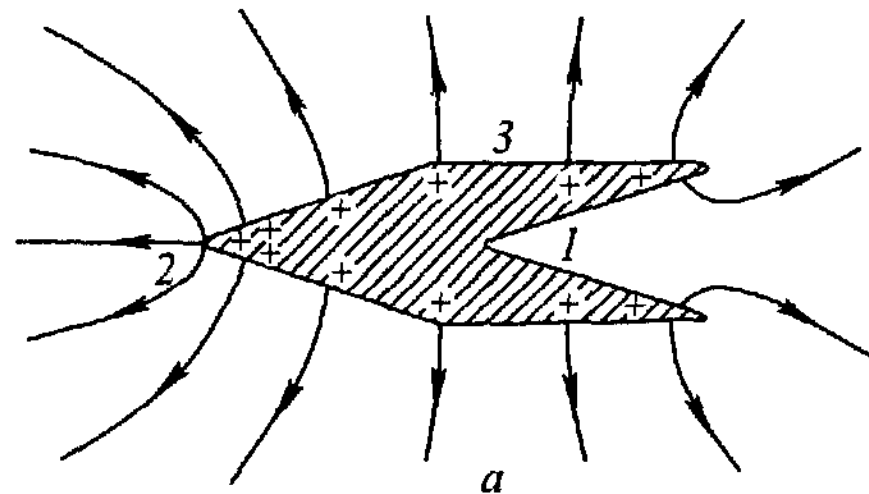
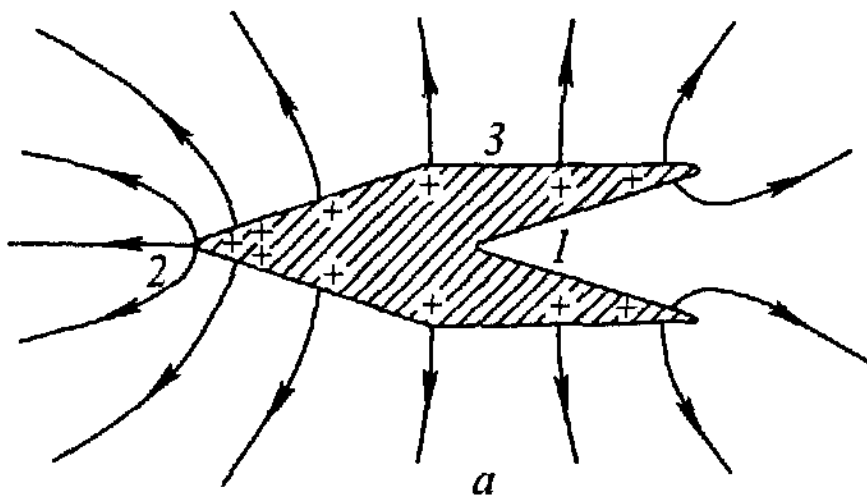
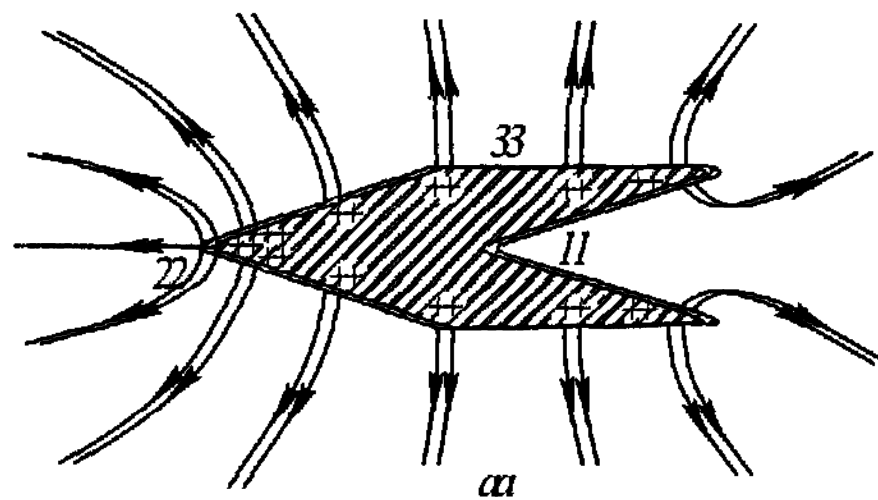


$q$



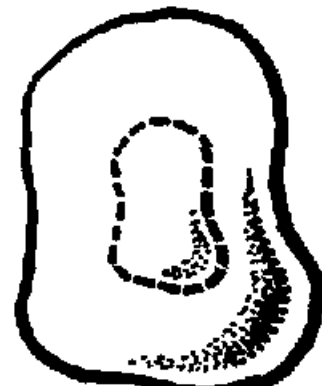
$2q$

4.13

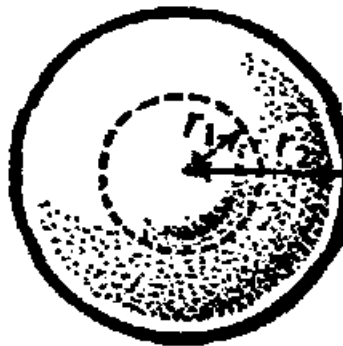
 $q$  $q$  $2q$ 

4.14

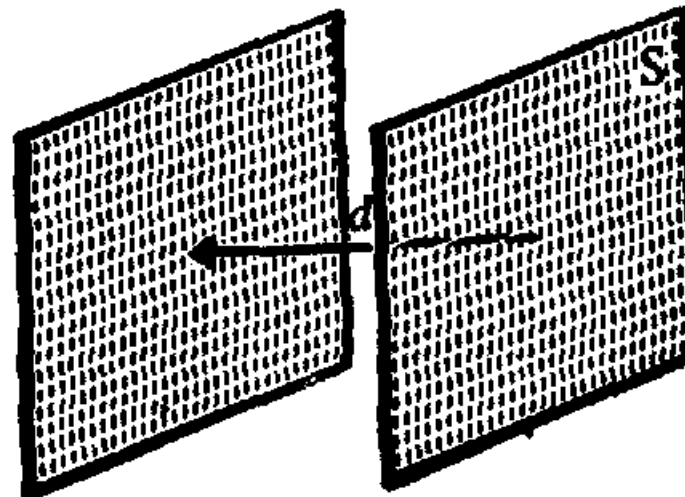
# Конденсаторы. Ёмкость плоского, сферического и цилиндрического конденсаторов.



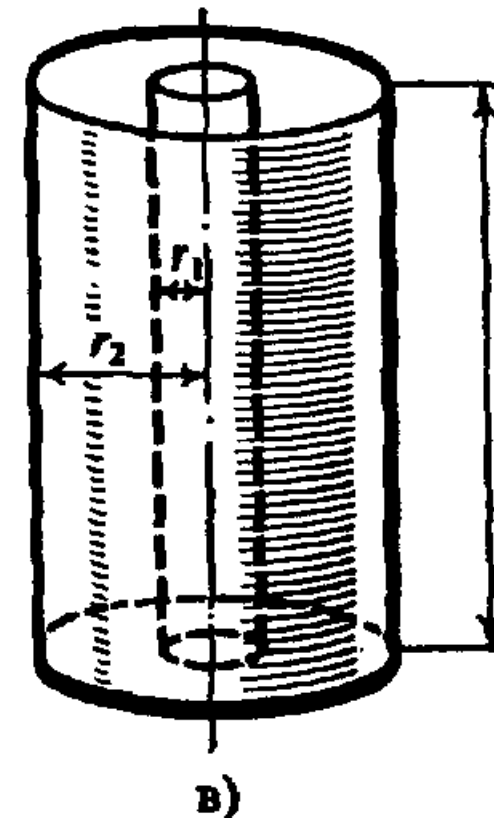
а)



б)



г)



в)

Емкость конденсатора  $c = \frac{q}{U} = \frac{q}{\varphi_1 - \varphi_2}$ ,  
 Плоский конденсатор

$$c = \frac{q}{U} = \frac{\sigma S}{\frac{\sigma}{\epsilon_0} d} = \frac{\epsilon_0 S}{d},$$

Сферический кондесатор

$$c = \frac{q}{\varphi_1 - \varphi_2} = \frac{q}{\frac{1}{4\pi\epsilon_0} \left( \frac{q}{R_1} - \frac{q}{R_2} \right)} = 4\pi\epsilon_0 \frac{R_1 R_2}{R_2 - R_1},$$

Цилиндрический кондесатор

$$U = \frac{q}{2\pi\epsilon_0 l} \ln \frac{R_2}{R_1}, \quad c = \frac{q}{U} = \frac{2\pi\epsilon_0}{\ln \frac{R_2}{R_1}} l$$

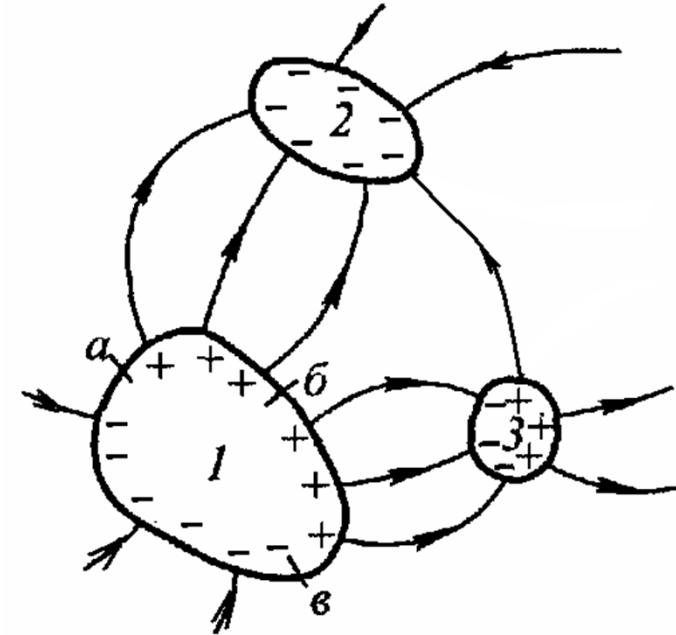
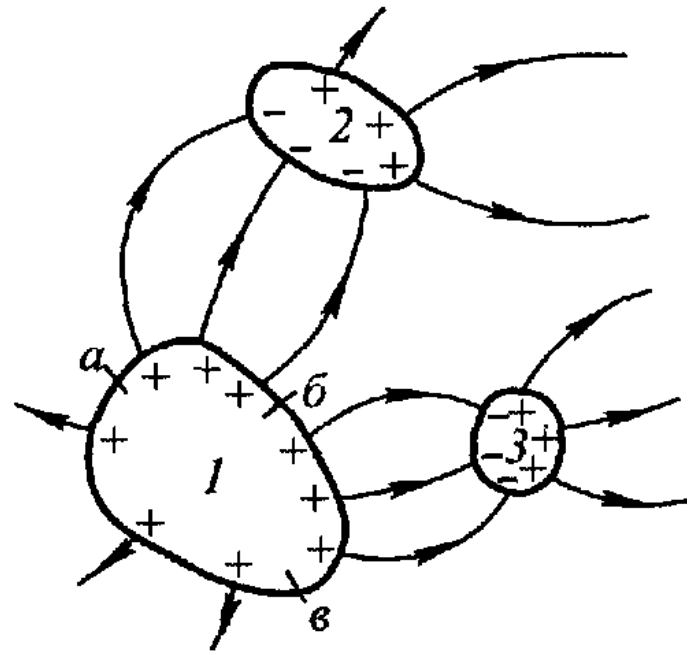
# Потенциальные и емкостные коэффициенты

$\varphi_i = \sum_j V_{ij} q_j$ , где  $V_{ij} = V_{ji}$  - потенциальные коэффиц.

$q_j = \sum_i C_{ji} \varphi_i$ , где  $C_{ji} = C_{ij}$  - емкостные коэффиц.

$V_{ij} > 0$ ;  $V_{ii} > V_{ij}$ . (Сивухин § 27,28)

$C_{ii} > 0$ ;  $C_{ij} < 0$ ;  $\sum_j C_{ij} > 0$ .



$$\varphi_1 \sim q_1,$$

$$\varphi_2 \sim q_2,$$

$$\varphi_2 \sim q_1, \quad \varphi_3 \sim q_1; \quad \varphi_1 \sim q_2, \quad \varphi_3 \sim q_2;$$

$$\varphi_i = \alpha_{i1} q_1,$$

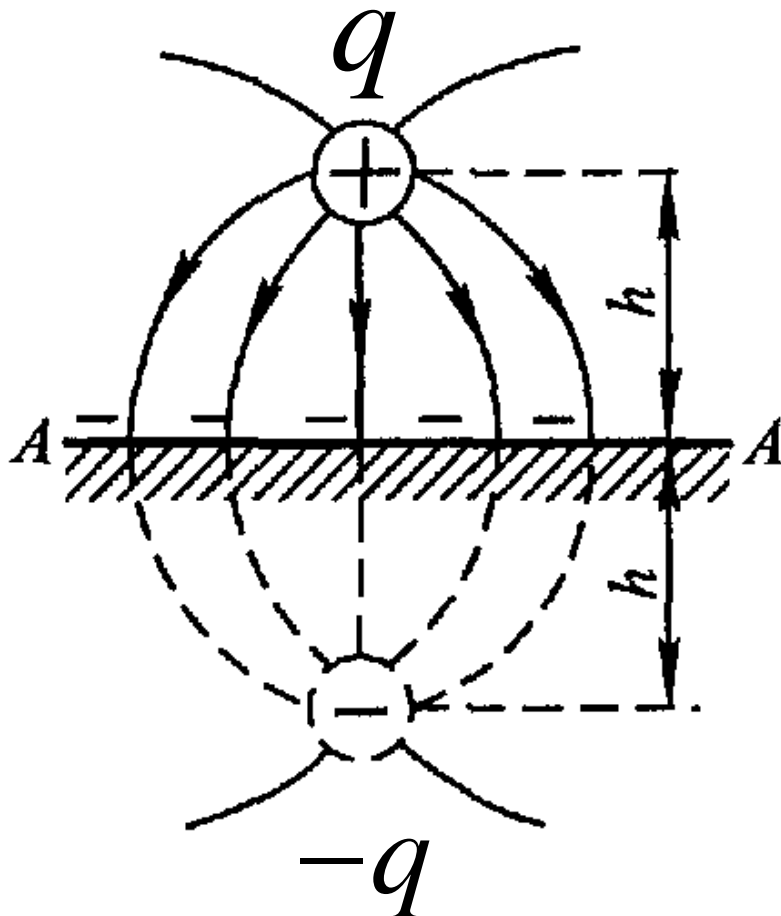
$$\varphi_i = \alpha_{i2} q_2,$$

$$\varphi_i = \alpha_{i1} q_1 + \alpha_{i2} q_2 = \sum_j V_{ij} q_j$$

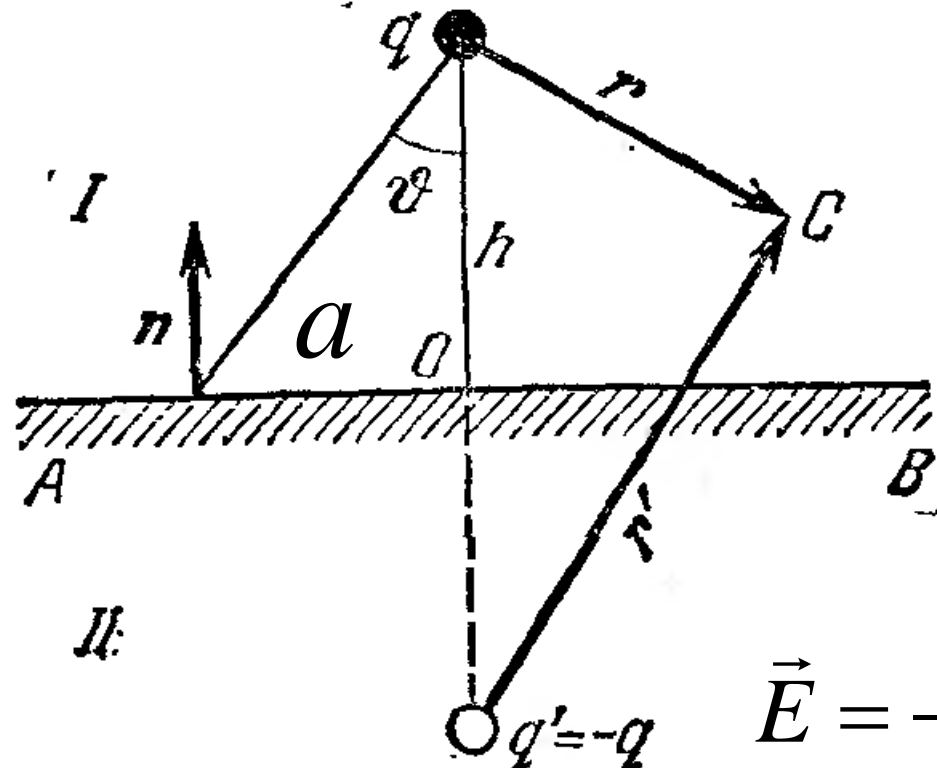
*j*

4.18

# Метод изображений



$$\left\{ \begin{array}{l} \Delta\varphi = 0, \\ \varphi = \text{const}, \\ \varphi_{r \rightarrow h} \rightarrow \frac{1}{4\pi\varepsilon_0} \frac{q}{h}. \end{array} \right.$$

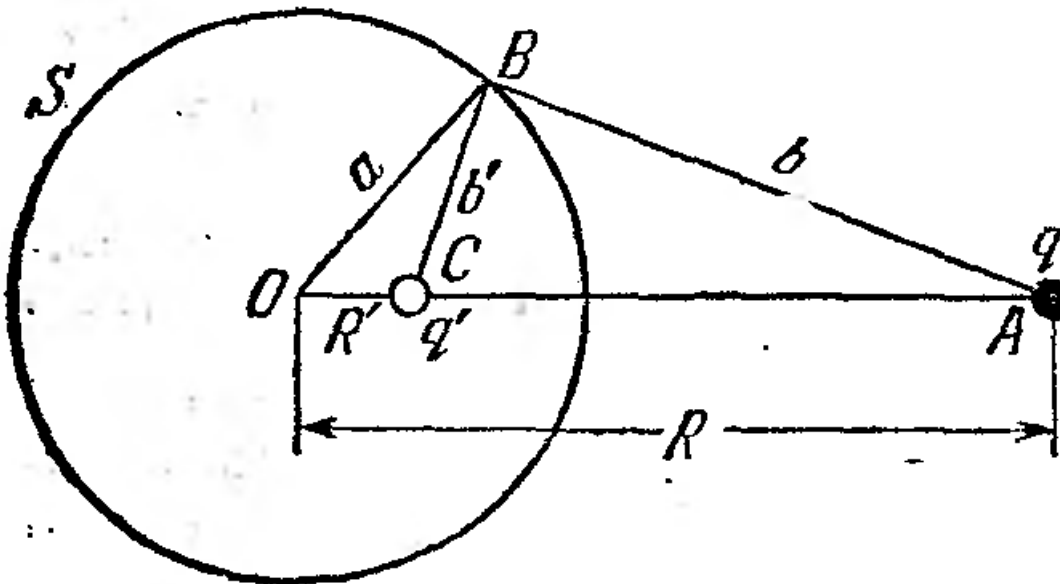


$$\varphi = \frac{1}{4\pi\epsilon_0} q \left( \frac{1}{r} - \frac{1}{r'} \right),$$

$$\cos \vartheta = \frac{h}{\sqrt{a^2 + h^2}},$$

$$\vec{E} = -2 \frac{1}{4\pi\epsilon_0} q \frac{1}{a^2 + h^2} \cos \vartheta \vec{n}$$

$$\sigma = E\epsilon_0 = -2 \frac{1}{4\pi} q \frac{1}{(a^2 + h^2)^{3/2}}, \quad q = \int_{\infty} \sigma dS.$$

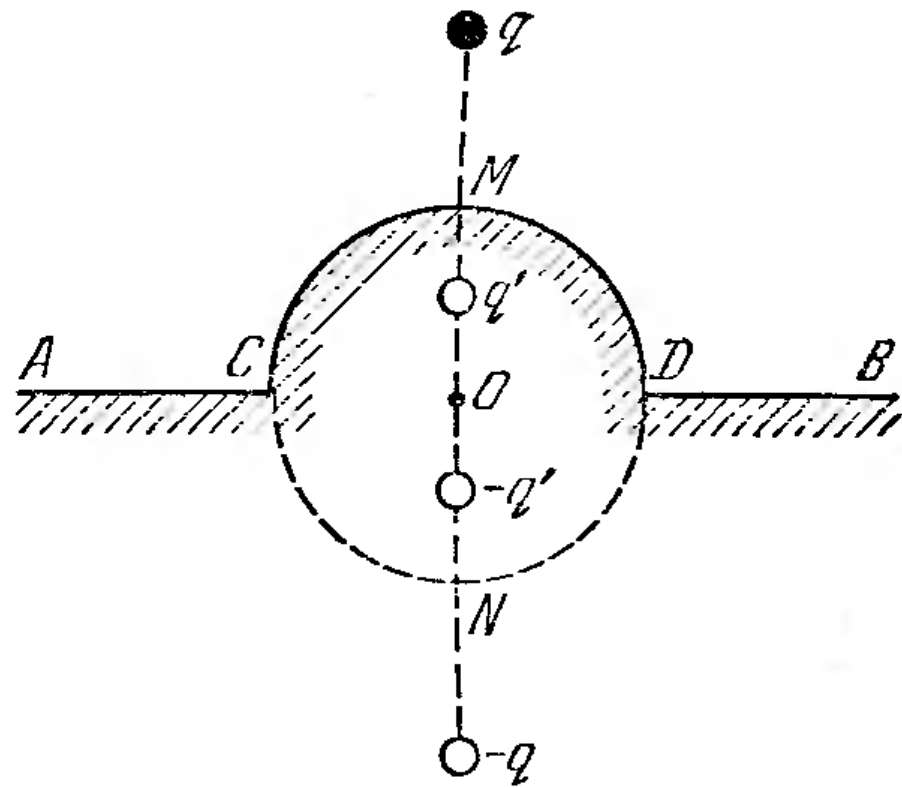
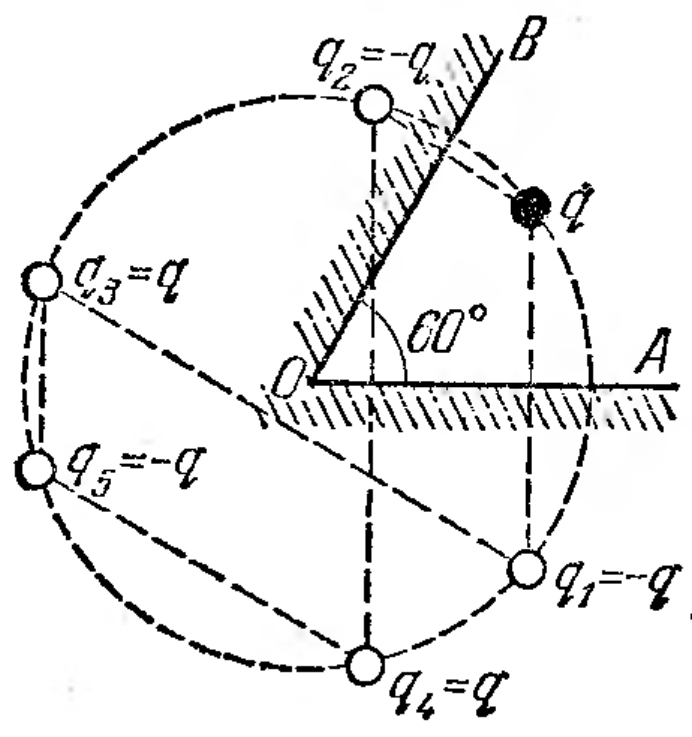


$$\Delta OBC \sim \Delta OBA, \Rightarrow R \cdot R' = a^2.$$

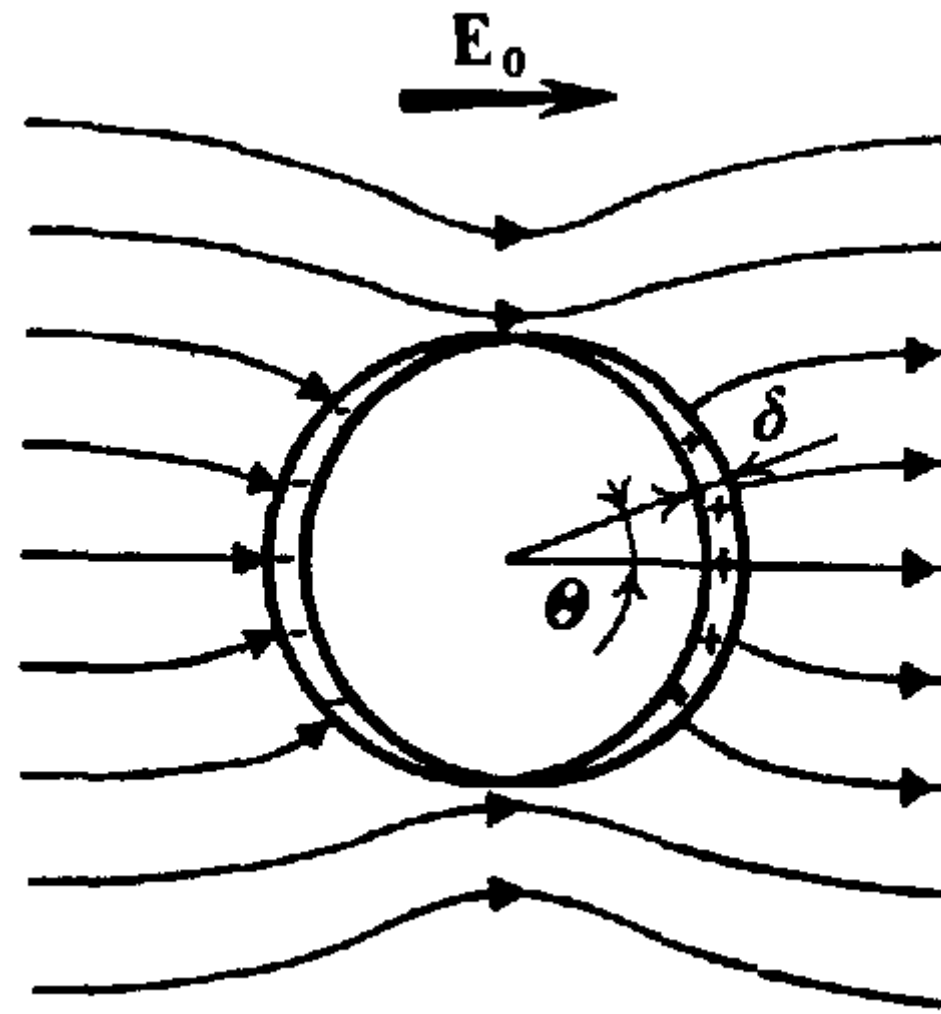
Если  $q' = -\frac{b'}{b}q = -\frac{a}{R}q$ , то  $\varphi(a) = 0$ .

Вне сферы  $\varphi = \frac{1}{4\pi\epsilon_0} \left( \frac{q}{r} + \frac{q'}{r'} \right)$ .

4.21



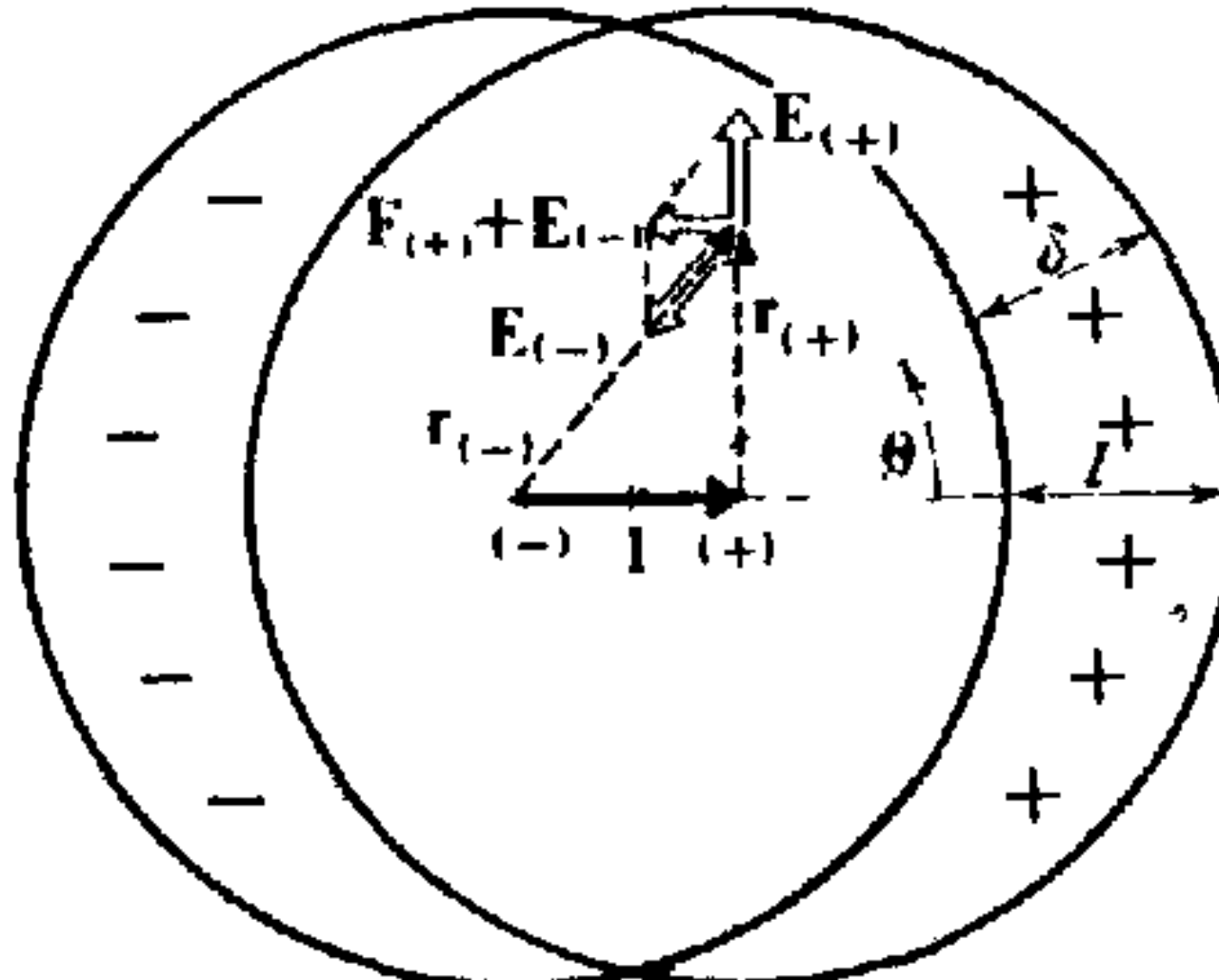
4.22



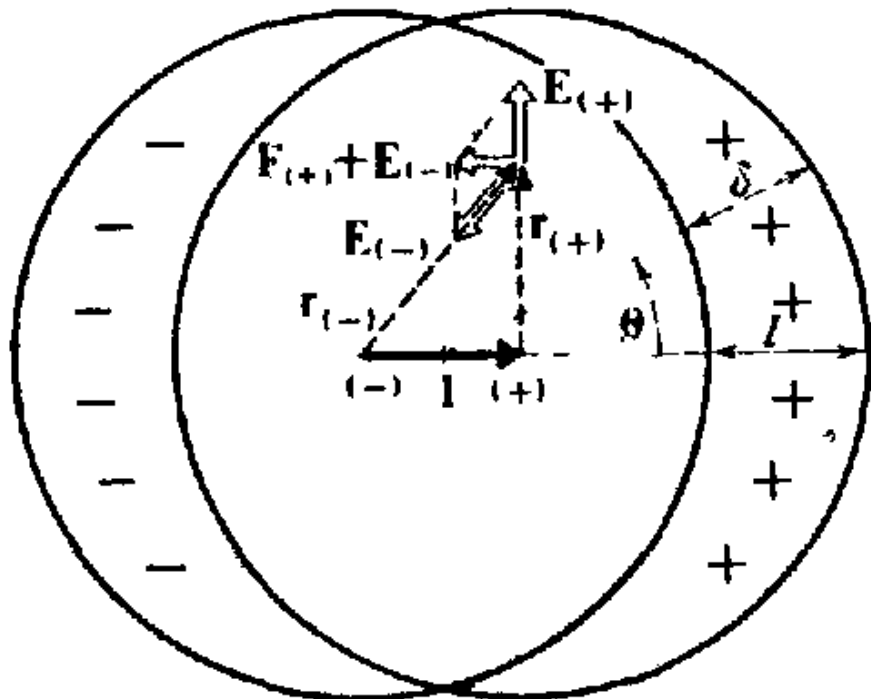
$$\mathbf{E}(\mathbf{r}) = [(\rho/(3\epsilon_0)] \mathbf{r},$$

4.23

# Проводящий шар в однородном электрическом поле. [1, стр.125]



4.24



$$\mathbf{E}_{(+)} = [|\rho|/(3\epsilon_0)] \mathbf{r}_{(+)},$$

$$\mathbf{E}_{(-)} = -[|\rho|/(3\epsilon_0)] \mathbf{r}_{(-)},$$

$$\Sigma = \mathbf{E}_{(+)} + \mathbf{E}_{(-)} = [|\rho|/(3\epsilon_0)] (\mathbf{r}_{(+)} - \mathbf{r}_{(-)}) = -[|\rho|/3\epsilon_0] \mathbf{l},$$

$$\rho \vec{l} = -3\epsilon_0 \vec{E} = 3\epsilon_0 \vec{E}_0, \quad \sigma \Delta S = \rho \Delta S \delta,$$

$$\sigma = \rho \delta = \rho l \cos \theta = 3\epsilon_0 E_0 \cos \theta,$$

где  $\delta = l \cos \theta$ .

$$E_n = \sigma / \epsilon_0 = 3E_0 \cos \theta,$$

4.25

Поле вне шара - это поле диполя  
с дипольным моментом

$$\vec{p} = q\vec{l} = \frac{4}{3}\pi R^3 \rho \vec{l} = \frac{4}{3}\pi R^3 3\epsilon_0 \vec{E}_0,$$

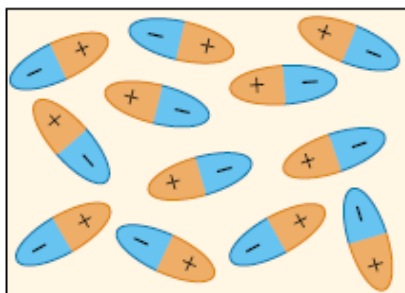
$$\begin{aligned} \vec{E} &= \frac{1}{4\pi\epsilon_0} \left( \frac{3(\vec{p}\vec{r})\vec{r}}{r^5} - \frac{\vec{p}}{r^3} \right) + \vec{E}_0 = \\ &= \left( 1 - \left( \frac{R}{r} \right)^3 \right) \vec{E}_0 + \left( \frac{R}{r} \right)^3 \frac{3(\vec{E}_0 \vec{r})\vec{r}}{r^2}. \end{aligned}$$

4.26

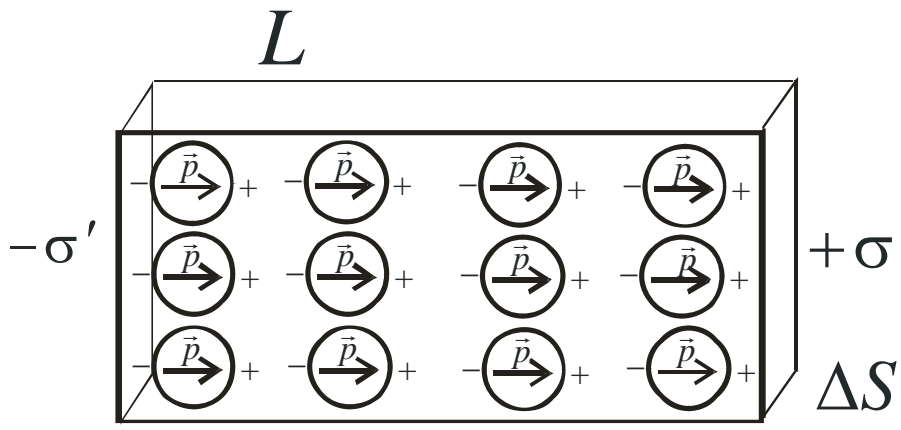
# Лекция 5.

- Диэлектрики. Свободные и связанные заряды. Вектор поляризации. Связь вектора поляризации со связанными зарядами.
- Вектор электрической индукции в диэлектрике. Диэлектрическая проницаемость и диэлектрическая восприимчивость вещества. Материальное уравнение для векторов электрического поля.
- Теорема Остроградского – Гаусса для случая диэлектриков. Её дифференциальная форма.
- Граничные условия для векторов напряженности и электрической индукции.
- Диэлектрический шар в однородном электрическом поле

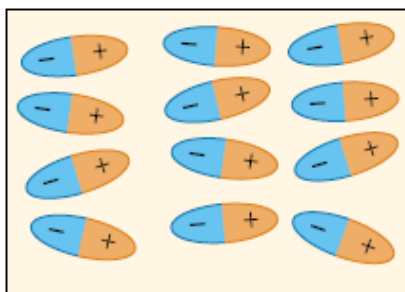
Для характеристики поляризации диэлектрика вводят вектор поляризации



(a)



$$\vec{P} = \frac{\sum_i \vec{p}_i}{\Delta V},$$



$\rightarrow E_0$

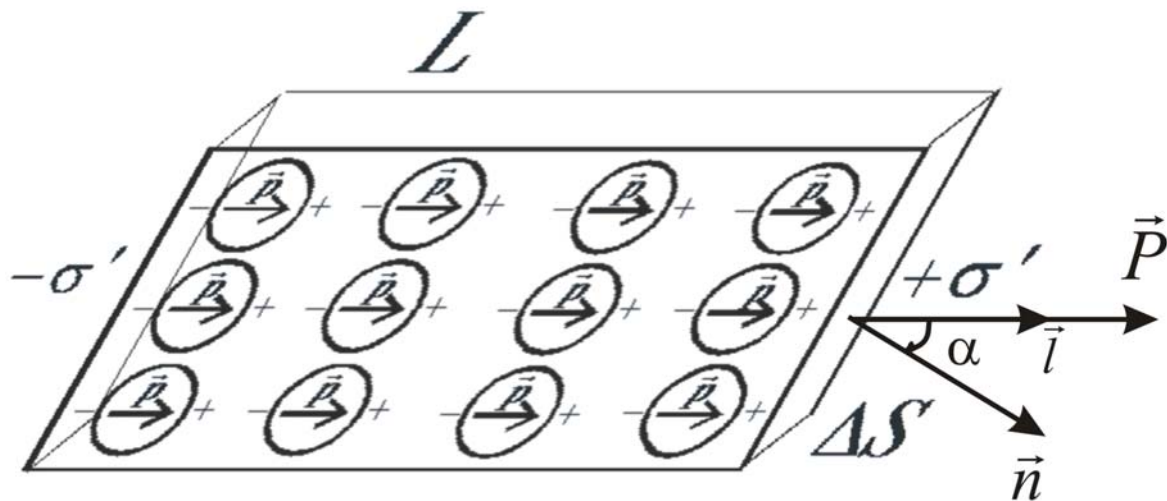
$\Delta V$

$\sigma'$  - связанные заряды.

Из рисунка видно, что

$$P_n \Delta V = \sigma' \Delta S L, \text{ то есть } P_n = \sigma'$$

# Связь вектора поляризации с поверхностными связанными зарядами.



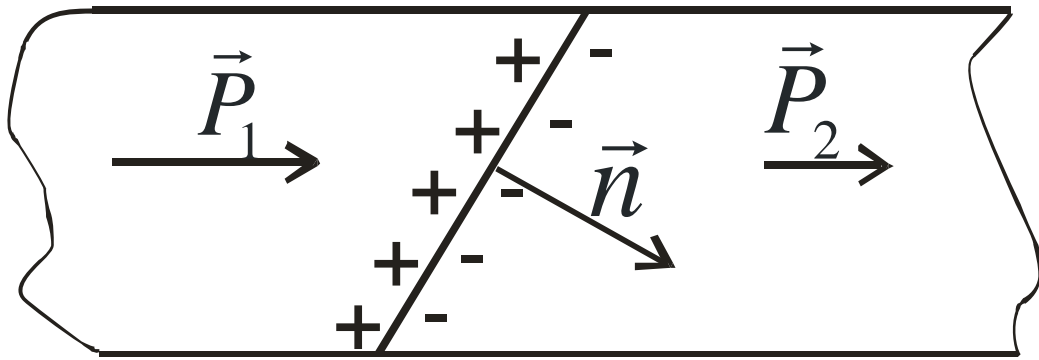
$$\vec{p} = q'L\vec{l} = \sigma'\Delta S L \vec{l}; \quad \Rightarrow \sigma' = (\vec{P}\vec{n}) = P_n;$$

$$\vec{p} = \vec{P}\Delta V = \vec{P}\Delta S L \cos \alpha = \underbrace{(\vec{P}\vec{n})}_{P_n} \vec{l} \Delta S L;$$

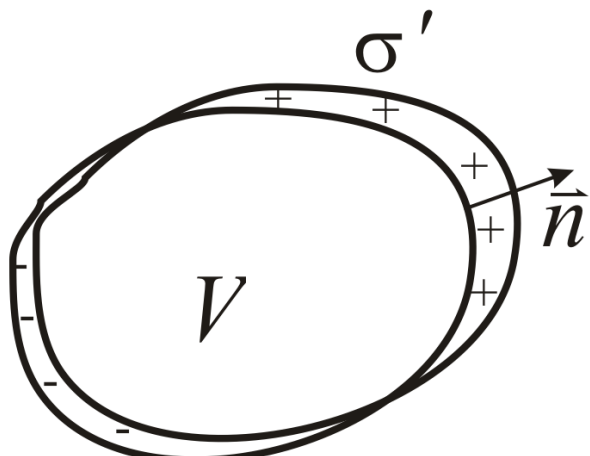
Для границы двух диэлектриков имеем  $\sigma' = \sigma'_1 - \sigma'_2 =$

$$\sigma'_1 \quad \sigma'_2$$

$$P_{1n} - P_{2n} = -\vec{n}(\vec{P}_2 - \vec{P}_1).$$



# Связь вектора поляризации с объемными связанными зарядами.



$$\oint_{S_V} \sigma' dS = -Q'_V = - \int_V \rho' dV;$$

$$\oint_{S_V} \sigma' dS = \oint_{S_V} \vec{P} \cdot \vec{n} dS = \oint_{S_V} \vec{P} d\vec{S} = \int_V \operatorname{div} \vec{P} dV;$$

$$\oint_{S_V} \vec{P} d\vec{S} = -Q'_V, \quad \operatorname{div} \vec{P} = -\rho'.$$

Для объемной плотности связанных зарядов справедливы соотношения

$$\oint_{S_V} \vec{P} d\vec{S} = - \int_V \rho' dV,$$

$$\operatorname{div} \vec{P} = -\rho'.$$

Вектор электрической индукци (смещения) в диэлектрике определяется равенством

$$\vec{D} = \epsilon_0 \vec{E} + \vec{P}.$$

# Материальное уравнение для векторов электрического поля.

$$\vec{P} = \vec{P}(\vec{E}) \quad \text{или} \quad \vec{D} = \vec{D}(\vec{E}).$$

Для многих сред эту связь можно представить в виде

$$P_i = \epsilon_0 \sum_{j=1}^3 \alpha_{ij} E_j + \epsilon_0 \sum_{j=1}^3 \sum_{k=1}^3 \alpha_{ijk} E_j E_k,$$

где  $\alpha_{ij}$  – тензор линейной восприимчивости,  
 $\alpha_{ijk}$  – тензор нелинейной восприимчивости.

# Диэлектрическая восприимчивость и диэлектрическая проницаемость вещества.

Для изотропного диэлектрика  $\alpha_{ij} = \delta_{ij}\alpha$ ,  
тогда имеем

$$\vec{P} = \varepsilon_0 \alpha \vec{E}, \quad \vec{D} = \varepsilon_0 \vec{E} + \varepsilon_0 \alpha \vec{E} = \varepsilon_0 \varepsilon \vec{E},$$

где по определению  $\varepsilon = 1 + \alpha$ , –  
относительная диэлектрическая  
проницаемость вещества.

Теорема Остроградского – Гаусса  
для случая диэлектриков в  
дифференциальной и интегральной  
форме.

$$\operatorname{div} \vec{D} = \varepsilon_0 \underbrace{\operatorname{div} \vec{E}}_{\frac{\rho + \rho'}{\varepsilon_0}} + \underbrace{\operatorname{div} \vec{P}}_{-\rho'} = \rho;$$

Дифференциальная форма -  $\operatorname{div} \vec{D} = \rho$ .

Интегральная форма -  $\int\limits_{S_V} \vec{D} d\vec{S} = \int\limits_V \rho dV$ .

# Система полевых уравнений электростатики в бесконечной изотропной диэлектрической среде.

$$\left\{ \begin{array}{l} \operatorname{div} \vec{D} = \rho, \\ \operatorname{rot} \vec{E} = 0. \end{array} \right. \quad \left\{ \begin{array}{l} \oint_{S_V} \vec{D} d\vec{S} = \int_V \rho dV, \\ \oint \vec{E} d\vec{l} = 0. \end{array} \right.$$

Для изотропной среды  $\vec{D} = \epsilon_0 \epsilon \vec{E}$ , тогда

$$\left\{ \begin{array}{l} \operatorname{div} \vec{E} = \frac{\rho}{\epsilon_0 \epsilon}, \\ \operatorname{rot} \vec{E} = 0. \end{array} \right. \quad \left\{ \begin{array}{l} \int_V \rho dV, \\ \oint_{S_V} \vec{E} d\vec{S} = \frac{\int_V \rho dV}{\epsilon_0 \epsilon} \\ \oint \vec{E} d\vec{l} = 0. \end{array} \right.$$

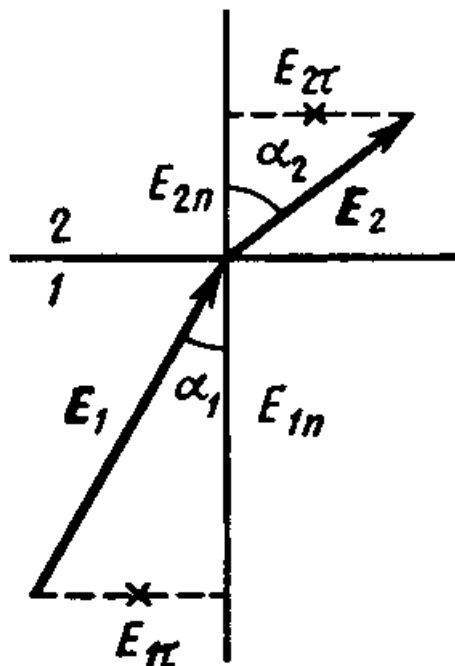
Из приведенных выше уравнений следует, что в изотропном бесконечном диэлектрике напряженность электрического поля, создаваемая свободными зарядами будет меньше в  $\epsilon$  раз по сравнению с напряженностью поля сооздаваемыми этими же зарядами в вакууме.  $\epsilon_0$

## Границы условия для векторов напряженности и электрической индукции

$$\begin{cases} D_{n_2} - D_{n_1} = \sigma, \\ E_{\tau_2} - E_{\tau_1} = 0. \end{cases}$$

где  $\sigma$  – плотность свободных поверхностных зарядов на границе двух диэлектриков.

## Преломление линий Е и D.



$$E_{2\tau} = E_{1\tau}, \quad \epsilon_2 E_{2n} = \epsilon_1 E_{1n}.$$

$$\frac{\operatorname{tg} \alpha_2}{\operatorname{tg} \alpha_1} = \frac{E_{2\tau}/E_{2n}}{E_{1\tau}/E_{1n}} = \frac{\epsilon_2}{\epsilon_1}.$$

Если  $\epsilon_2 > \epsilon_1$ , то  $\alpha_2 > \alpha_1$

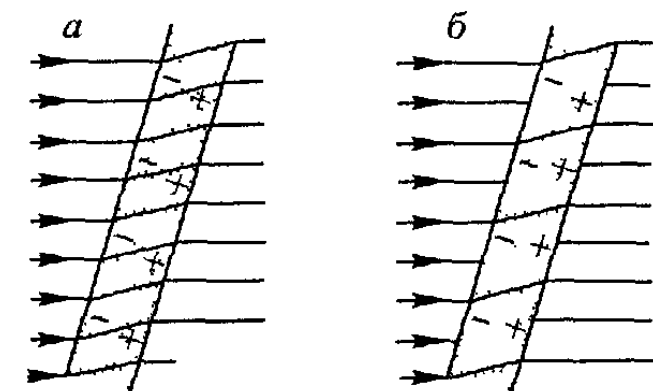
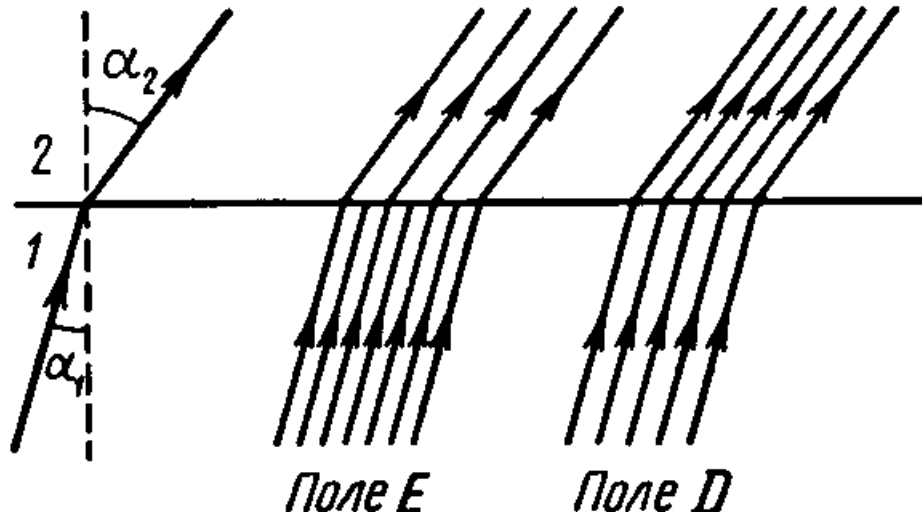


Рис 58 Линии смещения (а) и линии напряженности (б) в пластине диэлектрика

# Электрическое поле однородно поляризованного диэлектрического шара.

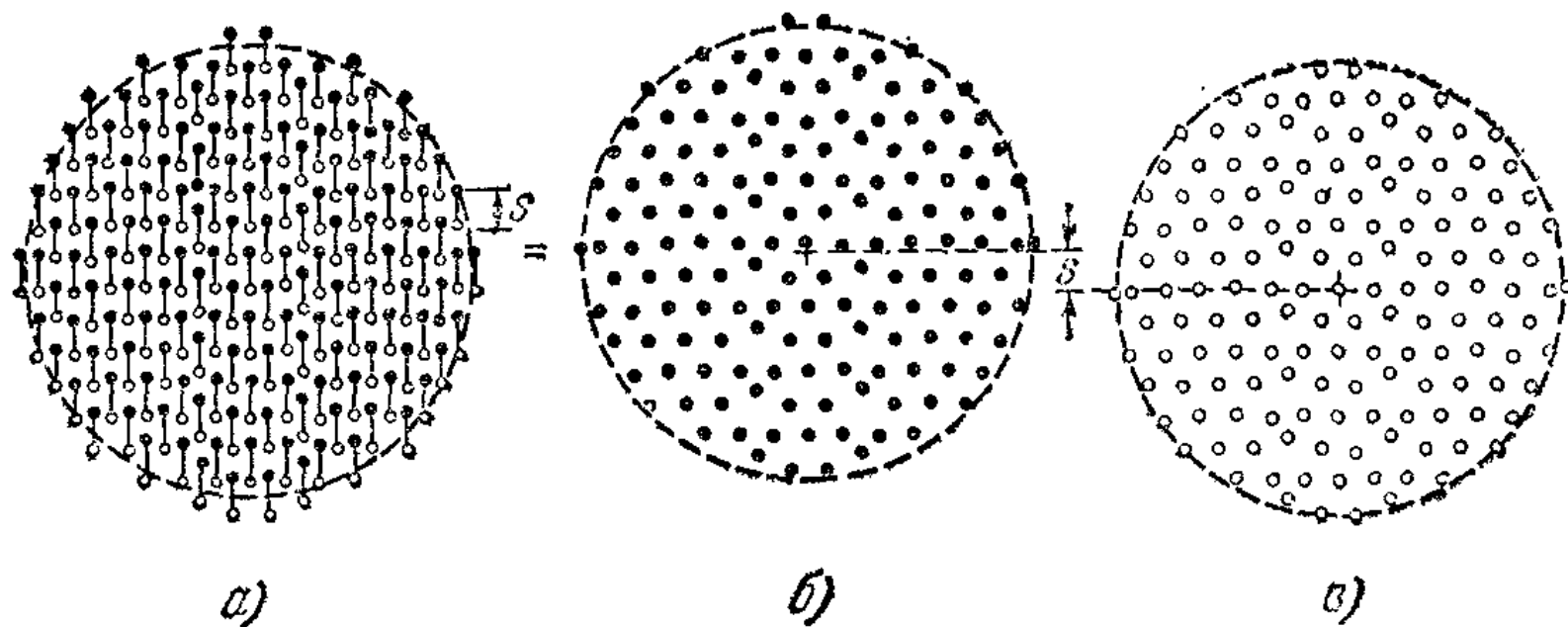
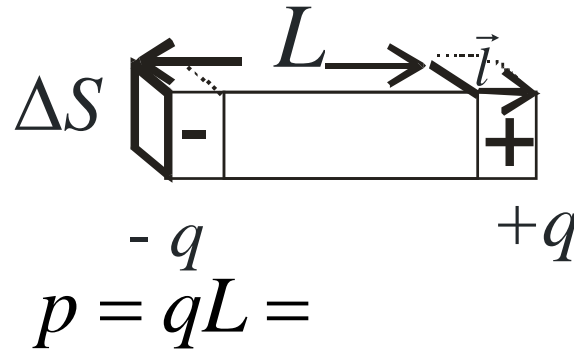


Рис. 9.25. Сфера с ориентированными молекулярными диполями (а) эквивалентна двум наложенным друг на друга несколько смещенным сферам, с положительными (б) и с отрицательными зарядами (в).

# Электрическое поле однородно поляризованного диэлектрического шара.



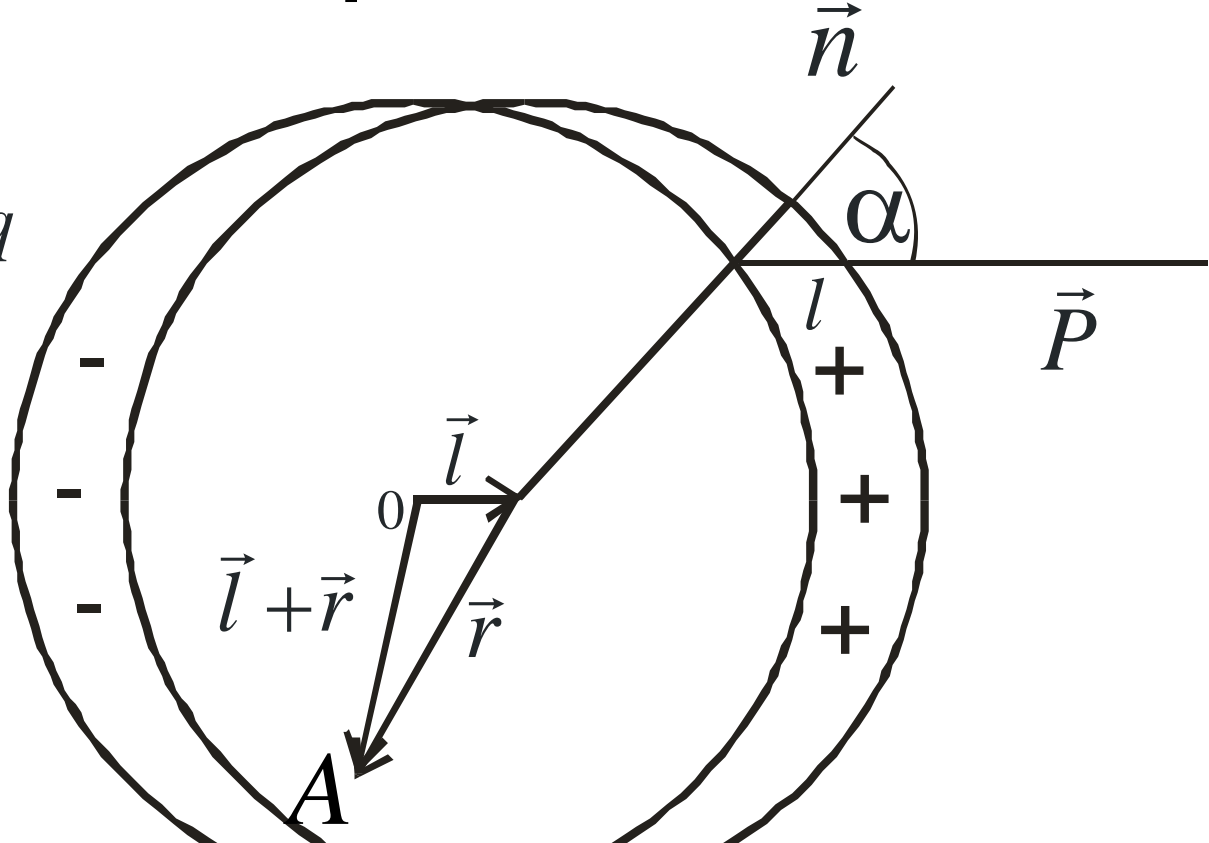
$$p = qL =$$

$$= \rho \Delta S |\vec{l}| L =$$

$$= \rho |\vec{l}| \Delta S L =$$

$$= |\vec{P}| \Delta V. \Rightarrow$$

$$\vec{P} = \rho \vec{l}.$$

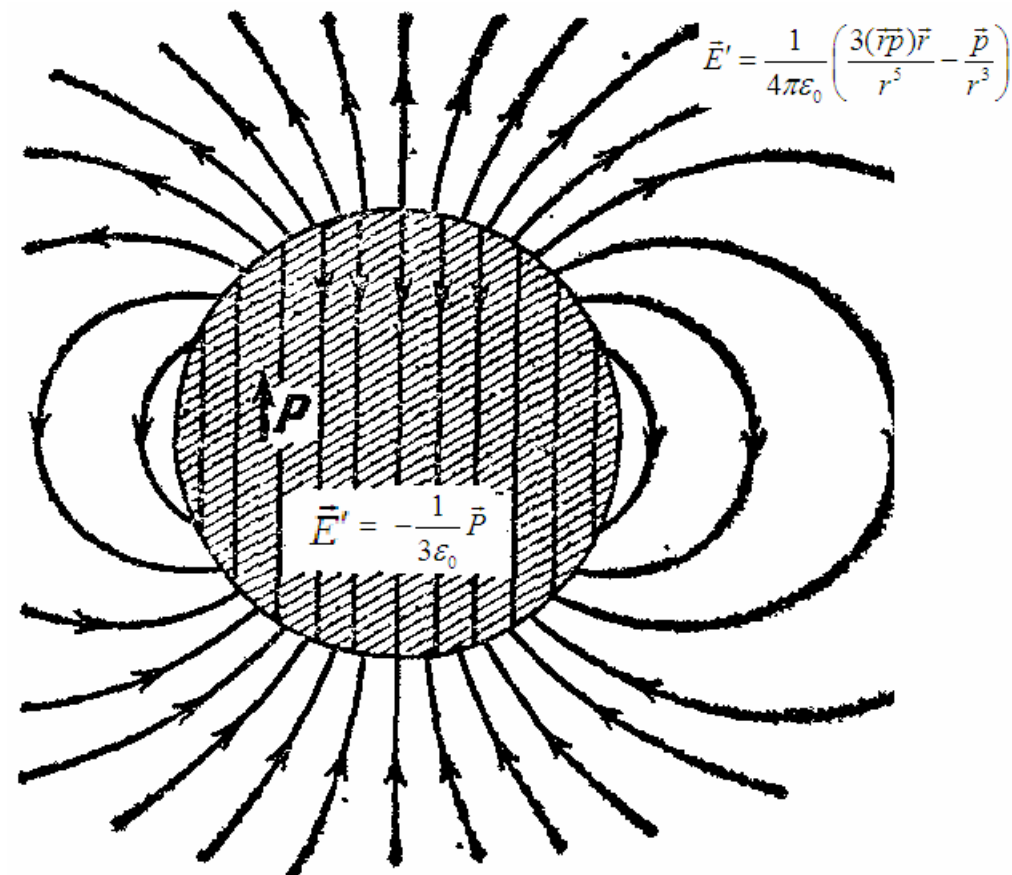


Поле внутри шара

$$\vec{E}'_A = \frac{1}{3\epsilon_0} \rho \vec{r} - \frac{1}{3\epsilon_0} \rho (\vec{r} + \vec{l}) = -\frac{1}{3\epsilon_0} \rho \vec{l} = -\frac{1}{3\epsilon_0} \vec{P},$$

Поле вне шара совпадает с полем диполя

$$\vec{p} = V_{uapa} \vec{P} = \frac{4}{3} \pi R_{uapa}^3 \rho \vec{l}, \text{ то есть } \vec{E}' = \frac{1}{4\pi\epsilon_0} \left( \frac{3(\vec{r}\vec{p})\vec{r}}{r^5} - \frac{\vec{p}}{r^3} \right),$$



# Диэлектрический шар в однородном электрическом поле

$$\vec{E}'_A = \frac{1}{3\epsilon_0} \rho \vec{r} - \frac{1}{3\epsilon_0} \rho (\vec{r} + \vec{l}) = - \frac{1}{3\epsilon_0} \rho \vec{l} = - \frac{1}{3\epsilon_0} \vec{P},$$

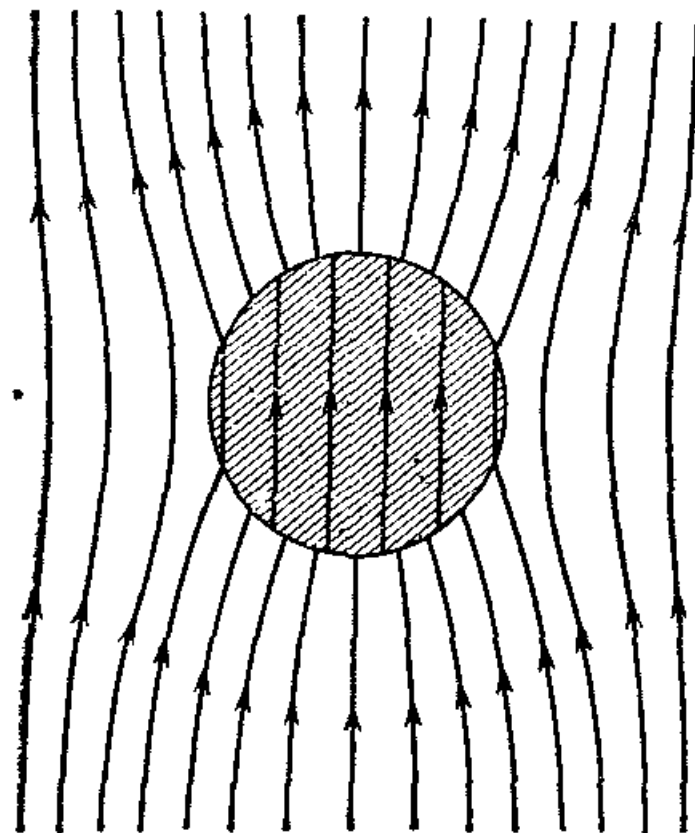
$$\vec{P} = \epsilon_0 \underbrace{\alpha}_{\epsilon-1} \underbrace{(\vec{E}_0 + \vec{E}')}_{\vec{E}}, \Rightarrow \vec{P} = \epsilon_0 \alpha (\vec{E}_0 - \frac{1}{3\epsilon_0} \vec{P}),$$

$$\vec{P} = 3\epsilon_0 \frac{\alpha}{3+\alpha} \vec{E}_0 = 3\epsilon_0 \frac{\epsilon-1}{\epsilon+2} \vec{E}_0.$$

$\sigma' = P_n = P \cos \alpha$ . Дипольный момент шара:

$$\vec{p} = \vec{P} \cdot \frac{4}{3} \pi R^3 = 4\pi\epsilon_0 R^3 \frac{\epsilon-1}{\epsilon+2} \vec{E}_0, \text{ где } R \text{ - радиус}$$

шара. При  $\epsilon \rightarrow \infty$  - проводящий шар.

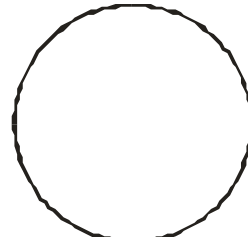


Полное поле  $E$   
внутри и снаружи шара из  
диэлектрика.

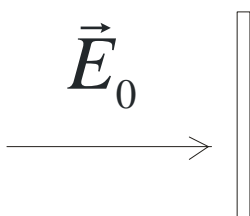
# Фактор формы

$$\vec{E} = \vec{E}_0 + \vec{E}' = \vec{E}_0 - \frac{N}{\epsilon_0} \vec{P},$$

где  $N$  – Фактор формы.

Для шара  $N = \frac{1}{3}$ .  $\xrightarrow{\vec{E}_0}$  

Для басконечной пластины:

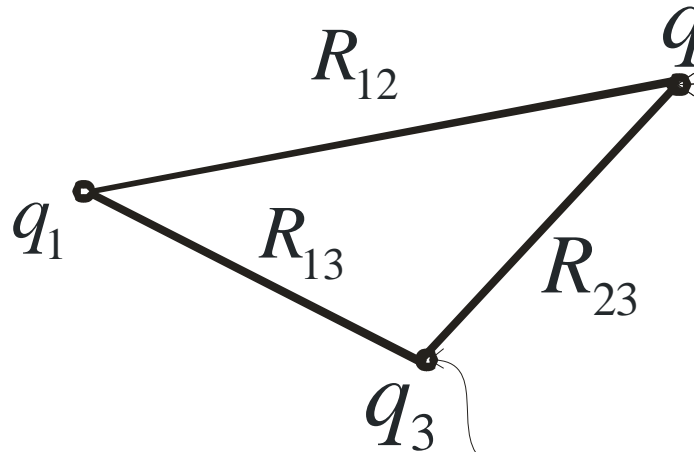
если  $\vec{E}_0 \perp$  плоскости пластины  $N = 1$ ,  $\xrightarrow{\vec{E}_0}$  

если  $\vec{E}_0 \parallel$  плоскости пластины  $N = 0$ .  $\xrightarrow{\vec{E}_0}$  

# Лекция 6.

- Энергия системы электрических зарядов. Энергия взаимодействия и собственная энергия. Энергия электростатического поля и её объемная плотность. Энергия электрического диполя во внешнем поле.
- Пондеромоторные силы в электрическом поле и методы их вычислений. Связь пондеромоторных сил с энергией системы зарядов.

# Энергия системы электрических зарядов.



$$W_2 = q_2 \varphi_2 = k \frac{q_2 q_1}{R_{12}},$$

$$W_3 = q_3 \varphi_3 = k \frac{q_3 q_1}{R_{13}} + k \frac{q_3 q_2}{R_{23}},$$

$$W = W_2 + W_3 = k \left( \frac{q_1 q_2}{R_{12}} + \frac{q_1 q_3}{R_{13}} + \frac{q_2 q_3}{R_{23}} \right),$$

$$W = k \sum_{i < j} \frac{q_i q_j}{R_{ij}} = \frac{1}{2} \sum_{\substack{i, j \\ i \neq j}} \frac{q_i q_j}{R_{ij}} = \frac{1}{2} \sum_i q_i \varphi_i, \text{ где } \varphi_i = k \sum_j \frac{q_j}{R_{ij}},$$

Энергия взаимодействия зарядов при наличии диэлектриков

$$W = \frac{1}{2} \sum_i q_i \varphi_i, \text{ но } \varphi_i \neq k \sum_j \frac{q_j}{R_{ij}}.$$

Энергия взаимодействия зарядов при непрерывном распределении зарядов

$$W = \frac{1}{2} \int_V \rho \varphi dV.$$

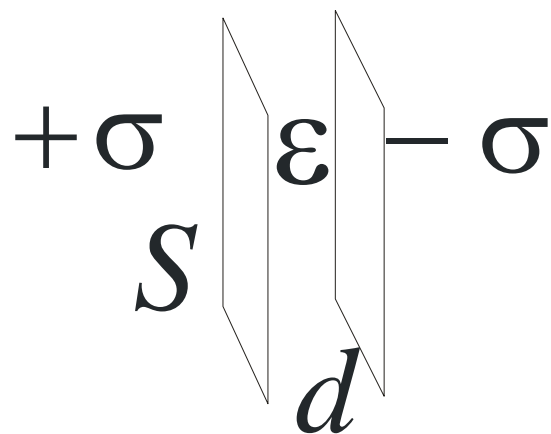
Пример. Энергия конденсатора.

$$W = \frac{1}{2} q_1 \varphi_1 + \frac{1}{2} q_2 \varphi_2 = \frac{1}{2} q_1 (\varphi_1 - \varphi_2) = \frac{1}{2} q_1 U = \frac{cU^2}{2}.$$

# Энергия системы заряженных проводников

$$W = \frac{1}{2} \sum_{i=1}^n q_i \varphi_i = \frac{1}{2} \sum_{i=1}^n \sum_{j=1}^n c_{ij} \varphi_j \varphi_i = \frac{1}{2} \sum_{i=1}^n \sum_{j=1}^n \alpha_{ij} q_i q_j.$$

Энергия электростатического поля и её объемная плотность.



$$W = \frac{1}{2} c U^2 = \frac{1}{2} \frac{\epsilon_0 \epsilon S}{d} (Ed)^2 =$$

$$\frac{1}{2} \underbrace{\epsilon_0 \epsilon E \cdot E}_{D} \cdot \underbrace{Sd}_{V} = \frac{DE}{2} V.$$

$$w = \frac{W}{V} = \frac{\vec{D} \vec{E}}{2}.$$

6.4

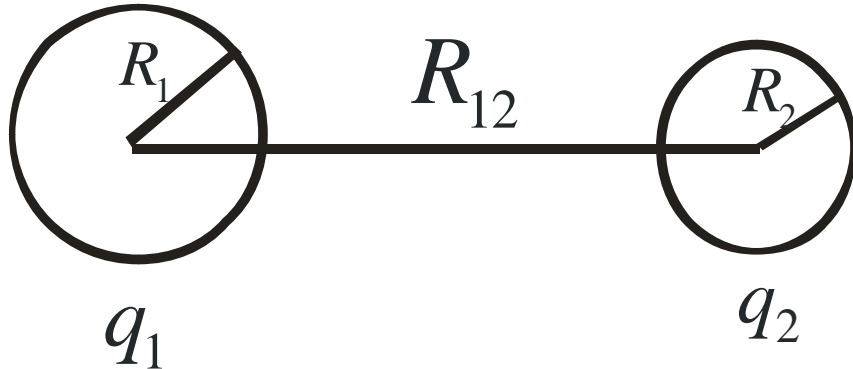
# Строгий вывод формулы для плотности энергии электростатического поля

$$\begin{aligned}
W &= \frac{1}{2} \int_V \rho \varphi dV = \frac{1}{2} \int_{\infty} \rho \varphi dV = \frac{1}{2} \int_{\infty} (\operatorname{div} \vec{D}) \varphi dV = \\
&= \frac{1}{2} \int_{\infty} \left( \sum_{i=1}^3 \frac{\partial D_i}{\partial x_i} \right) \varphi dV = \frac{1}{2} \int_{\infty} \left( \underbrace{\sum_{i=1}^3 \frac{\partial (D_i \varphi)}{\partial x_i}}_{\operatorname{div}(\varphi \vec{D})} - \underbrace{\sum_{i=1}^3 D_i \frac{\partial \varphi}{\partial x_i}}_{-\vec{D} \vec{E}} \right) dV = \\
&= \frac{1}{2} \underbrace{\int_{S_{R \rightarrow \infty}} \varphi \vec{D} d\vec{S}}_{\rightarrow 0} + \frac{1}{2} \int_{\infty} \vec{D} \vec{E} dV = \int_{\infty} w dV, \quad \text{где } w = \frac{\vec{D} \vec{E}}{2}.
\end{aligned}$$

# Энергия взаимодействия и собственная энергия.

- Собственная энергия заряженного тела - это энергия, обусловленная взаимодействием зарядов данного тела друг с другом.
- Энергия взаимодействия двух заряженных тел - это энергия, обусловленная взаимодействием зарядов одного тела с зарядами другого тела.

Рассмотрим для простоты два заряженных проводящих шара



Для уединенных шаров

$$W_1^{\text{собст.}} = \frac{q_1 \varphi_1}{2}, \quad W_2^{\text{собст.}} = \frac{q_2 \varphi_2}{2}.$$

Для взаимодействующих шаров

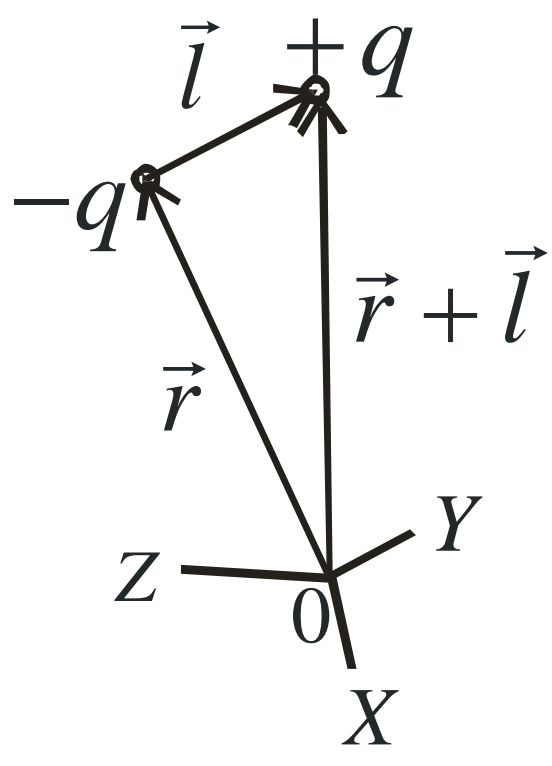
$$\begin{aligned} \varphi_1 &= \varphi_1^{q_1} + \varphi_1^{q_2}, \quad \varphi_2 = \varphi_2^{q_1} + \varphi_2^{q_2}. \quad W = \frac{1}{2} q_1 \varphi_1 + \frac{1}{2} q_2 \varphi_2 = \\ &= \underbrace{\frac{1}{2} q_1 \varphi_1^{q_1}}_{W_1^{\text{собст.}}} + \underbrace{\frac{1}{2} q_2 \varphi_2^{q_2}}_{W_2^{\text{собст.}}} + \underbrace{\frac{1}{2} q_1 \varphi_1^{q_2} + \frac{1}{2} q_2 \varphi_2^{q_1}}_{W_{\text{взаимодействия}}}. \end{aligned}$$

В рамках полевого формализма

$$\begin{aligned}
 \vec{E} &= \vec{E}_1 + \vec{E}_2, \\
 W &= \int_{-\infty}^{\infty} \frac{\varepsilon_0 (\vec{E}_1 + \vec{E}_2)^2}{2} dV = \\
 &= \underbrace{\int_{-\infty}^{\infty} \frac{\varepsilon_0 \vec{E}_1^2}{2} dV}_{W_1^{\text{собст.}}} + \underbrace{\int_{-\infty}^{\infty} \frac{\varepsilon_0 \vec{E}_2^2}{2} dV}_{W_2^{\text{собст.}}} + \underbrace{\int_{-\infty}^{\infty} \varepsilon_0 \vec{E}_1 \vec{E}_2 dV}_{U^{\text{взаимод.}}}.
 \end{aligned}$$

При  $R_{1,2} \rightarrow 0$ ,  $W_{1,2}^{\text{собст.}} \rightarrow \infty$ ;  $U^{\text{взаимод.}} \leq$  или  $> 0$ .

# Энергия электрического диполя во внешнем поле.



$$W = q\varphi(\vec{r} + \vec{l}) - q\varphi(\vec{r}),$$

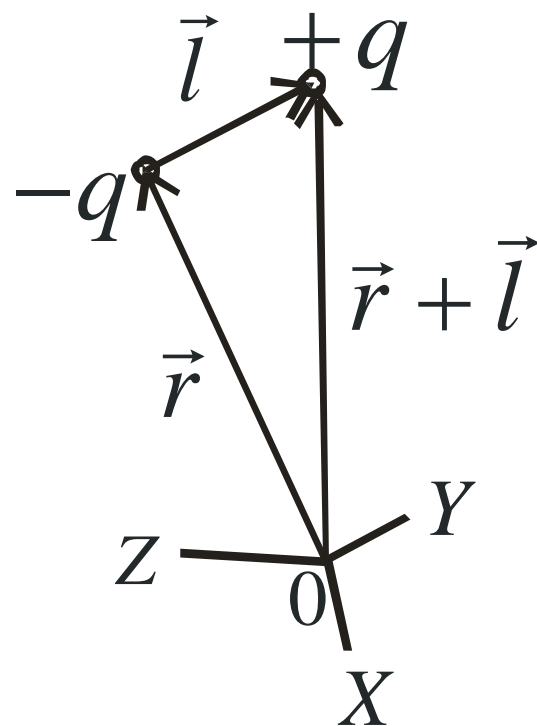
$$\begin{aligned}\varphi(\vec{r} + \vec{l}) &= \varphi(x + l_x, y + l_y, z + l_z) = \\ &= \varphi(\vec{r}) + \frac{\partial \varphi}{\partial x} l_x + \frac{\partial \varphi}{\partial y} l_y + \frac{\partial \varphi}{\partial z} l_z + \dots,\end{aligned}$$

$$W = \underbrace{q\vec{l}}_{\vec{p}} \cdot \underbrace{\nabla \varphi}_{-\vec{E}} = -\vec{p}\vec{E}.$$

# Пондеромоторные силы в электрическом поле и методы их вычислений. Силы, действующие на диполь.

$$\begin{aligned}\vec{F} &= -\nabla W; \quad F_i = -\frac{\partial W}{\partial x_i} = \frac{\partial}{\partial x_i} \vec{p} \vec{E} = \\ &= \frac{\partial}{\partial x_i} \sum_{j=1}^3 p_j E_j = \frac{\partial}{\partial x_i} \sum_{j=1}^3 p_j \left( -\frac{\partial \varphi}{\partial x_j} \right) = \\ &= \sum_{j=1}^3 \left( p_j \frac{\partial}{\partial x_j} \right) \left( -\frac{\partial \varphi}{\partial x_i} \right); \Rightarrow \vec{F} = (\vec{p} \nabla) \cdot \vec{E};\end{aligned}$$

## Момент силы, действующей на диполь



$$\vec{M} = [\vec{r} + \vec{l}, q\vec{E}(\vec{r} + \vec{l})] - [\vec{r}, q\vec{E}(\vec{r})],$$

В однородном поле  $\vec{E} = \text{const}$ , тогда

$$\vec{M} = [\vec{l}, q\vec{E}] = [q\vec{l}, \vec{E}] = [\vec{p}, \vec{E}].$$

# Объемная плотность силы, действующая на диэлектрик

Дипольный момент объема диэлектрика

$\vec{p}_{\Delta V}$  выражается через вектор поляризации  $\vec{P}$

$\vec{p}_{\Delta V} = \vec{P}\Delta V$ , тогда плотность силы

$$\vec{f} = \frac{\vec{F}_{\Delta V}}{\Delta V} = \frac{(\vec{p}_{\Delta V} \cdot \nabla) \vec{E}}{\Delta V} = (\underbrace{\vec{P}}_{\vec{P} = \epsilon_0 \alpha \vec{E}} \cdot \nabla) \vec{E} = \epsilon_0 \alpha (\vec{E} \cdot \nabla) \vec{E};$$

$$f_i = \epsilon_0 \alpha \left( \sum_{j=1}^3 \frac{\partial \varphi}{\partial x_j} \frac{\partial}{\partial x_j} \right) \frac{\partial \varphi}{\partial x_i} = \epsilon_0 \alpha \sum_{j=1}^3 \underbrace{\frac{\partial \varphi}{\partial x_j}}_{-E_j} \underbrace{\frac{\partial}{\partial x_i}}_{-E_j} \underbrace{\frac{\partial \varphi}{\partial x_j}}_{-E_j} = 6.12$$

$$\begin{aligned}
&= \varepsilon_0 \alpha \sum_{j=1}^3 \frac{\partial}{\partial x_i} \frac{E_j^2}{2} = \varepsilon_0 \alpha \frac{\partial}{\partial x_i} \sum_{j=1}^3 \frac{E_j^2}{2} = \\
&= \varepsilon_0 \alpha \frac{\partial}{\partial x_i} \frac{\vec{E}^2}{2}. \text{ Окончательно имеем}
\end{aligned}$$

$$\vec{f} = \varepsilon_0 \alpha \cdot \nabla \frac{E^2}{2} = \varepsilon_0 (\varepsilon - 1) \cdot \nabla \frac{E^2}{2}.$$

# Связь пондеромоторных сил с энергией системы зарядов

Если в системе поддерживается  $T = const$ ,

деформация среды не меняется и  $\varepsilon = const$ , то

$$dW = dW_{\substack{\text{энергия, поступившая} \\ \text{от внешних источников}}} + dA'_{\text{внешних сил}}.$$

Для квазистатических перемещений

$$dA'_{\text{внешних сил}} = -dA_{\text{электрического поля}} = -\sum_{i=1}^n F_i d\xi_i,$$

где  $\xi_i$  - обобщенные координаты,  $F_i$  - обобщенные силы.

$$dW_{\substack{\text{энергия, поступившая} \\ \text{от внешних источников}}} = \sum_j \varphi_j dq_j.$$

6.14

$$dW = \sum_j \varphi_j dq_j - \sum_{i=1}^n F_i d\xi_i .$$

1) Если  $q_j = const$ , то

$$\sum_{i=1}^n F_i d\xi_i = -dW(\xi_1, \xi_2, \dots, \xi_n) = -\sum_{i=1}^n \frac{\partial W}{\partial \xi_i} \Big|_{q_j=const} d\xi_i .$$

$$F_i = -\frac{\partial W}{\partial \xi_i} \Big|_{q_j=const} .$$

2) Если  $\varphi_j = const$ , то

$$dW = \frac{1}{2} \sum_j \varphi_j dq_j .$$

Тогда

$$\sum_{i=1}^n F_i d\xi_i = dW(\xi_1, \xi_2, \dots, \xi_n) = \sum_{i=1}^n \left. \frac{\partial W}{\partial \xi_i} \right|_{\varphi_j = const} d\xi_i.$$

$$F_i = \left. \frac{\partial W}{\partial \xi_i} \right|_{\varphi_j = const} .$$

**Пример.** Вычислить силу притяжения пластин плоского конденсатора, помещенного в жидкий диэлектрик, если  $q = const.$

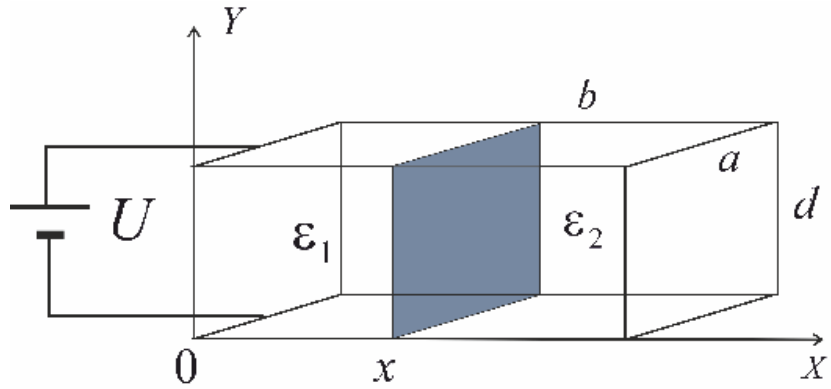
$$W = \frac{cU^2}{2} = \frac{q^2}{2c} = \frac{q^2d}{2\epsilon_0\epsilon S},$$

$d$  - обобщенная координата.

$$F_d = -\left. \frac{\partial W}{\partial d} \right|_{q=const} = -\frac{q^2}{2\epsilon_0\epsilon S} = -\frac{q}{2} \frac{\sigma}{\epsilon_0\epsilon} = -\frac{q}{2} E.$$

В диэлектрике сила взаимодействия пластин уменьшилась в  $\epsilon$  раз, то есть  $F_d = F_d / \epsilon.$

Пондеромоторные силы, действующие на диэлектрик в конденсаторе. Давление и натяжение Фарадея-Максвелла.

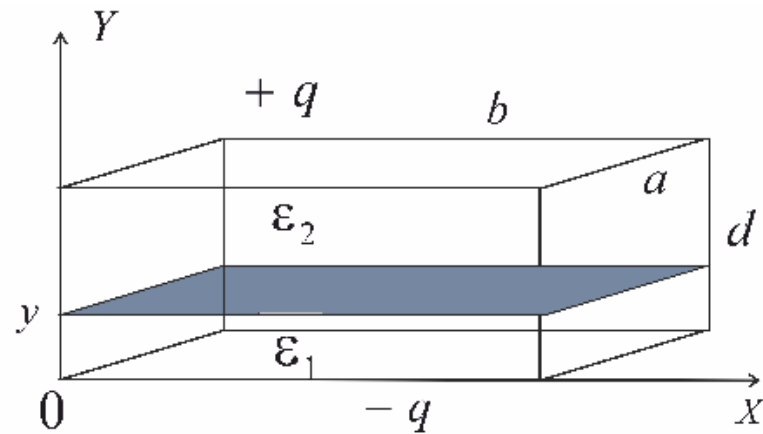


$$W = \frac{cU^2}{2}, \text{ где } c = \frac{\varepsilon_0 \varepsilon_1 x a}{d} + \frac{\varepsilon_0 \varepsilon_2 (b - x) a}{d}.$$

$$F_x = \frac{\partial W}{\partial x} = \left( \frac{\varepsilon_0 \varepsilon_1 a}{d} - \frac{\varepsilon_0 \varepsilon_2 a}{d} \right) \frac{U^2}{2},$$

$$U = Ed; \Rightarrow F_x = \frac{\varepsilon_0 \varepsilon_1 E^2 ad}{2} - \frac{\varepsilon_0 \varepsilon_2 E^2 ad}{2} = \left( \frac{D_1 E}{2} - \frac{D_2 E}{2} \right) ad.$$

$$f_x = \frac{F_x}{ad} = w_1 - w_2, \text{ где } w = \frac{DE}{2}.$$



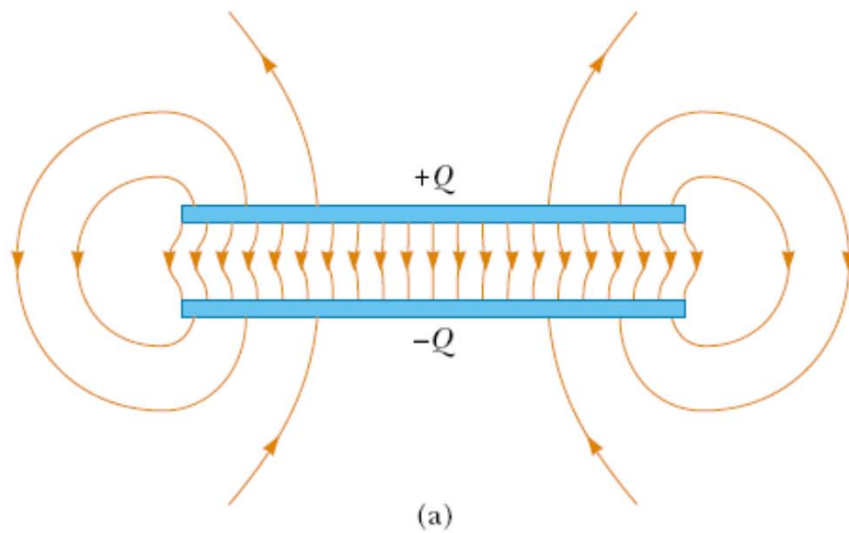
$$W = \frac{q^2}{2c}, \text{ где } \frac{1}{c} = \frac{1}{c_1} + \frac{1}{c_2} = \frac{y}{\epsilon_0 \epsilon_1 ab} + \frac{d-y}{\epsilon_0 \epsilon_2 ab}$$

$$F_y = -\frac{\partial W}{\partial y} = -\left(\frac{1}{\epsilon_0 \epsilon_1 ab} - \frac{1}{\epsilon_0 \epsilon_2 ab}\right) \frac{q^2}{2},$$

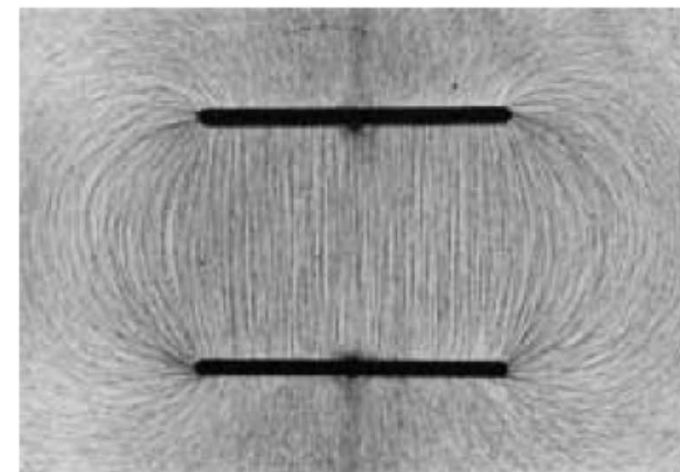
так как  $q = \sigma \cdot ab$ ,  $D = \sigma$ ,  $E_1 = \frac{\sigma}{\epsilon_0 \epsilon_1}$ ,  $E_2 = \frac{\sigma}{\epsilon_0 \epsilon_2}$ .

$$f_y = \frac{F_y}{ab} = \frac{DE_2}{2} - \frac{DE_1}{2} = w_2 - w_1.$$

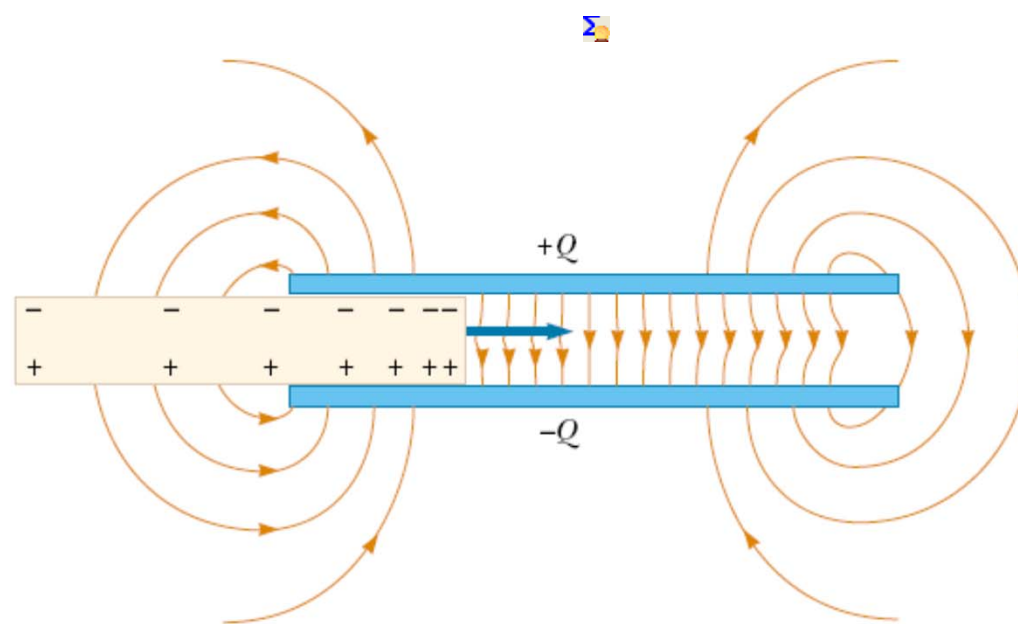
Электрические пондеромоторные силы имеют такую же величину, как если бы линии напряженности имели продольное натяжение и боковое давление, каждое из которых равно объемной плотности энергии поля  $w=DE/2$ .



(a)



(b)



6.18

# Лекция 7.

- Электронная теория поляризации диэлектриков. Локальное поле. Неполярные диэлектрики. Формула Клаузиуса – Мосотти. Полярные диэлектрики. Функция Ланжевена. Поляризация ионных кристаллов.
- Электрические свойства кристаллов. Пироэлектрики. Пьезоэлектрики. Прямой и обратный пьезоэлектрический эффект и его применение.
- Сегнетоэлектрики. Доменная структура сегнетоэлектриков. Гистерезис. Точка Кюри сегнетоэлектрика. Применение сегнетоэлектриков.

# Электронная теория поляризации диэлектриков. Локальное поле.

- Поляризационные свойства диэлектриков определяются поляризационными особенностями отдельных молекул вещества.
- Все молекулы можно разделить на полярные и неполярные молекулы.
- У неполярных молекул в отсутствии внешнего электрического поля дипольный момент равен нулю. Полярные молекулы обладают собственным дипольным моментом.

# Поляризация неполярных молекул.

$\vec{p} = \epsilon_0 \beta \vec{E}_0$ , где  $\beta$  - поляризуемость молекулы.

Для оценки можно рассматривать молекулу как проводящий шар с  $R \sim 10^{-8}$  см, тогда

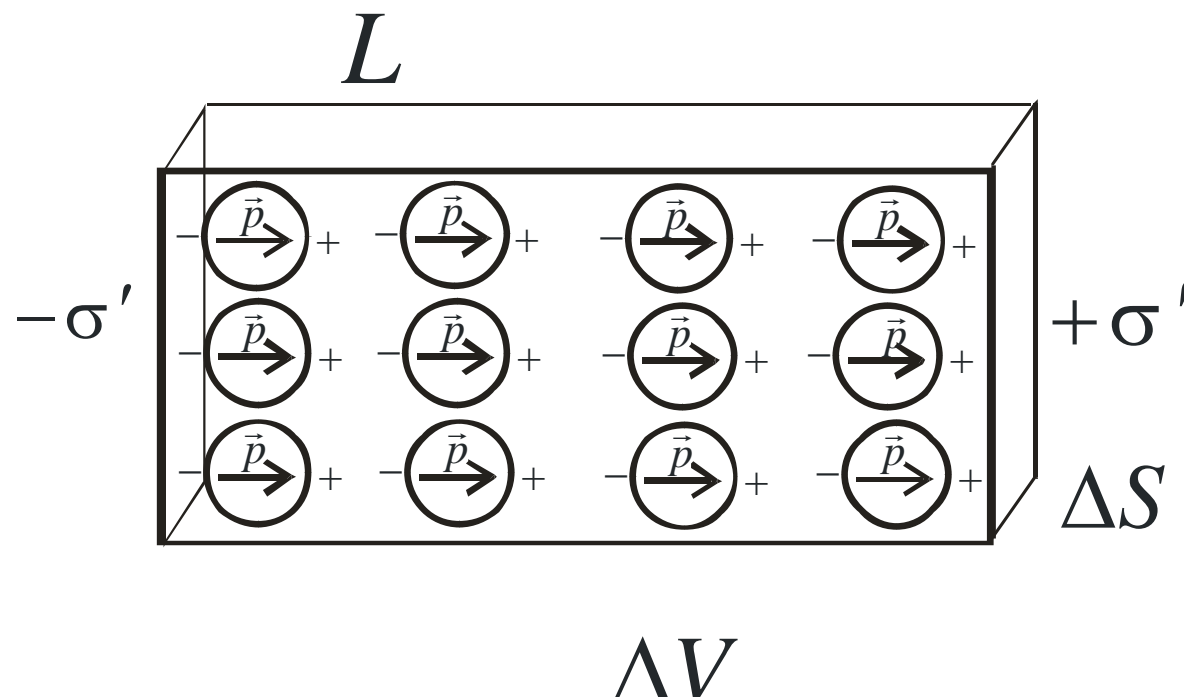
$$\vec{p} = 4\pi\epsilon_0 R^3 \vec{E}_0, \quad \beta = 4\pi R^3 \sim 4\pi 10^{-24} \text{ см}^3.$$

Элемент	H	He	Li	Be	C	Ne	Na	Ar	K
$\beta \cdot \frac{1}{4\pi} 10^{-24} \text{ см}^3$	0,66	0,21	12	9,3	1,5	0,4	27	1,6	34

# Микроскопическое и макроскопическое поле в веществе.

$$\vec{E}_{\text{макро.}} = \left\langle \vec{E}(\vec{r}, t)_{\text{микро.}} \right\rangle \Big|_{\Delta V} = \frac{1}{\Delta V} \int_{\Delta V} \vec{E}(\vec{r}, t)_{\text{микро.}} dV.$$

Поле в диэлектрике это  $\vec{E} = \vec{E}_{\text{макро.}}$ .



## Локальное поле.

Локальное поле - это поле, действующее на молекулу.

Оно равно макроскопическому полю в диэлектрике за вычетом поля, порожденного самой молекулой,

$$\vec{E}_{\text{лок.}} = \vec{E} - \vec{E}_{\text{мол.}} \approx \vec{E}.$$

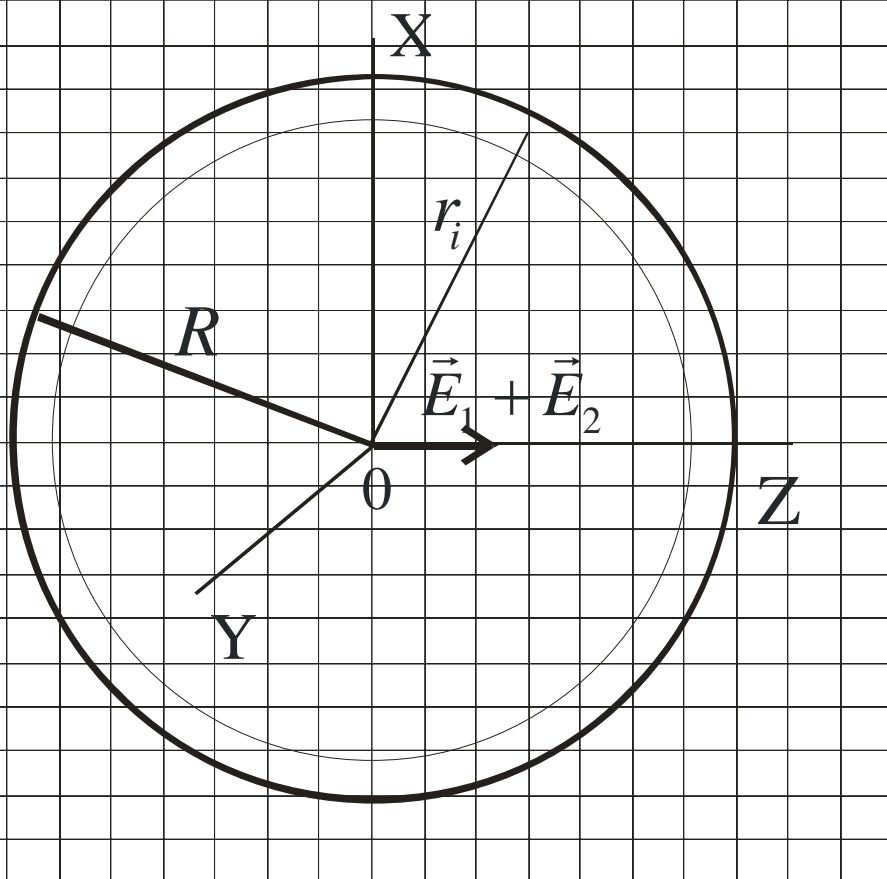
## Поляризуемость разреженных газов.

$$\vec{P} = \frac{\sum_i \vec{p}_i}{\Delta V} = \frac{N_{\Delta V}}{\Delta V} \vec{p}_1 = n \cdot \vec{p}_1 = n \cdot \varepsilon_0 \beta \vec{E}_0 = \varepsilon_0 \underbrace{n \beta}_{\alpha} \vec{E}.$$

Таким образом имеем

$$\alpha = \varepsilon - 1 = n \beta.$$

# Формула Клаузиуса-Мосотти.



$$\vec{E} = \vec{E}_1 + \vec{E}_2,$$

$$\text{где } \vec{E}_1 = \sum_i \vec{E}_{r_i > R},$$

$$\vec{E}_2 = \sum_i \vec{E}_{r_i \leq R},$$

$$\vec{E}_2 = \frac{1}{4\pi\epsilon_0} \sum_i \left( \frac{3(\vec{p}\vec{r}_i)\vec{r}_i}{r_i^5} - \frac{\vec{p}}{r_i^3} \right),$$

$$E_{2x} = \frac{1}{4\pi\epsilon_0} \sum_i \frac{3(p_x x_i + p_y y_i + p_z z_i)x_i - p_x r_i^2}{r_i^5} = 0.$$

Так как для кубической симметрии при суммировании по сферическому слою

$$\sum_i (x_i^2 + y_i^2 + z_i^2) = \sum_i r_i^2,$$

$$\sum_i x_i^2 = \sum_i y_i^2 = \sum_i z_i^2 = \frac{1}{3} \sum_i r_i^2,$$

$$\sum_i x_i y_i = \sum_i z_i x_i = 0.$$

Аналогично доказывается, что

$$E_{2y} = E_{2z} = 0.$$

$$\vec{E}_1 = \vec{E} + \frac{1}{3\epsilon_0} \vec{P}.$$

Таким образом, вектор поляризации равен

$$\vec{P} = n \cdot \epsilon_0 \beta \vec{E}_1 = n \epsilon_0 \beta (\vec{E} + \frac{1}{3\epsilon_0} \vec{P}). \Rightarrow$$

$$\vec{P} = \epsilon_0 \underbrace{\left( \frac{n\beta}{1 - \frac{1}{3}n\beta} \right)}_{\alpha} \vec{E}; \Rightarrow \quad \alpha = \frac{n\beta}{1 - \frac{1}{3}n\beta}.$$

Из этой формулы имеем

$$n\beta = 3 \frac{\alpha}{3 + \alpha} = 3 \frac{\varepsilon - 1}{\varepsilon + 2} -$$

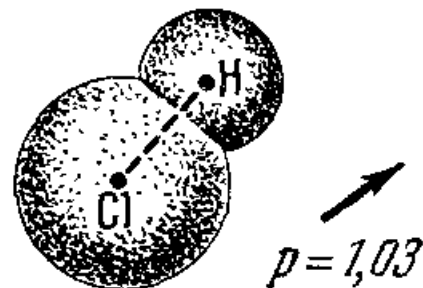
**Формула Клаузиуса – Мосотти.**

Так как  $n = \frac{\rho_m}{\mu} N_A$ , то  $\beta N_A = \frac{\mu}{\rho_m} 3 \frac{\varepsilon - 1}{\varepsilon + 2} -$

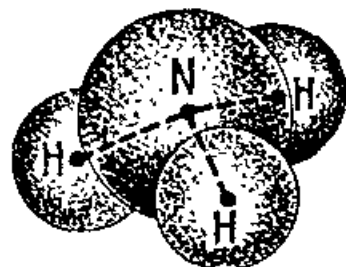
в широких пределах для неполярных диэлектриков не зависит от физических параметров (например, для CO<sub>2</sub> вплоть до 100 МПа при 100°C).

# Полярные диэлектрики. Функция Ланжевена.

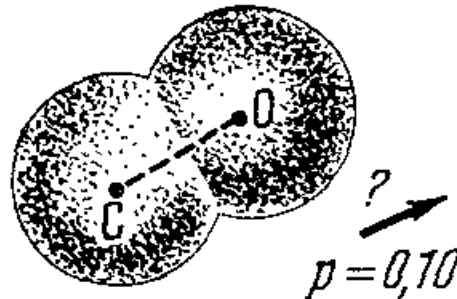
Соляная кислота



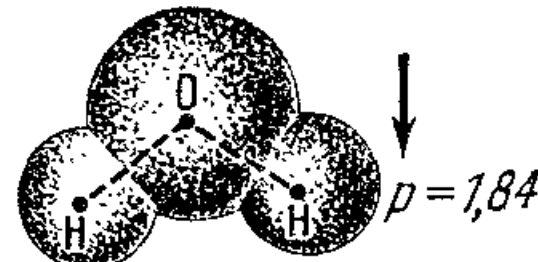
Аммиак



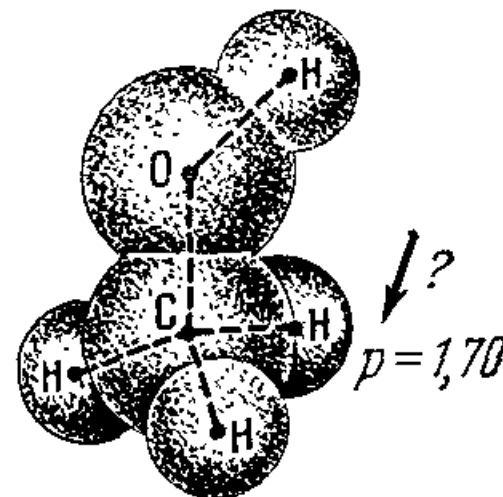
Оксик углерода



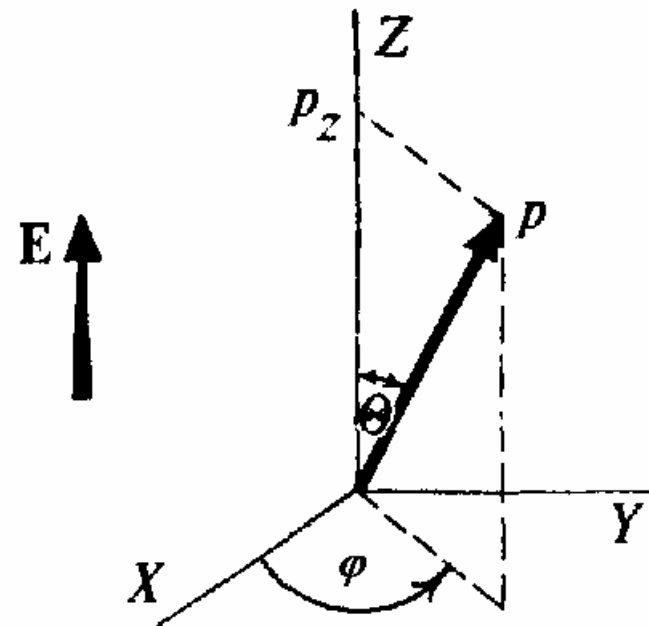
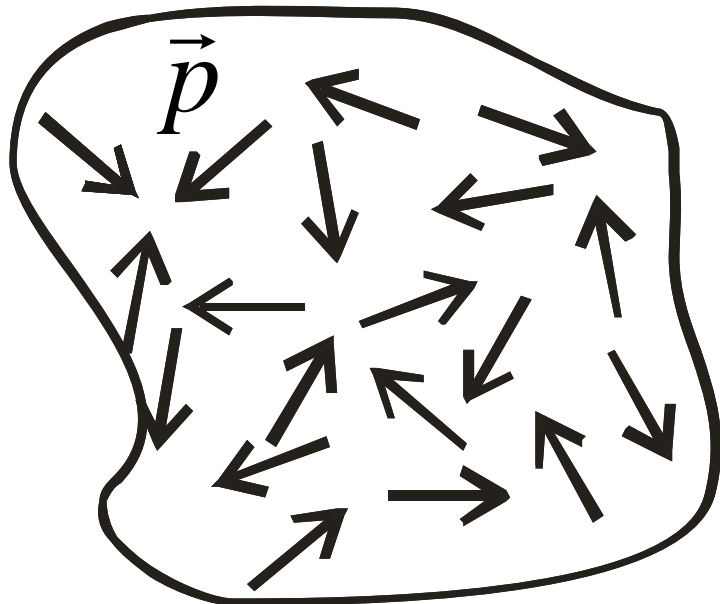
Вода



Метанол



# Поляризация газообразного полярного диэлектрика



Ориентировка диполя в сферической системе координат

В соответствии с распределением Больцмана

$$dN = A e^{-\frac{W}{K_B T}} \cdot d\sigma, \text{ где } d\sigma = \sin \theta \cdot d\varphi \cdot d\theta,$$

$$W = -\vec{p} \vec{E} = -p E \cos \theta.$$

$$\langle p_z \rangle = \frac{\int p_z dN}{\int dN} = \frac{\int_0^{\pi} p \cos \theta \cdot A e^{\frac{pE}{K_B T} \cos \theta} \cdot 2\pi \cdot \sin \theta \cdot d\theta}{\int_0^{\pi} A e^{\frac{pE}{\zeta} \cos \theta} \cdot 2\pi \cdot \sin \theta \cdot d\theta}.$$

$$I = \int_0^{\pi} e^{\zeta \underbrace{\cos \theta}_x} \cdot \sin \theta \cdot d\theta = - \int_1^{-1} e^{\zeta x} \cdot dx = \frac{2}{\zeta} \operatorname{sh} \zeta,$$

$$\frac{dI}{d\zeta} = \int_0^{\pi} \cos \theta \cdot e^{\zeta \cos \theta} \cdot \sin \theta \cdot d\theta = \frac{d}{d\zeta} \left( \frac{2}{\zeta} \operatorname{sh} \zeta \right) =$$

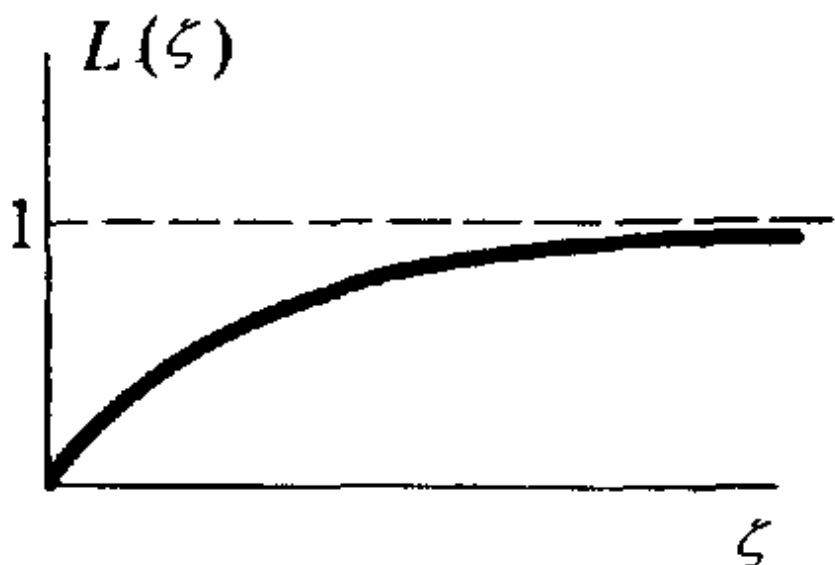
$$= \frac{2}{\zeta} \left( \operatorname{ch} \zeta - \frac{\operatorname{sh} \zeta}{\zeta} \right);$$

В результате имеем

$$\langle p_z \rangle = p \frac{\operatorname{ch} \zeta - \frac{\operatorname{sh} \zeta}{\zeta}}{\operatorname{sh} \zeta} = p \cdot L(\zeta),$$

где

$$L(\zeta) = \operatorname{cth} \zeta - \frac{1}{\zeta} \text{ - функция Ланжевена.}$$



При  $\zeta \ll 1$ ,

$$L(\zeta) = \frac{1}{3} \zeta + \dots,$$

$$\langle p_z \rangle = p \frac{\zeta}{3} = \epsilon_0 \frac{1}{3\epsilon_0} \frac{p^2}{K_B T} E = \epsilon_0 \beta E,$$

где  $\beta$  - эффективная поляризуемость молекулы.

Для разреженных газов вектор поляризации равен

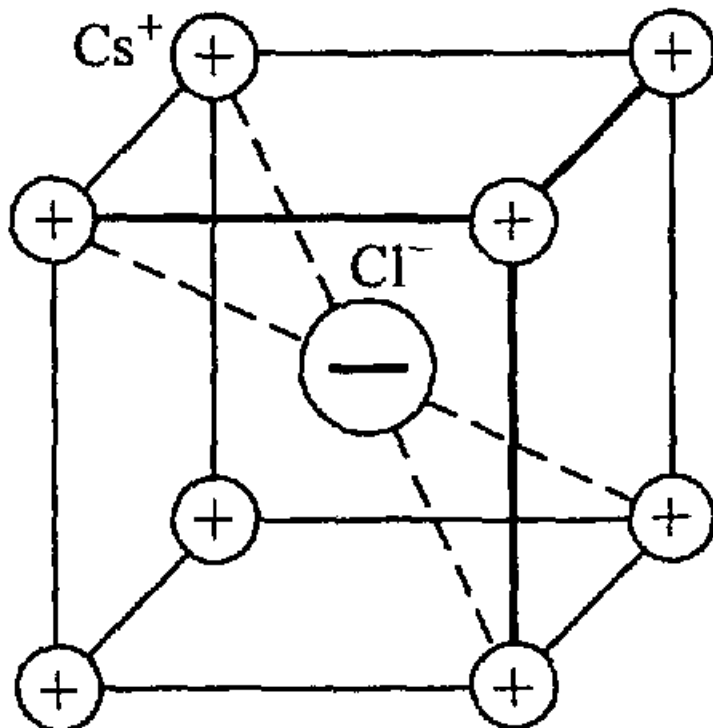
$$\vec{P} = n \langle \vec{p}_1 \rangle = \epsilon_0 \underbrace{n \beta}_{\alpha} \vec{E} \approx \epsilon_0 \alpha \vec{E}_0,$$

$$\text{где } \alpha = \varepsilon - 1 = n\beta = \frac{n p^2}{3\varepsilon_0 K_B T}.$$

Если учесть неполярная составляющую восприимчивости  $n\beta_0$ , которая у полярных молекул обычно мала по сравнению с полярной, получим

$$\alpha = \varepsilon - 1 = n\beta_0 + \frac{n p^2}{3\varepsilon_0 K_B T}.$$

# Поляризация ионных кристаллов.



В кристаллических веществах возможно смещение положительной и отрицательной ионных подрешеток относительно друг друга под действием внешнего электрического поля. Такая поляризация называется ионной поляризацией.

Рис. 65. Элементарная ячейка кристалла хлористого цезия  $\text{CsCl}$

# Электрические свойства кристаллов. Пироэлектрики

У некоторых кристаллов в состоянии термодинамического равновесия решетки положительных и отрицательных ионов смещены, то есть они имеют спонтанную поляризацию, например, кристалл турмалина. (см. [3, Пироэлектричество])

# Пьезоэлектрики. Прямой и обратный пьезоэффект и его применение.

У ряд кристаллов при деформациях возникает электрическая поляризация (прямой пьезоэффеkt) и наоборот при наложении электрического поля происходит деформация (обратный пьезоэффеkt). К таким веществам относятся кристаллы кварца, турмалина, сегнетовой соли, титаната бария и многие другие (см.[3. пьезоэлектричество]).

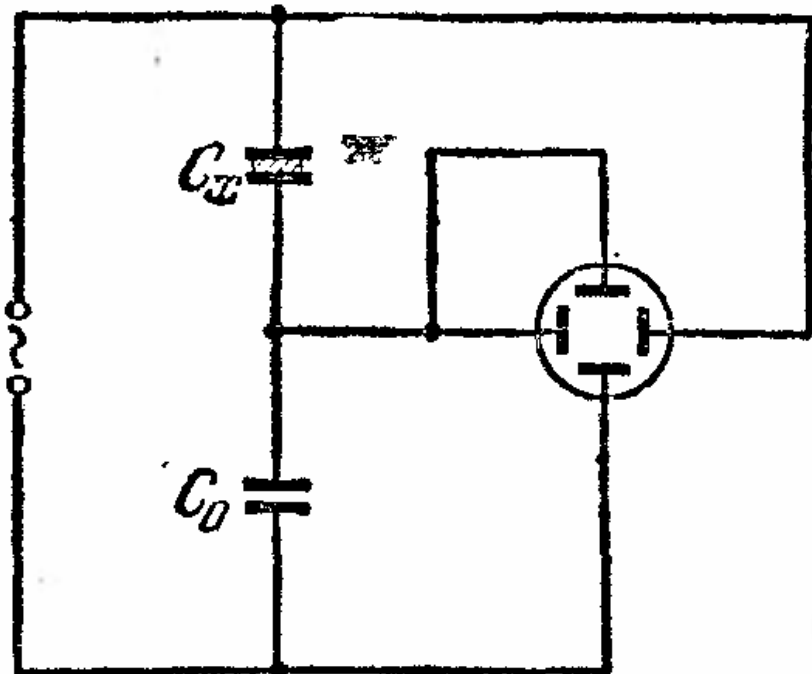
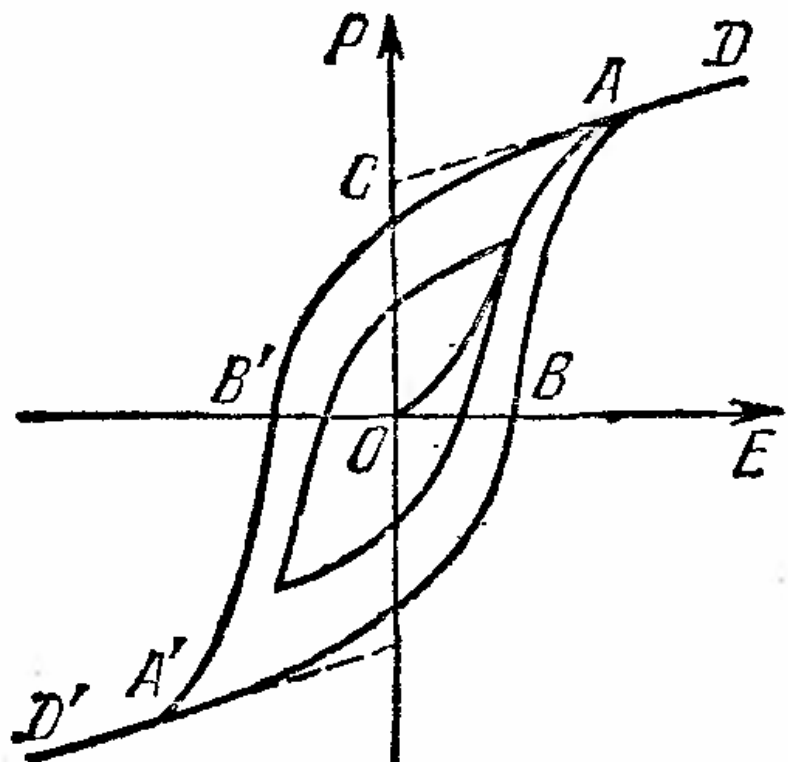
# Сегнетоэлектрики. Их основные свойства.

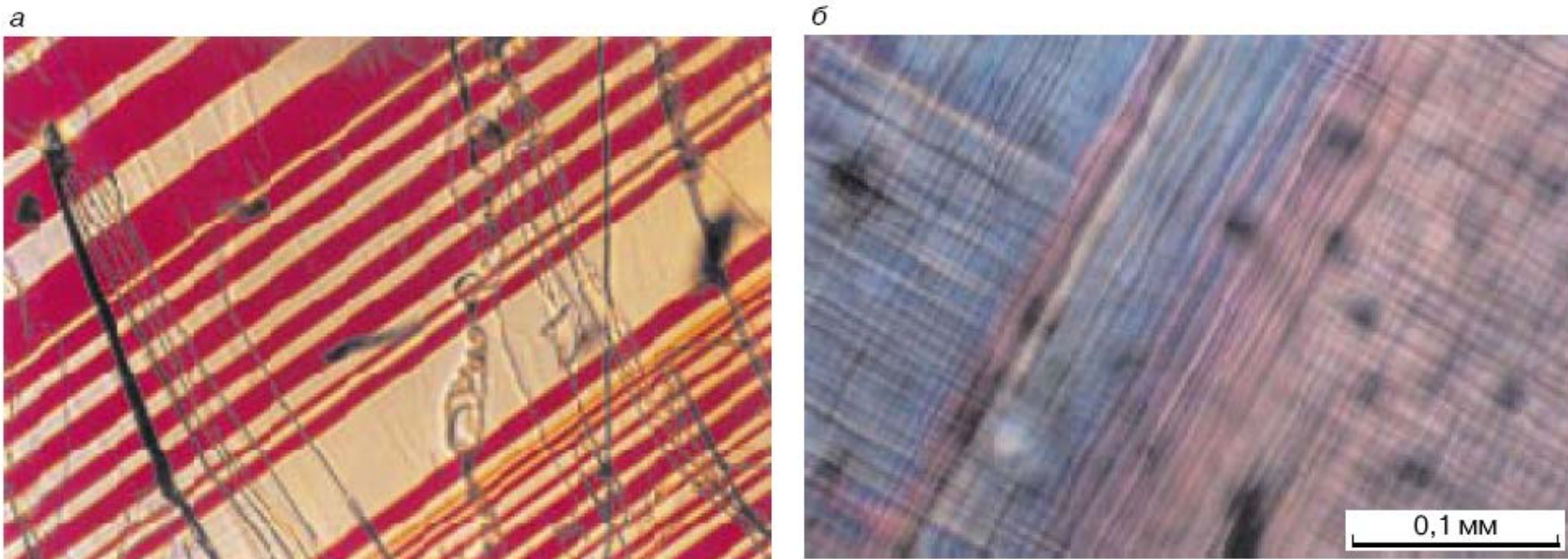
## Доменная структура сегнетоэлектриков.

Некоторые кристаллические вещества (сегнетовая соль  $\text{NaKC}_4\text{H}_4\text{O}_6 \cdot 4\text{H}_2\text{O}$ , титанат бария  $\text{BaTiO}_3$  и др.) в определенном диапазоне температур находятся в состоянии спонтанной поляризации. Их вектор спонтанной поляризации, в отличии от пироэлектриков, может легко ориентирован относительно слабым электрическим полем. Эти вещества (сегнетоэлектрики) в данном диапазоне температур могут иметь гигантские значения диэл. проницаемости  $\varepsilon \sim 10000$ .

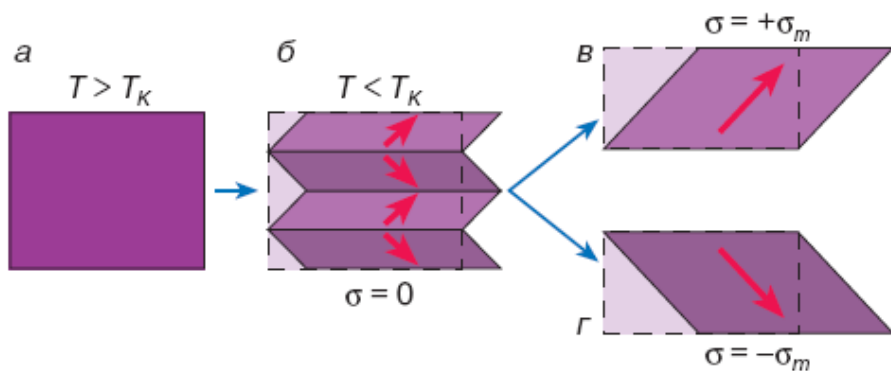
Зависимость  $\vec{P}(\vec{E})$  является нелинейной, то есть воспримчивость  $\alpha = \alpha(\vec{E})$ . Процесс поляризации имеет гистерезис.

# Гистерезис. Точка Кюри сегнетоэлектриков.

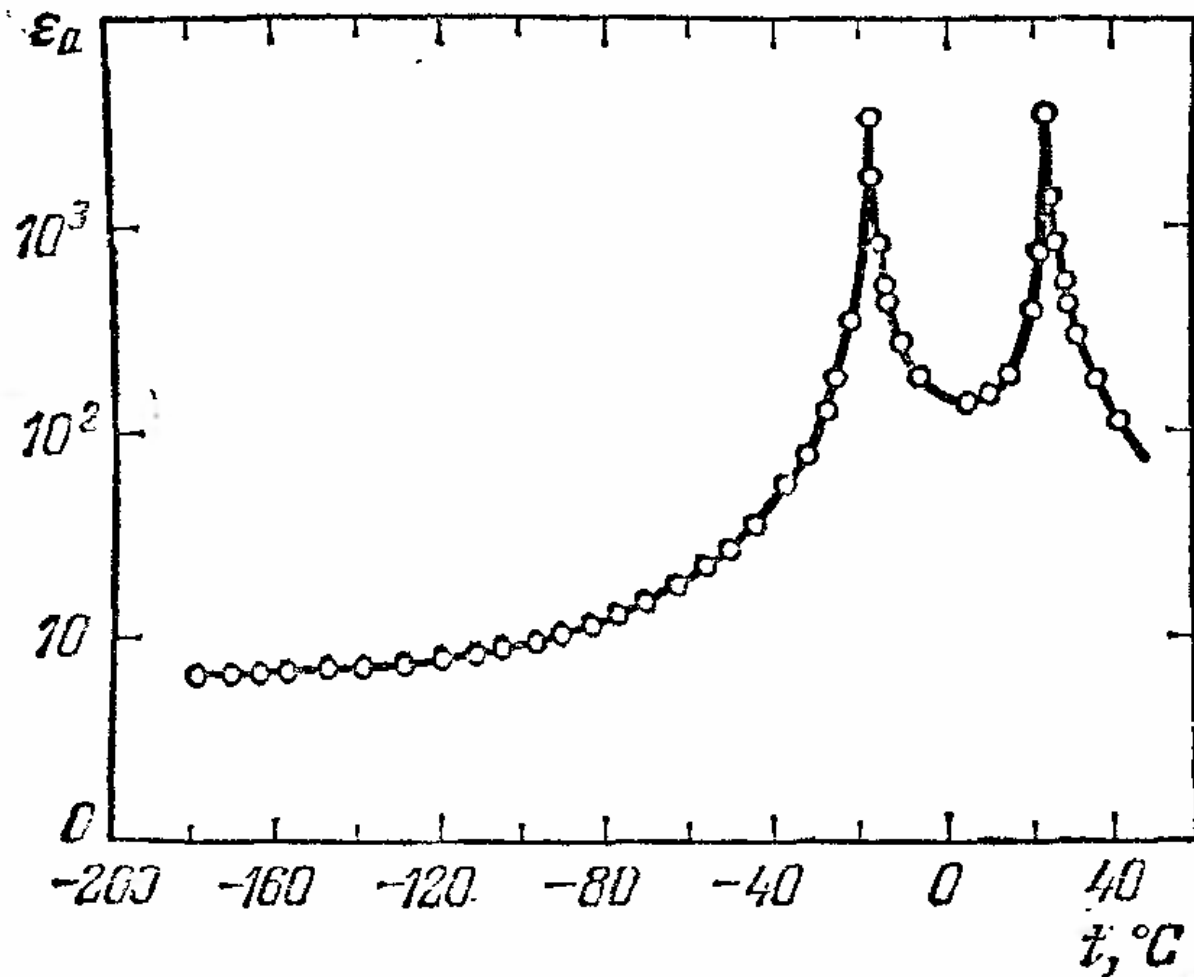




**Рис. 3.** Изображение доменной структуры монокристаллов титаната бария (*а*) и сегнетовой соли (*б*) в поляризованном свете



**Рис. 2.** Схематическое изображение возникновения (*а, б*) и перестройки (*б–в; б–г*) доменной структуры в сегнетоэластическом кристалле



Закон Кюри-Вейсса вблизи точек Кюри

$$\alpha = \frac{C'}{T'_K - T}, \quad \alpha = \frac{C}{T - T_K}.$$

Для сегнетовой соли  $T'_K = -18^\circ\text{C}$ ,  $T_K = 24^\circ\text{C}$ .

# Применение сегнетоэлектриков.

- Сегнетоэлектрики находят широкое применение при изготовлении малогабаритных конденсаторов в качестве нелинейных элементов радиотехнических устройств, в технике ультразвука. Во внешнем электрическом поле изменяются преломляющие свойства сегнетоэлектрических кристаллов (компоненты тензора показателя преломления): это явление используется для управления световыми пучками (оптические затворы, модуляторы и умножители частоты лазерного излучения и т.д.).

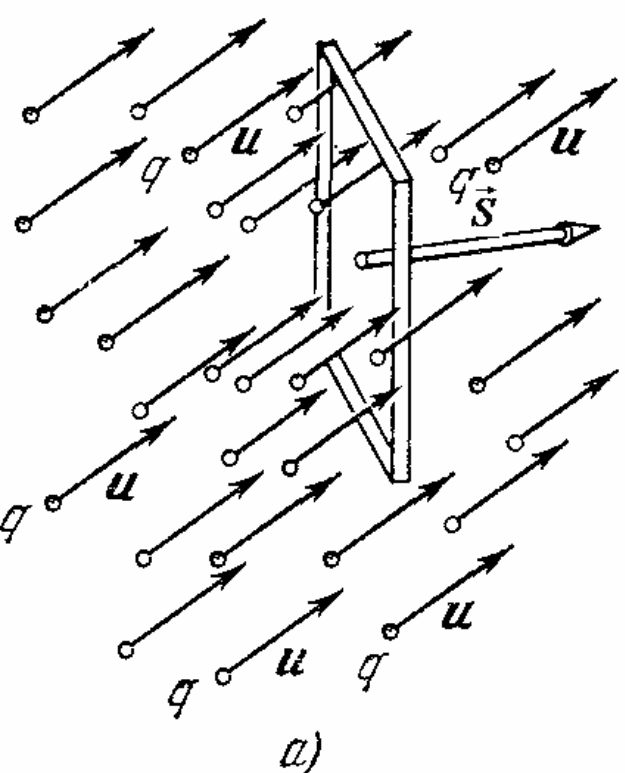
# Лекция 8.

- Постоянный электрический ток. Сила и плотность тока. Линии тока. Электрическое поле в проводнике с током и его источники. Уравнение непрерывности. Условие стационарности тока. Электрическое напряжение. Закон Ома для участка цепи. Электросопротивление. Закон Ома в дифференциальной форме. Удельная электропроводность вещества.

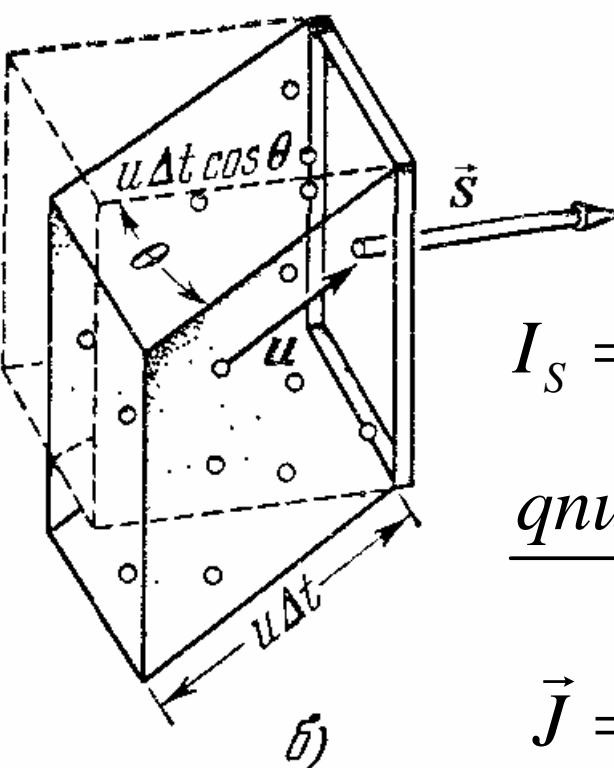
# Постоянный электрический ток.

## Сила и плотность тока

- Электрическим током называется любое упорядоченное движение электрических зарядов.
- Сила электрического тока через заданную поверхность определяется величиной заряда, проходящим через эту поверхность за единицу времени.
- Плотность тока это векторная величина, проекция которой на нормаль к элементарной поверхности равна величине электрического заряда, проходящего через единицу поверхности за единицу времени.



*a)*



*б)*

$$I_S = \frac{Q}{\Delta t} = \frac{qn\Delta V}{\Delta t} = \frac{qnuS\Delta t \cos \theta}{\Delta t} = qn(\vec{u}\vec{S}),$$

$$\vec{J} = qn\vec{u}.$$

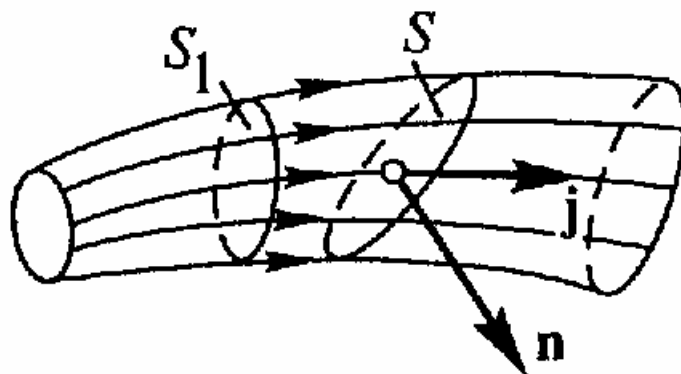
Если заряды движутся с разными скоростями

$$I_S = \sum_i qn_i (\vec{u}_i \vec{S}) = \vec{J} \vec{S}, \text{ где } \vec{J} = \sum_i qn_i \vec{u}_i - \text{плотность тока}$$

$$\vec{J} = q \frac{\sum_i n_i \vec{u}_i}{n} n = qn < \vec{u} >, \text{ где } n = \sum_i n_i; \quad < \vec{u} > = \frac{\sum_i n_i \vec{u}_i}{n}.$$

# Линии тока.

- Линии тока – это линии, касательные к которым направлены по направлению средней (или дрейфовой) скорости. Для стационарных токов вдоль этих линий движутся заряженные частицы.



Трубка тока

# Уравнение непрерывности. Условие стационарности тока.

Согласно закону сохранения заряда

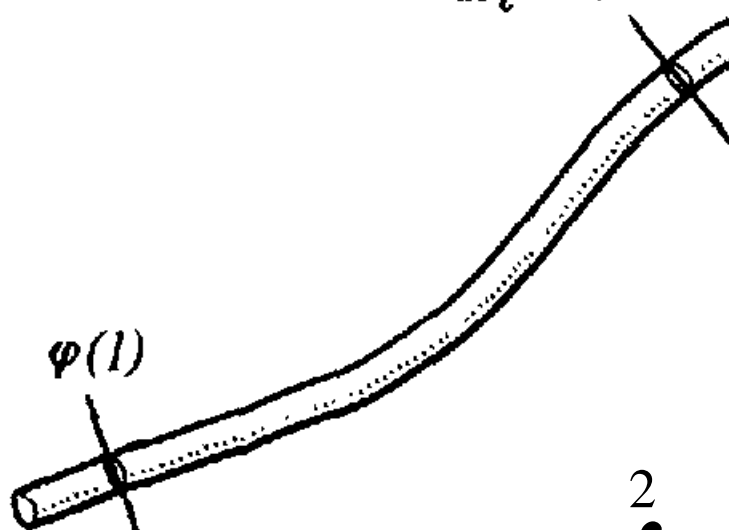
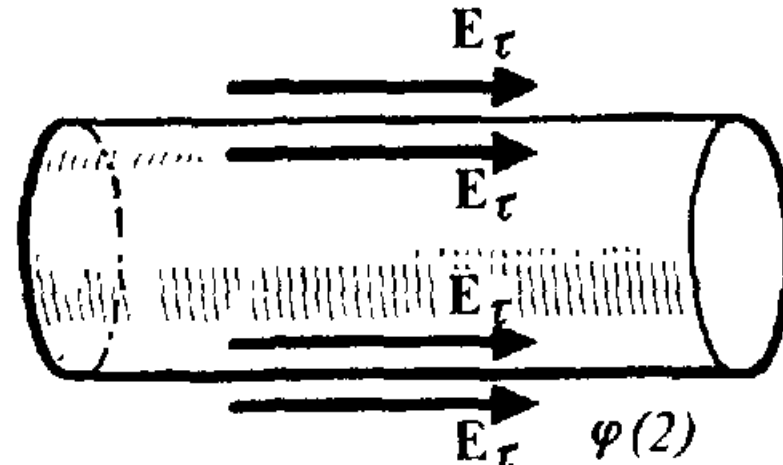
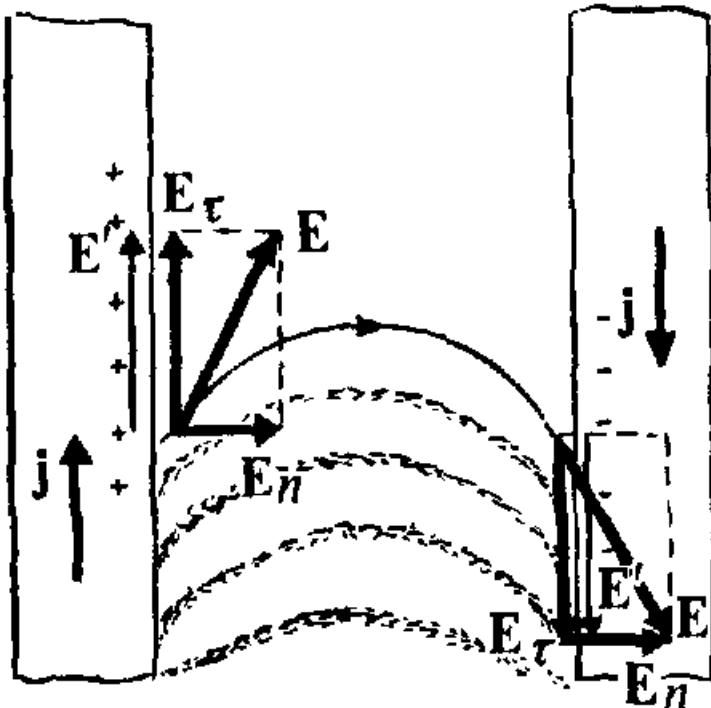
$$\frac{\partial}{\partial t} Q_V = \frac{\partial}{\partial t} \int_V \rho dV = - \oint_{S_V} \vec{J} d\vec{S} = - \int_V \operatorname{div} \vec{J} dV.$$

$$\frac{\partial \rho}{\partial t} + \operatorname{div} \vec{J} = 0 - \text{уравнение непрерывности.}$$

В стационарном случае  $\partial \rho / \partial t = 0$ , следовательно

$$\operatorname{div} \vec{J} = 0.$$

# Электрическое поле в проводнике с током и его источники.



108

Демонстрация наличия нормальной составляющей напряженности поля вблизи поверхности проводника

$$\varphi(1) - \varphi(2) = \int_1^2 \vec{E} d\vec{l},$$

# Электрическое напряжение. Закон Ома для участка цепи. Электросопротивление.

Опыт показывает, что между током и напряжением на участке проводника существует однозначная зависимость  $I = f(U)$ .

Для многих проводников эта зависимость линейная

$$I = \Lambda \cdot U = \frac{1}{R} \cdot U,$$

где  $\Lambda$  и  $R$  - электрическая проводимость и сопротивление.  
Единица сопротивления  $1\Omega = 1V/1A = 1V/A$ .

# Удельное электрическое сопротивление

$$R = \rho \frac{l}{S}.$$

Вещество	Удельное сопротивление $\rho$ , Ом м	Вещество	Удельное сопротивление $\rho$ , Ом м
Серебро	$(1,66 - 1,63) \cdot 10^{-8}$	10 %-ный водный раствор NaCl	0,0825
Медь тянутая	$1,78 \cdot 10^{-8}$	Химически чистая вода	$\sim 10^6$
Платина	$11,0 \cdot 10^{-8}$	Стекло натровое	$\sim 10^9$
Константан (сплав 60 % Cu, 40 % Ni)	$49,0 \cdot 10^{-8}$	Фарфор	$\sim 10^{13}$
Нихром (67,5 % Ni, 15 % Cr, 16 % Fe, 1,5 % Mn)	$110 \cdot 10^{-8}$	Янтарь, плавленый кварц	$> 10^{18}$
Графит	$\sim 3 \cdot 10^{-5}$		

Уделное сопротивление зависит от температуры

$$\rho = \rho_0 [1 + \alpha \cdot (t - t_0)],$$

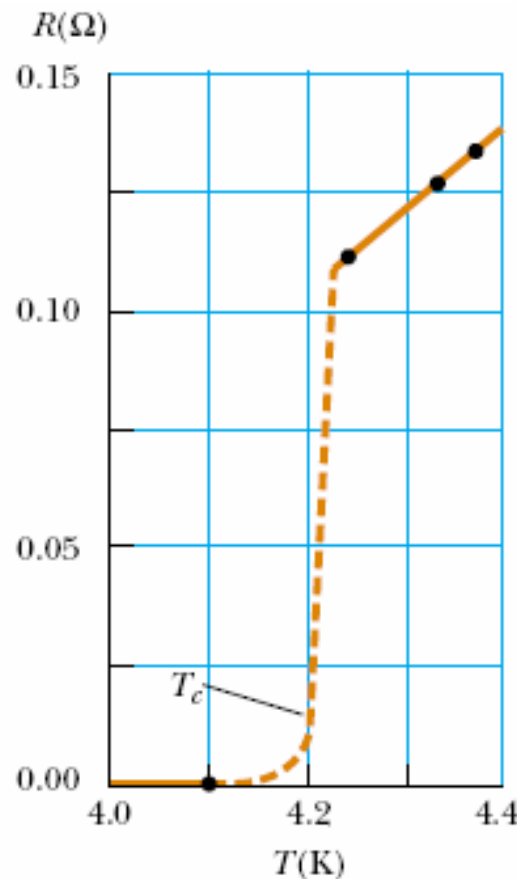
где  $\alpha$  - температурный коэффициент сопротивления.

Для чистых металлов  $\alpha \approx 1/273 K^{-1} = 0,00367 K^{-1}$ .

Вещество	Температура, °C	Температурный коэффициент сопротивления $\alpha$ , $K^{-1}$
Серебро	0–100	$40 \cdot 10^{-4}$
Медь	18	$43 \cdot 10^{-4}$
Платина	0–100	$38 \cdot 10^{-4}$
Константан	18	(от $-0,4$ до $+0,1) \cdot 10^{-4}$ *)
10 %-ный водный раствор NaCl	18	$-0,021$
Графит	18	$-5 \cdot 10^{-4}$
Стекло	100	от $-0,1$ до $-0,2$

\*) В зависимости от образца.

# Сверхпроводимость.



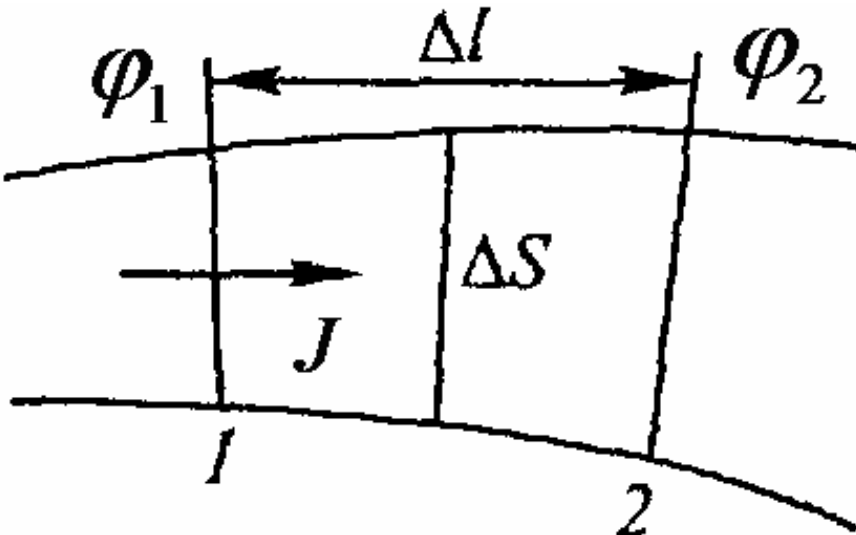
**Figure 27.12** Resistance versus temperature for a sample of mercury (Hg). The graph follows that of a normal metal above the critical temperature  $T_c$ . The resistance drops to zero at  $T_c$ , which is 4.2 K for mercury.

**Table 27.3**

Material	$T_c$ (K)
HgBa <sub>2</sub> Ca <sub>2</sub> Cu <sub>3</sub> O <sub>8</sub>	134
Tl–Ba–Ca–Cu–O	125
Bi–Sr–Ca–Cu–O	105
YBa <sub>2</sub> Cu <sub>3</sub> O <sub>7</sub>	92
Nb <sub>3</sub> Ge	23.2
Nb <sub>3</sub> Sn	18.05
Nb	9.46
Pb	7.18
Hg	4.15
Sn	3.72
Al	1.19
Zn	0.88

# Закон Ома в дифференциальной форме.

## Удельная электропроводность вещества.



$$I = J \Delta S = \frac{\varphi_1 - \varphi_2}{\Delta l} = \rho \frac{\Delta l}{\Delta S}$$

$$\frac{1}{\rho} \underbrace{\left( -\frac{d\varphi}{dl} \right)}_{E} \Delta S = \frac{1}{\rho} E \Delta S.$$

$$J = \frac{1}{\rho} E = \lambda E, \text{ где } \lambda = \frac{1}{\rho} -$$

удельная электропроводность.

### В векторной форме

$$\vec{J} = \lambda \vec{E} -$$

### Закон Ома в дифференциальной форме.

Отсутствие в однородном проводнике объемных зарядов.

Для стационарных токов

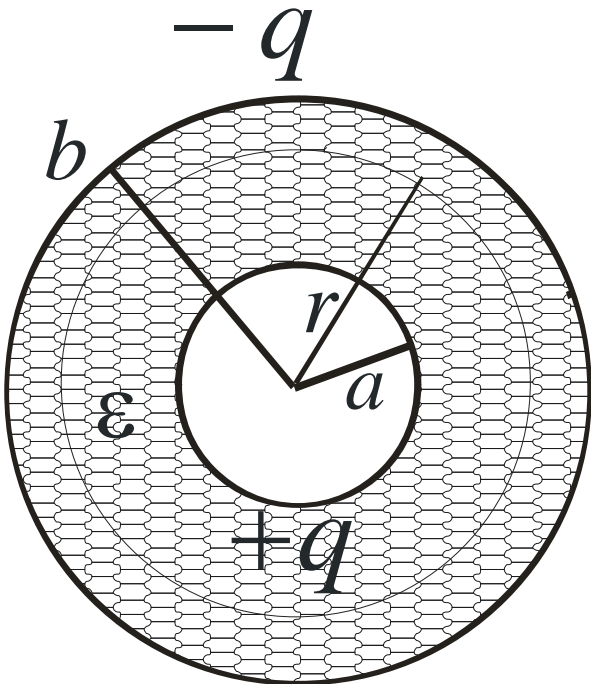
$$\operatorname{div} \vec{J} = 0 = \operatorname{div}(\lambda \vec{E}) = \lambda \cdot \operatorname{div} \vec{E} + (\vec{E} \cdot \nabla \lambda).$$

Если  $\lambda = \text{const}$ , то  $\nabla \lambda = 0$ . Следовательно

$$\operatorname{div} \vec{E} = \rho_q / \epsilon_0 = 0.$$

**Стационарные токи и электрическое поле в сплошных средах.**

a) сопротивление сферического конденсатора с утечкой



$$E = \frac{1}{4\pi\epsilon_0\epsilon} \frac{q}{r^2}, \quad \varphi = \frac{1}{4\pi\epsilon_0\epsilon} \left( \frac{q}{r} - \frac{q}{b} \right),$$

$$\underbrace{\varphi_a - \varphi_b}_U = \frac{1}{4\pi\epsilon_0\epsilon} \left( \frac{q}{a} - \frac{q}{b} \right), \quad \frac{J}{\lambda} = E, \Rightarrow$$

$$q = 4\pi\epsilon_0\epsilon r^2 \frac{J}{\lambda} = \frac{\epsilon_0\epsilon}{\lambda} I, \text{ где } I = 4\pi r^2 J.$$

$$U = \frac{1}{4\pi\epsilon_0\epsilon} \left( \frac{1}{a} - \frac{1}{b} \right) q = \frac{1}{4\pi\epsilon_0\epsilon} \left( \frac{1}{a} - \frac{1}{b} \right) \frac{\epsilon_0\epsilon}{\lambda} I = R \cdot I, \text{ где сопротивление}$$

$$R = \frac{1}{4\pi\lambda} \left( \frac{1}{a} - \frac{1}{b} \right). \text{ Заметим, что емкость сферического конденсатора}$$

$$C = 4\pi\epsilon_0\epsilon / \left( \frac{1}{a} - \frac{1}{b} \right) \text{ и } CR = \frac{\epsilon_0\epsilon}{\lambda} - \text{ универсальное соотношение.}$$

*b)* сопротивление цилиндрического конденсатора с утечкой  
(см. [2, стр. 121]).

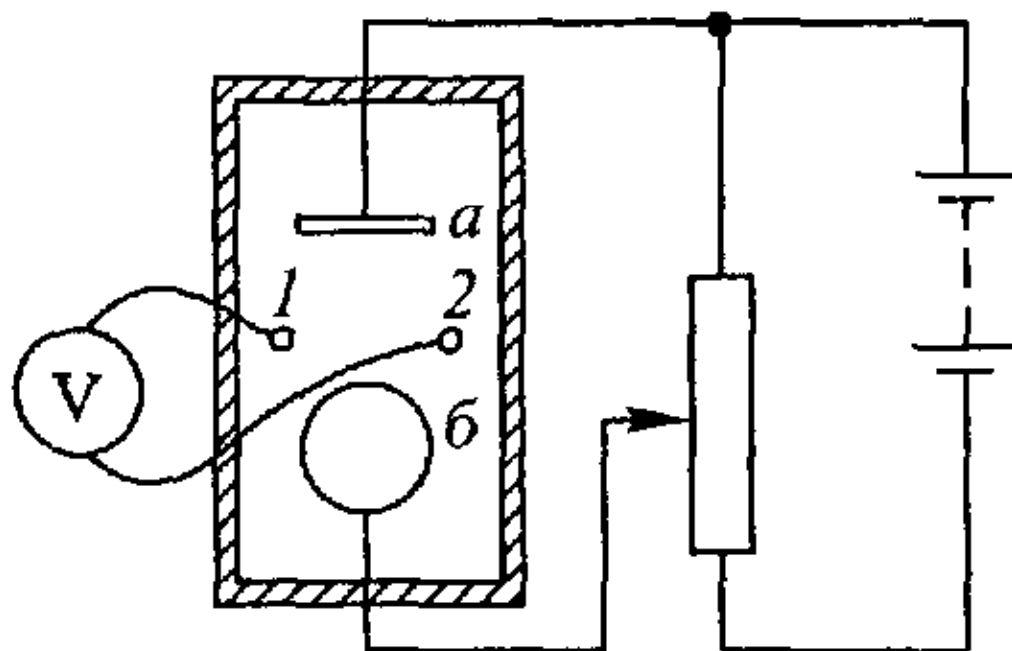
# Лекция 9.

- Токи в сплошных средах. Заземление.
- Работа и мощность постоянного тока.  
Закон Джоуля – Ленца и его  
дифференциальная форма. Сторонние  
силы. ЭДС. Закон Ома для замкнутой  
цепи.
- Разветвленные цепи. Правила  
Кирхгофа. Примеры их применения.

# Электролитическая ванна.

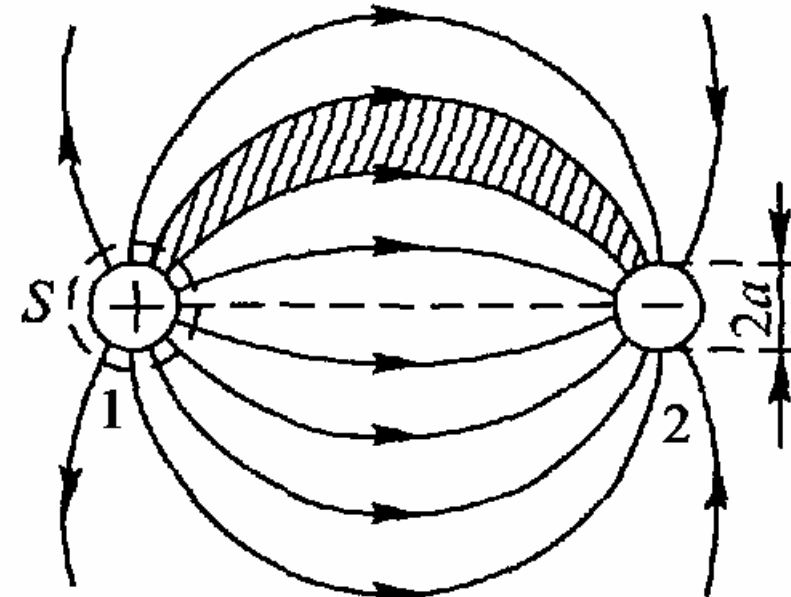
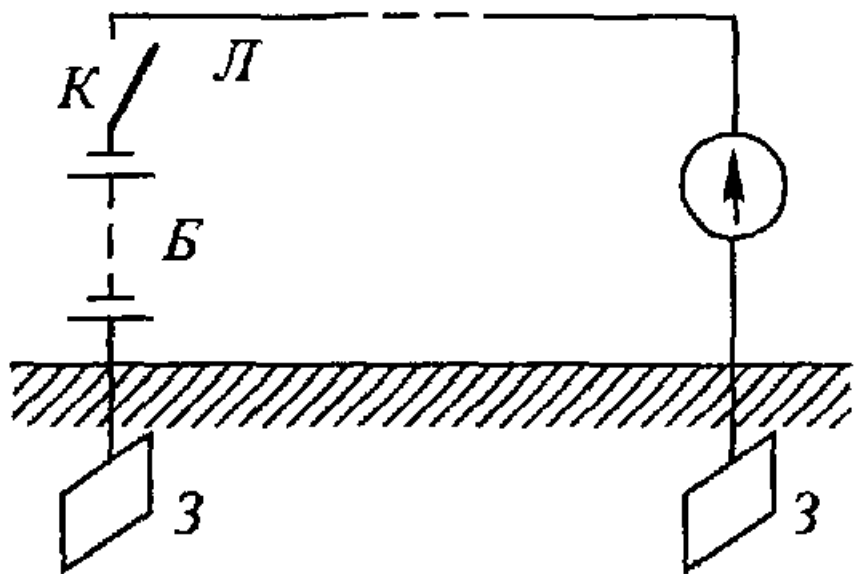
В слабопроводящей среде справедливо соотношение

$$CR = \frac{\epsilon_0 \epsilon}{\lambda}. \text{ Так как } CR = \frac{q}{U} \frac{U}{I}, \text{ то } q = \frac{\epsilon_0 \epsilon}{\lambda} I.$$



# Заземление в линиях связи.

## Электросопротивление сплошной среды.



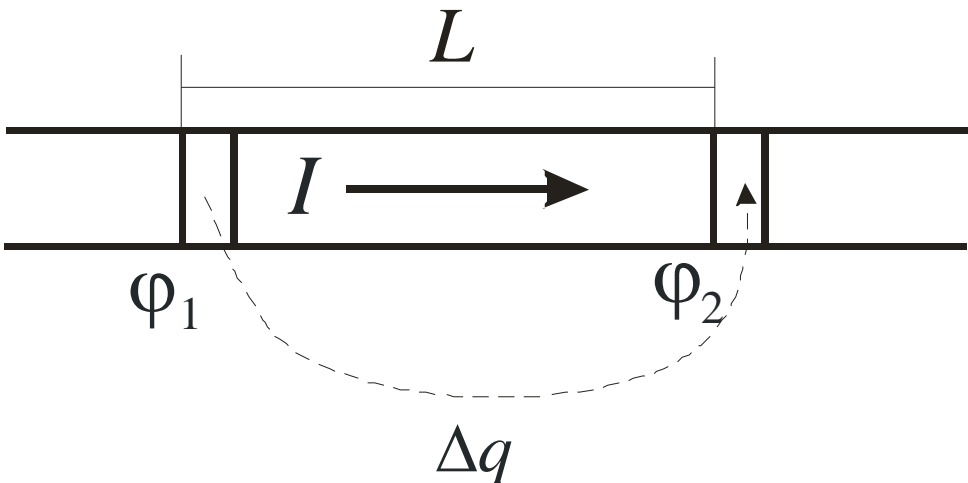
$$U_{12} = \phi_{1\infty} - \phi_{2\infty} = \frac{1}{4\pi\epsilon_0\epsilon} \left( \frac{q}{a} - \left( -\frac{q}{a} \right) \right) = \frac{1}{2\pi\epsilon_0\epsilon} \frac{q}{a},$$

$$E = \frac{1}{4\pi\epsilon_0\epsilon} \frac{q}{a^2} = \frac{U_{12}}{2a}; \quad I = J \underbrace{\frac{4\pi a^2}{S}}_{\lambda E} = \lambda \frac{U_{12}}{2a} 4\pi a^2 = \underbrace{2\pi a \lambda}_{\Lambda = 1/R} U_{12};$$

# Работа и мощность постоянного тока. Закон

## Джоуля-Ленца и его дифференциальная форма.

Электрический ток в участке цепи совершает работу.

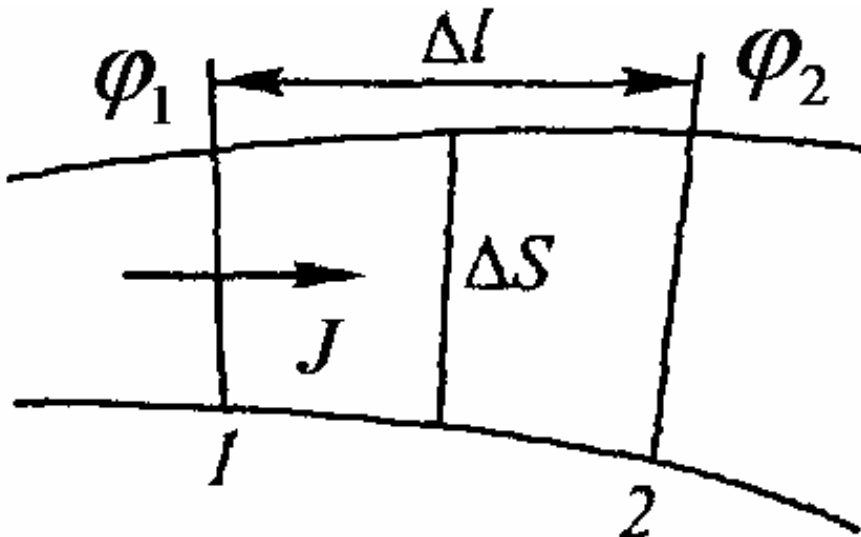


$$\Delta q = I \Delta t, \quad \Delta A = \Delta W = \\ = \Delta q (\varphi_1 - \varphi_2) = \Delta q U; \\ \Delta W = I \cdot \Delta t \cdot U = \Delta Q;$$

$$Q = I U t = I^2 R t = \frac{U^2}{R} t;$$

Мощность тока

$$P = \frac{A}{t} = \frac{Q}{t} = I U = I^2 R = \frac{U^2}{R}.$$

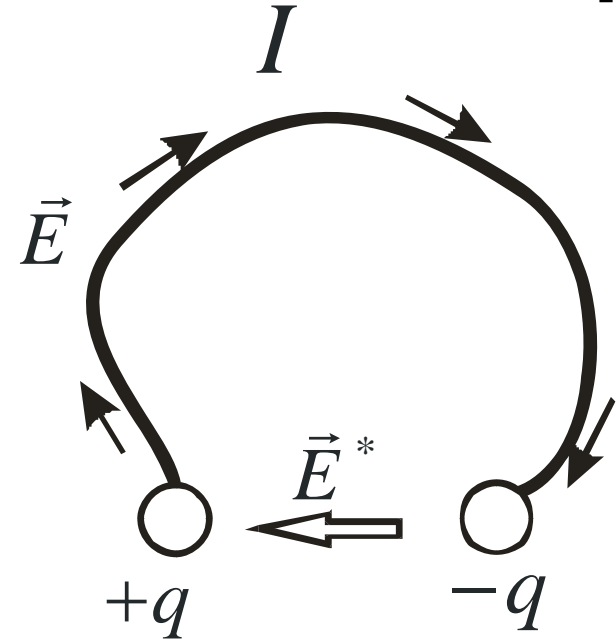


$$\begin{aligned}
 \frac{dQ}{dt} &= I^2 R = \\
 &= (J \Delta S)^2 \rho \frac{\Delta l}{\Delta S} = \\
 &= J^2 \rho \cdot \underbrace{\Delta S \Delta l}_{\Delta V}.
 \end{aligned}$$

Закон Джоуля-Ленца в дифференциальной форме

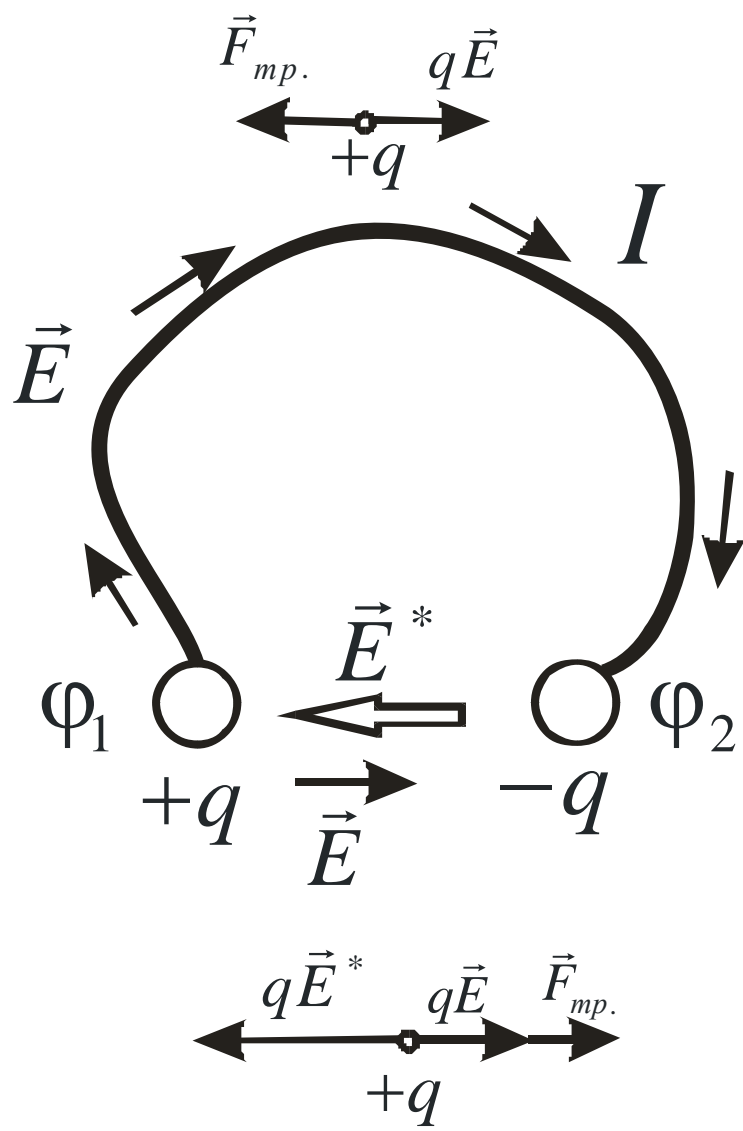
$$\frac{1}{\Delta V} \frac{dQ}{dt} = J^2 \rho = J \frac{E}{\rho} \rho = JE = \vec{J} \vec{E}.$$

# Сторонние силы. ЭДС.



Для поддержания электрического тока в замкнутой цепи необходимо устройство (источник тока), совершающее посредством сторонних сил перемещение зарядов против действия электрических сил.

$\vec{E}^*$  – сторонняя сила, действующая на единичный положительный заряд (напряженность сторонних сил),  
 $\vec{E}$  - напряженность электрических сил



$$\int_1^2 q \vec{E} d\vec{l} = q(\varphi_1 - \varphi_2) = qU,$$

$$\int_1^2 q \vec{E} d\vec{l} = - \int_1^2 \vec{F}_{mp.} d\vec{l} = Q_{\text{дюоулево, тепло}},$$

$$Q_{\text{дюоулево тепло}} = I^2 R t = qIR,$$

где  $R$  – сопротивление внешней цепи.

$$q \underbrace{\int_2^1 \vec{E}^* d\vec{l}}_{\mathcal{E}} = -q \underbrace{\int_2^1 \vec{E} d\vec{l}}_{-U} - \underbrace{\int_2^1 \vec{F}_{mp.} d\vec{l}}_{-Q'_{\text{дюоулево тепло}}},$$

$$Q'_{\text{дюоулево тепло}} = qIr, \text{ где } r \text{ - внутреннее сопротивление цепи}$$

Замечание.  $Ir = I\rho \int_2^1 \frac{dl}{S} = \int_2^1 \rho \frac{I}{S} dl = \int_2^1 \rho \vec{J} d\vec{l} \Rightarrow \rho \vec{J} = \vec{E} + \vec{E}^*$

В результате имеем

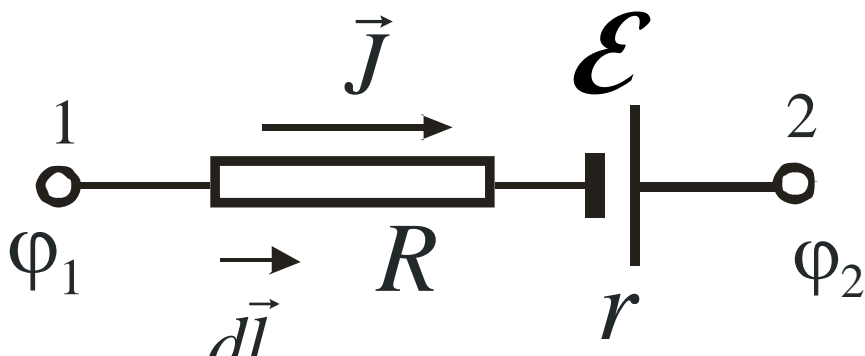
$$\mathcal{E} = U + Ir = IR + Ir$$

- **закон Ома для замкнутой цепи.**

Здесь  $\mathcal{E} = \int_2^1 \vec{E}^* d\vec{l}$  - электродвижущая сила(ЭДС),

равная работе сторонних сил по перемещению  
единичного положительного заряда.

# Закон Ома для участка цепи с ЭДС



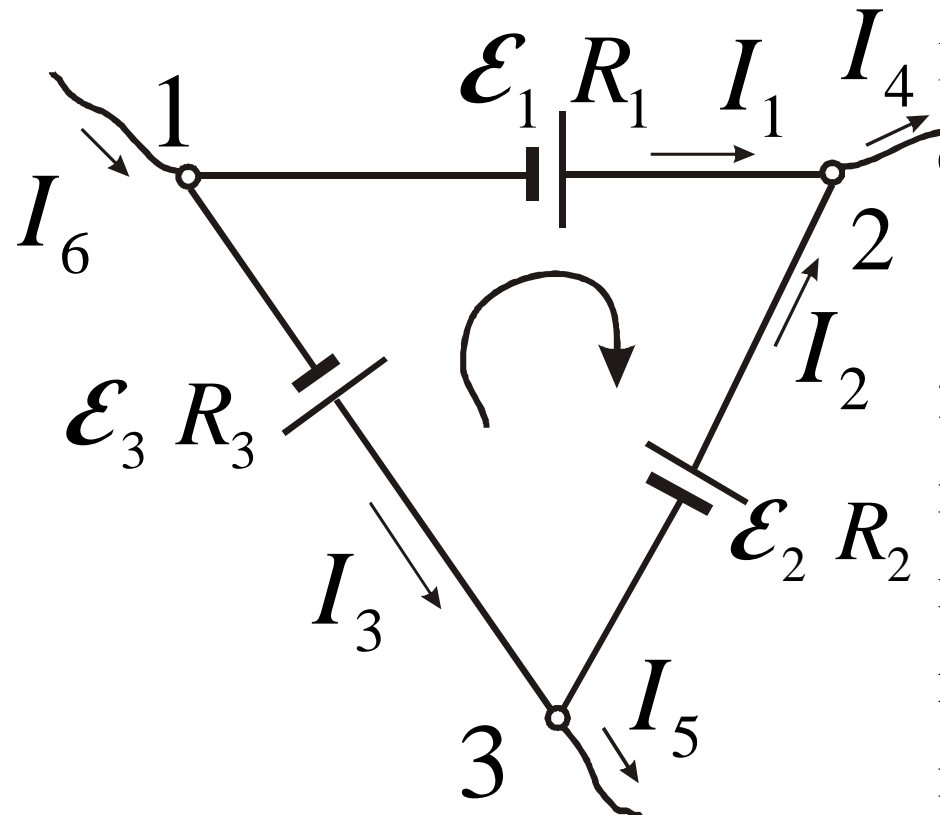
$$\vec{J} = -\frac{1}{\rho} (\vec{E} + \vec{E}^*)$$

$$\int_1^2 \rho \vec{J} d\vec{l} = \underbrace{\int_1^2 \vec{E} d\vec{l}}_{\varphi_1 - \varphi_2} + \underbrace{\int_1^2 \vec{E}^* d\vec{l}}_{\mathcal{E}}$$

$$\int_1^2 \rho \vec{J} d\vec{l} = \int_1^2 \rho \frac{I}{S} dl = I \int_1^2 \frac{\rho}{S} dl = I(R + r);$$

$$I(R + r) = \underbrace{\varphi_1 - \varphi_2}_U + \mathcal{E}.$$

# Правила Кирхгофа.



1) Алгебраическая сумма токов, сходящихся в узле, равна нулю.

$$I_1 + I_2 - I_4 = 0, \Rightarrow \sum_k I_k = 0.$$

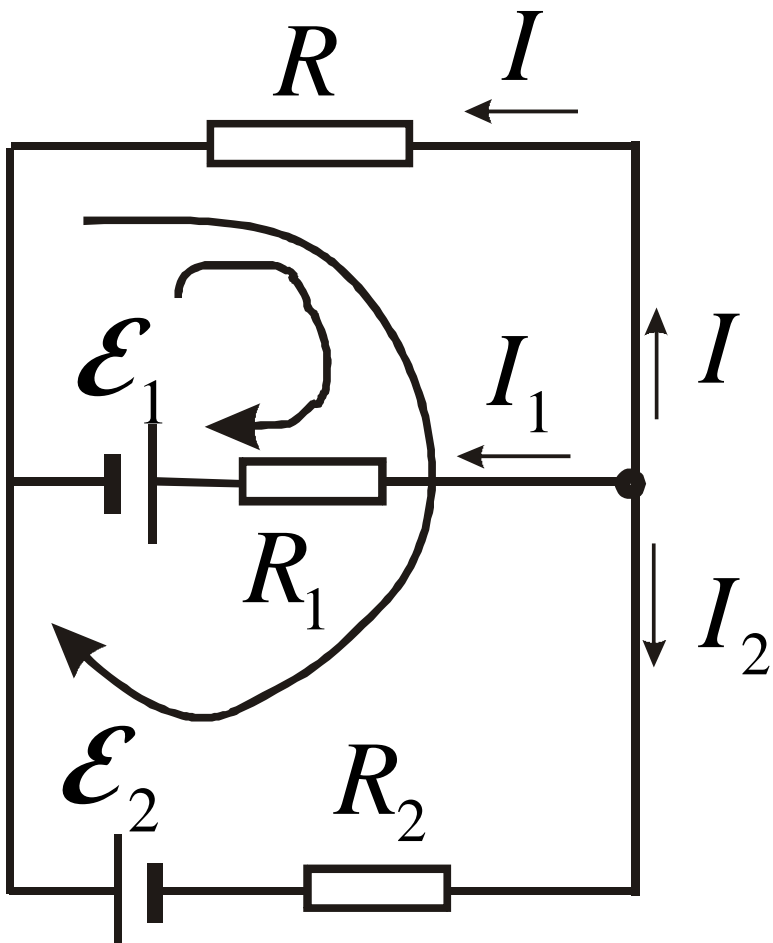
2) Алгебраическая сумма произведений сил токов в отдельных участках произвольного замкнутого контура на их сопротивления равна алгебраической сумме ЭДС, действующих в этом контуре.

$$+ \begin{cases} I_1 R_1 = \varphi_1 - \varphi_2 + \mathcal{E}_1, \\ -I_2 R_2 = \varphi_2 - \varphi_3 - \mathcal{E}_2, \\ -I_3 R_3 = \varphi_3 - \varphi_1 - \mathcal{E}_3, \end{cases} \Rightarrow$$

$$\sum_n I_n R_n = \sum_k \mathcal{E}_k$$

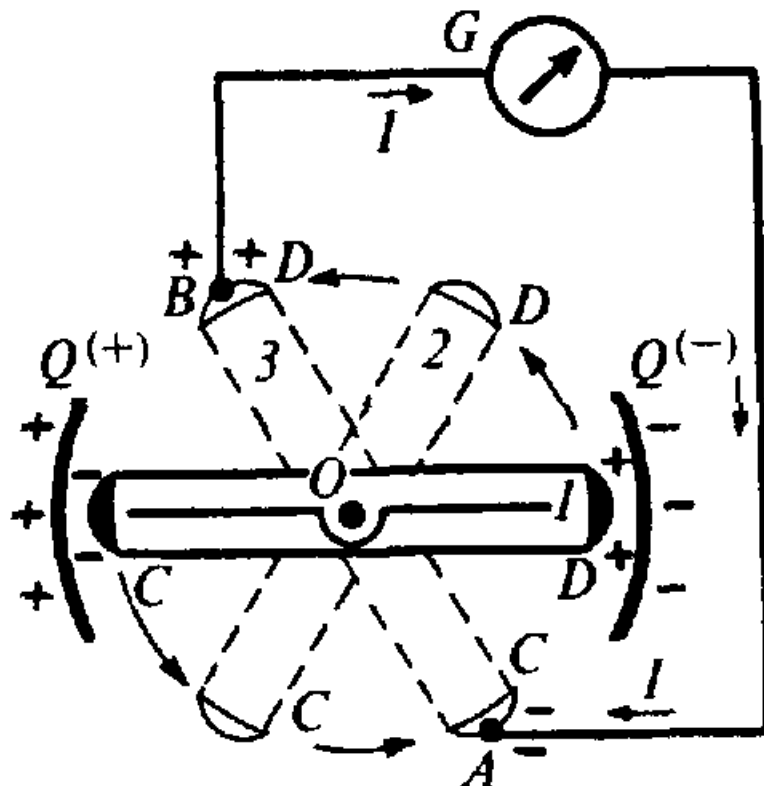
# Пример применения правил Кирхгофа

Найти силу тока проходящего через сопротивление  $R$  (см. рис.)



$$\left\{ \begin{array}{l} I + I_1 + I_2 = 0, \\ -IR + I_1R_1 = -\mathcal{E}_1, \times R_2 \\ -IR + I_2R_2 = \mathcal{E}_2, \times R_1 \end{array} \right\} + \Rightarrow$$
$$\begin{aligned} -IR(R_1 + R_2) + R_1R_2(-I) &= \\ &= -\mathcal{E}_1R_2 + \mathcal{E}_2R_1, \\ I &= \frac{\mathcal{E}_1R_2 - \mathcal{E}_2R_1}{R(R_1 + R_2) + R_1R_2}; \end{aligned}$$

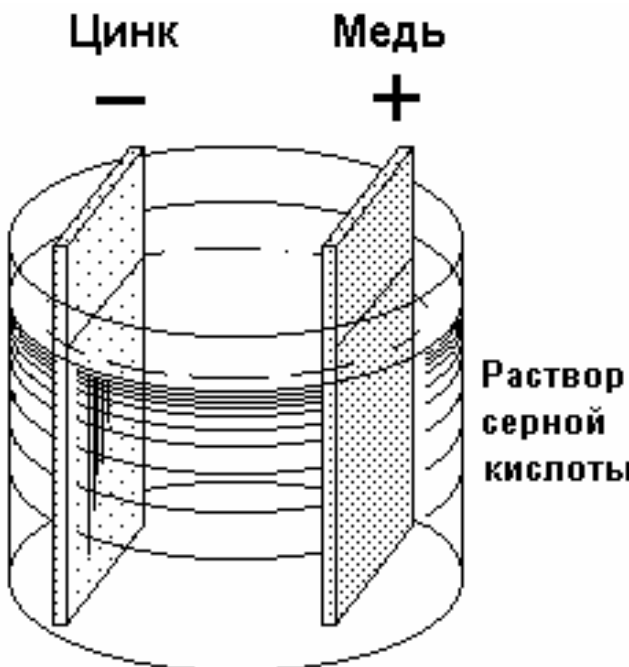
# Примеры источников тока (ЭДС)



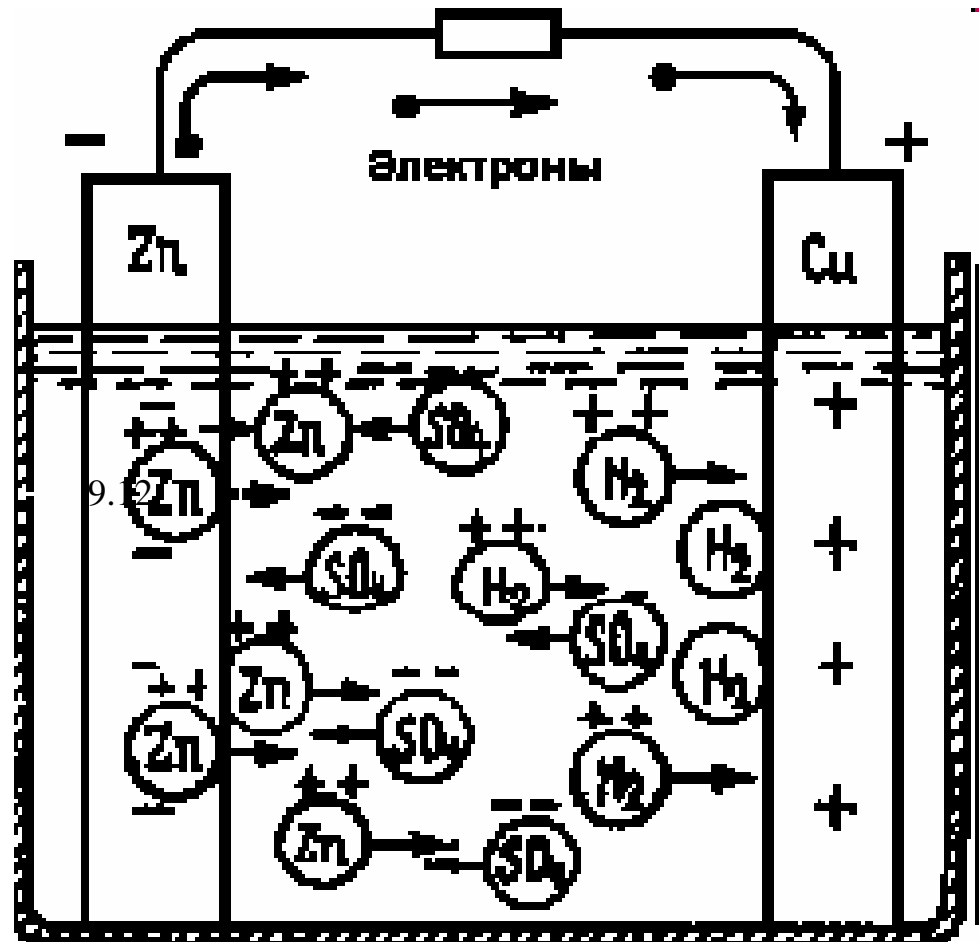
111

Схема электростатической ма-  
шины

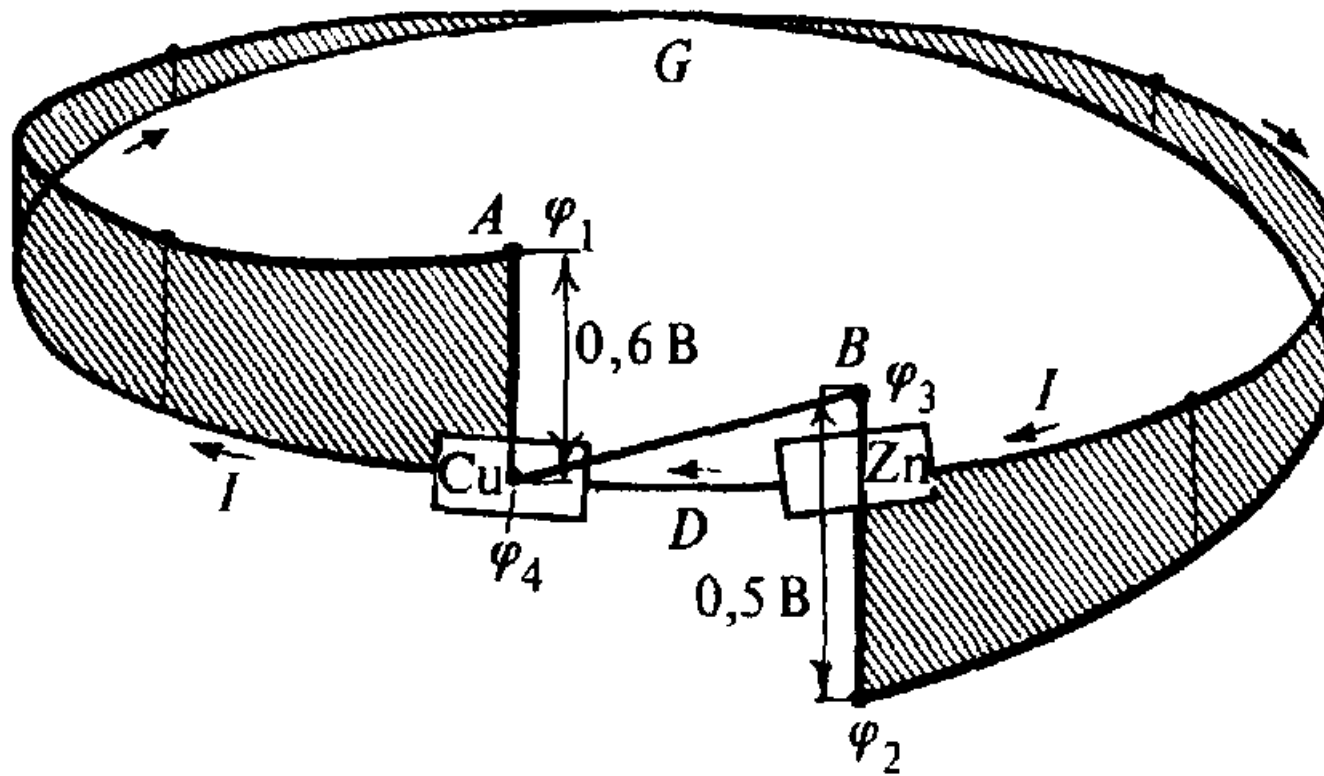
# Гальванический элемент Вольта



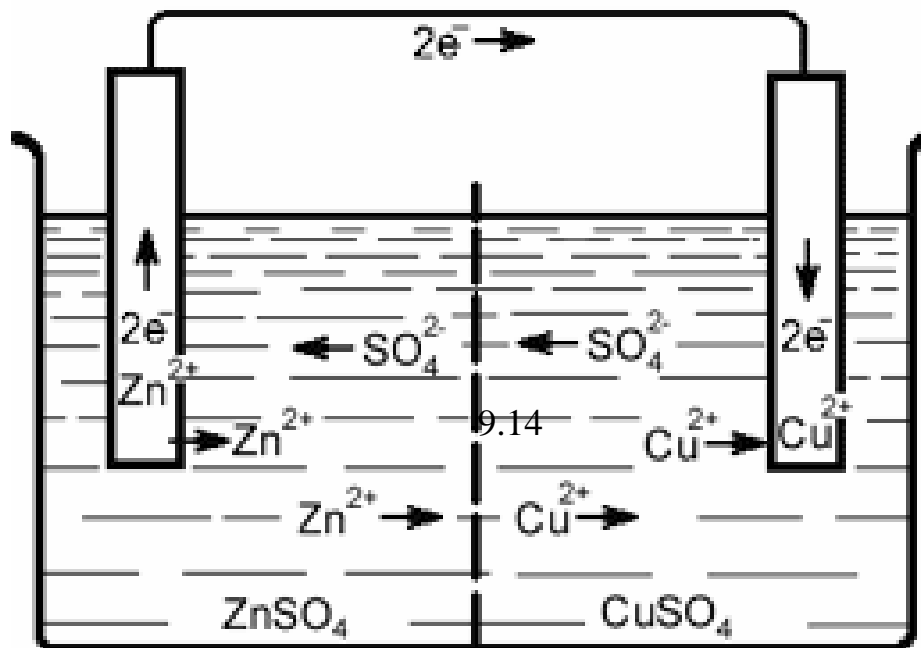
Л. Гальвани (1791) открыл электрический ток в мышцах лягушки. А. Вольт (1792) правильно объяснил происхождение этого тока и создал химический элемент тока.



# Изменение потенциала в цепи с гальваническим элементом.



# Элемент Даниэля-Якоби



# Свинцово-кислотный аккумулятор

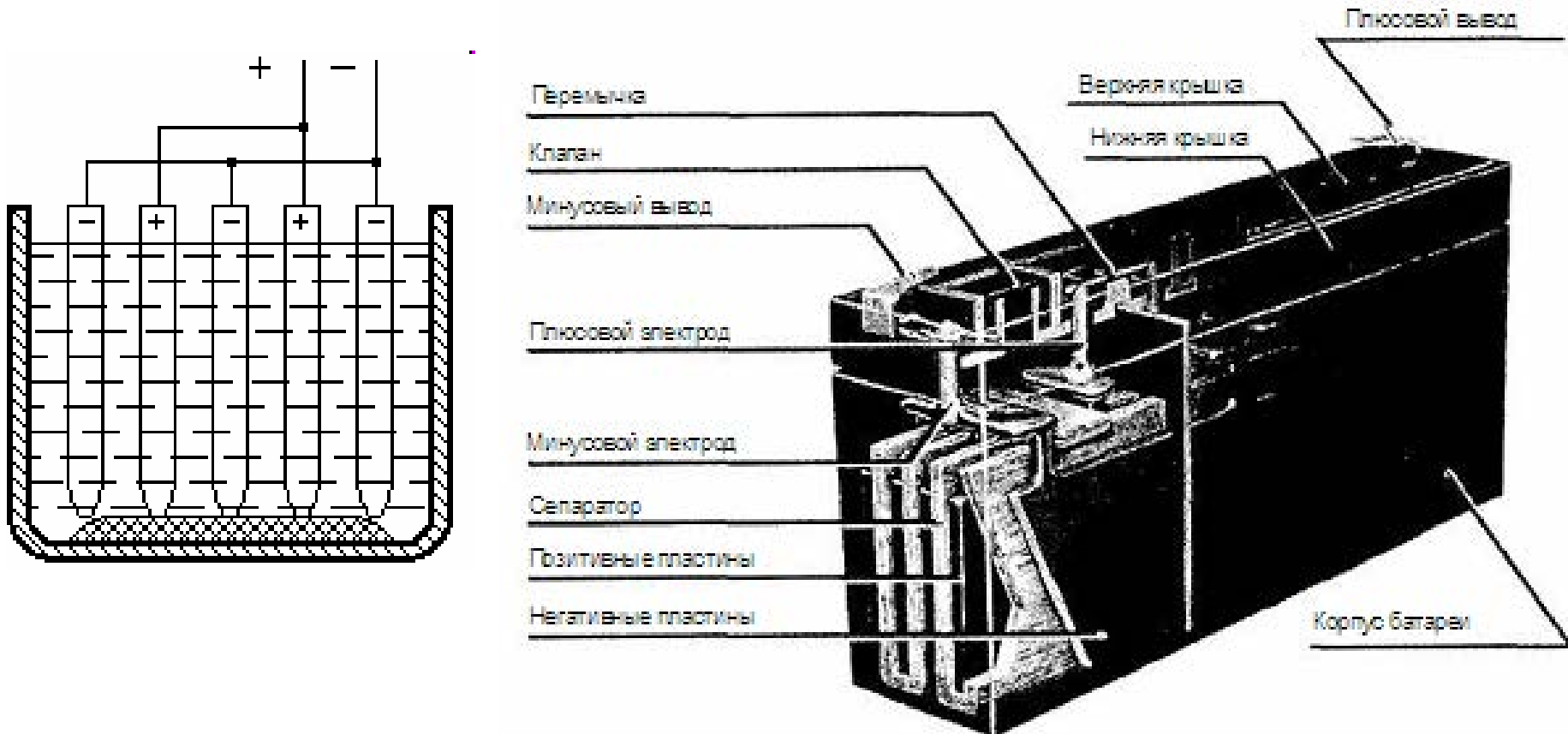
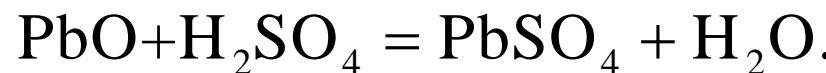


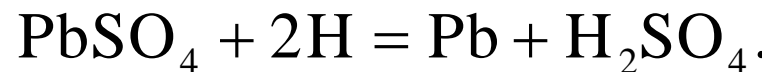
Рис. 3.2. Устройство VRLA батареи Panasonic

Решетчатые свинцовые пластины, заполненные пастой  $\text{PbO}$ , помещаются в 30% раствор  $\text{H}_2\text{SO}_4$

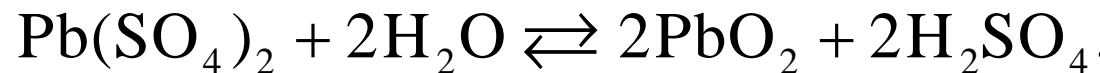
Происходит реакция



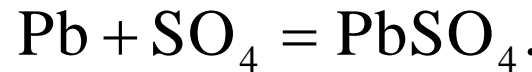
При зарядке ионы  $\text{H}^+$ , двигаясь к катоду, приводят к реакции



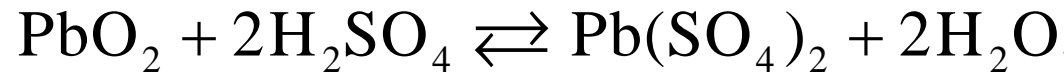
Ионы  $\text{SO}_4^{2-}$ , достигая анода, вступают в реакцию



При разрядке на свинцовом катоде ионы  $\text{SO}_4^{2-}$  из раствора



На аноде идет обратимая реакция

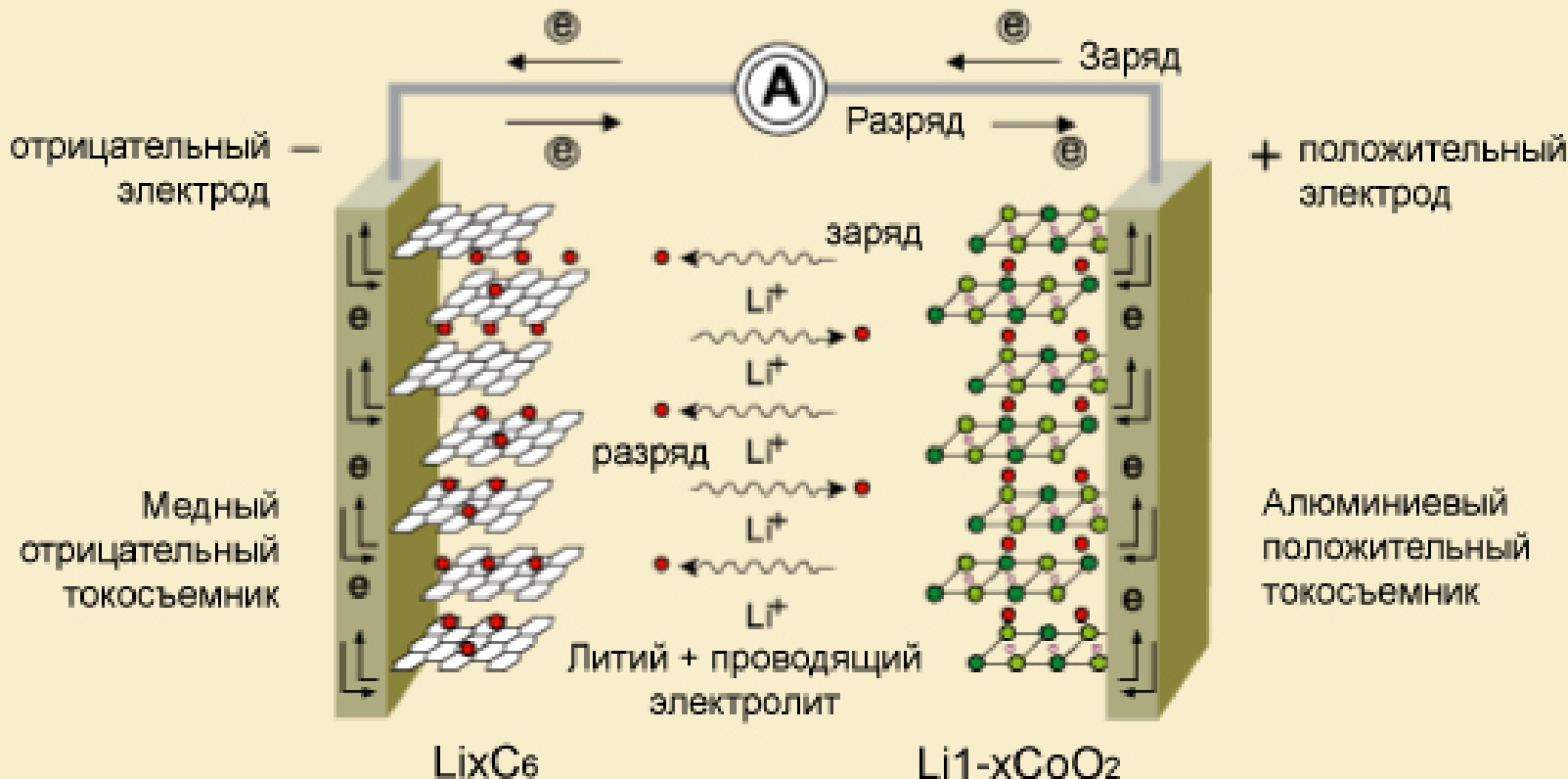


Ионы  $\text{H}^+$  из раствора нейтрализуются на аноде и вступают в реакцию



# **Li-Ion - литий-ионные аккумуляторы.**

- **Литий - наиболее химически активный металл. На его основе работают современные источники питания для ноутбуков. Практически все высокоплотные источники питания используют литий в силу его химических свойств.**
- **Килограмм лития способен хранить 3860 ампер-часов. Для сравнения, показатель цинка - 820, свинца - 260.**
- **В литий-ионных элементах ионы лития связаны молекулами графита С6 и литийкобальтоксида (LiCoO<sub>2</sub>)**



- |                   |             |
|-------------------|-------------|
| ● ● O             | (Кислород)  |
| ● Co              | (Кобальт)   |
| ○ C               | (Уголь)     |
| ● Li <sup>+</sup> | (Ион лития) |



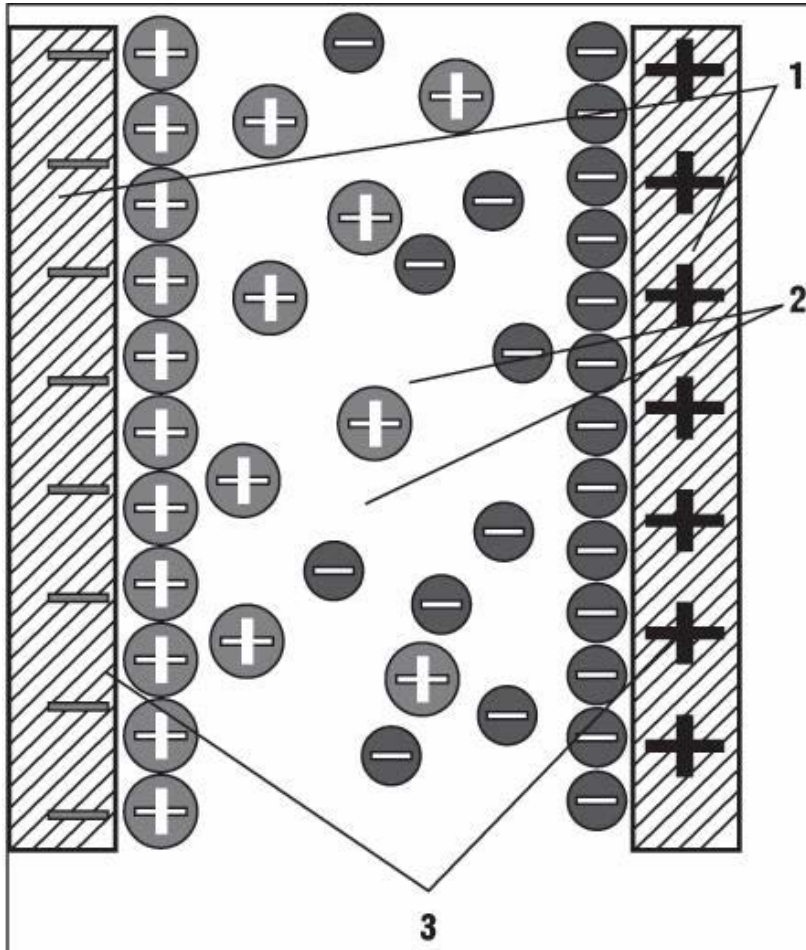
# Сравнительные характеристики современных аккумуляторов

Сравнительные характеристики современных источников тока

Источники тока	Энергетическая мощность (Вт*час/кг)	Срок службы (число циклов заряд – разряд)
Свинцово-кислотные аккумуляторы	30	300
Никель-кадмийевые (Ni-Cd)	40-60	1500
Никель-металлгидридные (Ni-MH)	75	500
Ионно-литиевые аккумуляторы (Li-OH)	100	500
Полимерно-литиевые аккумуляторы	175	150



# Суперконденсаторы(ионистеры).



Двойной электрический слой в суперконденсаторе  
1 – электроды, 2 – ионы электролита,  
3 – область ДЭС

# Лекция 10.

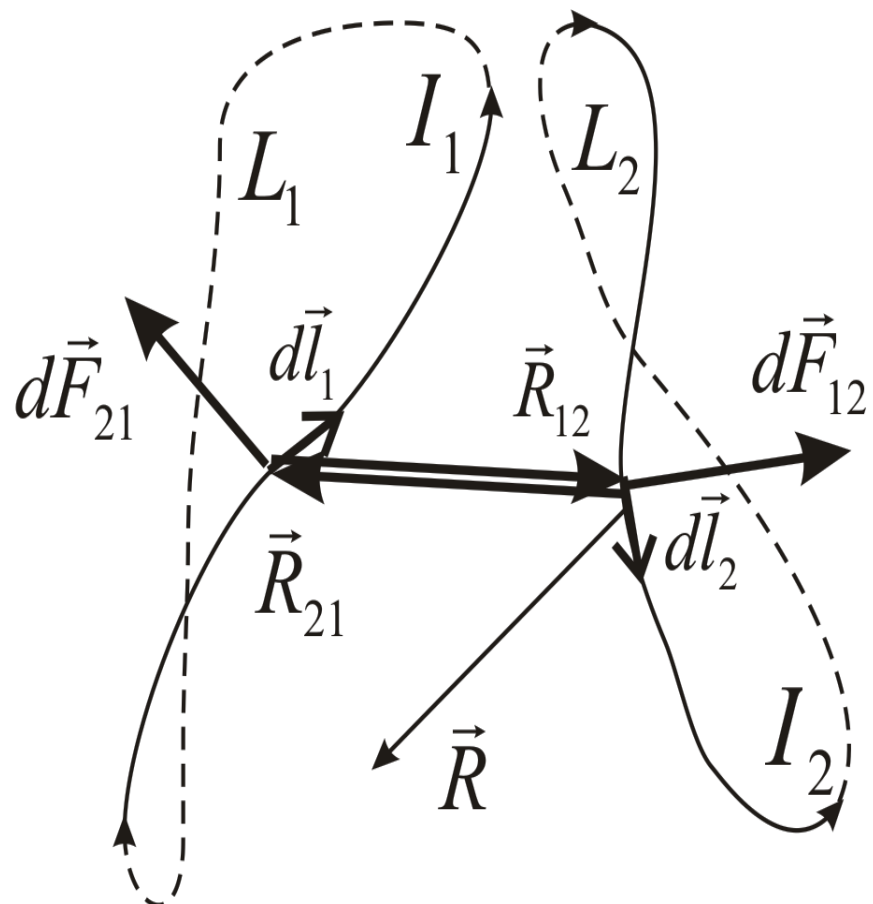
- Электромагнетизм. Магнитостатика. Взаимодействие токов. Элемент тока. Закон Био – Савара – Лапласа и его полевая трактовка. Вектор индукции магнитного поля.
- Действие магнитного поля на ток. Закон Ампера.
- Теорема о циркуляции вектора индукции магнитного поля. Дифференциальная форма теоремы о циркуляции. Вихревой характер магнитного поля. Уравнение  $\operatorname{div} \mathbf{B} = 0$ . Понятие о векторном потенциале.

# **Магнитное взаимодействие.**

- Исторически под магнитным взаимодействием понималось взаимодействие между намагниченным телом (намагниченный кусок железа) с другими железными телами. В 1820 году Х.К.Эрстед обнаружил, что магнитное взаимодействие может оказывать электрический ток. Поэтому под магнитными взаимодействиями понимается взаимодействие между токами, магнитными телами, токами и магнитными телами. В рамках представлений близкодействия это взаимодействие осуществляется магнитное поле. Почти одновременно с Эрстедом Закон взаимодействия стационарных токов был открыт благодаря исследованиям Ампера, Био, Савара и Лапласа.

# Магнитостатика. Взаимодействие токов. Элемент тока.

- Магнитостатика изучает законы взаимодействия между неподвижными магнитными телами и проводниками со стационарными токами.



$Id\vec{l}_1$ - элемент тока.

$$d\vec{F}_{21} = k \frac{[I_1 d\vec{l}_1, [I_2 d\vec{l}_2, \vec{R}_{21}]]}{R_{21}^3},$$

$$d\vec{F}_{12} = k \frac{[I_2 d\vec{l}_2, [I_1 d\vec{l}_1, \vec{R}_{12}]]}{R_{12}^3}.$$

$$\vec{F}_{21} = k \int \int_{L_1 L_2} \frac{[I_1 d\vec{l}_1, [I_2 d\vec{l}_2, \vec{R}_{21}]]}{R_{21}^3};$$

$$\vec{F}_{12} = \int \int_{L_2 L_1} k \frac{[I_2 d\vec{l}_2, [I_1 d\vec{l}_1, \vec{R}_{12}]]}{R_{12}^3}.$$

Отметим, что  $d\vec{F}_{21} \neq -d\vec{F}_{12}$ , однако для замкнутых токов  $\vec{F}_{21} = -\vec{F}_{12}$ .

В абсолютной магнитной (электромагнитной) системе единиц СГСМ единица силы тока или заряда выбирается из условия  $k = 1$  и обозначается  $1\text{СГСМ}_I$ . Отношение

$$\frac{1\text{СГСЭ}_I}{1\text{СГСМ}_I} = c \text{ - электродинамическая постоянная,}$$

равная скорости света  $c = 3 \cdot 10^{10} \text{ см/с}$ . В системе

единиц СИ 
$$k = \frac{\mu_0}{4\pi} = 10^{-7} \frac{\text{Н}}{\text{А}^2}.$$

$$d\vec{F}_{21} = [I_1 d\vec{l}_1, k \underbrace{\frac{[I_2 d\vec{l}_2, \vec{R}_{21}]}{R_{21}^3}}_{d\vec{B}_2}]; \quad d\vec{F}_{12} = [I_2 d\vec{l}_2, k \underbrace{\frac{[I_1 d\vec{l}_1, \vec{R}_{12}]}{R_{12}^3}}_{d\vec{B}_1}].$$

# **Закон Био-Савара-Лапласа и его полевая трактовка. Вектор индукции магнитного поля.**

С точки зрения полевой трактовки взаимодействия токов величину

$$d\vec{B}_2 = k \frac{[I_2 d\vec{l}_2, \vec{R}_{21}]}{R_{21}^3}$$

можно интерпретировать как силовую характеристику магнитного поля, создаваемого элементом тока  $I_2 d\vec{l}_2$  в пространственной точке, определяемой  $\vec{R}_{21}$ . Эта величина называется вектором индукции магнитного поля элемента тока  $I_2 d\vec{l}_2$  в точке  $\vec{R}_{21}$ .

В произвольной точке пространства  $\vec{R}$  элемент тока  $I_2 d\vec{l}_2$  создаст магнитное поле с индукцией  $d\vec{B}$ , равной

$$d\vec{B} = \frac{\mu_0}{4\pi} \frac{[I_2 d\vec{l}_2, \vec{R}]}{R^3}.$$

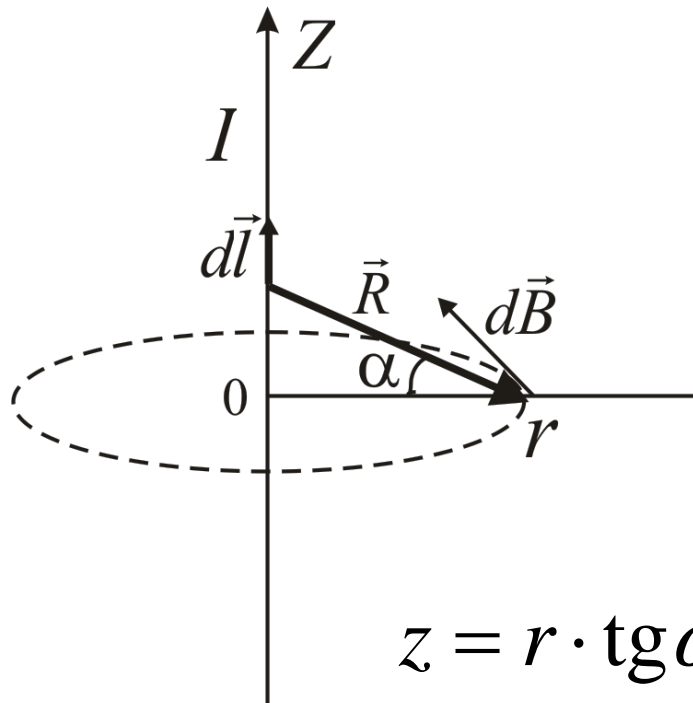
Эта формула получила название закона Био-Савара-Лапласа.

Величина индукции магнитного поля  $\vec{B}_2$  в точке  $\vec{R}_{21}$ , создаваемого током всего контура  $L_2$ , согласно принципу суперпозиции равна

$$\vec{B}_2 = \sum d\vec{B}_2 = \frac{\mu_0}{4\pi} \int_{L_2} \frac{[I_2 d\vec{l}_2, \vec{R}_{21}]}{R_{21}^3} .$$

Тогда сила действия магн. поля  $\vec{B}_2$  на элемент тока  $I_1 d\vec{l}_1$  равна:  $d\vec{F}_{21} = [I_1 d\vec{l}_1, \vec{B}_2]$  - закон Ампера (сила Ампера).

# Пример расчета индукции магнитного поля с помощью закона Био-Савара-Лапласа.



$$|d\vec{l}| = dz, \quad d\vec{B} = \frac{\mu_0}{4\pi} \frac{[Id\vec{l}, \vec{R}]}{R^3};$$

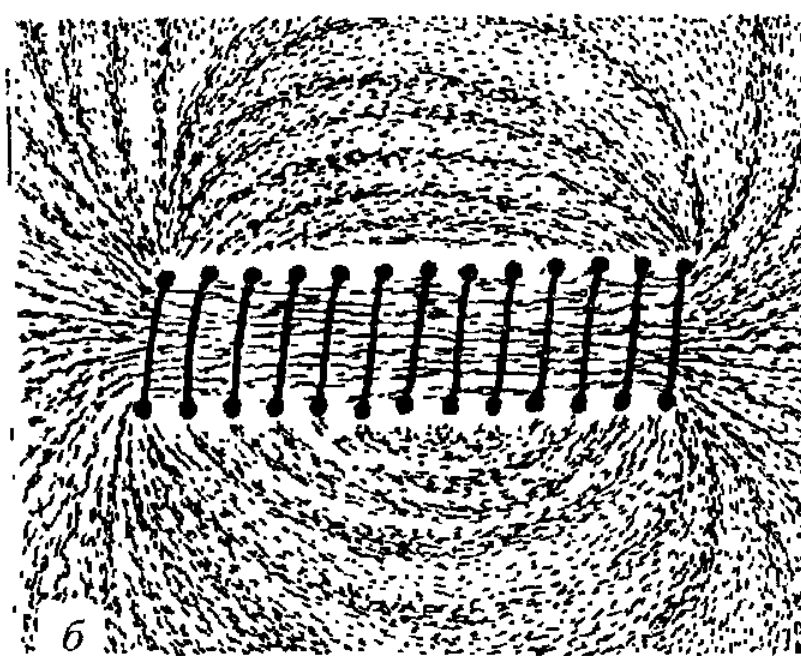
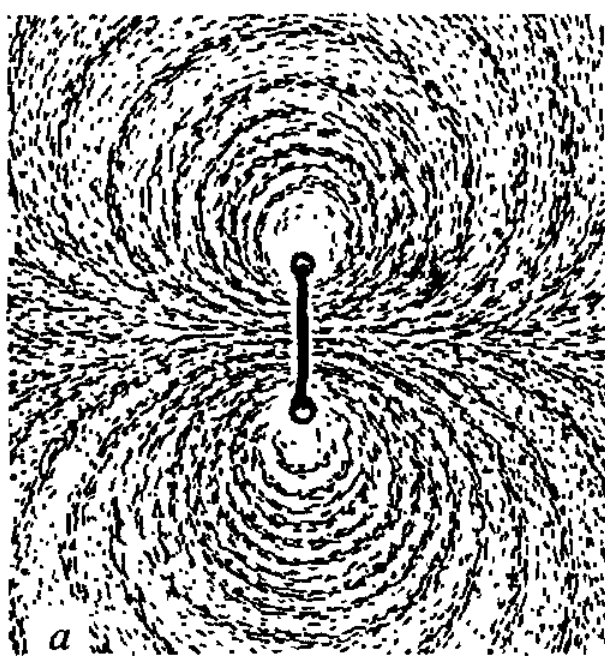
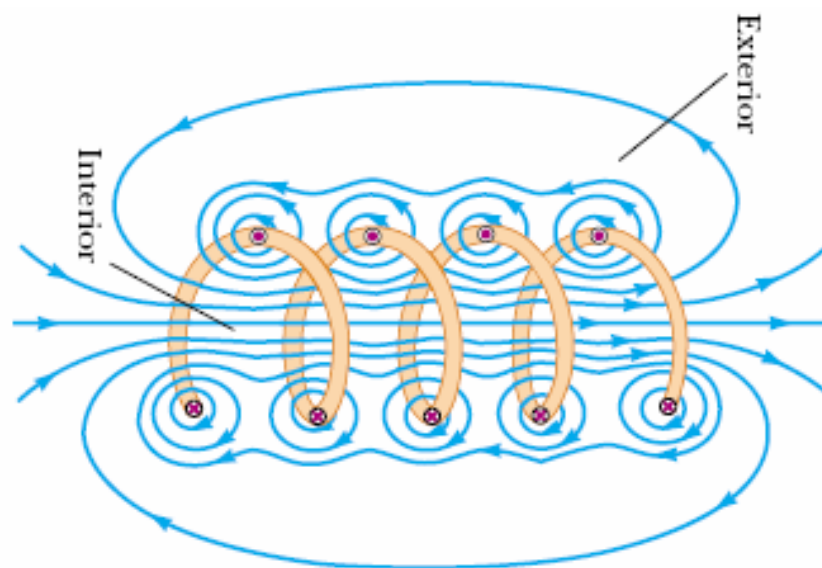
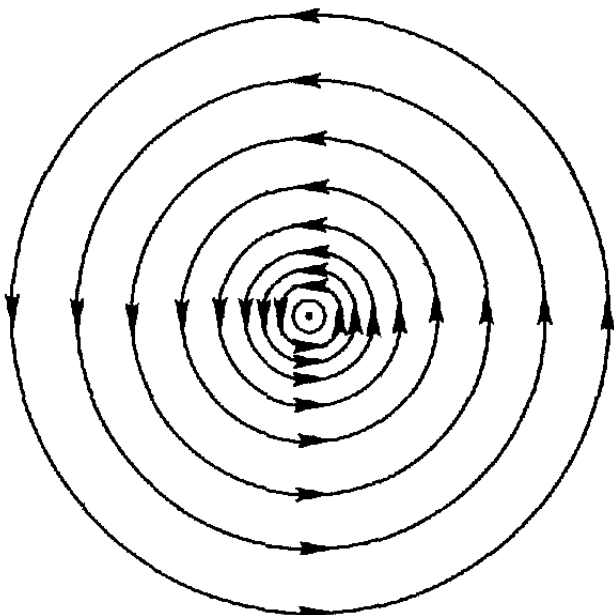
$$dB = \frac{\mu_0}{4\pi} I \underbrace{\frac{dz \cdot R \cdot \sin(\alpha + 90^\circ)}{R^3}}_{\cos \alpha}.$$

$$z = r \cdot \operatorname{tg} \alpha; \quad dz = r \frac{1}{\cos^2 \alpha} d\alpha; \quad R \cos \alpha = r.$$

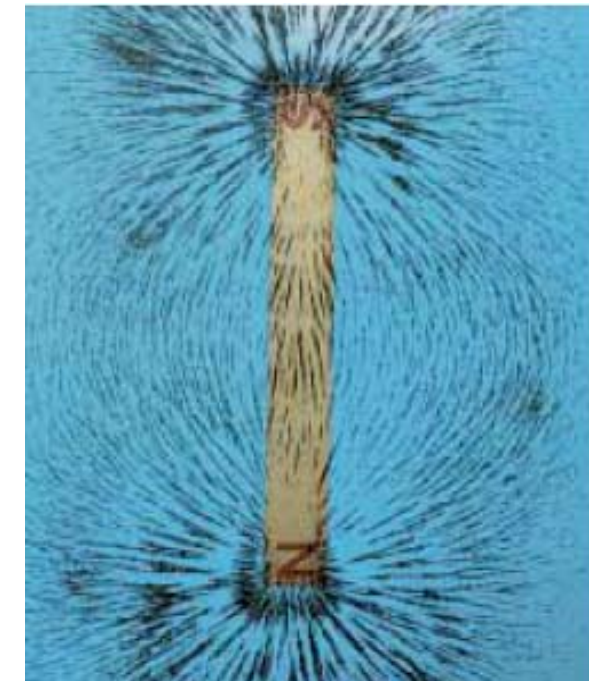
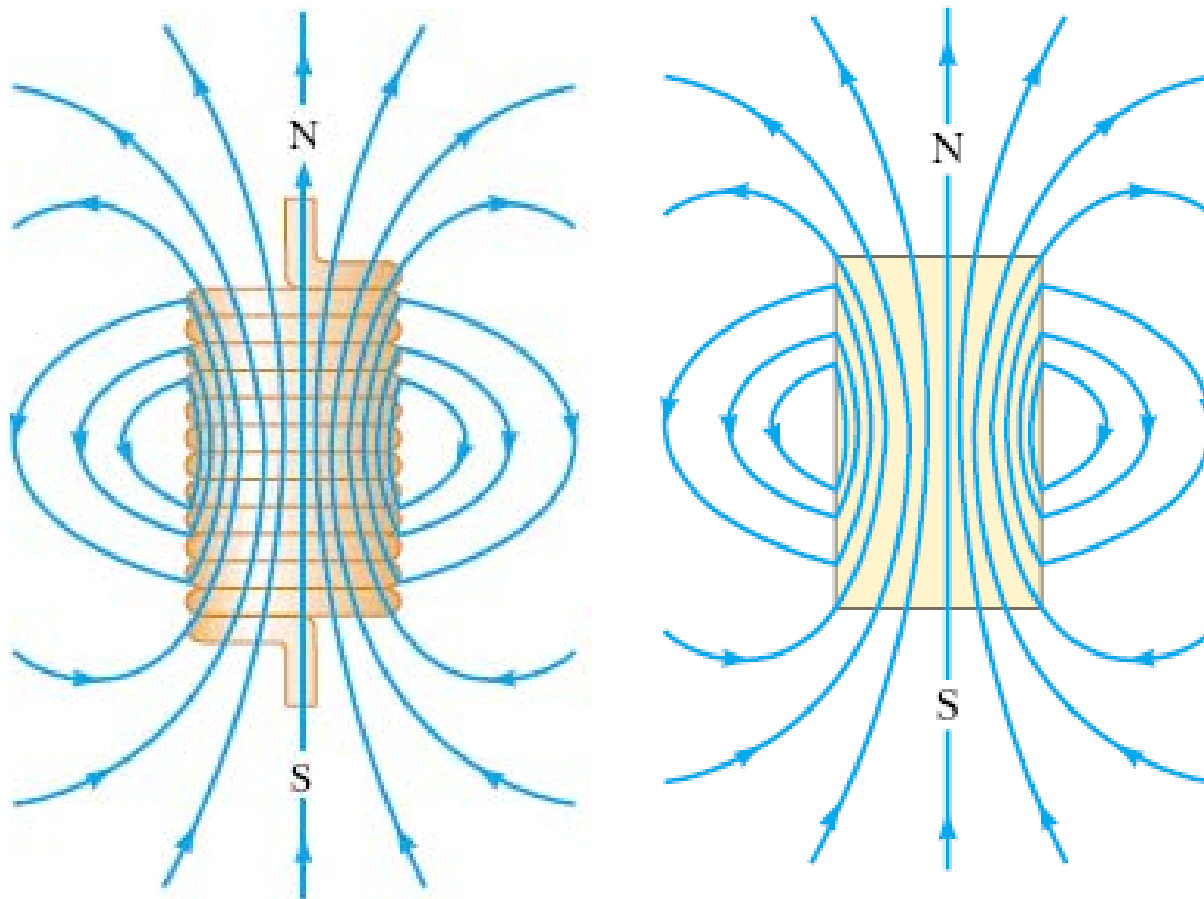
$$B = \int dB = 2 \frac{\mu_0}{4\pi} I \int_0^\infty \frac{R \cos \alpha}{R^3} dz = 2 \frac{\mu_0}{4\pi} I \int_0^{\pi/2} \frac{\cos \alpha}{R^2} r \frac{1}{\cos^2 \alpha} d\alpha =$$

$$= 2 \frac{\mu_0}{4\pi} I \int_0^{\pi/2} \frac{\cos \alpha}{r} d\alpha = \frac{\mu_0 I}{2\pi r};$$

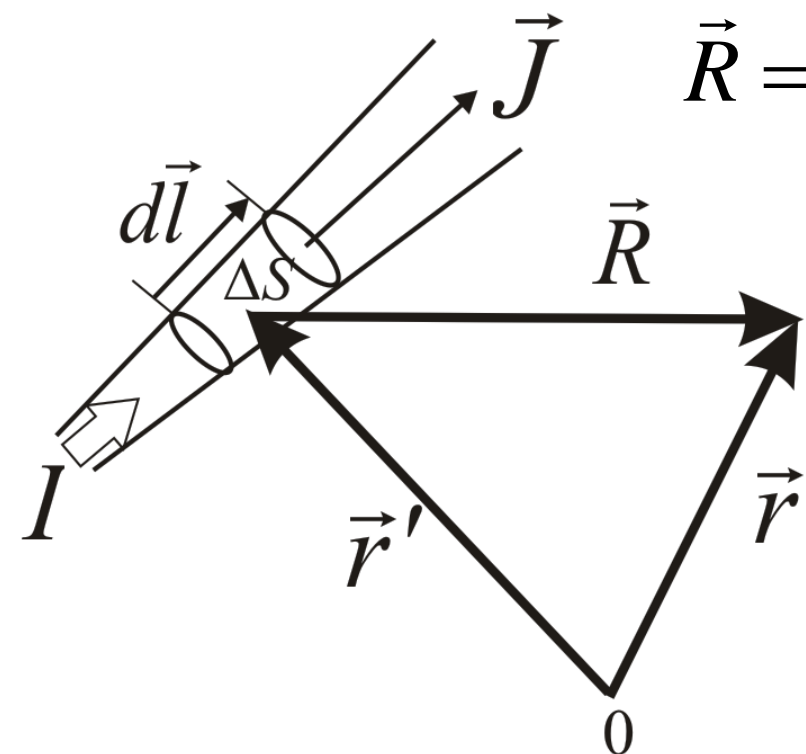
# Линии индукции магнитного поля



Линии магнитной индукции соленоида  
и полосового магнита идентичны.



# Закон Био-Савара-Лапласа для элемента объемного тока.



$$\vec{R} = \vec{r} - \vec{r}', \quad Id\vec{l} = \vec{J} \underbrace{\Delta S dl}_{\Delta V} = \vec{J} \Delta V.$$

$$d\vec{B} = \frac{\mu_0}{4\pi} \frac{I[d\vec{l}, \vec{R}]}{R^3} = \\ = \frac{\mu_0}{4\pi} \frac{[\vec{J}(\vec{r}'), \vec{R}]}{R^3} \Delta V;$$

$$\vec{B}(\vec{r}) = \frac{\mu_0}{4\pi} \int_V \frac{[\vec{J}(\vec{r}'), \vec{r} - \vec{r}']}{{|\vec{r} - \vec{r}'|}^3} dV'.$$

# Векторный потенциал магнитного поля тока.

$$\nabla_{\vec{r}} \frac{1}{|R|} = -\frac{\vec{R}}{|R|^3}; \quad \left( \begin{array}{l} \frac{\partial}{\partial x} \frac{1}{((x-x')^2 + (y-y')^2 + (z-z')^2)^{1/2}} = \\ = -\frac{1}{2} \frac{2(x-x')}{((x-x')^2 + (y-y')^2 + (z-z')^2)^{3/2}} \end{array} \right)$$

$$\vec{B}(\vec{r}) = \frac{\mu_0}{4\pi} \int_V [\vec{J}(\vec{r}'), \frac{\vec{R}}{|R|^3}] dV' = \frac{\mu_0}{4\pi} \int_V [\nabla_{\vec{r}} \frac{1}{R}, \vec{J}(\vec{r}')] dV'$$

$$[\nabla_{\vec{r}} \frac{1}{R}, \vec{J}(\vec{r}')] = \begin{vmatrix} \vec{i} & \vec{j} & \vec{k} \\ \frac{\partial}{\partial x} \frac{1}{R} & \frac{\partial}{\partial y} \frac{1}{R} & \frac{\partial}{\partial z} \frac{1}{R} \\ J_x & J_y & J_z \end{vmatrix} = \begin{vmatrix} \vec{i} & \vec{j} & \vec{k} \\ \frac{\partial}{\partial x} & \frac{\partial}{\partial y} & \frac{\partial}{\partial z} \\ \frac{J_x}{R} & \frac{J_y}{R} & \frac{J_z}{R} \end{vmatrix} = [\nabla, \frac{\vec{J}}{R}] = \text{rot}_{\vec{r}} \frac{\vec{J}}{R};$$

$$\vec{B}(\vec{r}) = \frac{\mu_0}{4\pi} \int_V \text{rot}_{\vec{r}} \frac{\vec{J}}{R} dV' = \text{rot}_{\vec{r}} \underbrace{\int_V \frac{\mu_0}{4\pi} \frac{\vec{J}}{R} dV'}_{\vec{A}(r)} = \text{rot } \vec{A};$$

$$\vec{A}(r) = \int_V \frac{\mu_0}{4\pi} \frac{\vec{J}}{R} dV' - \begin{pmatrix} \text{векторный потенциал} \\ \text{магнитного поля } \vec{B} = \text{rot } \vec{A}. \end{pmatrix}$$

1) Представление  $\vec{B} = \text{rot } \vec{A}$  неднозначно,

$\vec{A}' = \vec{A} + \text{grad} \varphi$ , так как  $\text{rot}(\text{grad} \varphi) \equiv 0$ .

# Вихревой характер магнитного поля.

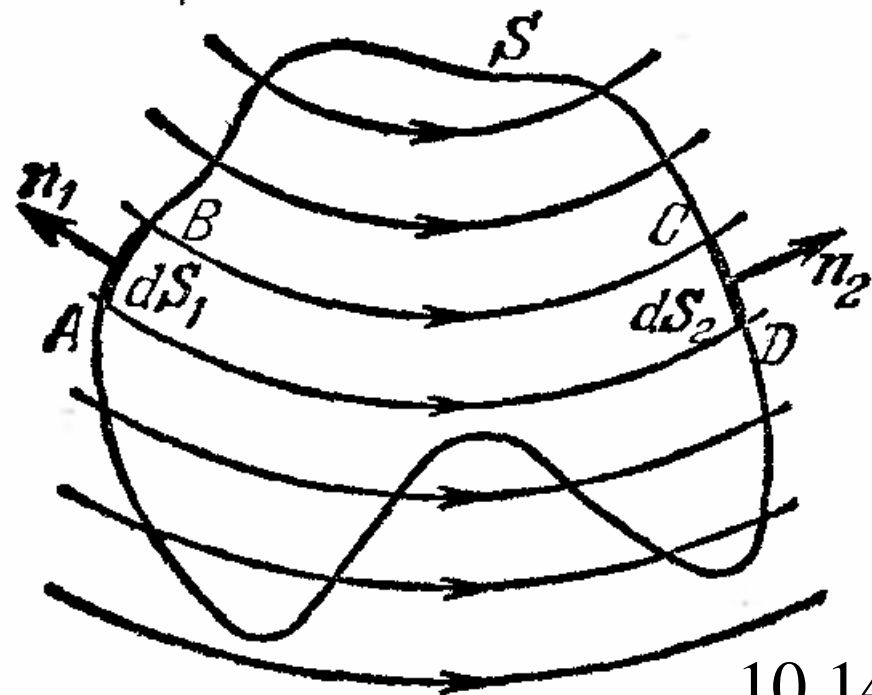
2)  $\operatorname{div} \vec{B} = \operatorname{div}(\operatorname{rot} \vec{A}) \equiv 0$ , так как

$$\frac{\partial}{\partial x} \left( \frac{\partial A_z}{\partial y} - \frac{\partial A_y}{\partial z} \right) + \frac{\partial}{\partial y} \left( \frac{\partial A_x}{\partial z} - \frac{\partial A_z}{\partial x} \right) + \frac{\partial}{\partial z} \left( \frac{\partial A_y}{\partial x} - \frac{\partial A_x}{\partial y} \right) \equiv 0,$$

то есть магнитное поле вихревое поле.

По формуле Гаусса

$$\int_{S_V} \vec{B} d\vec{S} = \int_V \operatorname{div} \vec{B} \cdot dV = 0.$$



$$3) \operatorname{div}_{\vec{r}} \vec{A} = \operatorname{div}_{\vec{r}} \int_V \frac{\mu_0}{4\pi} \frac{\vec{J}(\vec{r}')}{|\vec{r} - \vec{r}'|} dV' = \frac{\mu_0}{4\pi} \int_V \operatorname{div}_{\vec{r}} \frac{\vec{J}(\vec{r}')}{|\vec{r} - \vec{r}'|} dV' =$$

$$= \frac{\mu_0}{4\pi} \int_V \left( -\operatorname{div}_{\vec{r}'} \frac{\vec{J}(\vec{r}')}{|\vec{r} - \vec{r}'|} + \frac{1}{|\vec{r} - \vec{r}'|} \underbrace{\operatorname{div}_{\vec{r}'} \vec{J}(\vec{r}')}_0 \right) dV' =$$

для  
стационарного тока

$$= -\frac{\mu_0}{4\pi} \int_{S_V} \frac{\vec{J}(\vec{r}')}{|\vec{r} - \vec{r}'|} d\vec{S}' = 0, \text{ так как } J_n = 0.$$

Имеем  $\operatorname{div} \vec{A} = 0$ .

# Уравнение для векторного потенциала

$$\vec{A} = \frac{\mu_0}{4\pi} \int_V \frac{\vec{J}(\vec{r}')}{|\vec{r} - \vec{r}'|} dV'.$$

Какому дифференциальному уравнению удовлетворяет эта функция?

Аналогия с электростатикой

$$\varphi(\vec{r}) = \frac{1}{4\pi\epsilon_0} \int_V \frac{\rho(\vec{r}')}{|\vec{r} - \vec{r}'|} dV'; \Rightarrow \Delta\varphi = -\frac{\rho}{\epsilon_0};$$

$$A(\vec{r})_x = \frac{\mu_0}{4\pi} \int_V \frac{J_x(\vec{r}')}{|\vec{r} - \vec{r}'|} dV'; \Rightarrow \Delta A_x = -\mu_0 J_x;$$

$$\Delta \vec{A} = -\mu_0 \vec{J}.$$

## Теорема о циркуляции вектора индукции магнитного поля в дифференциальной и интегральной форме.

$$\operatorname{rot} \vec{B} = \operatorname{rot} \operatorname{rot} \vec{A} = \operatorname{grad} \underbrace{\operatorname{div} \vec{A}}_0 - \underbrace{\Delta \vec{A}}_{-\mu_0 \vec{J}} = \mu_0 \vec{J};$$

$$\operatorname{rot} \vec{B} = \mu_0 \vec{J}. \begin{cases} \text{Дифференциальная форма теоремы о} \\ \text{циркуляции вектора магнитной индукции.} \end{cases}$$

По формуле Стокса

$$\oint_L \vec{B} \cdot d\vec{l} = \int_{S_L} \operatorname{rot} \vec{B} \cdot d\vec{S} = \mu_0 \int_{S_L} \vec{J} \cdot d\vec{S} = \mu_0 \sum_{S_L} I;$$

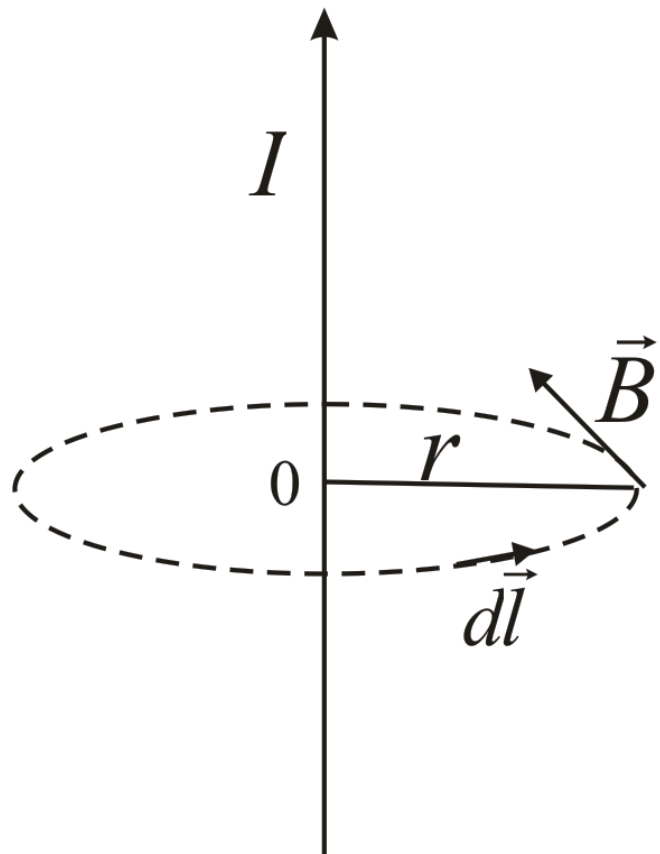
$$\oint_L \vec{B} \cdot d\vec{l} = \mu_0 \int_{S_L} \vec{J} \cdot d\vec{S}; \begin{cases} \text{Интегральная форма теоремы о цир-} \\ \text{куляции вектора магнитной индукции.} \end{cases}$$

# Система полевых уравнений магнитостатики в вакууме в дифференциальной и интегральной формах.

$$\left\{ \begin{array}{l} \operatorname{div} \vec{B} = 0, \\ \operatorname{rot} \vec{B} = \mu_0 \vec{J}. \end{array} \right. \quad \left\{ \begin{array}{l} \int\limits_{S_V} \vec{B} d\vec{S} = 0, \\ \oint\limits_L \vec{B} \cdot d\vec{l} = \mu_0 \int\limits_{S_L} \vec{J} \cdot d\vec{S}. \end{array} \right.$$

$$\left\{ \begin{array}{l} \operatorname{div} \vec{E} = \frac{\rho}{\epsilon_0}, \\ \operatorname{rot} \vec{E} = 0. \end{array} \right. \quad \left\{ \begin{array}{l} \int\limits_{S_V} \vec{E} d\vec{S} = \frac{\int\limits_V \rho dV}{\epsilon_0}, \\ \oint\limits_L \vec{E} \cdot d\vec{l} = 0. \end{array} \right. \quad \left\{ \begin{array}{l} \text{Система полевых уравнений} \\ \text{электростатики в вакууме} \end{array} \right.$$

# Пример решения задач магнитостатики с помощью теоремы о циркуляции вектора индукции магнитного поля.

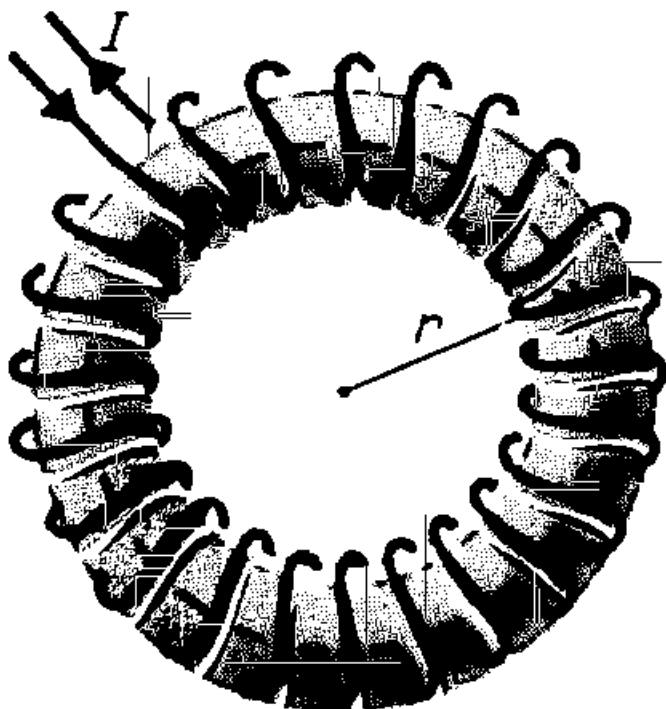


$$\oint_L \vec{B} \cdot d\vec{l} = \mu_0 \sum_{S_L} I;$$

$$B \cdot 2\pi r = \mu_0 I;$$

$$B = \frac{\mu_0 I}{2\pi r}.$$

# Магнитное поле тороида



$$B \cdot 2\pi r = \mu_0 N I;$$

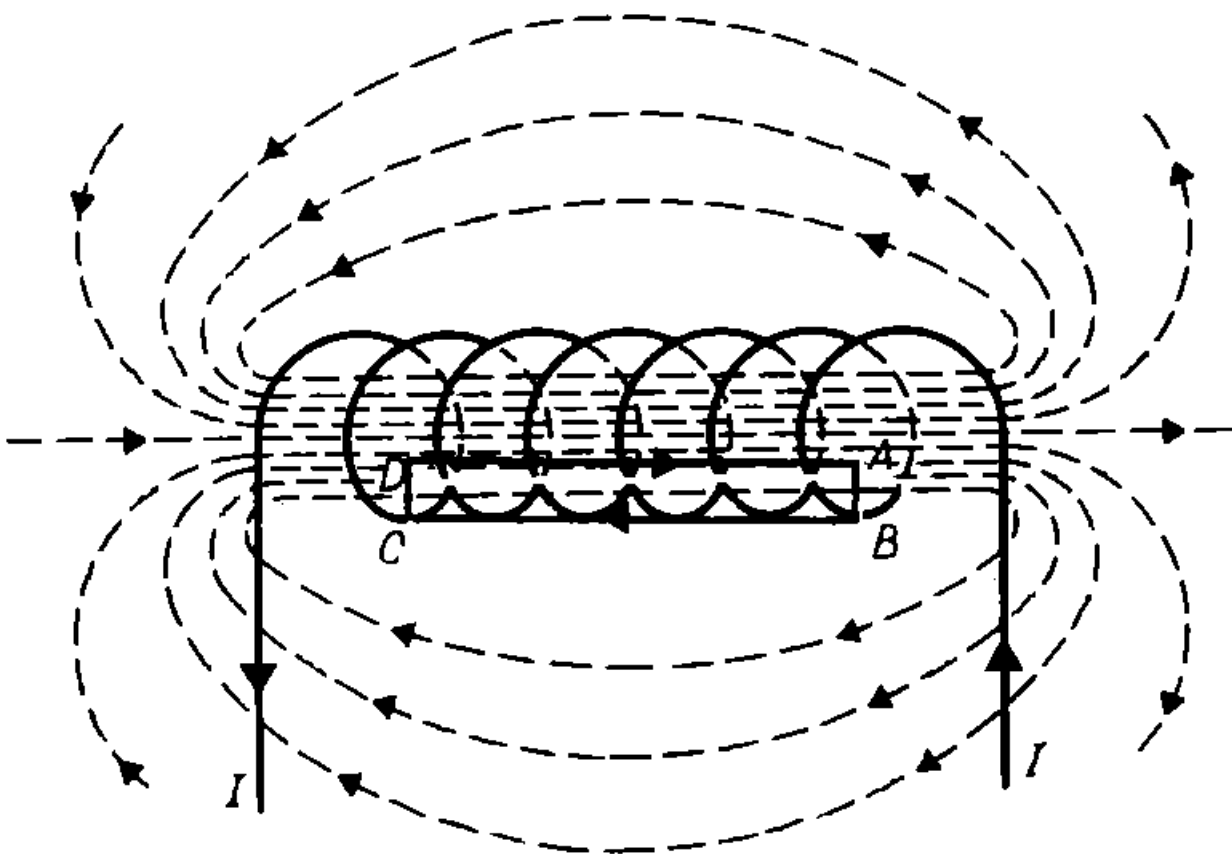
$$B = \mu_0 \frac{N}{2\pi r} I = \mu_0 n I.$$

# Магнитное поле соленоида

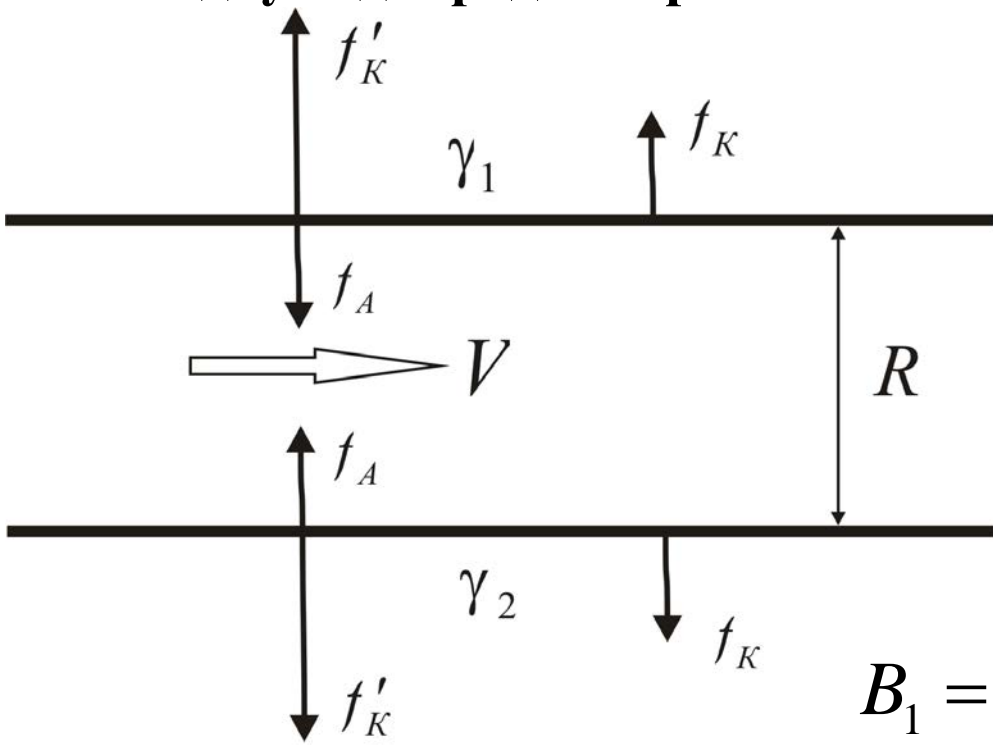
$$\oint_{ABCL} \vec{B} d\vec{l} = \mu_0 N I;$$

$$Bl = \mu_0 N I;$$

$$B = \mu_0 \frac{N}{l} I = \mu_0 n I.$$



# Релятивистская природа магнитных взаимодействий на примере взаимодействия двух однородно заряженных тонких бесконечных стержней.



$$E = \frac{1}{2\pi R} \frac{\gamma_2}{\epsilon_0};$$

$$f_K = \gamma_1 \cdot E = \frac{1}{2\pi \epsilon_0} \frac{\gamma_1 \gamma_2}{R};$$

$$I_1 = \gamma_1 V; I_2 = \gamma_2 V;$$

$$B_1 = \frac{1}{2\pi R} \mu_0 I_1; B_2 = \frac{1}{2\pi R} \mu_0 I_2;$$

$$f_A = I_1 B_2 = I_1 \frac{\mu_0 I_2}{2\pi R} = \frac{\mu_0}{2\pi} \frac{\gamma_1 \gamma_2}{R} V^2; f = f_K - f_A =$$

$$= \frac{1}{2\pi \epsilon_0} \frac{\gamma_1 \gamma_2}{R} - \frac{\mu_0}{2\pi} \frac{\gamma_1 \gamma_2}{R} V^2 = \frac{1}{2\pi \epsilon_0} \frac{\gamma_1 \gamma_2}{R} (1 - \epsilon_0 \mu_0 V^2) < f_K;$$

На самом деле из-за релятивистских эффектов  $f'_K > f_K$ ,

так как  $l = l_0 \sqrt{1 - \frac{V^2}{c^2}}$ , то  $\gamma'_1 = \frac{\gamma_1}{\sqrt{1 - \frac{V^2}{c^2}}}; \gamma'_2 = \frac{\gamma_2}{\sqrt{1 - \frac{V^2}{c^2}}}$ .

$$f = \frac{1}{2\pi\epsilon_0} \frac{\gamma_1\gamma_2}{R} \frac{(1 - \epsilon_0\mu_0 V^2)}{1 - \frac{V^2}{c^2}}.$$

Если  $\epsilon_0\mu_0 = \frac{1}{c^2}$ ,

$$\text{то } f = f'_K - f_A = f_K.$$

$$f_A = \frac{\mu_0}{2\pi} \frac{\gamma_1\gamma_2}{R} V^2 = \underbrace{\frac{1}{2\pi\epsilon_0} \frac{\gamma_1\gamma_2}{R}}_{f_K} \underbrace{\epsilon_0\mu_0}_{\frac{1}{c^2}} V^2 = f_K \frac{V^2}{c^2}.$$

Сила Ампера является релятивистской поправкой  $\sim V^2 / c^2$  к статической силе Кулона.

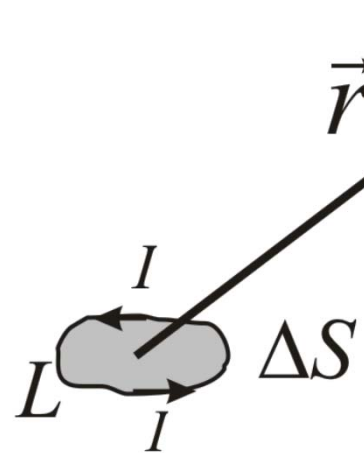
# Лекция 11.

- Элементарный ток и его магнитный момент. Поле элементарного тока. Магнитное поле движущегося заряда. Силы, действующие на токи в магнитном поле. Определение единицы силы тока — ампера. Элементарный ток в магнитном поле. Сила Лоренца. Эффект Холла.

## Элементарный ток и его магнитный момент.

### Векторный потенциал элементарного тока.

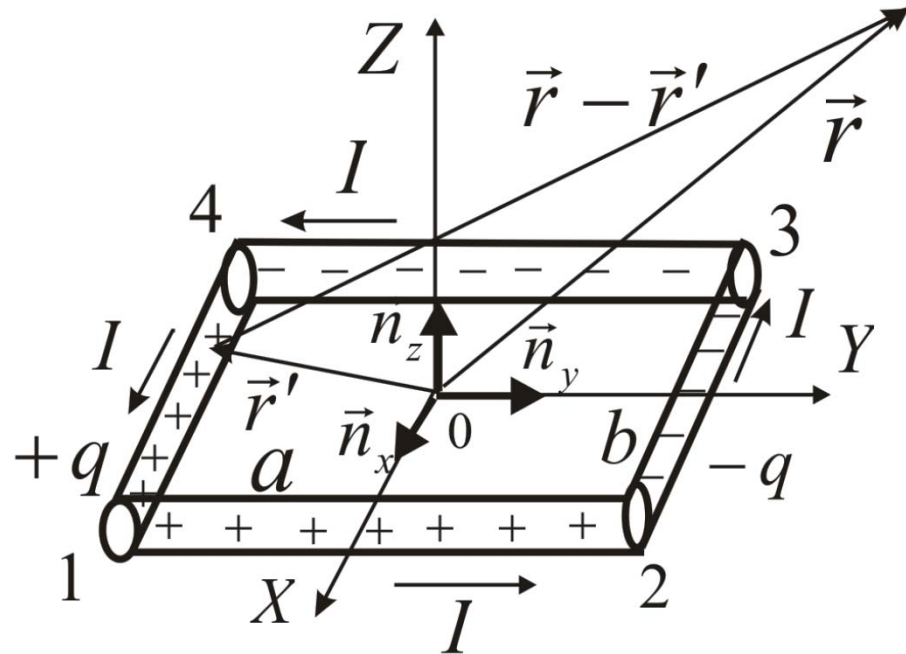
Элементарный ток - это линейный замкнутый ток, обтекающий поверхность с бесконечно малыми линейными размерами.



Учитывая, что для линейного тока  $\vec{J}dV = Id\vec{l}$

$$\vec{A} = \frac{\mu_0}{4\pi} \int_L \frac{Id\vec{l}'}{|\vec{r} - \vec{r}'|}; \quad A(\vec{r})_x = \frac{\mu_0}{4\pi} \int_L \frac{Idl'_x}{|\vec{r} - \vec{r}'|} =$$
$$= \frac{1}{4\pi\epsilon_0} \frac{1}{c^2} \int_L \frac{Idl'_x}{|\vec{r} - \vec{r}'|}, \text{ где } c^2 = \frac{1}{\epsilon_0\mu_0};$$

$$\varphi(\vec{r}) = \frac{1}{4\pi\epsilon_0} \int_V \frac{\gamma(\vec{r}')dl'}{|\vec{r} - \vec{r}'|}; \quad \text{Функция } A(\vec{r})_x \text{ равна } \varphi(\vec{r})$$
$$\text{при } \gamma(\vec{r}')dl' = Idl'_x / c^2.$$



Выберем контур элем. тока в виде прямоугольника со сторонами  $a$  и  $b$ .

$$q_{14} = \frac{I}{c^2} b; \quad q_{23} = -\frac{I}{c^2} b;$$

$$\vec{p}_q^1 = -q_{14} a \vec{n}_y = -\frac{I}{c^2} \underbrace{ba}_{S} \vec{n}_y =$$

$= -\frac{p_m}{c^2} \vec{n}_y$ , где  $p_m = IS$  - магнитный момент элементарного тока.

$$A_x = \varphi = \frac{1}{4\pi\epsilon_0} \frac{\vec{p}_q^1 \cdot \vec{r}}{r^3} = -\frac{1}{4\pi\epsilon_0} \frac{p_m y}{c^2 r^3};$$

Аналогично находим:

$$A_y = \frac{1}{4\pi\epsilon_0} \frac{p_m x}{c^2 r^3}; \quad A_z = 0.$$

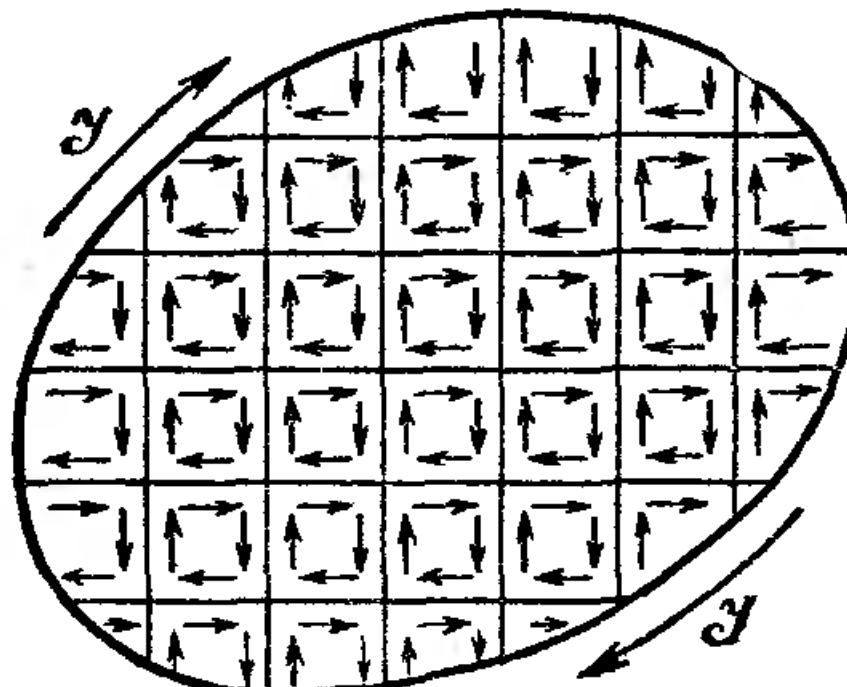
Если ввести вектор  $\vec{p}_m = p_m \vec{n}_z = IS \vec{n}_z$ , то  $\vec{A} = \frac{\mu_0}{4\pi} \frac{[\vec{p}_m, \vec{r}]}{r^3}$ .

Здесь учтено равенство  $c^2 = 1 / \epsilon_0 \mu_0$ .

Действительно

$$\frac{[\vec{p}_m, \vec{r}]}{r^3} = \begin{vmatrix} \vec{n}_x & \vec{n}_y & \vec{n}_z \\ 0 & 0 & p_m \\ \frac{x}{r^3} & \frac{y}{r^3} & \frac{z}{r^3} \end{vmatrix}.$$

Элементарный ток произвольной формы можно свести к совокупности прямоугольных элем. токов



$$\vec{p}_m = \sum_n \vec{p}_n = \sum_n I \vec{S}_n = \\ = I \sum_n \vec{S}_n = I \vec{S}.$$

## Поле элементарного тока.

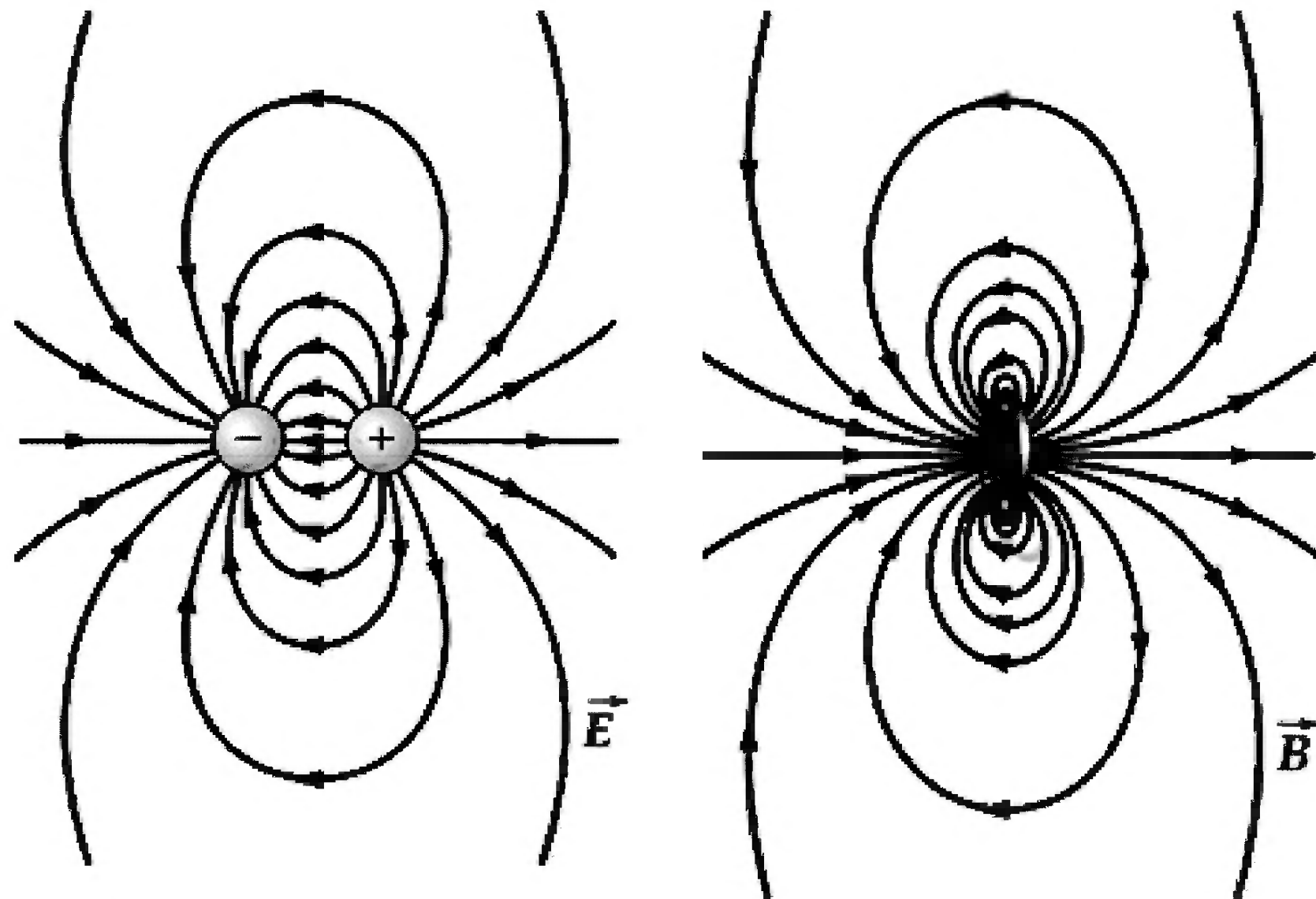
$$\vec{B} = \operatorname{rot} \vec{A} = [\nabla, \vec{A}] = [\underbrace{\nabla}_{\vec{a}}, \frac{\mu_0}{4\pi} [\underbrace{\vec{p}_m}_{\vec{b}}, \underbrace{\frac{\vec{r}}{r^3}}_{\vec{c}}]] =$$

$$= \frac{\mu_0}{4\pi} \underbrace{(\vec{p}_m (\nabla \frac{\vec{r}}{r^3}) - (\vec{p}_m \nabla) \frac{\vec{r}}{r^3})}_{0};$$

$$(\nabla \frac{\vec{r}}{r^3}) = \frac{(\nabla \vec{r})}{r^3} + (\vec{r} \nabla \frac{1}{r^3}) = \frac{3}{r^3} - \frac{(\vec{r} \cdot 3\vec{r})}{r^5} = 0.$$

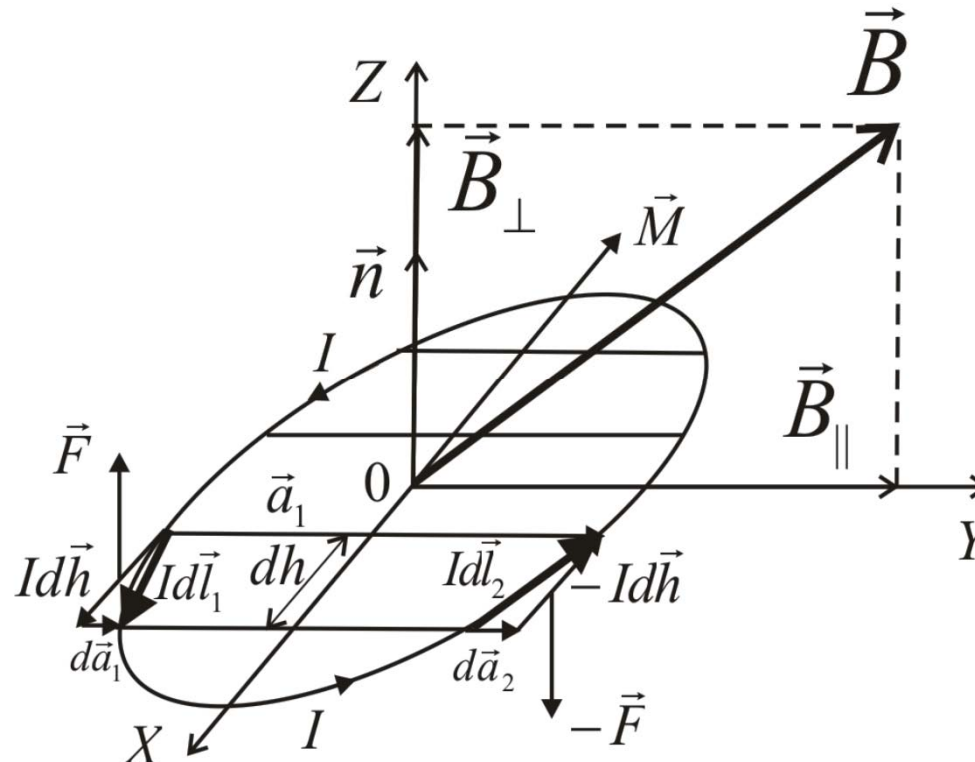
$$(\vec{p}_m \nabla) \frac{\vec{r}}{r^3} = \frac{(\vec{p}_m \nabla) \vec{r}}{r^3} + \vec{r} (\vec{p}_m \nabla) \frac{1}{r^3} = \frac{\vec{p}_m}{r^3} - \vec{r} (\vec{p}_m \frac{3\vec{r}}{r^5});$$

$$\vec{B} = \frac{\mu_0}{4\pi} \left( \frac{3(\vec{p}_m \vec{r}) \vec{r}}{r^5} - \frac{\vec{p}_m}{r^3} \right).$$



11.6

# Элементарный ток в магнитном поле.



$$\vec{F} = [Id\vec{l}_1, \vec{B}_{\parallel}] =$$

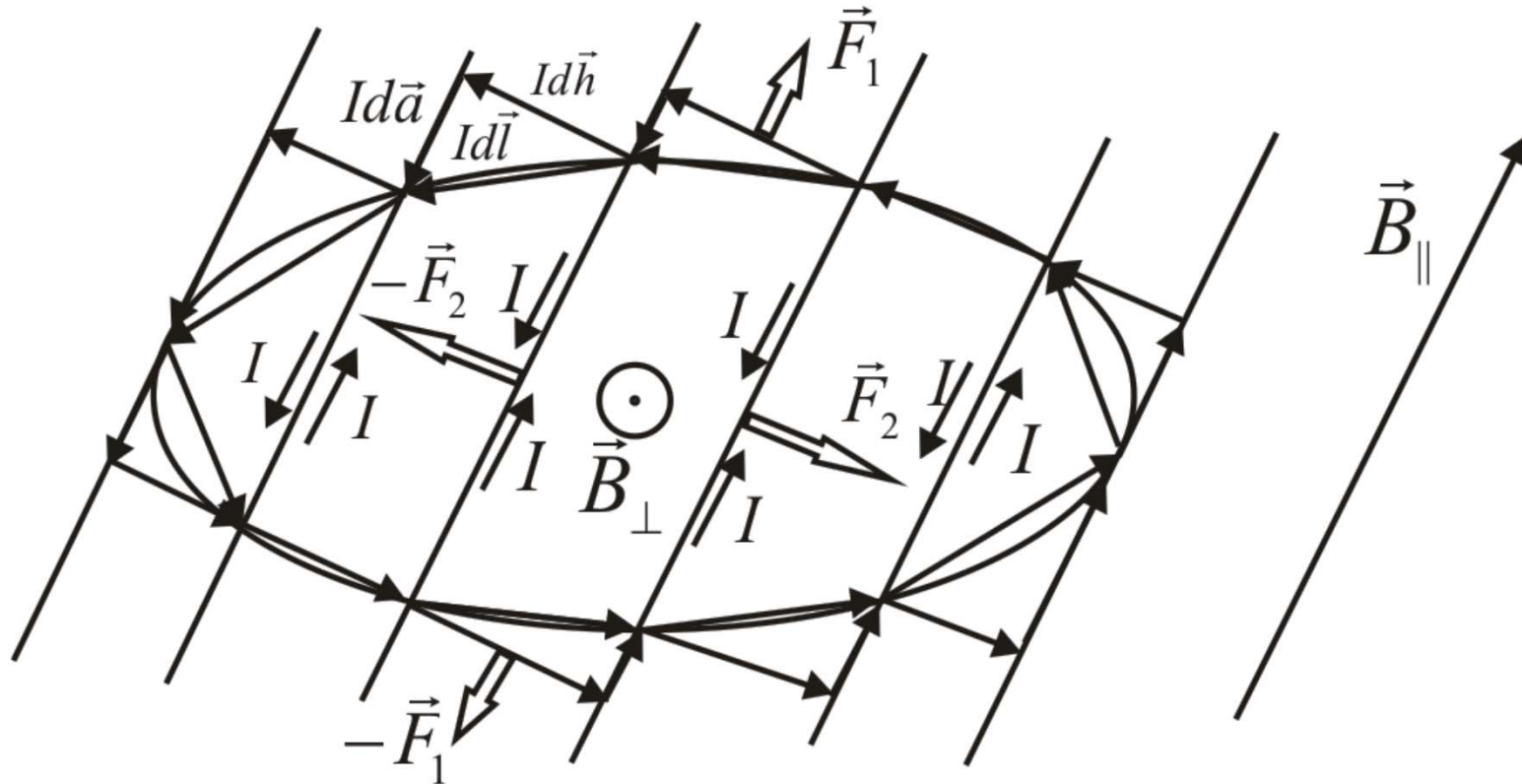
$$[(Id\vec{h} + Id\vec{a}_1), \vec{B}_{\parallel}] = [Id\vec{h}, \vec{B}_{\parallel}];$$

$$-\vec{F} = [Id\vec{l}_2, \vec{B}_{\parallel}] = [-Id\vec{h}, \vec{B}_{\parallel}];$$

$$d\vec{M} = [\vec{a}_1, \vec{F}] = [\vec{a}_1, [-Id\vec{h}, \vec{B}_{\parallel}]] =$$

$$= \frac{[\vec{n}, \vec{B}_{\parallel}]}{B_{\parallel}} \underbrace{Idha_1}_{\Delta S} B_{\parallel} = [\underbrace{I \Delta S \vec{n}}_{\Delta \vec{p}_m}, \vec{B}_{\parallel}];$$

$$\vec{M} = \sum d\vec{M} = [I \underbrace{\sum \Delta S \vec{n}}_S, \vec{B}_{\parallel}] = [\vec{p}_m, \vec{B}_{\parallel}];$$

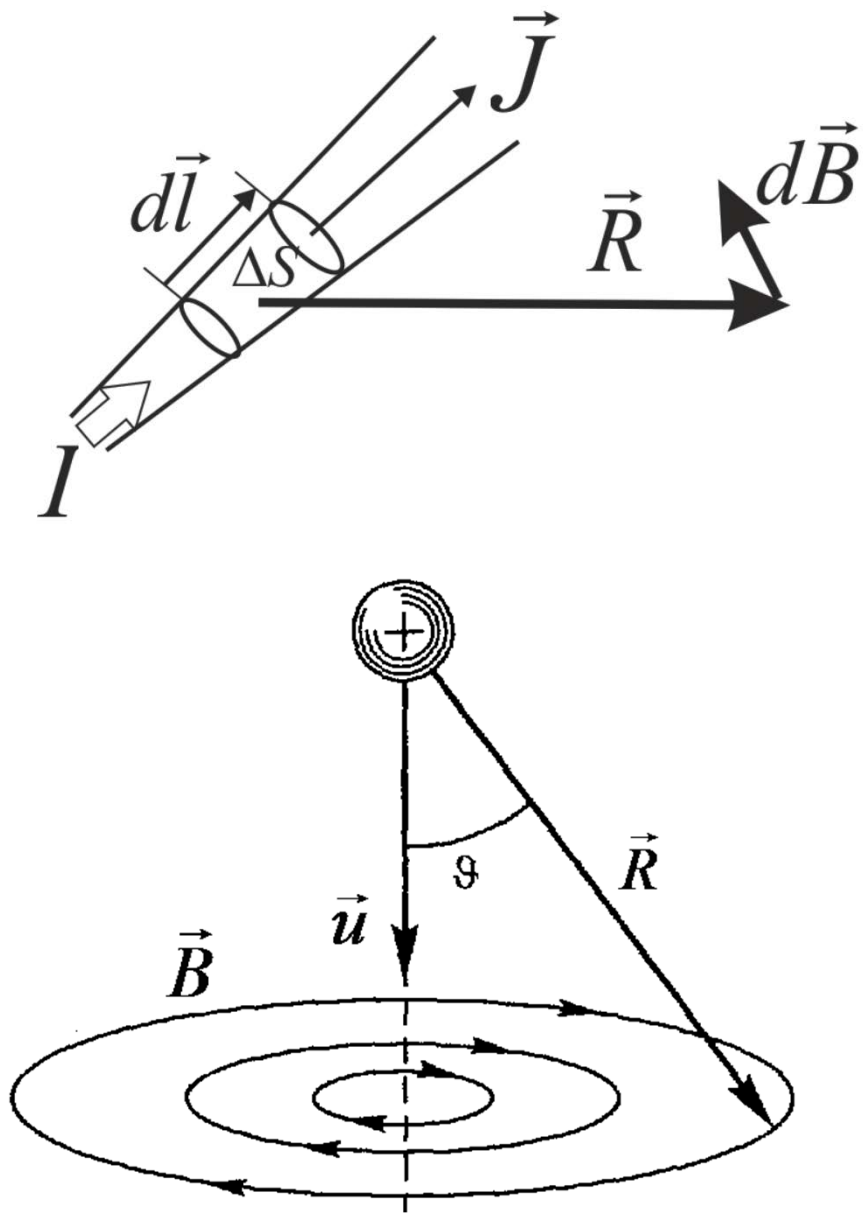


$$\vec{M} = \sum d\vec{M} = [I \underbrace{\sum_{S} \Delta S \vec{n}}_{S}, \vec{B}_{\parallel}] = [\vec{p}_m, \vec{B}_{\parallel}] = [\vec{p}_m, \vec{B}_{\parallel} + \vec{B}_{\perp}] = [\vec{p}_m, \vec{B}];$$

В однородном поле, сила действующая на контур с током, равна

$$\vec{F} = \sum [Id\vec{l}, \vec{B}] = I[\underbrace{\sum_0 d\vec{l}}_{0}, \vec{B}] = 0.$$

# Магнитное поле движущегося заряда



$$d\vec{B} = \frac{\mu_0}{4\pi} \frac{[\vec{J}, \vec{R}]}{R^3} dV;$$

$$\vec{J} = qn\vec{u};$$

$$d\vec{B} = \frac{\mu_0}{4\pi} \frac{[\vec{u}, \vec{R}]}{R^3} q \underbrace{n dV}_N;$$

$$\vec{B} = \frac{d\vec{B}}{N} = \frac{\mu_0}{4\pi} q \frac{[\vec{u}, \vec{R}]}{R^3};$$

$$B = \frac{\mu_0}{4\pi} \frac{qu \sin \vartheta}{R^2};$$

Движущийся заряд создает элемент тока  $q\vec{u}$ .

$$\vec{B} = \frac{\mu_0}{4\pi} q \frac{[\vec{u}, \vec{R}]}{R^3} = \underbrace{\epsilon_0 \mu_0}_{1/c^2} \underbrace{[\vec{u}, \frac{1}{4\pi \epsilon_0} \frac{q \vec{R}}{R^3}]}_{\vec{E}} = \frac{1}{c^2} [\vec{u}, \vec{E}];$$

## Силы, действующие на токи в магнитном поле. Сила Лоренца.

$$d\vec{F}_A = I[\vec{dl}, \vec{B}] = [\vec{J}, \vec{B}]dV; \quad \vec{F}_A = I \int_L [\vec{dl}, \vec{B}] = \int_V [\vec{J}, \vec{B}]dV.$$

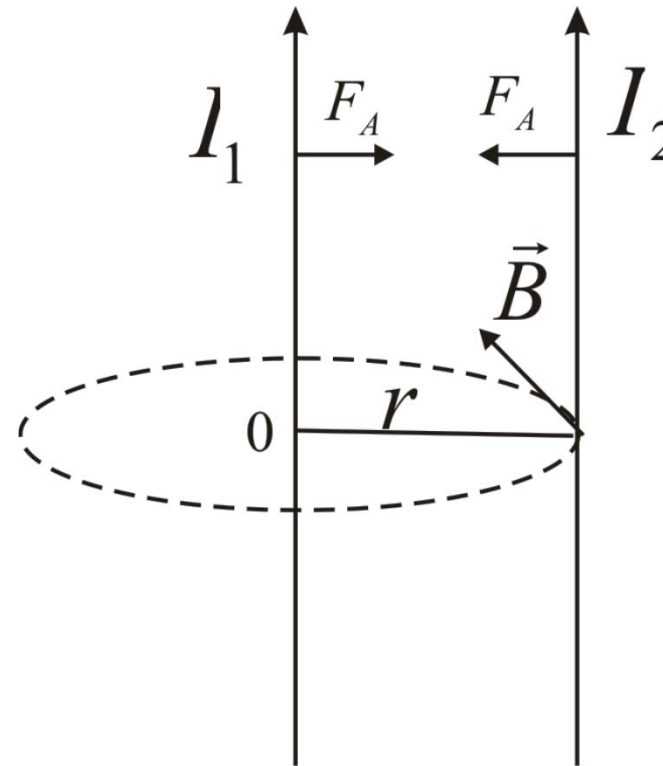
Так как элемент тока движущего заряда  $I\vec{dl} = q\vec{u}$ ,  
то сила, действующая на движущий заряд  
в магнитном поле, равна

$$\vec{F} = q[\vec{u}, \vec{B}].$$

Если имеется и электрическое поле, то

$$\vec{F} = q\vec{E} + q[\vec{u}, \vec{B}] - \text{Сила Лоренца.}$$

# Определение единицы силы тока — Ампера.

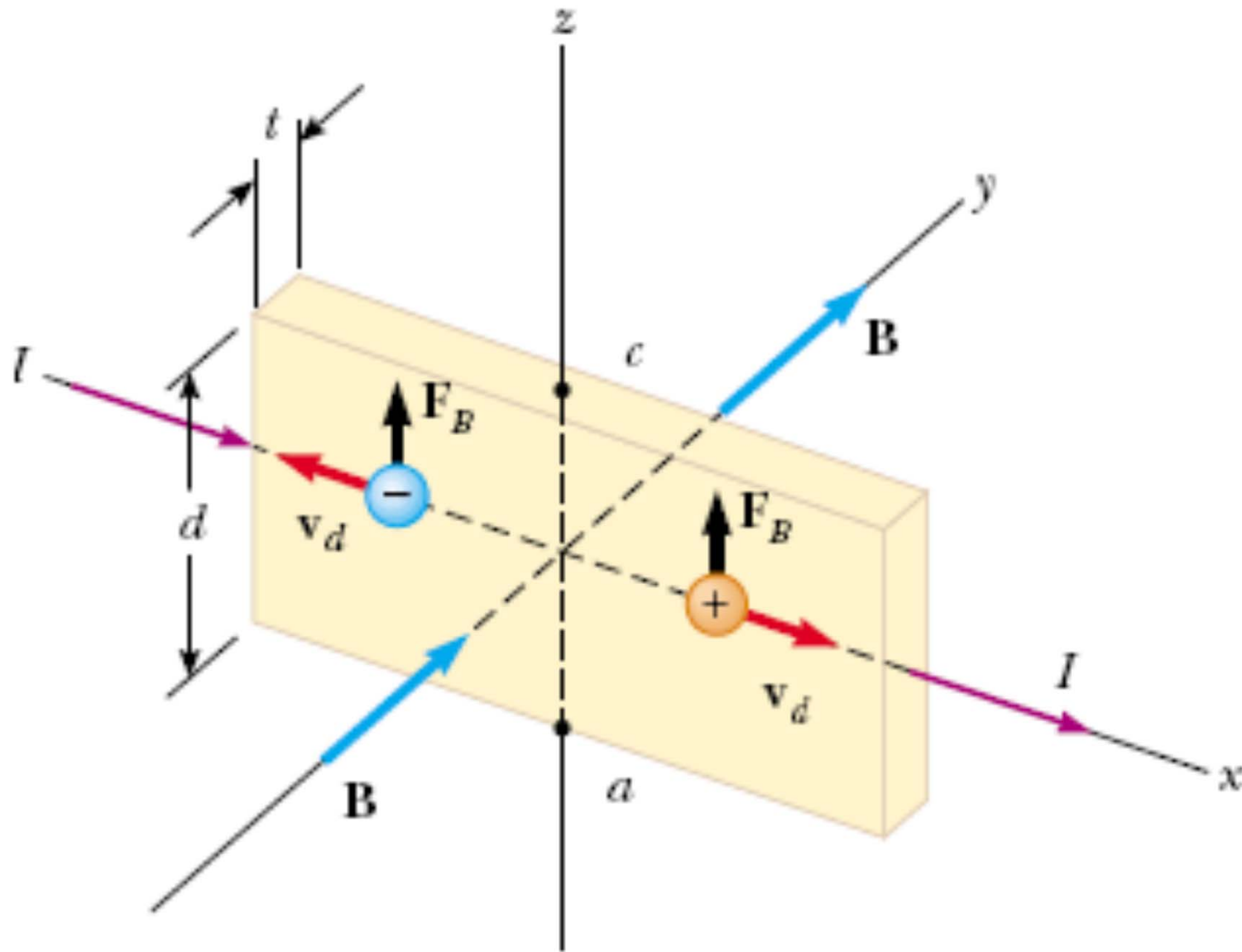


$$F_A = \mu_0 \frac{I_2 I_1}{2\pi r} L;$$

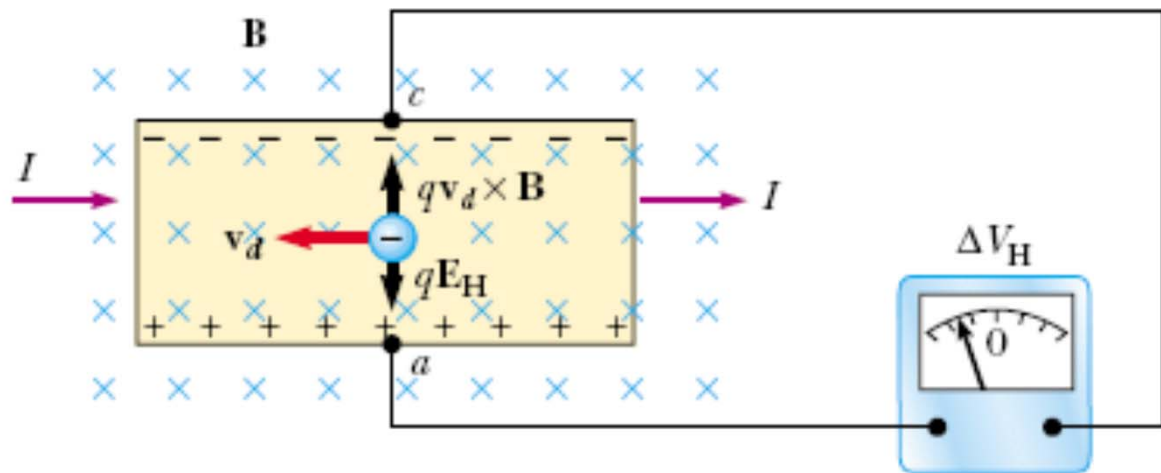
$$2 \cdot 10^{-7} H = \mu_0 \frac{1A \cdot 1A}{2\pi \cdot 1m} \cdot 1m; \Rightarrow$$

$$\mu_0 = 4\pi \cdot 10^{-7} \frac{H}{A^2} = 4\pi \cdot 10^{-7} \frac{\text{Гн}}{м};$$

# Эффект Холла.



11.13



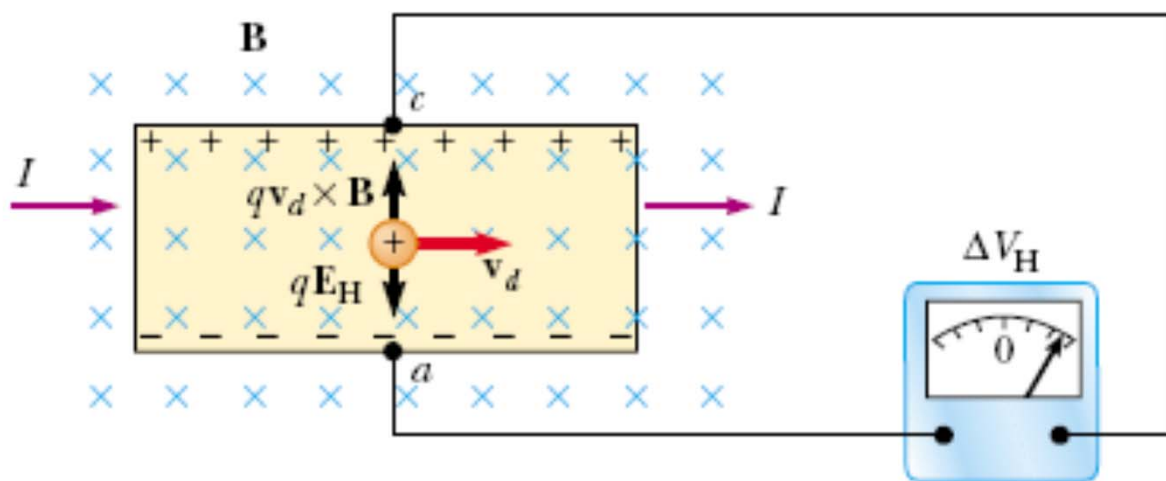
$$qE_H = q \frac{\Delta V_H}{d} = qv_d B;$$

$$\Delta V_H = \underbrace{\frac{qnv_d}{J}}_{qn} Bd =$$

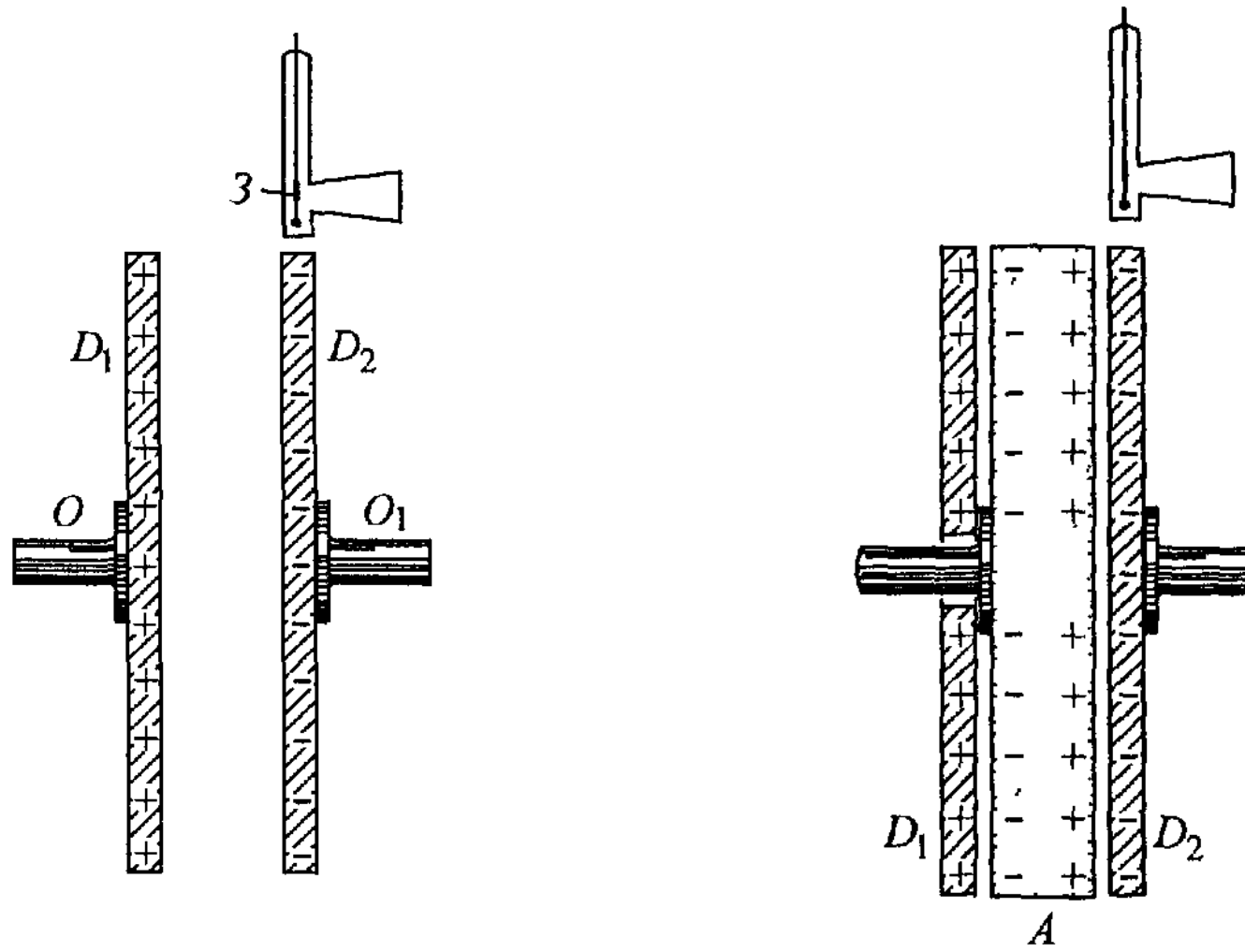
$$= \frac{1}{qn} JBd = RJBd,$$

$$\text{где } R = \frac{1}{qn}$$

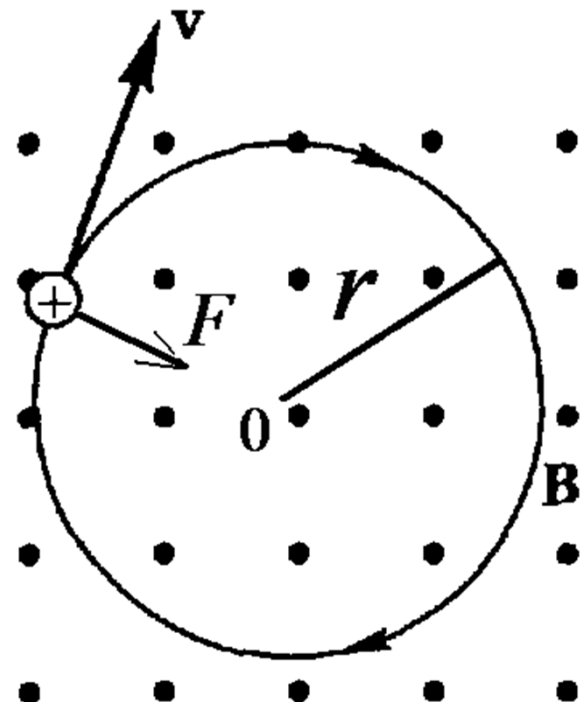
постоянная Холла.



# Опыты Роулонда и Эйхенвальда. (А.А.Эйхенвалд, 1901 г.)



# Движение заряженных частиц в однородном магнитном поле.

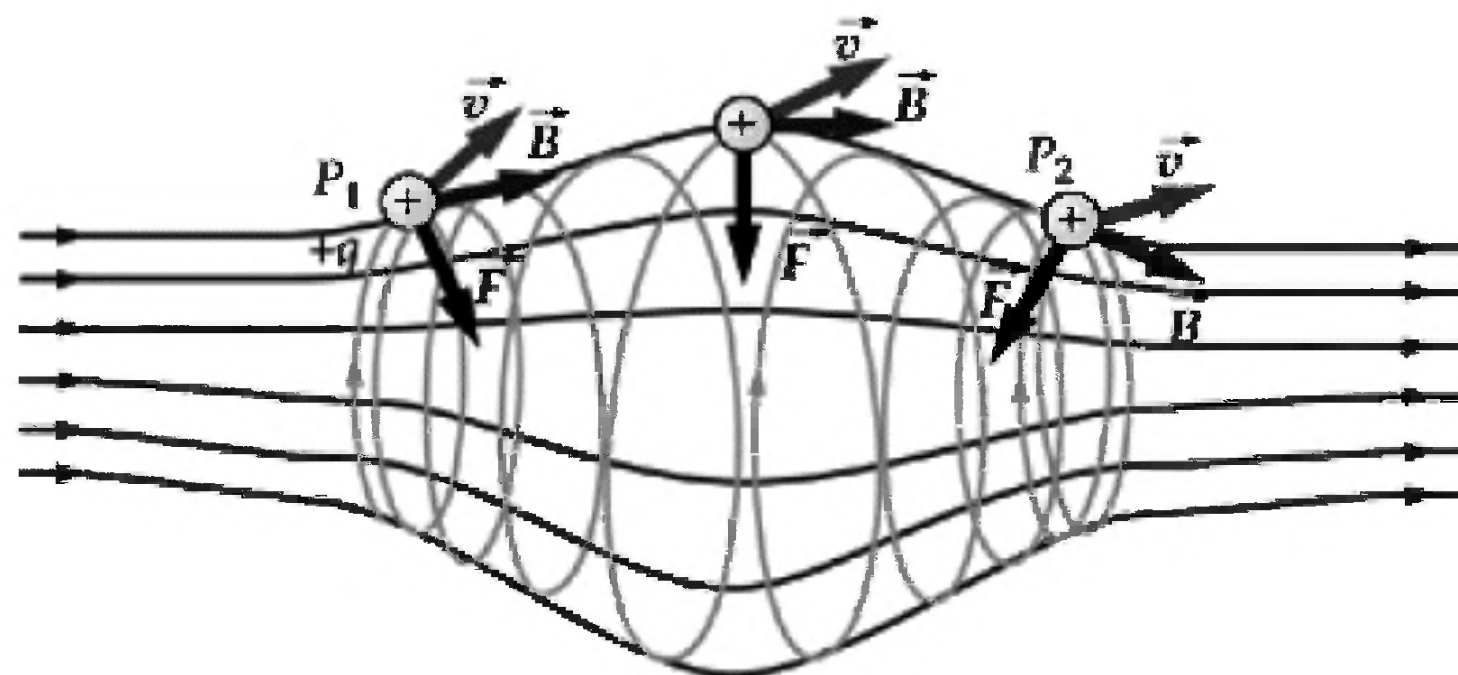
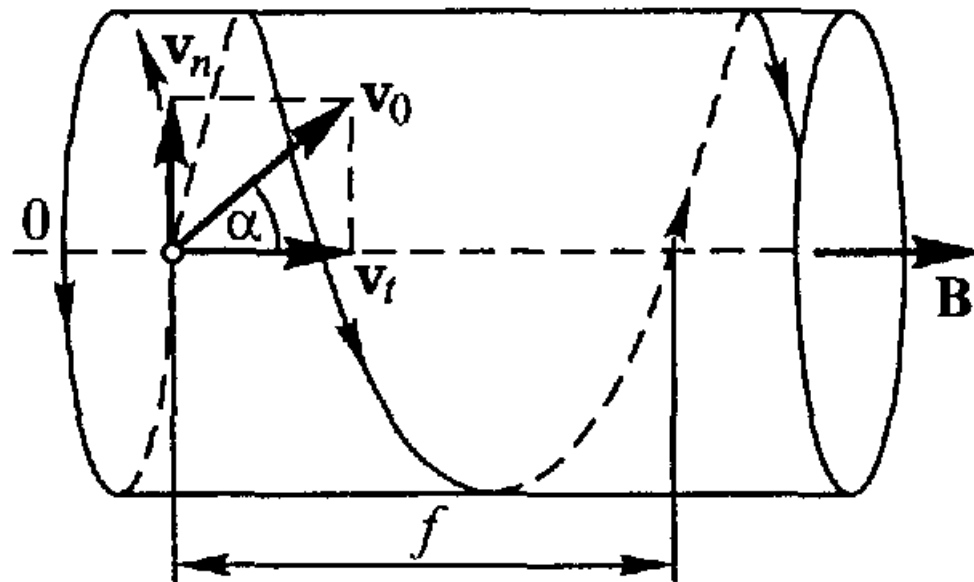


$$F = qvB;$$

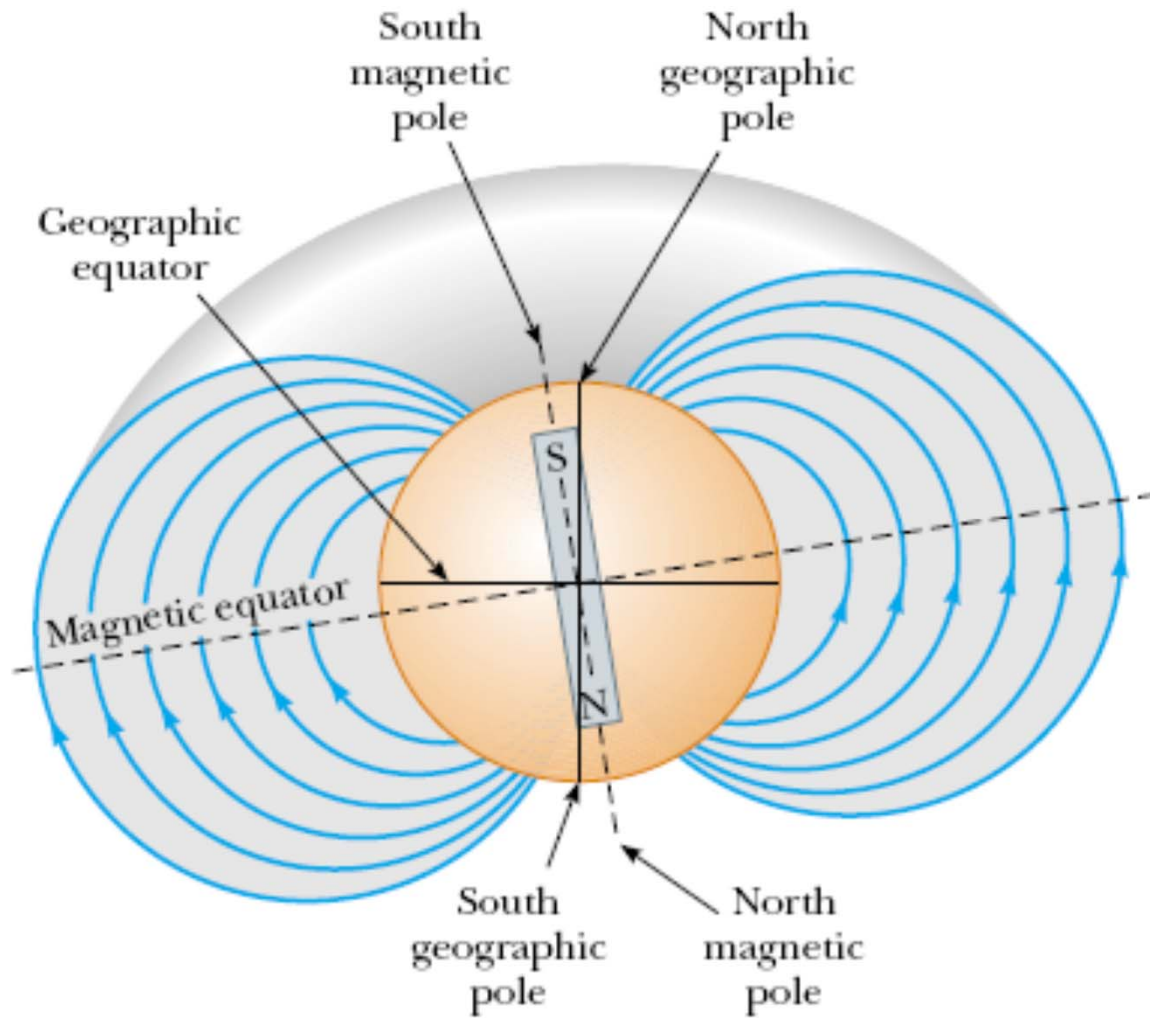
$$m \frac{v^2}{r} = qvB; \Rightarrow r = \frac{mv}{qB};$$

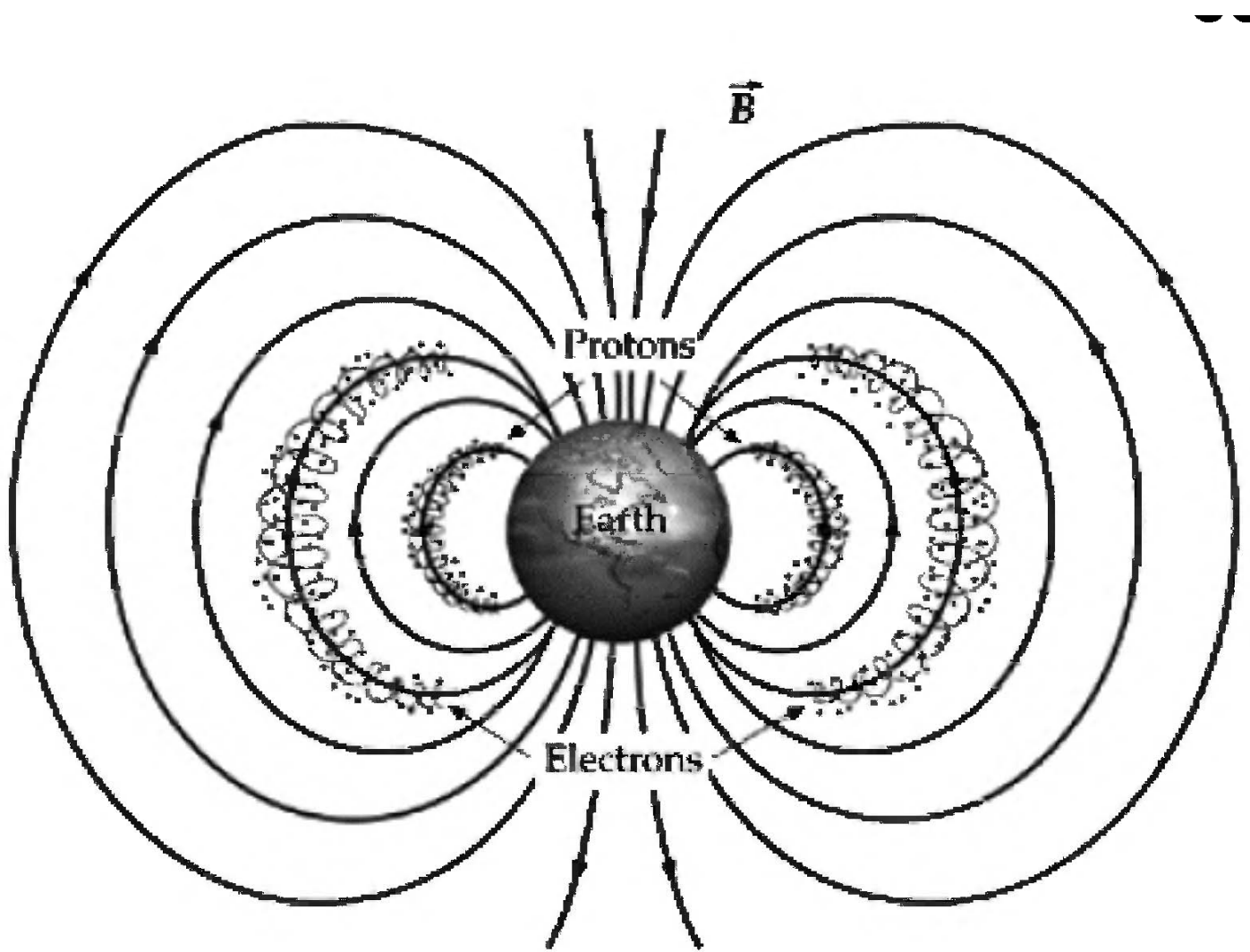
$$T = \frac{2\pi r}{v} = \frac{2\pi m}{qB};$$

$$\omega_c = \frac{2\pi}{T} = \frac{q}{m} B.$$



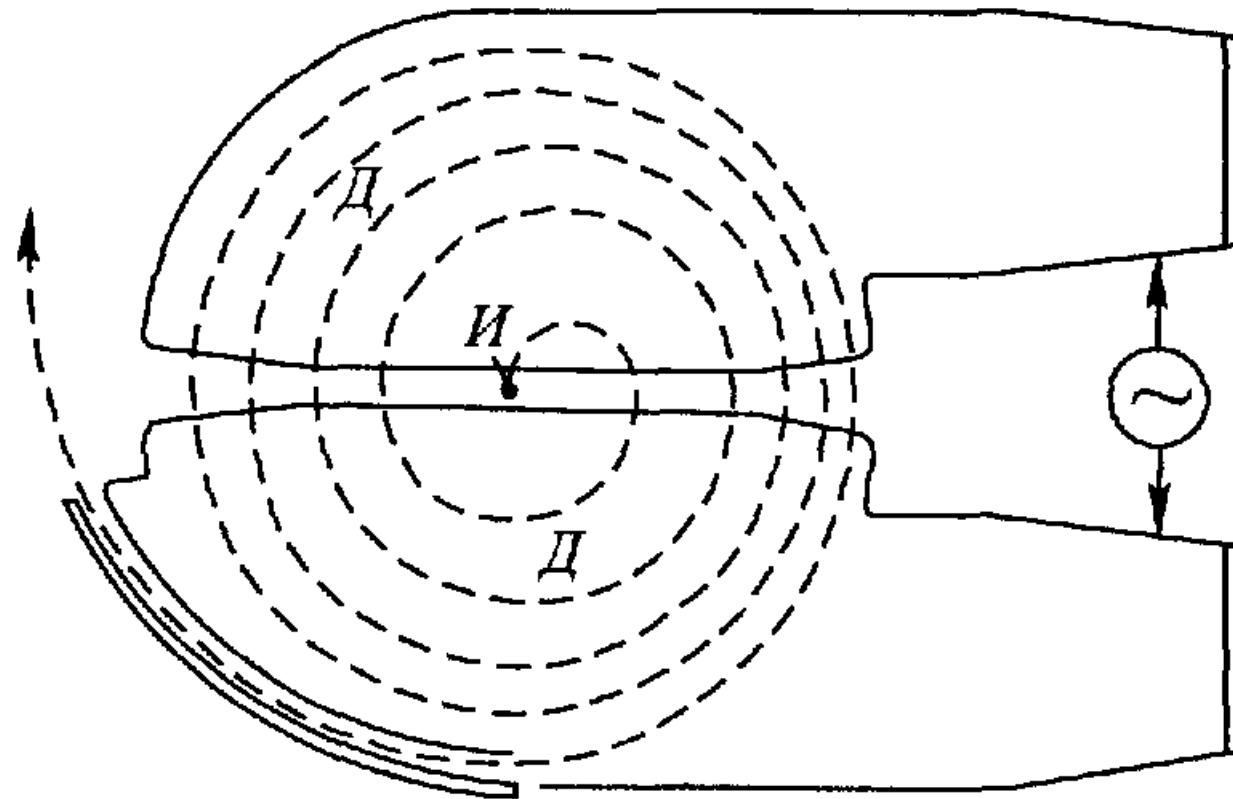
11.17



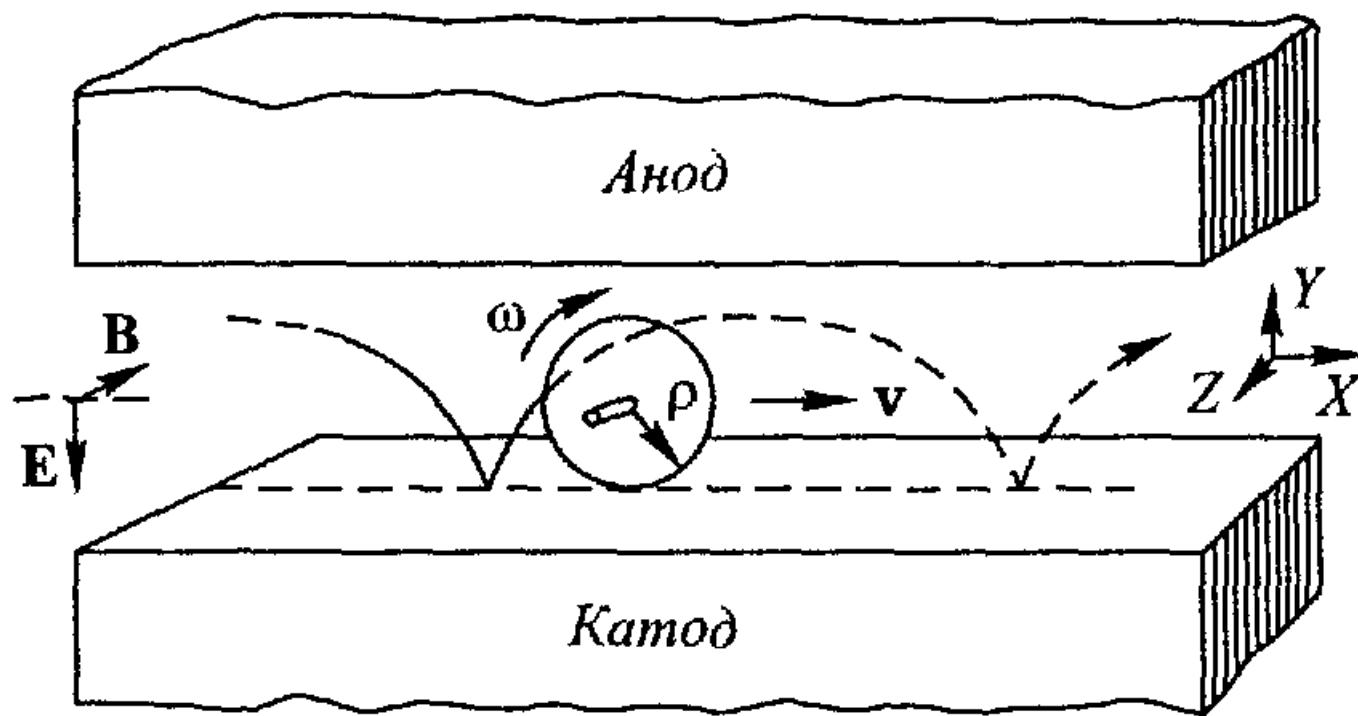


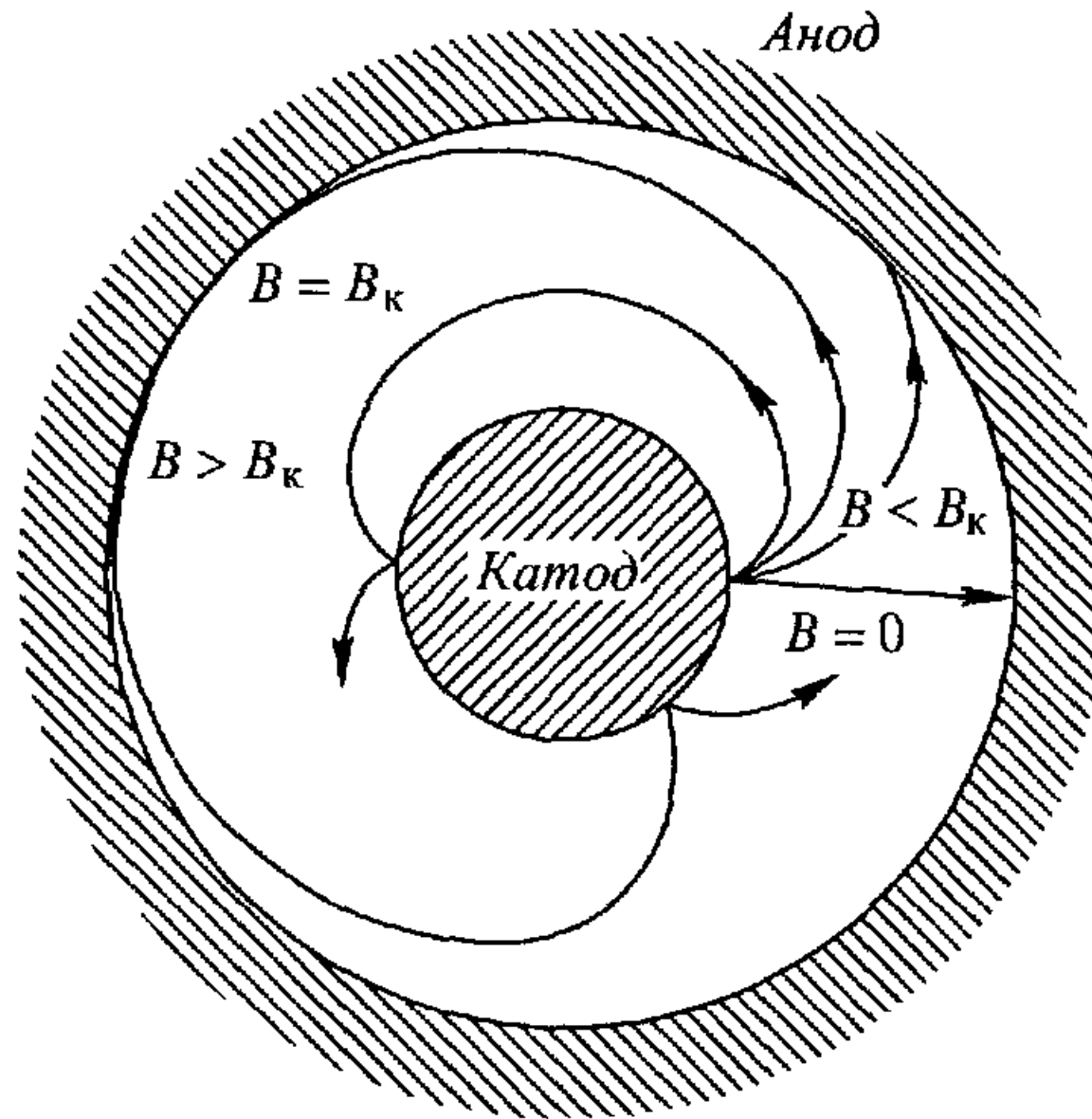
11.19

# Принцип действия циклотрона

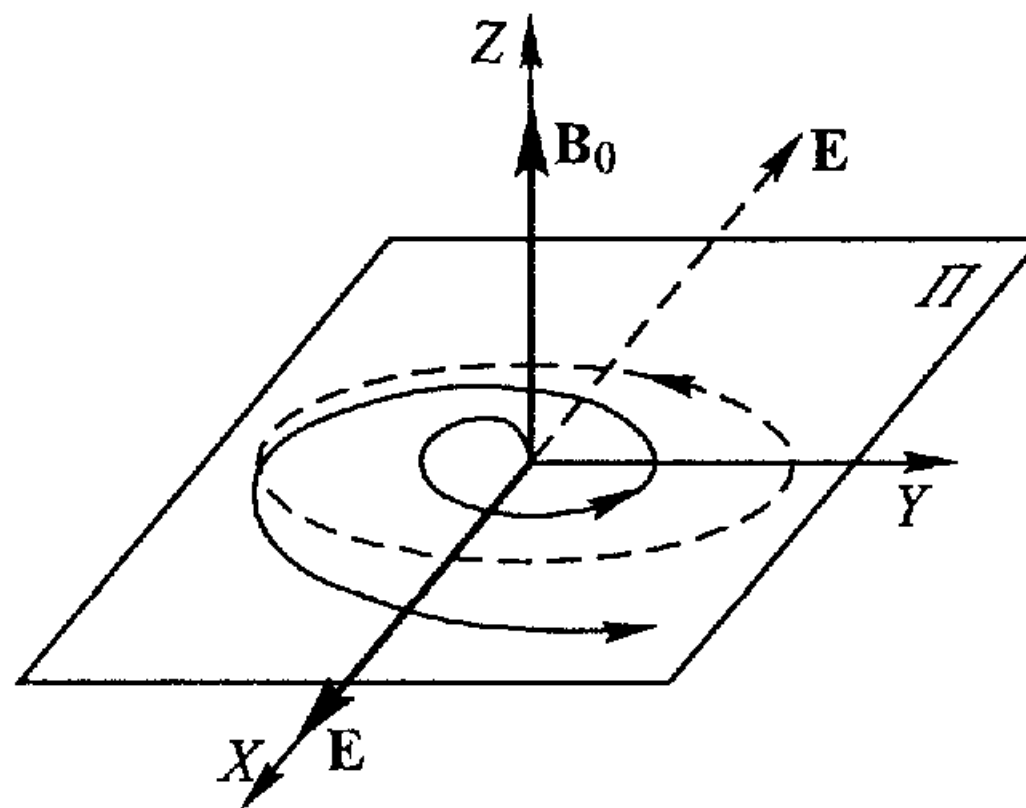


# Магнетрон





# Циклотронный резонанс.



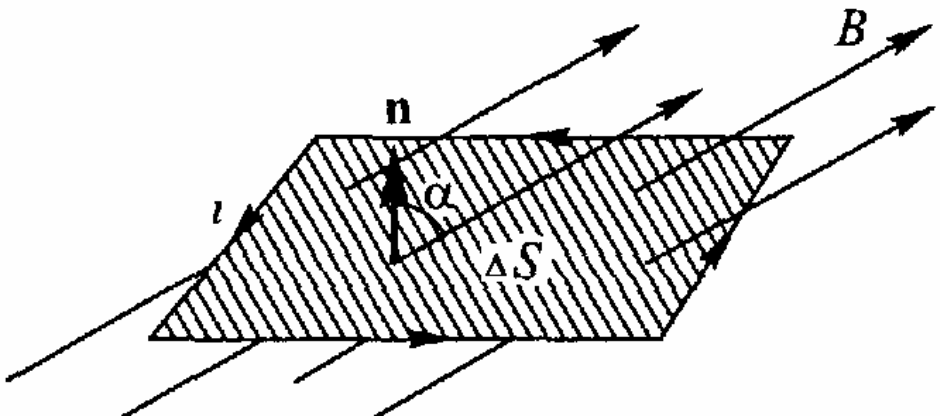
In an experiment designed to measure the magnitude of a uniform magnetic field, electrons are accelerated from rest through a potential difference of 350 V. The electrons travel along a curved path because of the magnetic force exerted on them, and the radius of the path is measured to be 7.5 cm.



# Лекция 12.

- Работа сил Ампера. Поток вектора магнитной индукции (магнитный поток). Потенциальная функция тока. Взаимодействие двух контуров с током. Коэффициент взаимной индукции двух контуров. Учет собственного поля уединенного контура с током. Коэффициент самоиндукции (индуктивность).

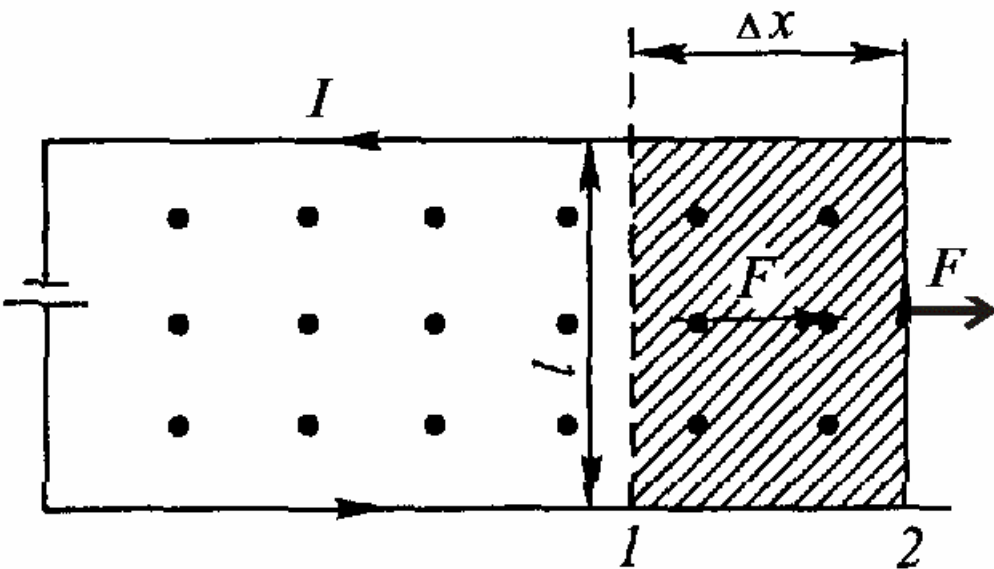
# Поток вектора магнитной индукции (магнитный поток).



$$\Delta\Phi = B\Delta S \cos \alpha = \vec{B}\Delta\vec{S} = \\ = B_n \Delta S;$$

$$\Phi_S = \int_S \vec{B} d\vec{S}.$$

# Работа сил Ампера. Потенциальная функция тока.



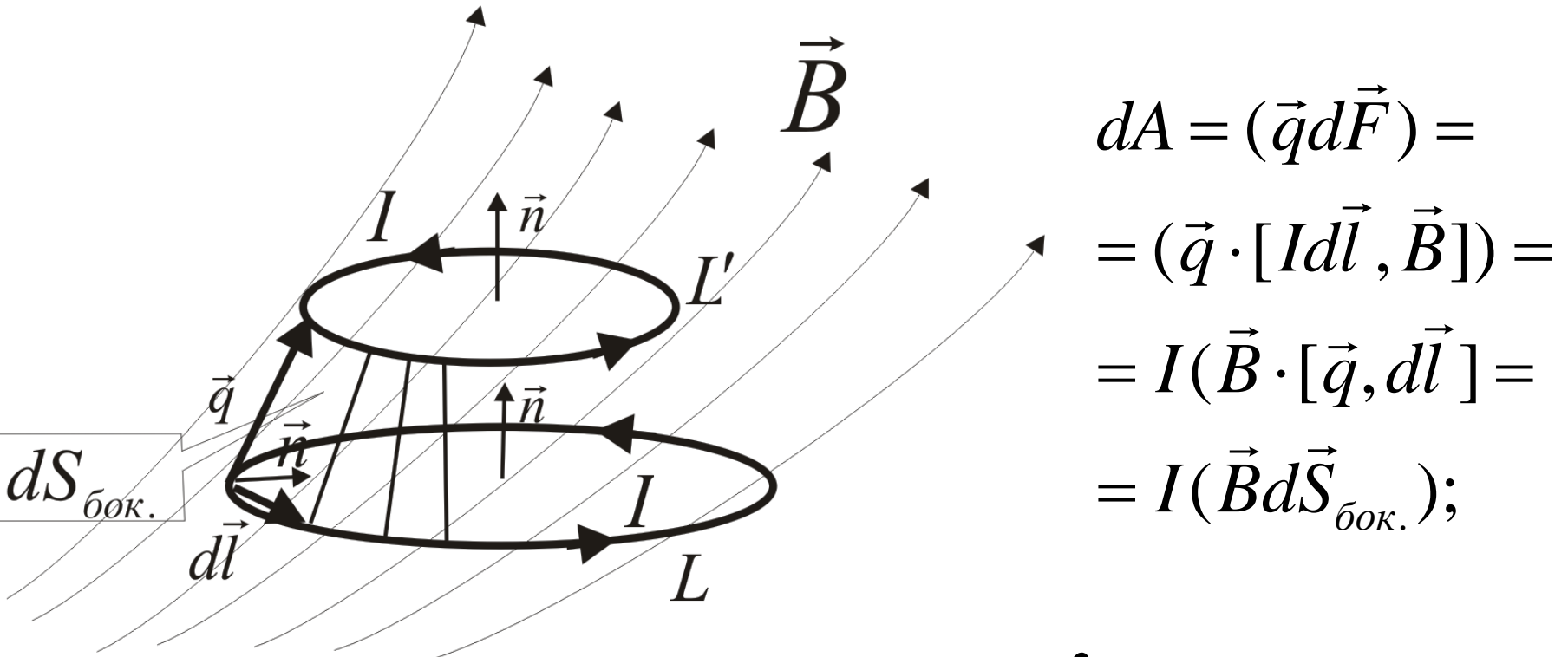
$$\begin{aligned} F &= IlB, \\ \Delta A &= F \Delta x = \\ &= IBl \Delta x = I \underbrace{B \Delta S}_{BS_2 - BS_1} = \\ I(\Phi_2 - \Phi_1) &= I \Delta \Phi. \end{aligned}$$

Определим потенциальную функцию тока

$$U = -I\Phi \quad , \text{ тогда}$$

$\Delta A = F \Delta x = -\Delta U$ , из этого соотношения имеем

$$F = -\frac{\Delta U}{\Delta x} = -\frac{\partial U}{\partial x}.$$



$$\Phi_L = \int_{S_L} \vec{B} d\vec{S}; \quad \Phi_{L'} = \int_{S_{L'}} \vec{B} d\vec{S},$$

$$\Phi_L + \Delta\Phi_{\text{бок}} = \Phi_{L'}; \Rightarrow \Phi_{L'} - \Phi_L = \Delta\Phi_L = \Delta\Phi_{\text{бок}}.$$

Имеем  $dA = Id\Phi_L = -dU_{I=const}$ , где  $U = -I\Phi_L$

$$\Delta A = I \oint_{S_{\text{бок}}} (\vec{B} d\vec{S}) = I \Delta\Phi_{\text{бок}}$$

$$\begin{aligned} dA &= (\vec{q} d\vec{F}) = \\ &= (\vec{q} \cdot [Id\vec{l}, \vec{B}]) = \\ &= I(\vec{B} \cdot [\vec{q}, d\vec{l}]) = \\ &= I(\vec{B} d\vec{S}_{\text{бок.}}); \end{aligned}$$

Используя потенциальную или силовую функцию, можно рассчитать обобщенные силы, действующие на контур с током.

$$dA = \sum_{i=1}^N F_i d\xi_i = -dU(\xi_1, \xi_2, \dots, \xi_N) = -\sum_{i=1}^N \left. \frac{\partial U}{\partial \xi_i} \right|_{I=const} d\xi_i;$$

$$F_i = -\left. \frac{\partial U}{\partial \xi_i} \right|_{I=const} .$$

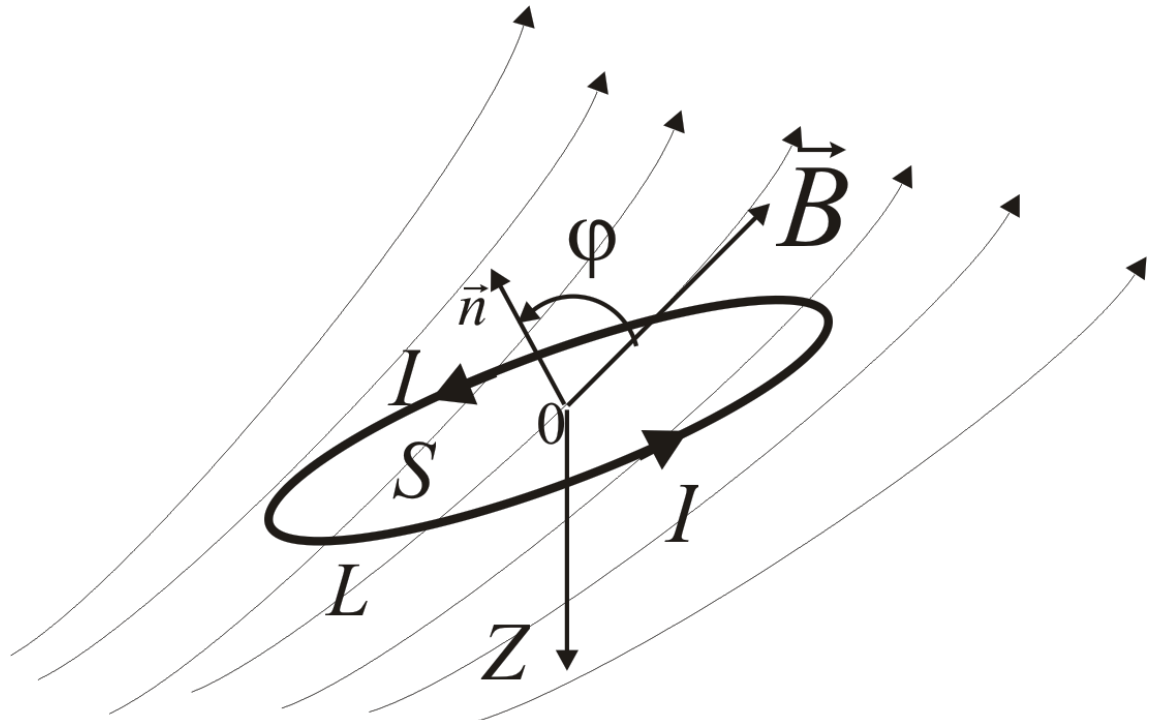
Пример

$$dA = M_z d\varphi =$$

$$= -\frac{\partial U}{\partial \varphi} d\varphi;$$

$$U = -I\Phi =$$

$$= -IBS \cos \varphi;$$

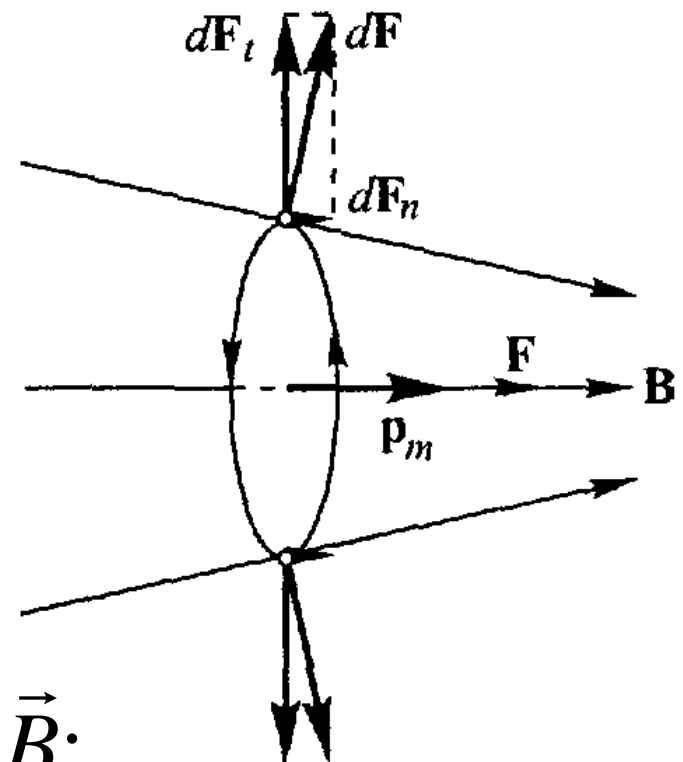
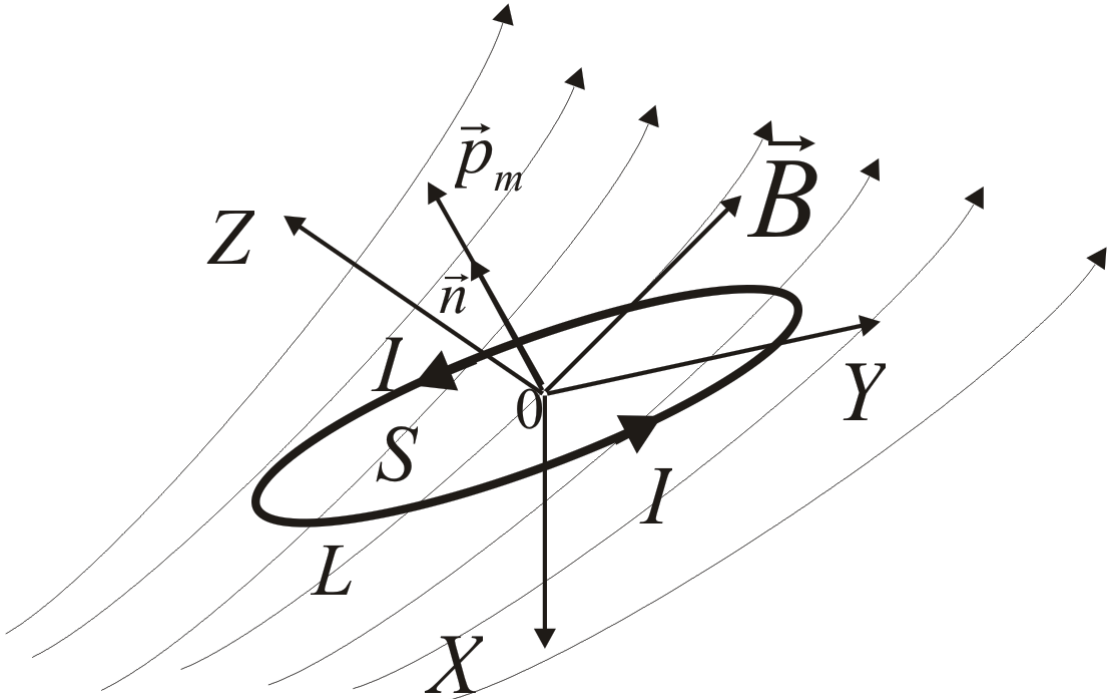


$$M_z = -\frac{\partial U}{\partial \varphi} = -\underbrace{IS}_{p_m} B \sin \varphi; \Rightarrow \vec{M} = [\vec{p}_m, \vec{B}];$$

# Сила, действующая на контур с током в неоднородном магнитном поле.

Для элементарного тока, когда  $I = \text{const}$  и  $S = \text{const}$ , потенциальная функция будет равна энергии взаимодействия элементарного тока или магнитного момента с внешним полем

$$U = W = -(\vec{p}_m \vec{B}); \Rightarrow \left. \begin{array}{l} F_x = -\frac{\partial U}{\partial x}; \\ F_y = -\frac{\partial U}{\partial y}; \\ F_z = -\frac{\partial U}{\partial z}; \end{array} \right\} \vec{F} = -\nabla U = \nabla(\vec{p}_m \vec{B});$$



$$[\underbrace{\vec{p}_m}_a, [\underbrace{\nabla}_b, \underbrace{\vec{B}}_c]] = \nabla(\vec{p}_m \vec{B}) - (\vec{p}_m \nabla) \vec{B};$$

$$\vec{F} = \nabla(\vec{p}_m \vec{B}) = (\vec{p}_m \nabla) \vec{B} + [\vec{p}_m, [\nabla, \vec{B}]]; \\ \text{rot } \vec{B}$$

Если  $\text{rot } \vec{B} = 0$ , то  $\vec{F} = (\vec{p}_m \nabla) \vec{B}$ .

# Коэффициент взаимной индукции двух контуров.

Diagram illustrating the mutual inductance between two loops  $l_1$  and  $l_2$ . Loop  $l_1$  has current  $I_1$  and magnetic field  $\vec{B}_2$  at distance  $R_{21}$  from loop  $l_2$ . Loop  $l_2$  has current  $I_2$  and magnetic field  $\vec{B}_1$  at distance  $R_{12}$  from loop  $l_1$ .

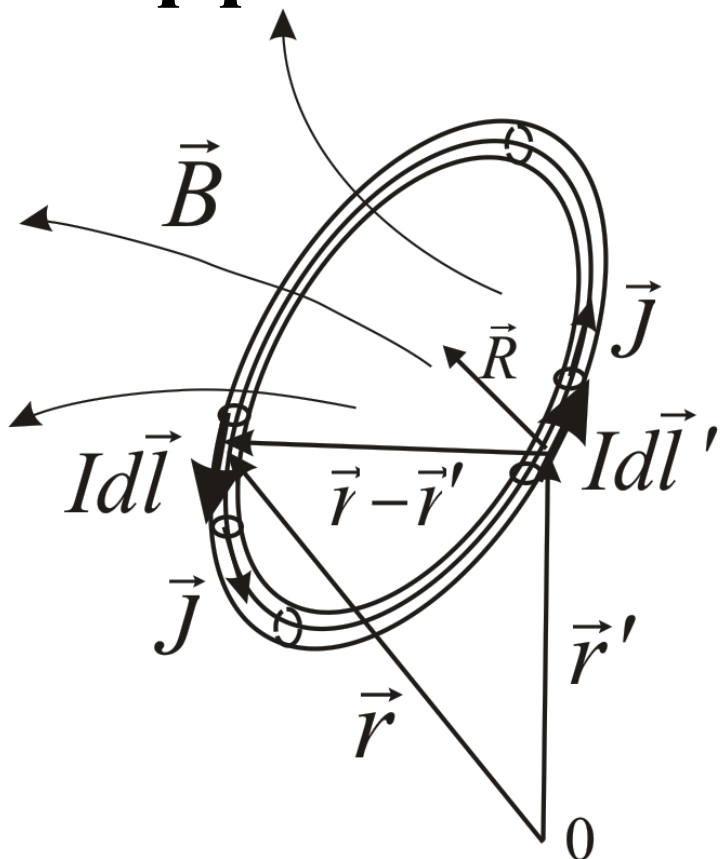
$$\Phi_{12} = \int \underbrace{\vec{B}_2}_{S_{l_1} \text{ rot } \vec{A}_2} d\vec{S}_1 = \oint_{l_1} \vec{A}_2 d\vec{l} =$$

$$= \oint_{l_1} \left( \frac{\mu_0}{4\pi} \oint_{l_2} \frac{I_2 d\vec{l}_2}{R_{21}} \right) d\vec{l}_1 = \underbrace{\left( \frac{\mu_0}{4\pi} \oint_{l_1} \oint_{l_2} \frac{d\vec{l}_2 d\vec{l}_1}{R_{21}} \right)}_{L_{12}} I_2 = L_{12} I_2;$$

Аналогично получим

$$\Phi_{21} = L_{21} I_1, \text{ где } L_{21} = L_{12}.$$

**Коэффициент самоиндукции (индуктивность).**



$$\Phi = \int_{S_l} \vec{B} d\vec{S} = L \cdot I; \quad \vec{B} = \frac{\mu_0}{4\pi} \oint_l \frac{I[d\vec{l}', \vec{R}]}{R^3};$$

$$\vec{B} = \frac{\mu_0}{4\pi} \oint_l \frac{I[d\vec{l}', (\vec{r} - \vec{r}')]}{|\vec{r} - \vec{r}'|^3};$$

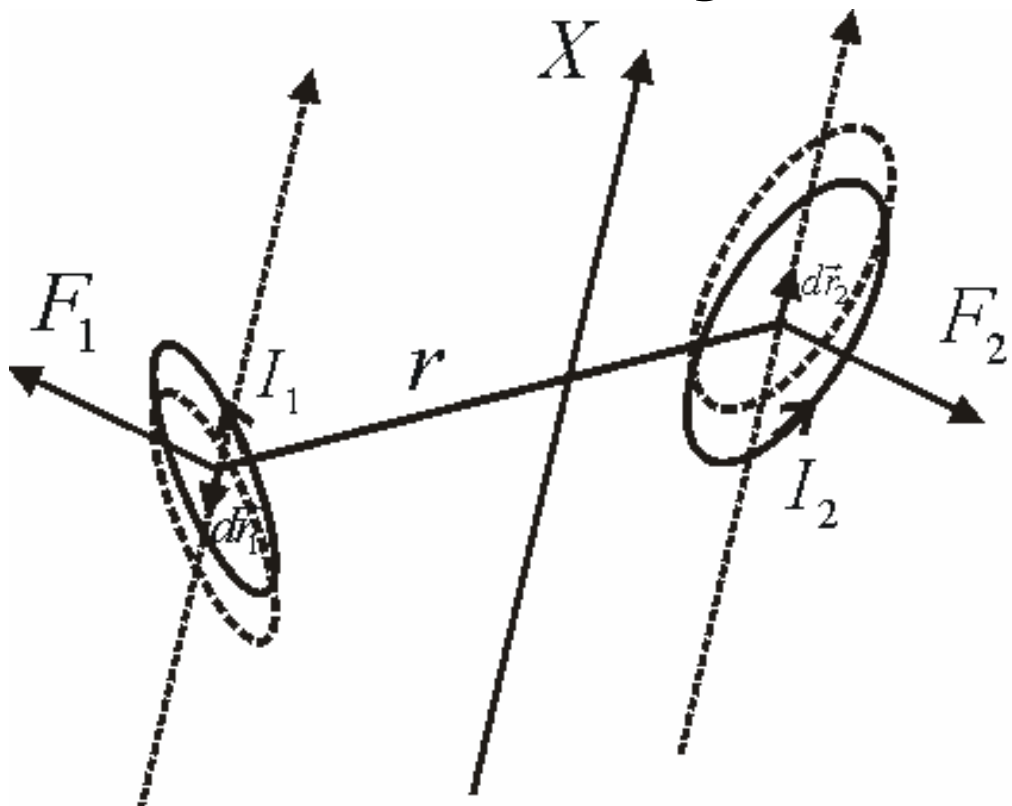
$$\vec{B} = \frac{\mu_0}{4\pi} \oint_V \frac{dV'[\vec{J}(\vec{r}'), (\vec{r} - \vec{r}')]}}{|\vec{r} - \vec{r}'|^3};$$

# Коэффициенты индуктивности контуров с токами.

$$\Phi_1 = L_{11}I_1 + L_{12}I_2; \quad \Phi_2 = L_{22}I_2 + L_{21}I_1;$$

$$\Phi_i = \sum_j L_{ij} I_j; \quad L_{ij} = L_{ji};$$

# Взаимодействие двух контуров с током.

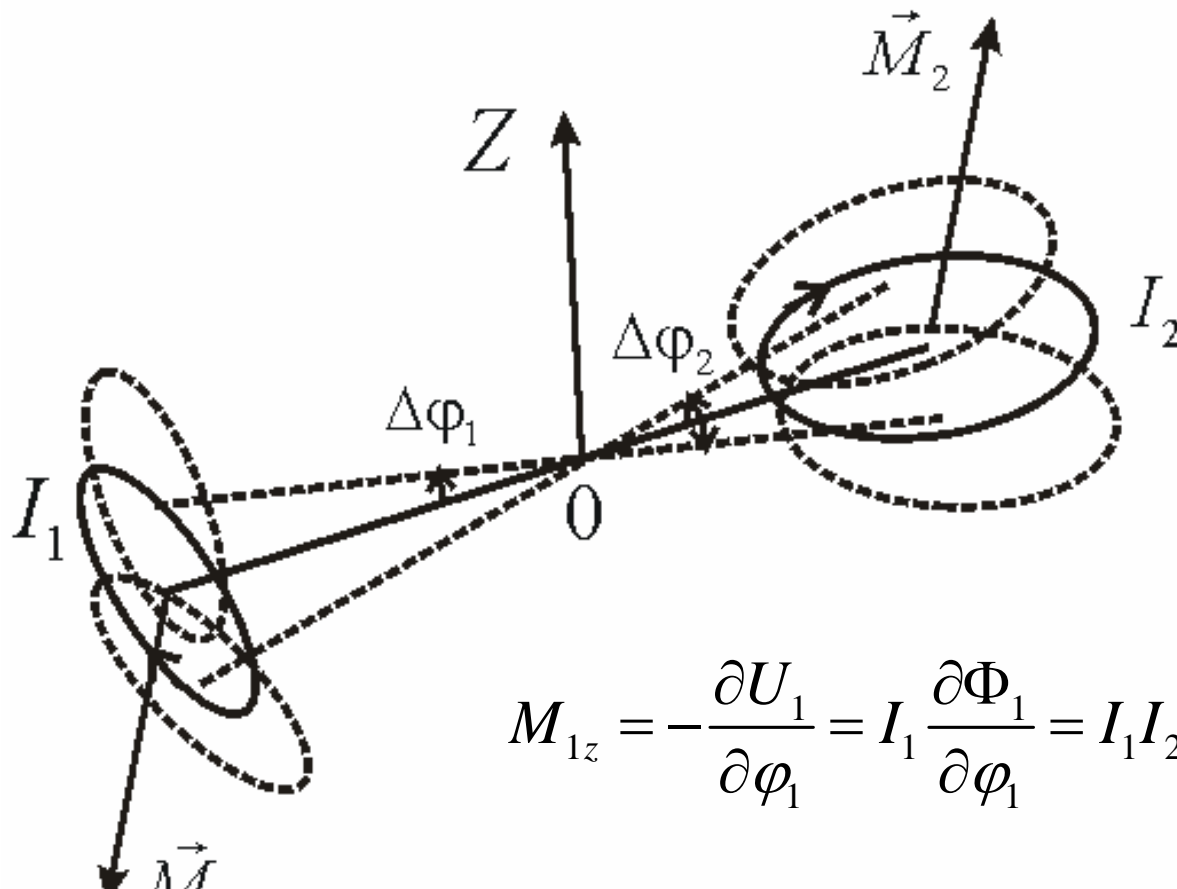


$$F_{2x} = -\frac{\partial U_2}{\partial x_2} = I_2 \frac{\partial \Phi_2}{\partial x_2} = I_2 I_1 \frac{\partial L_{21}}{\partial x_2};$$

$$F_{1x} = -\frac{\partial U_1}{\partial x_1} = I_1 \frac{\partial \Phi_1}{\partial x_1} = I_1 I_2 \frac{\partial L_{12}}{\partial x_1}.$$

$$d\vec{r}_1 = -d\vec{r}_2, \quad \frac{\partial L_{12}}{\partial x_1} = -\frac{\partial L_{21}}{\partial x_2}.$$

$$F_{1x} = -F_{2x}. \quad \vec{F}_1 = -\vec{F}_2$$



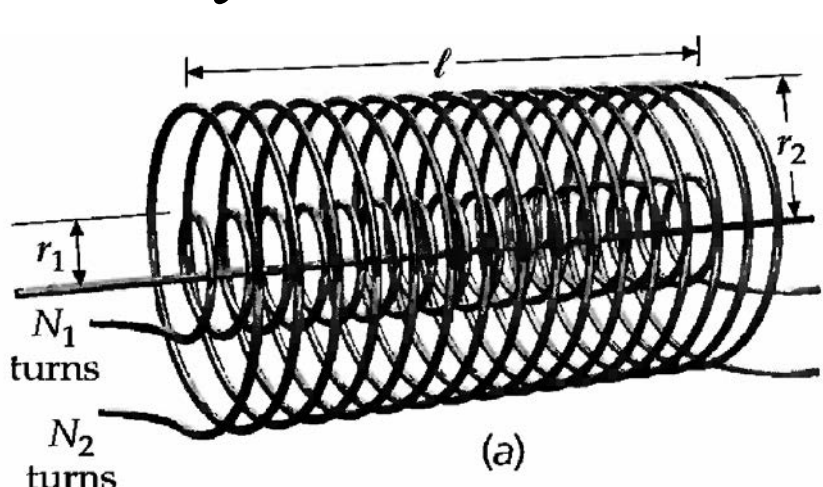
$$M_{1z} = -\frac{\partial U_1}{\partial \varphi_1} = I_1 \frac{\partial \Phi_1}{\partial \varphi_1} = I_1 I_2 \frac{\partial L_{12}}{\partial \varphi_1},$$

$$\Delta\varphi_2 = -\Delta\varphi_1.$$

$$M_{2z} = -\frac{\partial U_2}{\partial \varphi_2} = I_2 \frac{\partial \Phi_2}{\partial \varphi_2} = I_2 I_1 \frac{\partial L_{21}}{\partial \varphi_2},$$

$$M_{1z} = -M_{2z}. \quad \vec{M}_1 = -\vec{M}_2$$

# Пример задачи на вычисление коэффициентов индуктивности.

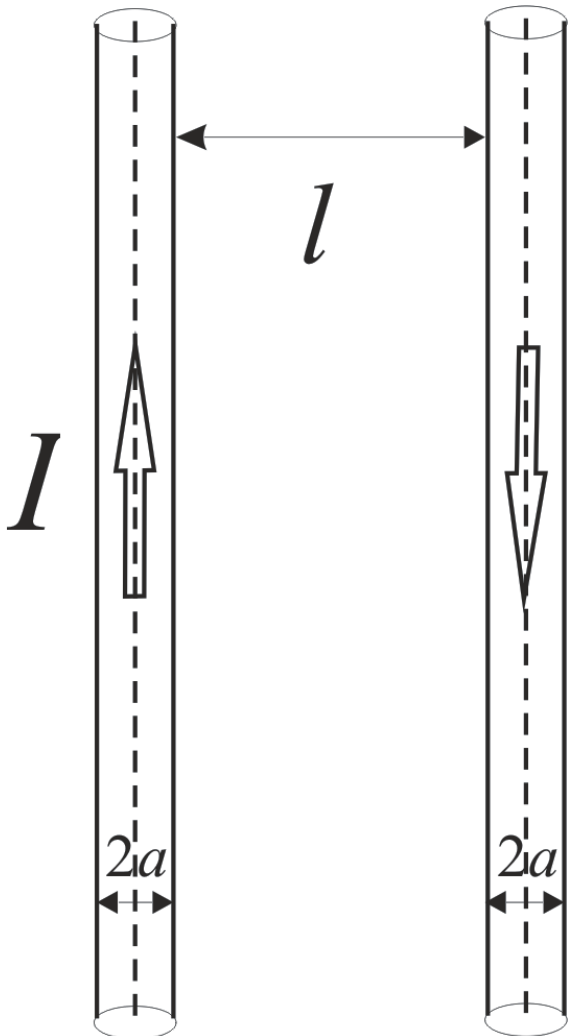


(a)

$$\begin{aligned}\Phi_2 &= B_2 N_2 \pi r_2^2 + B_1 N_2 \pi r_1^2 = \\ &= \frac{\mu_0 N_2}{l} I_2 N_2 \pi r_2^2 + \frac{\mu_0 N_1}{l} I_1 N_2 \pi r_1^2 : \\ &= \underbrace{\frac{\mu_0 N_2 N_2 \pi r_2^2}{l} I_2}_{L_{22}} + \underbrace{\frac{\mu_0 N_1 N_2 \pi r_1^2}{l} I_1}_{L_{21}};\end{aligned}$$

$$\begin{aligned}\Phi_1 &= B_1 N_1 \pi r_1^2 + B_2 N_1 \pi r_1^2 = \frac{\mu_0 N_1}{l} I_1 N_1 \pi r_1^2 + \frac{\mu_0 N_2}{l} I_2 N_2 \pi r_1^2 = \\ &= \underbrace{\frac{\mu_0 N_1 N_1 \pi r_1^2}{l} I_1}_{L_{11}} + \underbrace{\frac{\mu_0 N_2 N_1 \pi r_1^2}{l} I_2}_{L_{12}}; \quad L_{12} = L_{21};\end{aligned}$$

# Индуктивность двухпроводной линии из пустотельных проводников.



$$B = \frac{\mu_0}{2\pi r} I; \quad \Phi_1 = \Phi_2 = \int_a^{l+a} B dr =$$
$$I = \frac{\mu_0}{2\pi} I \int_a^{l+a} \frac{1}{r} dr = I \frac{\mu_0}{2\pi} \ln\left(\frac{l+a}{a}\right);$$
$$\Phi = 2\Phi_1 = \underbrace{\frac{\mu_0}{\pi} \ln\left(\frac{l+a}{a}\right)}_L I$$

# Лекция 13.

- Электромагнитная индукция. Закон электромагнитной индукции Фарадея и его формулировка в дифференциальной форме. Правило Ленца. Индукционные методы измерения магнитных полей. Токи Фуко.
- Явление самоиндукции. Экстратоки замыкания и размыкания.
- Магнитная энергия тока. Магнитная энергия системы контуров с током. Энергия магнитного поля. Её объемная плотность.

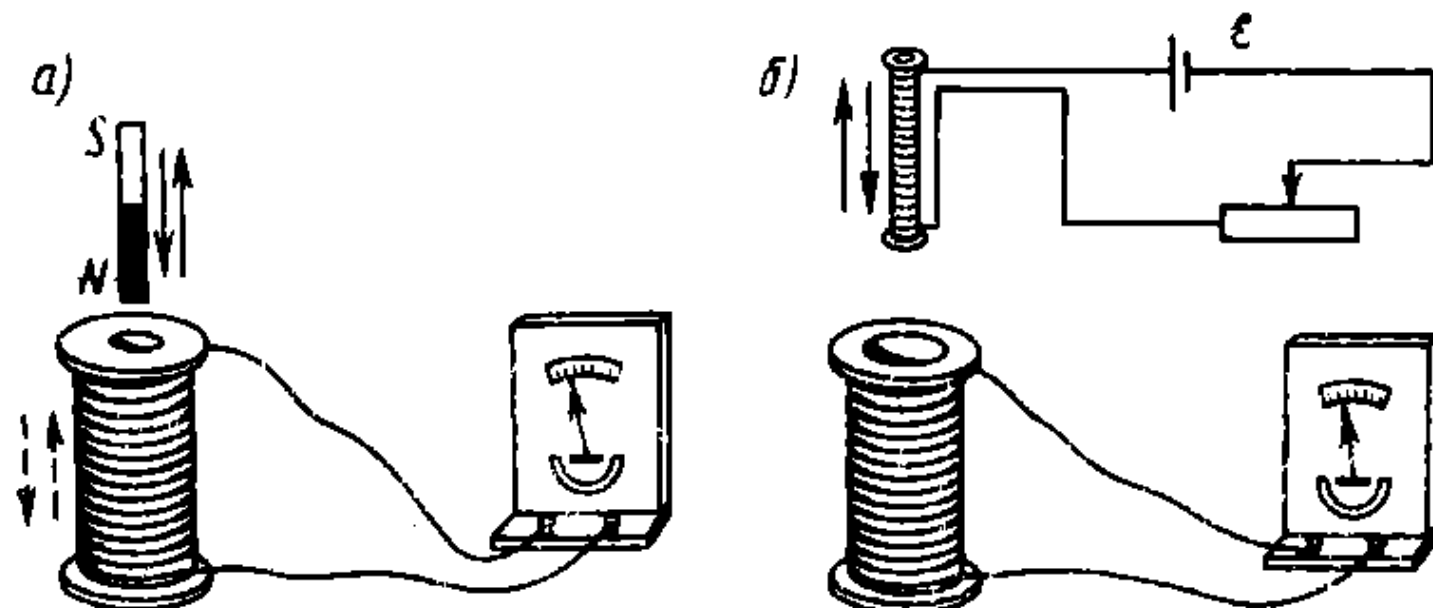
# Электромагнитная индукция.

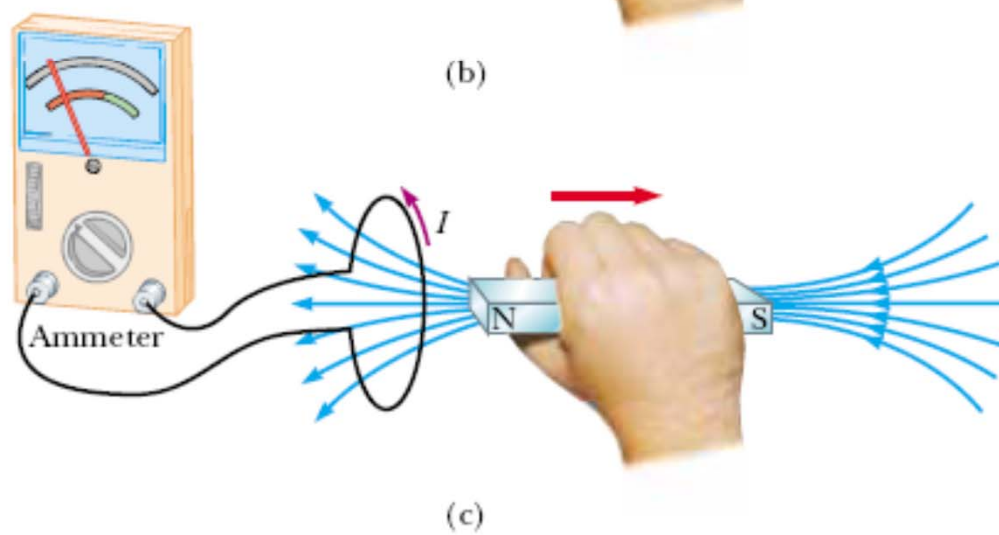
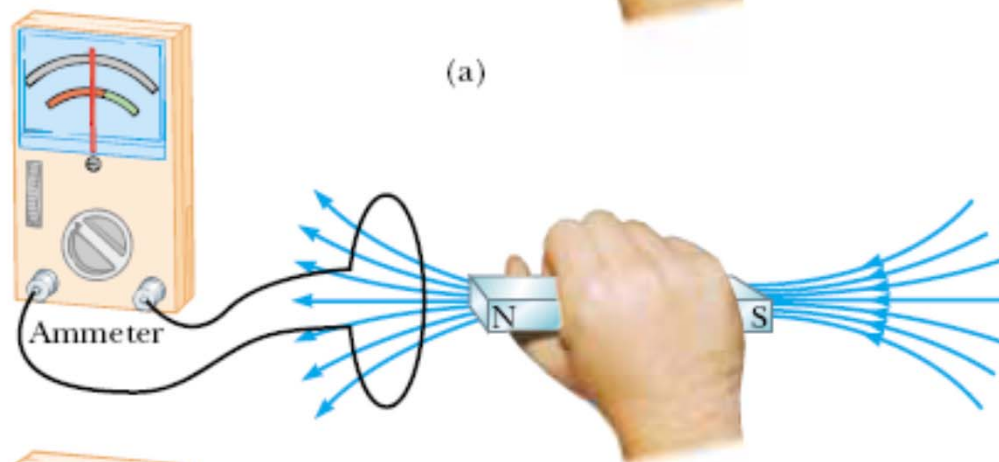
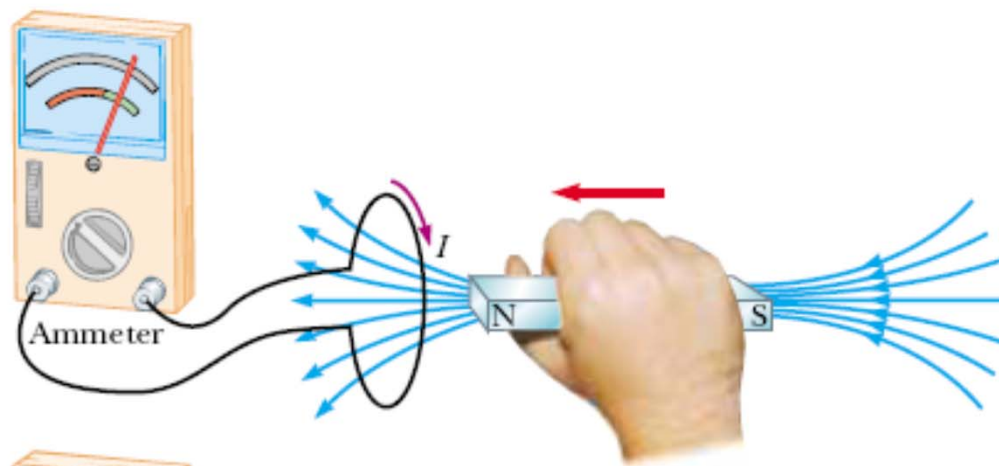


**Michael Faraday**

British Physicist and Chemist  
(1791-1867)

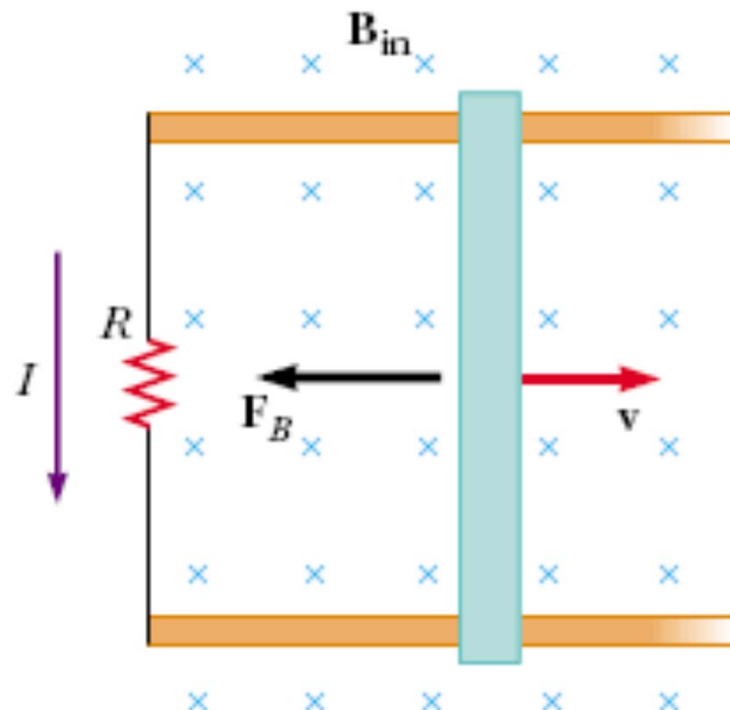
М. Фарадей в 1831 году экспериментально открыл явление электромагнитной индукции, состоящее в возникновении электрического тока в замкнутом проводнике при изменении потока магнитной индукции, охватываемого контуром.



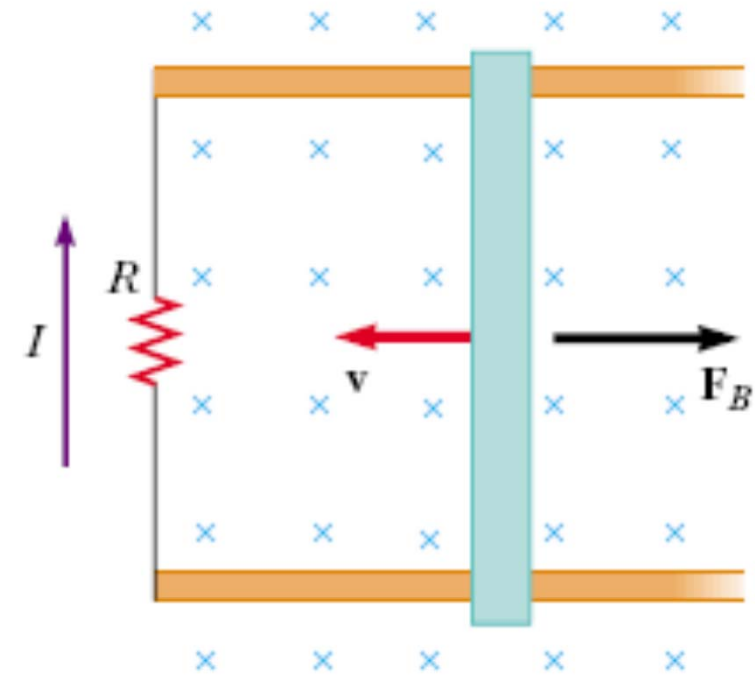


# Правило Ленца.

Индукционный ток всегда имеет такое направление, что он ослабляет действие причины, возбуждающей этот ток.  
(Э.Х.Ленц (1804-1865) в 1833 году)

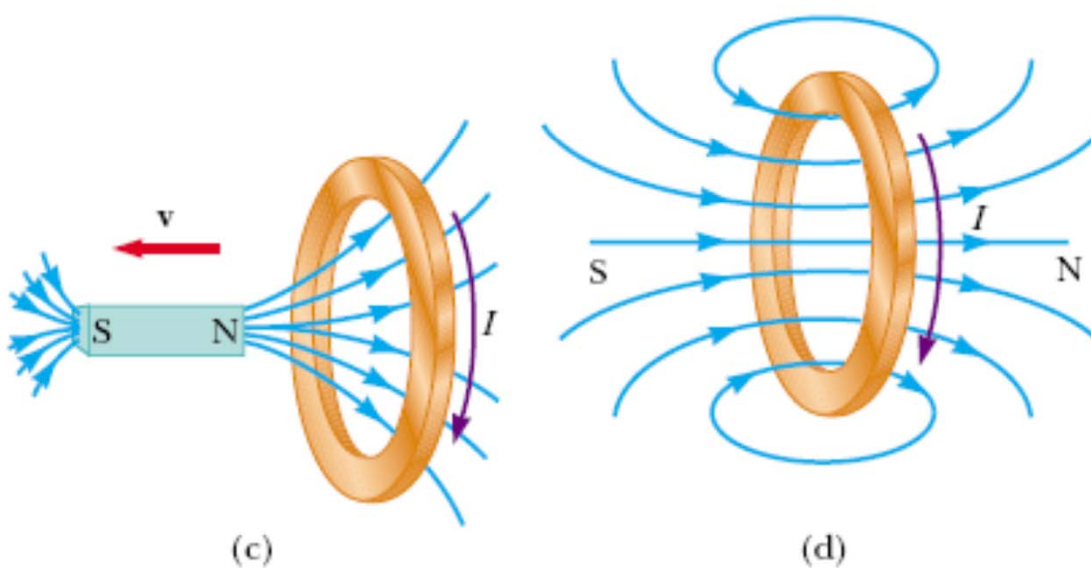
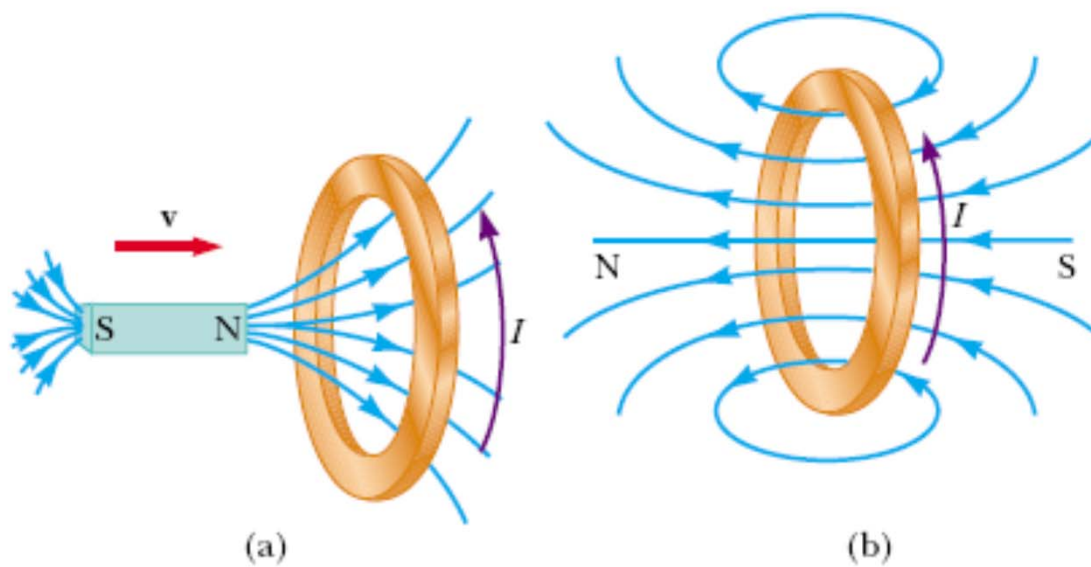


(a)



(b)

Индукционный ток направлен так, что создаваемое им поле препятствует изменению магнитного потока.



# **Закон электромагнитной индукции Фарадея и его формулировка в интегральной форме.**

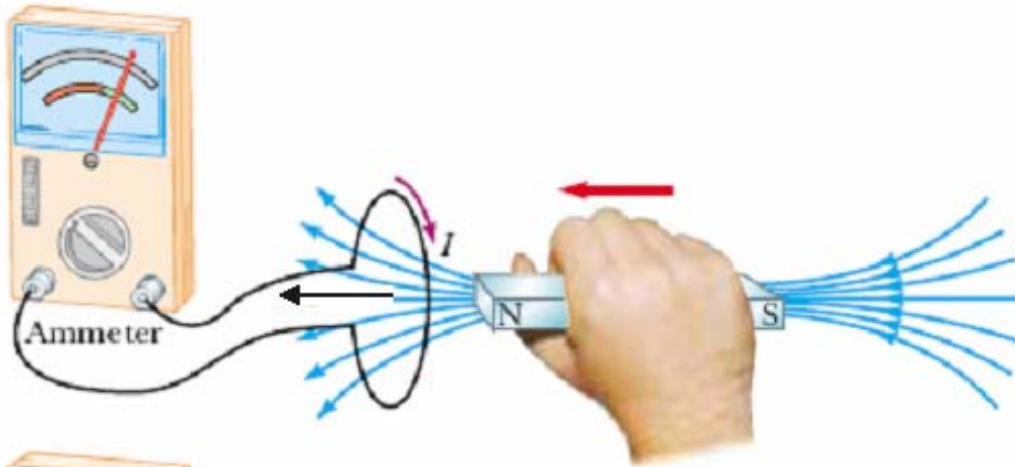
Современную математическую форму закона электромагнитной индукции Фарадея предложил в 1845 году Ф.Э.Нейман (1798-1895).

$$\mathcal{E} = f \frac{d\Phi}{dt},$$

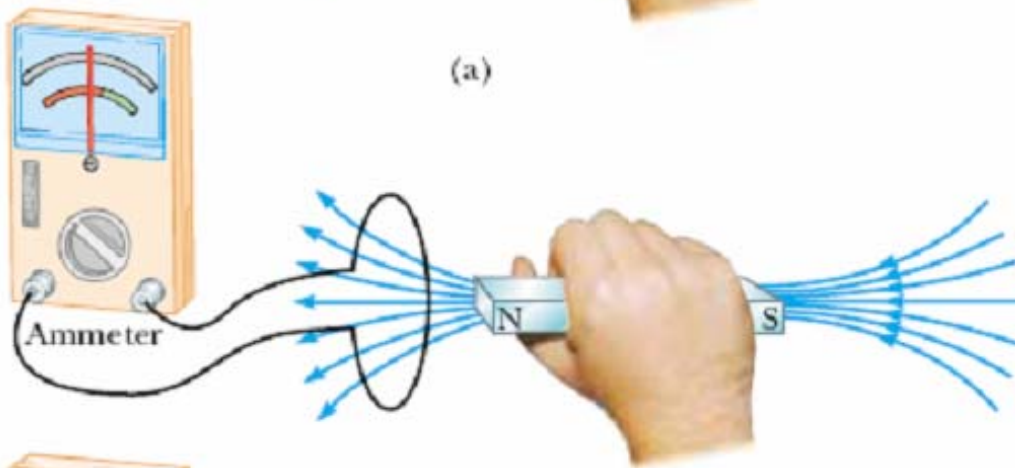
где  $f$  - множитель пропорциональности, зависящий от выбора единиц. В системе единиц СИ  $f = 1$ .

$$\mathcal{E} = -\frac{d\Phi}{dt},$$

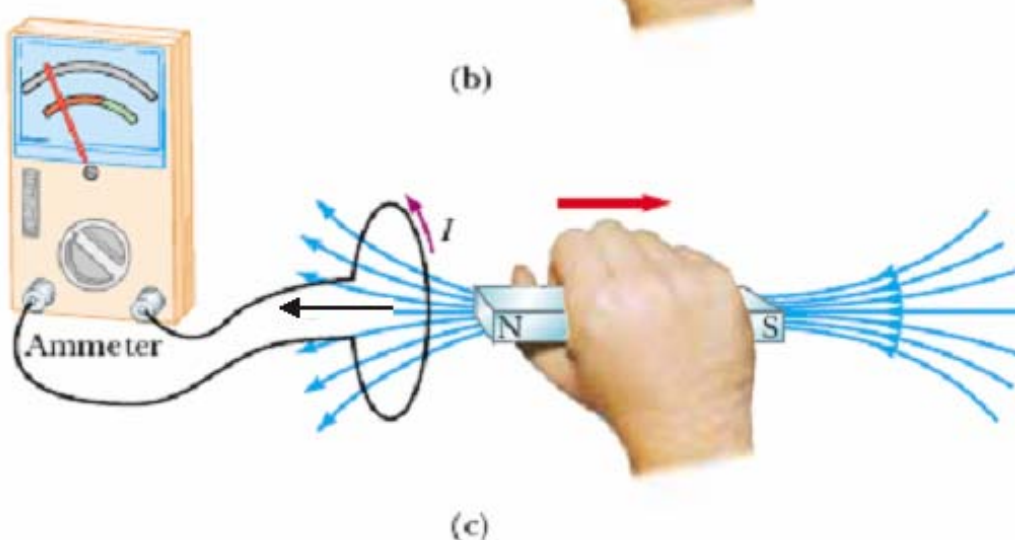
где знак минус согласует знаки ЭДС индукции и изменения потока магнитной индукции.



(a)



(b)

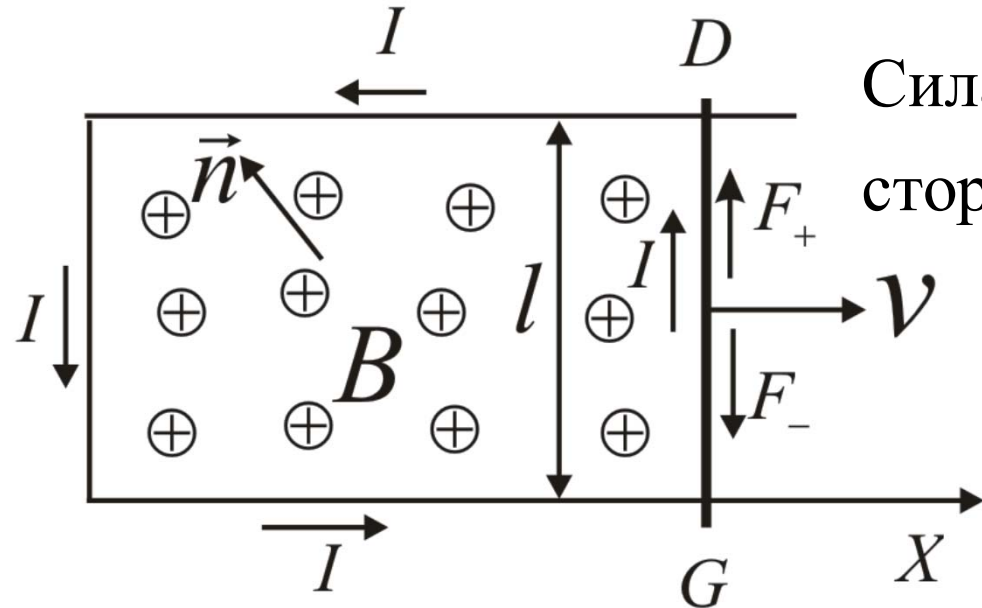


(c)

Выбор положительной нормали к поверхности контура определяет положительное направление проекции вектора индукции магнитного поля (положительное значение потока магнитного поля) и тока (или ЭДС) индукции. В приведенной записи закона электромагнитной индукции соответствует правилу Ленца.

# Вывод формулы для ЭДС индукции:

1) ЭДС индукции в движущихся проводниках.



Сила Лоренца:  $\vec{F} = q[\vec{v}, \vec{B}]$  –  
сторонняя сила, создающая ЭДС.

$$\vec{E}_{cm.} = \frac{\vec{F}}{q} = [\vec{v}, \vec{B}].$$

$$\mathcal{E}^{ind.} = \int_G^D \vec{E}_{cm.} d\vec{l} = \int_G^D ([\vec{v}, \vec{B}] \cdot d\vec{l}) = vBl = \frac{d(xBl)}{dt} = -\frac{d\Phi}{dt};$$

Знак минус означает, что  $\vec{n}$  и  $\vec{B}$  противоположны по направлению,  
то есть  $\Phi = \vec{B} \cdot \vec{S} = BS \cos 180^\circ = -BS$ .

## 2) Вывод формулы для ЭДС индукции из закона сохранения энергии (Метод Гельмгольца).

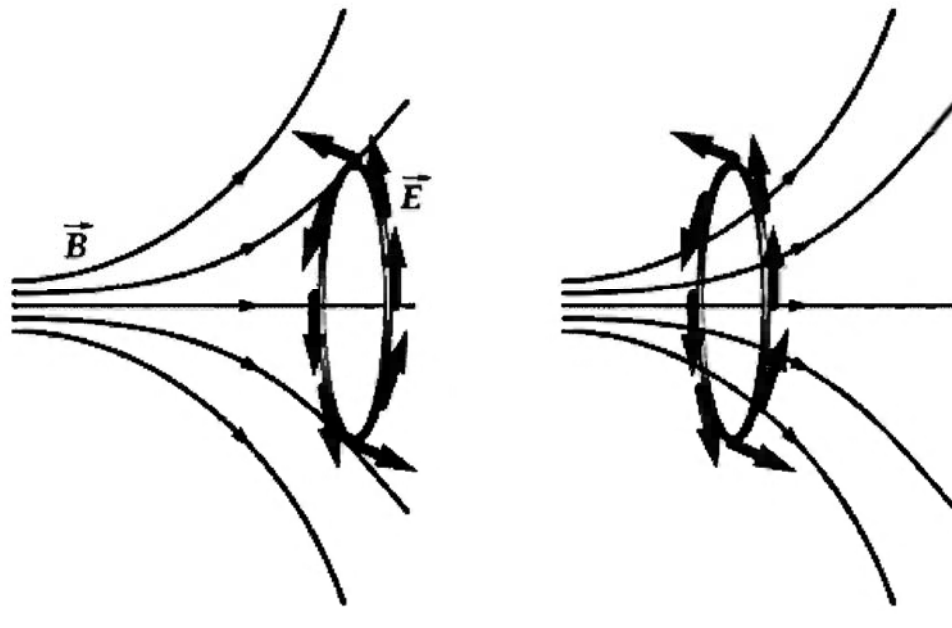
Пусть виток с током движется в стационарном магнитном поле. Тогда амперовы силы совершают работу:  $\Delta A = I\Delta\Phi$ , и в контуре выделится джоулево тепло:  $\Delta Q = I^2 R \Delta t$ . Источником этой работы и тепловой энергии является ЭДС стронных сил в контуре

$$\mathcal{E} \cdot I \Delta t = \Delta Q + \Delta A = I^2 R \Delta t + I \Delta \Phi; \Rightarrow I = \frac{1}{R} \left( \mathcal{E} - \frac{\Delta \Phi}{\Delta t} \right);$$

Следовательно, в контуре возникает ЭДС индукции

$$\mathcal{E}_{\text{инд.}} = -\frac{\Delta \Phi}{\Delta t}.$$

# Закон электромагнитной индукции Фарадея и его формулировка в дифференциальной форме.



Максвелловская трактовка  
электромагнитной индукции.

$$\mathcal{E}^{\text{инд.}} = \oint_L \vec{E} d\vec{l}; \quad \Phi = \int_S \vec{B} d\vec{S},$$

$$\oint_L \vec{E} d\vec{l} = -\frac{d}{dt} \int_S \vec{B} d\vec{S}.$$

По формуле Стокса  $\oint_L \vec{E} d\vec{l} = \int_S \text{rot} \vec{E} \cdot d\vec{S} \Rightarrow$

$$\int_S \text{rot} \vec{E} \cdot d\vec{S} = -\frac{d}{dt} \int_S \vec{B} d\vec{S} = -\int_S \frac{\partial \vec{B}}{\partial t} d\vec{S}; \Rightarrow \text{rot} \vec{E} = -\frac{\partial \vec{B}}{\partial t}$$

# **Непотенциальность индукционного электрического поля.**

Так как  $\frac{\partial \vec{B}}{\partial t} \neq 0$ , то  $\text{rot} \vec{E} \neq 0$ .

Следовательно,  $\vec{E} \neq -\text{grad} \varphi$  и  $\oint_L \vec{E} d\vec{l} \neq 0$ .

## Векторный и скалярный потенциал нестационарного электромагнитного поля.

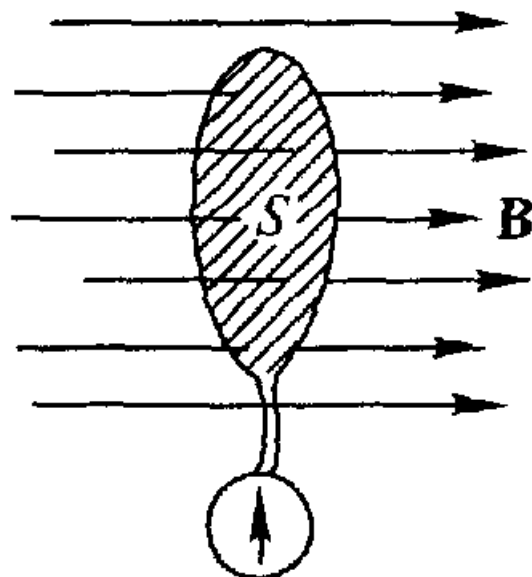
В нестационарном случае магнитное поле остается вихревым, то есть  $\operatorname{div} \vec{B} = 0$ . Следовательно,  $\vec{B} = \operatorname{rot} \vec{A}$ . Тогда, по закону электромагнитной индукции,

$$\begin{aligned} \operatorname{rot} \vec{E} &= -\frac{\partial}{\partial t} \vec{B} = -\frac{\partial}{\partial t} \operatorname{rot} \vec{A} = -\operatorname{rot} \frac{\partial}{\partial t} \vec{A}; \Rightarrow \\ \operatorname{rot} \left( \vec{E} + \frac{\partial \vec{A}}{\partial t} \right) &= 0; \Rightarrow \vec{E} + \frac{\partial \vec{A}}{\partial t} = -\nabla \varphi, \text{ то есть } \vec{E} = -\nabla \varphi - \frac{\partial \vec{A}}{\partial t}. \end{aligned}$$

Выбор потенциалов  $\varphi$  и  $\vec{A}$  неоднозначен (каибровочные преобразования)

$$\begin{aligned} \vec{A}' &= \vec{A} + \nabla \chi, \quad \varphi' = \varphi - \frac{\partial \chi}{\partial t}; \quad \vec{E} = -\nabla \varphi' - \frac{\partial \vec{A}'}{\partial t} = \\ &= -\nabla \varphi + \nabla \frac{\partial \chi}{\partial t} - \frac{\partial \vec{A}}{\partial t} - \frac{\partial}{\partial t} \nabla \chi = -\nabla \varphi - \frac{\partial \vec{A}}{\partial t}. \end{aligned}$$

# Индукционные методы измерения магнитных полей.



Принцип флюксметра

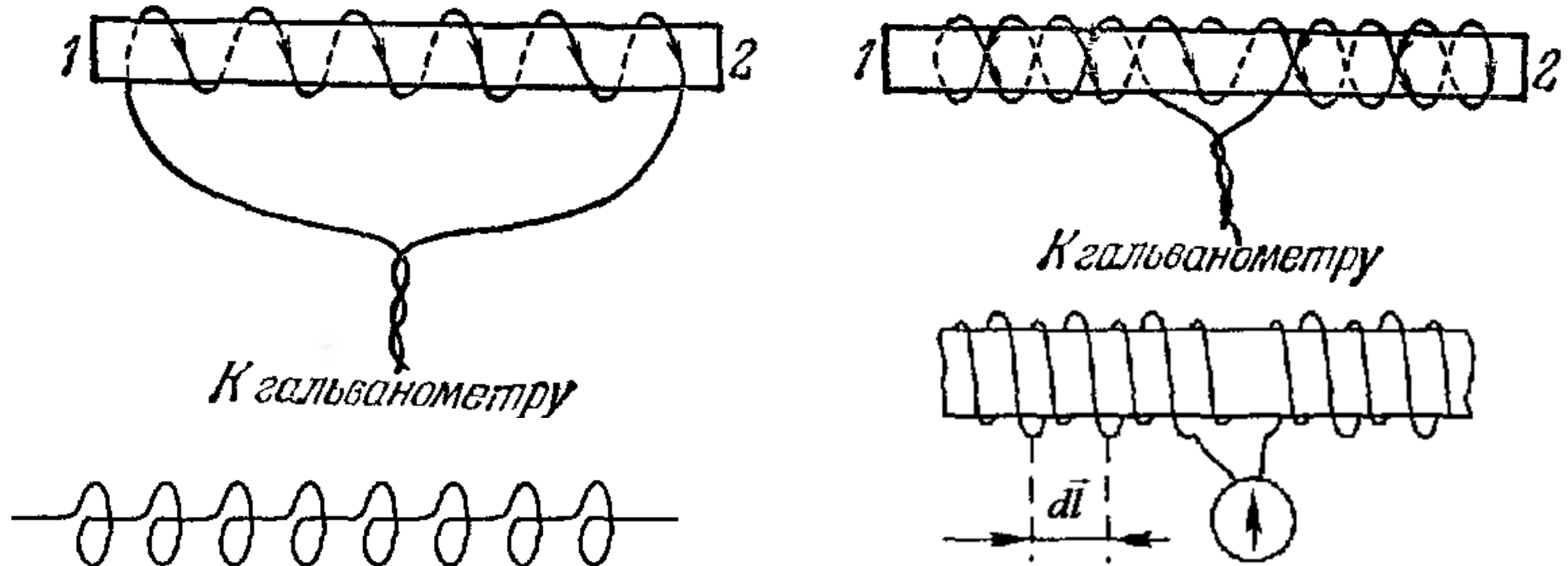
$$I = -\frac{1}{R} \frac{d\Phi}{dt}; q = \int I dt = -\frac{1}{R} \int_{\Phi}^0 d\Phi = \frac{\Phi}{R}.$$

На этом соотношении основано определение единицы магнитного потока в системе СИ:  
Вебер - магнитный поток, при убывании которого до нуля в сцепленном с ним контуре сопротивлением 1 Ом проходит количество электричества 1 Кл.

Отсюда следует определение единицы СИ для магнитной индукции:

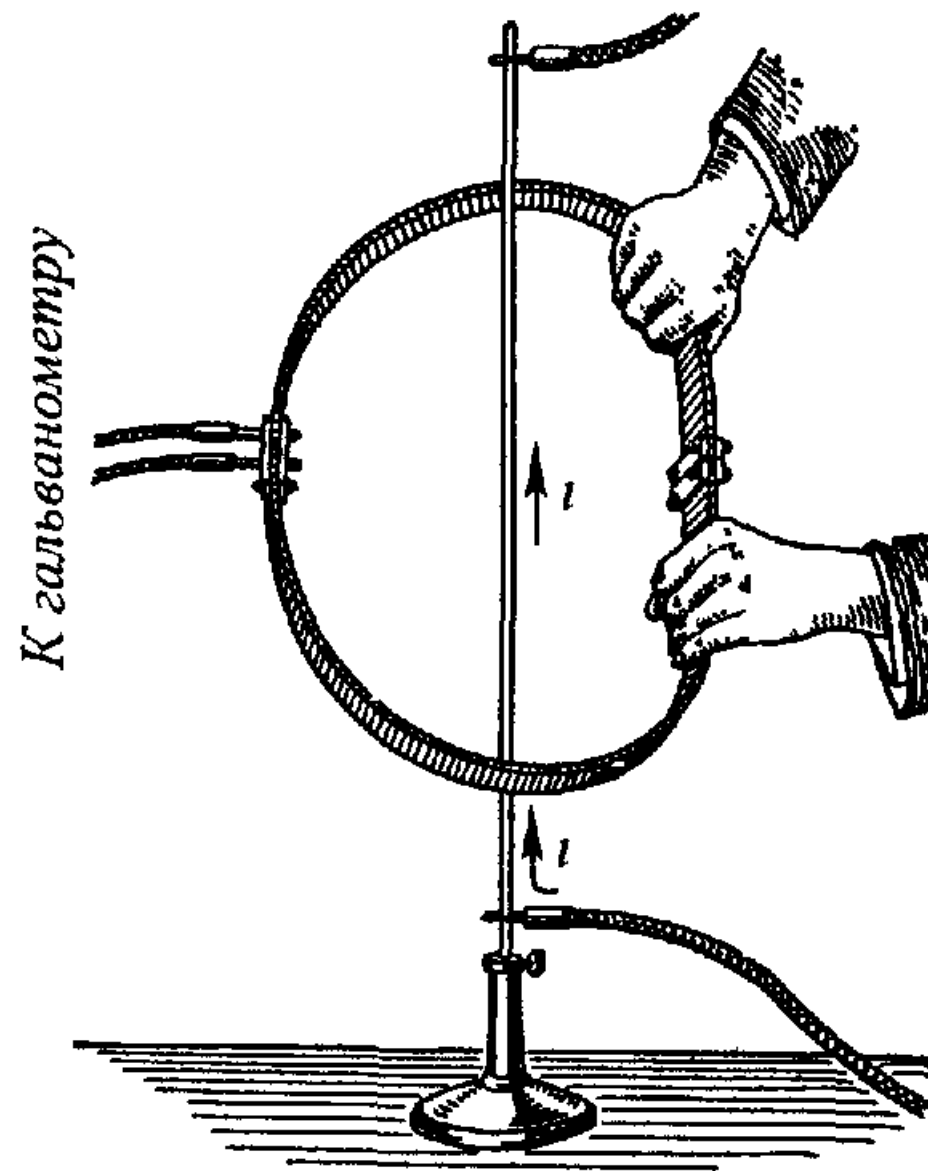
Тесла - магнитная индукция, при которой магнитный поток сквозь поперечное сечение площадью 1 м<sup>2</sup> равен 1 Вб.

# Пояс Роговского



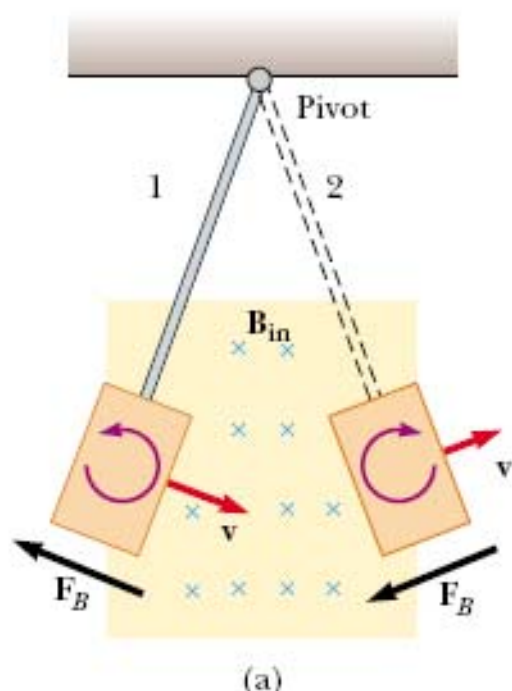
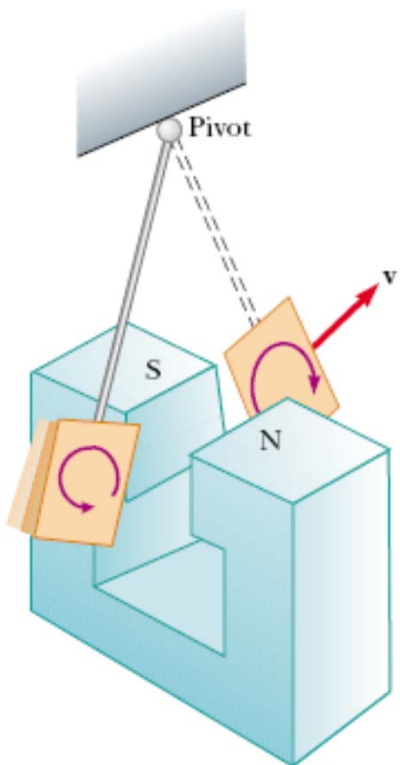
$$\Phi = \int_1^2 S n \vec{B} d\vec{l} = S n \int_1^2 \vec{B} d\vec{l}; \Rightarrow \int_1^2 \vec{B} d\vec{l} = \frac{\Phi}{S n} = \frac{R}{S n} q = a q,$$

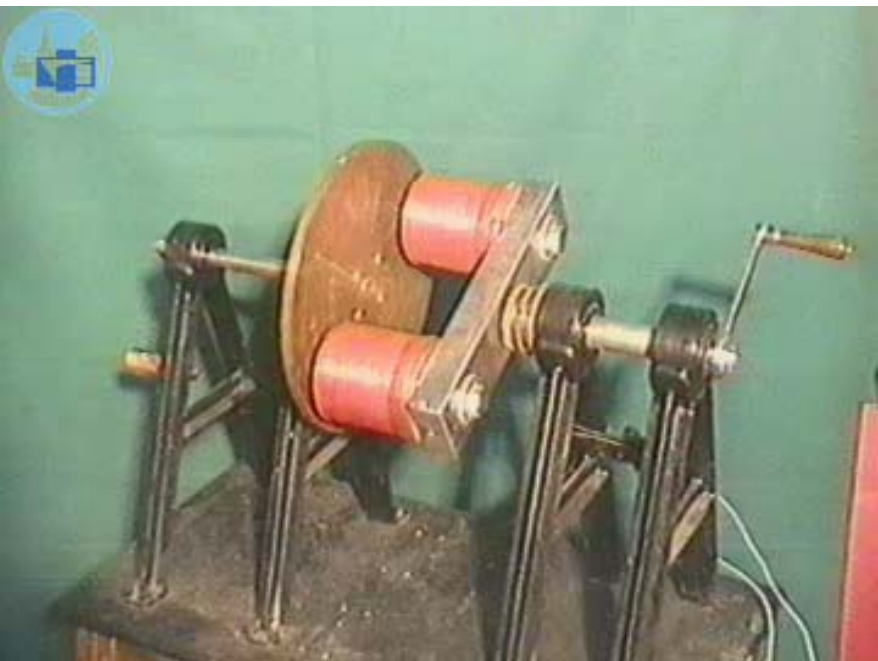
где  $a$  - постоянная баллистического гальванометра.



К гальванометру

# Токи Фуко (вихревые токи).





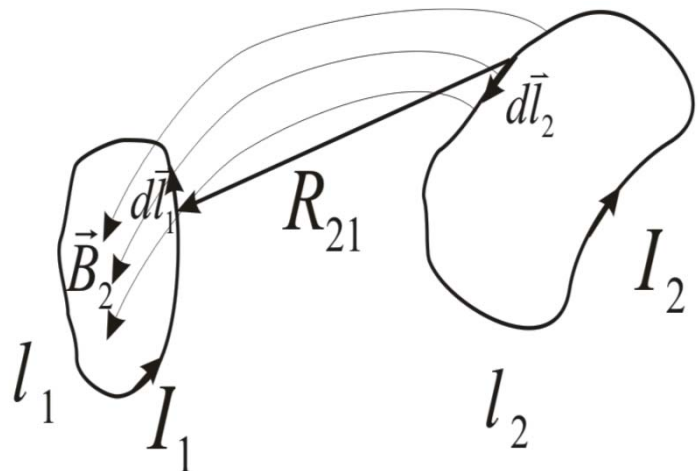
# Магнитная энергия тока.

$$dA = -\mathcal{E}^{ind.} Idt = \frac{d\Phi}{dt} Idt = I d\Phi;$$

$$\Phi = LI; \Rightarrow dA = dW = I \cdot L dI = d \left( \frac{LI^2}{2} \right);$$

$$W = L \int_0^I I dI = \frac{LI^2}{2};$$

## Магнитная энергия системы контуров с током.



$$dW_1 = I_1 d\Phi_1 = I_1 d(L_{11}I_1 + L_{12}I_2);$$

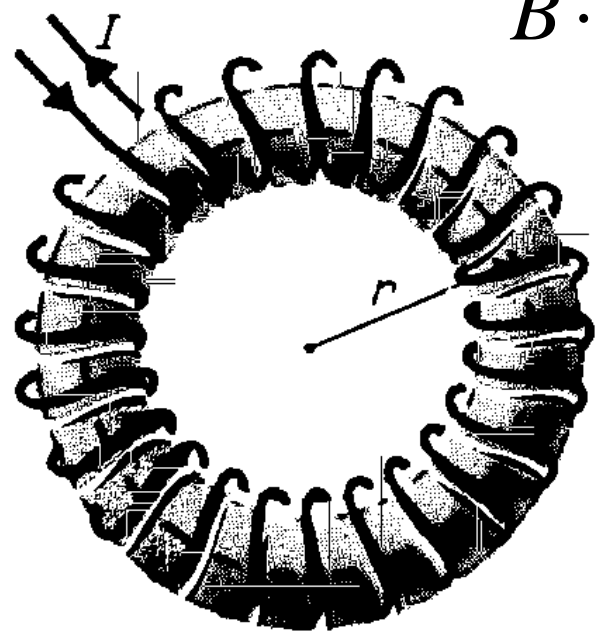
$$dW_2 = I_2 d\Phi_2 = I_2 d(L_{22}I_2 + L_{21}I_1);$$

$$\begin{aligned} dW &= dW_1 + dW_2 = L_{11}d\left(\frac{I_1^2}{2}\right) + \\ &+ L_{12}I_1dI_2 + L_{22}d\left(\frac{I_2^2}{2}\right) + L_{21}I_2dI_1 = d\left(\frac{L_{11}I_1^2}{2}\right) + \\ &+ \frac{d(L_{12}I_1I_2 + L_{21}I_2I_1)}{2} + d\left(\frac{L_{22}I_2^2}{2}\right) = d\left(\frac{1}{2}\sum_{i=1}^2 \sum_{j=1}^2 L_{ij}I_iI_j\right); \end{aligned}$$

$$W = \frac{1}{2} \sum_{i=1}^N \sum_{j=1}^N L_{ij} I_i I_j;$$

13.19

# Энергия магнитного поля. Её объемная плотность.

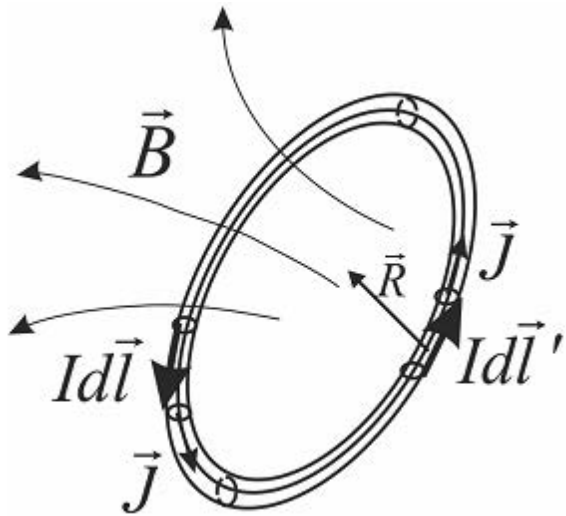


$$B \cdot 2\pi r = \mu_0 N I; \Rightarrow B = \mu_0 \frac{N}{2\pi r} I = \mu_0 n I.$$

$$\Phi = B S N = \mu_0 \frac{N}{2\pi r} S N = L I;$$

$$W = \frac{L I^2}{2} = \frac{1}{2} B S N \cdot I =$$

$$= \frac{1}{2} B S N \cdot \frac{B 2\pi r}{\mu_0 N} = \frac{B^2}{2\mu_0} \underbrace{S 2\pi r}_V; \quad w = \frac{W}{V} = \frac{B^2}{2\mu_0};$$



## Строгий вывод

$$W = \frac{LI^2}{2} = \frac{1}{2} I\Phi = \frac{1}{2} I \int_{S_l} \vec{B} \cdot d\vec{S} =$$

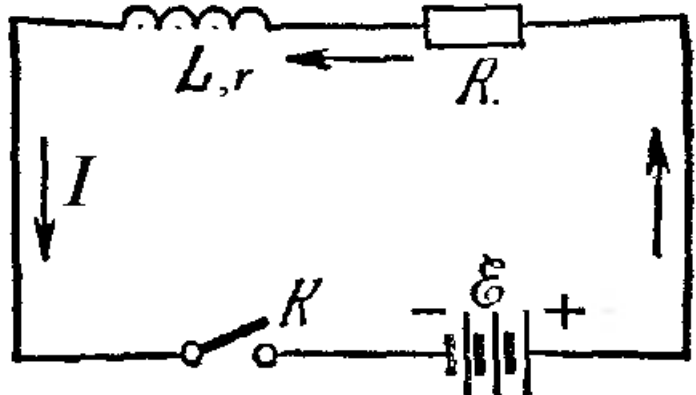
$$= \frac{1}{2} I \oint \vec{A} d\vec{l} = (Id\vec{l} = \vec{J} dV) = \frac{1}{2} \oint_V \vec{A} \vec{J} dV =$$

$$= \frac{1}{2} \oint_{\infty} \vec{A} \vec{J} dV = \frac{1}{2} \oint_{\infty} \vec{A} \frac{\text{rot} \vec{B}}{\mu_0} dV = \frac{1}{2\mu_0} \oint_{\infty} (\vec{B} \cdot \underbrace{\text{rot} \vec{A}}_{\vec{B}} - \underbrace{\text{div}[\vec{A}, \vec{B}]}_{\oint [A, B] d\vec{S} \rightarrow 0}) dV;$$

$$\underbrace{(\nabla \cdot [\vec{A}, \vec{B}])}_{\text{div}[\vec{A}, \vec{B}]} = \underbrace{(\vec{B} \cdot [\nabla, \vec{A}])}_{\vec{B} \cdot \text{rot} \vec{A}} - \underbrace{(\vec{A} \cdot [\nabla, \vec{B}])}_{\vec{A} \cdot \text{rot} \vec{B}};$$

$$W = \frac{1}{2\mu_0} \oint_{\infty} \vec{B} \vec{B} \cdot dV = \oint_{\infty} w dV, \text{ где } w = \frac{\vec{B}^2}{2\mu_0};$$

# Явление самоиндукции. Экстратоки замыкания и размыкания. [3,§68]



$$IR + Ir = \mathcal{E} - L \frac{dI}{dt};$$

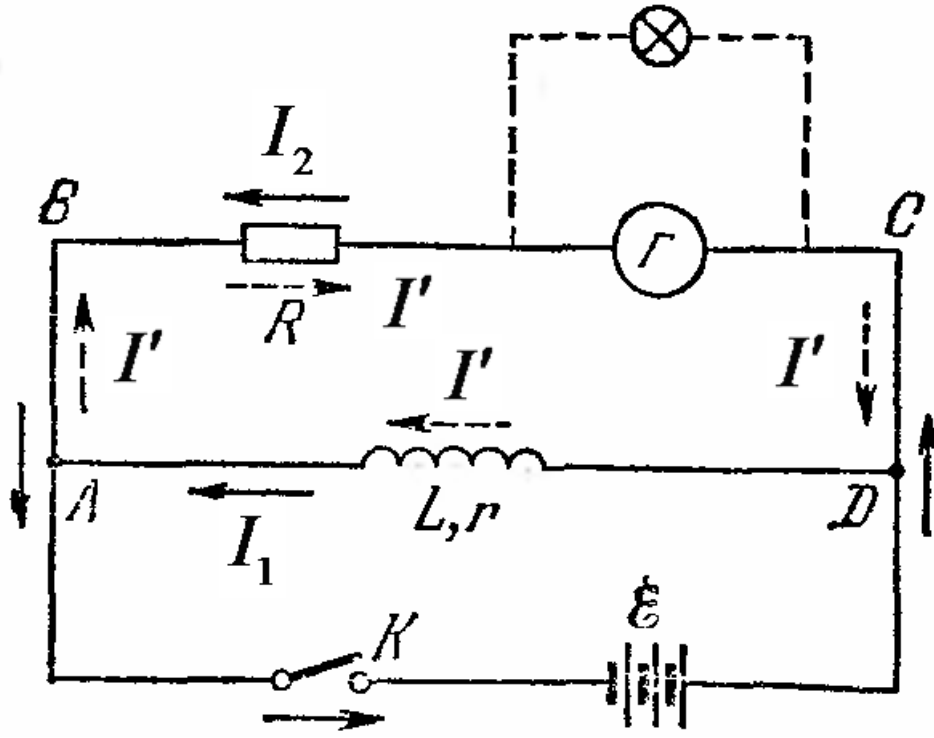
$$L \frac{dI}{dt} = \mathcal{E} - I(R+r); \Rightarrow L \frac{dI}{-\mathcal{E} + I(R+r)} = -dt;$$

$$\frac{(R+r)dI}{-\mathcal{E} + I(R+r)} = -\frac{(R+r)}{L} dt; \Rightarrow \ln(|I(R+r) - \mathcal{E}|) = -\frac{(R+r)}{L} t + C;$$

При  $t = 0, I = 0$ , тогда  $C = \ln \mathcal{E}$ .  $I(R+r) = \mathcal{E}(1 - e^{-\frac{t}{\tau}})$ ,

$$I = \frac{\mathcal{E}}{R+r} - \underbrace{\frac{\mathcal{E} \cdot e^{-\frac{t}{\tau}}}{R+r}}_{\text{экстраток замыкания}}.$$

где  $\tau = \frac{L}{R+r}$  - время установления тока.



После установления тока

$$I_1 = \frac{\mathcal{E}}{r}; \quad I_2 = \frac{\mathcal{E}}{R}.$$

После размыкания ключа

$$I'r + I'R = -L \frac{dI'}{dt};$$

$$\frac{dI'}{I'} = -\frac{r+R}{L} dt;$$

$$\ln I' = -\frac{r+R}{L} t + C. \text{ При } t=0 \quad C = \ln I_0, \text{ где } I_0 = I_1 = \frac{\mathcal{E}}{r}.$$

$$I' = I_0 e^{-\frac{t}{\tau}} = \frac{\mathcal{E}}{r} e^{-\frac{t}{\tau}}; \Rightarrow U = I'R = \frac{R}{r} \mathcal{E} \cdot e^{-\frac{t}{\tau}} - \text{экстраток}$$

размыкания.

# Лекция 14.

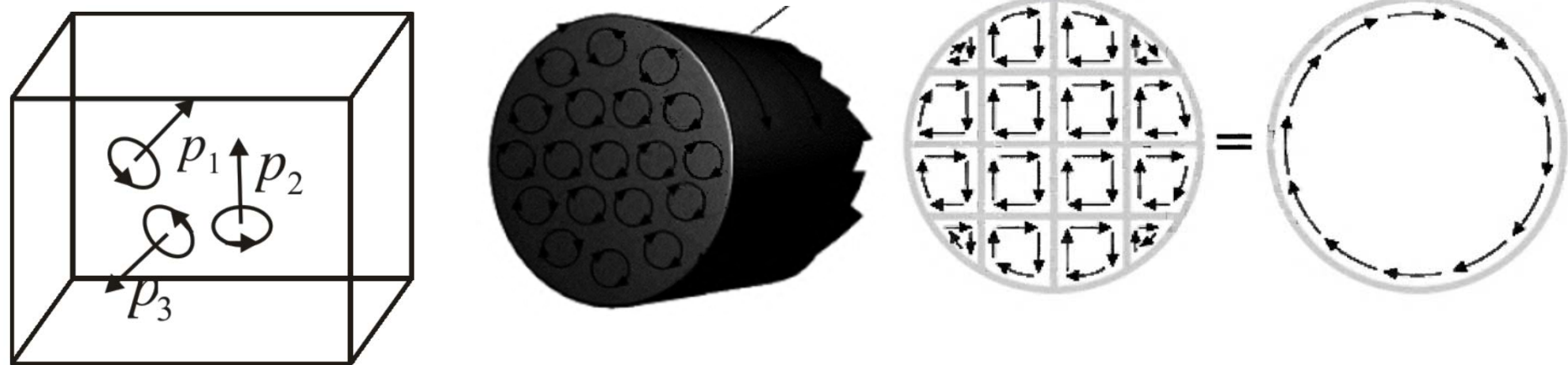
- Магнетики. Понятие о молекулярных токах. Вектор намагченности вещества и его связь с молекулярными токами. Вектор напряженности магнитного поля. Магнитная проницаемость и магнитная восприимчивость вещества. Материальное уравнение для векторов магнитного поля.
- Границные условия для векторов напряженности и индукции магнитного поля. Магнитная защита. Влияние формы магнетика на его намагченность.
- Силы, действующие на магнетики в магнитном поле.

# Магнетики. Понятие о молекулярных токах.

- Магнетиками называются вещества, которые при внесении их во внешнее магнитное поле сами становятся источниками магнитного поля. В этом случае говорят, что вещество намагничивается. Полная индукция магнитного поля равна векторной сумме внешнего магнитного поля и поля порожденного магнетиком.

$$\vec{B} = \vec{B}_0 + \vec{B}'$$

Согласно гипотезе Ампера, внешнее магнитное поле индуцирует в магнетике молекулярные токи, которые и порождают дополнительное магнитное поле  $\vec{B}'$ .



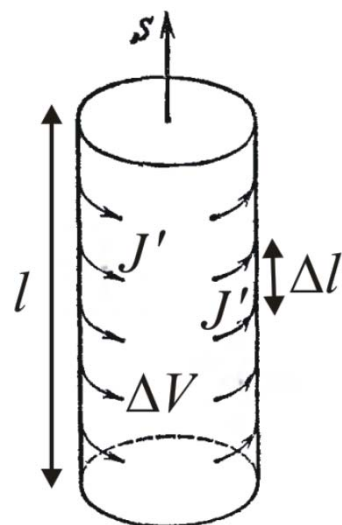
$$\Delta V \begin{cases} \text{rot} \vec{B} = \mu_0 (\vec{J} + \vec{J}'), & \text{– Уравнения магнитостатики} \\ \text{div} \vec{B} = 0. & \text{с учетом молекулярных токов.} \end{cases}$$

Для характеристики намагниченности магнетика вводят понятие вектора намагниченности  $\vec{I}$ .

$$\vec{p}_1 = I_1 \vec{S}_1, \vec{p}_2 = I_2 \vec{S}_2, \vec{p}_3 = I_3 \vec{S}_3, \dots$$

$$\vec{I} = \frac{1}{\Delta V} \sum_{\Delta V} \vec{p}_i .$$

# Вектор намагниченности вещества и его связь с молекулярными токами.

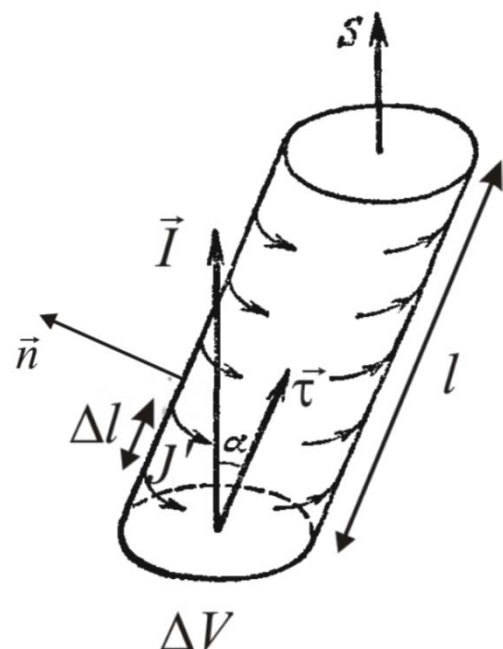


$$I' = J' \cdot l,$$

где  $J'$  – поверхностная плотность мол. тока.

Магнитный момент этого цилиндра равен

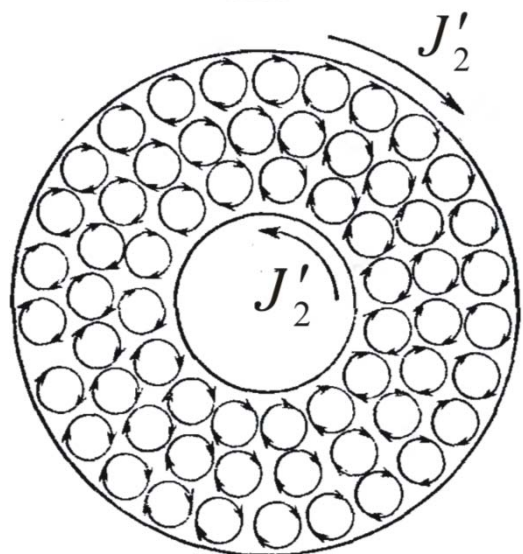
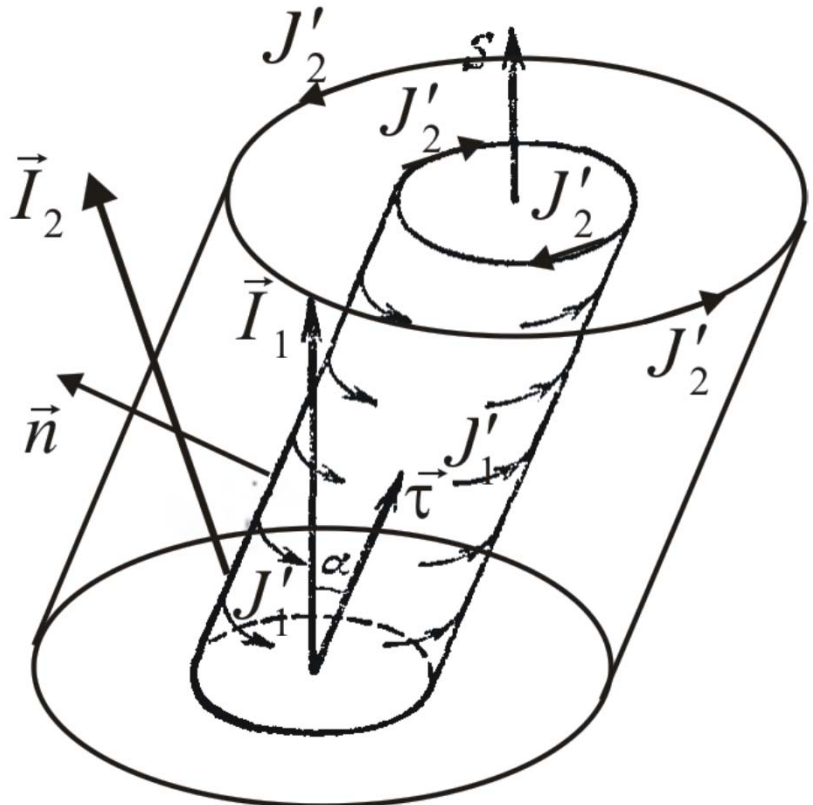
$$|\vec{I}| \cdot \Delta V = \sum_{\Delta l} J' \underbrace{\Delta l}_{\Delta I'} \cdot S = J' \cdot \underbrace{l \cdot S}_{\Delta V}; \Rightarrow J' = |\vec{I}|.$$



$$\sum_{\Delta l} J' \Delta l \cdot S = J' \cdot l \cdot S = |\vec{I}| \cdot \underbrace{\Delta V}_{l \cos \alpha \cdot S}; \Rightarrow$$

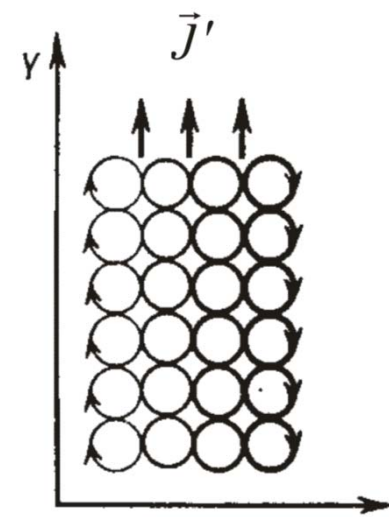
$$\Rightarrow J' = |\vec{I}| \cos \alpha = \vec{I} \cdot \vec{\tau} = I_\tau.$$

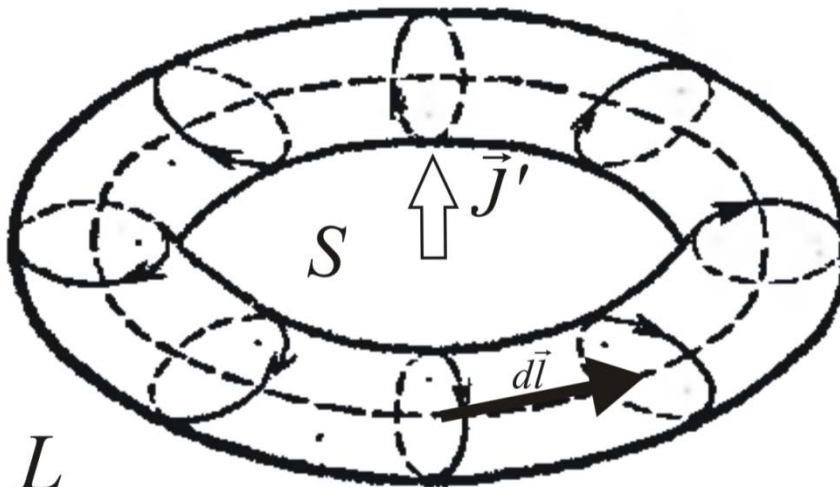
$$\vec{J}' = [\vec{I}, \vec{n}].$$



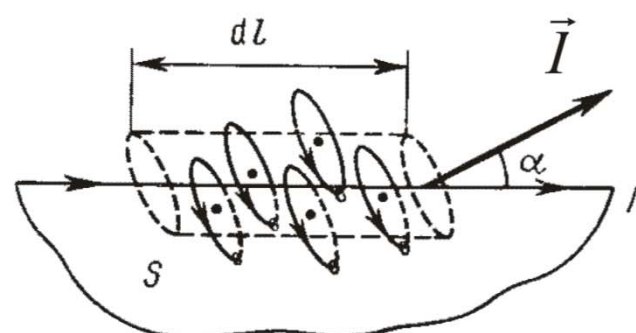
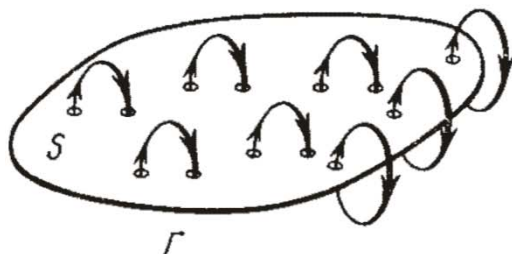
Плотность поверхностного  
молекулярного тока на  
границе двух магнитиков

$$\vec{J}' = [(\vec{I}_1 - \vec{I}_2), \vec{n}]$$





$$dI' = J'_{noe.} dl = \vec{I} \vec{\tau} dl = \vec{I} dl;$$



Если вещество намагничено неоднородно, то возникают объемные молекулярные токи.

$$\begin{aligned} I' &= \int_{S_L} \vec{J}' d\vec{S} = \oint_L \underbrace{J'_{noe.}}_{\vec{I} dl} dl = \\ &= \oint_L \vec{I} dl = \int_{S_L} \text{rot} \vec{I} \cdot d\vec{S}; \end{aligned}$$

$$\vec{J}' = \text{rot} \vec{I}.$$

# Вектор напряженности магнитного поля.

$$\operatorname{rot} \vec{B} = \mu_0 (\vec{J} + \vec{J}') = \mu_0 (\vec{J} + \operatorname{rot} \vec{I}); \Rightarrow$$

$$\operatorname{rot} \left( \frac{\vec{B}}{\mu_0} - \vec{I} \right) = \vec{J}; \Rightarrow \operatorname{rot} \vec{H} = \vec{J}, \text{ где}$$

$$\vec{H} = \left( \frac{\vec{B}}{\mu_0} - \vec{I} \right) - \quad \begin{aligned} &\text{вектор напряженности} \\ &\text{магнитного поля.} \end{aligned}$$

## **Материальное уравнение для векторов магнитного поля. Магнитная проницаемость и магнитная восприимчивость вещества.**

$\vec{I} = \vec{I}(\vec{B})$ , но  $\vec{B} = \mu_0(\vec{H} + \vec{I})$ ;  $\Rightarrow \vec{H} = \vec{H}(\vec{B})$ . Имеем  $\vec{B} = \vec{B}(\vec{H})$  или  $\vec{I} = \vec{I}(\vec{H})$  - материальные уравнения.

Для изотропных сред  $\vec{I} = \chi \cdot \vec{H}$ , где  $\chi$  – магнитная восприимчивость.

$$\vec{B} = \mu_0(\vec{H} + \vec{I}) = \mu_0 \underbrace{(1 + \chi)}_{\mu} \vec{H} = \mu_0 \mu \vec{H}, \text{ где } \mu = 1 + \chi -$$

магнитная проницаемость (относительная магнитная проницаемость).

$$I_i = \sum_{j=1}^3 \chi_{ij} H_j,$$

где  $\chi_{ij}$  - тензор магнитной восприимчивости.

Индукция магнитного поля в однородном, изотропном и бесконечном магнетике.

$$\begin{cases} \operatorname{rot} \vec{H} = \vec{J}, \\ \operatorname{div} \vec{H} = 0. \end{cases} \Rightarrow \begin{cases} \operatorname{rot} \frac{\vec{B}}{\mu} = \mu_0 \vec{J}, \\ \operatorname{div} \frac{\vec{B}}{\mu} = 0. \end{cases} \Rightarrow \frac{\vec{B}}{\mu} = \vec{B}_{\text{вакуум}}$$

Из первого уравнения следует, что  $\vec{H}$  в однородном бесконечном магнетике такое же, что и в вакууме.

# **Система полевых уравнений магнитостатики в изотропных бесконечных магнитных средах.**

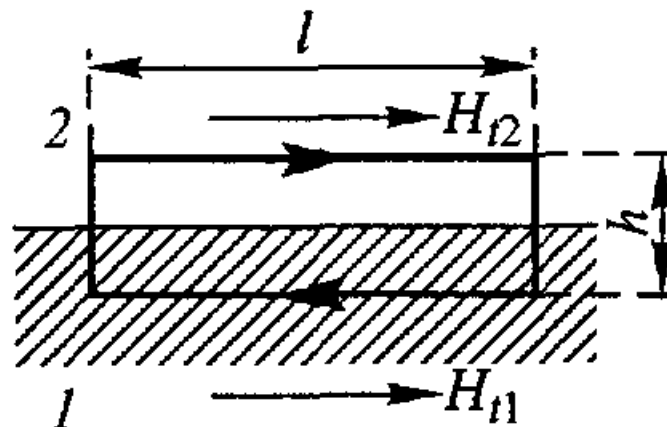
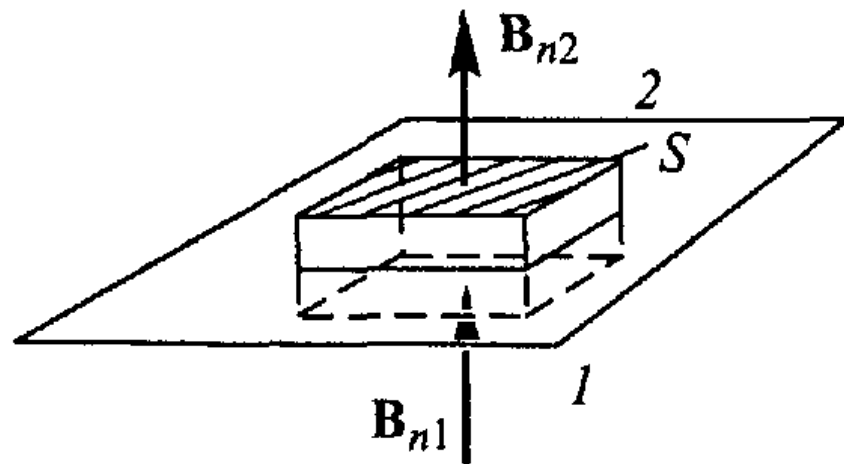
$$\begin{cases} \operatorname{rot} \vec{H} = \vec{J}, \\ \operatorname{div} \vec{B} = 0. \end{cases} \Rightarrow \begin{cases} \int_{S_L} \operatorname{rot} \vec{H} d\vec{S} = \int_{S_L} \vec{J} d\vec{S}, \\ \int_V \operatorname{div} \vec{B} dV = 0. \end{cases} \Rightarrow \begin{cases} \int_L \vec{H} d\vec{l} = \int_{S_L} \vec{J} d\vec{S}, \\ \int_{S_V} \vec{B} d\vec{S} = 0. \end{cases}$$

дифференциальная форма

интегральная форма

$\vec{B} = \vec{B}(\vec{H})$ , ( $\vec{B} = \mu_0 \mu \vec{H}$ ) – материальные уравнения.

## Границные условия для векторов напряженности и индукции магнитного поля.



$$B_{n2}S - B_{n1}S = 0, \quad H_{\tau2}l - H_{\tau1}l = J_k l, \text{ где } \vec{k} \perp h \cdot l.$$

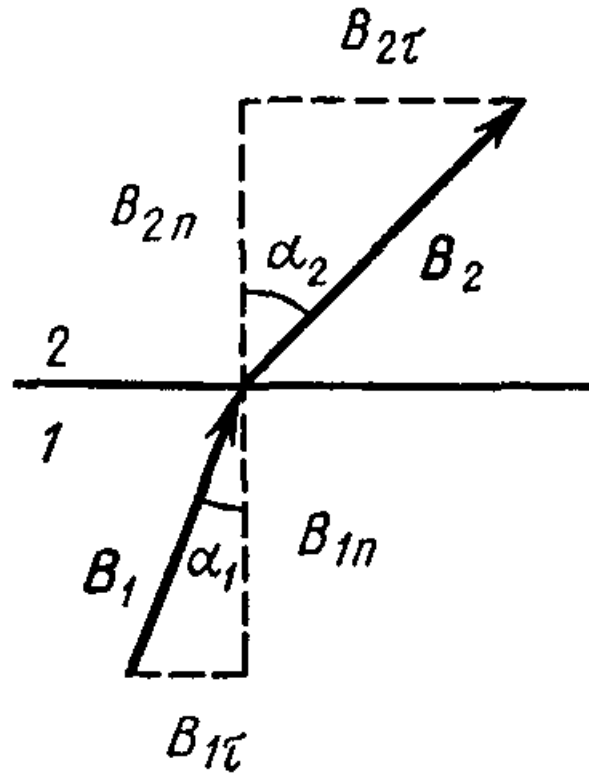
$$B_{n2} = B_{n1}.$$

$$H_{\tau2} - H_{\tau1} = J_k, \text{ если } J_k = 0, \text{ то}$$

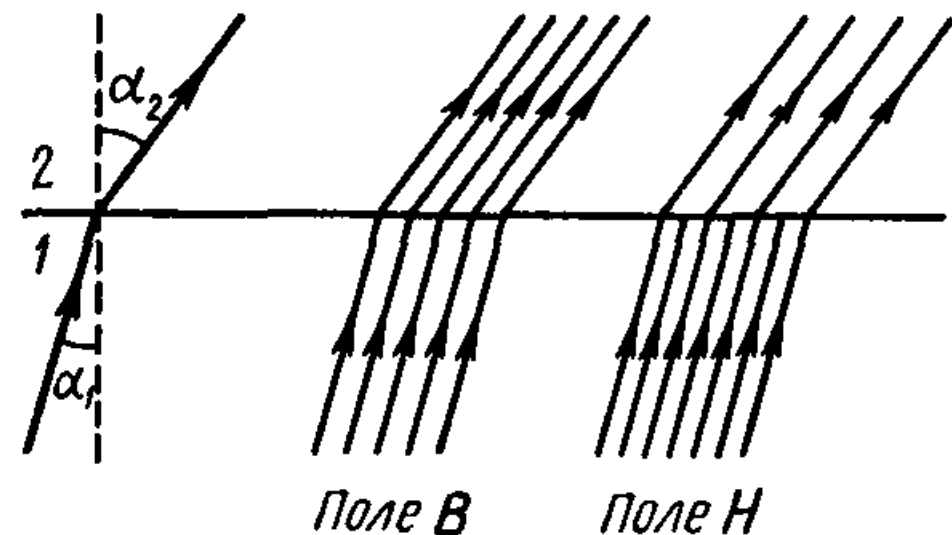
$$\frac{B_{\tau2}}{\mu_2} = \frac{B_{\tau1}}{\mu_1}.$$

$$H_{\tau2} = H_{\tau1}.$$

## Преломление линий магнитной индукции магнитного поля на границе двух магнетиков



$$\mu_2 > \mu_1,$$



$$\frac{\operatorname{tg} \alpha_2}{\operatorname{tg} \alpha_1} = \frac{\mu_2}{\mu_1}.$$

# Магнитная защита.

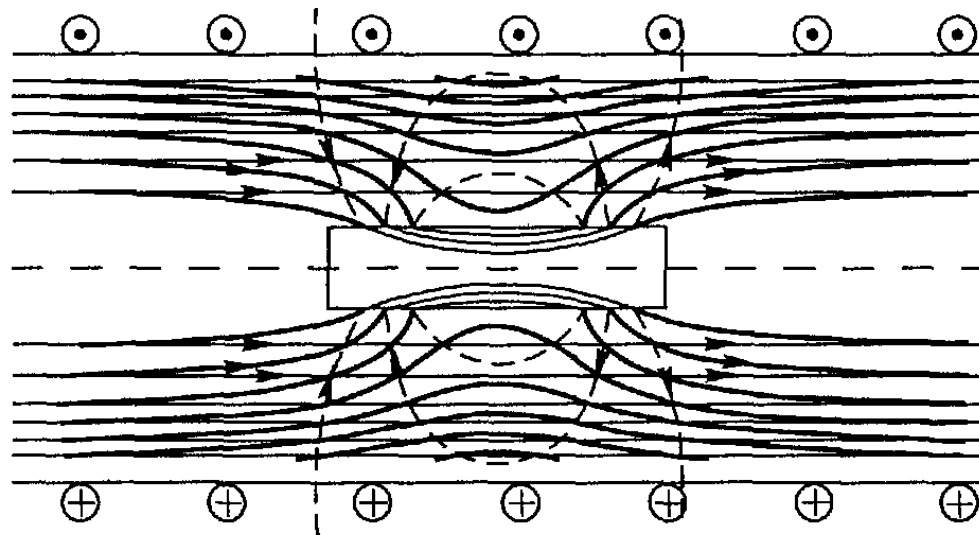
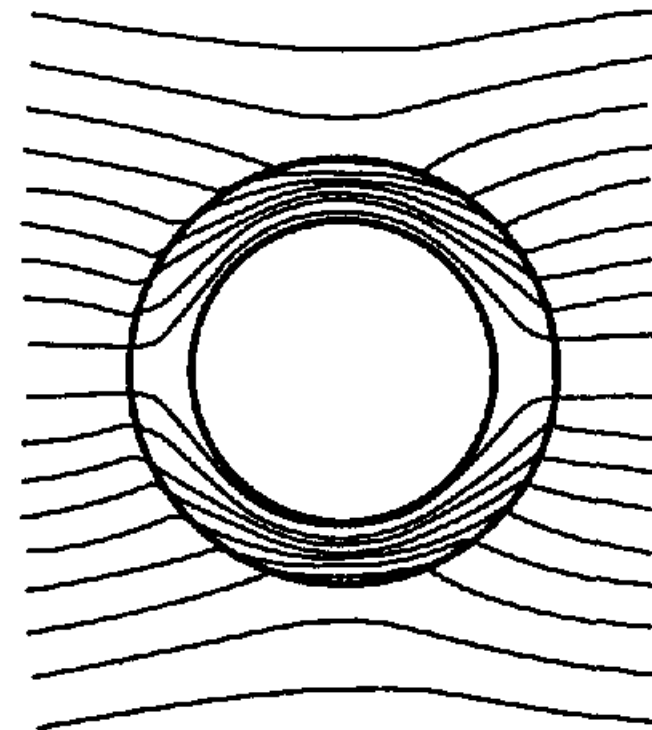


Рис. 165 Сгущение линий индукции внутри магнетика



## Аналогия с электростатикой диэлектриков.

$$\vec{D} = \epsilon_0 \vec{E} + \vec{P},$$

$$\begin{cases} \operatorname{rot} \vec{E} = 0, \\ \operatorname{div} \vec{D} = \rho = 0, \end{cases}$$

$$E_{\tau 1} = E_{\tau 2}; D_{n1} = D_{n1},$$

$$\begin{cases} \operatorname{rot} \vec{E} = 0, \\ \operatorname{div} \vec{E} = -\frac{1}{\epsilon_0} \operatorname{div} \vec{P}, \end{cases}$$

$$\vec{E} \rightarrow \vec{H}; \quad \frac{\vec{P}}{\epsilon_0} \rightarrow \vec{I}.$$

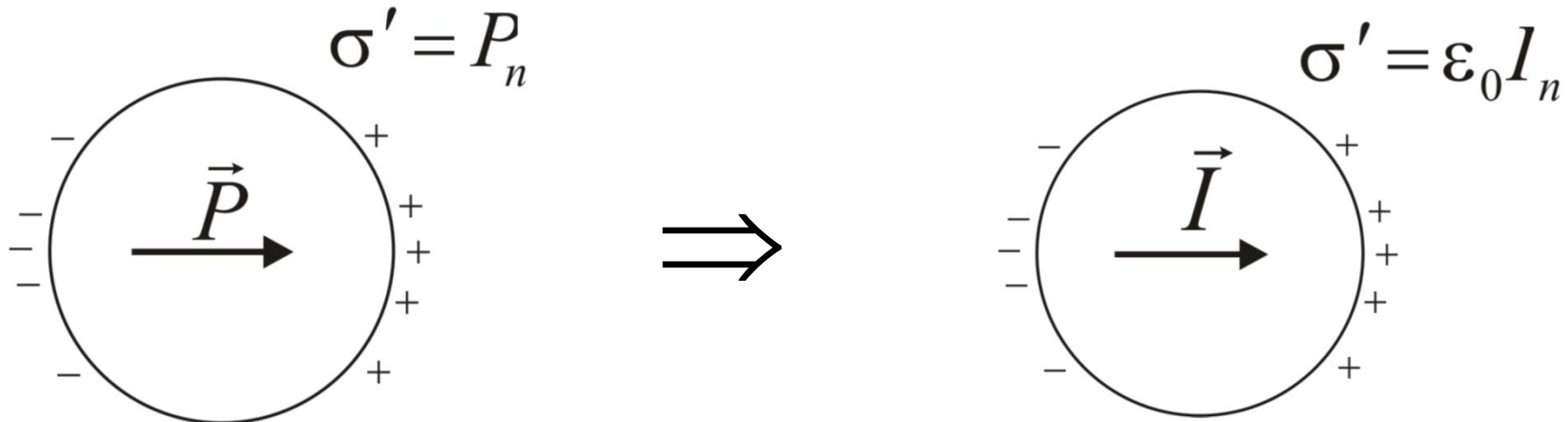
$$\vec{B} = \mu_0 (\vec{H} + \vec{I}),$$

$$\begin{cases} \operatorname{rot} \vec{H} = \vec{J} = 0, \\ \operatorname{div} \vec{B} = 0, \end{cases}$$

$$H_{\tau 1} = H_{\tau 2}; B_{n1} = B_{n1},$$

$$\begin{cases} \operatorname{rot} \vec{H} = 0, \\ \operatorname{div} \vec{H} = -\operatorname{div} \vec{I}, \end{cases}$$

# Поле однородно намагниченного шара.



$$\vec{E}' = -\frac{1}{3} \frac{\vec{P}}{\varepsilon_0};$$

$$\vec{H}' = -\frac{1}{3} \vec{I};$$

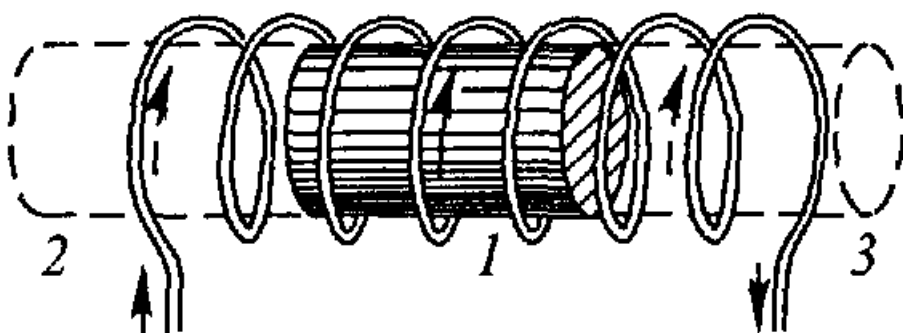
Если есть внешнее магнитное поле  $\vec{H}_0$ , то

$$\vec{H} = \vec{H}_0 + \vec{H}' = \vec{H}_0 - \frac{1}{3}\vec{I} = \vec{H}_0 - \vec{H}_{\odot};$$

$\vec{H}_\odot = \beta \vec{I}$  – размагничивающее поле,

где  $\beta$  – размагничивающий фактор формы.

# Влияние формы магнетика на его намагченность.

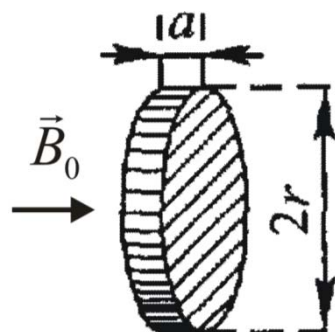


$\vec{H} = \vec{H}_0 - \vec{H}_o; \quad \vec{H}_o = \beta \vec{I} -$   
строго справедливо только для  
тел эллипсоидальной формы.

$$0 < \beta < 1;$$

1) для бесконечного цилиндра  $\vec{H} = \vec{H}_0, \beta = 0$ .

2) Для тонкого магнитного слоя (бескончного)



Из граничных условий  $B_{n0} = B_n; \Rightarrow H_{n0} = \mu H_n$ .

При  $r \rightarrow \infty, B_n = B, H_n = H$ . Тогда  $H = H_0 / \mu =$   
 $= H_0 - (H_0 / \mu) \mu + H_0 / \mu = H_0 - \underbrace{(\mu - 1)}_{\chi} H = H_0 - \frac{1}{\beta} I$ .

В этом случае  $\beta = 1$ .

# Силы, действующие на магнетики в магнитном поле.

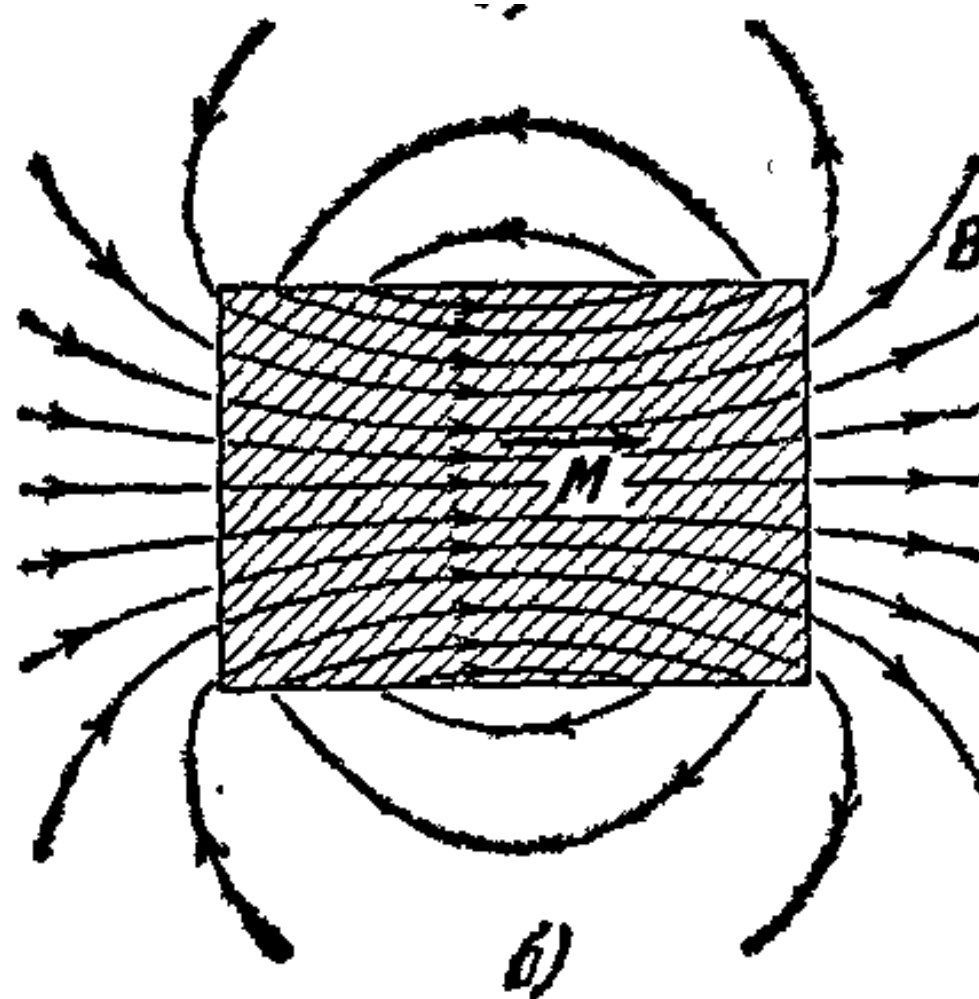
$$\vec{F}_{\Delta V} = \nabla \left( \underbrace{\vec{p}_{\Delta V}}_{\vec{I}_{\Delta V}} \downarrow \vec{B} \right); \Rightarrow \vec{f} = \frac{\vec{F}_{\Delta V}}{\Delta V} = \nabla \left( \vec{I} \downarrow \vec{B} \right).$$

$$\vec{I} = (\mu - 1) \vec{H} = (\mu - 1) \frac{\vec{B}}{\mu_0 \mu};$$

$$\vec{f} = \nabla \left( \vec{I} \downarrow \vec{B} \right) = \frac{(\mu - 1)}{\mu_0 \mu} \nabla \left( \vec{B} \downarrow \vec{B} \right) = \frac{(\mu - 1)}{\mu_0 \mu} \frac{1}{2} \nabla \left( \vec{B} \downarrow \vec{B} \right);$$

$$\vec{f} = \frac{(\mu - 1)}{\mu_0 \mu} \frac{1}{2} \nabla \vec{B}^2. \quad \text{Если } \mu > 1, \text{ то магнетик втягивается в область сильного магнитного поля}$$

# Поле постоянного магнита.



# Лекция 15.

- Классификация магнетиков: диамагнетики, парамагнетики и ферромагнетики.  
Классическое описание диамагнетизма.  
Ларморова прецессия. Парамагнетизм.  
Теория Ланжевена.
- Микроскопические носители магнетизма.  
Магнитомеханический опыт Эйнштейна – де-Гааза. Механомагнитный опыт Барнетта.  
Гиромагнитное отношение.

## **Классификация магнетиков: диамагнетики, парамагнетики и ферромагнетики.**

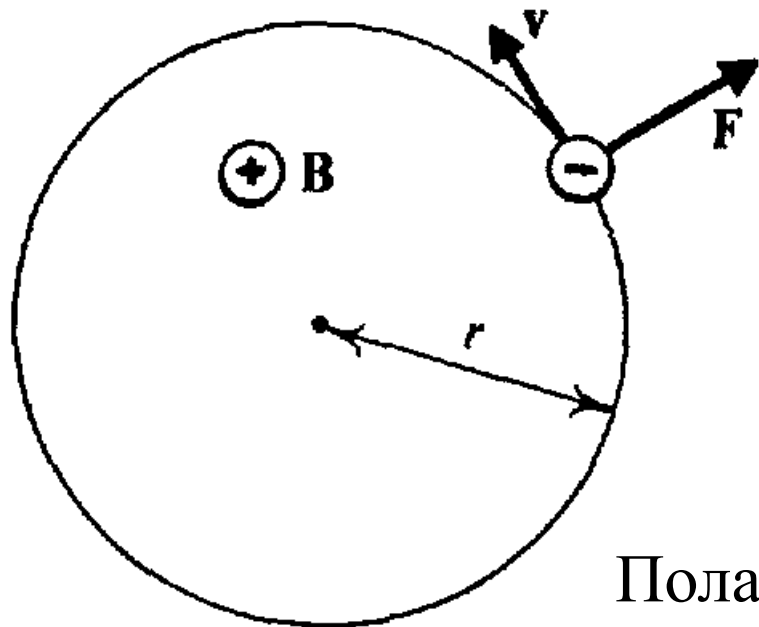
$\mu < 1$  или  $\chi < 0$  - диамагнетики,      } В отсутствии внешнего поля  
 $\mu > 1$  или  $\chi > 0$  - парамагнетики, } намагниченность  $I = 0$ .  
 $\mu \gg 1$  или  $\chi \gg 1$  - ферромагнетики } В отсутствии внешнего поля в домене  $I \neq 0$ .

В отдельные классы магнетиков относят антиферромагнетики, ферриты и суперпарамагнетики.

# Величина магнитной восприимчивости магнетиков

Тип магнетика	Магнитная восприимчивость, $\chi$
Диамагнетик	- ( $10^{-9} - 10^{-4}$ ), $\mu < 1$
Парамагнетик	$10^{-6} - 10^{-3}$ , $\mu > 1$
Ферромагнетик	$10^3 - 10^5$ , $\mu(H) \gg 1$
Ферримагнетик	$10^1 - 10^3$ , $\mu(H) \gg 1$
Антиферромагнетик	$10^{-4} - 10^{-6}$ , $\mu > 1$

# Классическое описание диамагнетизма. Ларморова прецессия. [1, § 40]



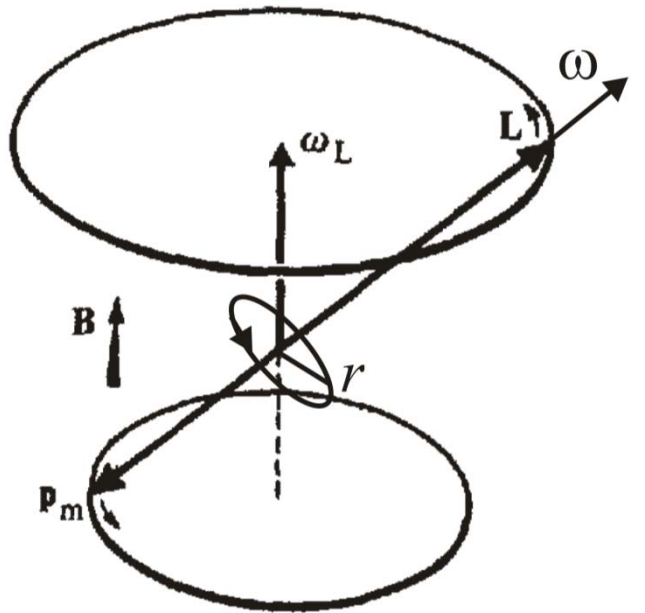
$$m\omega_0^2 r = F_u, \quad F = |e| \omega r B,$$

$$m\omega^2 r = F_u \pm |e| \omega r B,$$

$$m\omega^2 r - m\omega_0^2 r = \pm |e| \omega r B.$$

Полагая  $|\Delta\omega| = |\omega - \omega_0| \ll \omega$  и преобразуя  
 $\omega^2 - \omega_0^2 = (\omega - \omega_0)(\omega + \omega_0) \approx 2\Delta\omega \cdot \omega$ , находим

$\Delta\omega = \pm |e| B / 2m; \Rightarrow \omega_L = |e| B / 2m$ . Направление  $\vec{\omega}_L$  совпадает с  $\vec{B}$ ,  
 то есть  $\vec{\omega}_L = -\frac{e\vec{B}}{2m}$ , где учтено, что заряд электрона  $e < 0$ .



Для произвольной ориентации орбиты вращения электрона относительно индукции внешнего магнитного поля  $\vec{B}$

$$\frac{d\vec{L}}{dt} = \vec{M}, \quad \text{где } \vec{L} = mr^2\vec{\omega}, \quad \vec{M} = [\vec{p}_m, \vec{B}].$$

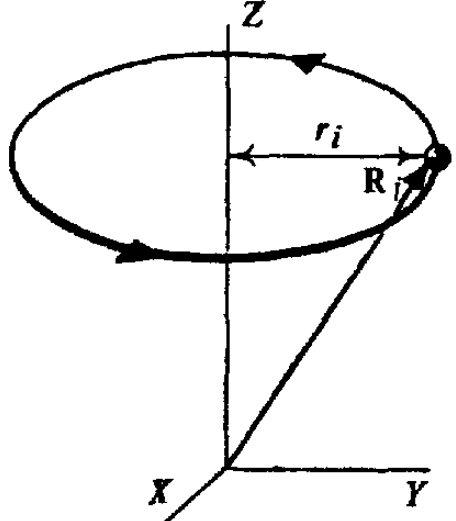
$$\vec{p}_m = I\vec{S} = e \frac{\vec{\omega}}{2\pi} \pi r^2 = \frac{e}{2m} \vec{L}. \quad \text{Получим}$$

$$\frac{d\vec{L}}{dt} = \frac{e}{2m} [\vec{L}, \vec{B}] = -\frac{e}{2m} [\vec{B}, \vec{L}].$$

Известно, что для произвольного вектора с  $|\vec{A}| = \text{const}$ ,  $d\vec{A}/dt = [\vec{\Omega}, \vec{A}]$ .

$$-\frac{e}{2m} \vec{B} = \vec{\Omega} = \vec{\omega}_L.$$

# Диамагнитная восприимчивость



$$\vec{p}_{m,i} = \vec{S}_i I_i = e r_i^2 \vec{\omega}_L / 2,$$

$$\vec{I} = \frac{1}{\Delta V} \sum_{\Delta V} \vec{p}_{m,i} = -\frac{e^2}{4m} \vec{B} \cdot Z \underbrace{\frac{N}{\Delta V}}_n \underbrace{\frac{\sum_i r_i^2}{Z \cdot N}}_{\langle r_i^2 \rangle},$$

где  $N$  - число атомов в  $\Delta V$ ,  $Z$  - число электронов в атоме.

$$R_i^2 = x_i^2 + y_i^2 + z_i^2; \Rightarrow \langle x_i^2 \rangle = \langle y_i^2 \rangle = \langle z_i^2 \rangle = \frac{1}{3} \langle R_i^2 \rangle,$$

$$\langle r_i^2 \rangle = \langle x_i^2 + y_i^2 \rangle = 2 \langle R_i^2 \rangle / 3 = 2 \langle R^2 \rangle / 3. \text{ Имеем}$$

$$\vec{I} = -\frac{e^2}{6m} \underbrace{\vec{B}}_{\mu_0 \mu \vec{H}} Z n \langle R^2 \rangle = -\underbrace{\frac{e^2}{6m} Z n \langle R^2 \rangle}_{\chi} \mu_0 \mu \vec{H}.$$

$$\chi = -\frac{e^2}{6m} Z n < R^2 > \mu_0.$$

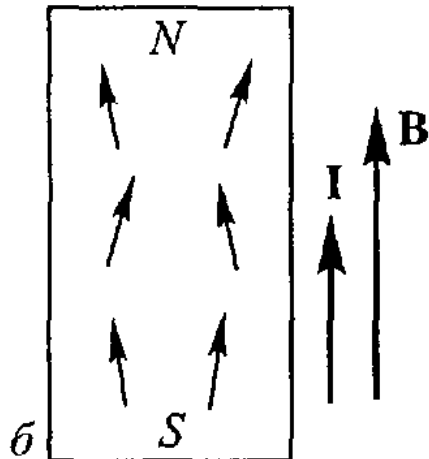
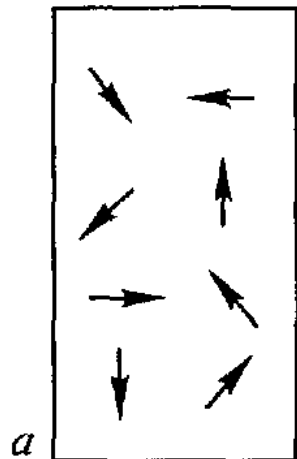
Вещество (диамагнетики)	$\chi = (\mu - 1) \cdot 10^{-6}$
вода	-9,0
Медь	-10,3
Стекло	-12,6
Висмут	-176

Ларморово вращение атомов не могут создать магнитные силы, оно создается при включении магнитного поля индукционным электрическим полем

$$2\pi rE = -\frac{d\Phi}{dt}; \Rightarrow M = reE = -\frac{e}{2\pi} \frac{d\Phi}{dt}; mr^2 \frac{d\omega}{dt} = M = -\frac{e}{2\pi} \frac{d\Phi}{dt}$$

$$mr^2 \int_{\omega_0}^{\omega_0 + \Delta\omega} d\omega = M = -\frac{e}{2\pi} \int_0^\Phi d\Phi; \Rightarrow \Delta\omega = \omega_L = -\frac{e}{2m} \frac{\Phi}{\pi r^2} = -\frac{e}{2m} B.$$

# Парамагнетизм. Теория Ланжевена.



$W = -\vec{p}_m \cdot \vec{B}; \Rightarrow dn = A \cdot e^{-\frac{W}{K_B T}} d\Omega,$   
где  $d\Omega = \sin \theta d\theta d\varphi$  – элемент телесного угла.

$$\langle p_{m,z} \rangle = \int p_{m,z} dn / \int dn.$$

Воспользуемся теорией полярных диэлектриков

$$\vec{p} \rightarrow \vec{p}_m; \quad \vec{E} \rightarrow \vec{B}; \Rightarrow \langle p_{m,z} \rangle = p_m L(\beta), \quad \text{где}$$

$$\beta = \frac{p_m B}{K_B T}, \quad L(\beta) = \operatorname{cth} \beta - \frac{1}{\beta}. \quad \text{Если } \beta \ll 1, \quad L(\beta) \approx \frac{\beta}{3},$$

$$\langle p_{m,z} \rangle = p_m \frac{p_m B}{3 K_B T} = \frac{p_m^2 \mu_0 \mu H}{3 K_B T}. \quad \text{Если } \mu \approx 1, \text{ то}$$

$$I_z = n \langle p_{m,z} \rangle = \underbrace{\frac{n\mu_0 p_m^2}{3K_B T}}_{\chi} H, \quad \vec{I} = \chi \vec{H}.$$

$$\chi = \mu - 1 = \frac{n\mu_0 p_m^2}{3K_B T} = \frac{C}{T} - \text{закон Кюри.}$$

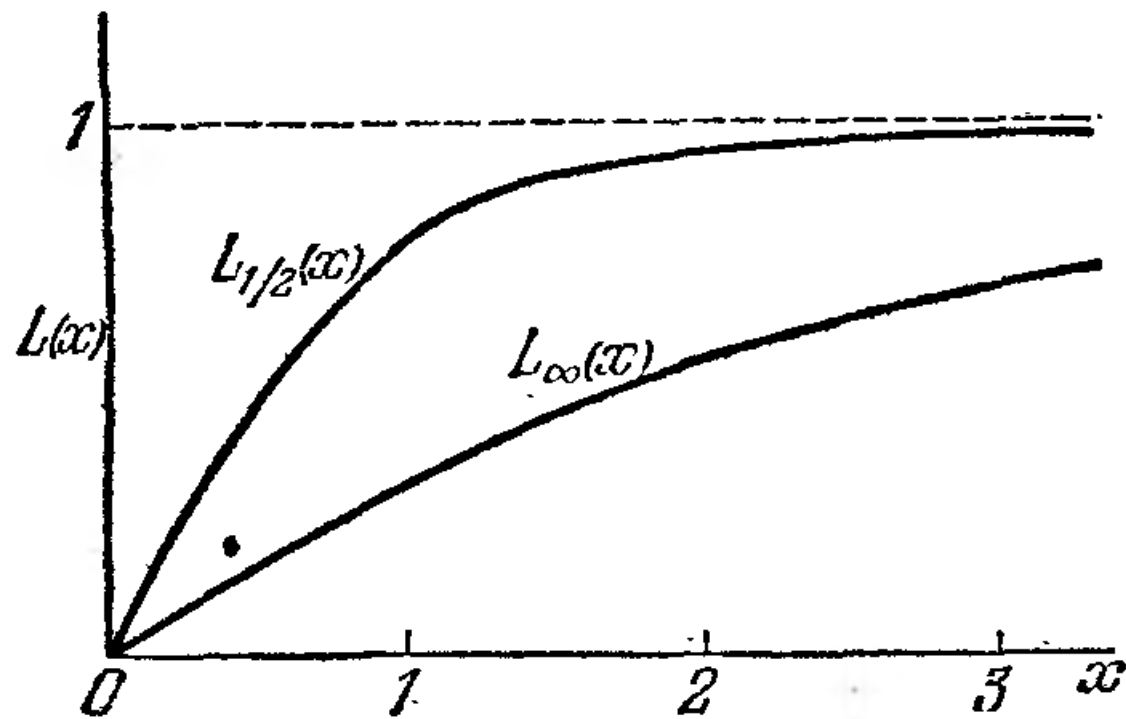
Температурная зависимость  $\chi \sim 1/T$  экспериментально обнаружил П. Кюри в 1896 году, в 1905 году Ланжевен разработал теорию парамагнетизма и диамагнетизма.

Теория Ланжевена хорошо описывает лишь газы.

Характерные значения парамагнитной восприимчивости  $\chi \sim 10^{-3}$ , что приблизительно в 100 раз больше характерного значения  $\sim 10^{-5}$  восприимчивости диамагнетиков..

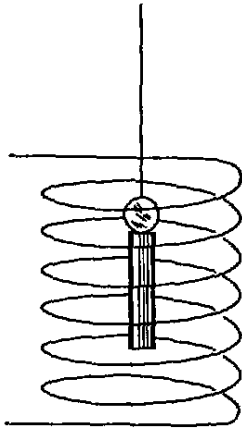
## Magnetic Susceptibilities of Some Paramagnetic and Diamagnetic Substances at 300 K

Paramagnetic Substance	$\chi$	Diamagnetic Substance	$\chi$
Aluminum	$2.3 \times 10^{-5}$	Bismuth	$-1.66 \times 10^{-5}$
Calcium	$1.9 \times 10^{-5}$	Copper	$-9.8 \times 10^{-6}$
Chromium	$2.7 \times 10^{-4}$	Diamond	$-2.2 \times 10^{-5}$
Lithium	$2.1 \times 10^{-5}$	Gold	$-3.6 \times 10^{-5}$
Magnesium	$1.2 \times 10^{-5}$	Lead	$-1.7 \times 10^{-5}$
Niobium	$2.6 \times 10^{-4}$	Mercury	$-2.9 \times 10^{-5}$
Oxygen	$2.1 \times 10^{-6}$	Nitrogen	$-5.0 \times 10^{-9}$
Platinum	$2.9 \times 10^{-4}$	Silver	$-2.6 \times 10^{-5}$
Tungsten	$6.8 \times 10^{-5}$	Silicon	$-4.2 \times 10^{-6}$



15.10

# Магнитомеханический опыт Эйнштейна – де-Гааза.



Магнитомеханическое явление - это возникновение вращения тел при их намагничивании. В 1915 году экспериментально обнаружено в опытах Эйнштена и Гааза.

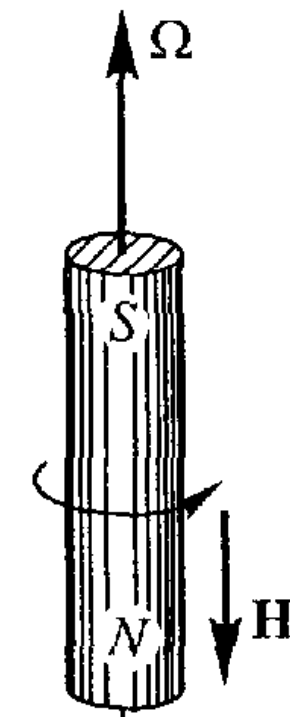
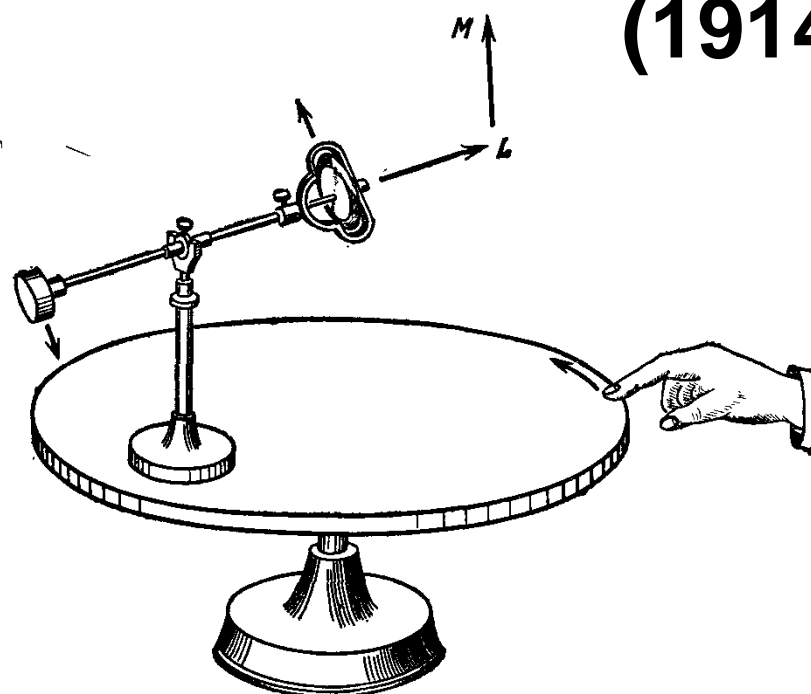
$$\sum_V \vec{p}_{m,i} = \vec{I} \cdot V, \text{ но } \vec{p}_{m,i} = \Gamma \vec{L}_i, \Rightarrow \vec{L} = \sum_V \vec{L}_i = \frac{1}{\Gamma} \vec{I} \cdot V.$$

$$L_z = J_z \omega_z = \frac{1}{\Gamma} I_z \cdot V. \text{ Так для железного цилиндра}$$

с диаметром 1мм в магнитном поле  $H = 10^4 A/m$

$$\omega_z = 10^{-3} \text{ рад/с.}$$

# Механомагнитный опыт Барнетта (1914год).



Механомагнитное явление-это намагничивание магнетика при его вращение.

В опытах Барнетта при вращени железного цилинра 6000 об/мин наблюдалось намагничивание эквивалентное наличию внешнего поля  $10^{-2} \text{ A/m}$ .

# Микроскопические носители магнетизма. Гиromагнитное отношение.

Исследование магнитомеханического и механомагнитного явлений показало  $\Gamma < 0$ , следовательно, магнетизм обусловлен движением электронов. Для

магнетиков  $-\frac{e}{m} < \Gamma < -\frac{e}{2m}$ . Для ферромагнетиков (железо, никель, кобальт

и др.)  $\Gamma = -\frac{e}{m}$ , что указывает на то, что магнетизм магнетиков нельзя объяснить только орбитальным движением электронов.

Совокупность имеющихся данных указывает на то, что электрон обладает собственным механическим (спином) и магнитным моментом  $\vec{p}_{m,s} = -\frac{e}{m} \vec{S}$ . Спин

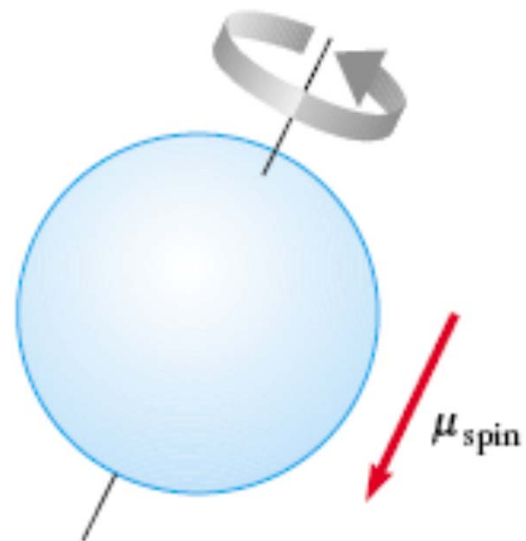
квантуется, его проекция  $S_z = \pm \frac{1}{2} \frac{\hbar}{2\pi}$ , где  $\hbar = 6,62 \cdot 10^{-34}$  Дж·с. Квантуется

и проекция собственного магнитного момента  $p_{m,s} = \pm \mu_B = \pm \frac{eh}{4\pi m}$  — магнетон

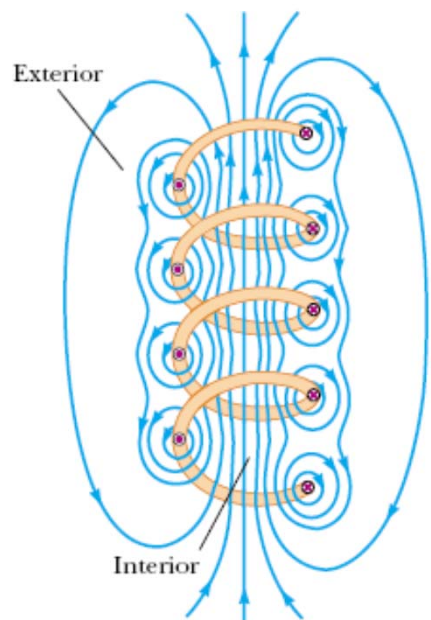
Бора  $\mu_B = 9,27 \cdot 10^{-24} A \cdot m^2$ .

15.13

# Классическая модель спина электрона.



# Энергия магнитного поля (тока) в бесконечной изотропной магнитной среде.



В магнитной среде  $\vec{B} = \mu \vec{B}_0$ . Следовательно,

$$\Phi = \mu \Phi_0 = \underbrace{\mu L_0}_{L} I = LI; \Rightarrow W = \frac{LI^2}{2} = \mu \frac{L_0 I^2}{2} =$$

$$= \mu \frac{1}{2} \int_{-\infty}^{\infty} \frac{B_0^2}{\mu_0} dV = \frac{1}{2} \int_{-\infty}^{\infty} \frac{\mu \vec{B}_0 \cdot \mu \vec{B}_0}{\mu_0 \mu} dV = \int_{-\infty}^{\infty} \frac{\vec{H} \cdot \vec{B}}{2} dV.$$

$$W = \frac{\vec{H} \cdot \vec{B}}{2} = \frac{B^2}{2\mu_0 \mu} = \frac{\mu_0 \mu H^2}{2} = \frac{\vec{H} \mu_0 (\vec{H} + \vec{I})}{2} =$$

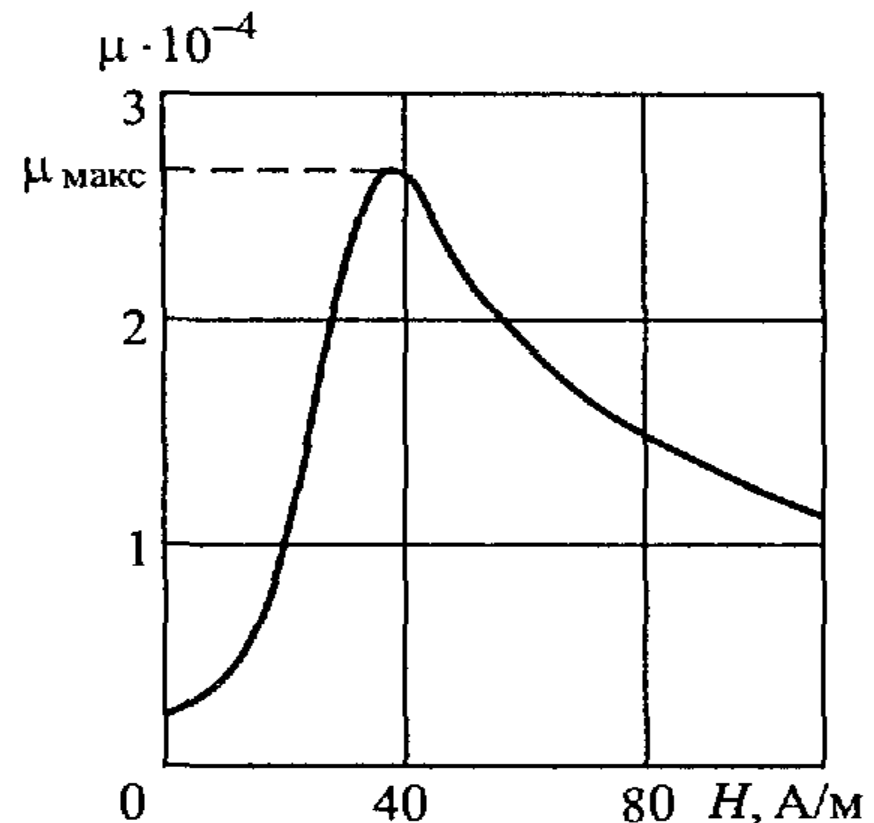
$$= \frac{\overbrace{\mu_0 \vec{H}}^{\vec{B}_0} \cdot \overbrace{\mu_0 \vec{H}}^{\vec{B}_0}}{2\mu_0} + \frac{\mu_0 \vec{H} \cdot \vec{I}}{2}, \quad \text{где } \frac{\mu_0 \vec{H} \cdot \vec{I}}{2} - \begin{cases} \text{плотность энергии намаг-} \\ \text{ничивания магнетика.} \end{cases}$$

# Лекция 16.

- Ферромагнетики. Спонтанная намагниченность и температура Кюри. Доменная структура. Гистерезис намагничивания, кривая Столетова. Остаточная индукция и коэрцитивная сила. Температурная зависимость намагниченности.

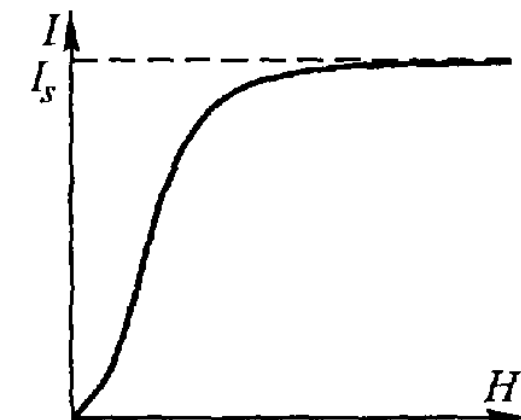
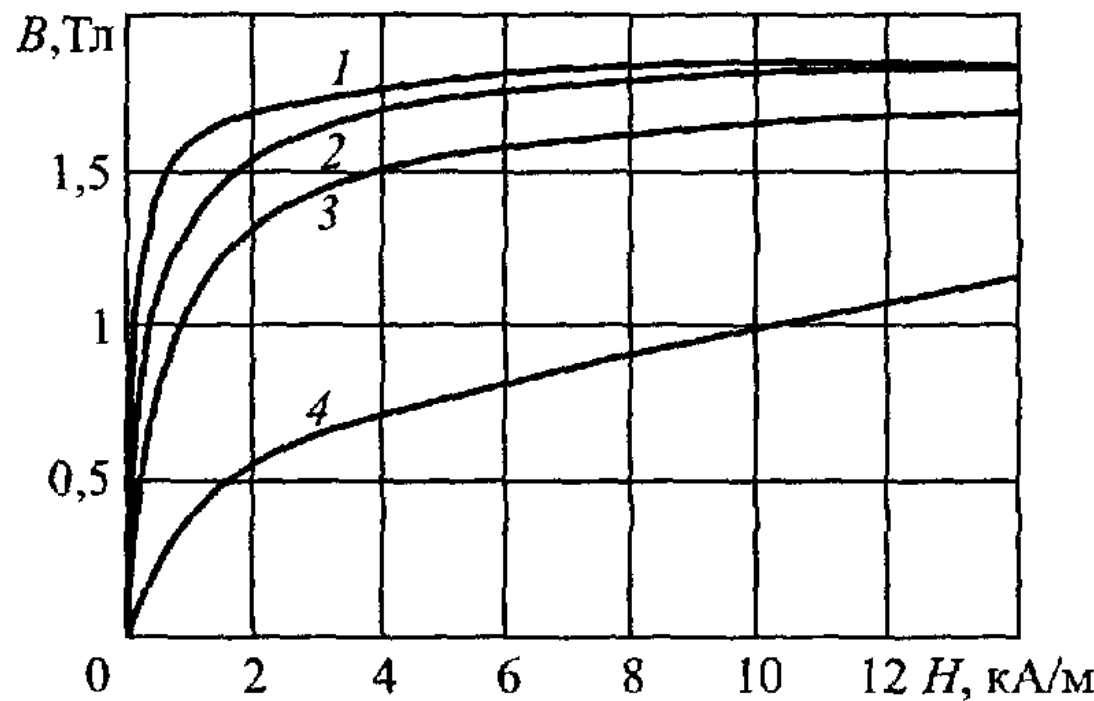
# Ферромагнетики.

- Ферромагнетики – это сильномагнитные магнетики, относительная магнитная проницаемость которых может достигать десятков тысяч единиц. Кроме этого, ферромагнетики обладают рядом других отличительных особенностей по сравнению с диа- и парамагнетиками.



Магнитная проницаемость зависит от напряженности магнитного поля. На рисунке приведена такая зависимость для чистого железа (**кривая Столетова**).

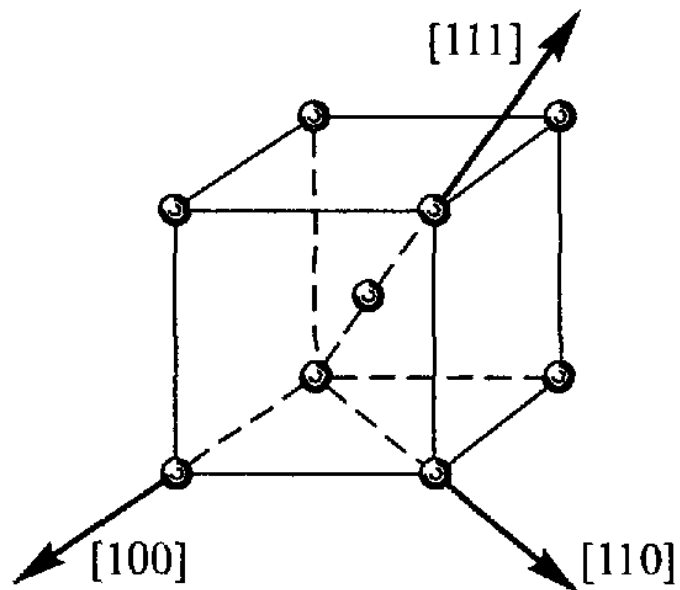
# Кривая намагничивания



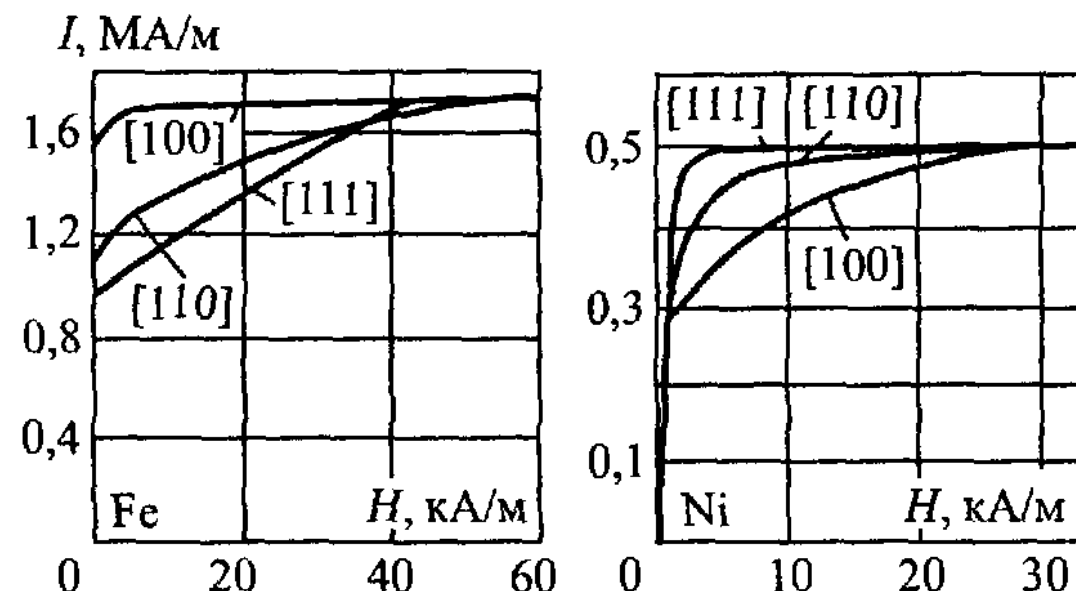
Кривая намагничивания ферромагнетиков

Зависимость магнитной индукции от напряженности магнитного поля: 1 — электролитическое железо, 2 — малоуглеродистое железо, 3 — литая сталь, 4 — чугун

# Анизотропия намагничивания.

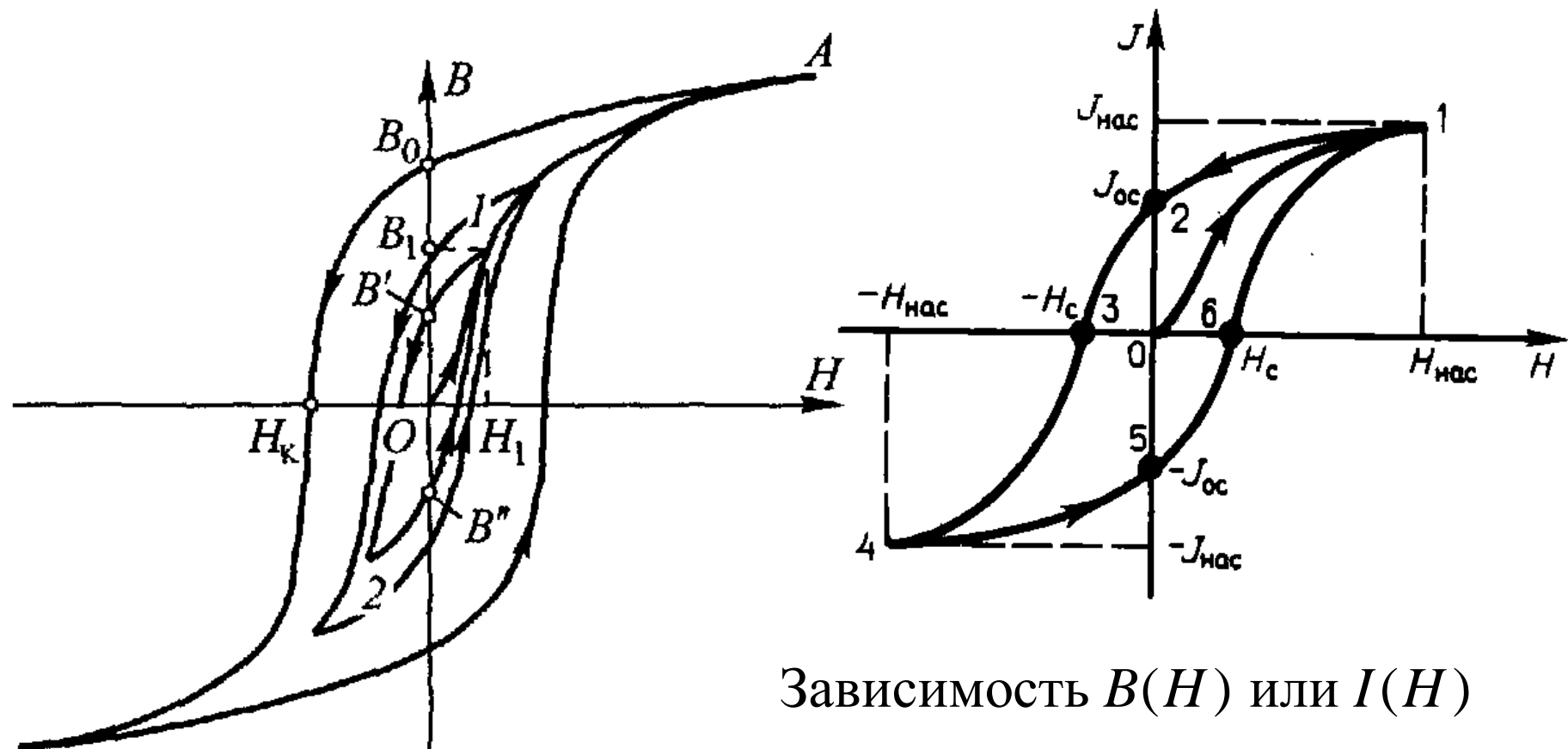


Элементарная кристаллическая ячейка железа и ее основные кристаллографические направления: [100] — легкого, [111] — трудного намагничивания



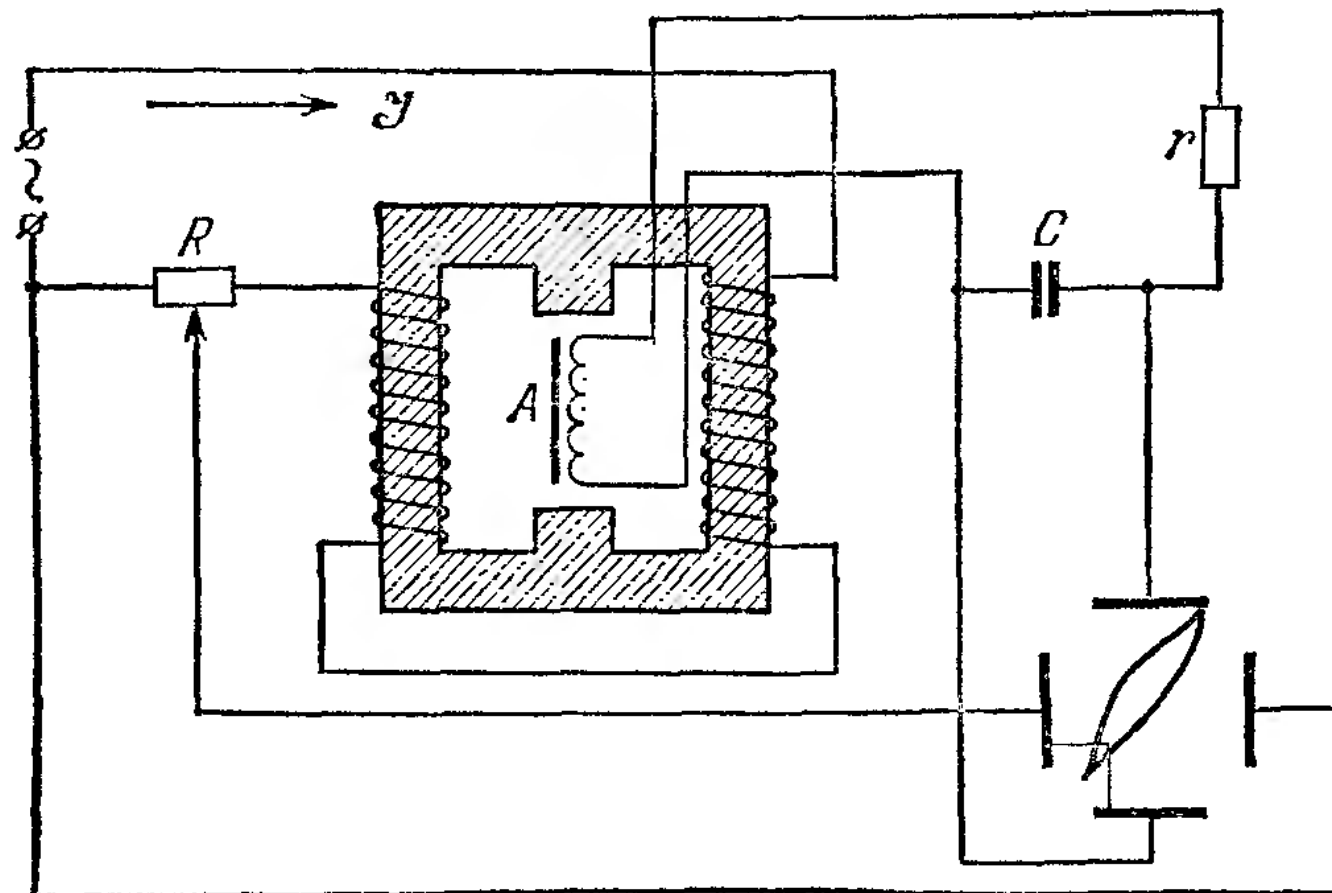
Кривые намагничивания Fe и Ni по различным направлениям монокристаллических образцов.

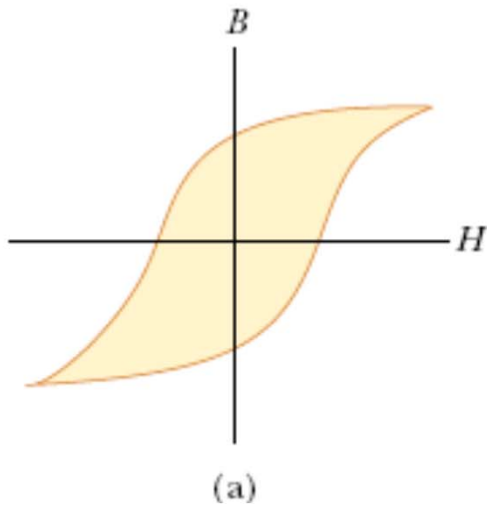
# Гистерезис намагничивания. Остаточная индукция и коэрцитивная сила.



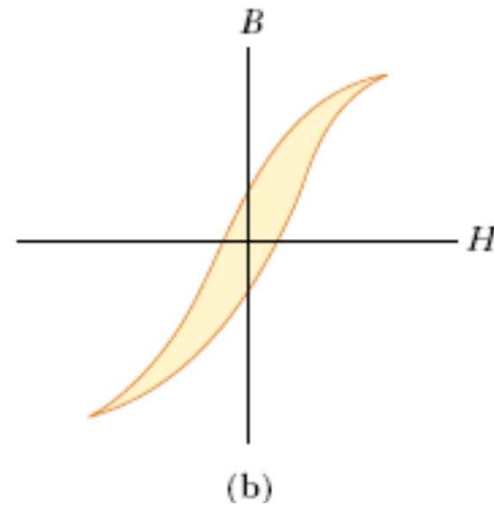
Зависимость  $B(H)$  или  $I(H)$   
неоднозначна и определяется  
предисторией намагничивания.

# Схема установки для наблюдения петли гистерезиса.

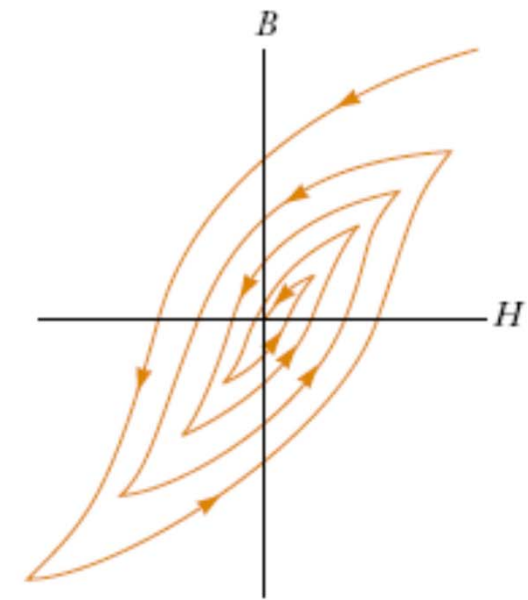




Если  $H_K \gg 1\text{A}/\text{см}$ , жесткий  
ферромагнетик

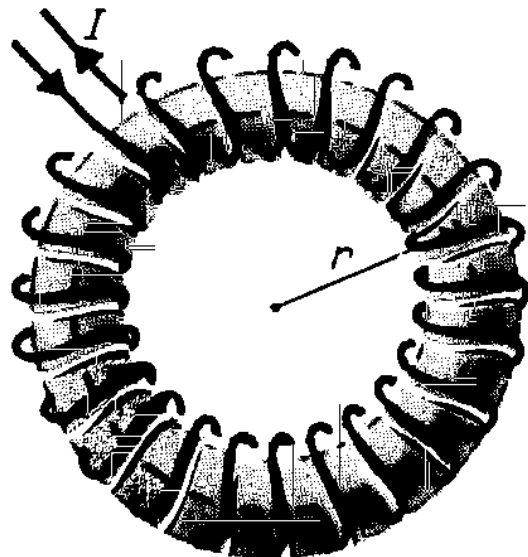


Если  $H_K < 1\text{A}/\text{см}$ , мягкий  
ферромагнетик



**Способ  
размагничивания**

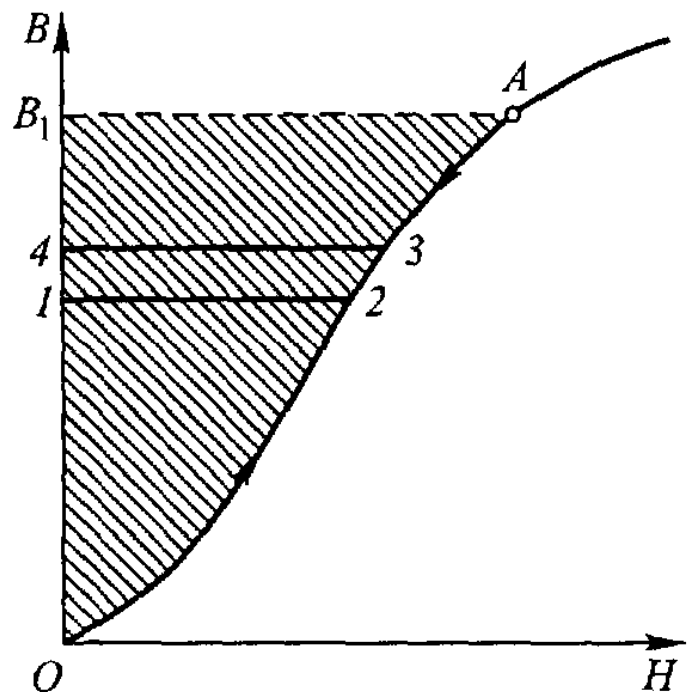
# Работа при намагничивании ферромагнетика.



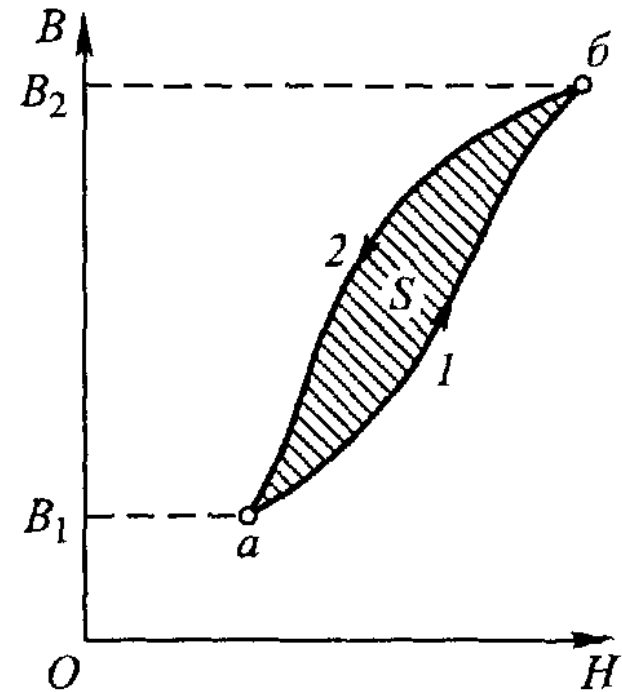
Пусть тороид заполнен ферромагнетиком. При увеличении тока в обмотке на  $dI$  возникает ЭДС самоиндукции, против которой ток совершает работу  $dA = -Idt\mathcal{E}^{инд} = Id\Phi$ , где  $\Phi = BNS$ ,  $N$  - число витков. По теореме о циркуляции вектор  $\vec{H}$  имеем  $H2\pi r = NI$ . Находим

$$dW = dA = \frac{H2\pi r}{N} NS dB = H dB \underbrace{2\pi r S}_V.$$

Таким образом, работа  $dw$ , необходимая для увеличения индукции на  $d\vec{B}$  в единице объема, равна  $dw = \vec{H} d\vec{B} = \mu_0 \vec{H} d(\vec{H} + \vec{I}) = \mu_0 \vec{H} d\vec{H} + \underbrace{\mu_0 \vec{H} d\vec{I}}_{\substack{\text{плотность} \\ \text{энергии} \\ \text{намагничивания}}} .$

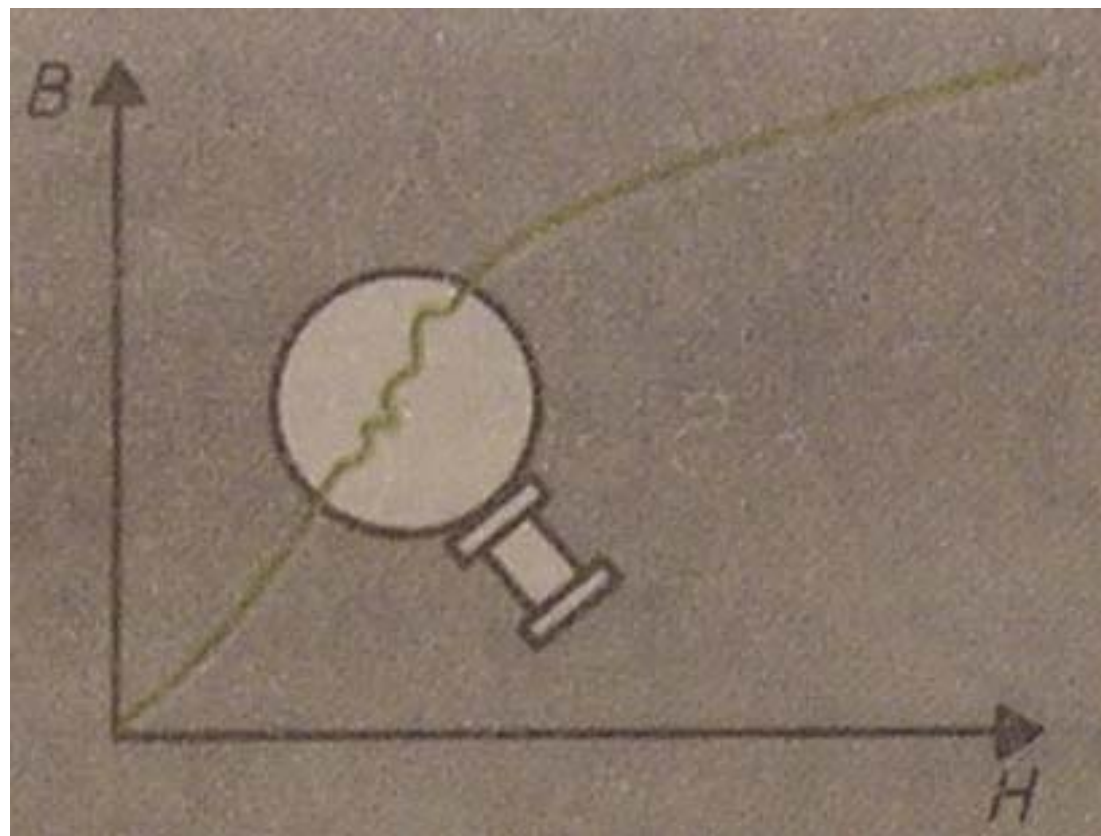


Работа намагничивания  
магнетика без гистерезиса



Работа при циклическом перемагничивании пропорциональна площади петли гистерезиса

# Эффект Баркгаузена (1919).



# Спонтанная намагниченность и температура Кюри.

Исследования показали, что даже в отсутствии внешнего магнитного поля ферромагнитик разбит на микроскопические области (домены), в которых ферромагнетик спонтанно намагначен до насыщения.

Спонтанная намагниченность ферромагнетика обусловлена ориентацией собственных магнитных моментов электронов ( $\Gamma = -e/m$ ).

Ферромагнитное упорядочение существует только при температурах меньшей некоторого критического значения  $T_K$ . При  $T > T_K$ , ферромагнитное упорядочение пропадает и ферромагнети превращается в парамагнетик. Зависимость магнитной проницаемости от температуры для таких парамагнетиков подчиняется закону Кюри-Вейса

$$\chi = \frac{C}{T - T_K}.$$

# Температура Кюри некоторых ферромагнетиков

Вещество	$T_K, ^\circ\text{C}$	Вещество	$T_K, ^\circ\text{C}$
Кобальт	1150	Никель	360
Железо	770	30 %-ный пермаллой	70
78 %-ный пермаллой (сплав 22 % Fe, 78 % Ni)	550	Гадолиний	17

Механизм ориентации спинов ферромагнетика объясняет квантовая теория взаимодействия заряженных частиц (электронов) со спином  $\hbar/2$  находящихся на незаполненных d-оболочках атомов ферромагнетика

$$W = -A \cdot \vec{S}_1 \vec{S}_2,$$

где  $A$  - обменная константа (интеграл). Если  $A > 0$ , то спинам энергетически выгодно ориентироваться параллельно (ферромагнитное упорядочение). Если  $A < 0$ , то выгодно антипараллельная ориентация (антиферромагнитное упорядочение).

Таким образом, ферромагнитное упорядочение обусловлено сильным обменным взаимодействием электронов атомов с нескомпенсированными спинами и имеет немагнитное происхождения. (Дорфман 1927)

Первая теория ферромагнетизма была разработана Вейсом в 1907 году по аналогии с теорией парамагнетизма Ланжевена, в которой дополнительно к микроскопическому полю добавлено гипотетическое "молекулярное поле"

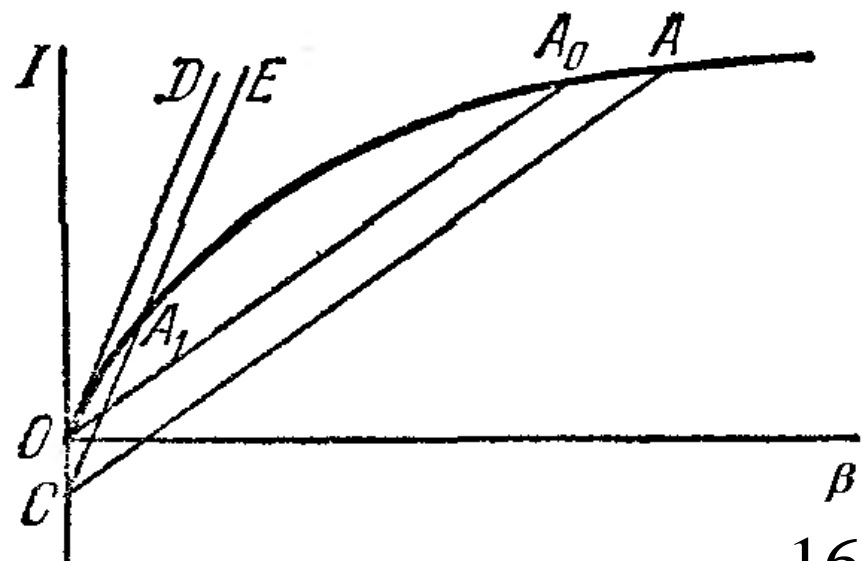
$$\vec{B}_{\text{эфф}} = \mu_0(\vec{H} + b\vec{I}),$$

где  $b$  - постоянная Вейса. Тогда для формулы Ланжевена получим

$$I = I_s L(\beta), \text{ где } I_s = np_m, \beta = \frac{p_m B_{\text{эфф}}}{K_B T}; \Rightarrow I = \frac{K_B T n}{I_s b \mu_0} \beta - \frac{H}{b}.$$

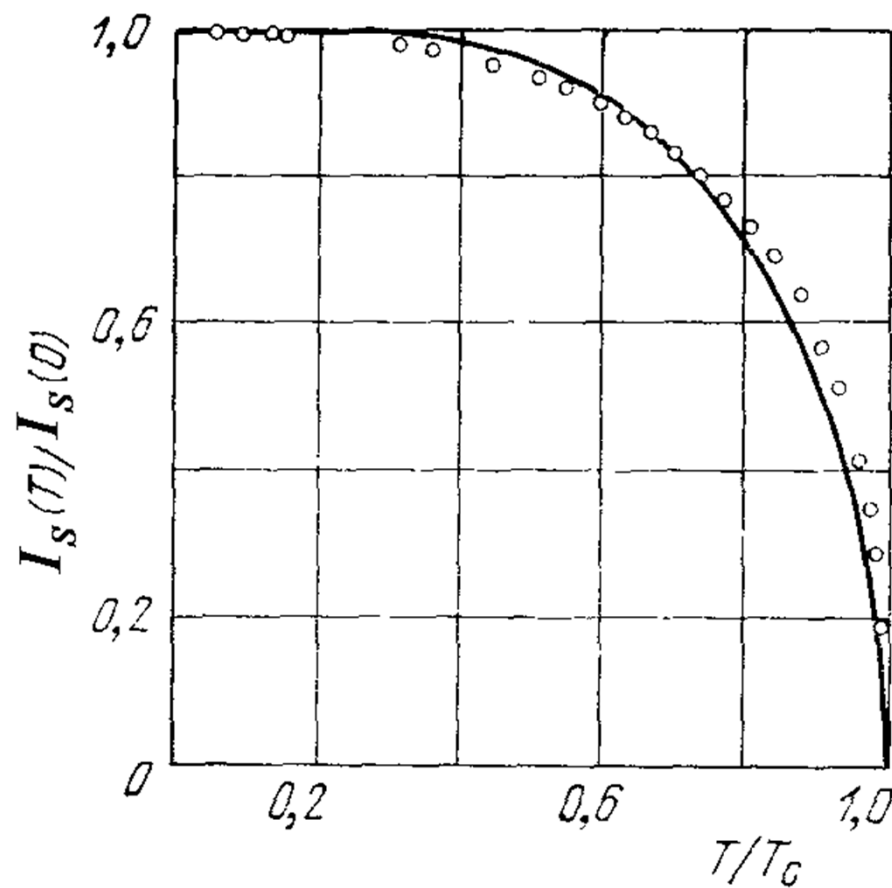
$$I = I_s L(\beta),$$

$$I = \frac{K_B T n}{I_s b \mu_0} \beta - \frac{H}{b}.$$



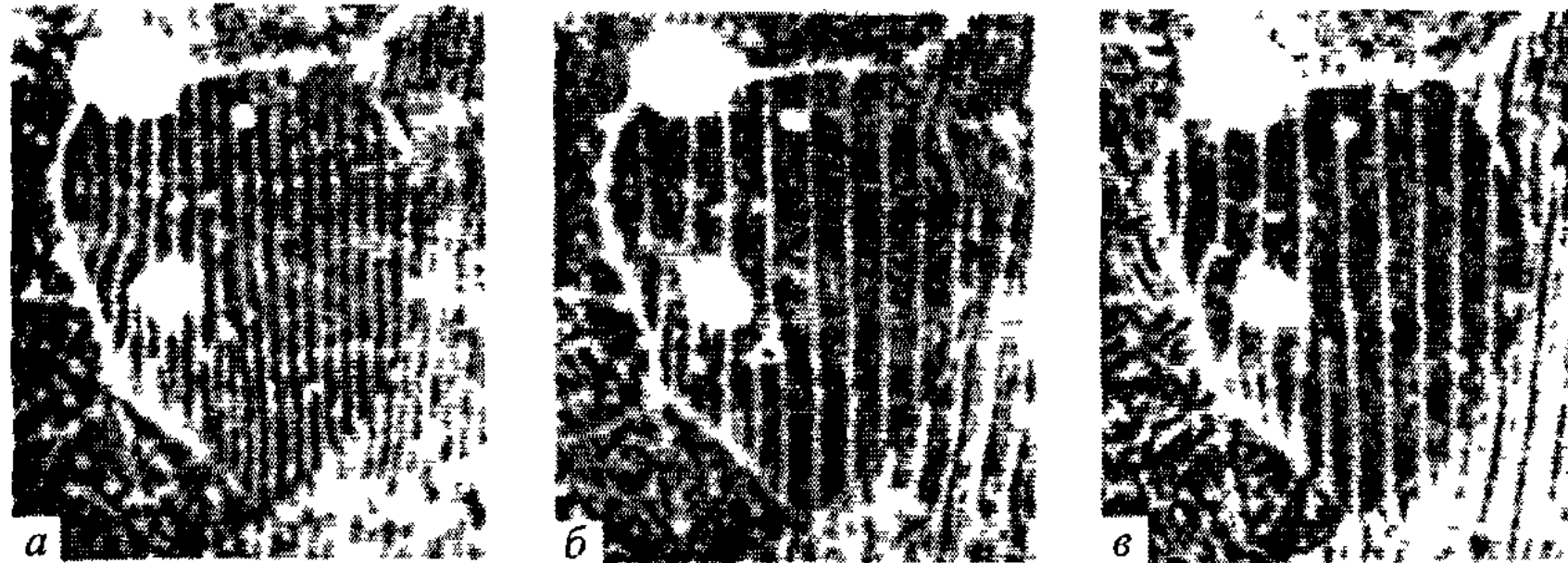
Наклон кривой  $OD$  определяет критическую температуру ферромагнитного упорядочения (фазовый переход 2-го рода).

Намагниченность насыщения ферромагнетика зависит от температуры

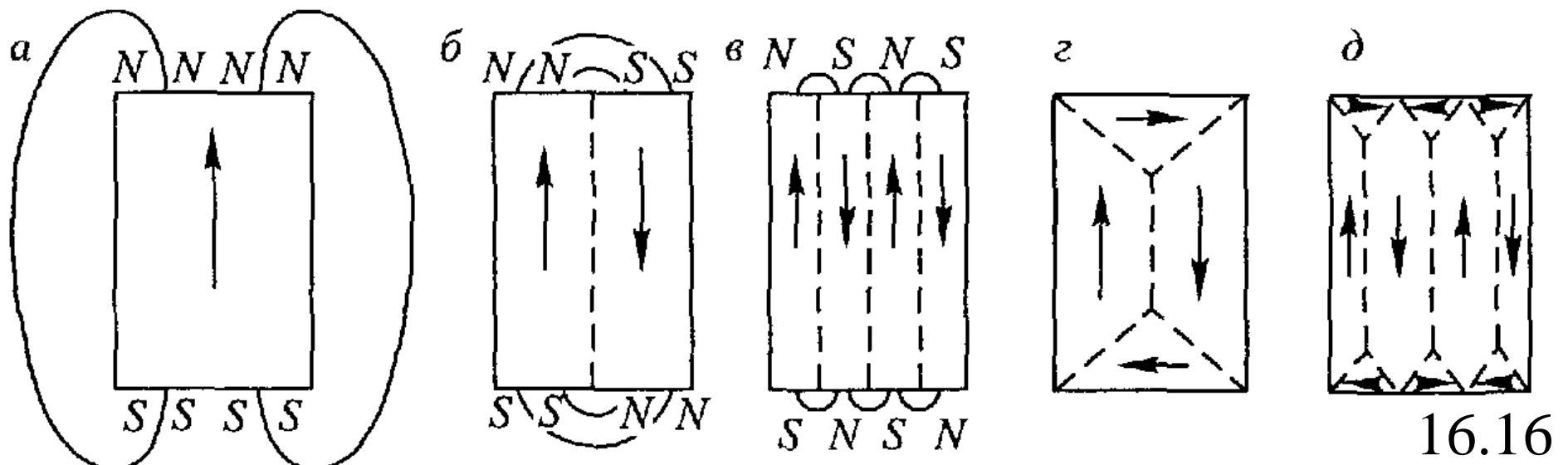


Намагниченность насыщения никеля как функция температуры. Сплошная кривая - теоретическая, построенная на  $L_{1/2}(x)$ .

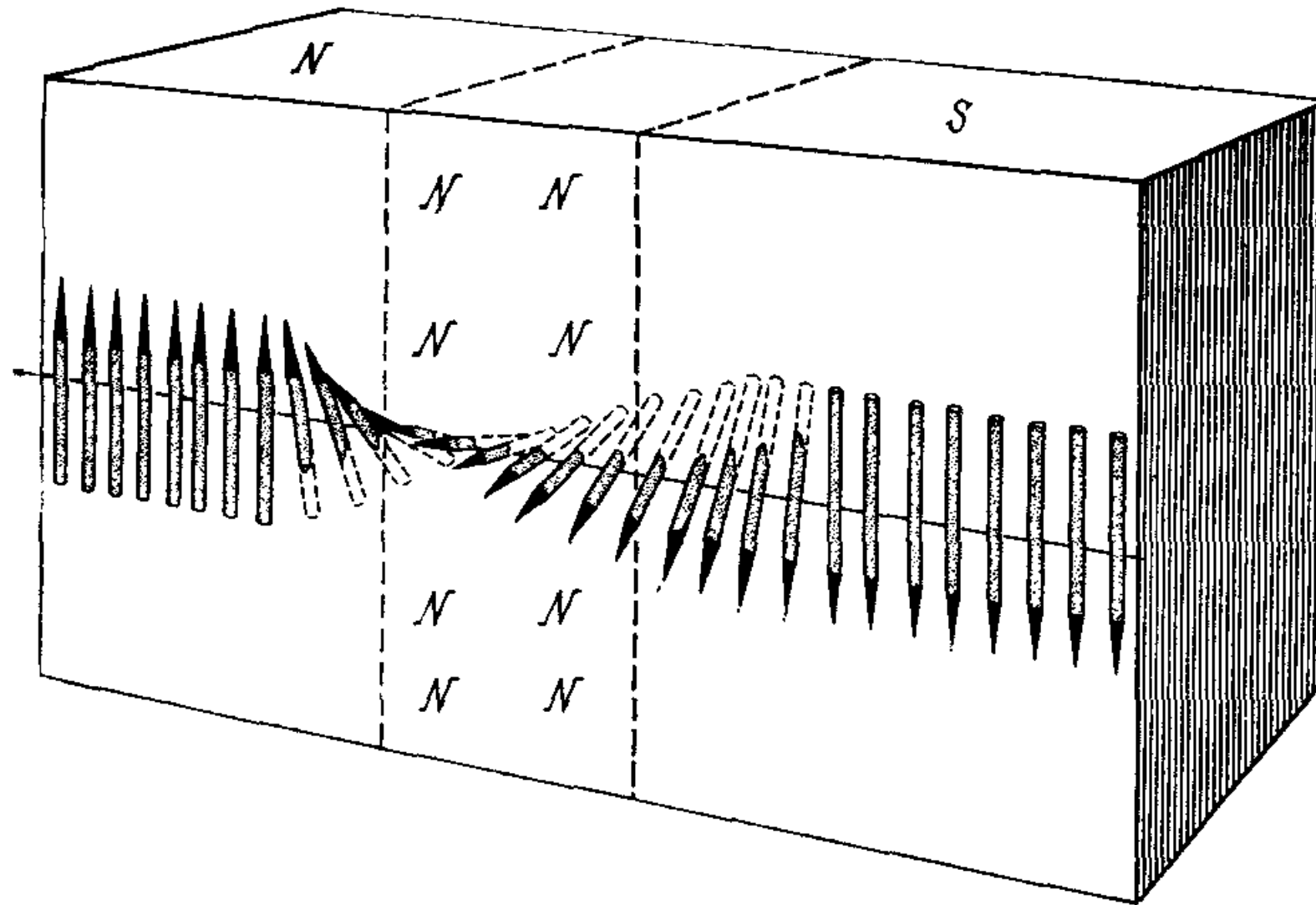
## Ферромагнитные домены в кремнистой стали.



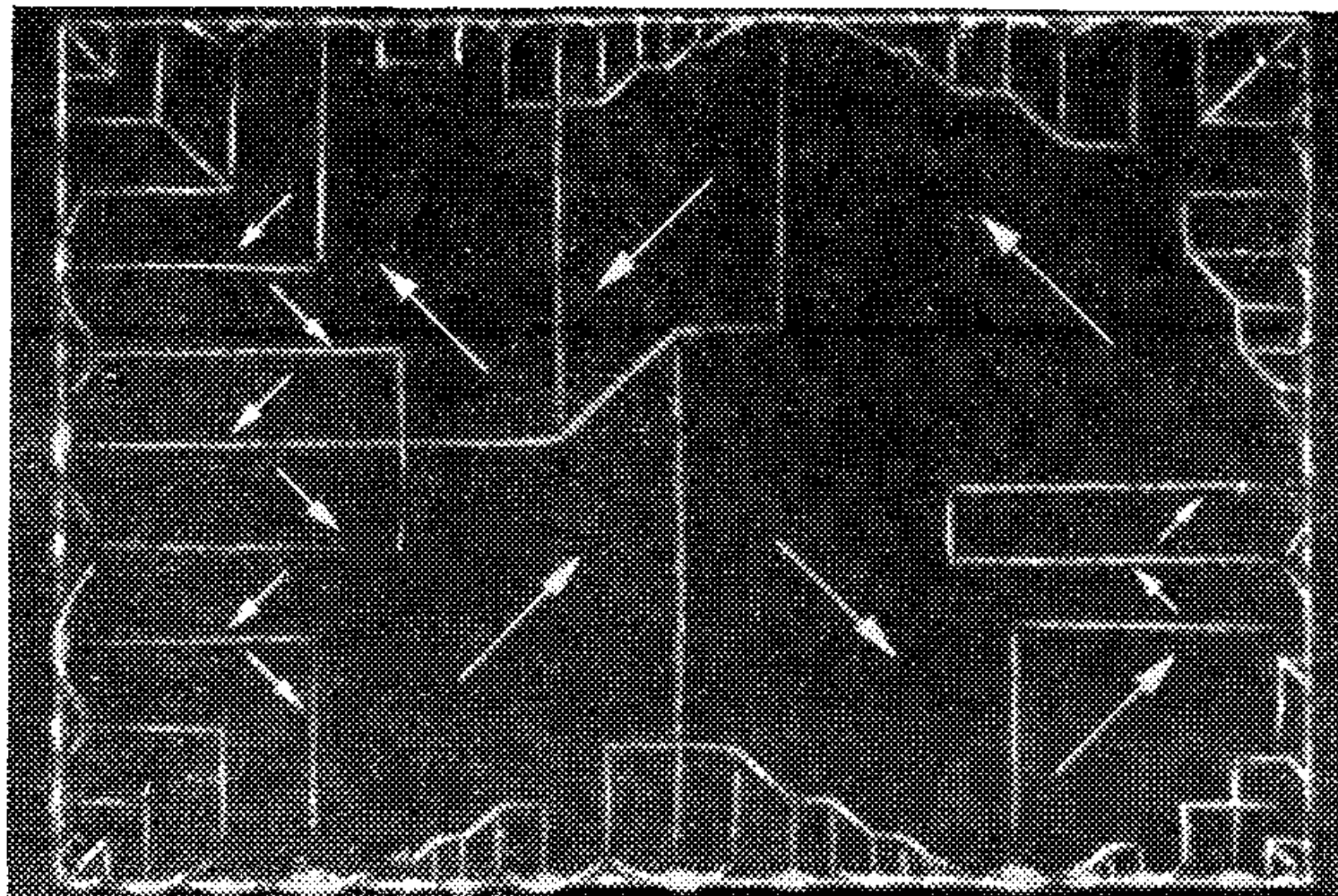
## Механизм возникновения доменов

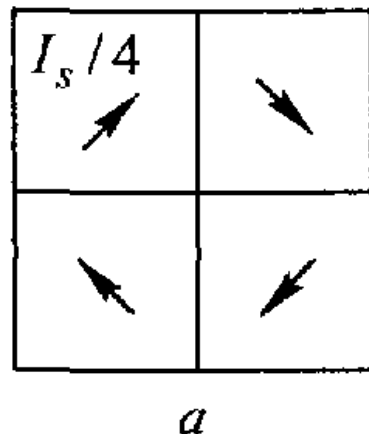


# Доменная граница(стенка) Блоха

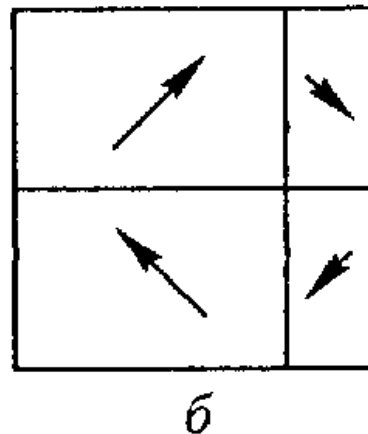


Доменная структура на поверхности  
моноцирсталической никелевой пластины

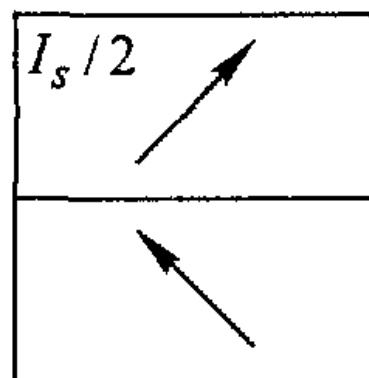




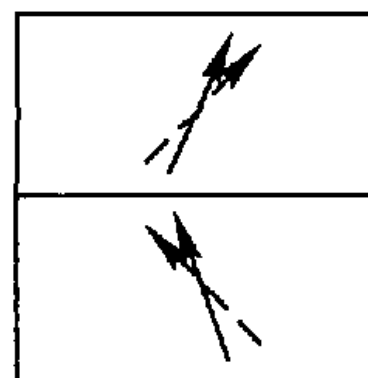
*a*



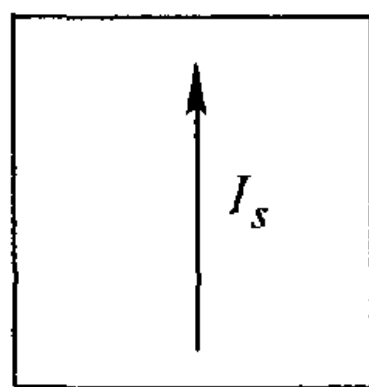
*b*



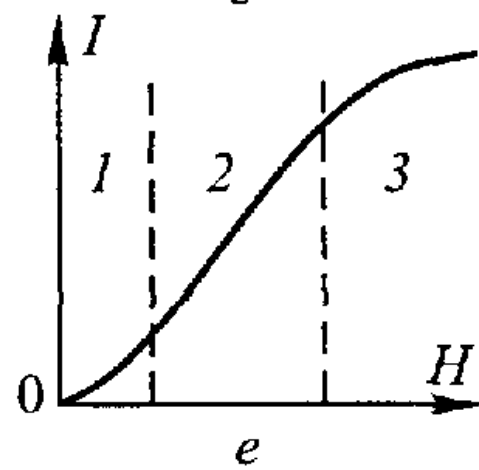
*c*



*d*



*e*

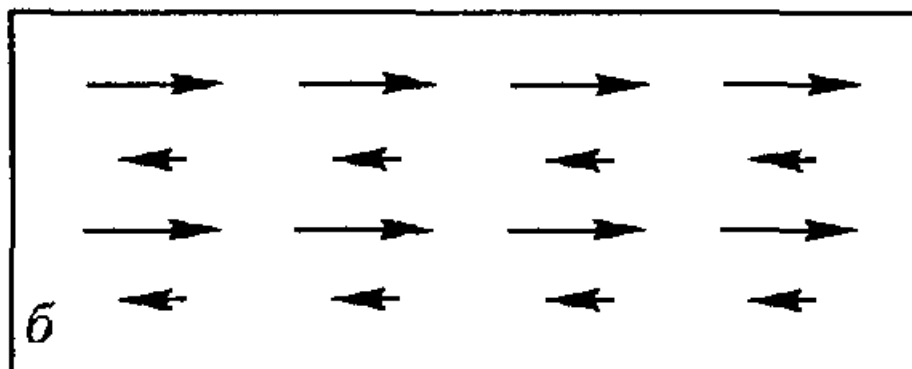
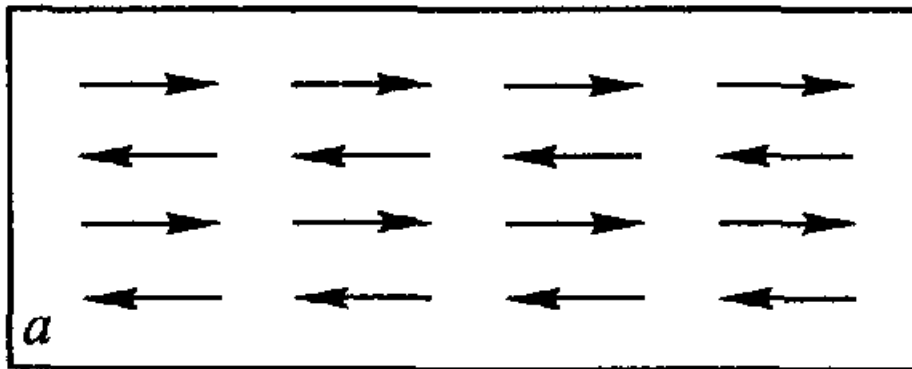


Различные типы процессов

намагничивания ферромагнетика:

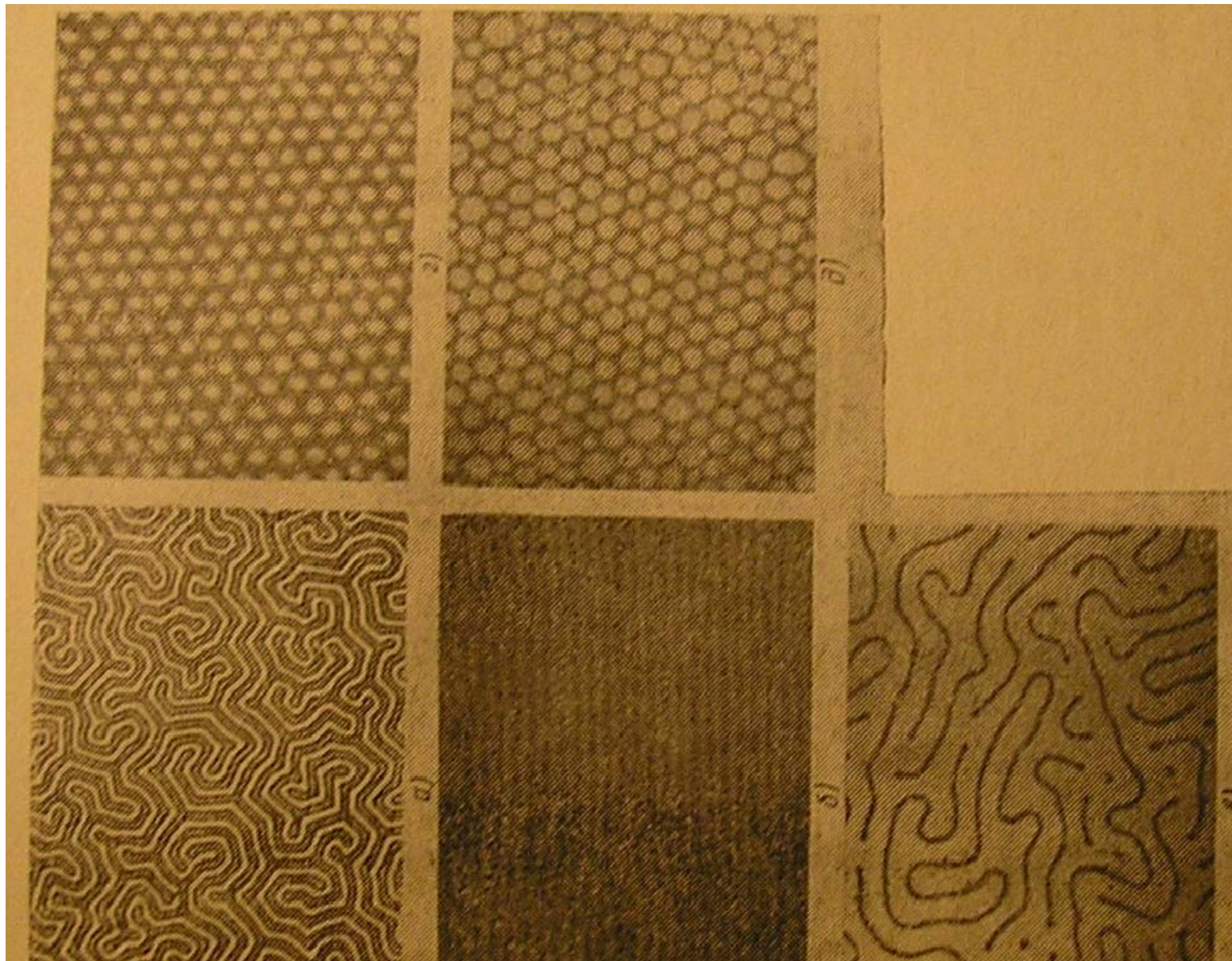
$\uparrow$   
*a – в)* смещение границ, *г)* намагничивание вращения, *д)* намагничивание насыщения; участок 1 - обратимое смещение ДГ, 2 - исчезновение невыгодных доменов, 3 - вращение намагниченности внутри домена.

# Антиферромагнетики. Ферриты. Суперпарамагнетики.



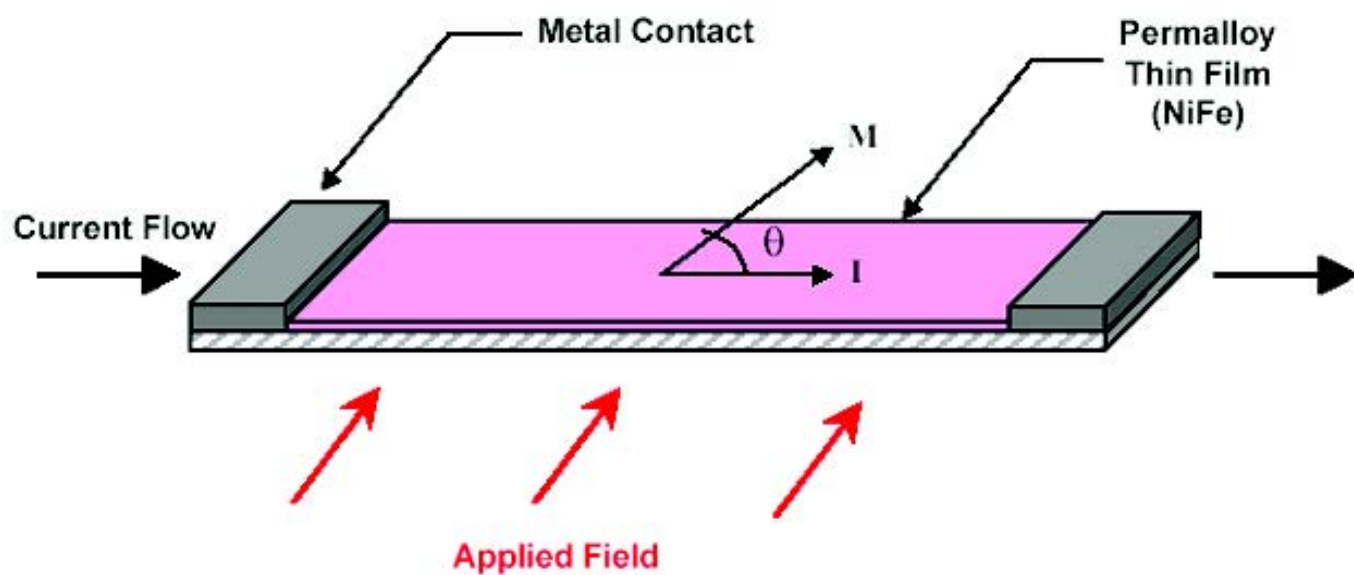
Ферриты - обладают большим удельным сопротивлением, то есть являются магнитными полупроводниками. Находят важное применение в радиотехнике СВЧ. Ферриты-гранаты являются магнитными диэлектриками. Прозрачны для света.

# Доменная структура тонких магнитоодносных пластин ЖИГ с силной анизотропией



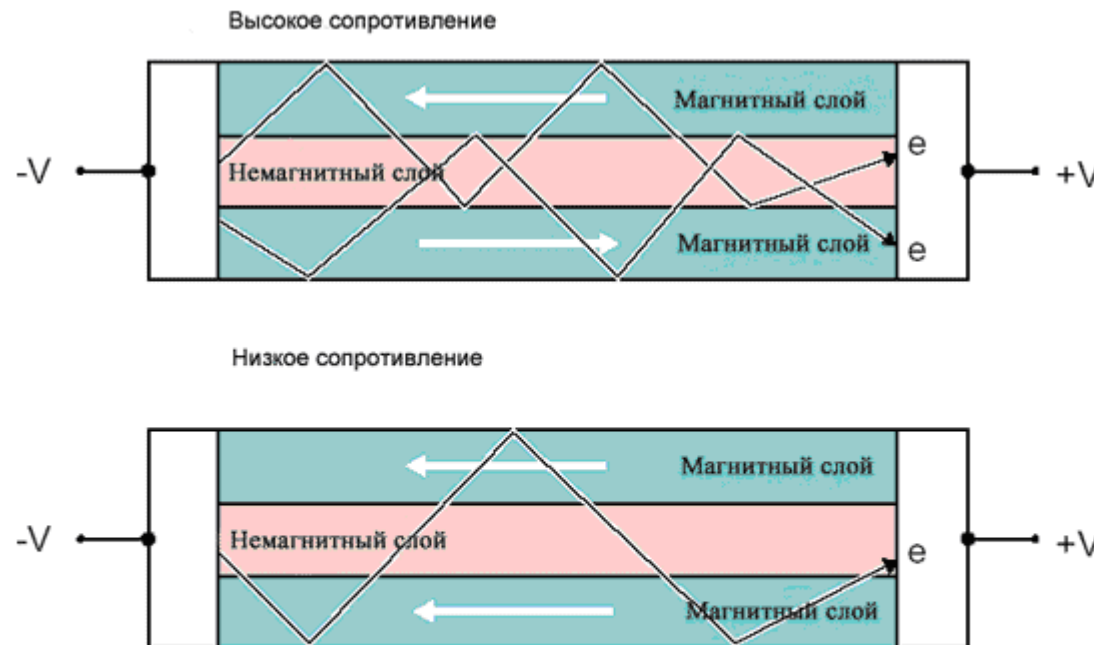
16.21

# Анизотропный магниторезистивный эффект



$$\Delta R = \frac{\Delta \rho}{\rho} R \cos^2 \theta$$

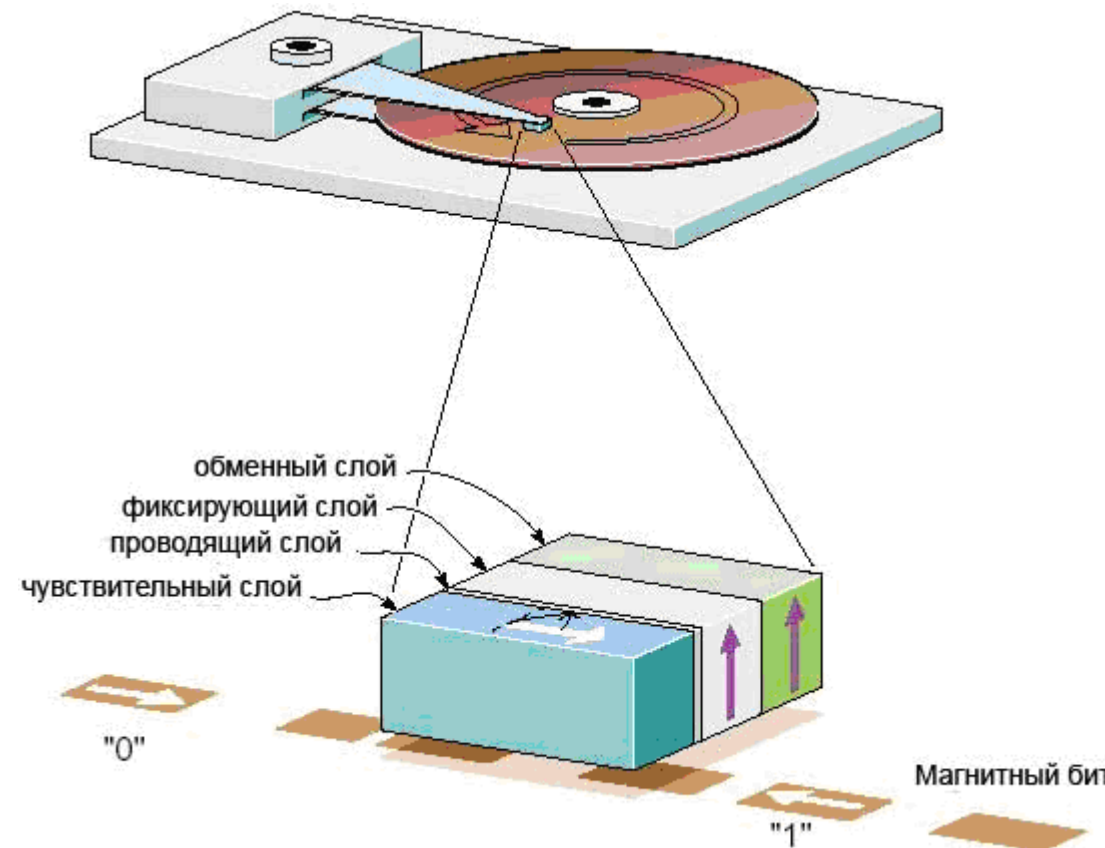
# Гигантский магниторезистивный (ГМР) эффект. Спинtronика.



# ГМР датчик.

Альберт Ферт ( Albert Fert ) и Петер Грюнберг ( Peter Grunberg )

Нобелевская премия 2007 год.



# Лекция 17.

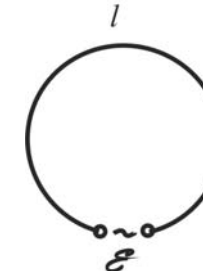
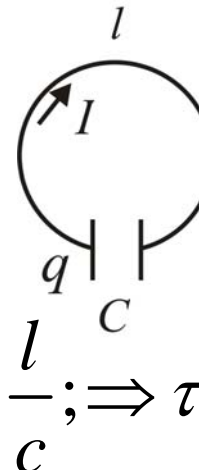
- Квазистационарные поля. Критерий квазистационарности. Переходные процессы в RC- и RL-цепях.
- Электромагнитные колебания. Колебательный контур. Собственные колебания в контуре. Уравнение гармонических колебаний.
- Энергия гармонических колебаний. Затухающие колебания в контуре и их уравнение. Показатель затухания. Время релаксации. Логарифмический декремент затухания. Добротность контура.
- Колебания в связанных контурах. Парциальные колебания и их частоты. Нормальные колебания (моды) и их частоты.

# Квазистационарные поля.

## Критерий квазистационарности.

- В квазистационарном приближении полагается, что в рассматриваемой электродинамической системе все распределенные в пространстве заряды, токи и поля изменяются синхронно и мгновенно. То есть в каждый момент времени нестационарные заряды и токи порождают электрическое и магнитное поле соответствующее эквивалентным стационарным зарядам и токам.

Критерий квазистационарности.



$$\tau \sim \frac{l}{c}; \Rightarrow \tau \ll T. T_c = \lambda -$$

излучаемой волны.  $\Rightarrow l \ll \lambda$ .

Если  $l = 1\text{ km} = 10^3\text{ m}$ , то  $\tau = \frac{10^3\text{ m}}{3 \cdot 10^8\text{ m/c}} = \frac{1}{3} 10^{-5}\text{ c}$ .  $\nu = \frac{1}{T} \ll 10^5\text{ Гц} = 100\text{ кГц}$ .

Если  $l = 100\text{ m}$ , то  $\tau = \frac{10^2\text{ m}}{3 \cdot 10^8\text{ m/c}} = \frac{1}{3} 10^{-6}\text{ c}$ .  $\nu = \frac{1}{T} \ll 10^6\text{ Гц} = 1\text{ МГц}$ .

Микропроцессор  $l = 1\text{ cm}$ .  $\Rightarrow \nu_0 = 1/\tau = c/l \sim 10\text{ ГГц}$ .

Близок к пределу  
квазистационарности

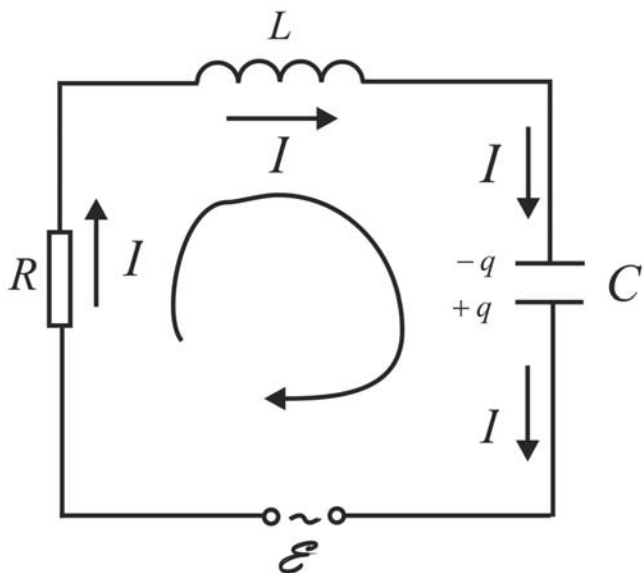
# Уравнение колебательного контура в квазистационарном приближении.

Пусть  $q$  – заряд первой пластины конденсатора, встречающейся при положительном обходе контура. Тогда напряжение  $U_c = q / c$  и ток в контуре  $I = dq / dt$  будут иметь правильный знак.

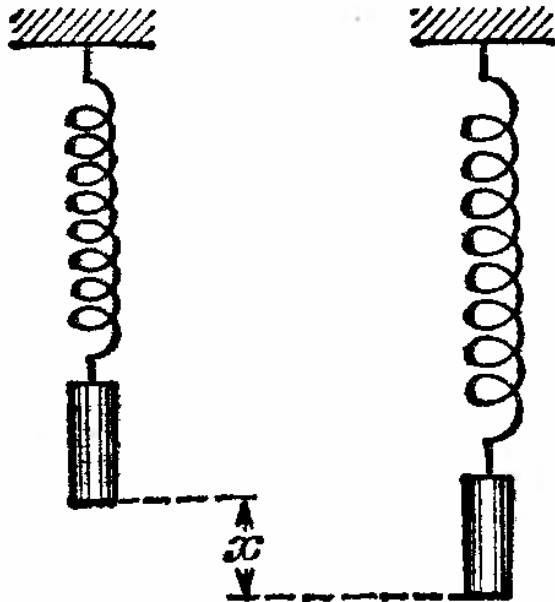
Согласно правилу Кирхгофа, имеем

$$IR + \underbrace{U_c}_{q/c} = \underbrace{\mathcal{E}_{\text{самоинд.}}}_{-LdI/dt} + \mathcal{E},$$

$$L \frac{d^2q}{dt^2} + R \frac{dq}{dt} + \frac{q}{c} = \mathcal{E}.$$



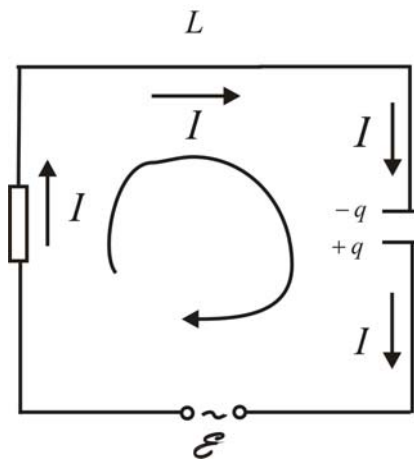
# Механическая аналогия



$$m \frac{d^2 x}{dt^2} = -kx - \mu v_x + F,$$

$$m \frac{d^2 x}{dt^2} + \mu \frac{dx}{dt} + kx = F.$$

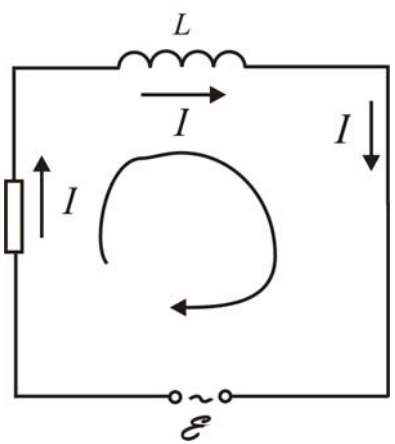
# Переходные процессы в RC- и RL-цепях.



$$R \frac{dq}{dt} + \frac{q}{c} = \mathcal{E}, \Rightarrow R c \frac{dq}{dt} = c \mathcal{E} - q, \Rightarrow \frac{dq}{c \mathcal{E} - q} = \frac{dt}{R c}.$$

$$\ln |c \mathcal{E} - q| = -\frac{t}{R c} + \text{const.} \text{ При } t = 0 \text{ const} = \ln |c \mathcal{E}|,$$

$$c \mathcal{E} - q = c \mathcal{E} \cdot e^{-\frac{t}{R c}}; \Rightarrow q = c \mathcal{E} \left(1 - e^{-\frac{t}{R c}}\right).$$

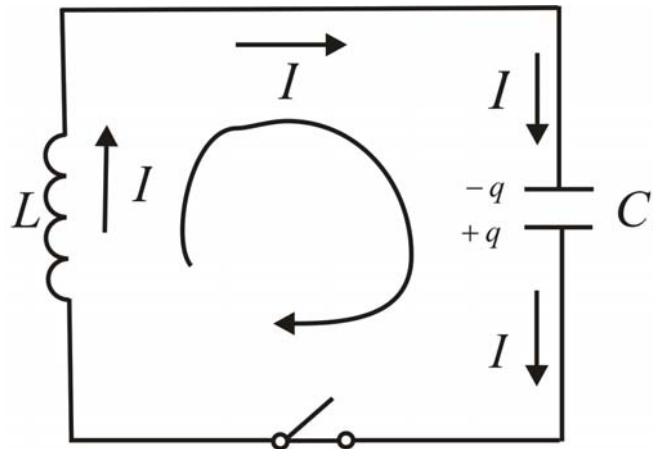


$$L \frac{d^2 q}{dt^2} + R \frac{dq}{dt} = \mathcal{E}; \Rightarrow L \frac{dI}{dt} + RI = \mathcal{E};$$

$$c \rightarrow \frac{1}{R}; \quad R \rightarrow L; \quad q \rightarrow I.$$

$$I = \frac{1}{R} \mathcal{E} \left(1 - e^{-\frac{R t}{L}}\right).$$

# Электромагнитные колебания. Колебательный контур. Собственные колебания в контуре. Уравнение гармонических колебаний.



$$L \frac{d^2 q}{dt^2} + \frac{q}{c} = 0; \Rightarrow \frac{d^2 q}{dt^2} + \underbrace{\frac{1}{Lc}}_{\omega_0^2} q = 0.$$

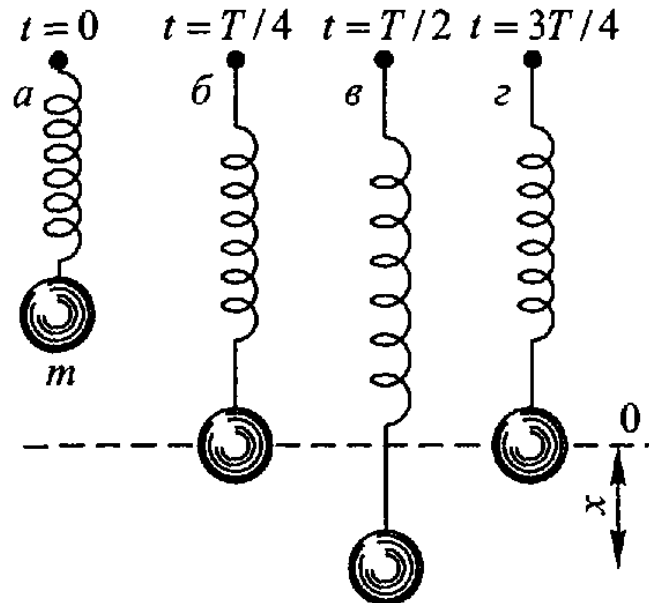
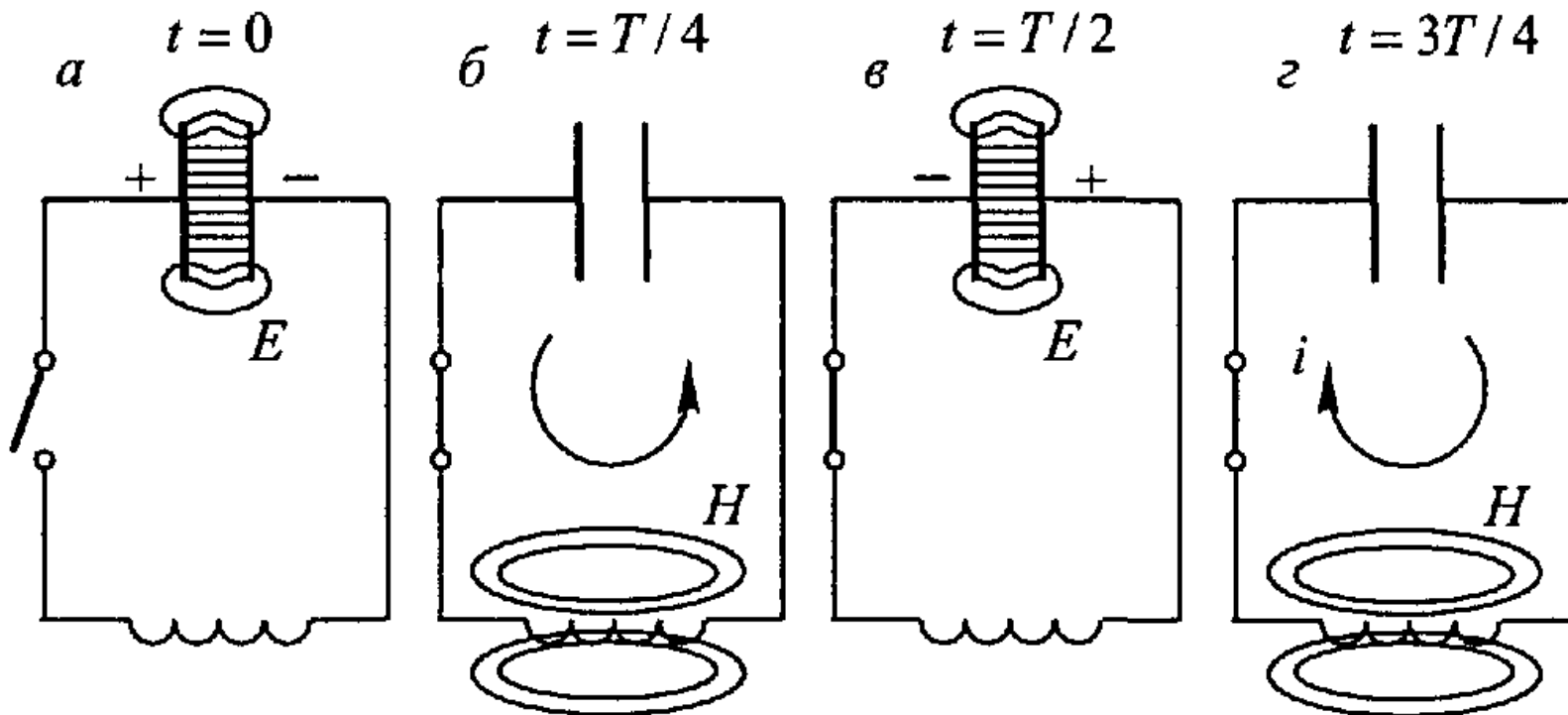
$$\ddot{q} + \omega_0^2 q = 0, \text{ где } \omega_0 = \frac{1}{\sqrt{Lc}}.$$

$$q = A \sin \omega_0 t + B \cos \omega_0 t = a \cos(\omega_0 t + \varphi_0), I = \dot{q} = -a \omega_0 \sin(\omega_0 t + \varphi_0),$$

где  $a = \sqrt{A^2 + B^2}$ ,  $\operatorname{tg} \varphi_0 = -\frac{A}{B}$ . Начальные условия: при  $t = 0$ ,  $q_0, I_0$ .

В частности, если при  $t = 0, q = q_0, I = I_0 = 0$ , то  $A = 0, B = q_0$ ;  $\Rightarrow$

$$q = q_0 \cos \omega_0 t, \quad I = -\omega_0 q_0 \sin \omega_0 t. \quad W_c = \frac{q^2}{2c}, \quad W_I = W_L = \frac{LI^2}{2}.$$



$$q = q_0 \cos \omega_0 t,$$

$$I = -\omega_0 q_0 \sin \omega_0 t.$$

$$x = x_0 \cos \omega_0 t,$$

$$v_x = \dot{x} = -\omega_0 x_0 \sin \omega_0 t.$$

# Энергия гармонических колебаний.

$$I \cdot \left| L \frac{dI}{dt} + \frac{q}{c} = 0, \Rightarrow L \frac{d}{dt} \frac{I^2}{2} + \frac{dq}{dt} \frac{q}{c} = 0, \Rightarrow \frac{d}{dt} \left( \underbrace{\frac{LI^2}{2}}_{W_L} + \underbrace{\frac{q^2}{2c}}_{W_c} \right) = 0. \Rightarrow \right.$$

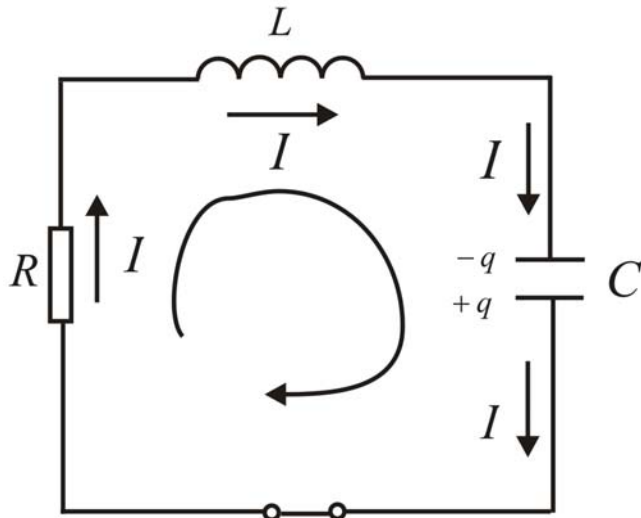
$$\left. \Rightarrow \underbrace{\frac{LI^2}{2}}_{W_L} + \underbrace{\frac{q^2}{2c}}_{W_c} = const. \right.$$

$$W_L = \frac{LI^2}{2} = \frac{L}{2} a^2 \omega_0^2 \sin^2(\omega_0 t + \varphi_0) = \frac{a^2}{2c} \frac{1}{2} (1 - \cos[2(\omega_0 t + \varphi_0)])$$

$$W_c = \frac{q^2}{2c} = \frac{a^2}{2c} \cos^2(\omega_0 t + \varphi_0) = \frac{a^2}{2c} \frac{1}{2} (1 + \cos[2(\omega_0 t + \varphi_0)])$$

$$\langle W_{L,c} \rangle = \frac{1}{T} \int_t^{t+T} W_{L,c} dt = \frac{a^2}{4c}; \Rightarrow \langle W_L \rangle = \langle W_c \rangle.$$

# Затухающие колебания в контуре и их уравнение.



$$L \frac{d^2 q}{dt^2} + R \frac{dq}{dt} + \frac{q}{c} = 0; \Rightarrow \frac{d^2 q}{dt^2} + 2 \underbrace{\frac{R}{2L}}_{\gamma} \frac{dq}{dt} + \underbrace{\frac{1}{Lc}}_{\omega_0^2} q = 0.$$

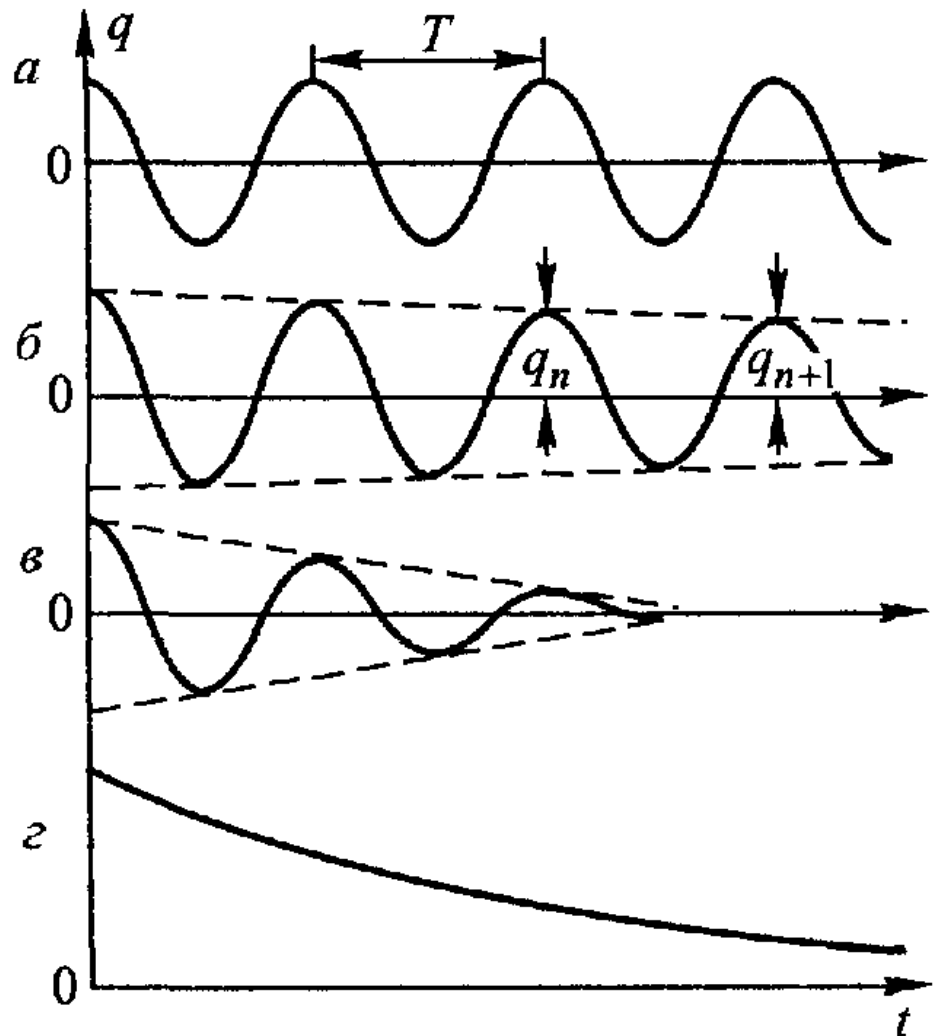
$$\ddot{q} + 2\gamma \dot{q} + \omega_0^2 q = 0, \quad q = \xi e^{-\gamma t}. \\ (q = uv, \dot{q} = \dot{u}v + u\dot{v}, \ddot{q} = \ddot{u}v + 2\dot{u}\dot{v} + u\ddot{v})$$

$$\ddot{\xi} e^{-\gamma t} - 2\dot{\xi}\gamma e^{-\gamma t} + \gamma^2 \xi e^{-\gamma t} + 2\gamma\xi e^{-\gamma t} - 2\gamma^2 \xi e^{-\gamma t} + \omega_0^2 \xi e^{-\gamma t} = 0,$$

$$\ddot{\xi} + (\omega_0^2 - \gamma^2)\xi = 0, \text{ если } \gamma < \omega_0, \text{ то } \ddot{\xi} + \omega_1^2 \xi = 0, \text{ где } \omega_1 = \sqrt{\omega_0^2 - \gamma^2}.$$

$$\xi = a_0 \cos(\omega_1 t + \varphi_0); \Rightarrow q = a_0 e^{-\gamma t} \cos(\omega_1 t + \varphi_0).$$

Если при  $t = 0, q = q_0, I = \dot{q} = 0$ , то  $\varphi_0 = 0, a_0 = q_0$ .



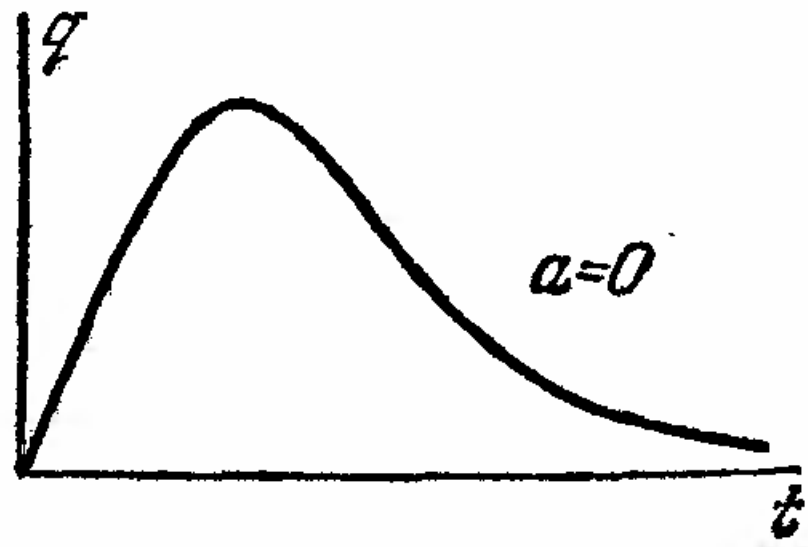
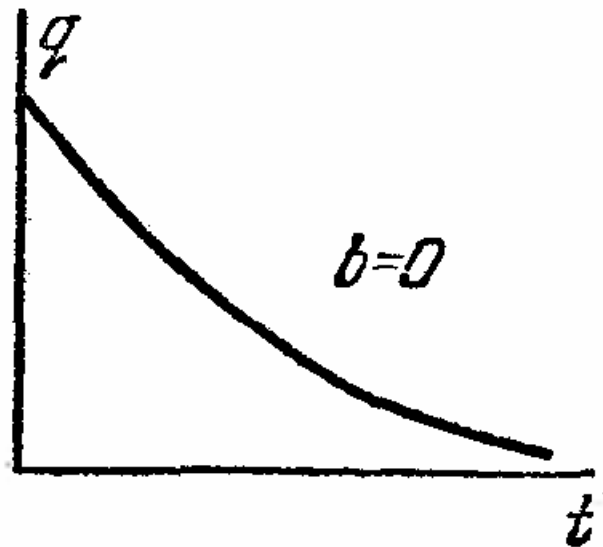
$$q = q_0 e^{-\gamma t} \cos(\omega_1 t).$$

Если  $\gamma > \omega_0$ , то  $\ddot{\xi} - (\gamma^2 - \omega_0^2)\xi = 0$ .

$$\xi = A e^{-\sqrt{\gamma^2 - \omega_0^2} \cdot t} + B e^{+\sqrt{\gamma^2 - \omega_0^2} \cdot t}, q = A e^{-(\gamma + \sqrt{\gamma^2 - \omega_0^2}) \cdot t} + B e^{-(\gamma - \sqrt{\gamma^2 - \omega_0^2}) \cdot t}.$$

Если  $\gamma = \omega_0$ , то  $\ddot{\xi} = 0$ ,  $\xi = (a + b \cdot t)$ ,

$$q = (a + b \cdot t)e^{-\gamma t}.$$



Показатель затухания (декремент затухания).

Время релаксации. Логарифмический декремент затухания. Добротность контура.

$a = a(t) = a_0 e^{-\gamma t}$  – амплитуда затухающих колебаний;

$\gamma = \frac{R}{2L}$  – декремент (показатель) затухания;

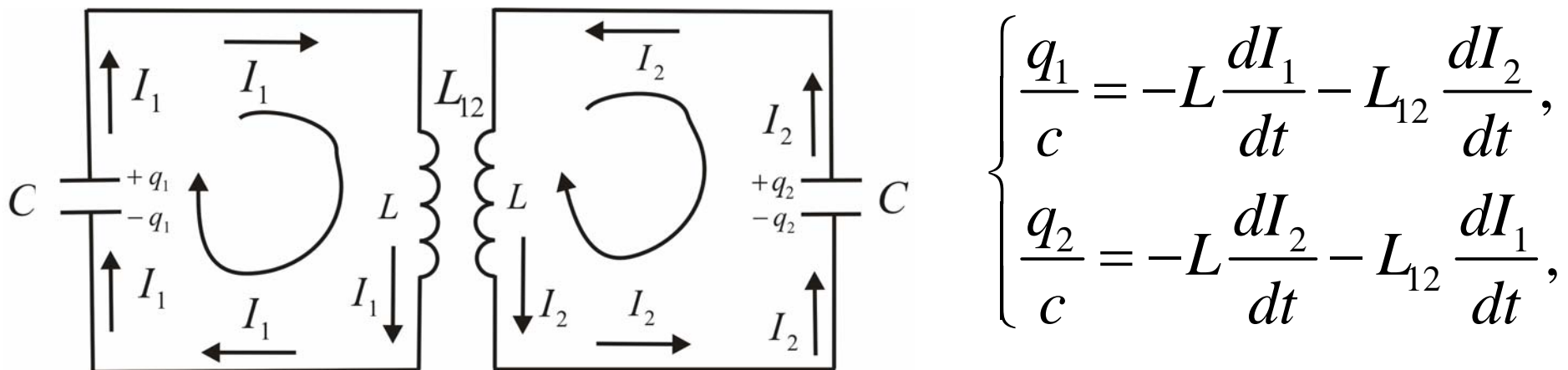
$\tau = \frac{1}{\gamma}$  – время релаксации, время за которое

амплитуда колебаний уменьшиться в  $e = 2,7$  раз.

$\theta = \ln \frac{a(t)}{a(t+T)} = \gamma T$  – логарифмический декремент затухания.

$Q = \frac{\pi}{\theta}$  – добротность колебательного контура.

# Колебания в связанных контурах. Парциальные колебания и их частоты. Нормальные колебания (моды) и их частоты.



$$\begin{cases} \frac{q_1}{c} = -L \frac{dI_1}{dt} - L_{12} \frac{dI_2}{dt}, \\ \frac{q_2}{c} = -L \frac{dI_2}{dt} - L_{12} \frac{dI_1}{dt}, \end{cases}$$

$$\left\{ \begin{array}{l} L \frac{d^2 I_1}{dt^2} + L_{12} \frac{d^2 I_2}{dt^2} + \frac{I_1}{c} = 0, \\ L \frac{d^2 I_2}{dt^2} + L_{12} \frac{d^2 I_1}{dt^2} + \frac{I_2}{c} = 0, \end{array} \right. \xrightarrow{\pm} \left\{ \begin{array}{l} (L + L_{12}) \frac{d^2}{dt^2} (I_1 + I_2) + \frac{1}{c} (I_1 + I_2) = 0, \\ (L - L_{12}) \frac{d^2}{dt^2} (I_1 - I_2) + \frac{1}{c} (I_1 - I_2) = 0, \end{array} \right.$$

$$\begin{cases} \frac{d^2}{dt^2}(I_1 + I_2) + \underbrace{\frac{1}{(L+L_{12})c}}_{\omega_1^2}(I_1 + I_2) = 0, & I_1 + I_2 = a_1 \cos(\omega_1 t + \varphi_1^0), \\ \frac{d^2}{dt^2}(I_1 - I_2) + \underbrace{\frac{1}{(L-L_{12})c}}_{\omega_2^2}(I_1 - I_2) = 0, & I_1 - I_2 = a_2 \cos(\omega_2 t + \varphi_2^0). \end{cases}$$

$$I_1 = \frac{a_1}{2} \cos(\omega_1 t + \varphi_1^0) + \frac{a_2}{2} \cos(\omega_2 t + \varphi_2^0),$$

$$I_2 = \frac{a_1}{2} \cos(\omega_1 t + \varphi_1^0) - \frac{a_2}{2} \cos(\omega_2 t + \varphi_2^0),$$

$$\omega_1 = \frac{1}{\sqrt{(L+L_{12})c}} \quad \text{и} \quad \omega_2 = \frac{1}{\sqrt{(L-L_{12})c}} \quad \text{— нормальные частоты.}$$

Парциальная частота - это частоты колебаний системы с  $N$  степенями свободы при фиксированных  $N - 1$  степенях.

В рассмотренном случае обе парциальные частоты совпадают и равны

$$\omega_{\pi_1} = \omega_{\pi_2} = \frac{1}{\sqrt{Lc}}.$$

Для нормальных и парциальных частот справедливо неравенство

$$\omega_1 < \omega_{\pi_1} \leq \omega_{\pi_2} < \omega_2.$$

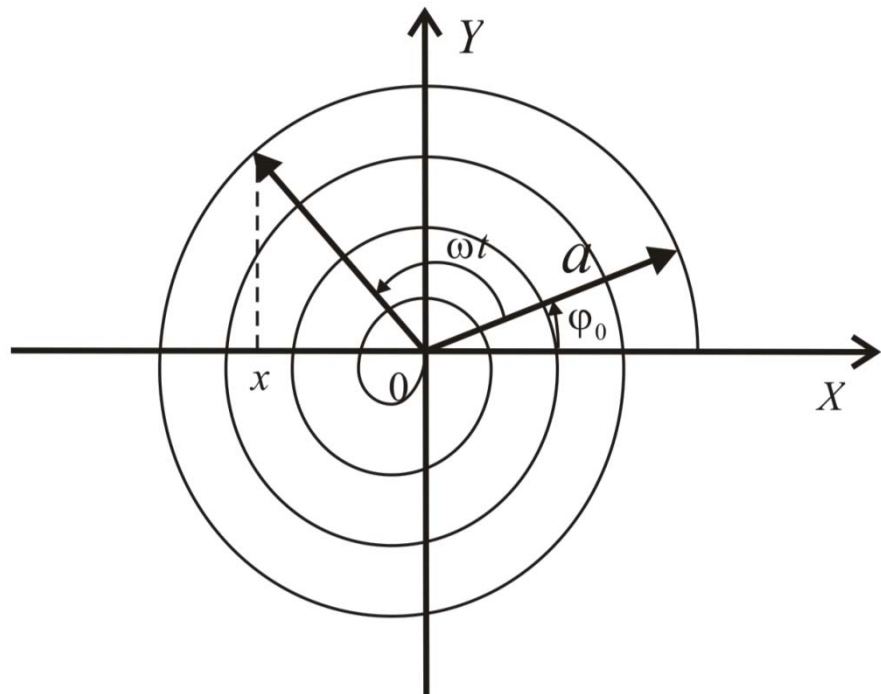
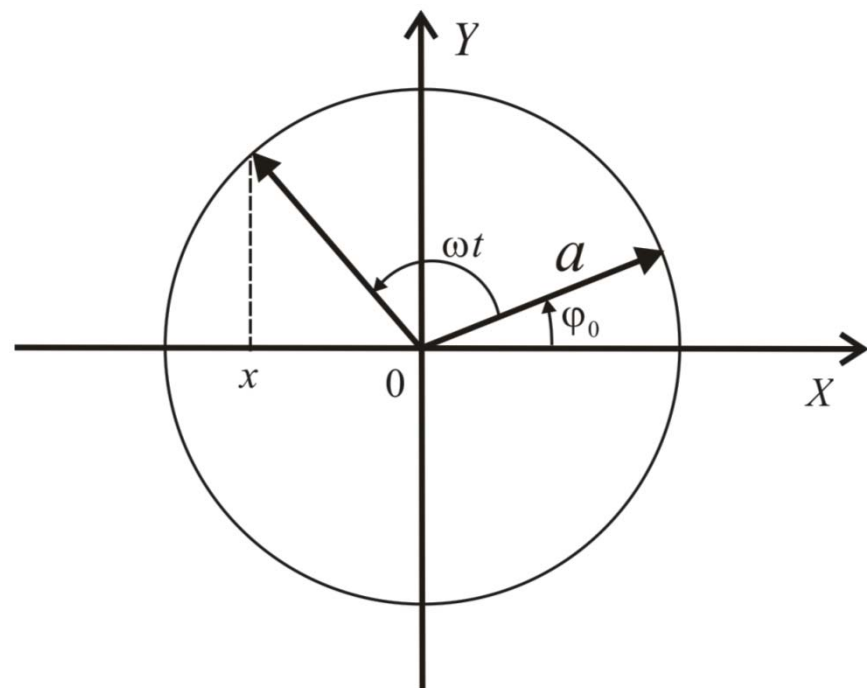
# Лекция 18.

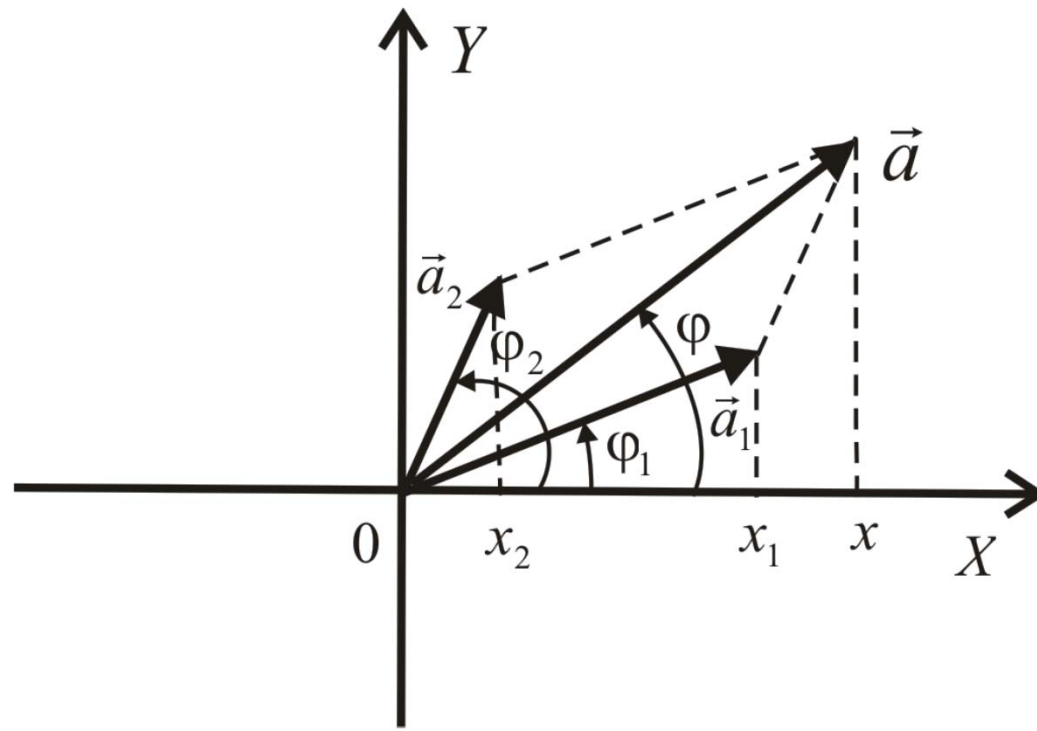
- Вынужденные колебания в контуре.  
Процесс установления вынужденных колебаний. Переменный синусоидальный ток. Активное, емкостное и индуктивное сопротивления. Импеданс. Закон Ома для цепей переменного тока. Метод векторных диаграмм и метод комплексных амплитуд.

# Метод векторных диаграмм.

$$x = \underbrace{a \cos(\omega t + \varphi_0)}_{\varphi}.$$

$$x = \underbrace{a_0 e^{-\gamma t}}_a \cos(\omega t + \varphi_0).$$





$$x_1 = a_1 \cos(\varphi_1), \quad \text{где} \quad \varphi_1 = \omega_1 t + \varphi_{1,0};$$

$$x_2 = a_2 \cos(\varphi_2), \quad \text{где} \quad \varphi_2 = \omega_2 t + \varphi_{2,0};$$

$$x = x_1 + x_2 = a \cos(\varphi).$$

# МЕТОД КОМПЛЕКСНЫХ АМПЛИТУД.

$$z = x + iy = \rho e^{i\varphi}, \text{ где } \rho = \sqrt{x^2 + y^2}; \quad \operatorname{tg} \varphi = \frac{y}{x}.$$

Формула Эйлера

$$e^{i\varphi} = \cos \varphi + i \sin \varphi; \Rightarrow z = \rho \cos \varphi + i \rho \sin \varphi.$$

Имеем

$$x = a \cos(\omega t + \varphi_0) = \operatorname{Re}[ae^{i(\omega t + \varphi_0)}].$$

$$z = ae^{i(\omega t + \varphi_0)} = a \cos(\omega t + \varphi_0) + ia \sin(\omega t + \varphi_0),$$

$$z = ae^{i(\omega t + \varphi_0)} = z = ae^{i\varphi_0} e^{i\omega t} = z_0 e^{i\omega t},$$

где  $z_0 = ae^{i\varphi_0}$  - комплексная амплитуда.

# Комплексная частота.

Пусть  $\omega = \omega' + i\omega''$ , тогда

$$z = z_0 e^{i\omega t} = z_0 e^{i(\omega' + i\omega'')t} = z_0 e^{-\omega''t} \cdot e^{i\omega't},$$

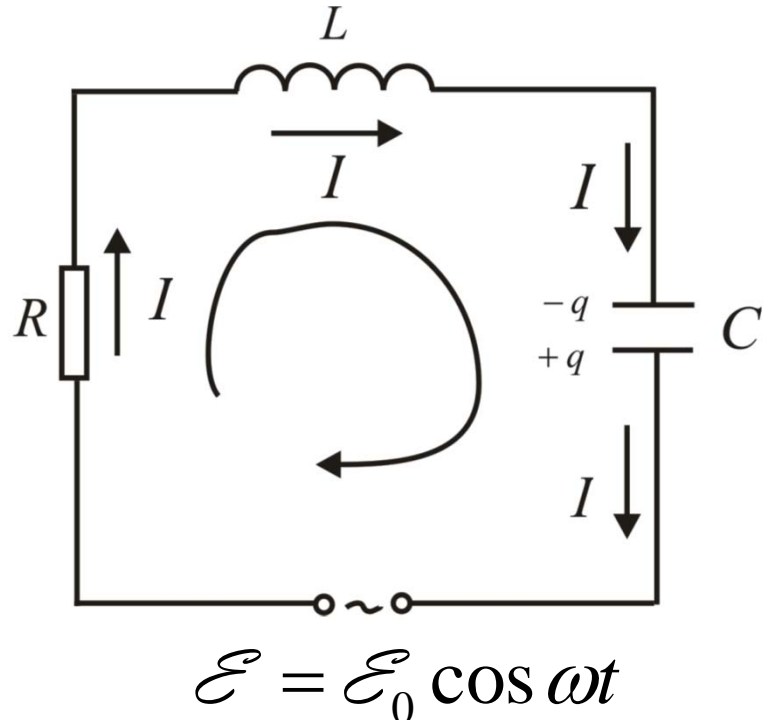
где  $z_0 = a_0 e^{i\varphi_0}$  – комплексная амплитуда.

Если  $\operatorname{Im} \omega = \omega'' = \gamma$  - декремент затухания,

$$\text{то } x = \operatorname{Re} z = \operatorname{Re}[a_0 e^{-\gamma t} e^{i(\omega't + \varphi_0)}] =$$

$a_0 e^{-\gamma t} \cos(\omega't + \varphi_0)$  – затухающие колебания.

# Вынужденные колебания в контуре.



$$L \frac{d^2 q}{dt^2} + R \frac{dq}{dt} + \frac{q}{c} = \mathcal{E}_0 \cos \omega t.$$

$$\frac{d^2 q}{dt^2} + 2 \underbrace{\frac{R}{2L}}_{\gamma} \frac{dq}{dt} + \underbrace{\frac{1}{Lc}}_{\omega_0^2} q = \underbrace{\frac{\mathcal{E}_0}{L}}_{x_0} \cos \omega t,$$

$$\ddot{q} + 2\gamma \dot{q} + \omega_0^2 q = x_0 \cos \omega t.$$

$$q = q_{общ. одн.} + q_{частн. неодн.}$$

$$\ddot{q} + 2\gamma \dot{q} + \omega_0^2 q = 0; \Rightarrow q_{общ. одн.} = a_0 e^{-\gamma t} \underbrace{\cos(\sqrt{\omega_0^2 - \gamma^2} \cdot t + \varphi_0)}_{\omega_1}.$$

Для нахождения частного решения неоднородного уравнения вынужденных колебаний воспользуемся комплексным представлением гармонической функции.

$$\ddot{q}_\kappa + 2\gamma \dot{q}_\kappa + \omega_0^2 q_\kappa = x_0 e^{i\omega t},$$

$$q_\kappa = z_0 e^{i\omega t}; \Rightarrow (-\omega^2 + 2\gamma i\omega + \omega_0^2) z_0 e^{i\omega t} = x_0 e^{i\omega t};$$

$$z_0 = z_0(\omega) = \frac{x_0}{\omega_0^2 - \omega^2 + i2\gamma\omega}; \Rightarrow q_\kappa = \frac{x_0}{\omega_0^2 - \omega^2 + i2\gamma\omega} e^{i\omega t}.$$

$$\omega_0^2 - \omega^2 + i2\gamma\omega = \rho e^{i\varphi}, \text{ где } \rho = \sqrt{(\omega_0^2 - \omega^2)^2 + 4\gamma^2\omega^2},$$

$$\operatorname{tg} \varphi = \frac{2\gamma\omega}{\omega_0^2 - \omega^2}; \Rightarrow q_\kappa = \frac{x_0}{\rho} e^{i(\omega t - \varphi)}; q = \operatorname{Re} q_\kappa = \frac{x_0}{\rho} \cos(\omega t - \varphi).$$

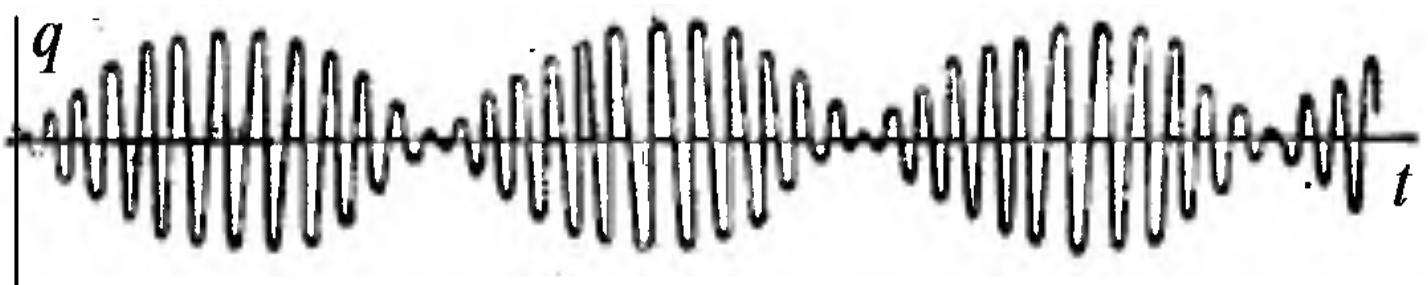
Общее решение равно

$$q = a_0 e^{-\gamma t} \cos(\omega_l t + \varphi_0) + \frac{x_0}{\rho} \cos(\omega t - \varphi).$$

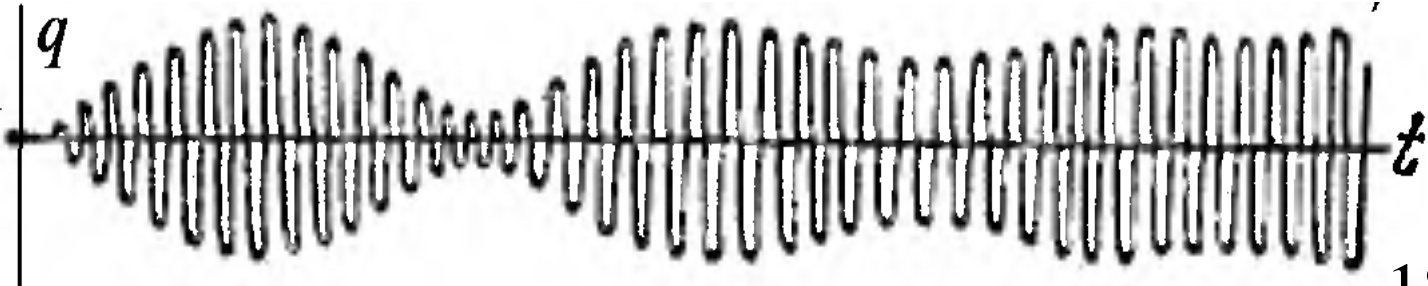
Структуру этого решения легко понять  
с помощью метода векторных диаграмм.

В частности, если при  $t = 0$  величины  $q = 0$ ,  $\dot{q} = 0$ , то

Если  $\gamma = 0$   
и  $\omega_l \sim \omega$



Если  $\gamma \neq 0$



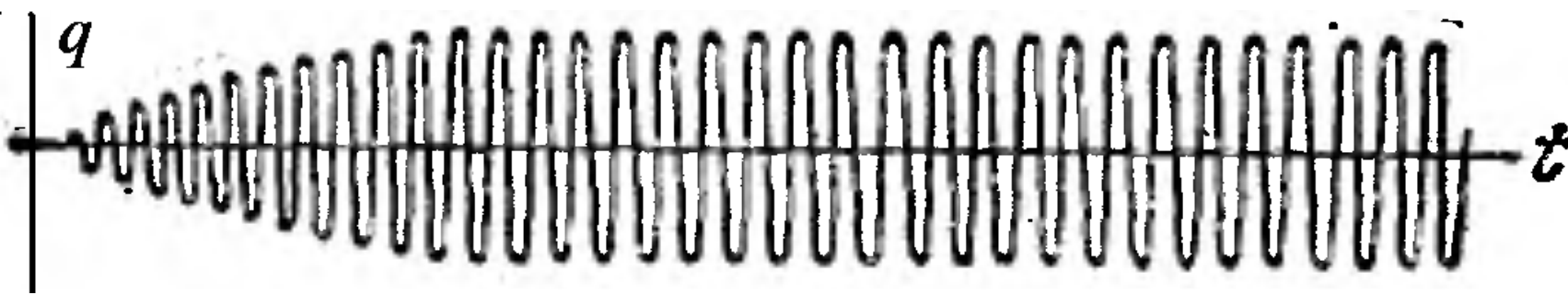
## Процесс установления вынужденных колебаний при резонансе.

Пусть при  $t = 0$ ,  $q = 0$ ,  $\dot{q} = I = 0$ , тогда

$$\begin{cases} a_0 \cos \varphi_0 + \frac{x_0}{\rho} \cos \varphi = 0, \\ -a_0 \omega_1 \sin \varphi_0 - \gamma a_0 \cos \varphi_0 + \frac{x_0}{\rho} \omega \sin \varphi = 0. \end{cases}$$

Если  $\gamma \ll \omega_0$  и  $\omega = \omega_0$ , то  $\varphi_0 = -\varphi$ ,  $a_0 = -x_0 / \rho$ .

$$q \cong \frac{x_0}{\rho} (1 - e^{-\gamma t}) \cos(\omega t - \varphi); \quad t \gg \tau = 1 / \gamma.$$



# Переменный синусоидальный ток. Активное, емкостное и индуктивное сопротивления.

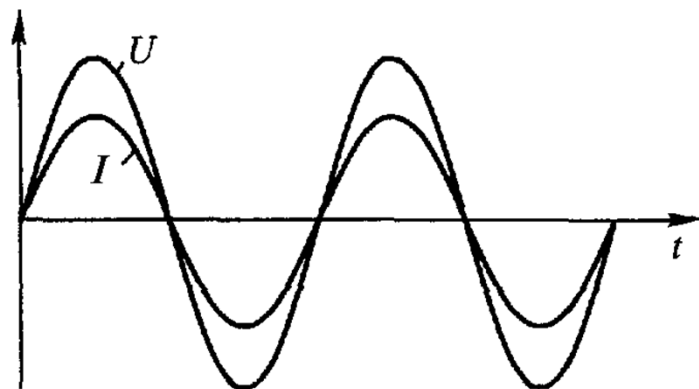
如果  $t \gg \tau$ ,  $q = \frac{x_0}{\rho} \cos(\omega t - \varphi)$ , 则

$$I = \frac{dq}{dt} = \underbrace{\frac{\omega x_0}{\rho}}_{I_0} \sin(\omega t - (\underbrace{\varphi - \frac{\pi}{2}}_{\phi}) + \frac{\pi}{2}) = I_0 \cos(\omega t - \phi);$$

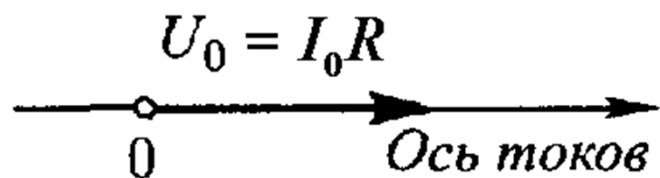
$$U_c = \frac{q}{c} = \frac{x_0}{c\rho} \cos(\omega t - \varphi) = \underbrace{\frac{1}{\omega c} I_0}_{U_{c,0}} \cos(\omega t - \phi - \frac{\pi}{2});$$

$$U_L = -E^{\dot{e}\delta\ddot{a}} = L \frac{dI}{dt} = -LI_0\omega \sin(\omega t - \phi) = \underbrace{\omega LI_0}_{U_{L,0}} \cos(\omega t - \phi + \frac{\pi}{2});$$

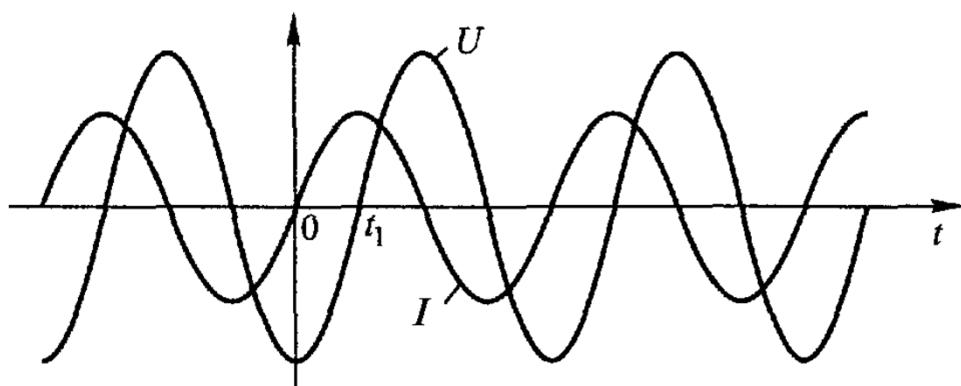
$$U_R = I R = \underbrace{I_0 R}_{U_{R,0}} \cos(\omega t - \phi);$$



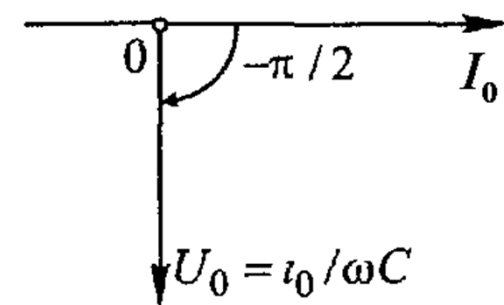
Колебания тока и напряжения на сопротивлении



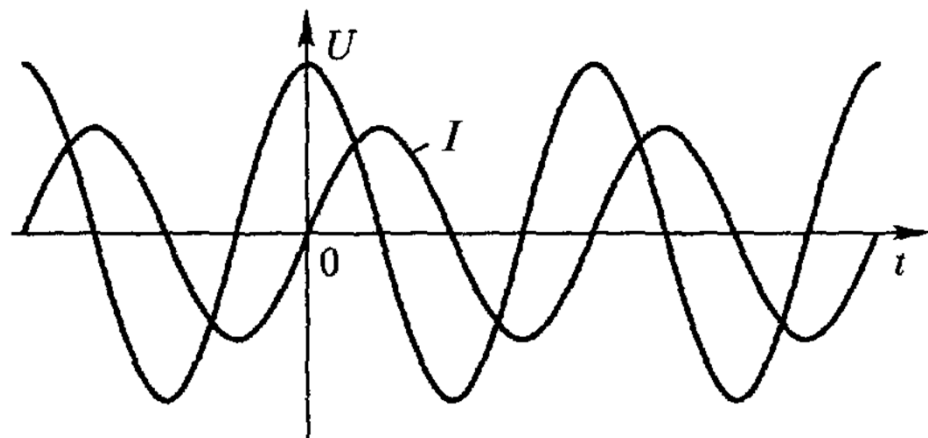
Векторная диаграмма напряжения на сопротивлении



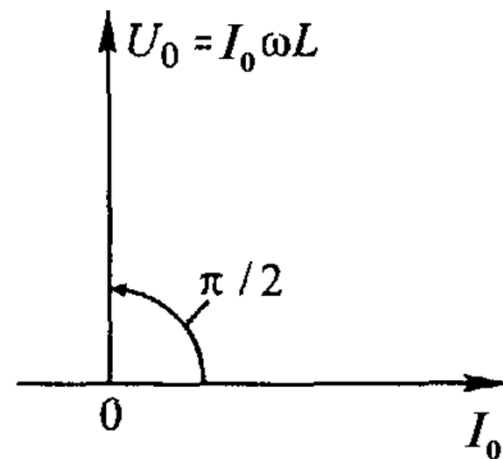
Колебания тока в цепи напряжения на конденсаторе



Векторная диаграмма напряжения на конденсаторе



Колебания тока и напряжения на индуктивности



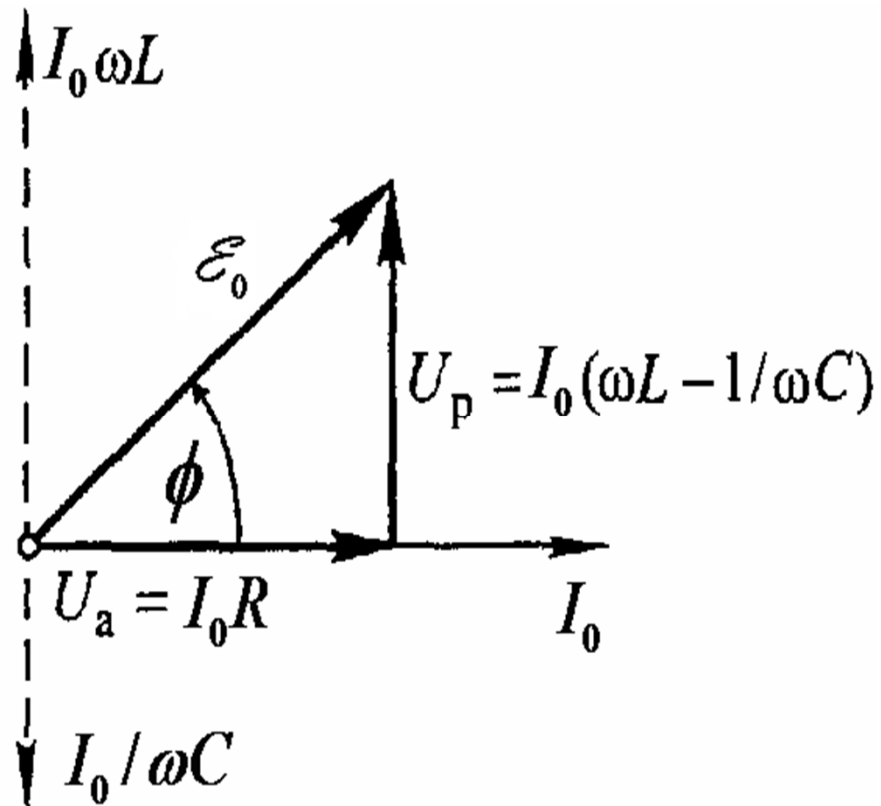
Векторная диаграмма напряжения на индуктивности

$R$  – активное сопротивление,

$$R_c = \frac{1}{\omega c} - \text{емкостное сопротивление,}$$

$R_L = \omega L$  – индуктивное сопротивление.

# Векторная диаграмма напряжений для последовательного соединения сопротивления, емкости и индуктивности.



$R$  – активное сопр.,

$\left( \omega L - \frac{1}{\omega C} \right)$  – реактивное сопр.

$$E_0 = U_0 = I_0 \sqrt{R^2 + \left( \omega L - \frac{1}{\omega C} \right)^2},$$

$$\tan \phi = \frac{\omega L - \frac{1}{\omega C}}{R}.$$

## Импеданс. Закон Ома для цепей переменного тока.

$$q_{\kappa} = \frac{x_0}{\omega_0^2 - \omega^2 + i2\gamma\omega} e^{i\omega t}; \Rightarrow I_{\kappa} = \frac{dq_{\kappa}}{dt} = \frac{i\omega \cdot x_0}{\omega_0^2 - \omega^2 + i2\gamma\omega} e^{i\omega t};$$

$$I_{\kappa} = \frac{i\omega \cdot (\mathcal{E}_0 / L)}{\frac{1}{Lc} - \omega^2 + i2\frac{R}{2L}\omega} e^{i\omega t} = \frac{i\omega \cdot (\mathcal{E}_0 / L)}{\frac{1}{Lc} - \omega^2 + i2\frac{R}{2L}\omega} e^{i\omega t} =$$

$$= \frac{\mathcal{E}_0 e^{i\omega t}}{\frac{1}{Z_c} + \underbrace{i\omega L}_{Z_L} + R} = \frac{\mathcal{E}_{\kappa}}{Z}, \text{ где } Z = \frac{1}{i\omega c} + i\omega L + R -$$

- комплексное сопротивление  
или импеданс.

$$I_{\kappa} = \frac{\mathcal{E}_{\kappa}}{Z} = \frac{\mathcal{E}_{\kappa}}{|Z|e^{i\phi}}, \text{ где } Z = R + i\left(\omega L - \frac{1}{\omega c}\right), \quad \operatorname{tg} \phi = \frac{\omega L - \frac{1}{\omega c}}{R}.$$

18.14

Так как  $|I_{\kappa}| = I_0$ ,  $|\mathcal{E}_{\kappa}| = \mathcal{E}_0$ ,  $|Z| = \sqrt{R^2 + \left(\omega L - \frac{1}{\omega c}\right)^2}$

$$|I_{\kappa}| = \frac{|\mathcal{E}_{\kappa}|}{|Z|}; \Rightarrow I_0 = \underbrace{\frac{\mathcal{E}_0}{\sqrt{R^2 + \left(\omega L - \frac{1}{\omega c}\right)^2}}}_{\text{закон Ома для переменного тока}}, \quad \operatorname{tg} \phi = \frac{\omega L - \frac{1}{\omega c}}{R}.$$

$R$  – активное сопротивление,

$\left(\omega L - \frac{1}{\omega c}\right)$  – реактивное сопротивление.

# Лекция 19.

- Резонанс напряжений. Напряжения и токи при резонансе. Ширина резонансной кривой.
- Резонанс токов. Правила Кирхгофа для цепей переменного тока.
- Работа и мощность переменного тока. Эффективные значения тока и напряжения.

# Резонанс напряжений. Напряжения и токи при резонансе.

Исследуем зависимость амплитуды  $U_{c,0}$  и фазы  $\varphi$  от частоты  $\omega$  вынуждающей ЭДС (напряжения) в последовательном  $RLC$  контуре.

$$\mathcal{E} = \mathcal{E}_0 \cos \omega t,$$

$$U_c = \frac{q}{c} = \frac{x_0}{c\rho} \cos(\omega t - \varphi), \text{ где } \rho = \sqrt{(\omega_0^2 - \omega^2)^2 + 4\gamma^2\omega^2}, \quad \operatorname{tg} \varphi = \frac{2\gamma\omega}{\omega_0^2 - \omega^2};$$

$$U_{c,0} = \frac{x_0}{c\rho} = \frac{\mathcal{E}_0}{Lc\sqrt{(\omega_0^2 - \omega^2)^2 + 4\gamma^2\omega^2}} = \frac{\mathcal{E}_0\omega_0^2}{\sqrt{(\omega_0^2 - \omega^2)^2 + 4\gamma^2\omega^2}}.$$

При  $\omega \rightarrow 0$ ,  $U_{c,0} \rightarrow \mathcal{E}_0$  – статическое напряжение.

При  $\omega \rightarrow \infty$ ,  $U_{c,0} \rightarrow 0$ .

$$\frac{dU_{c,0}}{d\omega} = \frac{\mathcal{E}_0 \omega_0^2}{\rho^3} \left( -\frac{1}{2} \right) [-2(\omega_0^2 - \omega^2)2\omega + 4\gamma^2 2\omega] = 0;$$

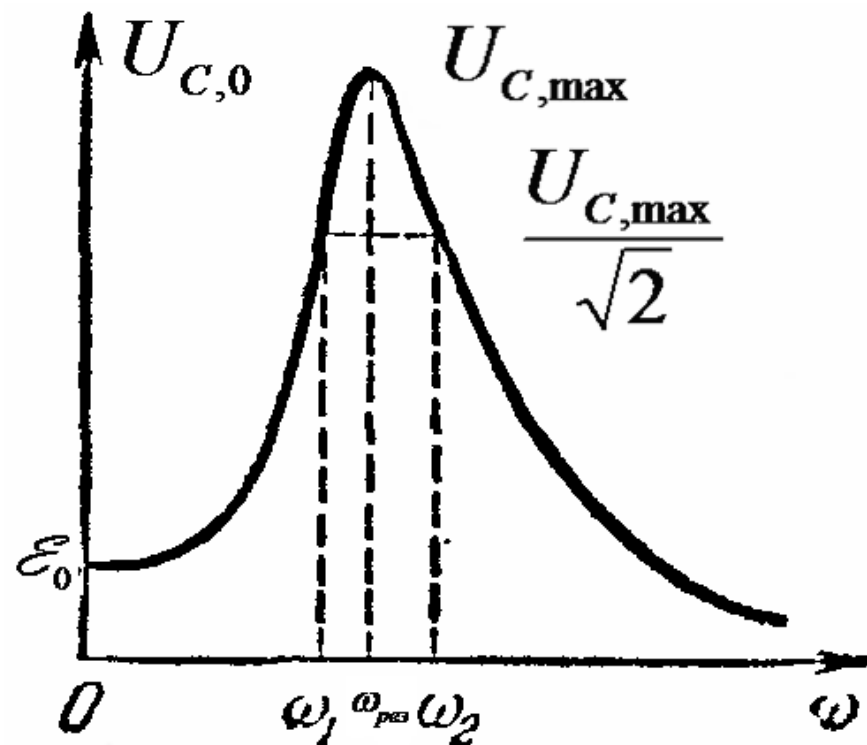
$$\omega_{pez}^2 = \omega_0^2 - 2\gamma^2; \quad \omega_{pez} = \sqrt{\omega_0^2 - 2\gamma^2}.$$

$$U_{c,\max} = \frac{\mathcal{E}_0 \omega_0^2}{\sqrt{4\gamma^4 + 4\gamma^2 \omega_0^2 - 8\gamma^4}} = \frac{\mathcal{E}_0 \omega_0^2}{2\gamma \sqrt{\omega_0^2 - \gamma^2}}.$$

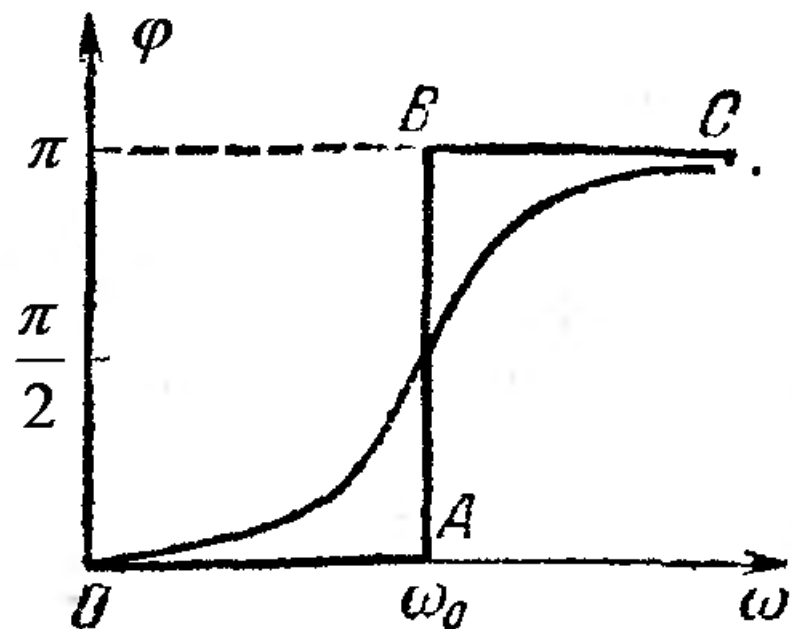
В частности, если  $\gamma \ll \omega_0$ , то

$$U_{c,\max} = \mathcal{E}_0 \frac{\omega_0}{2\gamma} = \mathcal{E}_0 \frac{1}{R} \sqrt{\frac{L}{c}}, \quad \frac{U_{c,\max}}{\mathcal{E}_0} = \frac{\omega_0}{2\gamma} = \frac{2\pi}{T} \frac{1}{2\gamma} =$$

$$= \frac{\pi}{T\gamma} = \frac{\pi}{\theta} = Q - \text{добротность контура.}$$



$$U_{c,0} = \frac{\mathcal{E}_0 \omega_0^2}{\sqrt{(\omega_0^2 - \omega^2)^2 + 4\gamma^2 \omega^2}}$$



$$\operatorname{tg} \varphi = \frac{2\gamma\omega}{\omega_0^2 - \omega^2}$$

$$U_{L,0} = \omega L I_0 = \omega^2 \underbrace{\frac{1}{LC}}_{1/\omega_0^2} \underbrace{\omega C}_{U_{c,0}} I_0 = \frac{\omega^2}{\omega_0^2} U_{c,0}.$$

При резонансе  $\omega = \omega_{рез} \approx \omega_0$ , если  $\gamma \ll \omega_0$ ,

тогда  $U_{L,0} = U_{c,0} = \mathcal{E}_0 Q$ .

Фаза отличается на  $\pi$ .

# Ширина резонансной кривой.

$$\frac{U_{c,\max}}{\sqrt{2}} = U_{c,0}(\omega); \quad \frac{1}{\sqrt{2}} \frac{\mathcal{E}_0 \omega_0^2}{2\gamma \sqrt{\omega_0^2 - \gamma^2}} = \frac{\mathcal{E}_0 \omega_0^2}{\sqrt{(\omega_0^2 - \omega^2)^2 + 4\gamma^2 \omega^2}};$$

$$8\gamma^2(\omega_0^2 - \gamma^2) = (\omega_0^2 - \omega^2)^2 + 4\gamma^2 \omega^2;$$

$$4\gamma^2 \omega_0^2 - 4\gamma^4 = \underbrace{(\omega_0^2 - \omega^2)^2}_{(\omega^2 - \omega_0^2)^2} + \underbrace{4\gamma^2 \omega^2 - 4\gamma^2 \omega_0^2}_{4\gamma^2(\omega^2 - \omega_0^2)} + 4\gamma^4 = \\ = (\omega^2 - \omega_0^2 + 2\gamma^2)^2;$$

$$\omega^2 - \omega_0^2 + 2\gamma^2 = \pm 2\gamma \sqrt{\omega_0^2 - \gamma^2}; \Rightarrow$$

$$\omega^2_1 = \underbrace{\omega_0^2 - 2\gamma^2}_{\omega_{pe3}^2} - 2\gamma \sqrt{\omega_0^2 - \gamma^2}; \quad \omega^2_2 = \underbrace{\omega_0^2 - 2\gamma^2}_{\omega_{pe3}^2} + 2\gamma \sqrt{\omega_0^2 - \gamma^2};$$

Если  $\gamma \ll \omega_0$ , то  $\omega^2_1 = \omega_0^2 - 2\gamma\omega_0$ ;  $\omega^2_2 = \omega_0^2 + 2\gamma\omega_0$ ;  $\Rightarrow$   
 $\omega_1 = \omega_0 - \gamma$ ;  $\omega_2 = \omega_0 + \gamma$ ;  $\Delta\omega = \omega_2 - \omega_1 = 2\gamma$ .

$$\frac{\omega_0}{\Delta\omega} = \frac{\omega_0}{2\gamma} = \frac{2\pi}{2\gamma T} = \frac{\pi}{\theta} = Q \text{ — добротность контура.}$$

Точные оценки дают

$$\omega_{рез} - \omega_1 > \omega_2 - \omega_{рез}$$

(в отличие от рисунка 301 в [3])

# Токи при резонансе.

$$\mathcal{E} = \mathcal{E}_0 \cos \omega t,$$

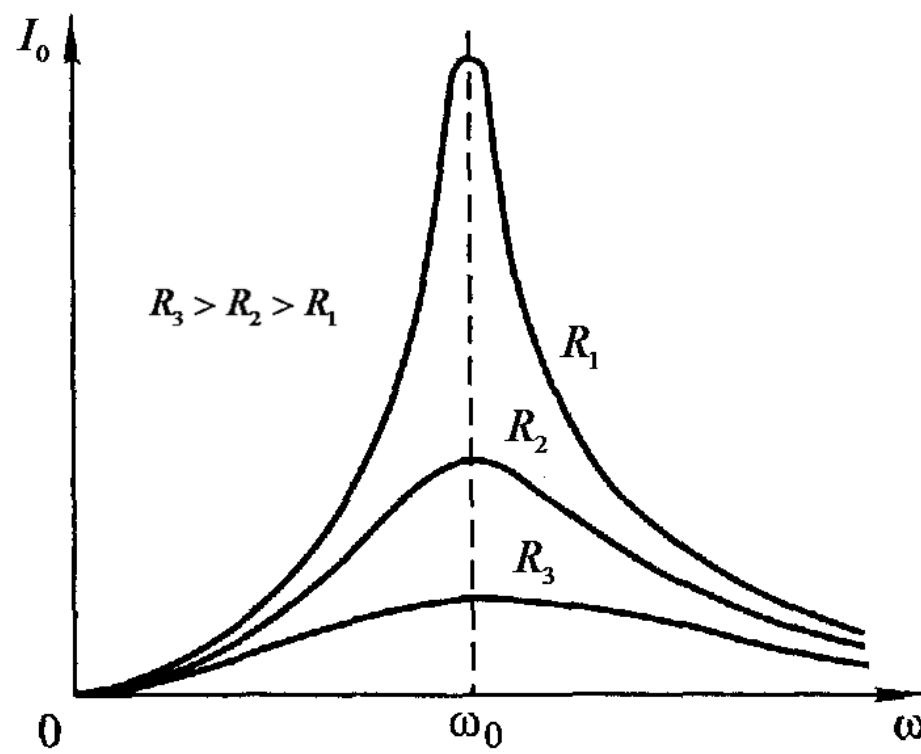
$$I = \frac{dq}{dt} = -\frac{\omega x_0}{\rho} \sin(\omega t - \varphi) = \underbrace{\frac{\omega x_0}{\rho}}_{I_0} \cos \left( \omega t - \left( \varphi - \underbrace{\frac{\pi}{2}}_{\phi} \right) \right).$$

$$\operatorname{tg} \phi = \operatorname{tg} \left( \varphi - \frac{\pi}{2} \right) = -\operatorname{ctg} \varphi = -\frac{1}{\operatorname{tg} \varphi} = -\frac{\omega_0^2 - \omega^2}{2\gamma\omega} =$$

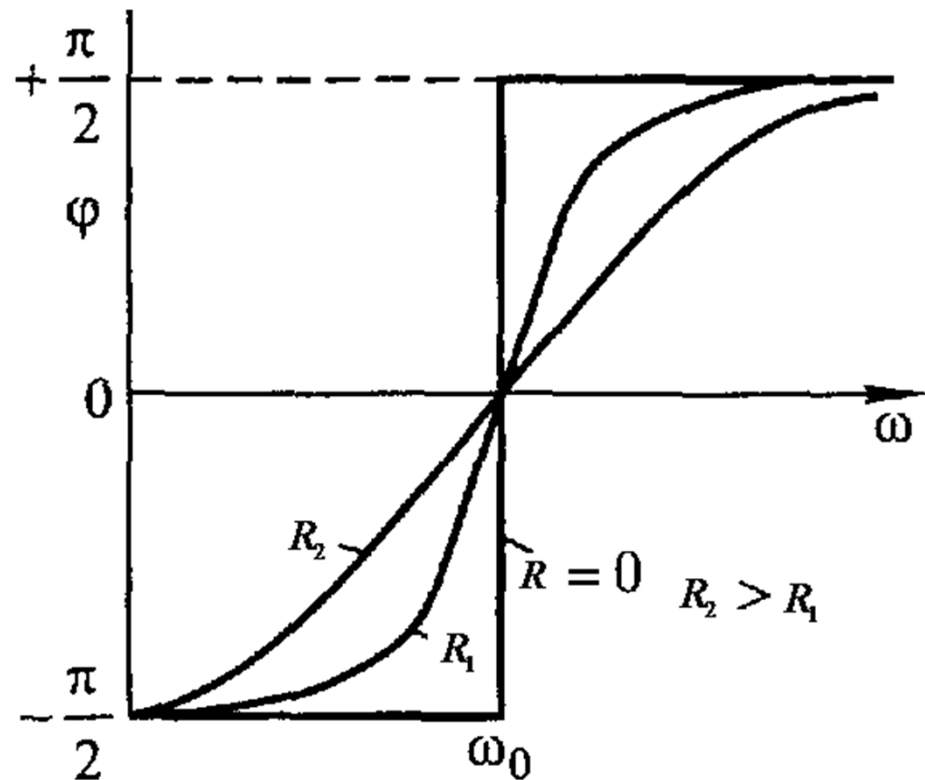
$$= -\frac{\frac{1}{Lc} - \omega^2}{2\frac{R}{2L}\omega} = -\frac{\frac{1}{\omega c} - \omega L}{R} = \frac{\omega L - \frac{1}{\omega c}}{R}.$$

$$I = \frac{dq}{dt} = \underbrace{\frac{\omega x_0}{\rho}}_{I_0} \cos(\omega t - \phi); I_0 = \frac{\omega x_0}{\sqrt{(\omega_0^2 - \omega^2)^2 + 4\gamma^2\omega^2}} = \\ = \frac{\omega \mathcal{E}_0}{L \sqrt{\left(\frac{1}{Lc} - \omega^2\right)^2 + 4\left(\frac{R}{2L}\right)^2 \omega^2}} = \frac{\mathcal{E}_0}{\sqrt{\left(\frac{1}{\omega c} - L\omega\right)^2 + R^2}}.$$

$$I = \frac{\mathcal{E}_0}{\underbrace{\sqrt{R^2 + \left(\omega L - \frac{1}{\omega c}\right)^2}}_{I_0}} \cos(\omega t - \phi); \quad \operatorname{tg} \phi = \frac{\omega L - \frac{1}{\omega c}}{R}. \\ \omega_{pe3} = \omega_0$$



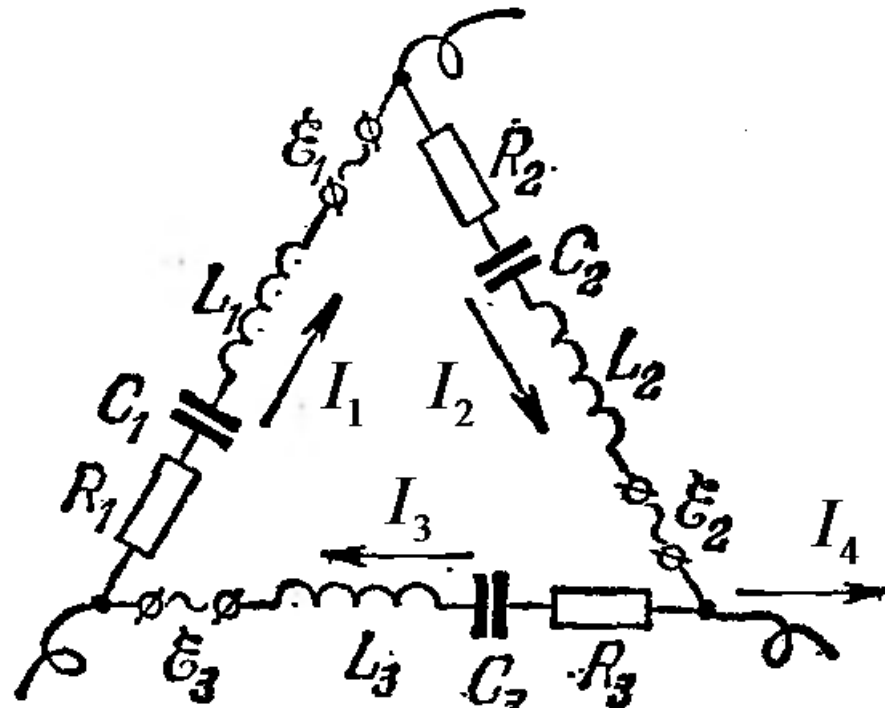
Резонансные кривые  
(АЧХ)



Изменение сдвига фазы  
колебаний тока при  
изменении частоты ЭДС

(ФЧХ)

## Правила Кирхгофа для цепей переменного тока.



$$I_2 - I_3 - I_4 = 0,$$

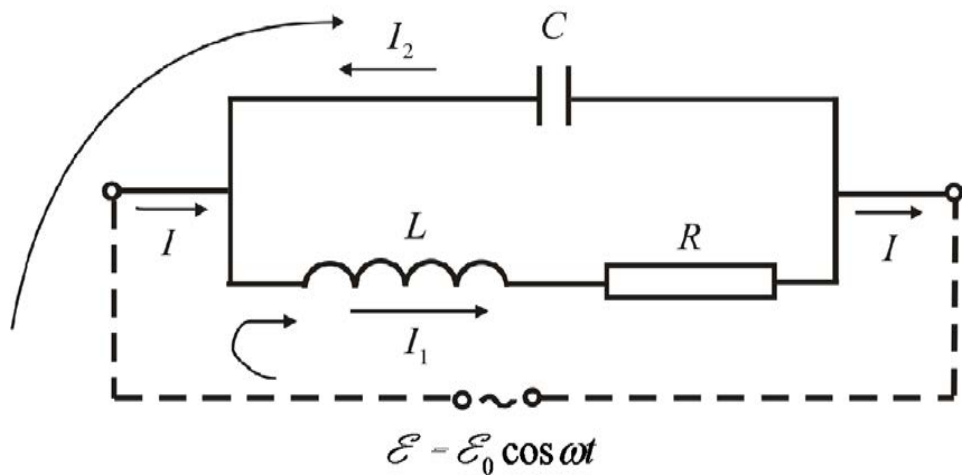
$$\sum_n I_n = 0.$$

$$I_{1K} Z_1 = \mathcal{E}_{1K}, \text{ где } Z_1 = R_1 + \frac{1}{i\omega c_1} + i\omega L_1,$$

$$I_{2K} Z_2 = \mathcal{E}_{2K}, \text{ где } Z_2 = R_2 + \frac{1}{i\omega c_2} + i\omega L_2, \quad \left. \right\} \sum_n I_{nK} Z_n = \mathcal{E}_{nK}$$

$$I_{3K} Z_3 = \mathcal{E}_{3K}, \text{ где } Z_3 = R_3 + \frac{1}{i\omega c_3} + i\omega L_3, \quad \left. \right\}$$

# Резонанс токов.



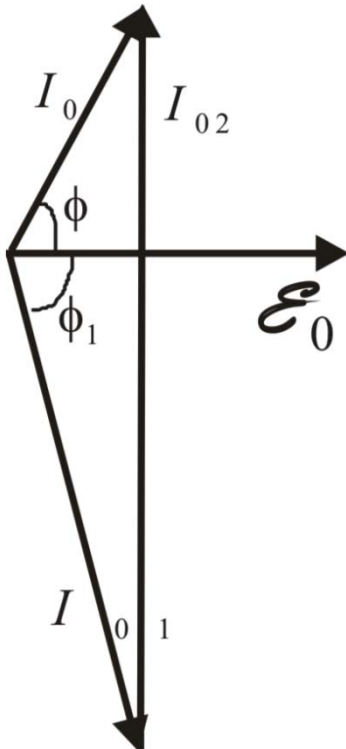
$$\begin{cases} I_1(i\omega L + R) = \mathcal{E}, \\ -I_2 \frac{1}{i\omega C} = \mathcal{E}, \\ I_1 = I + I_2, \end{cases}$$

$$I = I_1 - I_2 = \frac{\mathcal{E}}{R + i\omega L} + \mathcal{E} \cdot i\omega C = \frac{\mathcal{E}(R - i\omega L)}{R^2 + \omega^2 L^2} + \mathcal{E} \cdot i\omega C =$$

$$= \left[ \frac{R}{R^2 + \omega^2 L^2} + i \left( \omega C - \frac{\omega L}{R^2 + \omega^2 L^2} \right) \right] \mathcal{E},$$

$$I_0 = \sqrt{\left( \frac{R}{R^2 + \omega^2 L^2} \right)^2 + \left( \omega C - \frac{\omega L}{R^2 + \omega^2 L^2} \right)^2} \cdot \mathcal{E}_0; \quad \operatorname{tg} \phi = \frac{\omega C - \frac{\omega L}{R^2 + \omega^2 L^2}}{\frac{R}{R^2 + \omega^2 L^2}};$$

19.12



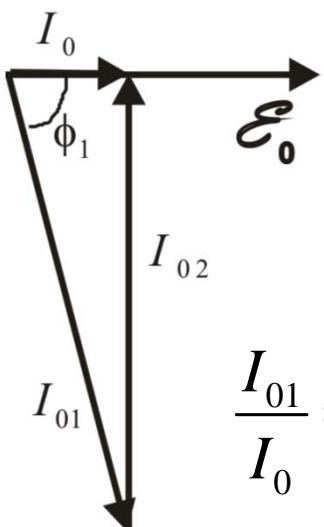
## Векторная диаграмма токов

$$I_{01} = \frac{\mathcal{E}_0}{\sqrt{R^2 + \omega^2 L^2}}; \quad \operatorname{tg} \phi_1 = -\frac{\omega L}{R};$$

Если  $\omega L \gg R$ , то  $\phi_1 \approx \pi / 2$ .

$$I_0 \approx \sqrt{\left(\frac{R}{\omega^2 L^2}\right)^2 + \left(\omega c - \frac{1}{\omega L}\right)^2} \cdot \mathcal{E}_0 = \frac{R}{\omega^2 L^2} \mathcal{E}_0; \Rightarrow$$

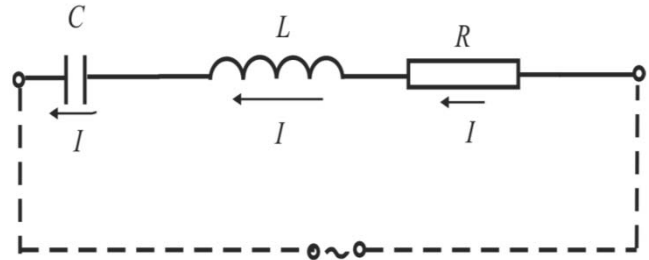
$$I_0 = \min, \text{ если } \omega = \omega_0^2 = \frac{1}{Lc}.$$



$$\operatorname{tg} \phi \approx \frac{\omega^2 L^2}{R} \left( \omega c - \frac{1}{\omega L} \right) = 0, \text{ если } \omega^2 = \omega_0^2 = \frac{1}{Lc};$$

$$\frac{I_{01}}{I_0} = \frac{\frac{\mathcal{E}_0}{\omega_0 L}}{\frac{R}{\omega_0^2 L^2} \mathcal{E}_0} = \frac{\omega_0 L}{R} \frac{2}{2} = \frac{\omega_0}{2\gamma} = \frac{\pi}{T_0 \gamma} = Q; I_{02} = \mathcal{E}_0 \omega_0 c = \frac{\mathcal{E}_0}{\omega_0 L} = I_{01};$$

# Работа и мощность переменного тока. Эффективные значения тока и напряжения



$$I = \frac{U}{Z} = \frac{U}{R + i\omega L - i\frac{1}{\omega C}} = \frac{U_0 e^{i\omega t}}{|Z| e^{i\phi}} = \frac{U_0 e^{i\omega t - i\phi}}{|Z|},$$

$$U = U_0 \cos \omega t$$

$$\text{где } |Z| = \sqrt{R^2 + \left(\omega L - \frac{1}{\omega C}\right)^2}; \quad \operatorname{tg} \phi = \frac{\omega L - \frac{1}{\omega C}}{R}.$$

$$I = \frac{U_0}{|Z|} \cos(\omega t - \phi) = I_0 \cos(\omega t - \phi); \Rightarrow P = UI = U_0 \cos(\omega t) I_0 \cos(\omega t - \phi) =$$

$$= [2 \cos A \cos B = \cos(A+B) + \cos(A-B)] = \frac{I_0 U_0}{2} [\cos(\omega t - \phi) + \cos(\phi)].$$

$$\langle P \rangle = \frac{1}{T} \int_t^{t+T} P dt = \frac{I_0 U_0}{2} \cos \phi = \underbrace{[U_0 \cos \phi = I_0 R]}_{\text{см. векторную диаграмму}} = \frac{I_0^2 R}{2} = I_e^2 R,$$

$I_e = \frac{I_0}{\sqrt{2}}$  – эффективное значение тока,

$U_e = \frac{U_0}{\sqrt{2}}$  – называется эффективным значением напряжения.

$\cos \phi$  – соэффициент мощности.

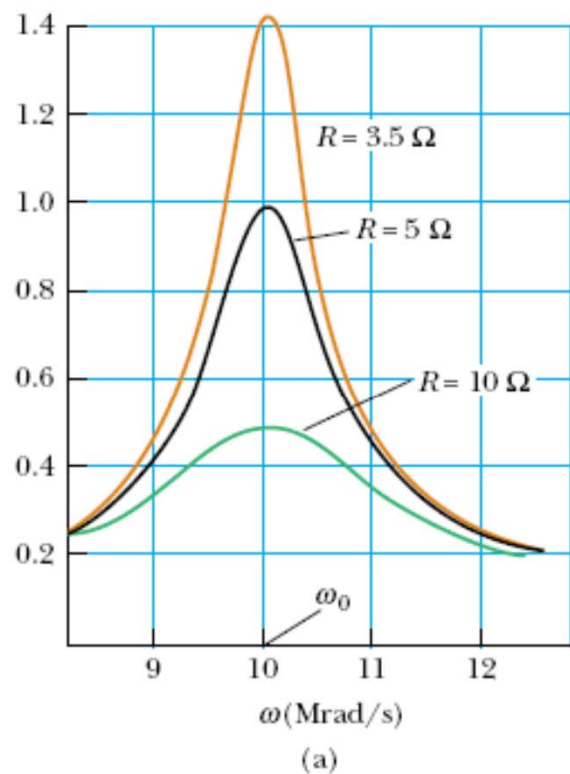
$$\phi = \arg(R + i(\omega L - \frac{1}{\omega C})); \Rightarrow \cos \phi = \frac{R}{\sqrt{R^2 + (\omega L - \frac{1}{\omega C})^2}}.$$

Если  $(\omega L - \frac{1}{\omega C})^2 \gg R^2$ , то  $\cos \phi \ll 1$ .

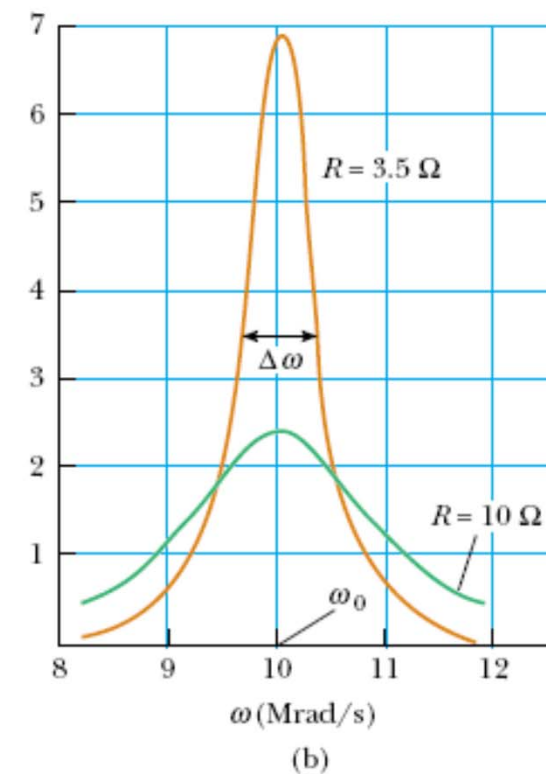
**Зависимость средней мощности переменного тока поглощаемой в контуре от частоты имеет резонансный вид.**

$$\langle P \rangle = I_0^2 R / 2$$

$$\begin{aligned} L &= 5.0 \mu\text{H} \\ C &= 2.0 \text{nF} \\ \Delta V_{\text{rms}} &= 5.0 \text{ mV} \\ \omega_0 &= 1.0 \times 10^7 \text{ rad/s} \end{aligned}$$



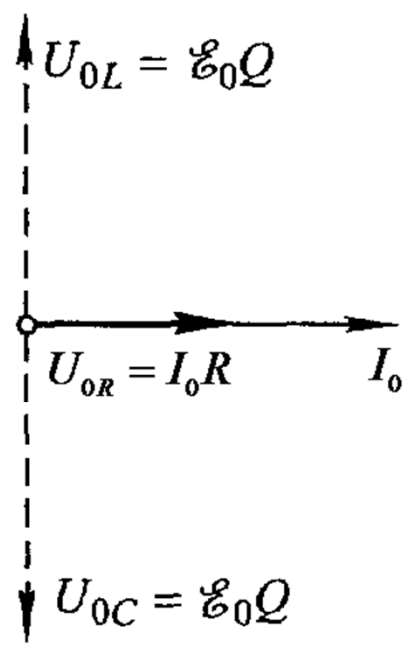
$$\begin{aligned} L &= 5.0 \mu\text{H} \\ C &= 2.0 \text{nF} \\ \Delta V_{\text{rms}} &= 5.0 \text{ mV} \\ \omega_0 &= 1.0 \times 10^7 \text{ rad/s} \end{aligned}$$



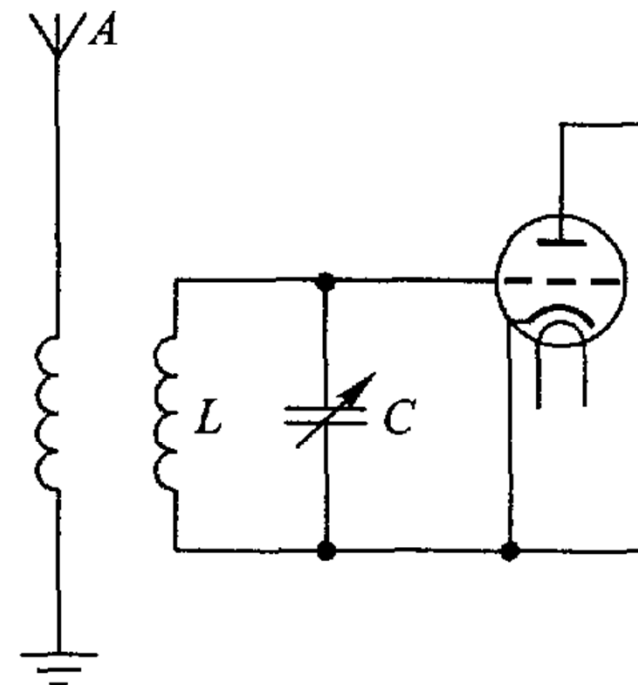
$$Q = \frac{\omega_0}{\Delta\omega}$$

**Active Figure 33.19** (a) The rms current versus frequency for a series  $RLC$  circuit, for three values of  $R$ . The current reaches its maximum value at the resonance frequency  $\omega_0$ . (b) Average power delivered to the circuit versus frequency for the series  $RLC$  circuit, for two values of  $R$ .

# Применение резонанса напряжений в радиотехнике.

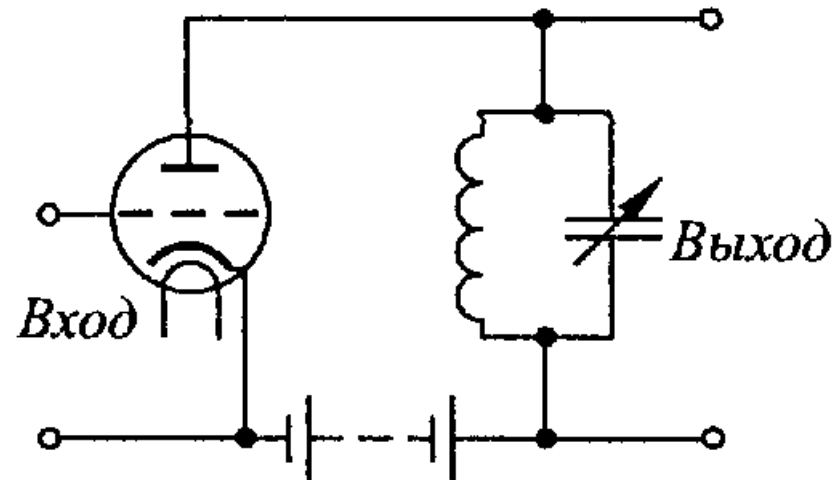


Векторная диаграмма  
напряжений при резонансе



Входной контур радио-  
приемника (схематически)

## Применение резонанса токов.



Резонансный усилитель

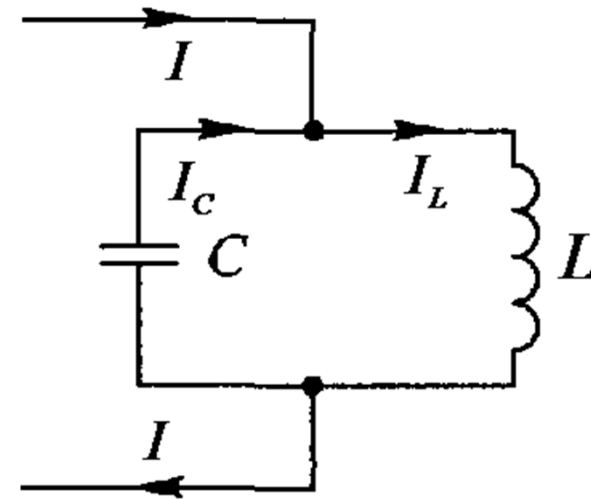


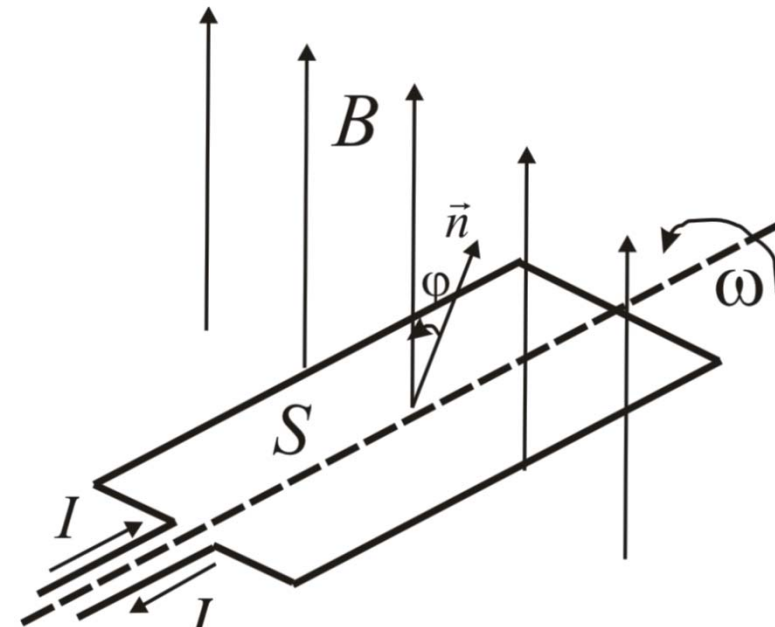
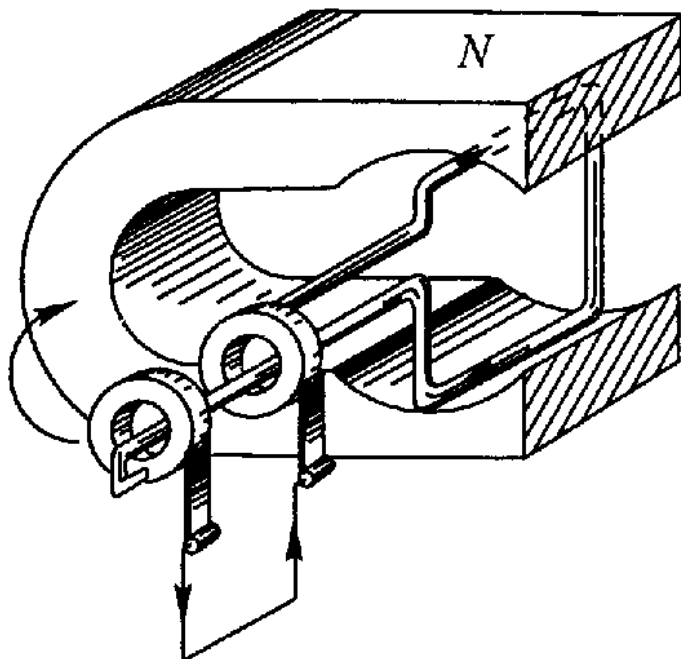
Схема нагревающего контура индукционной цепи

# Лекция 20.

- Техническое использование переменных токов. Генераторы и электродвигатели. Трехфазный ток. Получение и использование вращающегося магнитного поля. Соединение обмоток генератора и нагрузки «звездой» и «треугольником». Фазное и линейное напряжения.
- Трансформатор. Принцип действия, устройство, применение. Коэффициент трансформации. Роль сердечника.

# Генераторы и электродвигатели.

Принцип действия генератора переменного тока.

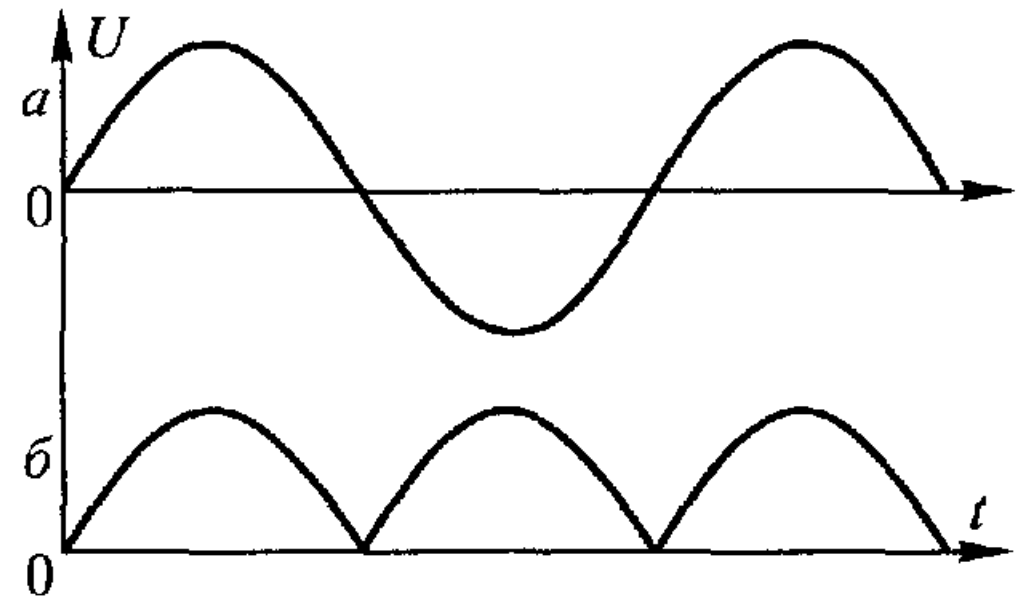
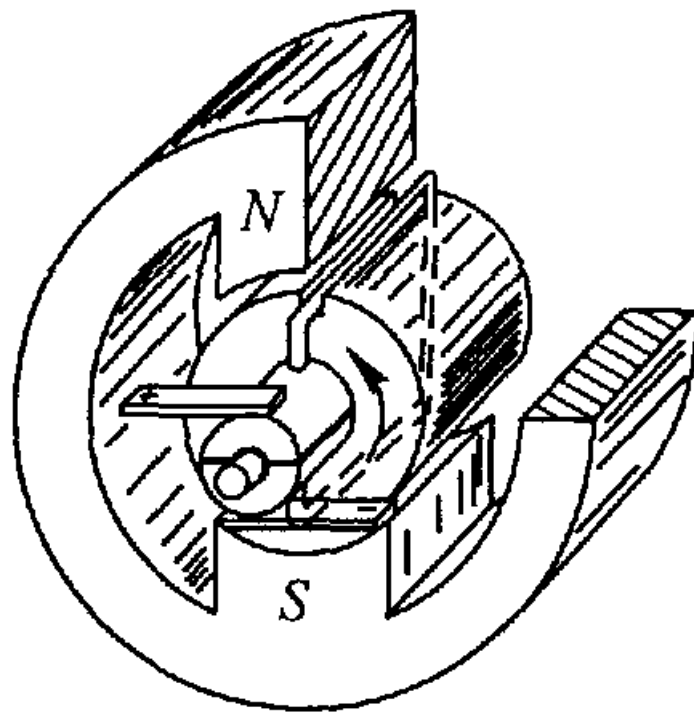


$$\Phi = BS \cos \varphi; \quad \varphi = \omega t + \varphi_0.$$

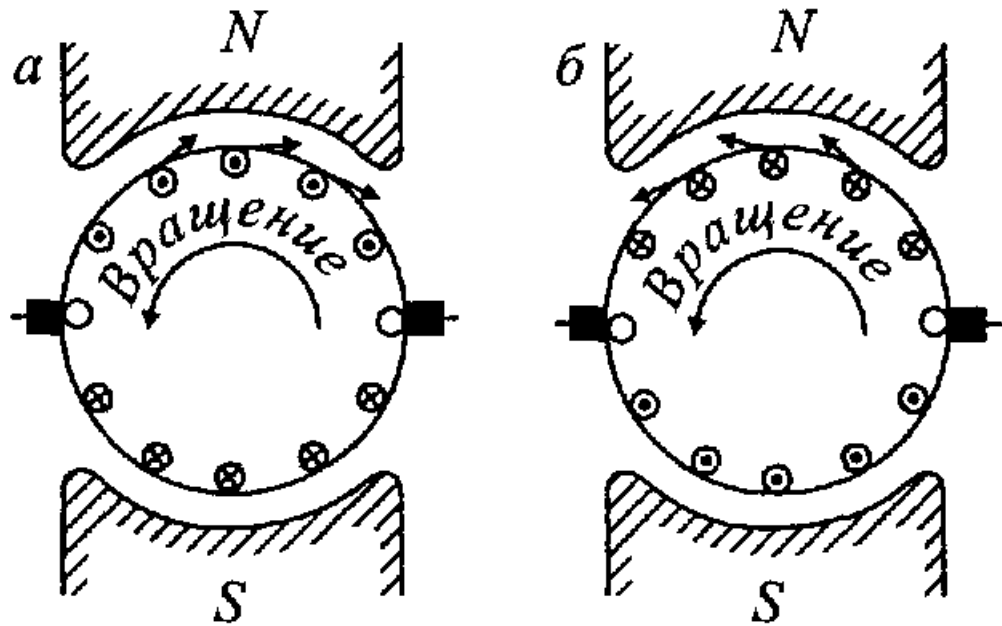
$$\mathcal{E} = -\frac{d\Phi}{dt} = -\frac{d}{dt} BS \cos(\omega t + \varphi_0) = \underbrace{BS\omega}_{\mathcal{E}_0} \sin(\omega t + \varphi_0) = \mathcal{E}_0 \sin(\omega t + \varphi_0).$$

$$I = \frac{\mathcal{E}}{R} = \frac{\mathcal{E}_0}{R} \sin(\omega t + \varphi_0) = I_0 \sin(\omega t + \varphi_0).$$

## Принцип действия генератора постоянного (пульсирующего) тока.



## Электродвигатель постоянного тока.



Электродинамические силы, действующие на якорь генератора (а) и двигателя (б) постоянного тока

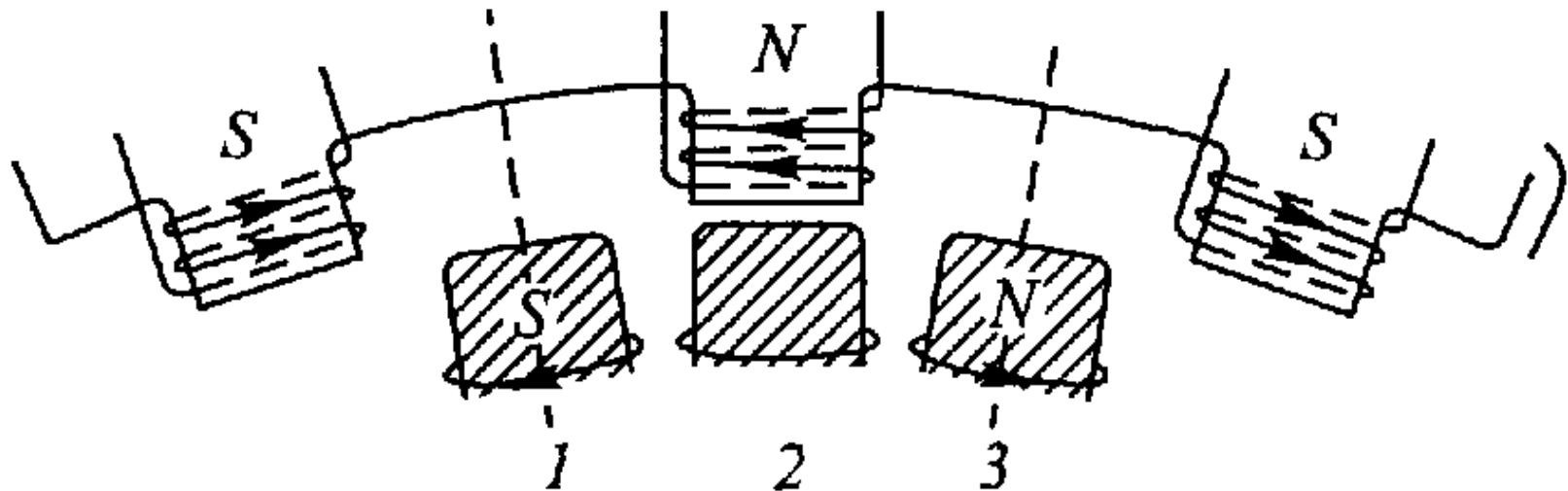
$$I_{\text{я}} = \frac{(U - \mathcal{E}_{\text{инд.}})}{r_{\text{я}}}.$$

Для пуска мощных электродвигателей используется реостат, так как при неподвижном якоре ток

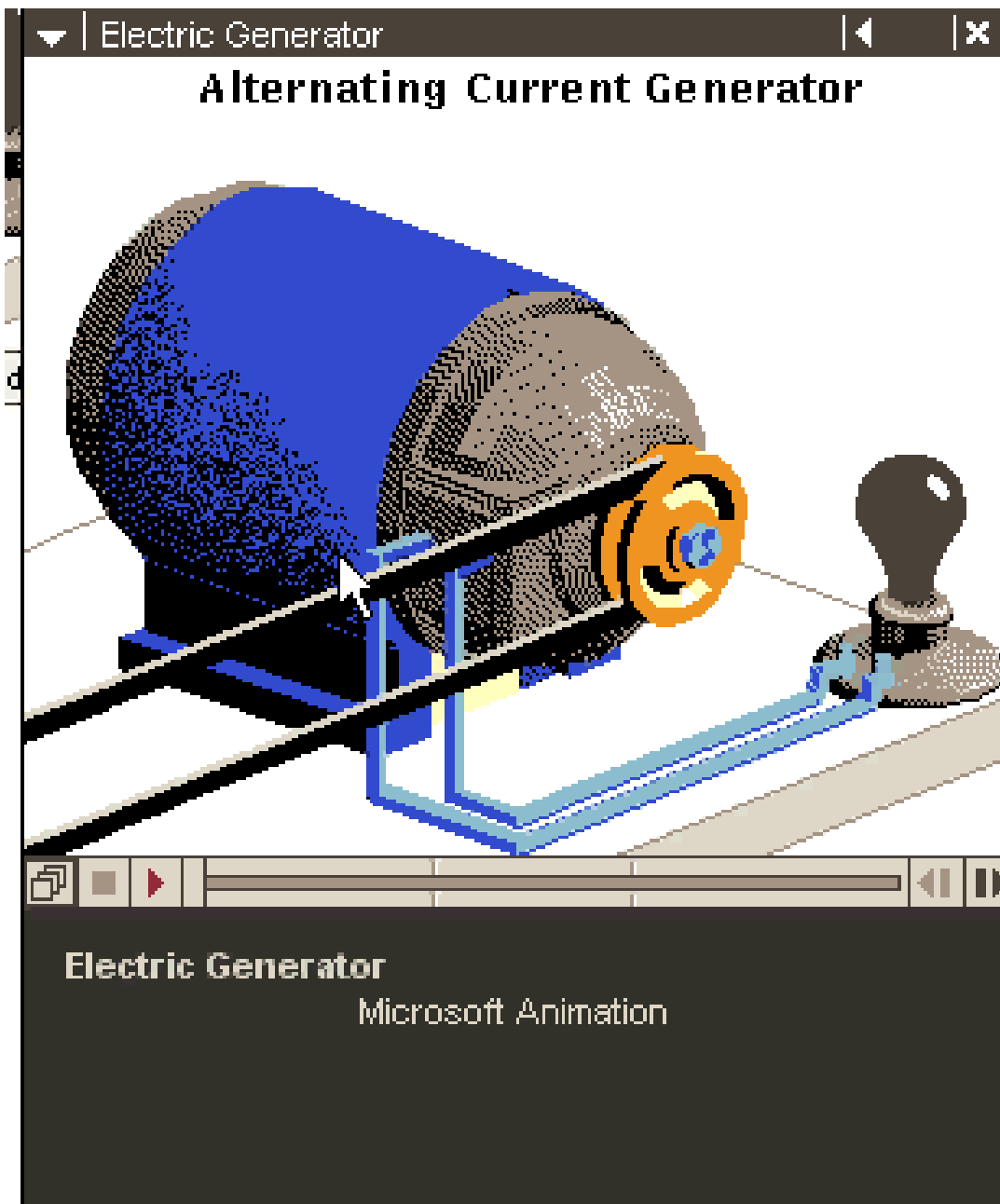
$$I_{\text{я}} = U / r_{\text{я}}$$

большой.

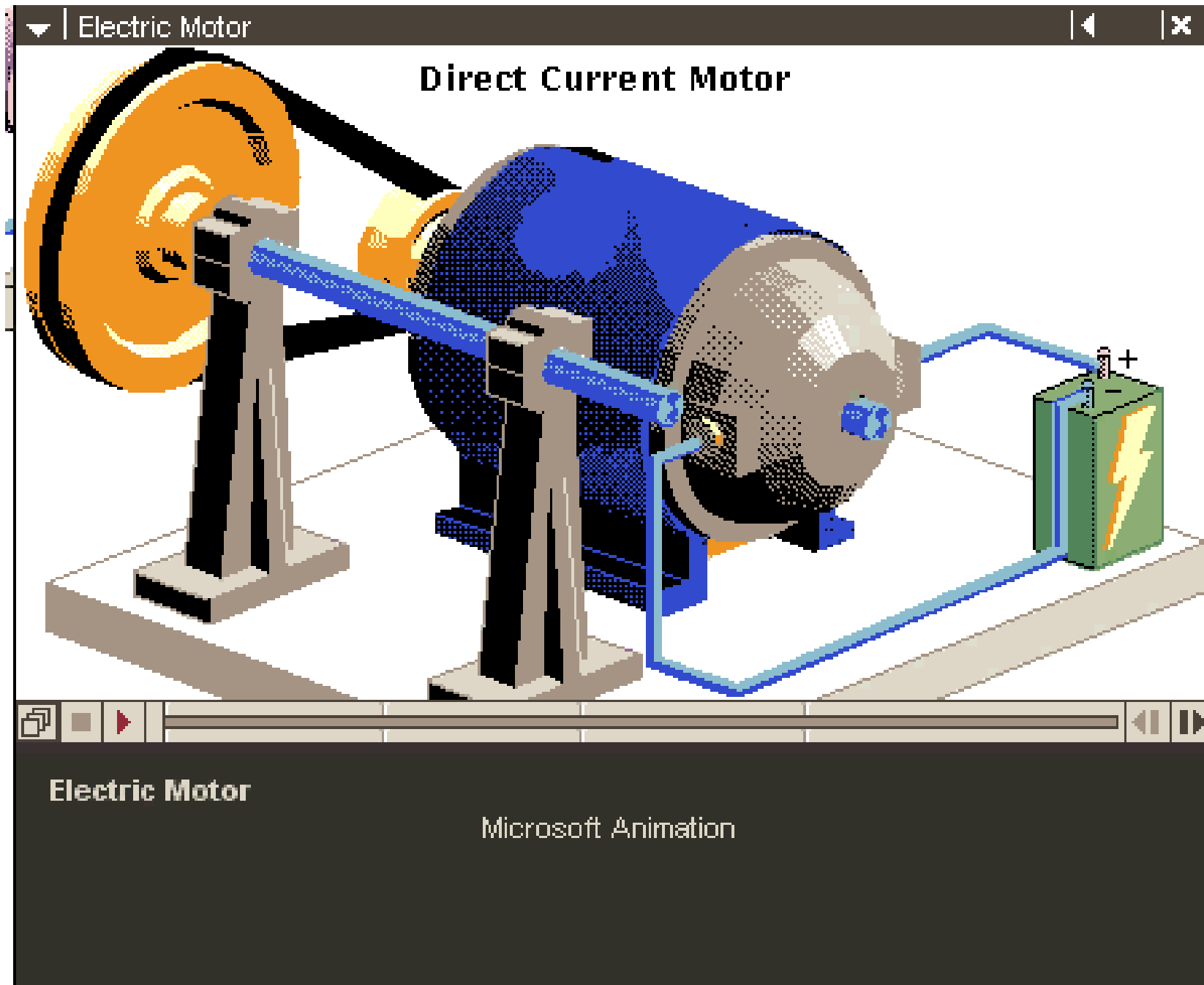
# Синхронные двигатели.

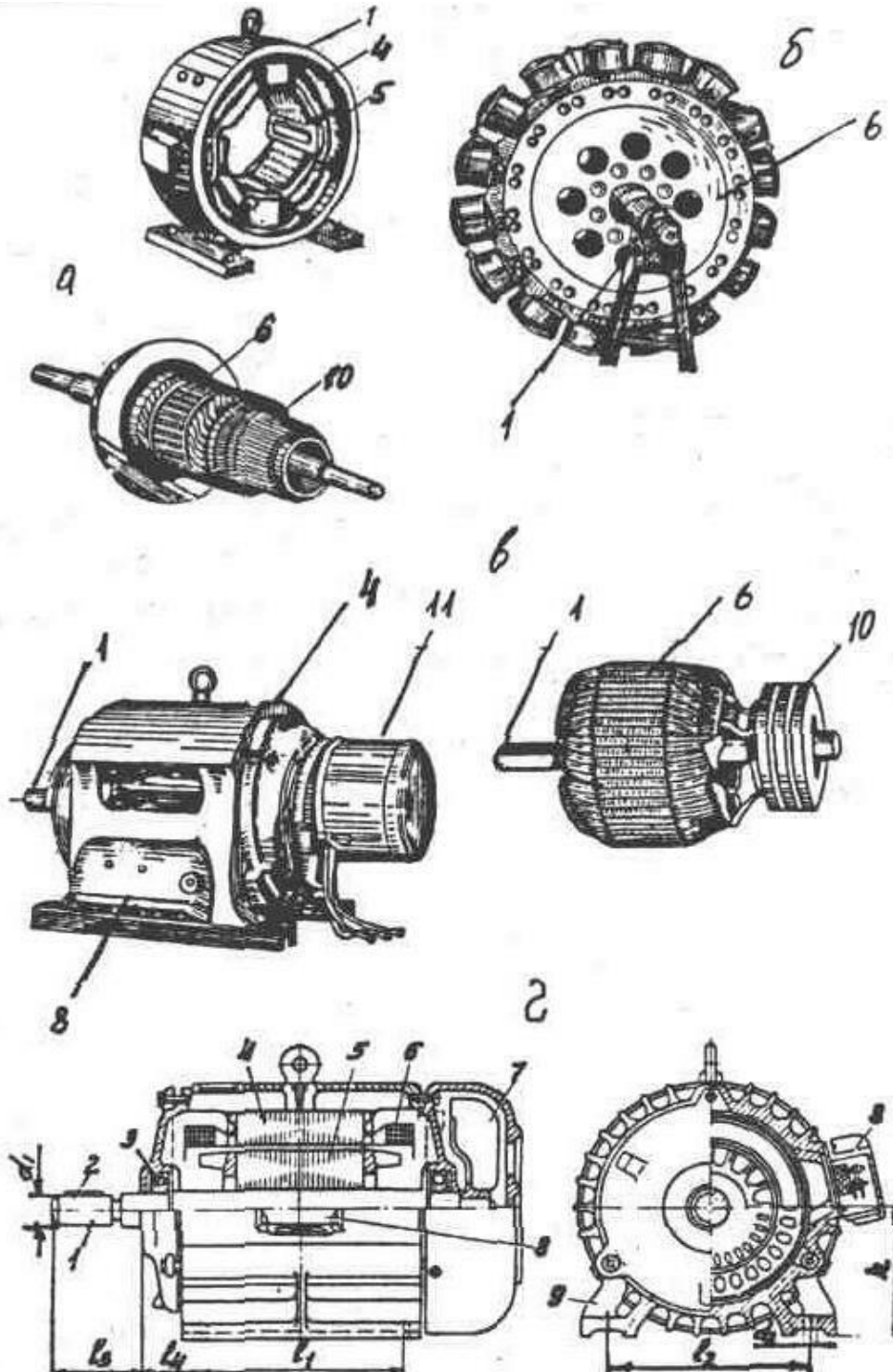


Принцип синхронного двигателя переменного тока



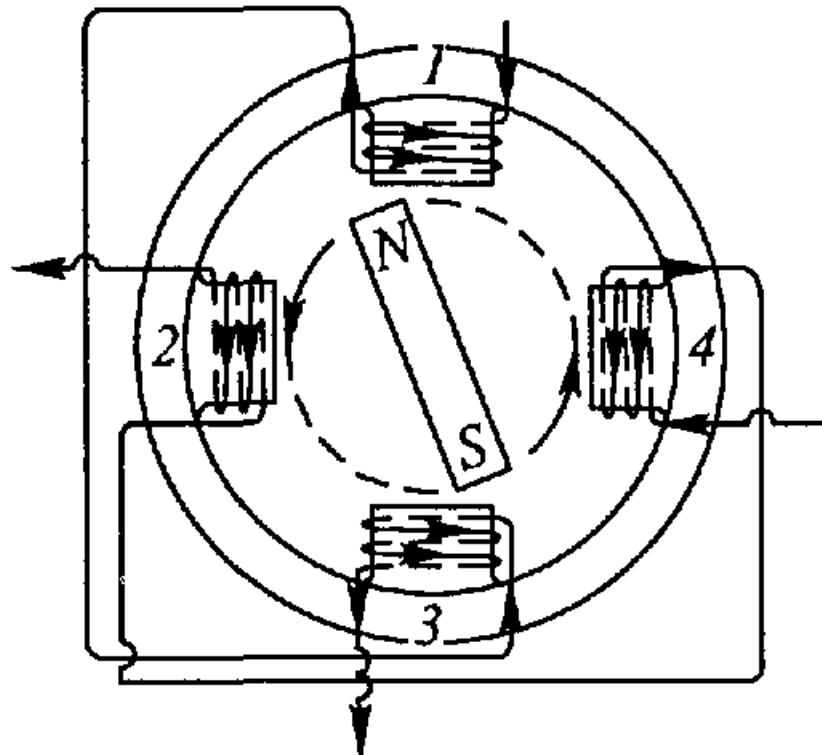
20.6





**Рис. 2. Электрические двигатели:** а - постоянного тока; б - синхронные; в ~ асинхронные с фазным ротором; г - асинхронные трехфазные с коротко замкнутым ротором серии 4А. 1 - вал, 2 ~ шпонка, 3 -подшипник, 4 - статор, 5 - обмотка статора, 6 - ротор (якорь); 7 - вентилятор; 8 - коробка выводов; 9 - лапа, 10 - коллектор; 11 - щетки; I1, I2 - продольное и поперечное расстояния в лапах; I3 - длина выступающего конца вала; I4. - размер выступающей крышки; h - высота оси вращения; d1, d2 - диаметры вала и отверстий в лапах.

# Двухфазный ток.



$$\mathcal{E}_1 = \mathcal{E}_0 \sin(\omega t),$$

$$\mathcal{E}_2 = \mathcal{E}_0 \sin(\omega t - 90^\circ).$$

Получение двухфазного тока

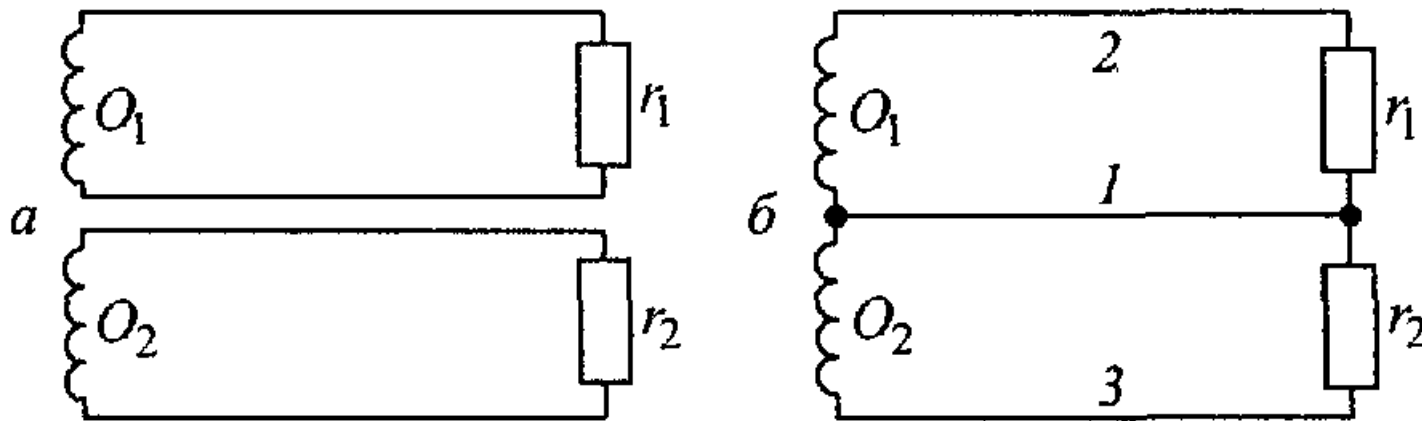


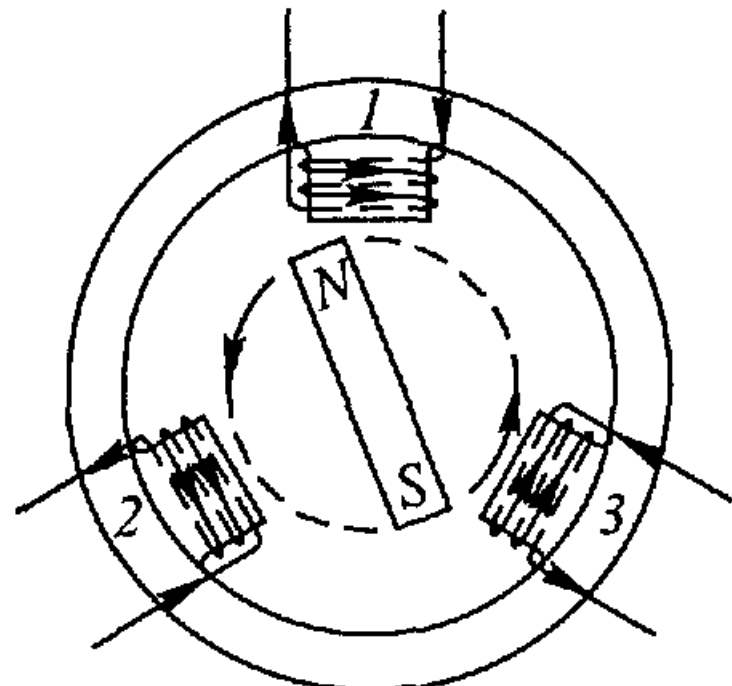
Схема двухфазной системы токов

Напряжения между концами обмоток  $O_1$  и  $O_2$  называют *фазными напряжениями*, токи в  $O_1$  и  $O_2$  – фазными токами. Этими же названиями обозначают напряжения и токи в нагрузочных сопротивлениях  $r_1$  и  $r_2$ . Напряжения же между проводами линии 1, 2 и 3 называют *линейными напряжениями*, а токи в этих проводах – *линейными токами*.

Если принять потенциал общего провода 1 за нуль, то

$$\begin{aligned}
 U_{12} &= \mathcal{E}_0 \sin(\omega t), \quad U_{13} = \mathcal{E}_0 \sin(\omega t - 90^\circ), \quad U_{23} = U_{12} - U_{13} = \\
 &= \mathcal{E}_0 \sin(\omega t) - \mathcal{E}_0 \sin(\omega t - 90^\circ) = 2\mathcal{E}_0 \sin 45^\circ \cos(\omega t - 45^\circ) = \\
 &= \sqrt{2}\mathcal{E}_0 \sin(\omega t + 45^\circ).
 \end{aligned}$$

# Трехфазный ток.

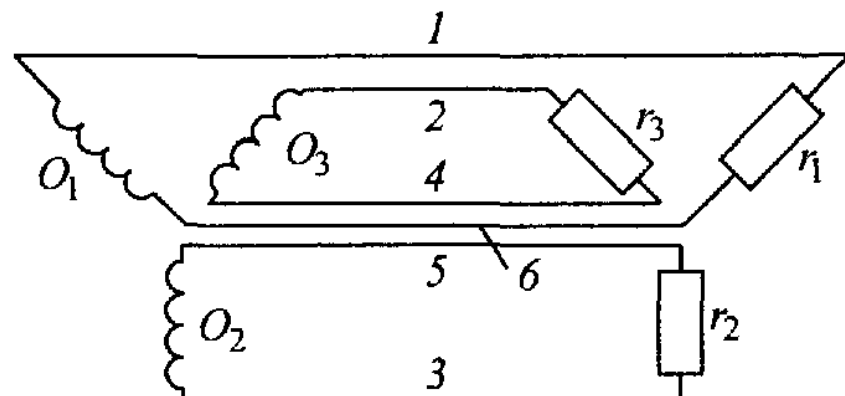


Получение трехфазного тока

$$\mathcal{E}_1 = \mathcal{E}_0 \sin(\omega t),$$

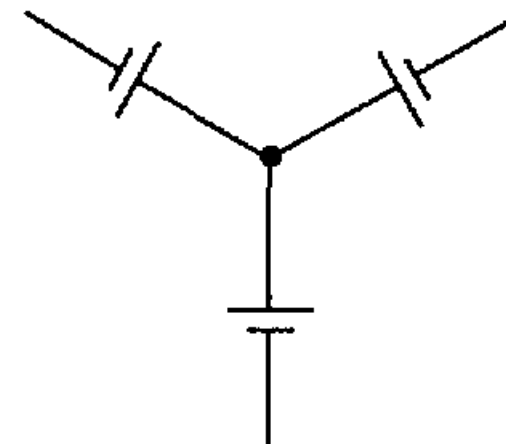
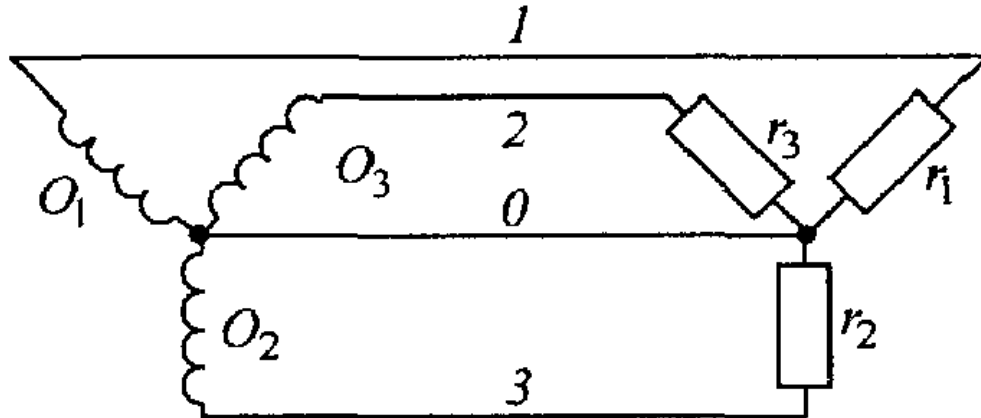
$$\mathcal{E}_2 = \mathcal{E}_0 \sin(\omega t - 120^\circ),$$

$$\mathcal{E}_3 = \mathcal{E}_0 \sin(\omega t - 240^\circ).$$

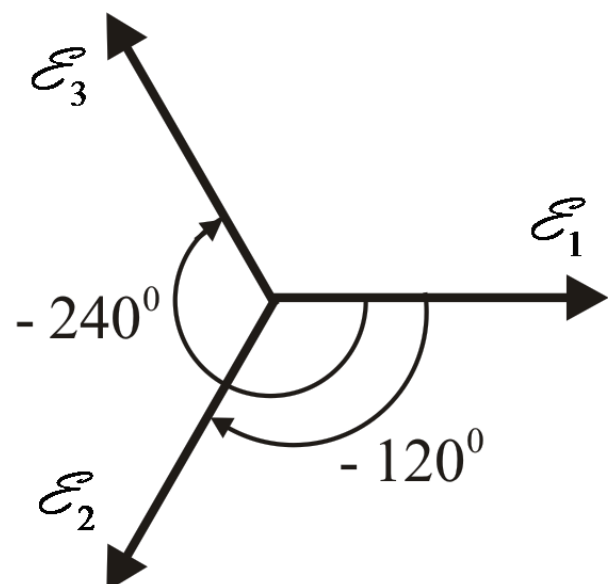


Трехфазная система токов

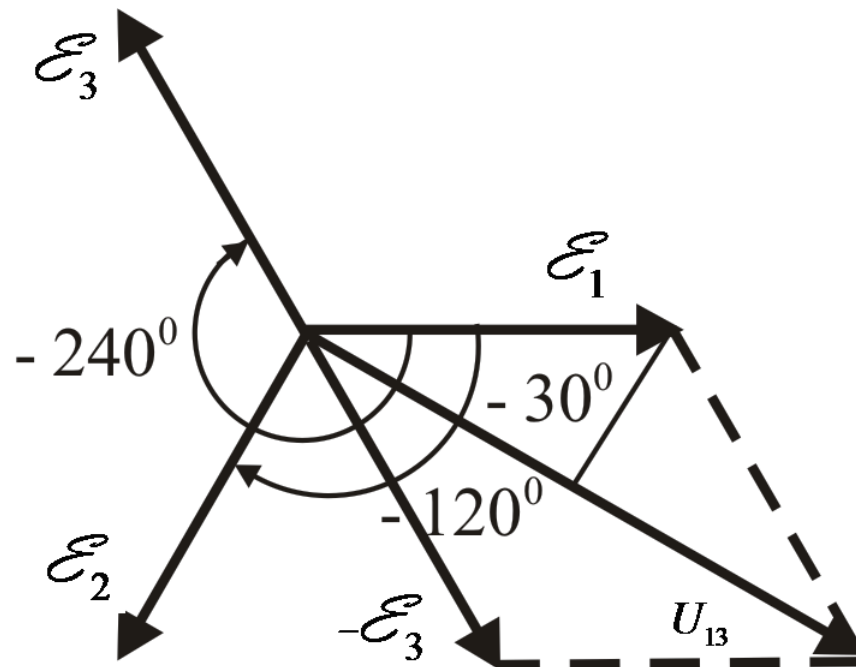
Соединение обмоток генератора и нагрузки «звездой»  
и «треугольником». Фазное и линейное напряжения.



Соединение звездой



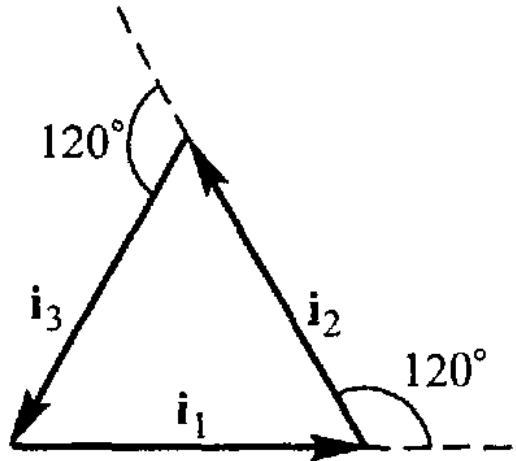
Соединение трех  
источников тока звездой



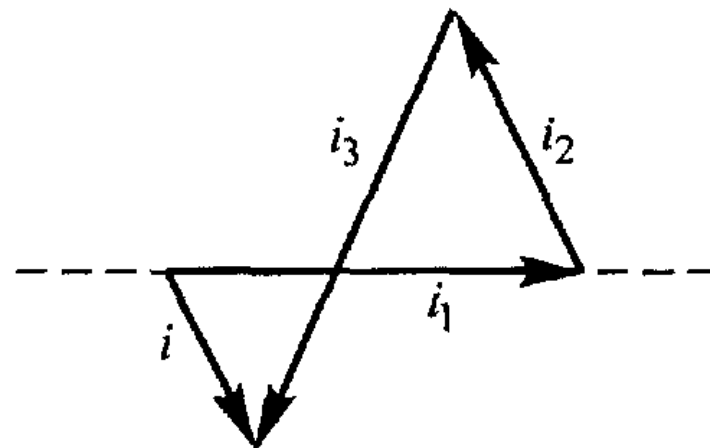
$$\begin{aligned}
 U_{13} &= \mathcal{E}_1 - \mathcal{E}_3 = \mathcal{E}_0 \sin(\omega t) - \mathcal{E}_0 \sin(\omega t - 240^\circ) = \\
 &= 2\mathcal{E}_0 \underbrace{\cos(30^\circ)}_{\sqrt{3}/2} \sin(\omega t - 30^\circ) = \sqrt{3}\mathcal{E}_0 \sin(\omega t - 30^\circ).
 \end{aligned}$$

Аналогично получим

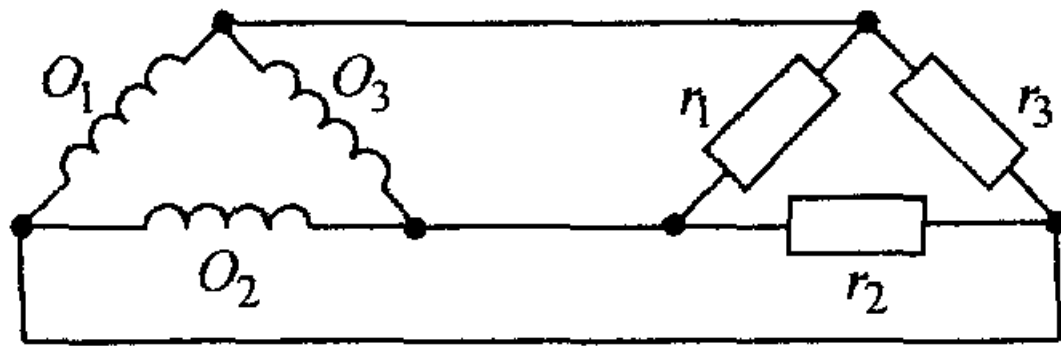
$$U_{12} = \mathcal{E}_1 - \mathcal{E}_2 = \mathcal{E}_0 \sin(\omega t) - \mathcal{E}_0 \sin(\omega t - 120^\circ) = \sqrt{3}\mathcal{E}_0 \sin(\omega t + 30^\circ).$$



Векторная диаграмма токов в нулевом проводе.  
Симметричная нагрузка



Векторная диаграмма токов в нулевом проводе. Несимметрич-  
ная нагрузка



Соединение треугольником

## Получение и использование вращающегося магнитного поля.

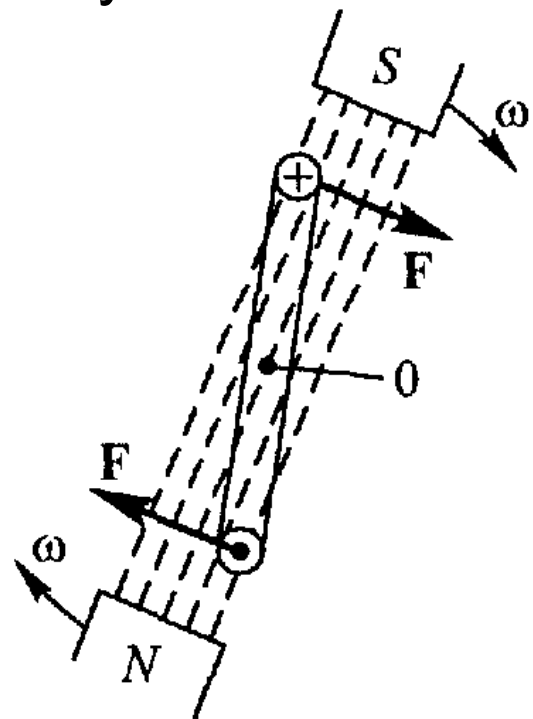


Рис 222. Действие вращающегося магнитного поля на замкнутый виток проволоки

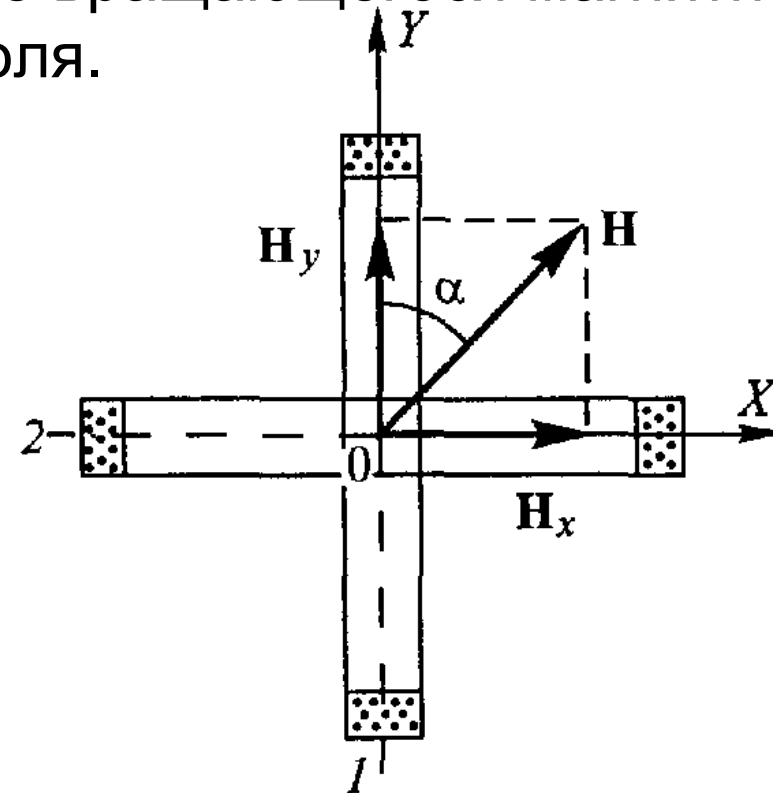
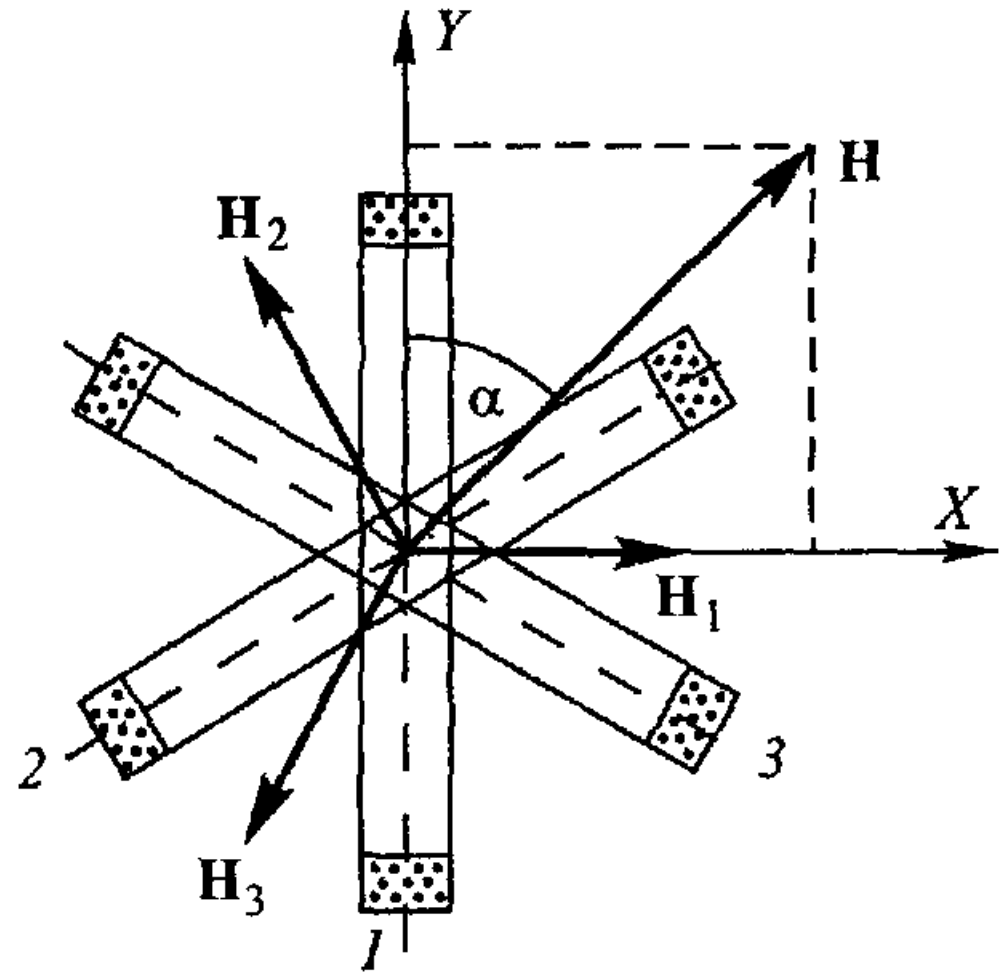


Рис. 223. Возникновение вращающегося магнитного поля двухфазного тока

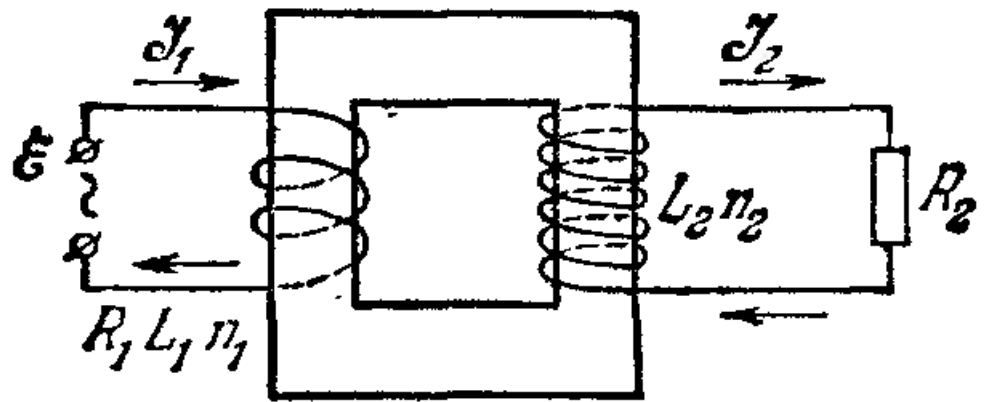
$$H_x = H_0 \sin \omega t; H_y = H_0 \sin(\omega t - 90^\circ) = -H_0 \cos \omega t.$$



$$\begin{aligned}
 H_1 &= H_0 \sin \omega t, \\
 H_2 &= H_0 \sin (\omega t - 120^\circ), \\
 H_3 &= H_0 \sin (\omega t - 240^\circ).
 \end{aligned}$$

Рис 224 Возникновение вращающегося магнитного поля трехфазного тока

# Трансформатор. Принцип действия, устройство, применение. Коэффициент трансформации. Роль сердечника.



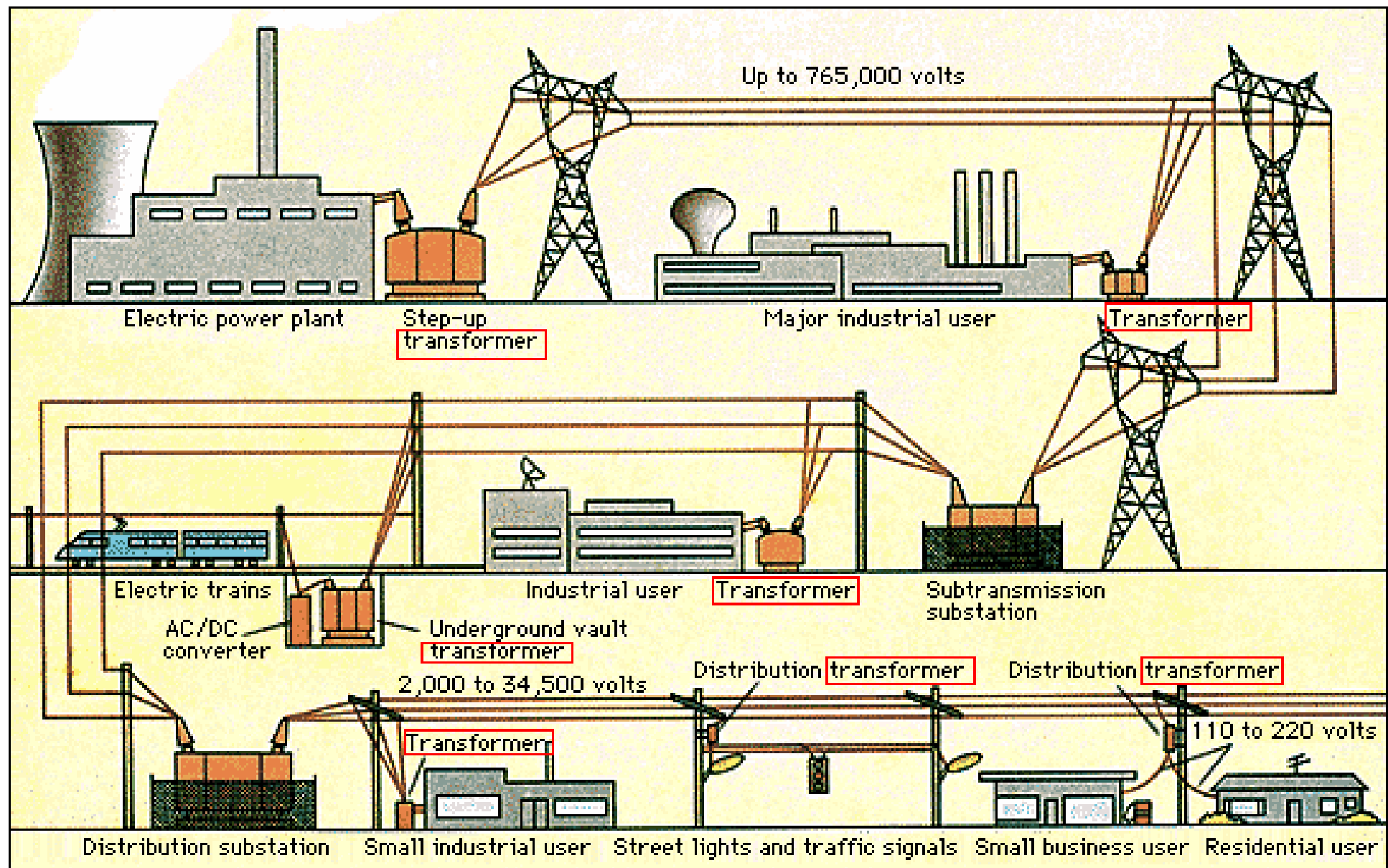
$$R_1 I_1 = \underbrace{U_1}_{\mathcal{E}} - \underbrace{\dot{\Phi}_1}_{i\omega\Phi_1},$$

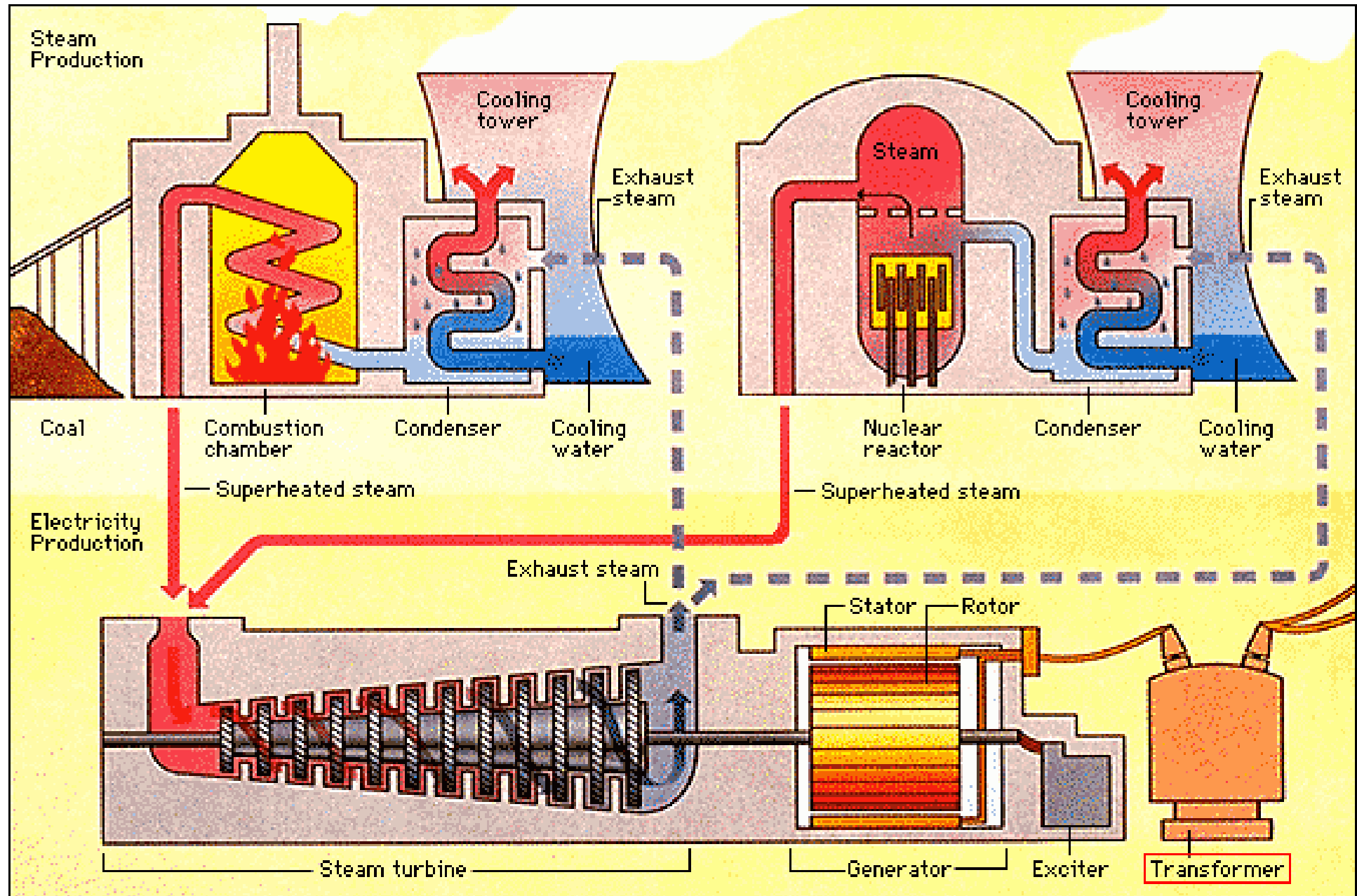
$$\underbrace{R_2 I_2}_{U_2} = - \underbrace{\dot{\Phi}_2}_{i\omega\Phi_2}.$$

Обычно  $I_1 R_1 \ll \mathcal{E} \Rightarrow U_1 = i\omega\Phi_1, U_2 = -i\omega\Phi_2$ .  $\Phi_1 = n_1\Phi_0, \Phi_2 = n_2\Phi_0$ ,

$$\frac{|U_2|}{|U_1|} = \frac{n_2}{n_1} = K \text{ -- коэффициент трансформации.}$$

$$P_1 = P_2; \Rightarrow I_1 U_1 = I_2 U_2; \Rightarrow \frac{I_2}{I_1} = \frac{U_1}{U_2} = \frac{n_1}{n_2}.$$





# Лекция 21.

- Высокочастотные токи. Скин-эффект.  
Толщина скин-слоя.
- Система уравнений Максвелла как обобщение опытных данных. Ток проводимости и ток смещения. Взаимные превращения электрического и магнитного полей. Электромагнитные волны. Волновое уравнение. Вектор Умова-Пойтинга. Скорость распространения электромагнитных волн.

# Система уравнений Максвелла как обобщение опытных данных. Ток проводимости и ток смещения.

$$\begin{cases} \operatorname{div} \vec{D} = \rho, \\ \operatorname{rot} \vec{E} = 0, \\ \vec{D} = \epsilon_0 \vec{E} + \vec{P}, \end{cases} \quad \iff \quad \begin{cases} \int\limits_{S_V} \vec{D} d\vec{S} = \int\limits_V \rho dV, \\ \oint\limits_L \vec{E} \cdot d\vec{l} = 0. \end{cases}$$

$$\begin{cases} \operatorname{div} \vec{B} = 0, \\ \operatorname{rot} \vec{H} = \vec{J}, \\ \vec{B} = \mu_0 (\vec{H} + \vec{I}), \end{cases} \quad \iff \quad \begin{cases} \int\limits_{S_V} \vec{B} d\vec{S} = 0, \\ \oint\limits_L \vec{H} \cdot d\vec{l} = \int\limits_{S_L} \vec{J} \cdot d\vec{S}. \end{cases}$$

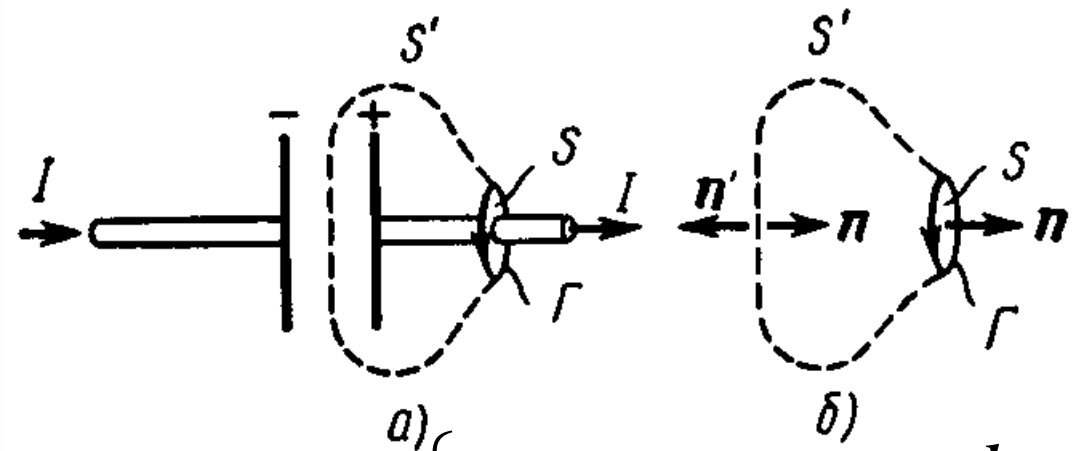
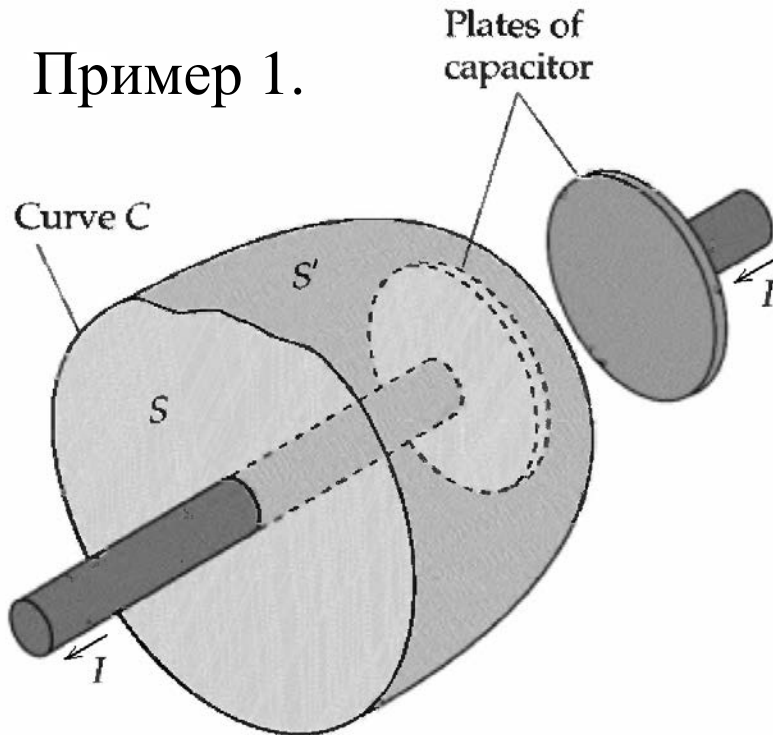
$$\operatorname{rot} \vec{E} = - \frac{\partial \vec{B}}{\partial t} \quad \iff \quad \oint\limits_L \vec{E} d\vec{l} = - \frac{d}{dt} \int\limits_S \vec{B} d\vec{S}.$$

$$\left\{ \begin{array}{l} \operatorname{div} \vec{D} = \rho, \\ \operatorname{div} \vec{B} = 0, \\ \operatorname{rot} \vec{E} = -\frac{\partial \vec{B}}{\partial t}, \\ \operatorname{rot} \vec{H} = \vec{J} + \underbrace{\frac{\partial \vec{D}}{\partial t}}_{\vec{J}_{cm}}, \end{array} \right. \iff \left\{ \begin{array}{l} \int\limits_{S_V} \vec{D} d\vec{S} = \int\limits_V \rho dV, \\ \int\limits_{S_V} \vec{B} d\vec{S} = 0, \\ \oint\limits_L \vec{E} d\vec{l} = -\frac{d}{dt} \int\limits_S \vec{B} d\vec{S}, \\ \oint\limits_L \vec{H} \cdot d\vec{l} = \int\limits_{S_L} \vec{J} \cdot d\vec{S} + \underbrace{\frac{d}{dt} \int\limits_S \vec{D} d\vec{S}}_{I_{cm}}. \end{array} \right.$$

$\vec{J}_{cm} = \frac{\partial \vec{D}}{\partial t}$  – плотность тока смещения.

$I_{cm} = \int\limits_S \vec{J}_{cm} d\vec{S} = \int\limits_S \frac{\partial \vec{D}}{\partial t} d\vec{S}$  – ток смещения.

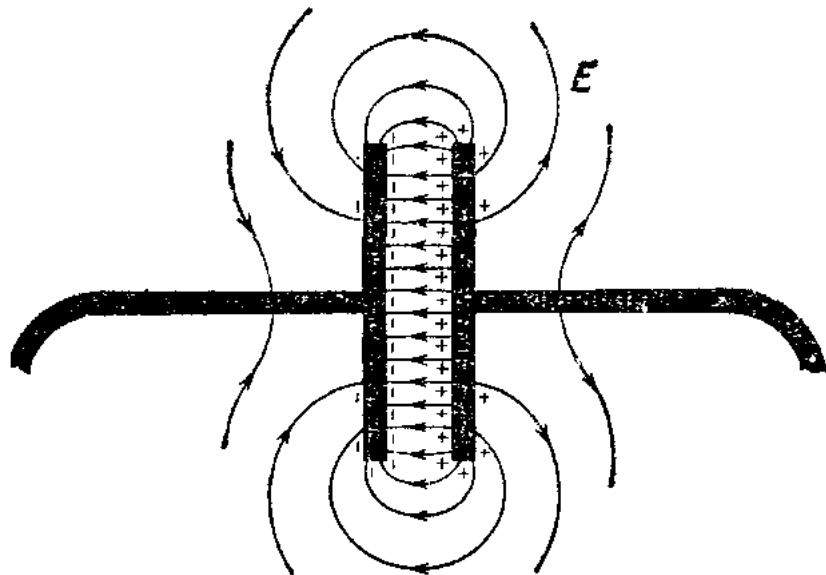
Пример 1.



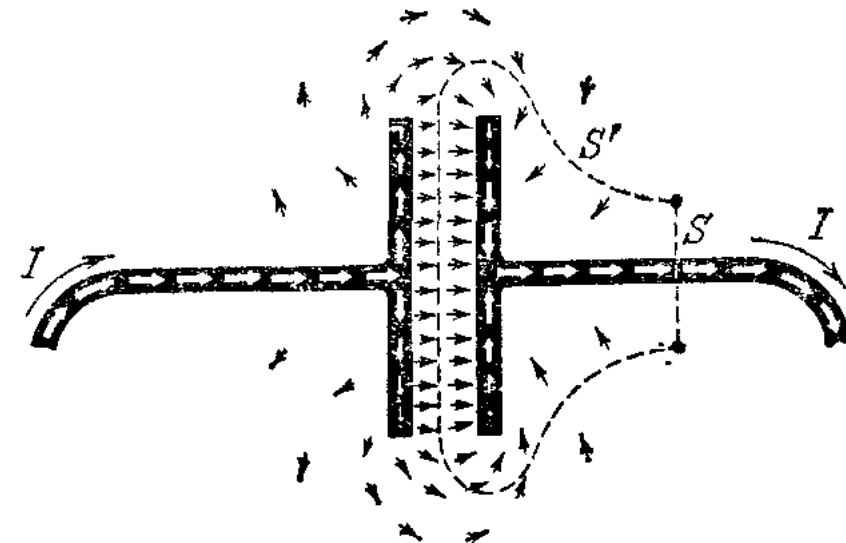
$$\oint_{\Gamma} \vec{H} \cdot d\vec{l} = \begin{cases} \int_S \vec{J} \cdot d\vec{S} = I = -\frac{dq}{dt}, \\ \int_{S'} \vec{J} \cdot d\vec{S}' = 0, ? \end{cases}$$

$$\oint_{S+S'} \vec{J} d\vec{S} = -\frac{dq}{dt} = -\frac{d}{dt} \oint_{S+S'} \vec{D} d\vec{S} = -\oint_{S+S'} \frac{\partial \vec{D}}{\partial t} d\vec{S}; \Rightarrow \underbrace{\oint_{S+S'} (\vec{J} + \frac{\partial \vec{D}}{\partial t}) d\vec{S}}_{\vec{J}_{\text{пол}}} = 0.$$

$$0 = \oint_{S+S'} \vec{J}_{\text{пол}} d\vec{S} = \int_S \vec{J}_{\text{пол}} \vec{n} dS + \int_{S'} \vec{J}_{\text{пол}} \underbrace{\vec{n}' dS}_{-\vec{n} dS}; \Rightarrow \underbrace{\int_S \vec{J}_{\text{пол}} \vec{n} dS}_{I_{\text{пол}}} = \underbrace{\int_{S'} \vec{J}_{\text{пол}} \vec{n} dS}_{I'_{\text{пол}}} \quad 21.4$$

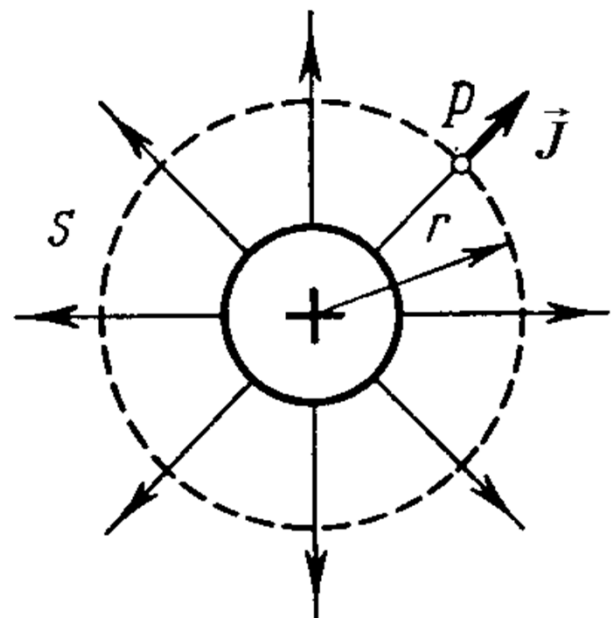


Электрическое поле в определенный момент времени. Величина поля  $E$  всюду уменьшается со временем.



Ток проводимости (белые стрелки) и ток смещения (черные стрелки).

### Пример 2.



$$\operatorname{rot} \underbrace{\vec{H}}_{=0} = \vec{J} + \underbrace{\frac{\partial \vec{D}}{\partial t}}_{\vec{J}_{cm}} = 0; \quad D4\pi r^2 = q; \Rightarrow$$

$$J = -\frac{\partial D}{\partial t} = -\frac{\partial q}{\partial t} \frac{1}{4\pi r^2} = \frac{I}{4\pi r^2};$$

# Высокочастотные токи. Скин-эффект. Толщина скин-слоя

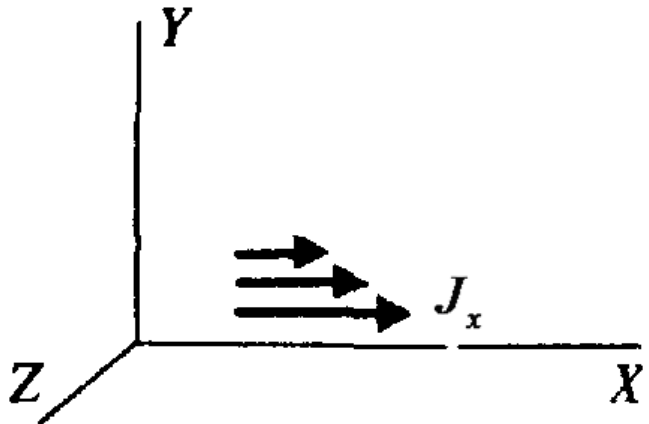
Второе условие квазистационарности:  $|\vec{J}| \gg \left| \frac{\partial \vec{D}}{\partial t} \right|$ .

Пусть  $\vec{E} = \vec{E}_0 \sin \omega t$ . Тогда, учитывая  $\vec{D} = \epsilon \epsilon_0 \vec{E}$ ,  $\vec{J} = \vec{E} / \rho$ , имеем

$E_0 / \rho \gg \omega \epsilon \epsilon_0 E_0$ . Или  $\omega \ll 1 / (\epsilon \epsilon_0 \rho)$ . Для меди

$$1 / (\epsilon_0 \rho) = 1 / (8,85 \cdot 10^{-12} \Phi / \text{м} \cdot 1,72 \cdot 10^{-8} \text{Ом} \cdot \text{м}) = 6,6 \cdot 10^{18} \text{рад/с}$$

$$\begin{cases} \operatorname{rot} \vec{E} = -\frac{\partial \vec{B}}{\partial t}, & \underbrace{\operatorname{rot}(\operatorname{rot} \vec{E})}_{\substack{\operatorname{grad} \cdot \operatorname{div} \vec{E} - \Delta \vec{E} \\ = \rho = 0}} = -\frac{\partial \operatorname{rot}(\mu \mu_0 \vec{H})}{\partial t} = -\mu \mu_0 \frac{\partial \vec{J}}{\partial t}; \\ \operatorname{rot} \vec{H} = \vec{J}, & \Delta \vec{E} = \frac{\mu \mu_0}{\rho} \frac{\partial \vec{E}}{\partial t}. \end{cases}$$



Скин-эффект в бесконечном проводнике с плоской границей

$$\frac{\partial^2 E_x(y, t)}{\partial y^2} = \frac{\mu\mu_0}{\rho} \frac{\partial E_x}{\partial t}.$$

Полагая  $E_x(y, t) = E_0(y)e^{i\omega t}$ , имеем

$$\frac{\partial^2 E_0(y)}{\partial y^2} = \frac{\mu\mu_0}{\rho} i\omega E_0(y).$$

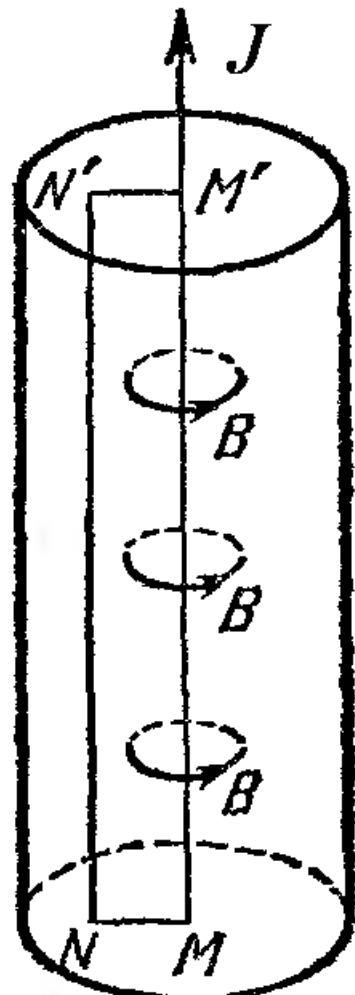
$$E_0(y) = Ae^{-ky} + Be^{ky}, \quad k^2 E_0(y) = i \frac{\mu\mu_0\omega}{\rho} E_0(y), \quad \frac{1}{\delta^2} = \frac{\mu\mu_0\omega}{2\rho}.$$

$$k = \frac{\sqrt{2}}{\delta} \sqrt{i} = \sqrt{2} \frac{1}{\delta} \frac{i+1}{\sqrt{2}}. \quad \text{Из граничных условий: } |E_0(y)| < \infty \text{ при } y \rightarrow \infty, \Rightarrow B = 0.$$

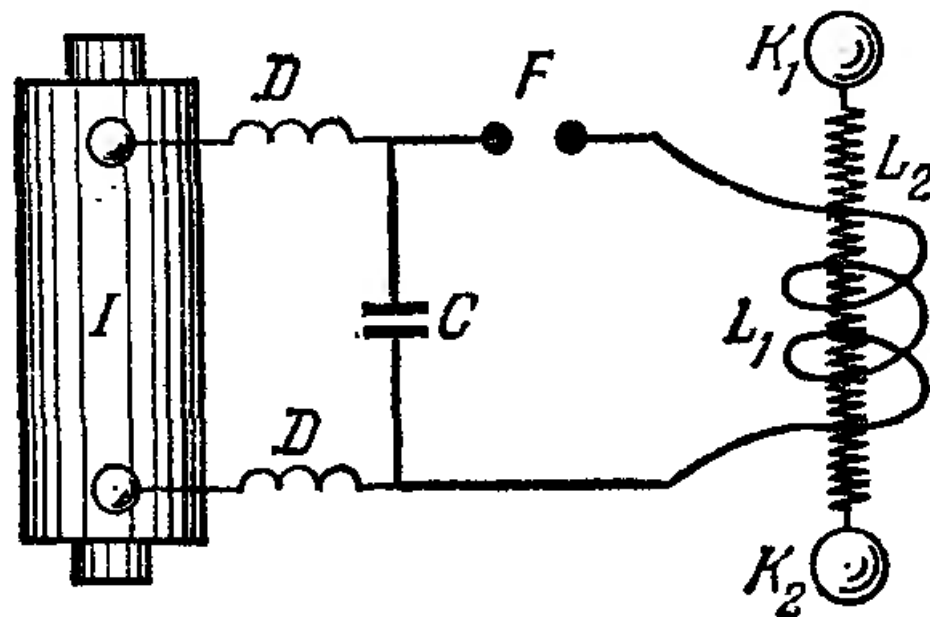
$$E_x(y, t) = Ae^{-\frac{x}{\delta}(1+i)} e^{i\omega t} = Ae^{-\frac{x}{\delta}} e^{i(\omega t - \frac{x}{\delta})}. \quad \delta = \sqrt{\frac{2\rho}{\mu\mu_0\omega}} -$$

-толщина скин-слоя.

Например, если  $\omega=10^4 \text{ рад/с}^{-1}$ ,  $\rho=1,72 \cdot 10^{-8} \text{ Ом} \cdot \text{м}$  (медь),  $\mu=1$ ,  $\mu_0=1,27 \cdot 10^{-6} \text{ Гн/м}$ ,  $\delta=1,65 \text{ мм}$ .



Высокочастотный резонансный трансформатор Тесла



# Взаимные превращения электрического и магнитного полей. Электромагнитные волны. Волновое уравнение.

Рассмотрим электромагнитное поле в однородной изотропной и бесконечной среде или в вакууме при  $\rho=0$  и  $J = 0$ .

$$\left\{ \begin{array}{l} \operatorname{div} \vec{D} = 0, \quad \operatorname{div} \vec{B} = 0, \\ \vec{D} = \epsilon \epsilon_0 \vec{E}, \quad \vec{B} = \mu \mu_0 \vec{H}, \\ \operatorname{rot} (\operatorname{rot} \vec{E} = -\frac{\partial \vec{B}}{\partial t}), \\ \operatorname{rot} (\operatorname{rot} \vec{H} = \frac{\partial \vec{D}}{\partial t}), \end{array} \right. \quad \left\{ \begin{array}{l} \operatorname{grad} \underbrace{\operatorname{div} \vec{E}}_{=0} - \Delta \vec{E} = -\frac{\partial}{\partial t} \operatorname{rot} \vec{B} = -\mu \mu_0 \frac{\partial^2 \vec{D}}{\partial t^2}, \\ \operatorname{grad} \underbrace{\operatorname{div} \vec{H}}_{=0} - \Delta \vec{H} = \frac{\partial}{\partial t} \operatorname{rot} \vec{D} = -\epsilon \epsilon_0 \frac{\partial^2 \vec{B}}{\partial t^2}, \\ \Delta \vec{E} - \underbrace{\epsilon \epsilon_0 \mu \mu_0}_{1/\nu^2} \frac{\partial^2 \vec{E}}{\partial t^2} = 0, \quad \text{Где } \nu = \frac{1}{\sqrt{\epsilon \epsilon_0 \mu \mu_0}} = \frac{c}{\sqrt{\epsilon \mu}}, \\ \Delta \vec{H} - \underbrace{\epsilon \epsilon_0 \mu \mu_0}_{1/\nu^2} \frac{\partial^2 \vec{H}}{\partial t^2} = 0, \quad c = \frac{1}{\sqrt{\epsilon_0 \mu_0}} \end{array} \right.$$

Пусть  $\vec{E} = \vec{E}(z, t), \vec{H} = \vec{H}(z, t)$ .

$$\begin{cases} \frac{\partial^2 \vec{E}}{\partial z^2} - \frac{1}{v^2} \frac{\partial^2 \vec{E}}{\partial t^2} = 0, \Rightarrow \vec{E}(t - \frac{z}{v}), \\ \Delta \vec{H} - \frac{1}{v^2} \frac{\partial^2 \vec{H}}{\partial t^2} = 0, \Rightarrow \vec{H}(t - \frac{z}{v}), \end{cases}$$

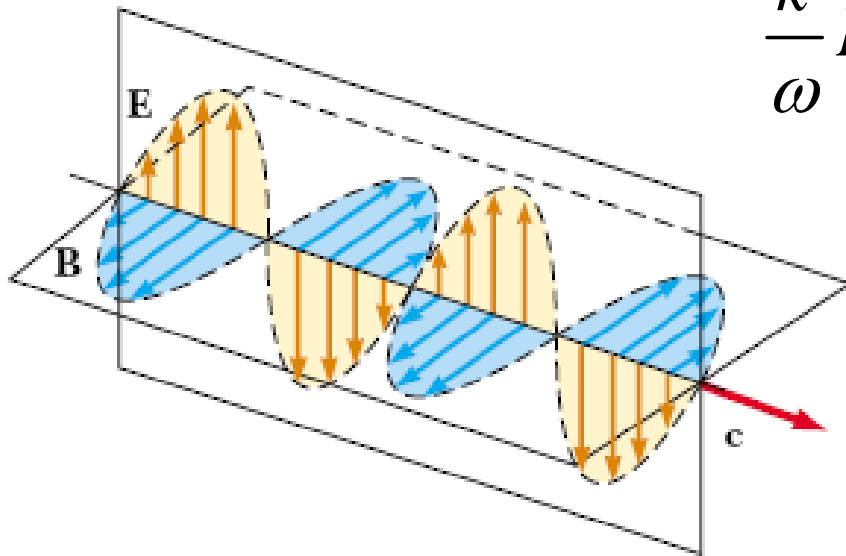
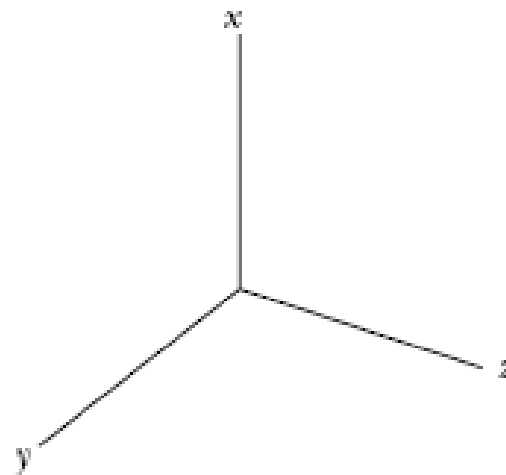
$$\vec{E} = \vec{E}_0 \cos[\omega(t - \frac{z}{v})] = \vec{E}_0 \cos[\omega t - \frac{\omega}{v} z] = \vec{E}_0 \cos[\omega t - kz],$$

$$\vec{E} = \vec{E}_0 \cos[\omega t - \vec{k} \vec{r}] = \vec{E}_0 e^{i(\omega t - \vec{k} \vec{r})}. \quad \left( \frac{\omega}{k} = v \text{ по определению } k \right)$$

$$\text{Аналогично } \vec{H}_0 \cos[\omega t - \vec{k} \vec{r}] = \vec{H}_0 e^{i(\omega t - \vec{k} \vec{r})}.$$

$$\frac{\partial}{\partial t} \vec{E}_0 e^{i(\omega t - \vec{k} \vec{r})} = i\omega \vec{E}_0 e^{i(\omega t - \vec{k} \vec{r})}; \text{rot} \vec{E} = [\nabla, \vec{E}] = -i[\vec{k}, \vec{E}],$$

$$\text{div} \vec{E} = \nabla \cdot \vec{E} = -i \vec{k} \cdot \vec{E}.$$



$$\left\{ \begin{array}{l} \operatorname{rot} \vec{E} = -\frac{\partial \vec{B}}{\partial t}, \\ \operatorname{rot} \vec{H} = \frac{\partial \vec{D}}{\partial t}, \end{array} \right. \Rightarrow \left\{ \begin{array}{l} [-i\vec{k}, \vec{E}] = -i\omega \vec{B} = -i\omega \mu \mu_0 \vec{H}, \\ [-i\vec{k}, \vec{H}] = i\omega \vec{D} = i\omega \epsilon \epsilon_0 \vec{E}, \end{array} \right. \quad \vec{k} \perp \vec{E} \perp \vec{H}$$

$$\frac{k}{\omega} E_x = \mu \mu_0 H_y, \quad \frac{k}{\omega} = \frac{1}{v} = \sqrt{\epsilon \epsilon_0 \mu \mu_0},$$

$$\sqrt{\epsilon \epsilon_0} E_x = \sqrt{\mu \mu_0} H_y,$$

$$\sqrt{\epsilon \epsilon_0} E_0 = \sqrt{\mu \mu_0} H_0,$$

$$\lambda = \frac{2\pi}{k} = \frac{2\pi}{k} \frac{\omega}{\omega} = T v$$

$$n = \frac{c}{v} = \sqrt{\epsilon \mu}$$

21.11

# Вектор Умова-Пойтинга.

$$w = \vec{E}\vec{D}/2 + \vec{H}\vec{B}/2$$

Учитывая равенства  $\vec{D} = -[\frac{\vec{k}}{\omega}, \vec{H}]$ ,  $\vec{B} = [\frac{\vec{k}}{\omega}, \vec{E}]$ , имеем

$$w = -\vec{E}[\frac{\vec{k}}{\omega}, \vec{H}]/2 + \vec{H}[\frac{\vec{k}}{\omega}, \vec{E}]/2 = \vec{H}[\frac{\vec{k}}{\omega}, \vec{E}] = \frac{\vec{k}}{\omega}[\vec{E}, \vec{H}].$$

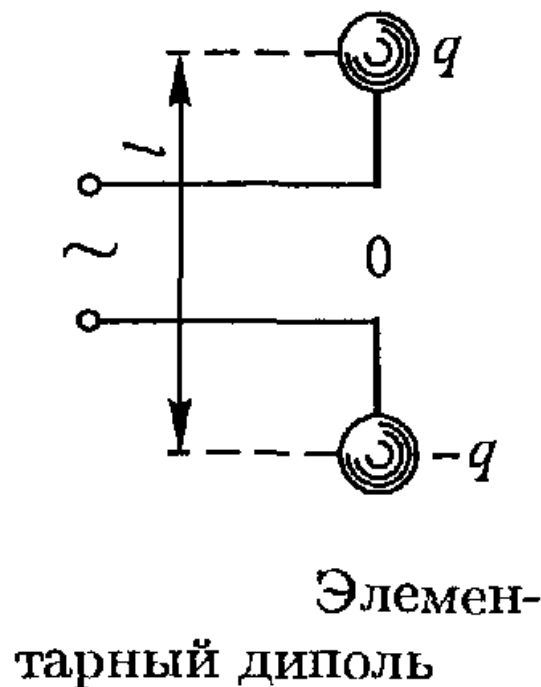
$\vec{S} = [\vec{E}, \vec{H}]$  – вектор Умова-Пойтинга,  $\vec{k} \perp \vec{E} \perp \vec{H}$ ,

$$|\vec{S}| = \frac{\omega}{k} w = \nu w = |\text{для вакуума}| = cw.$$

## Вектор Умова-Пойтинга (строгий вывод).

$$\begin{aligned}
 P &= \int_{\infty} \vec{J} \vec{E} dV = \int_{\infty} (\operatorname{rot} \vec{H} - \frac{\partial \vec{D}}{\partial t}) \vec{E} dV = |\operatorname{div}[\vec{E}, \vec{H}]| = \operatorname{rot} \vec{E} \cdot \vec{H} - \operatorname{rot} \vec{H} \cdot \vec{E} | = \\
 &= \int_{\infty} \underbrace{(\operatorname{rot} \vec{E} \cdot \vec{H} - \operatorname{div}[\vec{E}, \vec{H}] - \frac{\partial \vec{D}}{\partial t} \cdot \vec{E})}_{= - \frac{\partial \vec{B}}{\partial t}} dV = - \int_{\infty} \operatorname{div}[\vec{E}, \vec{H}] dV + \\
 &+ \int_{\infty} \left( - \frac{\partial \vec{B}}{\partial t} \vec{H} - \frac{\partial \vec{D}}{\partial t} \vec{E} \right) dV = |\vec{B} = \mu \mu_0 \vec{H}; \quad \vec{D} = \epsilon \epsilon_0 \vec{E}| = \\
 &- \int_{S_{R \rightarrow \infty}} \underbrace{[\vec{E}, \vec{H}] d\vec{\sigma}}_{\vec{S}} - \frac{\partial}{\partial t} \int_{\infty} \underbrace{\left( \frac{\vec{H} \vec{B}}{2} + \frac{\vec{E} \vec{D}}{2} \right)}_{w} dV; \\
 \frac{\partial}{\partial t} \int_{\underset{W_{\text{электр. поля}}}{\overbrace{\infty}}} w dV &= -P - \int_{S_{R \rightarrow \infty}} \underbrace{[\vec{E}, \vec{H}] d\vec{\sigma}}_{\vec{S}}; \Rightarrow \vec{S} = [\vec{E}, \vec{H}] - \begin{array}{l} \text{ПОТОК ЭНЕРГИИ} \\ \text{ЭЛЕКТРОМАГНИТНОГО} \\ \text{ПОЛЯ.} \end{array} \quad 21.13
 \end{aligned}$$

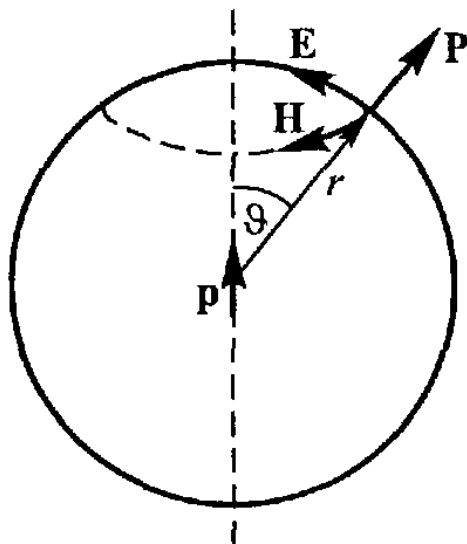
# Излучение электромагнитных волн элементарным диполем.



$$p = p_0 \sin \omega t, \text{ где } p_0 = q_0 l;$$

$$I = dq / dt = q_0 \omega \cos \omega t = I_0 \cos \omega t, p_0 = I_0 l / \omega.$$

При  $r \gg \lambda$  – волновая зона, поле равно

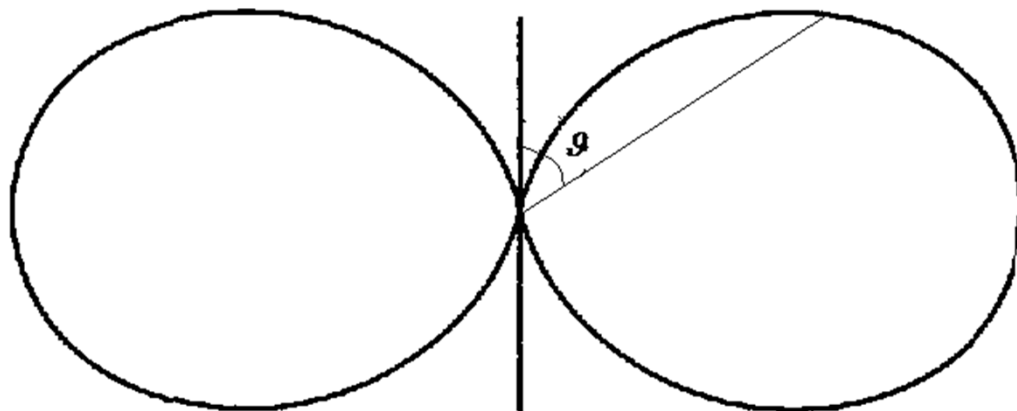


$$E = \frac{1}{4\pi\epsilon_0} \frac{\ddot{p}(t - r/c) \sin \vartheta}{c^2 r},$$

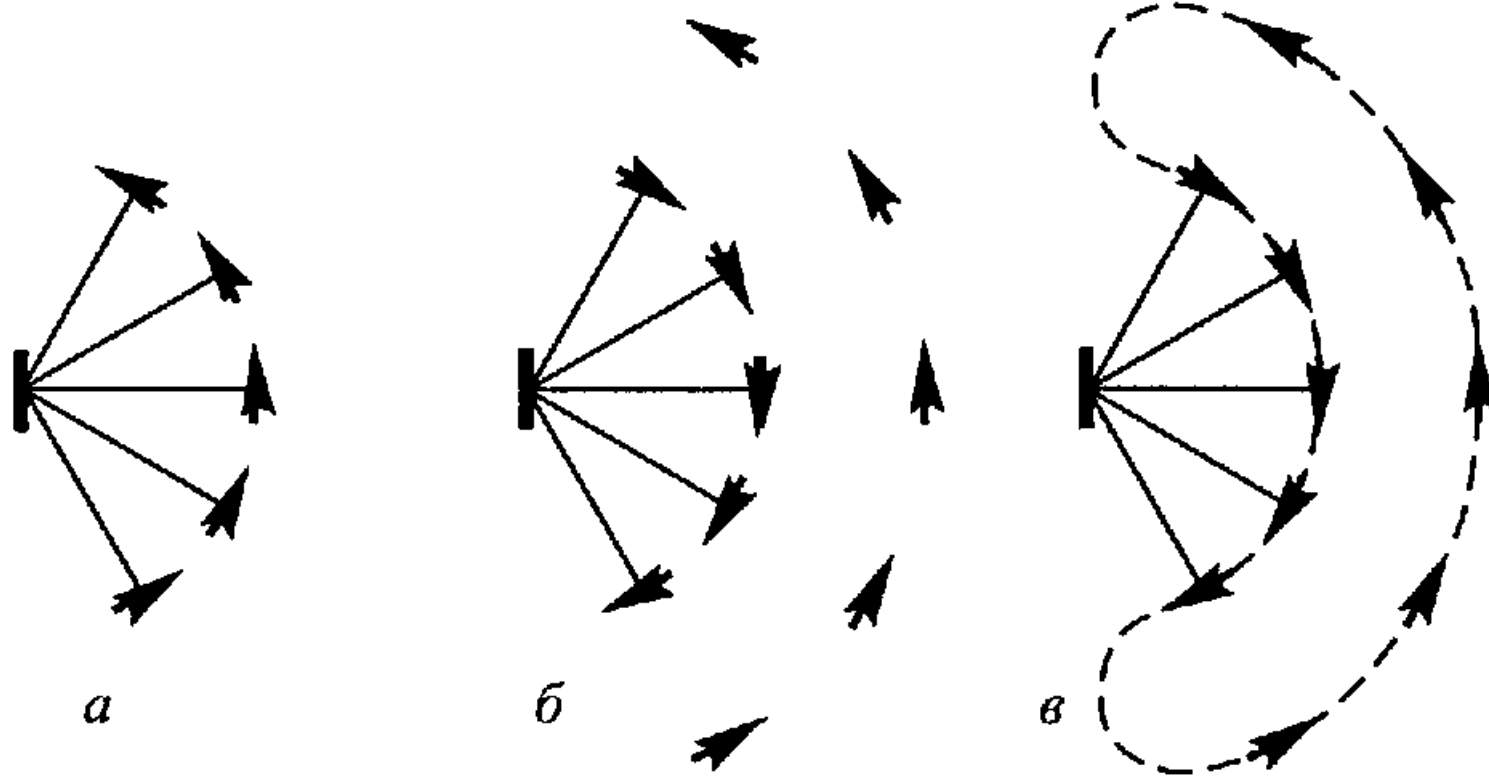
$$H = \sqrt{\frac{\epsilon_0}{\mu_0}} E.$$

Для гармонических колебаний  $\ddot{p}(t - r/c) = -p_0 \omega^2 \sin[\omega(t - r/c)]$ .

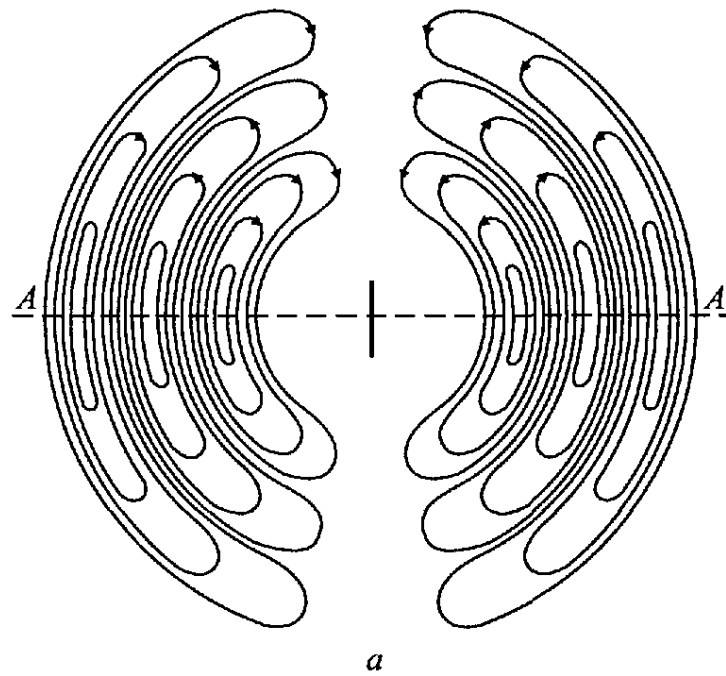
$$S = EH = \frac{p_0^2 \omega^4 \sin^2 \vartheta}{16\pi^2 \epsilon_0 c^3 r^2} \sin^2[\omega(t - r/c)]; \Rightarrow \langle S \rangle = \frac{p_0^2 \omega^4 \sin^2 \vartheta}{16\pi^2 \epsilon_0 c^3 r^2} \frac{1}{2}.$$



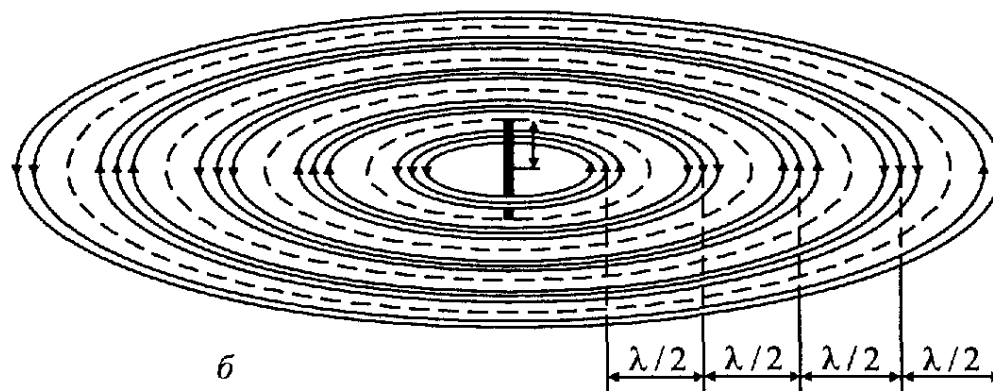
$$dW_{\text{изл.}} = \int_{S_r} S d\sigma = \int_{S_r} S 2\pi r^2 \sin \vartheta d\vartheta = \frac{1}{12\pi} \frac{p_0^2 \omega^4}{\epsilon_0 c^3}.$$



Форма линий напряженности поля излучающего диполя

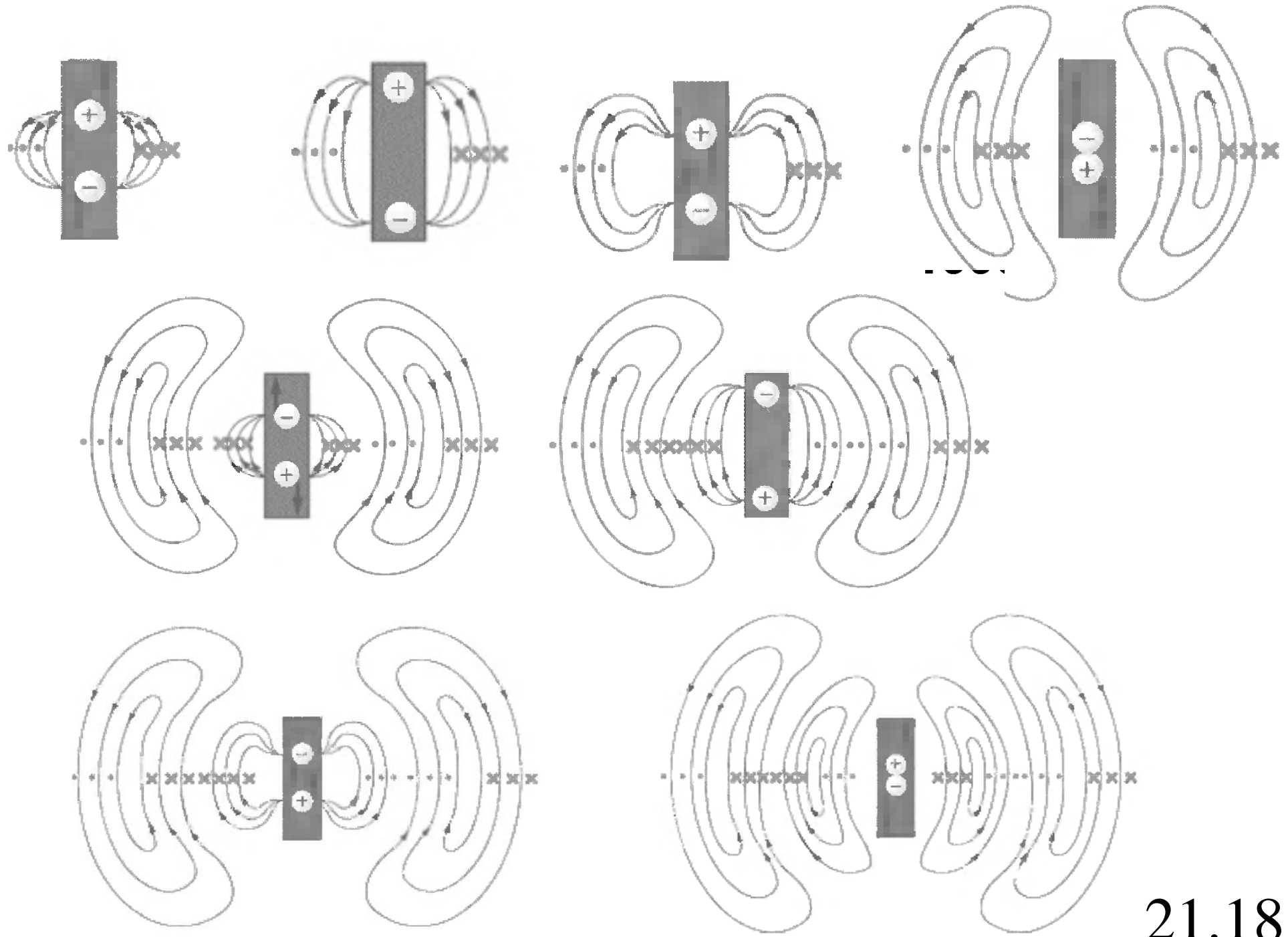


*a*

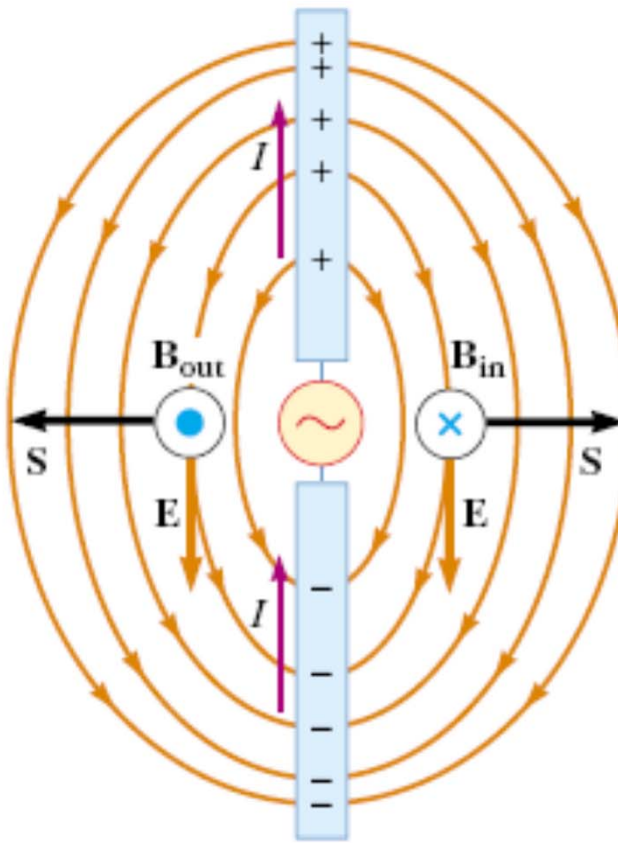


*b*

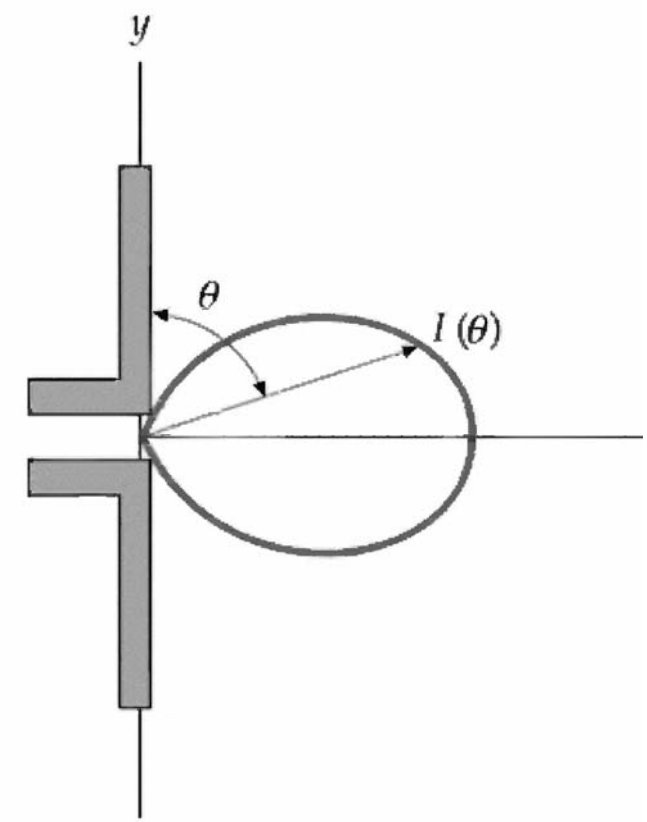
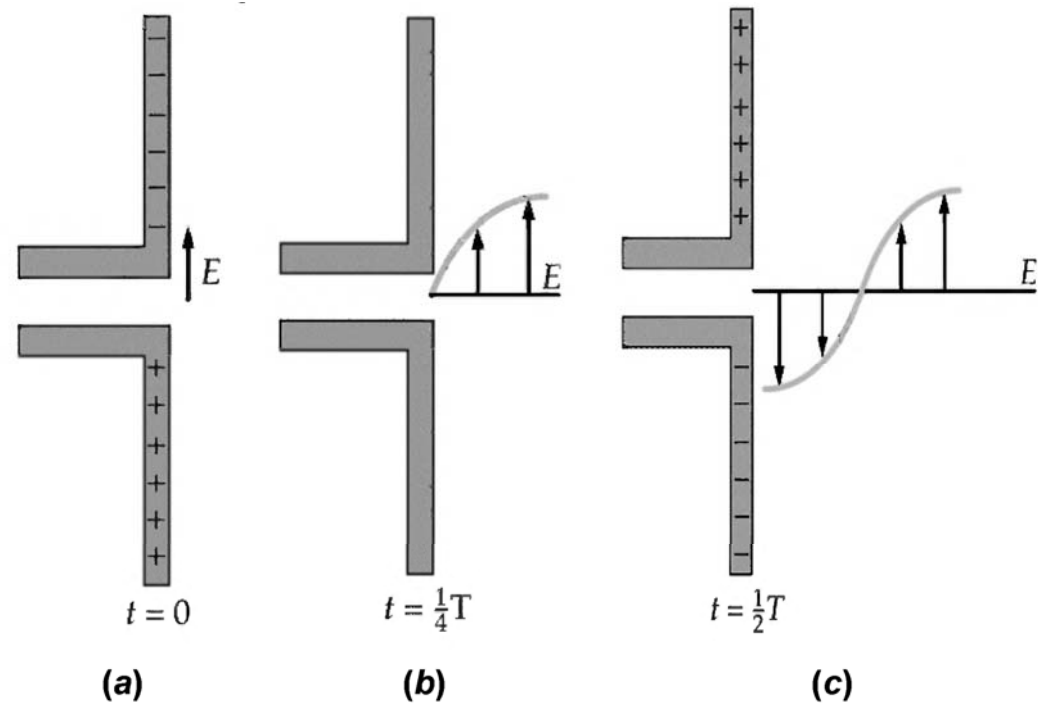
Рис. 425 Линии напряженности (а) и индукции (б) в шаровой электромагнитной волне диполя



21.18

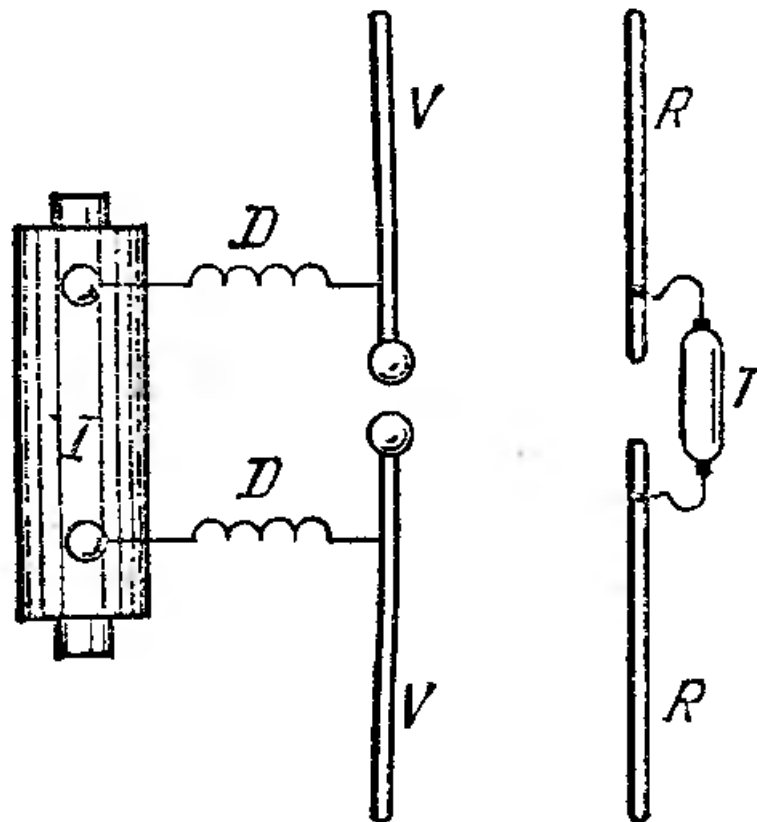


**Figure 34.10** A half-wave antenna consists of two metal rods connected to an alternating voltage source. This diagram shows **E** and **B** at an arbitrary instant when the current is upward. Note that the electric field lines resemble those of a dipole (shown in Fig. 23.22).



21.20

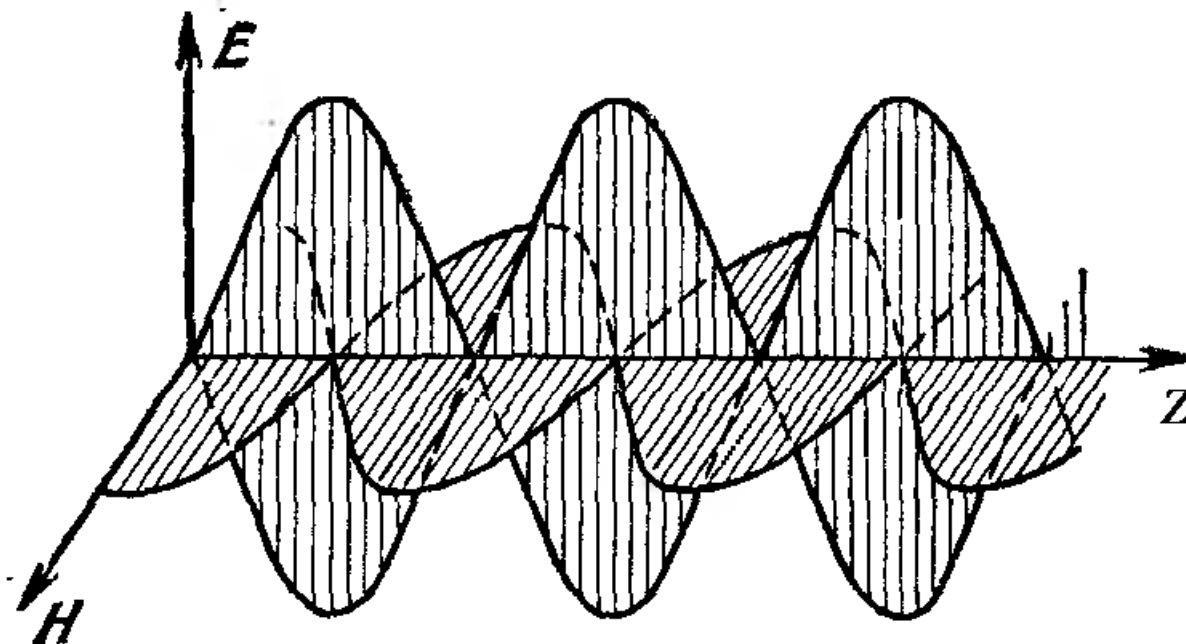
Электромагнитные волны обнаружены  
Генрихом Герцем в 1888 году с  
помощью вибратора Герца.



# Поле стоячей электромагнитной волны.

$$\left. \begin{aligned} E_x &= E_0 \cos(\omega t - kz), & H_y &= H_0 \cos(\omega t - kz), \\ E_x &= E_0 \cos(\omega t + kz), & H_y &= -H_0 \cos(\omega t + kz). \end{aligned} \right|^{+}$$

$$E_x = 2E_0 \cos kz \cos \omega t, H_y = 2H_0 \sin kz \sin \omega t.$$

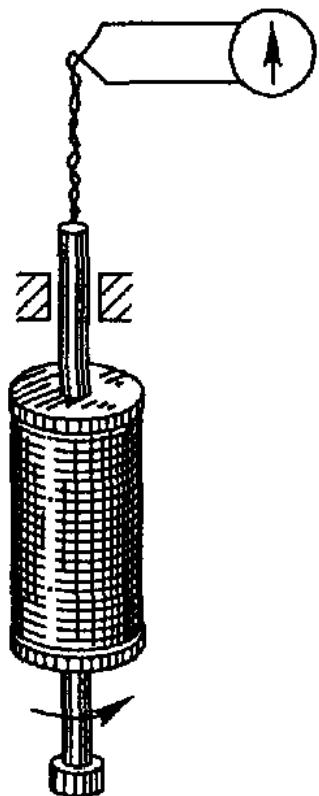


21.22

# Лекция 22.

- Основные положения классической электронной теории проводимости Друде – Лоренца. Опыты Толмена и Стюарта. Законы Ома, Джоуля – Ленца и Видемана – Франца в классической теории.
- Понятие о зонной теории твердых тел. Энергетические уровни и формирование энергетических зон. Принцип Паули. Статистика Ферми-Дирака. Особенности зонной структуры диэлектриков, полупроводников и металлов. Объяснение проводимости твердых тел с помощью зонной теории.

# Опыты Толмена и Стюарта (1916г.).



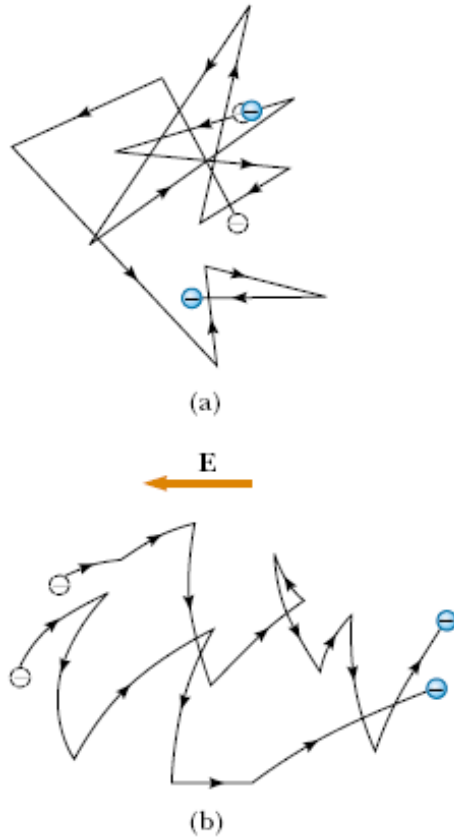
$$F_{\text{и}} = -m \frac{dv}{dt}; \quad E_{\text{стор.}} = \frac{F_{\text{и}}}{e} = -\frac{m}{e} \frac{dv}{dt},$$

$$\mathcal{E} = \int_L E_{\text{стор.}} dl = -\frac{m}{e} \frac{dv}{dt} L, \quad I = \frac{\mathcal{E}}{R} = -\frac{m}{e} \frac{dv}{dt} \frac{L}{R}.$$

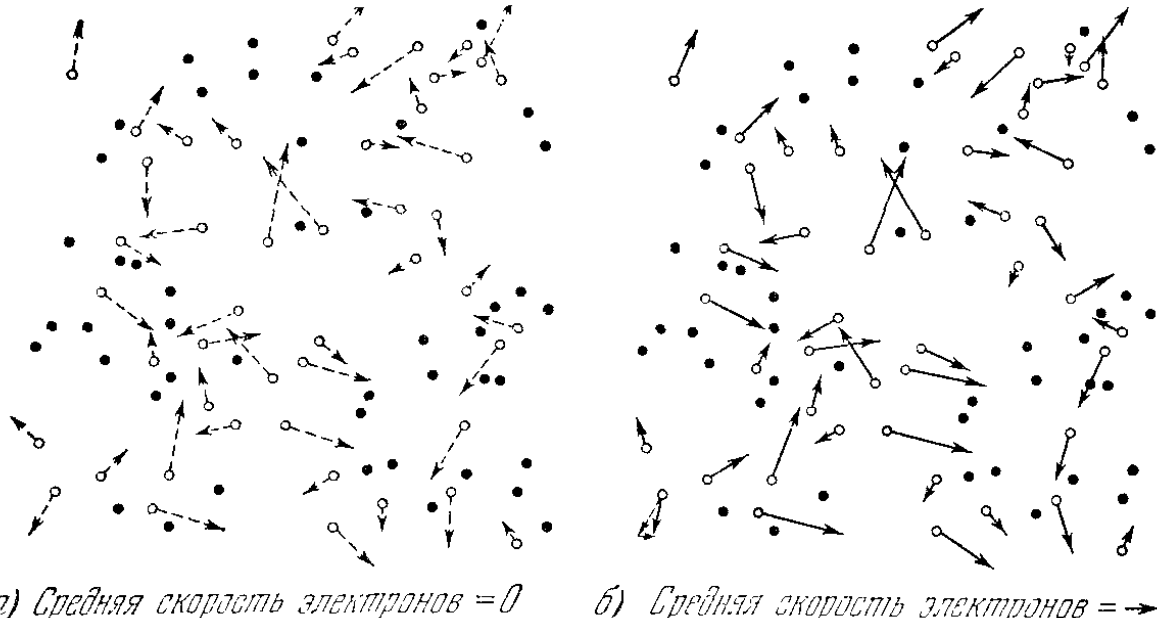
$$q = \int_{I_0}^0 Idt = \frac{m}{e} \frac{L}{R} v_0.$$

Схема  
опыта Толмена и  
Стюарта

# Основные положения классической электронной теории проводимости Друде – Лоренца.



(a) A schematic diagram of the random motion of two charge carriers in a conductor in the absence of an electric field. The drift velocity is zero. (b) The motion of the charge carriers in a conductor in the presence of an electric field. Note that the random motion is modified by the field, and the charge carriers have a drift velocity.



*a) Средняя скорость электронов = 0*

*б) Средняя скорость электронов = →*

*a)* Хаотическое распределение примерно равного числа электронов (светлые кружки) и положительных ионов (черные кружки). Скорости электронов показаны векторами и в (a) совершенно случайны. В (b) существует дрейф вправо, представленный вектором скорости  $\rightarrow$ . Эта скорость добавлена к каждой первоначальной скорости электрона, как показано для одного из электронов в левом нижнем углу.

$$\vec{J} = en \langle \vec{v} \rangle, \text{ где } \langle \vec{v} \rangle = \frac{1}{n} \sum_{i=1}^n \underbrace{\frac{1}{2} (2\vec{v}_{i0} + \frac{e\vec{E}}{m} t_i)}_{\vec{v}_{i,sp} = (\vec{v}_{i0} + \vec{v}_i)/2}.$$

$$\frac{1}{n} \sum_{i=1}^n \frac{1}{2} \vec{v}_{i0} = 0, \quad \langle \vec{v} \rangle = \frac{e\vec{E}}{m} \underbrace{\frac{1}{n} \sum_{i=1}^n t_i}_{\tau} = \frac{e\vec{E}}{2m} \tau.$$

## Законы Ома и Джоуля – Ленца.

$$\tau = \frac{1}{n} \sum_{i=1}^n t_i = \frac{1}{n} \sum_{j=1} n_j t_j - \text{среднее время между соударениями.}$$

Здесь  $n_j$  – число частиц из  $n$ , имеющих время между столкновениями  $t_i$ .

$$\vec{J} = en \frac{e\vec{E}}{2m} \tau = \underbrace{\frac{ne^2\tau}{2m}}_{\lambda} \vec{E} = \lambda \vec{E} - \text{закон Ома.}$$

Пусть  $n_i$  – число частиц в ед. объема, имеющие время между столкновениями  $t_i$ .

Энергия приобретаемая этими частицами за время  $t_i$  равна

$$\sum_{i=1}^{n_i} \left( \frac{m(\vec{v}_{i0} + \Delta\vec{v}_i)^2}{2} - \frac{mv_{i0}^2}{2} \right) = \sum_{i=1}^{n_i} \left( \frac{m}{2} (\vec{v}_{i0}^2 + \underbrace{2\vec{v}_{i0} \cdot \Delta\vec{v}_i}_{=0} + \vec{v}_i^2) - \frac{mv_{i0}^2}{2} \right) = n_i \frac{m}{2} \frac{e^2 E^2 t_i^2}{m^2}$$

Эта энергия в результате столкновения с ионами переходит в тепло. За ед. времени число столкновений с ионами таких частиц равно  $1/t_i$ . Следовательно, энергия приобретенная  $n_i$  частицами за 1с равна

$$\frac{n_i}{t_i} \frac{mv_i^2}{2} = \frac{m}{2} \frac{e^2 E^2 n_i t_i}{m^2} = \frac{e^2 E^2}{2m} n_i t_i.$$

Энергия приобретаемая от электрического поля всеми электронами в единице объема за 1с и переходящая в тепло в результате столкновений с ионами будет равна

$$Q = \sum_i \frac{e^2 E^2}{2m} n_i t_i = \frac{ne^2 E^2}{2m} \underbrace{\frac{1}{n} \sum_i n_i t_i}_{\tau} = \frac{ne^2 E^2}{2m} \tau = \lambda E^2 -$$

закон Джоуля-Ленца.

## Закон Видемана – Франца в классической теории.

В 1853 году Видеман и Франц установили, что для металлов  $\chi/\lambda = aT$ , где постоянная  $a$  не зависит от рода металла. То есть металлы, имеющие большую электропроводность, имеют и большую теплопроводность. Классическая электронная теория Друде-Лоренца объясняет этот феноменологический закон.

$$\vec{J}_Q = \chi \nabla T,$$

где  $\chi = nc_v v_T \langle l \rangle / 3$ , где  $\langle l \rangle = v_T \tau$ ,  $c_v = 3k_B / 2$  – теплоемкость, приходящая на один электрон.

$$\frac{\chi}{\lambda} = \frac{nc_v v_T^2 \tau / 3}{ne^2 \tau / 2m} = \frac{2}{3} \frac{mv_T^2}{e^2} c_v = \left| v_T^2 = \frac{3k_B T}{m} \right| = 3 \underbrace{\frac{k_B^2}{e^2}}_a T = aT.$$

## Трудности классической электронной теории.

$$1) \rho = \frac{1}{\lambda} = \frac{2m}{ne^2} \frac{1}{\tau} = \frac{2m}{ne^2} \frac{v_T}{\langle l \rangle} = \frac{2m}{ne^2} \frac{\sqrt{3k_B T / m}}{\sqrt{2n\sigma}} \sim \sqrt{T},$$

а не  $\sim T$  ( $\rho = \rho_0(1 + \alpha T)$ ).

$$2) U = i \frac{k_B T}{2} N, C_v = \frac{\partial U}{\partial T} = i \frac{k_B}{2} N, \text{ где } i = n_{нос} + n_{вр} + 2n_{кол}.$$

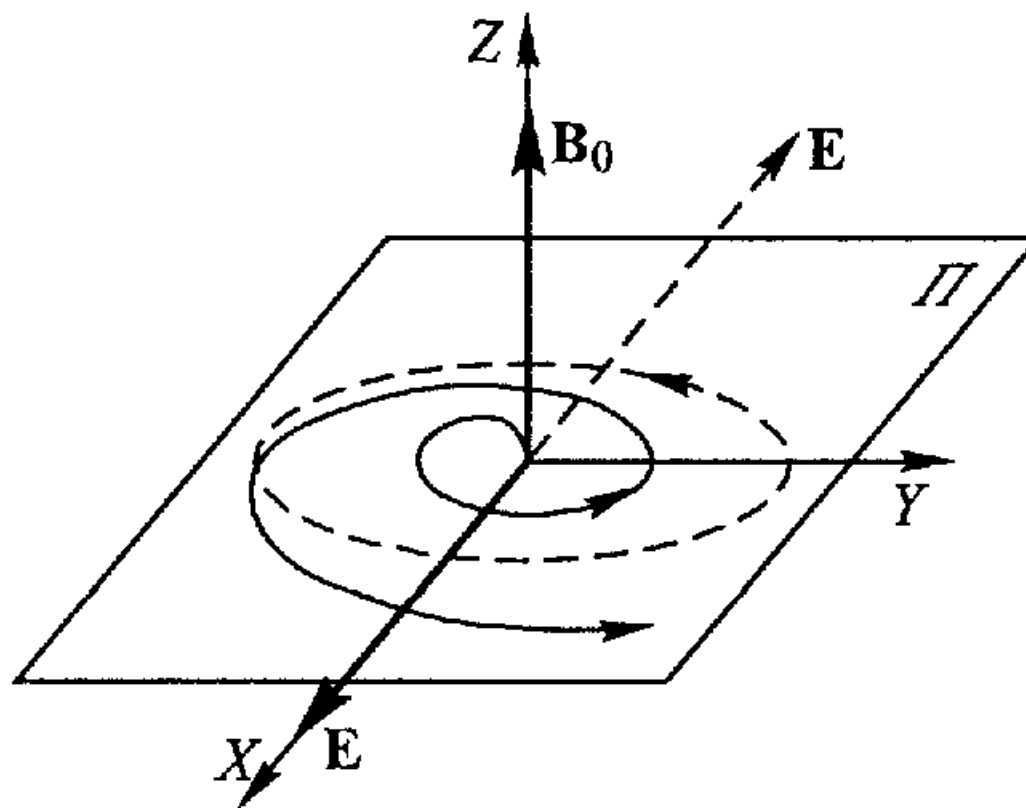
$$C_v = C_{v \text{ ионов}} + C_{v \text{ электронов}} = 2 \cdot 3 \frac{k_B}{2} N + 3 \frac{k_B}{2} N = 4,5 \frac{k_B}{2} N.$$

Экспериментальное значение:  $C_v = 3k_B N$ .

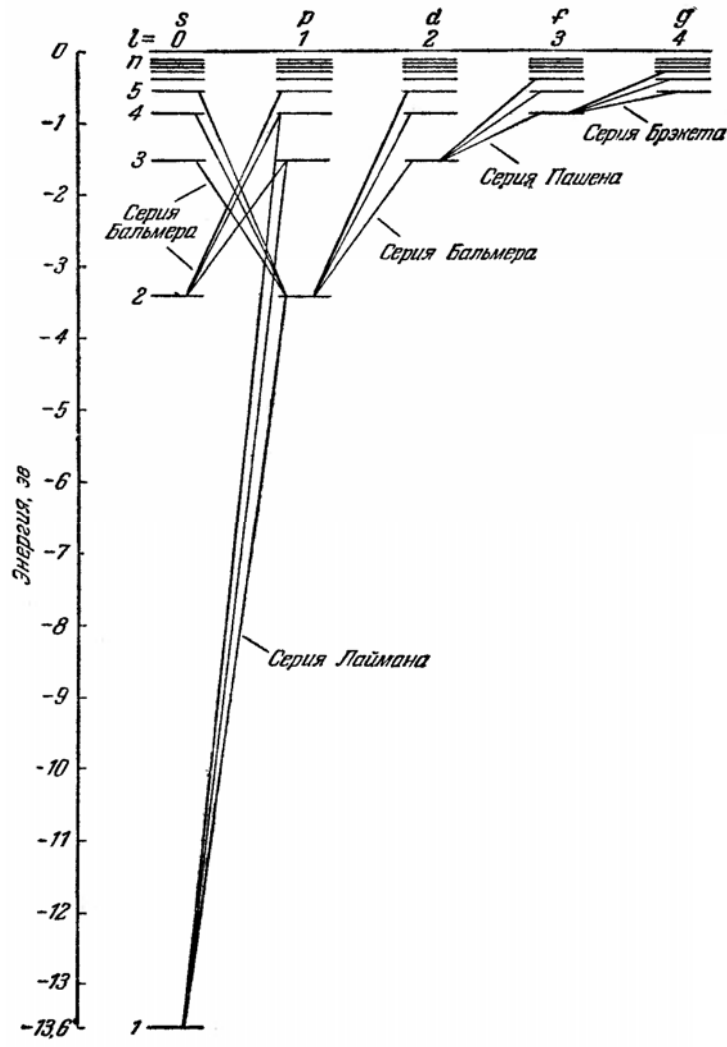
3) Экспериментальные значения для средняя длина свободного пробега  $\langle l \rangle$  составляет десятки периодов кристаллической решетки.

4) Значение эффективной массы электрона проводимости в металле, полученное на основании данных циклотронного резонанса оказалось меньше массы свободного электрона.

$$\omega_c = \frac{2\pi}{T} = \frac{q}{m^*} B, \text{ где } m^* < m_e$$



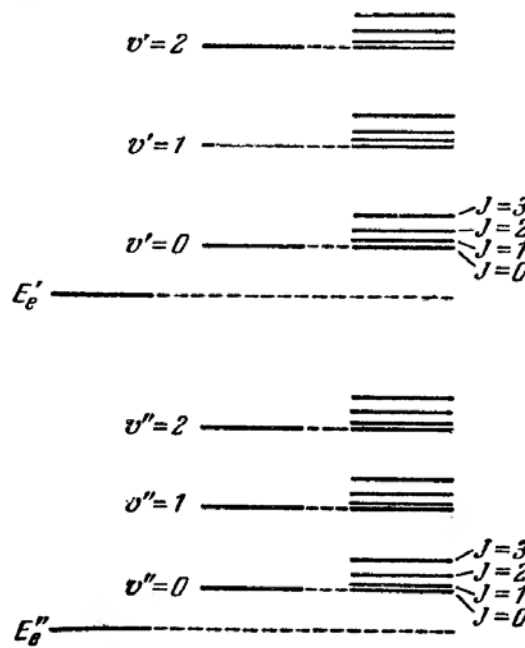
Поведение электронов в металлах подчиняются законам квантовой или волновой механики. Движение электронов подобно волновому движению материи и описывается волновой функцией, определяемой квантовомеханическим уравнением Шредингера. Рассмотрим основные особенности квантовомеханических систем.



Энергетический спектр атома водорода.

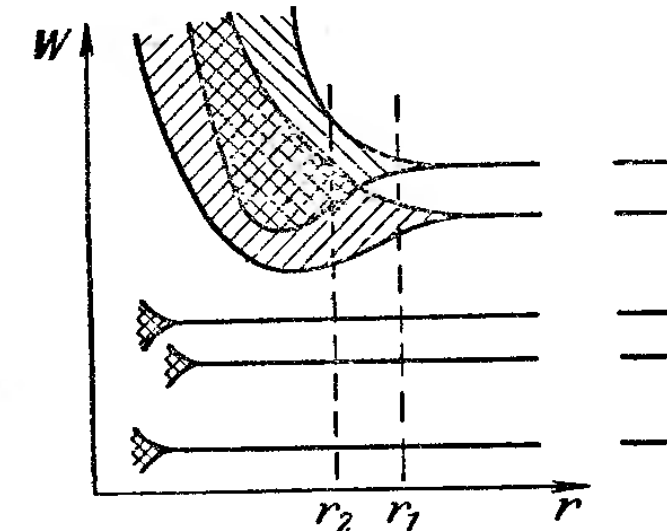
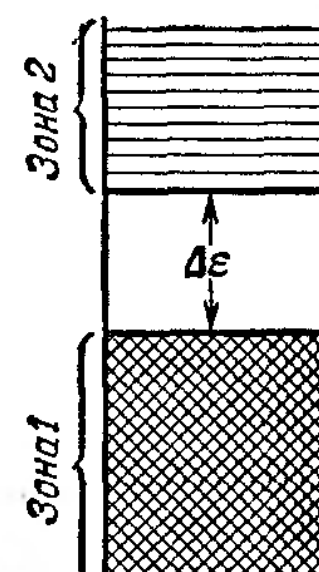
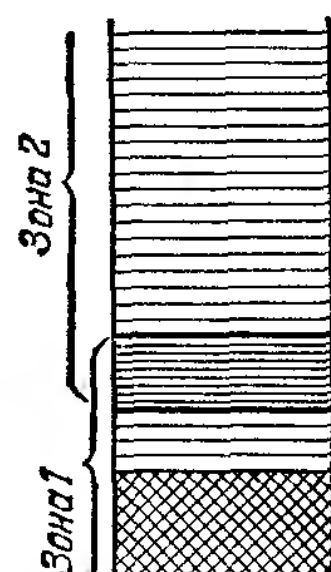
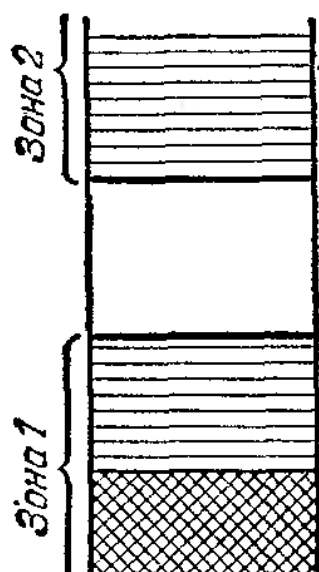
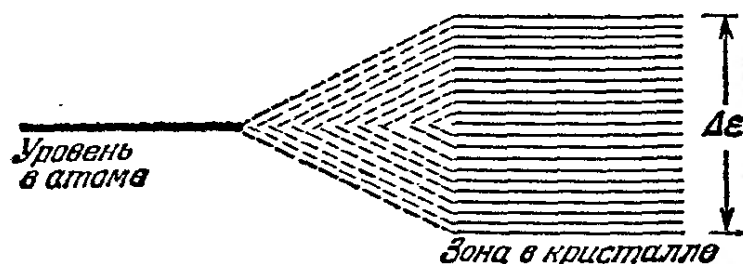
$$W_n, \text{ где } n = 1, 2, 3, \dots. \quad P_n = \int_{-\infty}^{\infty} \Psi_n^2 dV.$$

$$\Psi_n(x, y, z, t) = \Psi_{n,l,m,s}.$$

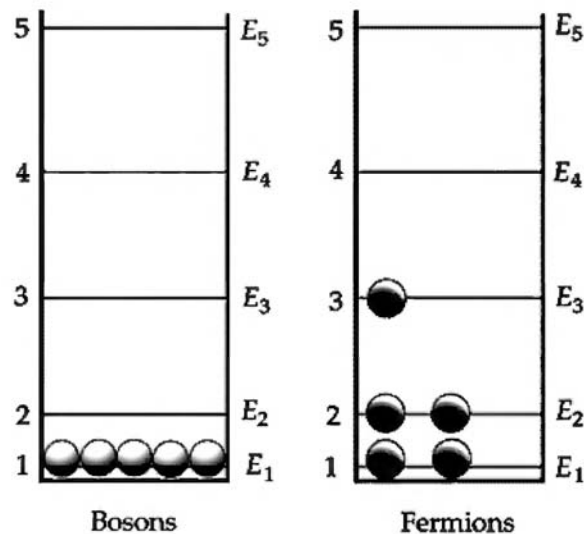


Энергетический спектр  
молекул.

# Понятие о зонной теории твердых тел. Энергетические уровни и формирование энергетических зон.



## Принцип Паули. Статистика Ферми-Дирака.



Число частиц в ед. объема, имеющих импульс в интервале

$$p_x, p_x + dp_x; p_y, p_y + dp_y; p_z, p_z + dp_z,$$

равно  $dn = f(W)dp_x dp_y dp_z$ , где

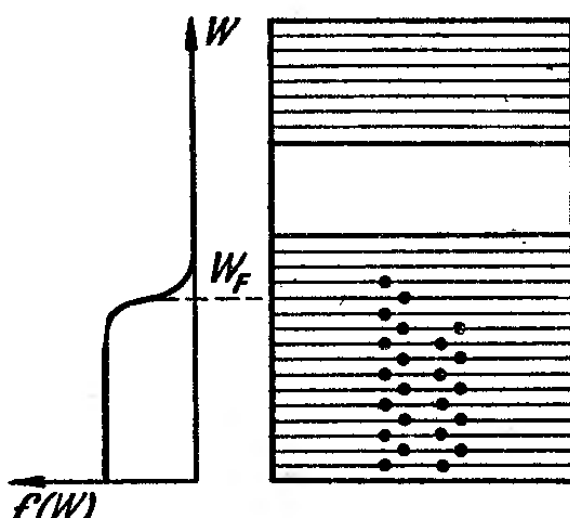
$f(W) = A e^{-\frac{W}{k_B T}}$  – плотность распределения  
частиц по импульсам. В квантовой  
статистике число микросостояний конечно

$$dZ = 2 \frac{dp_x dp_y dp_z}{h^3}; \Rightarrow dn = f(W)dZ,$$

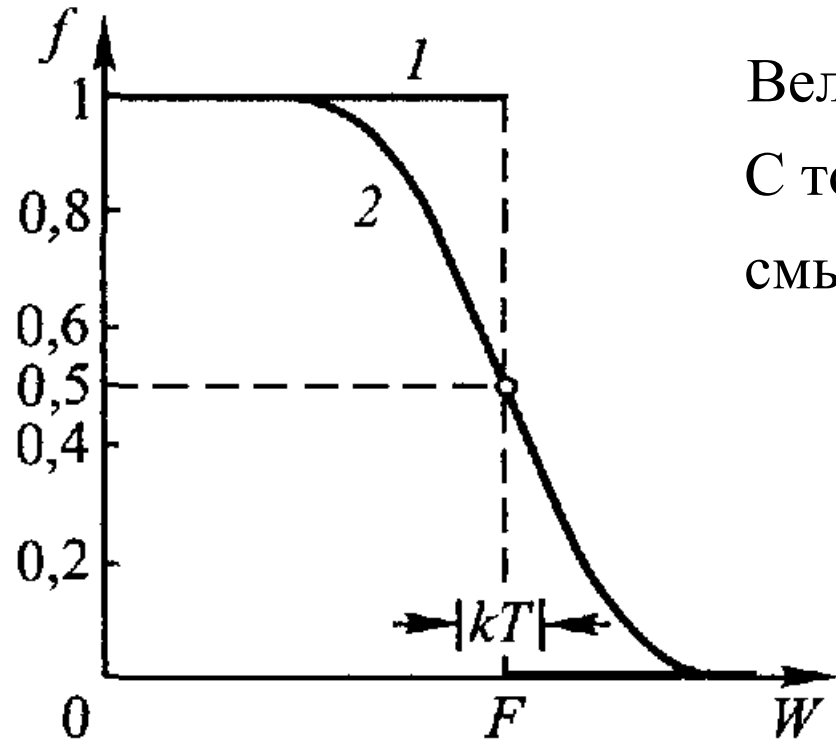
где для ферми частиц

$$f(W) = \frac{1}{1 + \exp[(W - F)/k_B T]} -$$

–распределение Ферми-Дирака



Если  $(W - F)/k_B T \gg 1$ , то  $f(W) = \underbrace{e^{\frac{F}{k_B T}}}_A e^{-\frac{W}{k_B T}}$



Функция Ферми-Ди-  
рака  $1 - T = 0$ ,  $2 - T \neq 0$

Число электронов участвующих в тепловом движении мало,

поэтому  $C_v = 3k_B N$ .

$$\rho = \frac{1}{\lambda} = \frac{2m}{ne^2} \frac{v_T}{\langle l \rangle}; v_T = v_F, \text{ где } F = mv_F^2 / 2,$$

$$\frac{1}{\langle l \rangle} = \frac{1}{l_{\phi l}} + \frac{1}{l_{np}}; \frac{1}{l_{\phi l}} \sim T, l_{np} = \text{const} \Rightarrow \rho = \rho_0 + \alpha T.$$

Величина  $F$  называется энергией Ферми.  
С точки зрения термодинамики имеет смысл химического потенциала

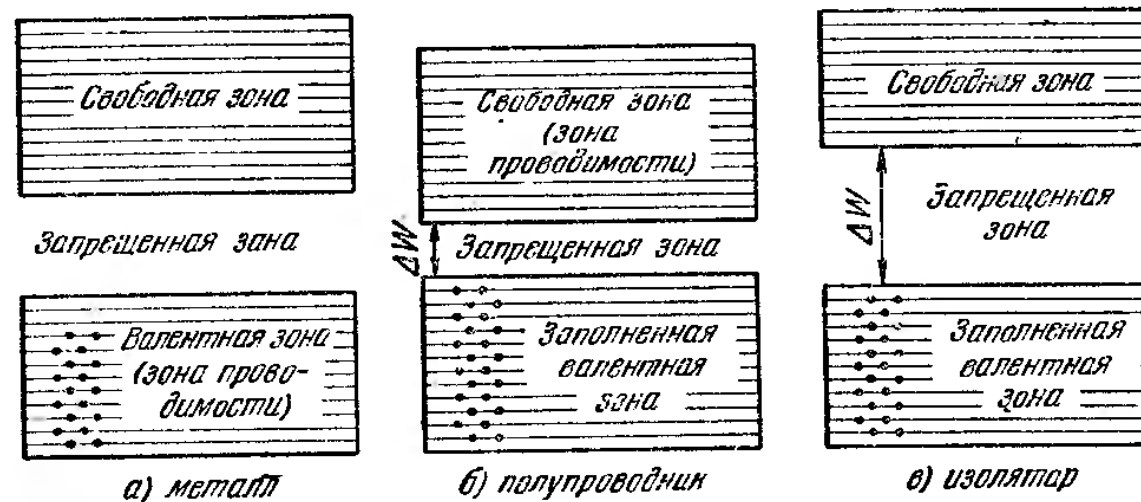
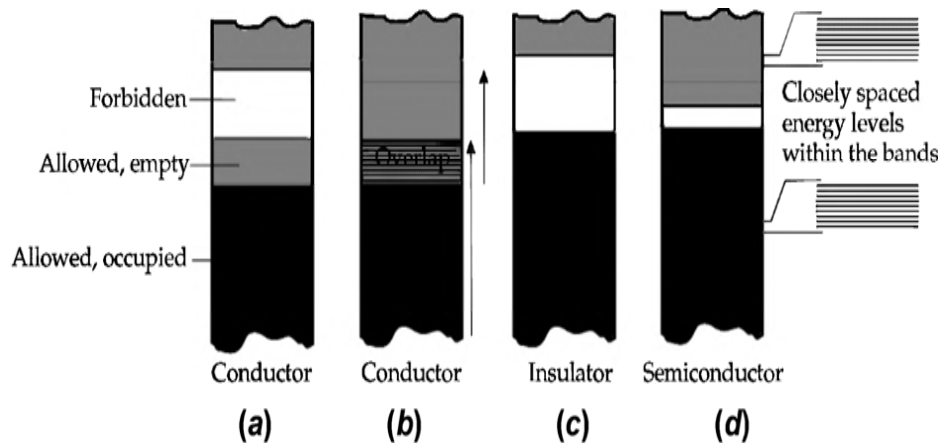
$$\mu = \left( \frac{\partial U}{\partial N} \right)_{S,V}$$

В металлах  $F = (1 - 6) \text{эВ}$ .

При комнатной температуре  
 $k_B T = 0,03 \text{эВ}$ .

Для меди  $\frac{k_B T}{F} = 0,004$ .

# Особенности зонной структуры диэлектриков, полупроводников и металлов. Объяснение проводимости твердых тел с помощью зонной теории.



# Происхождение эффективной массы электронов.

$$W = U + \frac{1}{2m} (p_x^2 + p_y^2 + p_z^2) = W(\vec{p}).$$

В металле вблизи дна зоны проводимости  
( $p$  отсчитывается от  $p_c$ )

$$W = W(\vec{p}) = W\left(\begin{smallmatrix} 0 \\ \vec{p} - \vec{p}_c \end{smallmatrix}\right) + \underbrace{\frac{1}{2!} \frac{\partial^2 W}{\partial p_x^2} p_x^2}_{1/m_x^*} + \underbrace{\frac{1}{2!} \frac{\partial^2 W}{\partial p_y^2} p_y^2}_{1/m_y^*} + \underbrace{\frac{1}{2!} \frac{\partial^2 W}{\partial p_z^2} p_z^2}_{1/m_z^*} + \dots$$

## Объяснение закона Видемана-Франца в рамках квантовых представлений.

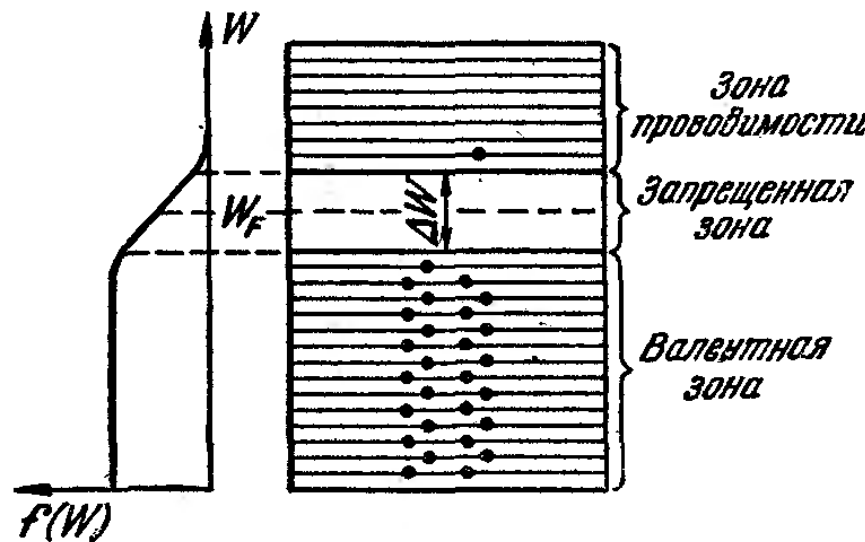
$$\frac{\chi}{\lambda} = \frac{2}{3} \frac{mv_T^2}{e^2} c_V, \quad \text{где } \frac{mv_T^2}{2} = F, \quad c_V = \frac{12}{5} k_B \frac{k_B T}{F}$$

$$\frac{\chi}{\lambda} = \frac{4}{3} \frac{mv_T^2 / 2}{e^2} c_V = \frac{4}{3} \frac{F}{e^2} \frac{12}{5} k_B \frac{k_B T}{F} = \underbrace{\frac{16}{5}}_a \frac{k_B^2}{e^2} T.$$

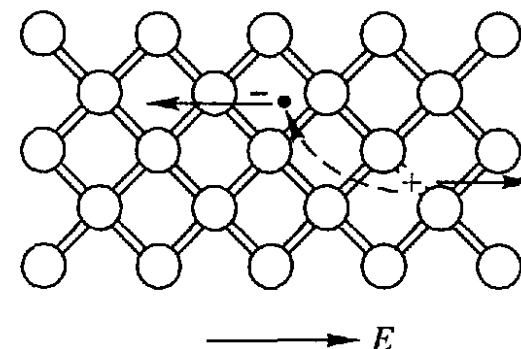
# Лекция 23.

- Полупроводники. Собственная и примесная проводимость полупроводников. Полупроводники р- и n-типа .р – n-переход. Применение полупроводников: полупроводниковые диоды, транзисторы, фотодиоды, фоторезисторы.
- Контактные явления. Контактная разность потенциалов. Термоэлектричество. Термодвижущая сила. Термопары. Эффект Пельтье. Явление Томсона.
- Сверхпроводимость. Основные свойства сверхпроводников. Магнитная индукция внутри сверхпроводника. Эффект Мейснера. Критическое поле. Высокотемпературная сверхпроводимость. Применение сверхпроводников.

# Полупроводники. Собственная и примесная проводимость полупроводников.



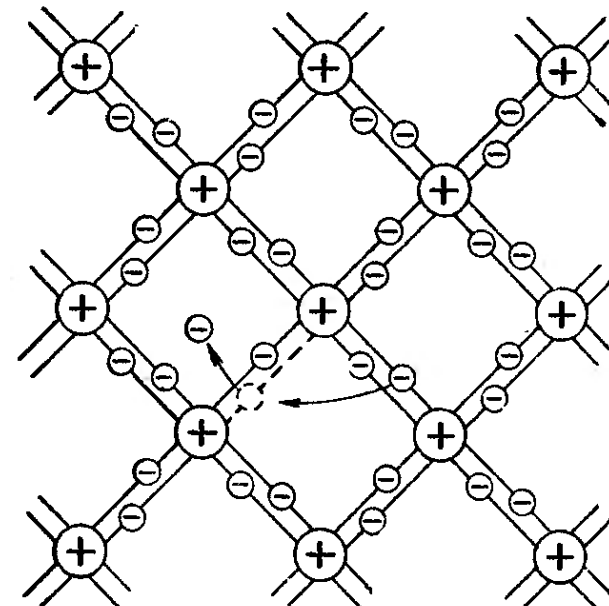
Собственная  
проводимость  
полупроводников



Возникновение электрона проводимости и дырки в решетке кремния

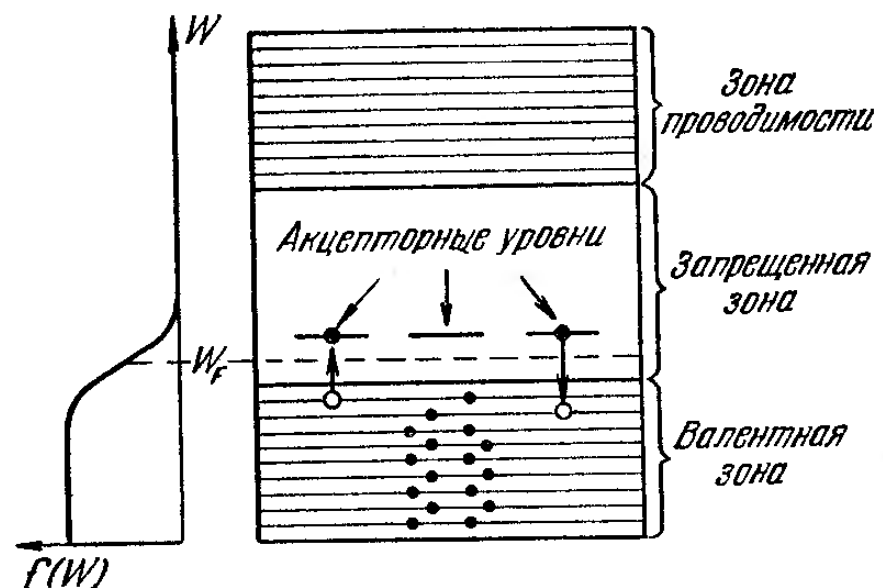
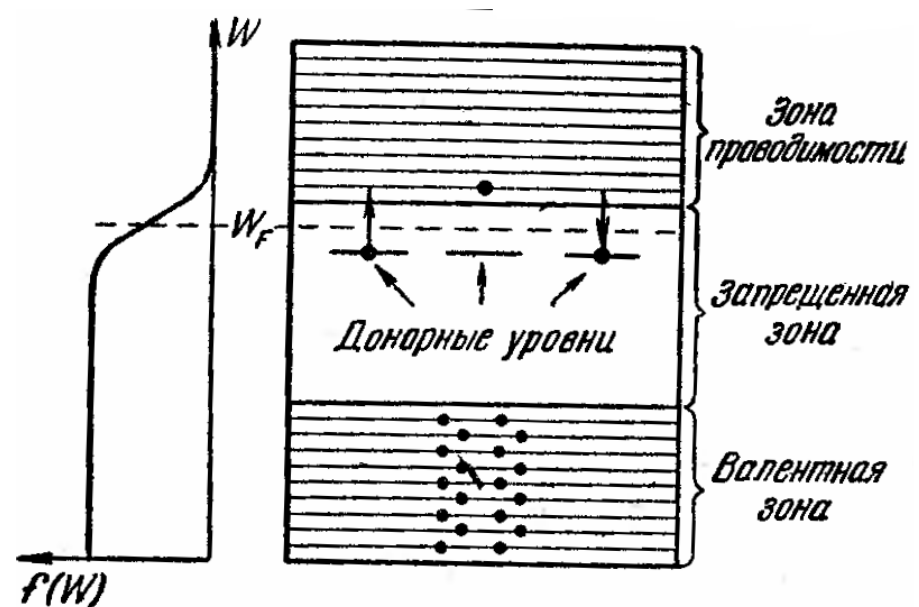
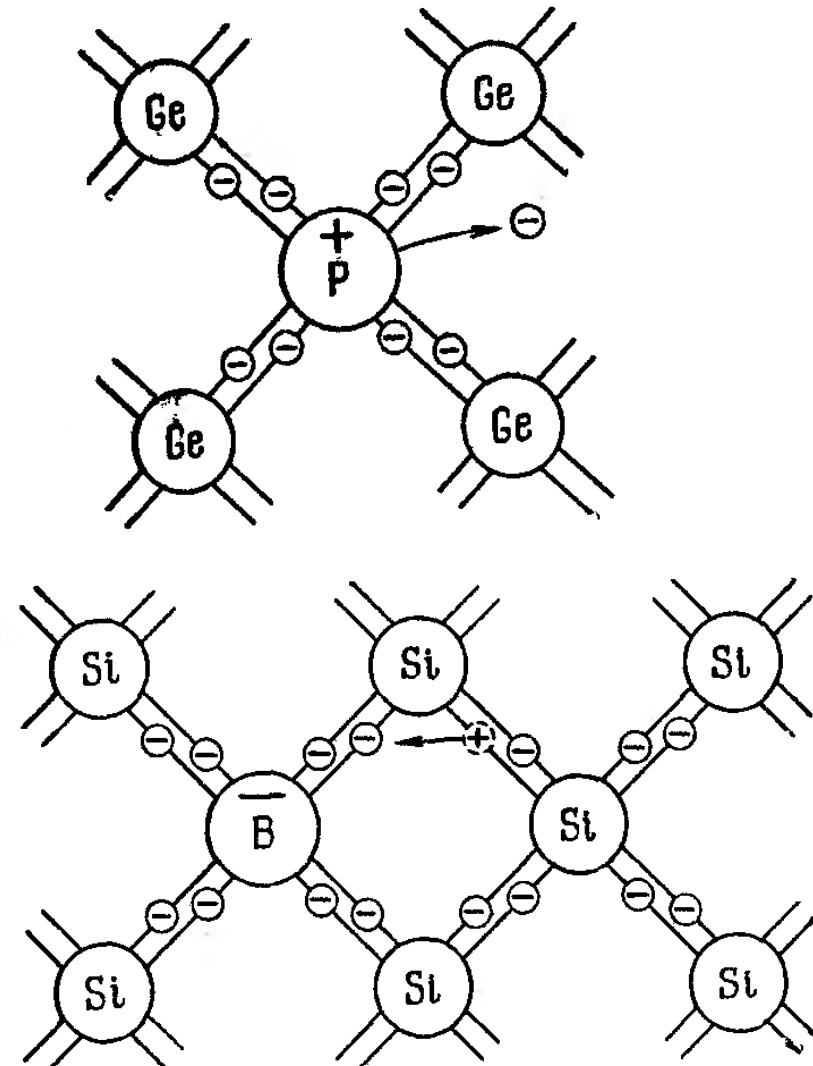
$$f(W) = \frac{1}{1 + \exp[(W - W_F) / k_B T]} \approx e^{-\frac{\Delta W}{k_B T}}.$$

$$\rho = \rho_0 e^{-\frac{\Delta W}{k_B T}}.$$

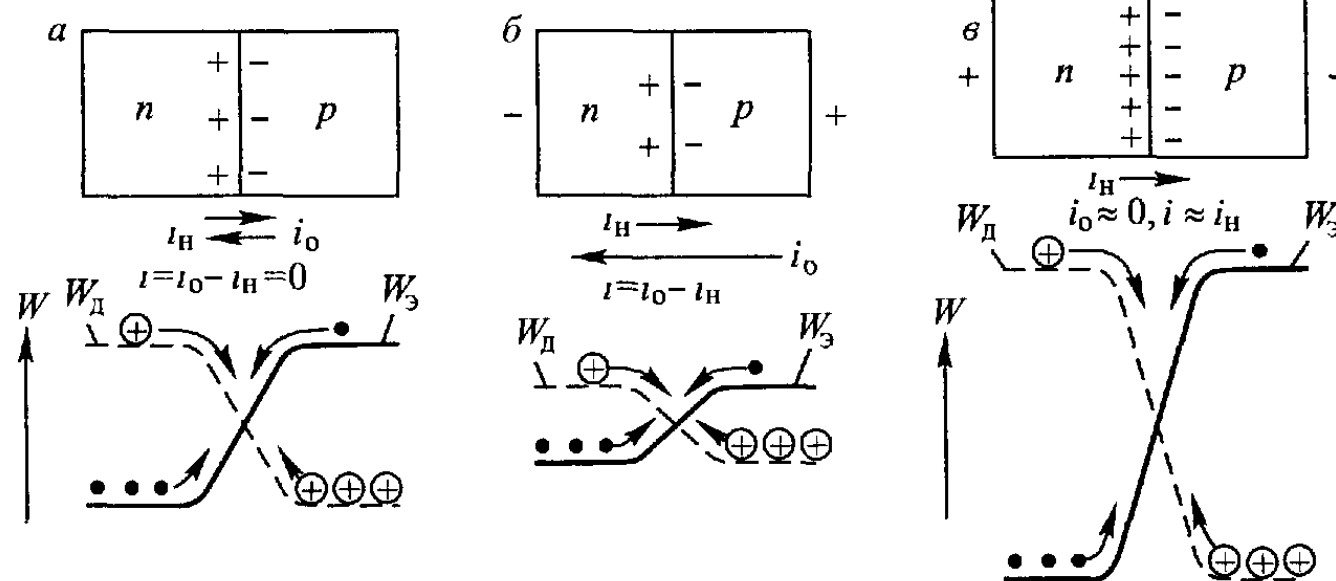
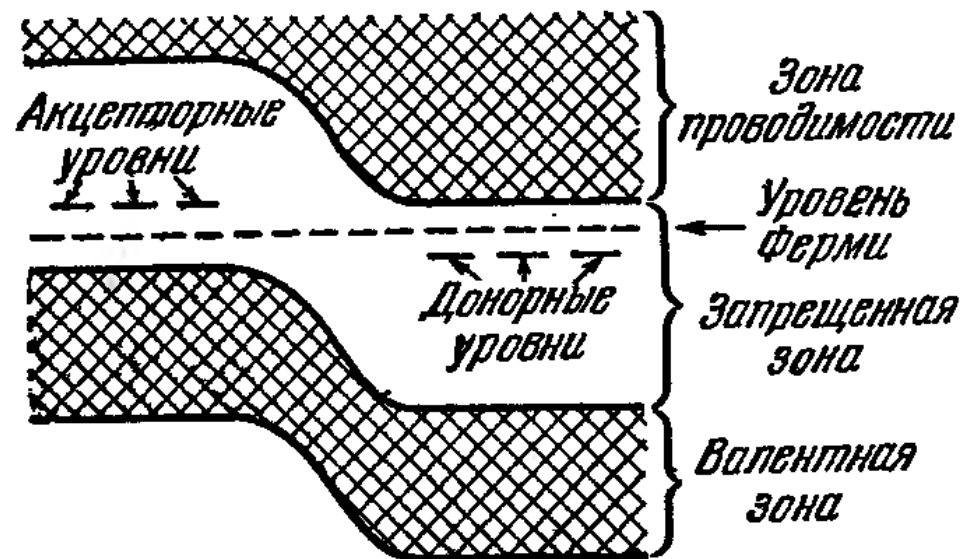
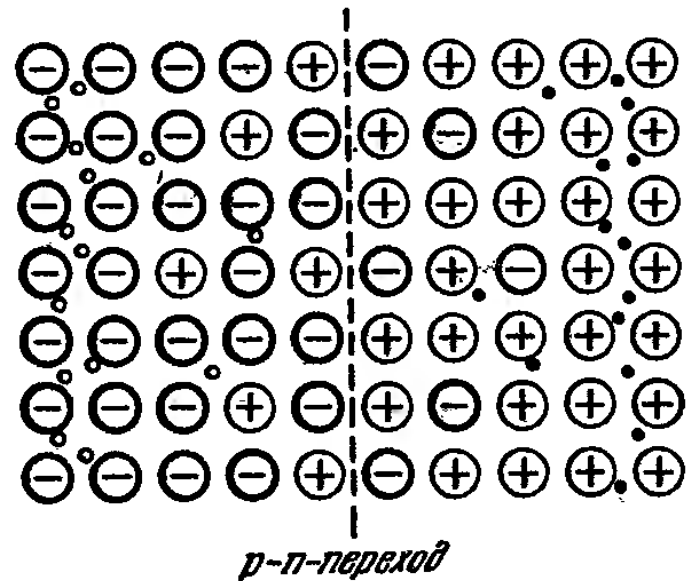


Примесеая проводимость полупроводников.

Полупроводники р- и н-типа.



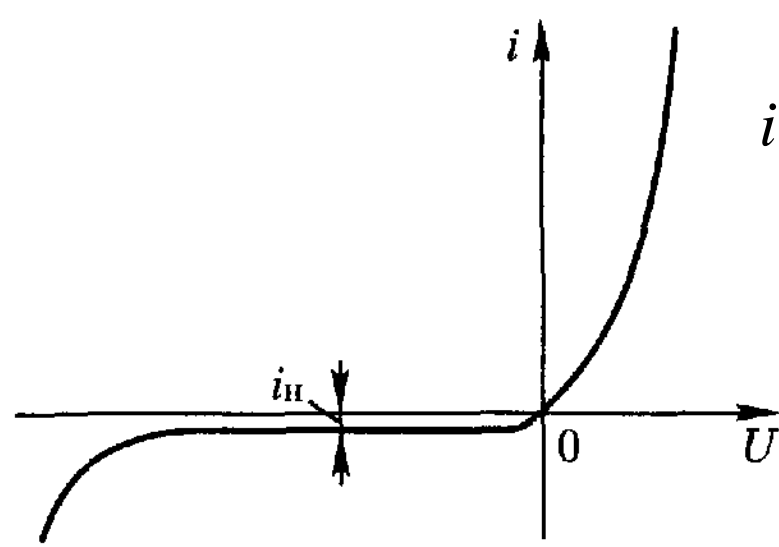
$p - n$ -переход.



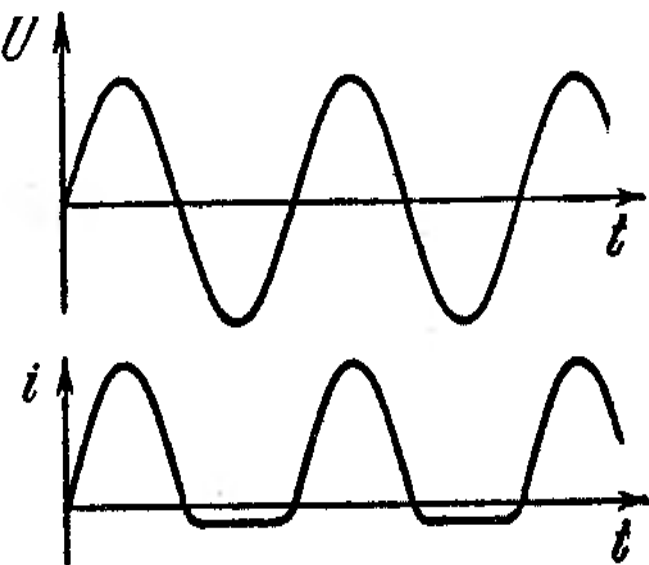
Электрический ток в  $p - n$ -переходе

23.4

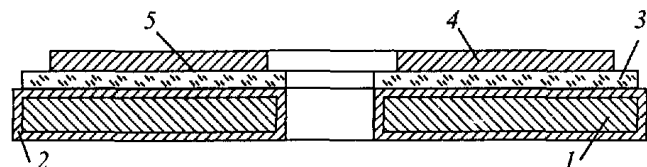
# Применение полупроводников. Полупроводниковый диод.



$$i = i_s \left( e^{\frac{eU}{k_B T}} - 1 \right)$$



Вольт-амперная характеристика  $n - n$ -перехода



Селеновая шайба: 1 — железная шайба, 2 — слой никеля (контактный переход), 3 — слой селена, 4 — слой сплава Bi-Cd-Sn (вентильный электрод), 5 — запирающий слой, возникающий на границе вентильного электрода и селена.

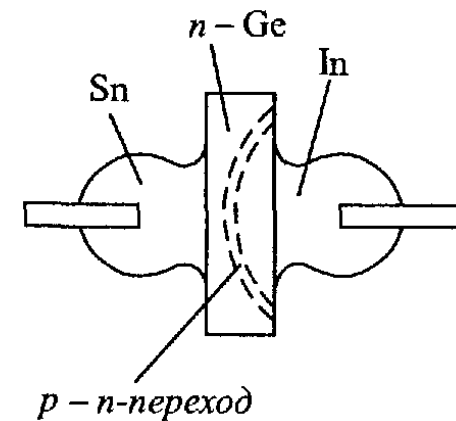
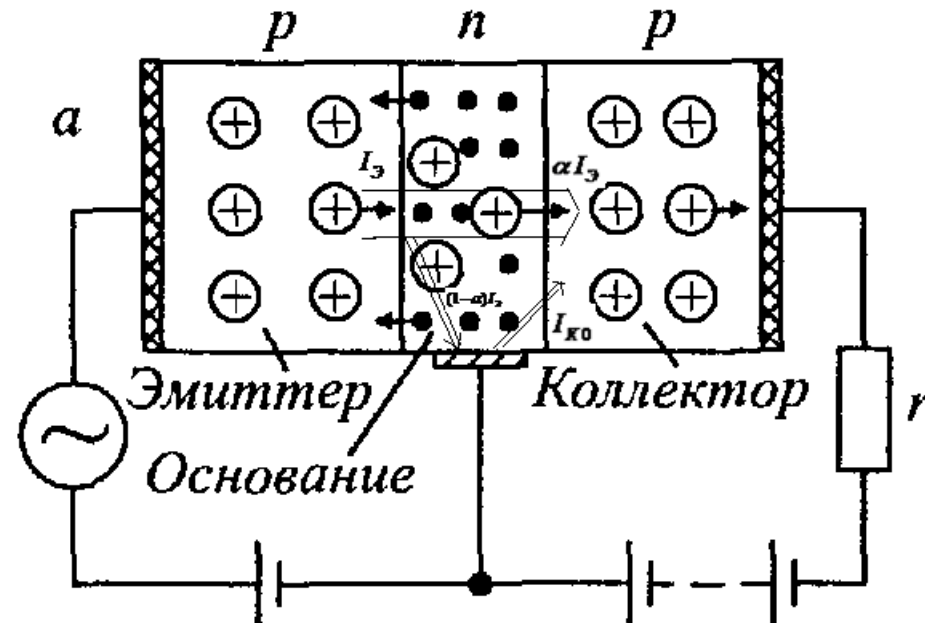


Схема германиевого выпрямителя

# Применение полупроводников. Биполярные и полевые транзисторы.

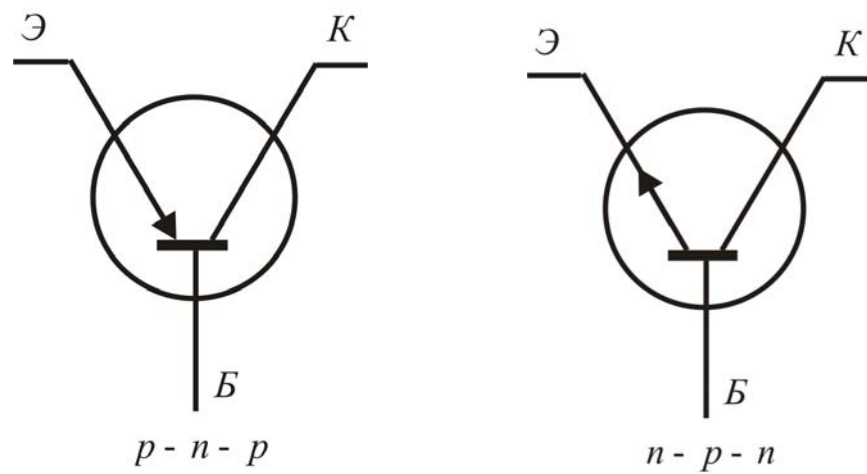


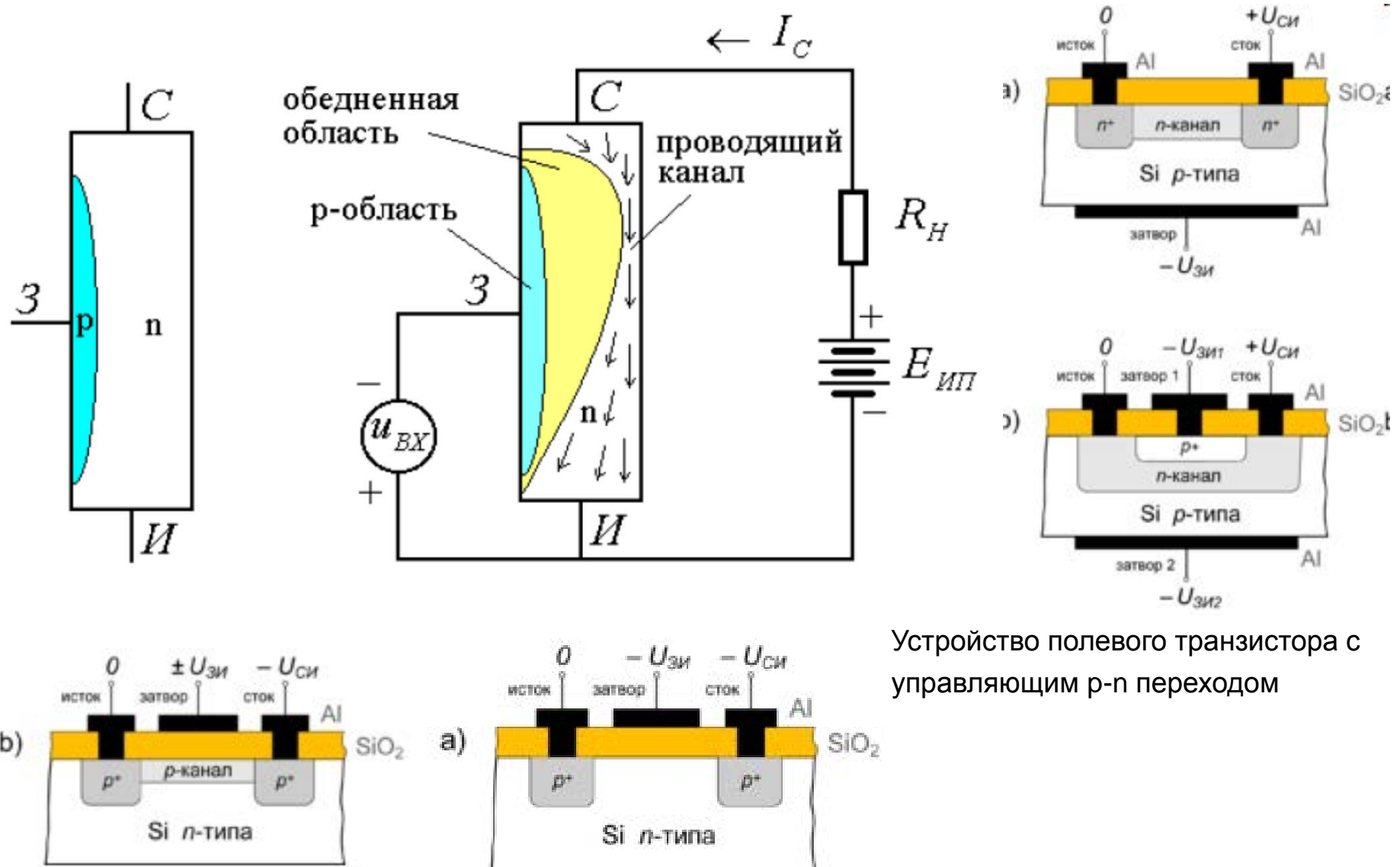
$$I_K = I_{K0} + \alpha I_E \approx \alpha I_E$$

$$\frac{I_K}{I_{\mathcal{E}B}} = \approx \frac{\alpha}{1 - \alpha} -$$

- коэффициент  
усиления по току

$$\alpha = 0,98 - 0,99.$$

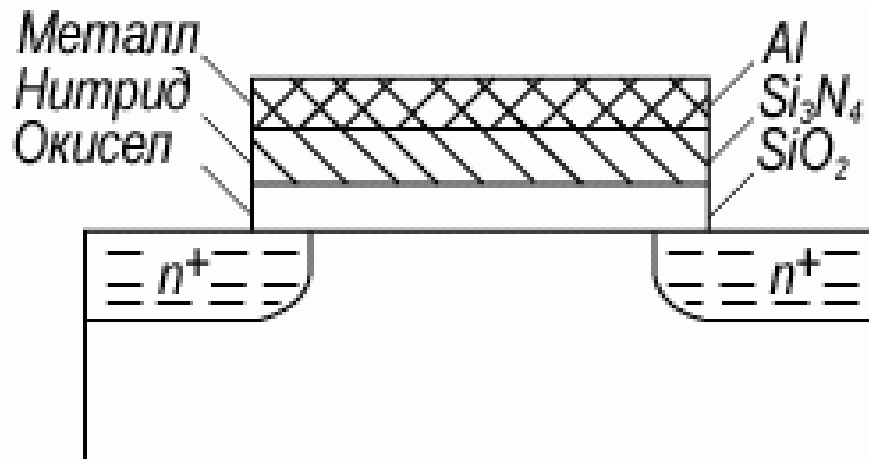




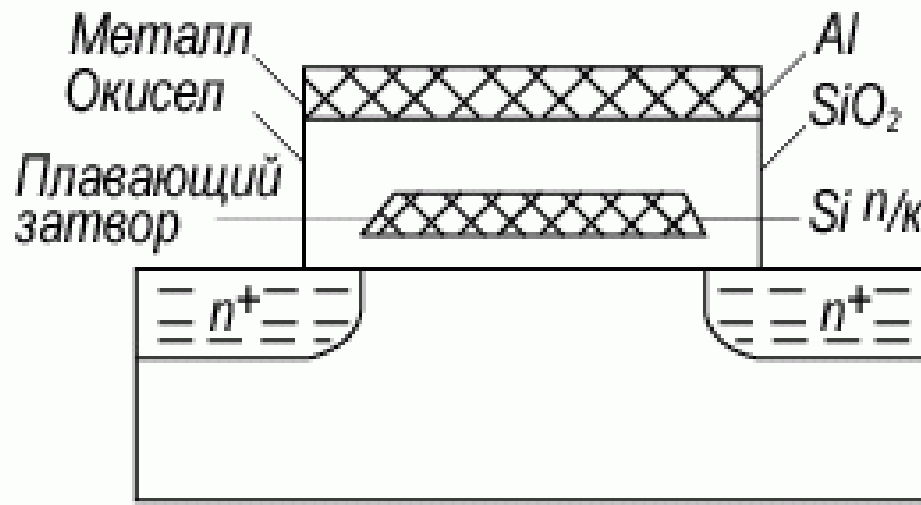
Устройство полевого транзистора с  
управляющим р-п переходом

Устройство полевого транзистора с изолированным затвором.

**Топология полупроводниковых запоминающих устройств:**  
**а) МНОП-транзистор; б) МОП ПТ с плавающим затвором**



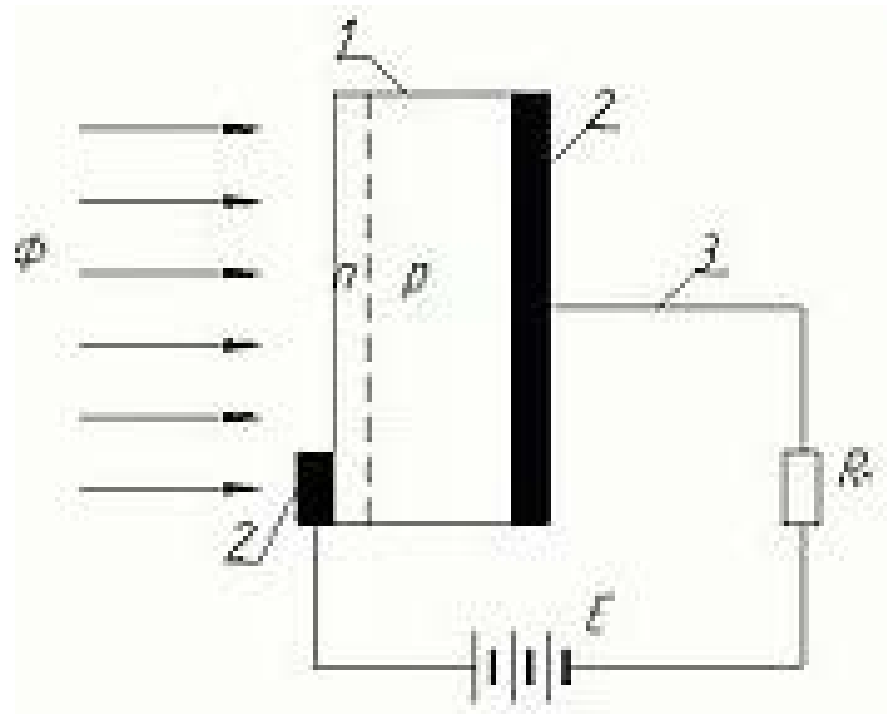
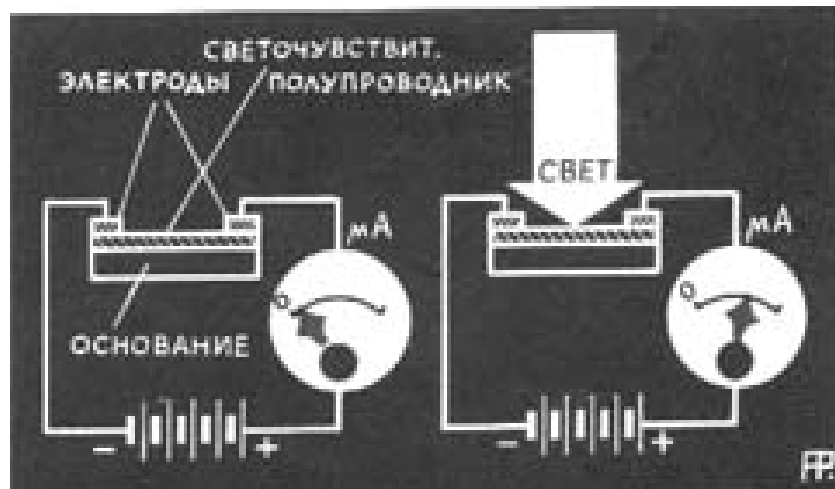
а



б

**Зарядка плавающего затвора осуществляется за 0.1 мкс, разрядка – более 100 лет при комнатной температуре**

# фотодиоды, фоторезисторы.



Структурная схема фотодиода. 1 — кристалл полупроводника; 2 — контакты; 3 — выводы; Ф — поток электромагнитного излучения; Е — источник постоянного тока; R<sub>н</sub> — нагрузка.

## Контактные явления. Контактная разность потенциалов. [2,§198]

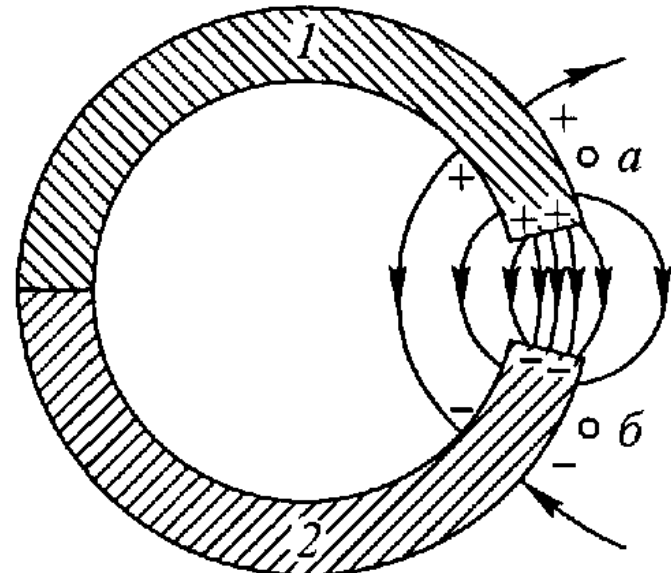


Рис 336 При соприкосновении двух различных металлов во внешнем пространстве появляется электрическое поле, а на поверхности металлов возникают заряды

$$U_{12} = U_1 - U_2, \quad eU_{12} = \Phi_1 - \Phi_2,$$

где  $\Phi_1$  и  $\Phi_2$  - работы выхода.

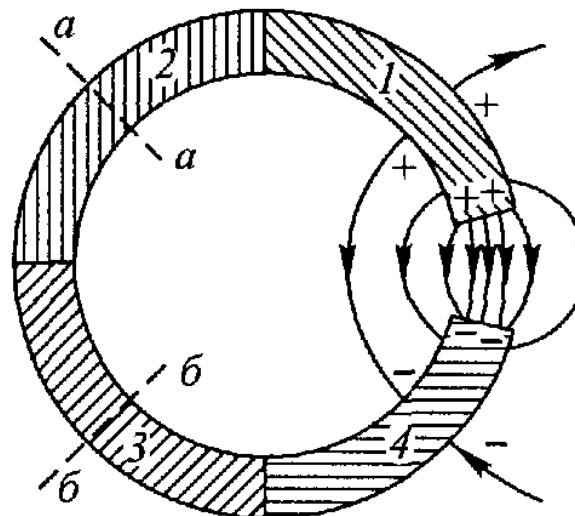


Рис 337. При соединении нескольких проводников (1, 2, 3, 4) электрическое поле между свободными концами цепи определяется только крайними проводниками (1 и 4)

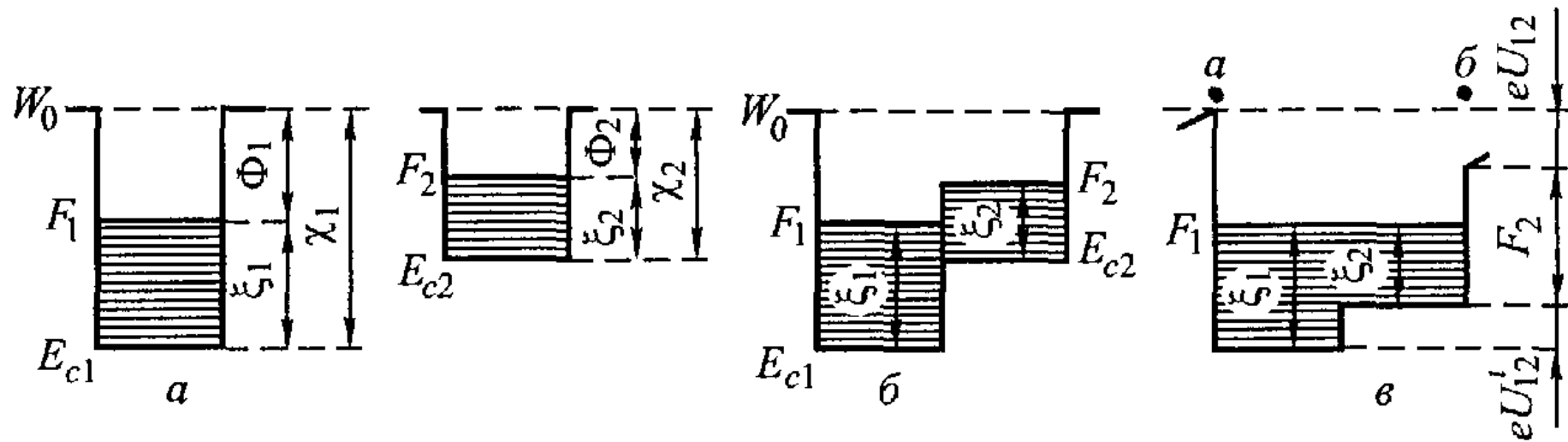


Рис. 339. Энергетическая диаграмма двух металлов: *а* — контакта нет; *б* — контакт есть, но нет равновесия; *в* — равновесие

Здесь  $W_0$  — энергия покоящегося электрона в вакууме,  $\chi_1 = W_0 - E_{c1}$  и  $\chi_2 = W_0 - E_{c2}$  — глубина потенциальных ям (электронное средство данного вещества),  $F - E_c = \xi$  — химический потенциал электронов.

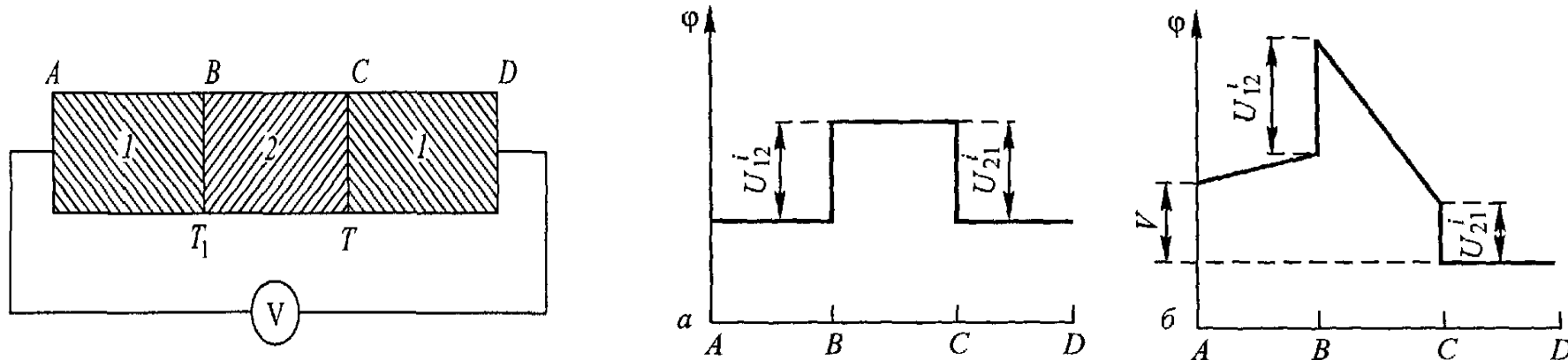
$$\Phi_1 = W_0 - F_1 = \chi_1 - \xi_1, \quad \Phi_2 = W_0 - F_2 = \chi_2 - \xi_2,$$

$$-eU_1 - (-eU_2) = (\chi_1 - \xi_1) - (\chi_2 - \xi_2) = \Phi_1 - \Phi_2.$$

$$eU_{12}^i = e(\varphi_1 - \varphi_2) = \xi_1 - \xi_2.$$

# Термоэлектричество (явление Зеебека 1821г.).

## Термодвижущая сила. [2,§199].



$$\Delta \mathcal{E} = (\alpha_1 - \alpha_2) \Delta T.$$

Рис. 341. Распределение потенциала в цепи, изображенной на рис. 340, при  $T_1 = T$  (a) и при  $T_1 > T$  (b)

$\Delta \mathcal{E}_i = \alpha_i \Delta T$  – термо-ЭДС каждого проводника.

$\alpha = d\mathcal{E} / dT$  – дифференциальная термо-ЭДС, (коэффициент термо-ЭДС).

$$\mathcal{E} = \int_{T_1}^{T_2} (\alpha_1 - \alpha_2) dT; \Rightarrow \mathcal{E} = (\alpha_1 - \alpha_2)(T_2 - T_1).$$

Металл	$\alpha - \alpha_{Pt}$ , мкВ/К	Металл	$\alpha - \alpha_{Pt}$ , мкВ/К
Висмут	-65,0	Серебро	+7,10
Константан	-34,4	Медь	+7,40
Никель	-16,4	Железо	+16,0
Палладий	-5,60	Сурьма	+47,0

## Термопары. [2,§202].

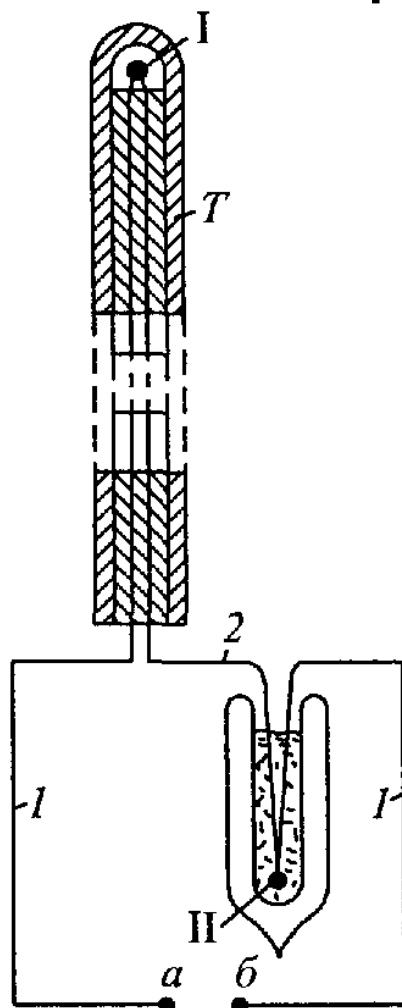


Рис. 346. Схема устройства  
и включения термопары

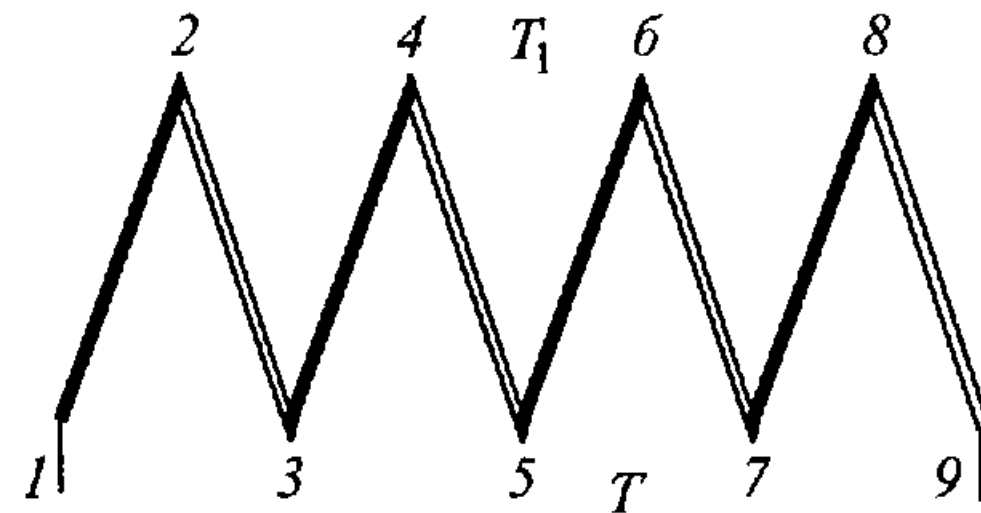
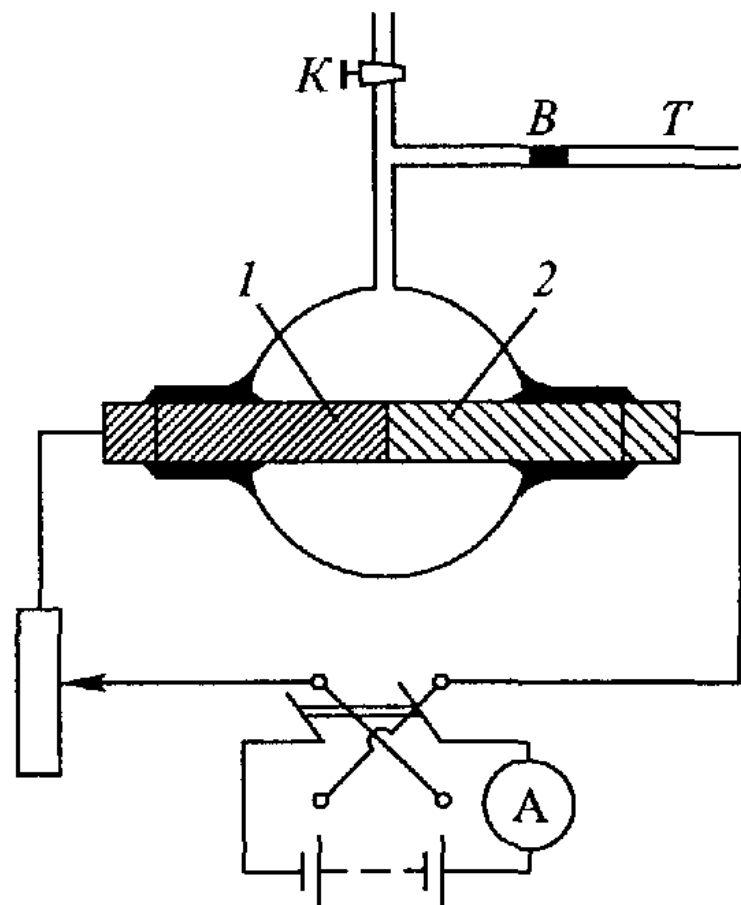


Рис. 347. Схема термобатареи

# Эффект Пельтье. [2,§200]



$$Q_{\Pi} = \Pi q = \Pi it.$$

$$P = -\frac{J}{e} (\bar{W}_k - e\varphi) , \text{ где } N = j/e$$

$$Q_{\Pi} = (P_1 - P_2)St = \frac{1}{e} [(\bar{W}_{k2} - \bar{W}_{k1}) + e(\varphi_1 - \varphi_2)]it,$$

$$\Pi_{12} = \frac{1}{e} [(\bar{W}_{k2} - \bar{W}_{k1}) + e(\varphi_1 - \varphi_2)]$$

Для невырожденного электронного

$$\bar{W}_{k1} = \bar{W}_{k2}; \Rightarrow \Pi_{12} = (\varphi_1 - \varphi_2) = U_{12}^i.$$

Рис 342 Наблюдение эффекта  
Пельтье

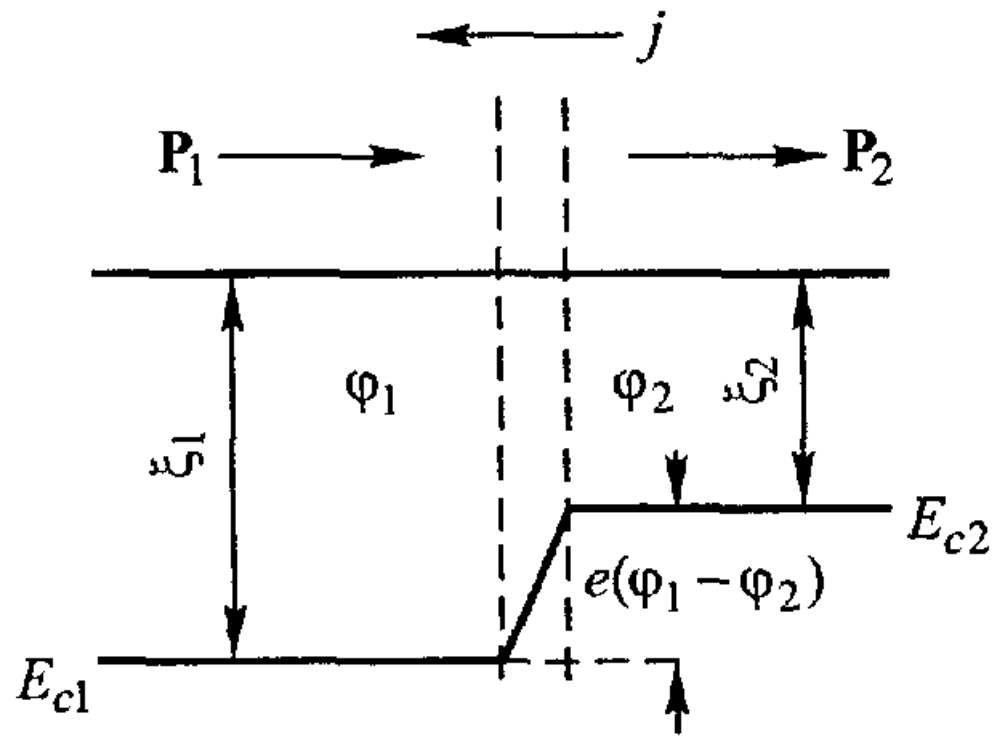


Рис. 343. К определению тепла Пельтье для двух металлов при  $T = 0$

Для вырожденного электронного

газа при  $T = 0$   $\bar{W}_{K1} = F - E_{c1} = \xi_1$ ,

$\bar{W}_{K2} = F - E_{c2} = \xi_2$ . Но  $e(\varphi_1 - \varphi_2) = \xi_1 - \xi_2$ ,

поэтому  $\Pi_{12} = e^{-1}[(\xi_2 - \xi_1) + (\xi_1 - \xi_2)] = 0$ .

Если  $T \neq 0$ , то  $\Pi_{12} \neq 0$ .

# Явление Томсона.

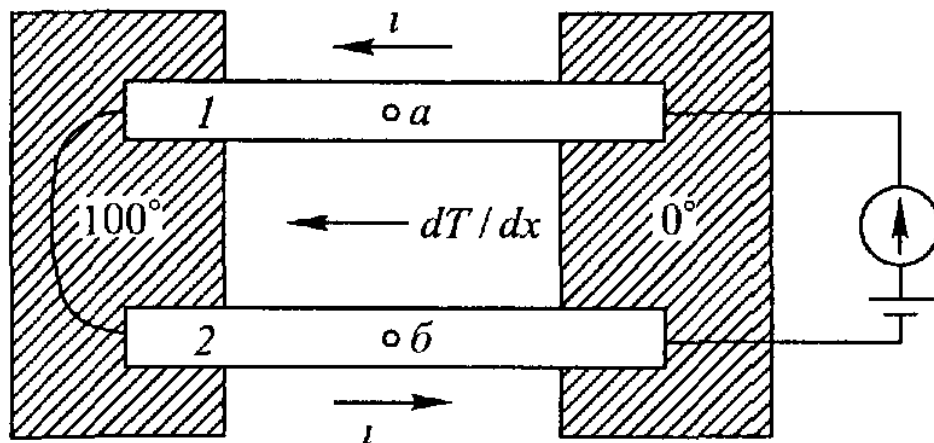


Рис. 344. Наблюдение эффекта Томсона

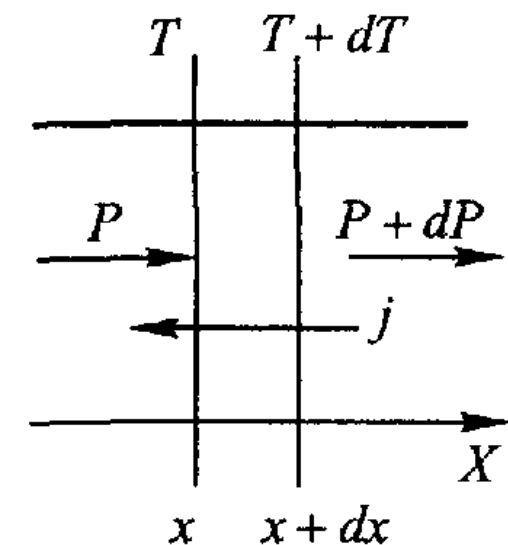


Рис. 345. К объяснению тепла Томсона

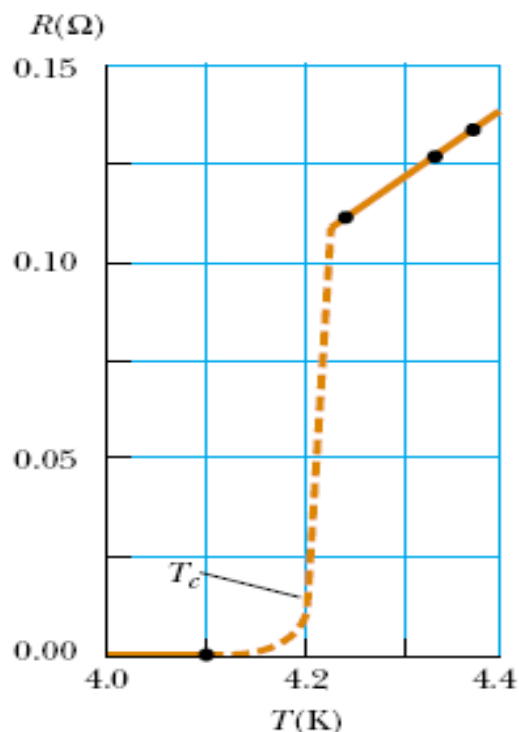
$\frac{Q_T}{\Delta Vt} = \sigma \frac{dT}{dx} J$  – дифф. форма закона,  $Q_T = \sigma \Delta T i t$  – интегр. форма закона,

$$\frac{Q_T}{\Delta Vt} = \frac{P(x) - P(x + dx)}{dx} = - \frac{dP(x)}{dx} = \frac{J}{e} \frac{d\bar{W}_K}{dx} - J \frac{d\phi}{dx}.$$

$$\frac{d\bar{W}_K}{dx} = \frac{d\bar{W}_K}{dT} \frac{dT}{dx}; \Rightarrow \frac{Q_T}{\Delta Vt} = \frac{J}{e} \frac{d\bar{W}_K}{dT} \frac{dT}{dx} + JE.$$

## Сверхпроводимость. Основные свойства сверхпроводников. Высокотемпературная сверхпроводимость.

Явление сверхпроводимости было открыто Камерлинг-Оннесом в 1911 году. Переход вещества в сверхпроводящее состояние в отсутствии внешнего магнитного поля является фазовым переходом 2-го рода, в присутствии поля – 1-го рода. Наибольшее значение критической температуры (до 1986 года) было у соединений ниобия и германия 23,2 К.



**Figure 27.12** Resistance versus temperature for a sample of mercury (Hg). The graph follows that of a normal metal above the critical temperature  $T_c$ . The resistance drops to zero at  $T_c$ , which is 4.2 K for mercury.

**Table 27.3**

Material	$T_c$ (K)
$HgBa_2Ca_2Cu_3O_8$	134
Tl–Ba–Ca–Cu–O	125
Bi–Sr–Ca–Cu–O	105
$YBa_2Cu_3O_7$	92
$Nb_3Ge$	23.2
$Nb_3Sn$	18.05
Nb	9.46
Pb	7.18
Hg	4.15
Sn	3.72
Al	1.19
Zn	0.88

# Магнитная индукция внутри сверхпроводника. Эффект Мейсснера. Критическое поле.

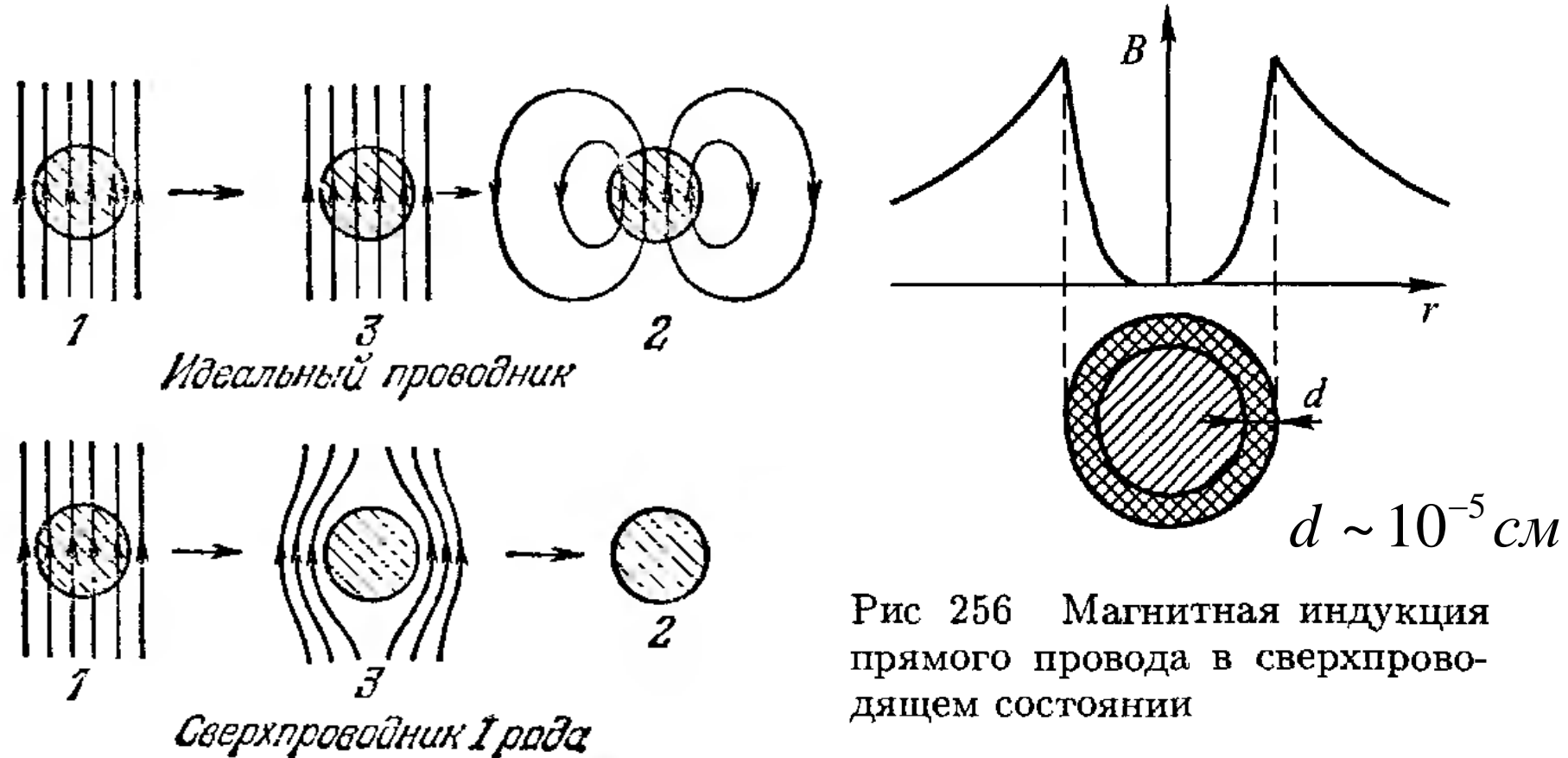
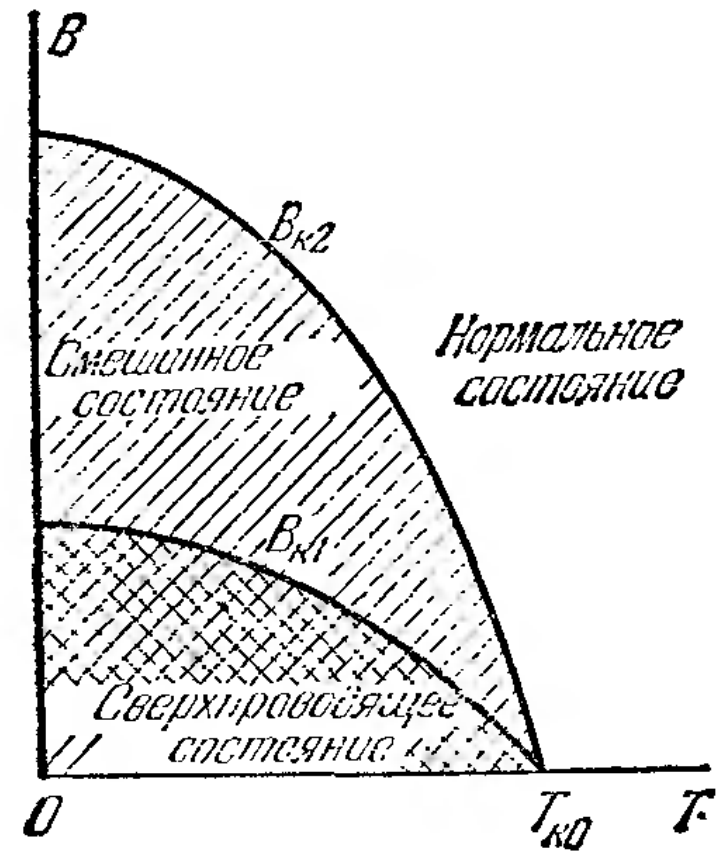
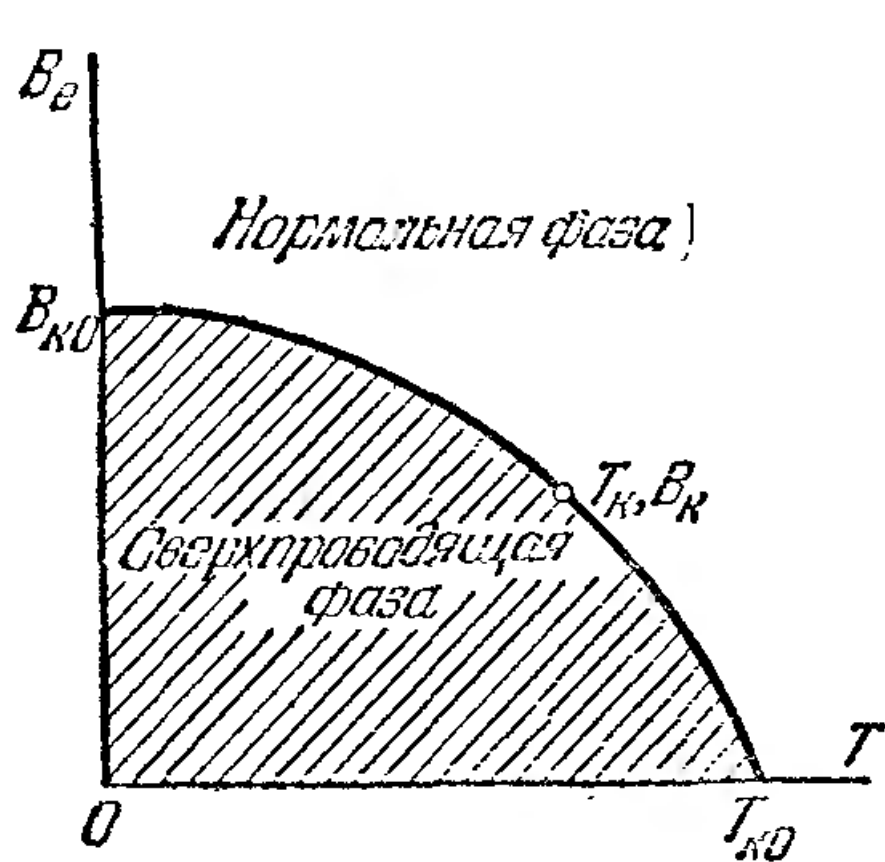


Рис 256 Магнитная индукция  
прямого провода в сверхпрово-  
дящем состоянии

Укажем для примера, что у олова при 1 К  $H_{\text{кр}}$  составляет около  $2 \cdot 10^4$  А/м. Поэтому для оловянной проволоки диаметром  $2a = 3$  мм критическая сила тока при этой температуре равна

$$i_{\text{кр}} = 2\pi a H_{\text{кр}} = 2\pi \cdot 1,5 \cdot 10^{-3} \cdot 2 \cdot 10^4 \approx 180 \text{ A.}$$



Если фактор формы  $\beta \neq 0$ , то образец сверхпроводника первого рода переходит в нормальное состояние частями (доменами). Сверхпроводники 1-го рода с положительной поверхностной энергией, 2-го рода - с отрицательной.